

This is a digital copy of a book that was preserved for generations on library shelves before it was carefully scanned by Google as part of a project to make the world's books discoverable online.

It has survived long enough for the copyright to expire and the book to enter the public domain. A public domain book is one that was never subject to copyright or whose legal copyright term has expired. Whether a book is in the public domain may vary country to country. Public domain books are our gateways to the past, representing a wealth of history, culture and knowledge that's often difficult to discover.

Marks, notations and other marginalia present in the original volume will appear in this file - a reminder of this book's long journey from the publisher to a library and finally to you.

Usage guidelines

Google is proud to partner with libraries to digitize public domain materials and make them widely accessible. Public domain books belong to the public and we are merely their custodians. Nevertheless, this work is expensive, so in order to keep providing this resource, we have taken steps to prevent abuse by commercial parties, including placing technical restrictions on automated querying.

We also ask that you:

- + *Make non-commercial use of the files* We designed Google Book Search for use by individuals, and we request that you use these files for personal, non-commercial purposes.
- + Refrain from automated querying Do not send automated queries of any sort to Google's system: If you are conducting research on machine translation, optical character recognition or other areas where access to a large amount of text is helpful, please contact us. We encourage the use of public domain materials for these purposes and may be able to help.
- + *Maintain attribution* The Google "watermark" you see on each file is essential for informing people about this project and helping them find additional materials through Google Book Search. Please do not remove it.
- + *Keep it legal* Whatever your use, remember that you are responsible for ensuring that what you are doing is legal. Do not assume that just because we believe a book is in the public domain for users in the United States, that the work is also in the public domain for users in other countries. Whether a book is still in copyright varies from country to country, and we can't offer guidance on whether any specific use of any specific book is allowed. Please do not assume that a book's appearance in Google Book Search means it can be used in any manner anywhere in the world. Copyright infringement liability can be quite severe.

About Google Book Search

Google's mission is to organize the world's information and to make it universally accessible and useful. Google Book Search helps readers discover the world's books while helping authors and publishers reach new audiences. You can search through the full text of this book on the web at http://books.google.com/



Über dieses Buch

Dies ist ein digitales Exemplar eines Buches, das seit Generationen in den Regalen der Bibliotheken aufbewahrt wurde, bevor es von Google im Rahmen eines Projekts, mit dem die Bücher dieser Welt online verfügbar gemacht werden sollen, sorgfältig gescannt wurde.

Das Buch hat das Urheberrecht überdauert und kann nun öffentlich zugänglich gemacht werden. Ein öffentlich zugängliches Buch ist ein Buch, das niemals Urheberrechten unterlag oder bei dem die Schutzfrist des Urheberrechts abgelaufen ist. Ob ein Buch öffentlich zugänglich ist, kann von Land zu Land unterschiedlich sein. Öffentlich zugängliche Bücher sind unser Tor zur Vergangenheit und stellen ein geschichtliches, kulturelles und wissenschaftliches Vermögen dar, das häufig nur schwierig zu entdecken ist.

Gebrauchsspuren, Anmerkungen und andere Randbemerkungen, die im Originalband enthalten sind, finden sich auch in dieser Datei – eine Erinnerung an die lange Reise, die das Buch vom Verleger zu einer Bibliothek und weiter zu Ihnen hinter sich gebracht hat.

Nutzungsrichtlinien

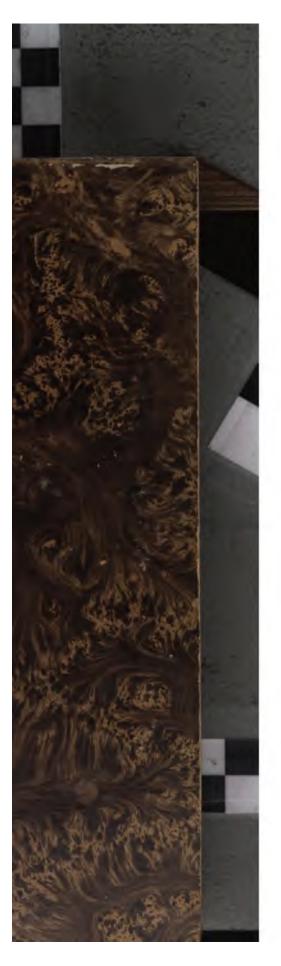
Google ist stolz, mit Bibliotheken in partnerschaftlicher Zusammenarbeit öffentlich zugängliches Material zu digitalisieren und einer breiten Masse zugänglich zu machen. Öffentlich zugängliche Bücher gehören der Öffentlichkeit, und wir sind nur ihre Hüter. Nichtsdestotrotz ist diese Arbeit kostspielig. Um diese Ressource weiterhin zur Verfügung stellen zu können, haben wir Schritte unternommen, um den Missbrauch durch kommerzielle Parteien zu verhindern. Dazu gehören technische Einschränkungen für automatisierte Abfragen.

Wir bitten Sie um Einhaltung folgender Richtlinien:

- + *Nutzung der Dateien zu nichtkommerziellen Zwecken* Wir haben Google Buchsuche für Endanwender konzipiert und möchten, dass Sie diese Dateien nur für persönliche, nichtkommerzielle Zwecke verwenden.
- + *Keine automatisierten Abfragen* Senden Sie keine automatisierten Abfragen irgendwelcher Art an das Google-System. Wenn Sie Recherchen über maschinelle Übersetzung, optische Zeichenerkennung oder andere Bereiche durchführen, in denen der Zugang zu Text in großen Mengen nützlich ist, wenden Sie sich bitte an uns. Wir fördern die Nutzung des öffentlich zugänglichen Materials für diese Zwecke und können Ihnen unter Umständen helfen.
- + Beibehaltung von Google-Markenelementen Das "Wasserzeichen" von Google, das Sie in jeder Datei finden, ist wichtig zur Information über dieses Projekt und hilft den Anwendern weiteres Material über Google Buchsuche zu finden. Bitte entfernen Sie das Wasserzeichen nicht.
- + Bewegen Sie sich innerhalb der Legalität Unabhängig von Ihrem Verwendungszweck müssen Sie sich Ihrer Verantwortung bewusst sein, sicherzustellen, dass Ihre Nutzung legal ist. Gehen Sie nicht davon aus, dass ein Buch, das nach unserem Dafürhalten für Nutzer in den USA öffentlich zugänglich ist, auch für Nutzer in anderen Ländern öffentlich zugänglich ist. Ob ein Buch noch dem Urheberrecht unterliegt, ist von Land zu Land verschieden. Wir können keine Beratung leisten, ob eine bestimmte Nutzung eines bestimmten Buches gesetzlich zulässig ist. Gehen Sie nicht davon aus, dass das Erscheinen eines Buchs in Google Buchsuche bedeutet, dass es in jeder Form und überall auf der Welt verwendet werden kann. Eine Urheberrechtsverletzung kann schwerwiegende Folgen haben.

Über Google Buchsuche

Das Ziel von Google besteht darin, die weltweiten Informationen zu organisieren und allgemein nutzbar und zugänglich zu machen. Google Buchsuche hilft Lesern dabei, die Bücher dieser Welt zu entdecken, und unterstützt Autoren und Verleger dabei, neue Zielgruppen zu erreichen. Den gesamten Buchtext können Sie im Internet unter http://books.google.com/durchsuchen.



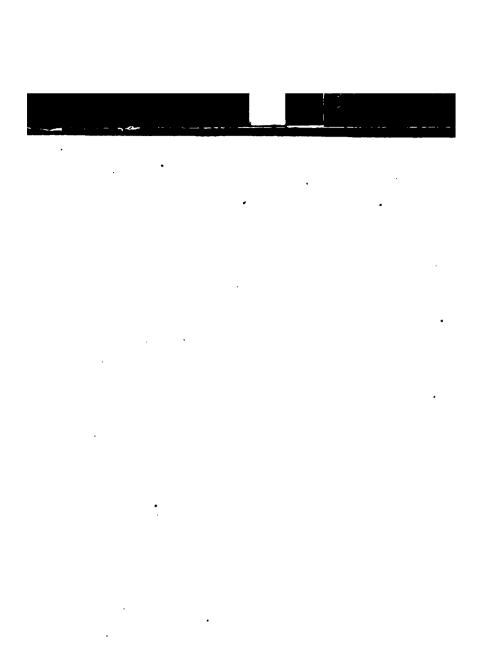


530.5 Ab13





530.5 Ab13





•

•

.

ANNALEN

DER

PHYSIK UND CHEMIE.

BAND CV.

.

ANNALEN

Ģ,

DER

P H Y S I K

UND

CHEMIE.

VIERTE REIHE.

HERAUSGEGEBEN ZU BERLIN

VON

J. C. POGGENDORFF.

FUNFZEHNTER BAND.

HEBST VIER KUPPERTAFELN.

LEIPZIG, 1858. Verlag von johann ambrosius barth.



ANNALEN

DER

P H Y S I K

UND

CHEMIE.

HERAUSGEGEBEN ZU BERLIN

VON

J. C. POGGENDORFF.

HUNDERT UND FÜNFTER BAND.

DER GANZEN FOLGE HUNDERT UND BIN UND ACHTZIGSTER.

MERST VIER PHOPERTABLE.W.

LEIPZIG, 1858.
VERLAG VON JOHANN AMBROSIUS BARTH.



Inhalt

des Bandes CV der Annalen der Physik und Chemie

Erstes Stück.

	Seite
I. Ueber die Capillaritätsconstanten des Quecksilbers; von G. Quincke	1
II. Ueber die Abhängigkeit der Tragkrast von der Größe der Berüh-	
rungsfläche swischen Magnet und Anker; von J. Dub	49
III. Fortgesetzte Beobachtungen über die elektrische Entladung; von	
Plücker	67
IV. Versuche über die Spannkraft der Dämpfe aus Lösungen von	
Salzgemischen; von A. Wüllner	85
V. Bemerkungen über das feldspathartige Gestein des Zirkonsyenits;	
von C. Bergemann	118
VI. Ueber die Einwirkung verdünnter Salzlösungen auf Silicate;	
von H. Eichhorn	126
VII. Natrolith, in Pseudomorphosen nach Oligoklas und Nephelin;	
von R. Blum	133
VIII. Analytisch-mineralogische Mittheilungen; von C. Schnabel .	144

VI

X. Ueber den Osteolith aus dem Kratzer-Berge bei Friedland in Böhmen; von Dürre XI. Ueber die Ausdehnbarkeit der über ihren Siedpunkt erhitsten Flüssigkeiten; von Ch. Drion (Geschlossen am 18. October 1858.) Zweites Stück. I. Einige Thatsachen betreffend das Schmelzen und Gefrieren de VVassers; von A. Mousson II. Darstellung aller Polarisationsbewegungen und einer zweiten ver wandten VVellenbewegung durch Zusammensetzung zweier Schraubenbewegungen, nebst Nachricht von einem Apparat dazu; von C. L. Gerling. III. Beiträge zur Kenntniss der Zuckersäure und ihrer Verbindungen von W. Heints IV. Ueber die mittlere Länge der VVege, welche bei der Molecularbewegung gassörmiger Körper von den einzelnen Molecülen zurückgelegt werden, nebst einigen anderen Bemerkungen über die mechanische VVärmetheorie; von R. Clausius V. Fortgesetzte Untersuchungen über den Sauerstoss; von C. F. Schönbein VI. Ueber die Lösungen der Manganoxydsalze; von H. Rose VII. Ueber die seitliche Verschiebung des Bildes im Mikroskope bei schieser Beleuchtung; von Heschl		VI
X. Ueber den Osteolith aus dem Kratzer-Berge bei Friedland in Böhmen; von Dürre XI. Ueber die Ausdehnbarkeit der über ihren Siedpunkt erhitsten Flüssigkeiten; von Ch. Drion (Geschlossen am 18. October 1858.) Zweites Stück. I. Einige Thatsachen betreffend das Schmelzen und Gefrieren de VVassers; von A. Mousson II. Darstellung aller Polarisationsbewegungen und einer zweiten ver wandten VVellenbewegung durch Zusammensetzung zweier Schraubenbewegungen, nebst Nachricht von einem Apparat dazu; von C. L. Gerling. III. Beiträge zur Kenntniss der Zuckersäure und ihrer Verbindungen von W. Heints IV. Ueber die mittlere Länge der VVege, welche bei der Molecularbewegung gassörmiger Körper von den einzelnen Molecülen zurückgelegt werden, nebst einigen anderen Bemerkungen über die mechanische VVärmetheorie; von R. Clausius V. Fortgesetzte Untersuchungen über den Sauerstoss; von C. F. Schönbein VI. Ueber die Lösungen der Manganoxydsalze; von H. Rose VII. Ueber die seitliche Verschiebung des Bildes im Mikroskope bei schieser Beleuchtung; von Heschl		
Böhmen; von Dürre XI. Ueber die Ausdehnbarkeit der über ihren Siedpunkt erhitsten Flüssigkeiten; von Ch. Drion (Geschlossen am 18. October 1858.) Zweites Stück. 1. Einige Thatsachen betreffend das Schmelzen und Gefrieren de Wassers; von A. Mousson II. Darstellung aller Polarisationsbewegungen und einer zweiten ver wandten Wellenbewegung durch Zusammensetzung zweier Schraubenbewegungen, nebst Nachricht von einem Apparat dazu; von C. L. Gerling. III. Beiträge zur Kenntniss der Zuckersäure und ihrer Verbindungen von W. Heintz IV. Ueber die mittlere Länge der Wege, welche bei der Molecularbewegung gassörmiger Körper von den einzelnen Molecülen zurückgelegt werden, nebst einigen anderen Bemerkungen über die mechanische Wärmetheorie; von R. Clausius V. Fortgesetzte Untersuchungen über den Sauerstoff; von C. F. Schönbein VI. Ueber die Lösungen der Manganoxydsalze; von H. Rose VII. Ueber die seitliche Verschiebung des Bildes im Mikroskope bei schieser Beleuchtung; von Heschl	ìΧ	. Ueber den Leitungswiderstand des Nickels; von A. Arndtsen
XI. Ueber die Ausdehnbarkeit der über ihren Siedpunkt erhitsten Flüssigkeiten; von Ch. Drion (Geschlossen am 18. October 1858.) Zweites Stück. I. Einige Thatsachen betreffend das Schmelzen und Gefrieren de VVassers; von A. Mousson II. Darstellung aller Polarisationsbewegungen und einer zweiten ver wandten VVellenbewegung durch Zusammensetzung zweier Schraubenbewegungen, nebst Nachricht von einem Apparat dazu; von C. L. Gerling. III. Beiträge zur Kenntniß der Zuckersäure und ihrer Verbindungen von W. Heintz IV. Ueber die mittlere Länge der VVege, welche bei der Molecularbewegung gasförmiger Körper von den einzelnen Molecülen zurückgelegt werden, nebst einigen anderen Bemerkungen über die mechanische Wörmetheorie; von R. Clausius V. Fortgesetzte Untersuchungen über den Sauerstoff; von C. F. Schönbein VI. Ueber die Lösungen der Manganoxydsalze; von H. Rose VII. Ueber die seitliche Verschiebung des Bildes im Mikroskope bei schiefer Beleuchtung; von Heschl	X.	Ueber den Osteolith aus dem Kratzer-Berge bei Friedland is
Zweites Stück. I. Einige Thatsachen betreffend das Schmelzen und Gefrieren de VVassers; von A. Mousson II. Darstellung aller Polarisationsbewegungen und einer zweiten ver wandten VVellenbewegung durch Zusammensetzung zweier Schraubenbewegungen, nebst Nachricht von einem Apparat dazu; von C. L. Gerling. III. Beiträge zur Kenntniss der Zuckersäure und ihrer Verbindungen von W. Heints IV. Ueber die mittlere Länge der VVege, welche bei der Molecularbewegung gassörmiger Körper von den einzelnen Molecülen zurückgelegt werden, nebst einigen anderen Bemerkungen über die mechanische VVärmetheorie; von R. Clausius V. Fortgesetzte Untersuchungen über den Sauerstoss; von C. F. Schönbein VI. Ueber die Lösungen der Manganoxydsalze; von H. Rose VIII. Ueber die seitliche Verschiebung des Bildes im Mikroskope bei schieser Beleuchtung; von Heschl		Böhmen; von Dürre
Zweites Stück. I. Einige Thatsachen betreffend das Schmelzen und Gefrieren de VVassers; von A. Mousson II. Darstellung aller Polarisationsbewegungen und einer zweiten ver wandten VVellenbewegung durch Zusammensetzung zweier Schraubenbewegungen, nebst Nachricht von einem Apparat dazu; von C. L. Gerling. III. Beiträge zur Kenntniss der Zuckersäure und ihrer Verbindungen von W. Heintz IV. Ueber die mittlere Länge der VVege, welche bei der Molecularbewegung gassörmiger Körper von den einzelnen Molecülen zurückgelegt werden, nebst einigen anderen Bemerkungen über die mechanische VVärmetheorie; von R. Clausius V. Fortgesetzte Untersuchungen über den Sauerstoff; von C. F. Schönbein VI. Ueber die Lösungen der Manganoxydsalze; von H. Rose VII. Ueber die seitliche Verschiebung des Bildes im Mikroskope bei schiefer Beleuchtung; von Heschl	XI.	. Ueber die Ausdehnbarkeit der über ihren Siedpunkt erhitsten Flüs
Zweites Stück. I. Einige Thatsachen betreffend das Schmelzen und Gefrieren de Wassers; von A. Mousson II. Darstellung aller Polarisationsbewegungen und einer zweiten ver wandten Wellenbewegung durch Zusammensetzung zweier Schraubenbewegungen, nebst Nachricht von einem Apparat dazu; von C. L. Gerling. III. Beiträge zur Kenntniss der Zuckersäure und ihrer Verbindungen von W. Heints IV. Ueber die mittlere Länge der Wege, welche bei der Molecularbewegung gassörmiger Körper von den einselnen Molecülen zurückgelegt werden, nebst einigen anderen Bemerkungen über die mechanische Wärmetheorie; von R. Clausius V. Fortgesetzte Untersuchungen über den Sauerstoff; von C. F. Schönbein VI. Ueber die Lösungen der Manganoxydsalze; von H. Rose VII. Ueber die seitliche Verschiebung des Bildes im Mikroskope bei schiefer Beleuchtung; von Heschl VIII. Ueber eine optische Inversion bei Betrachtung verkehrter, durch		sigkeiten; von Ch. Drion
I. Einige Thatsachen betreffend das Schmelzen und Gefrieren de Wassers; von A. Mousson II. Darstellung aller Polarisationsbewegungen und einer zweiten ver wandten VVellenbewegung durch Zusammensetzung zweier Schraubenbewegungen, nebst Nachricht von einem Apparat dazu; von C. L. Gerling. III. Beiträge zur Kenntniss der Zuckersäure und ihrer Verbindungen von W. Heints IV. Ueber die mittlere Länge der VVege, welche bei der Molecularbewegung gassörmiger Körper von den einzelnen Molecülen zurückgelegt werden, nebst einigen anderen Bemerkungen über die mechanische VVärmetheorie; von R. Clausius V. Fortgesetzte Untersuchungen über den Sauerstoff; von C. F. Schönbein VI. Ueber die Lösungen der Manganoxydsalze; von H. Rose VII. Ueber die seitliche Verschiebung des Bildes im Mikroskope bei schieser Beleuchtung; von Heschl VIII. Ueber eine optische Inversion bei Betrachtung verkehrter, durch		(Geschlossen am 18. October 1858.)
VVassers; von A. Mousson II. Darstellung aller Polarisationsbewegungen und einer zweiten ver wandten VVellenbewegung durch Zusammensetzung zweier Schraubenbewegungen, nebst Nachricht von einem Apparat dazu; von C. L. Gerling. III. Beiträge zur Kenntniss der Zuckersäure und ihrer Verbindungen von W. Heints IV. Ueber die mittlere Länge der VVege, welche bei der Molecularbewegung gassörmiger Körper von den einzelnen Molecülen zurückgelegt werden, nebst einigen anderen Bemerkungen über die mechanische VVärmetheorie; von R. Clausius V. Fortgesetzte Untersuchungen über den Sauerstoff; von C. P. Schönbein VI. Ueber die Lösungen der Manganoxydsalze; von H. Rose VII. Ueber die seitliche Verschiebung des Bildes im Mikroskope bei schiefer Beleuchtung; von Heschl VIII. Ueber eine optische Inversion bei Betrachtung verkehrter, durch		Zweites Stück.
II. Darstellung aller Polarisationsbewegungen und einer zweiten ver wandten VVellenbewegung durch Zusammensetzung zweier Schraubenbewegungen, nebst Nachricht von einem Apparat dazu; vor C. L. Gerling. III. Beiträge zur Kenntnis der Zuckersäure und ihrer Verbindungen von W. Heintz IV. Ueber die mittlere Länge der VVege, welche bei der Molecularbewegung gassörmiger Körper von den einzelnen Molecülen zurückgelegt werden, nebst einigen anderen Bemerkungen über die mechanische Wärmetheorie; von R. Clausius V. Fortgesetzte Untersuchungen über den Sauerstoff; von C. F. Schönbein VI. Ueber die Lösungen der Manganoxydsalze; von H. Rose VII. Ueber die seitliche Verschiebung des Bildes im Mikroskope bei schiefer Beleuchtung; von Heschl VIII. Ueber eine optische Inversion bei Betrachtung verkehrter, durch	ı.	Einige Thatsachen betreffend das Schmelzen und Gefrieren de
wandten Wellenbewegung durch Zusammensetzung zweier Schraubenbewegungen, nebst Nachricht von einem Apparat dazu; von C. L. Gerling. III. Beiträge zur Kenntniss der Zuckersäure und ihrer Verbindungen von W. Heintz IV. Ueber die mittlere Länge der Wege, welche bei der Molecularbewegung gassörmiger Körper von den einzelnen Molecülen zurückgelegt werden, nebst einigen anderen Bemerkungen über die mechanische Wärmetheorie; von R. Clausius V. Fortgesetzte Untersuchungen über den Sauerstoff; von C. F. Schönbein VI. Ueber die Lösungen der Manganoxydsalze; von H. Rose VII. Ueber die seitliche Verschiebung des Bildes im Mikroskope bei schiefer Beleuchtung; von Heschl VIII. Ueber eine optische Inversion bei Betrachtung verkehrter, durch		Wassers; von A. Mousson
benbewegungen, nebst Nachricht von einem Apparat dazu; von C. L. Gerling. III. Beiträge zur Kenntniss der Zuckersäure und ihrer Verbindungen von W. Heinta IV. Ueber die mittlere Länge der VVege, welche bei der Molecularbewegung gassörmiger Körper von den einzelnen Molecülen zurückgelegt werden, nebst einigen anderen Bemerkungen über die mechanische VVärmetheorie; von R. Clausius V. Fortgesetzte Untersuchungen über den Sauerstoff; von C. F. Schönbein VI. Ueber die Lösungen der Manganoxydsalze; von H. Rose VII. Ueber die seitliche Verschiebung des Bildes im Mikroskope bei schiefer Beleuchtung; von Heschl VIII. Ueber eine optische Inversion bei Betrachtung verkehrter, durch	II.	Darstellung aller Polarisationsbewegungen und einer zweiten ver-
C. L. Gerling. III. Beiträge zur Kenntnis der Zuckersäure und ihrer Verbindungen von W. Heintz IV. Ueber die mittlere Länge der VVege, welche bei der Molecularbewegung gassörmiger Körper von den einzelnen Molecülen zurückgelegt werden, nebst einigen anderen Bemerkungen über die mechanische VVärmetheorie; von R. Clausius V. Fortgesetzte Untersuchungen über den Sauerstoff; von C. F. Schönbein VI. Ueber die Lösungen der Manganoxydsalze; von H. Rose VII. Ueber die seitliche Verschiebung des Bildes im Mikroskope bei schiefer Beleuchtung; von Heschl VIII. Ueber eine optische Inversion bei Betrachtung verkehrter, durch		wandten Wellenbewegung durch Zusammensetzung zweier Schrau-
III. Beiträge zur Kenntnis der Zuckersäure und ihrer Verbindungen, von W. Heints IV. Ueber die mittlere Länge der VVege, welche bei der Molecularbewegung gassörmiger Körper von den einzelnen Molecülen zurückgelegt werden, nebst einigen anderen Bemerkungen über die mechanische VVärmetheorie; von R. Clausius V. Fortgesetzte Untersuchungen über den Sauerstoff; von C. F. Schönbein VI. Ueber die Lösungen der Manganoxydsalze; von H. Rose VII. Ueber die seitliche Verschiebung des Bildes im Mikroskope bei schiefer Beleuchtung; von Heschl VIII. Ueber eine optische Inversion bei Betrachtung verkehrter, durch		benbewegungen, nebst Nachricht von einem Apparat dazu; von
von W. Heints IV. Ueber die mittlere Länge der Wege, welche bei der Molecularbewegung gassörmiger Körper von den einzelnen Molecülen zurückgelegt werden, nebst einigen anderen Bemerkungen über die mechanische Wärmetheorie; von R. Clausius V. Fortgesetzte Untersuchungen über den Sauerstoff; von C. F. Schönbein VI. Ueber die Lösungen der Manganoxydsalze; von H. Rose VII. Ueber die seitliche Verschiebung des Bildes im Mikroskope bei schiefer Beleuchtung; von Heschl VIII. Ueber eine optische Inversion bei Betrachtung verkehrter, durch		C. L. Gerling
IV. Ueber die mittlere Länge der VVege, welche bei der Molecularbewegung gasförmiger Körper von den einzelnen Molecülen zurückgelegt werden, nebst einigen anderen Bemerkungen über die mechanische VVärmetheorie; von R. Clausius V. Fortgesetzte Untersuchungen über den Sauerstoff; von C. F. Schönbein VI. Ueber die Lösungen der Manganoxydsalze; von H. Rose VII. Ueber die seitliche Verschiebung des Bildes im Mikroskope bei schiefer Beleuchtung; von Heschl VIII. Ueber eine optische Inversion bei Betrachtung verkehrter, durch	IJĮ.	Beiträge zur Kenntniss der Zuckersäure und ihrer Verbindungen
larbewegung gasförmiger Körper von den einzelnen Molecülen zu- rückgelegt werden, nebst einigen anderen Bemerkungen über die mechanische VVärmetheorie; von R. Clausius V. Fortgesetzte Untersuchungen über den Sauerstoff; von C. F. Schönbein VI. Ueber die Lösungen der Manganoxydsalze; von H. Rose VII. Ueber die seitliche Verschiebung des Bildes im Mikroskope bei schiefer Beleuchtung; von Heschl VIII. Ueber eine optische Inversion bei Betrachtung verkehrter, durch		von W. Heints
rückgelegt werden, nebst einigen anderen Bemerkungen über die mechanische VVärmetheorie; von R. Clausius V. Fortgesetzte Untersuchungen über den Sauerstoff; von C. F. Schönbein VI. Ueber die Lösungen der Manganoxydsalze; von H. Rose VII. Ueber die seitliche Verschiebung des Bildes im Mikroskope bei schiefer Beleuchtung; von Heschl VIII. Ueber eine optische Inversion bei Betrachtung verkehrter, durch	IV.	Ueber die mittlere Länge der Wege, welche bei der Molecu-
mechanische VVärmetheorie; von R. Clausius V. Fortgesetzte Untersuchungen über den Sauerstoff; von C. F. Schönbein VI. Ueber die Lösungen der Manganoxydsalze; von H. Rose VII. Ueber die seitliche Verschiebung des Bildes im Mikroskope bei schiefer Beleuchtung; von Heschl VIII. Ueber eine optische Inversion bei Betrachtung verkehrter, durch		larbewegung gasförmiger Körper von den einzelnen Molecülen zu-
 V. Fortgesetzte Untersuchungen über den Sauerstoff; von C. F. Schönbein		rückgelegt werden, nebst einigen anderen Bemerkungen über die
Schönbein		mechanische Wärmetheorie; von R. Clausius
VI. Ueber die Lösungen der Manganoxydsalze; von H. Rose VII. Ueber die seitliche Verschiebung des Bildes im Mikroskope bei schiefer Beleuchtung; von Heschl VIII. Ueber eine optische Inversion bei Betrachtung verkehrter, durch	₹.	Fortgesetzte Untersuchungen über den Sauerstoff; von C. F.
VII. Ueber die seitliche Verschiebung des Bildes im Mikroskope bei schiefer Beleuchtung; von Heschl		Schönbein
schiefer Beleuchtung; von Heschl	VI.	Ueber die Lösungen der Manganoxydsalze; von H. Rose
VIII. Ueber eine optische Inversion bei Betrachtung verkehrter, durch	VII	. Ueber die seitliche Verschiebung des Bildes im Mikroskope bei
		schiefer Beleuchtung; von Heschl
optische Vorrichtungen entworfener physischer Bilder; von H.	VII	I. Ueber eine optische Inversion bei Betrachtung verkehrter, durch
		optische Vorrichtungen entworfener physischer Bilder; von H.

VII

	Seite
IX. Notis über die circulare Polarisation des Lichts; von A. Arndtsen	312
X. Ueber die Zusammensetzung des Analcims; von C. Rammels-	
berg	317
XI. Die krystallisirte Kieselsäure ist dimorph; von Jenzsch	320
XII. Ueber den Kaba-Debreczin-Meteorit; von J. von Török .	329
XIII. Ueber den Meteorsteinfall zu Ohaba in Siebenbürgen; von M.	
Hörnes	334
(Geschlossen am 24. November 1858.)	
,	
Drittes Stück.	
I. Untersuchungen über die thermischen Wirkungen des Sonnenspec-	
trums; von J. Müller	337
II. Ueber die Aenderungen, welche die Modification des mittleren	
Volums einiger Salzlösungen durch Aenderungen der Temperatur	
erleidet; von P. Kremers	360
III. Ueber die mechanische Theorie der Elektrolyse; von J. Bosscha	
(Fortsetzung)	396
IV. Ueber das Schwefelniob; von H. Rose	424
V. Die Meteoriten und die Kometen, nach ihren gegenseitigen Be-	
ziehungen; vom Freiherrn v. Reichenbach	438
VI. Versuch zur Interpretation der von Brewster i. J. 1826 in kry-	
stallisirten Mineralien entdeckten expansiblen Flüssigkeiten; von	
R. Th. Simmler	460
VII. Ueber das Problem der Diamantbildung; von Demselben	466
VIII. Einige Bemerkungen zum Aussatz des Hrn. Kirchhoff »Ueber	
die Spannungen des Dampfes von Mischungen aus Wasser und	
Schwefelsinger von A Wüllner	478

VШ

	961(6
IX. Ueber einen elektrischen Influensversuch; von P. Riess	486
X. Die diesejährigen Ueberschwemmungen in Schlesien und am Hars,	
und ihre Ursachen; von H. VV. Dove	490
XI. Leichte Bereitungsart von vollkommen reinem Platinmohr; von	
C. Brunner, sen	496
r (Geschlossen am 16. December 1858.)	
Window Canal	
Viertes Stück.	
I. Ueber das Entstehen und Verschwinden des Magnetismus in Elek-	
tromagneten; von W. Beets	497
II. Magnetische Rotationen unter Einfluss eines Stromleiters von un-	
veränderlicher Gestalt; von O. v. Feilitzsch	535
III. VVellenlänge und Brechungs-Exponent der äußersten dunklen	
VVärmestrahlen des Sonnenspectrums; von J. Müller	543
1V. Untersuchungen über Elektromagnetismus; von Demselben .	547
V. Ueber die Ausahl der Meteoriten, und Betrachtungen über ihre	
Rolle im Weltgebäude; vom Freiherrn v. Reichenbach	551
VI. Ueber die isomeren Zustände des Zinnoxyds und über das Ver-	
balten desselben und der anderen elektro-negativen Metalloxyde	
in ihrer chlorwasserstoffsauren Lösung; von H. Rose	564
VII. Ueber ein basisches Zersetzungsprodukt des Aldehyd-Ammo-	
niaks; von VV. Heints u. J. VVislicenus '	577
VIII. Einige Bemerkungen über die chemische Constitution der Am-	
phibole und Augite, besonders in Bezug auf Rammelsberg's	
neueste Analysen hieher gehöriger Species; von Th. Schoorer .	598
IX. Brochantit aus Nassau; von F. Sandberger	614
X. Neugebildete Sanidin-Krystalle in Folge von Gesteins-Verwitte-	
rung; von Jenzsch	618

	Seite
XI. Das Trevelyan-Instrument bewegt durch den galvanischen Strom;	
von VV. Rollmann	620
XII. Ueber den Zusammenhang swischen den physikalischen Eigen-	
schaften und den Structurverhältnissen bei verschiedenen Holzarten;	
von H. Knoblauch	623
(Geschlossen am 30. December 1858.)	

Nachweis zu den Kupfertafeln.

- Taf. I. Quincke, Fig. 1, S. 14 u. 26; Fig. 2, S. 15 u. 42; Fig. 3, S. 13; Fig. 4, S. 15, 16, 35, 41; Fig. 5, S. 15, 32 u. 33; Fig. 6 u. 7, S. 15; Fig. 8, S. 40 u. 46; Fig. 9, S. 41 u. 43; Fig. 10, S. 39 u. 42; Fig. 11 u. 12, S. 12 u. 32; Fig. 13 u. 14, S. 13.
- Taf. II. Plücker, Fig. 1, S. 72; Fig. 2, S. 74. Mousson, Fig. 3, S 162; Fig. 4^a u. 4^b, S. 166; Fig. 5^a u. 5^b, S. 168; Fig. 6, S. 169; Fig. 7, S. 170; Fig. 8, S. 173.
- Taf. III. J. Müller, Fig. I, S. 350; Fig. 2, S. 355; Fig. 3, S. 357 u. 358; Fig. 4, S. 358 u. 359. Schröder, Fig. 5, 6, 7, 8, 9 u. 10, S. 307; Fig. 11, S. 309; Fig. 12 u. 13, S. 311. Heschl, Fig. 14, S. 296; Fig. 15, S. 297. v. Török, Fig. 16, S. 330; Fig. 17 u. 18, S. 331.
- Taf. IV. Beetz, Fig. 1, S. 504; Fig. 2, S. 505; Fig. 3, 4 u. 5, S. 521;
 Fig. 6 u. 7, S. 529. v. Feilitzsch, Fig. 8, S. 536; Fig. 9, S. 539;
 Fig. 10, S. 540; Fig. 11, S. 541; Fig. 12 u 13, S. 542. J. Müller,
 Fig. 14, S. 547; Fig. 15, S. 548.

DER PHYSIK UND CHEMIE.

BAND CV.

Ueber die Capillaritätsconstanten des Quecksilbers; con G. Quincke.

1.

Die Capillaritätserscheinungen haben schon seit den Zeiten Leonardo da Vinci's 1) die Physiker beschäftigt, und das Interesse für dieselben wurde besonders rege, als Thomas Young und Laplace fast zu gleicher Zeit allgemeine Theorien für dieselben aufstellten. Seitdem ist der Gegenstand vielfach mit der Rechnung und dem Experiment verfolgt worden, so dass die Litteratur, wie der Anhang zeigt, so reich, wie in wenigen Kapiteln der Physik ist.

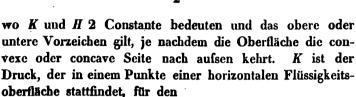
Von welchen Grundlagen die theoretischen Betrachtungen auch ausgehen mögen, immer kommen sie seit dem Erscheinen der Young'schen Abhandlungen darauf zurück, dass die Flüssigkeitsoberfläche zur Erklärung der Capillaritätserscheinungen ausreicht. Unter der Voraussetzung, dass der Gleichgewichtszustand eingetreten ist, führen sie auf die schon von Thomas Young²) im wesentlichen aufgestellten Haupttheoreme, die ich hier kurz anführen will.

Wenn e und e, den größten und kleinsten Krümmungsradius eines Punktes P der freien Obersläche einer Flüssigkeit bezeichnen, so ist der Druck p in diesem Punkte P der Oberfläche

$$p = K \pm \frac{H}{2} \left(\frac{1}{\varrho} + \frac{1}{\varrho_1} \right)$$
 1)

1) Vide Libri, histoire des sciences mathém. en Italie. t. III, p. 54.

²⁾ Young. an Essay on the cohesion of fluids, read Dec. 20. 1804. Philos. transact. 1805, p. 65 sqq. Lectures on naturul philosophy II, p. 649 sqq. Lundon 1807.



 $\varrho = \varrho_1 = \infty$

ist. Die Constante H hängt von der Anziehung der Flüssigkeitstheile auf sich selbst, d. h. von der Natur der Flüssigkeit allein ab.

Wenn ferner θ den Winkel bezeichnet, unter welchem die freie Oberfläche einer Flüssigkeit die Oberfläche eines festen Körpers schneidet, so ist

 $\theta = \text{Const.}$ 2)

für dieselbe Flüssigkeit und denselben festen Körper, und unabhängig von der Gestalt der Obersläche der Flüssigkeit und des festen Körpers. Es wird also z. B. das letzte Element eines auf einer horizontalen Unterlage ruhenden Quecksilbertropfens denselben Winkel mit der Unterlage bilden, wie das letzte Element der Kuppe einer Quecksilbersäule mit der Wand einer Röhre von demselben Glase.

Die Gleichungen 1) und 2), welche die erwähnten Haupttheoreme ausdrücken, beziehen sich also auf die Wirkung der Theilchen einer Flüssigkeit untereinander, und auf die Wirkung der Theilchen eines festen Körpers auf die der Flüssigkeit. Benetzt die Flüssigkeit den festen Körper, so ist der Winkel $\theta = 0$ und die Erscheinungen sind gerade so, als ob die feste Wand von den Theilchen der Flüssigkeit selbst gebildet würde.

Thomas Young wurde auf diese Sätze durch einfache geometrische Betrachtungen geführt, indem er annahm, dass die Spannung in der freien Flüssigkeitsobersläche constant sey. Laplace¹) hat dann später mit dem Calcül dieselben abgeleitet, indem er annahm, dass die Capillaritätserscheinungen von Kräften abhingen, die blos in unendlich kleiner Entfernung einen endlichen Werth hätten und pro-

¹⁾ Laplace, Sur l'action capillaire. Supplément au X. liere du traité de mécanique céléste. Paris éd. 1845. IV, p. 389 sqq.

portional den Massen der aufeinander wirkenden Molectile wären. Ist r die Entfernung zweier solcher Massenmolectile \mathbf{z} und \mathbf{z} und drückt \mathbf{z} das Gesetz der Anziehung derselben auf einander aus, so ist die Kraft mit der sich dieselben in der Richtung von \mathbf{z} anziehen

= mm'fr

und in Folge der Voraussetzung kann man bei den Integrationen dieses Ausdrucks noch dr statt 0 und einer endlichen Grenze 0 und co einführen. Unter dieser Voraussetzung allein, oder physikalisch ausgesprochen unter der
Annahme, dass nur die Theilchen der Flüssigkeit und des
festen Körpers in unmittelbarer Nähe der freien Flüssigkeitsobersläche von Einsluss auf die Capillaritätserscheinungen sind, leitet Laplace die Gleichung 1) ab, wobei er
keine Annahme über das Verhalten der Dichtigkeit in der
Nähe der freien Obersläche macht.

Später hat Poisson 1) durch eine tieser aus diesen Umstand eingehende mathematische Betrachtung nachgewiesen, dass man eine Aenderung der Dichtigkeit in der Nähe der freien Flüssigkeitsobersläche annehmen mus, dass dann an Stelle jener von Laplace angewandten Integrationen Summationen treten, die auch auf die Gleichung 1) führen, nur dass dann die Constanten K und H in anderer Weise von der Molecularwirkung der Molecule abhängen.

Um die Gleichung 2) nachzuweisen, combinirt Laplace die erste Methode, mit welcher er die Gleichung 1) nachgewiesen hat, mit einer anderen Methode, wo er die Wirkung von Fäden der Flüssigkeit und einer festen Röhrenwand betrachtet. Einen strengen Beweis für die Gleichung 2) hat erst Gauss?) geliesert, der vor dem Erscheinen der Poisson'schen Arbeit von dem Princip der virtuellen Geschwindigkeit ausgehend und wie Laplace, unter Annahme von Molecular-Attractionen, die nur in unmerklich kleiner Entsernung wirksam sind, durch Variationsrechnung die

¹⁾ Poisson, nouvelle théorie de l'action capillaire. Paris 1831.

²⁾ Gaufs, principia generalia theoriae figurae fluidorum in statu aequilibrii. Commentat. societ. reg. Gotting. VII, 1932, p. 43 sq.

Aufgabe löst, und so direct auf die Gleichungen 1) und 2) geführt wird.

2.

Die Anwendung dieser Theoreme auf das Experiment und die Uebereinstimmung der Erscheinungen mit der Theorie beschränkt sich im Allgemeinen auf die Fälle, die schon Laplace in seiner mécanique céléste anführt. Besonders sind es die benetzenden Flüssigkeiten, bei denen die Gleichung 1) zur Erklärung der Erscheinungen ausreicht und die Beobachtungen von Steighöhen in Röhren gewesen, an denen man die Richtigkeit der Gleichung 1) nachgewiesen hat, und die Beobachtungen von Gay-Lussac') z. B. schließen sich sehr gut der Theorie an. Ich bemerke hierbei, dass die Constante Kijener Gleichung 1) sich nicht experimentell bestimmen lässt, sondern nur die Constante H in die Versuche eingeht. Andere Beobachtungen haben aber durchaus keine Uebereinstimmung mit der Theorie ergeben; die Werthe für die Steighöhe von Wasser in einer Röhre von 0".01 Durchmesser variiren nach Brewster?) bei verschiedenen Beobachtern, deren Namen wohl Vertrauen verdienen, von 2",1 his 5",3.

In neuerer Zeit hat man daher diese Versuche wieder aufgenommen, und besonders hat Hagen³) in seiner Abhandlung »Ueber die Oberfläche der Flüssigkeiten« die Uebereinstimmung der Gleichung 1) mit dem Experiment für Wasser durch zahlreiche und genaue Versuche nachgewiesen, indem er das Ansteigen in Röhren, an Planplatten und zwischen parallelen Platten von verschiedenen Substanzen gemessen hat. Er fand dabei, daſs die Steighöhe unabhängig von der Substanz der Platten ist, wie es die Theorie fordert, aber auch, daſs bei frischer Wasser-

¹⁾ Vide Laplace, méc. cél, IV, p. 522 und Poisson, nouv. théor. pag. 112.

Vide Edinburgh Encyclopnedia, vol V, 1830. Capillary attraction. Daraus abgedruckt in Report of the British Association 1834, pag. 279.

Hagen, Ueber die Oberfläche der Flüssigkeiten. Abhandlungen der Berliner Academie 1845 und 1846.

obersläche die Constante H einen größeren Werth hat, als bei Wasser, das einige Zeit gestanden hat. Diese Beobachtung ist später von Anderen bestätigt worden; wie denn schon Frankenheim¹) eine Abnahme der Constante H bei Salzlösungen, Säuren und Alkalien, selbst bei Wasser, bemerkt hat, der jedoch bei Wasser den Grund in der Unreinigkeit der angewandten Röhren sucht.

In den letzten Jahren sind, besonders wohl angeregt durch den von der Pariser Academie ausgesetzten Preis, zahlreiche Arbeiten über diesen Gegenstand publicirt worden, die aber auch sich meist auf die Richtigkeit der Gleichung 1) bei benetzenden Flüssigkeiten beziehen.

Das zweite Haupttheorem dagegen, welches nur bei einer nicht benetzenden Flüssigkeit, bei dem Quecksilber, nachgewiesen werden kann, ist bei weitem weniger der Gegenstand von Versuchen gewesen, was mit in der großen Schwierigkeit liegen mag, die vielen Fehlerquellen bei dem Experiment zu vermeiden. Ich habe daher schon vor zwei Jahren eine Arbeit begonnen, um den Winkel θ für Quecksilber zu bestimmen, und ein großer Theil derselben war vollendet, als mich Privatverhältnisse nöthigten, dieselbe ein ganzes Jahr zu unterbrechen. Unterdessen hat Desains 2) in seiner großen Arbeit über Capillarität ähnliche Messungen publicirt, da aber die von mir angewandten Methoden von den früheren abweichen, so hoffe ich, daß sie doch zur Aufklärung dieses schwierigen Capitels beitragen werden.

Die mir bekannten Angaben über den Winkel θ , unter welchem eine Quecksilberobersläche eine Glaswand schneidet, rühren von Thomas Young, Laplace und Poisson, die ihn nach Gay-Lussac's Beobachtungen berechnen, von Bravais und Desains her.

Thomas Young, 3) der den Winkel zu nahe 40° angiebt, hat ihn bei Röhren, besonders bei Barometern, unter

¹⁾ Frankenheim, Lehre von der Cohasion. Breslau 1835, p. 69.

²⁾ Desains, recherches sur les phénomènes capillaires. Ann. de chim. et de phys. t. LI, 1857. p. 385 sqq.

³⁾ Young, lectures of natural philosophy tom. 11, p. 666.

verschiedenen Verhältnissen mit Hülfe von reflectirtem Licht gemessen, ohne die Methode näher anzugeben. Laplace ') zeigt die Uebereinstimmung der theoretisch von ihm abgeleiteten Formeln mit den Gay-Lussac'schen Messungen der Dicken großer Quecksilbertropfen und der Depression des Quecksilbers an der verticalen Wand eines weiten Glasgefäses, wenn man $\theta = 42^{\circ} 12'$ oder = 48 Centesimalgraden setzt.

Gay-Lussac hat nach Poisson 2) gefunden, dass der Winkel zwischen der inneren Oberfläche eines Quecksilbertropfens und seinem Bilde in der Glasplatte; die ihn trägt, ein rechter ist, woraus dann $\theta = 45^{\circ}$ folgt. An einer anderen Stelle berechnet Poisson den Werth des Winkels $\theta = 45^{\circ} 30'$ bei 12°,5 C. Er combinirt dabei Gay-Lussac's Messungen von Quecksilberdepressionen in benetzten Röhren mit der Dicke von großen Quecksilbertropfen auf einer horizontalen Glasplatte, und nimmt an. dass der Winkel θ in beiden Fällen derselbe ist. 3) Ausserdem reducirt er noch die bei verschiedenen Temperaturen gemachten Beobachtungen auf eine Temperatur, indem er annimmt, die Steighöhe der Flüssigkeit in einer Röhre nehme proportional der Dichtigkeit der Flüssigkeit zu. Abgesehen davon, dass letzteres wahrscheinlich nicht richtig ist, so ist der Winkel, den Quecksilber mit einer von Wasser benetzten Röhrenwand bildet, durchaus nicht derselbe, wie mit einer gewöhnlichen Glasplatte, soudern er variirt, wie man sich leicht überzeugen kann, ganz bedeutend, wird bei gehöriger Benetzung sogar 0°, der Winkel von Quecksilber gegen Glas ändert sich freilich mit dem Feuchtigkeitsgehalt der Luft, wie es scheint, und wird mit steigendem Feuchtigkeitsgehalt kleiner, aber bei trockenen Glasplatten

¹⁾ Laplace, méc. cel. t. IV, p. 538.

²⁾ Poisson, nouv. théor. p. 220.

³⁾ Poisson, nour théor, p. 219: la constante relative au contact du mercure avec le verre ou plutôt avec la couche d'eau, qui est loujours (?!) adhérente à la surface du verre.

ist er nahe 45°. Diese Angabe, $\theta = 45^{\circ} 30'$, verdient also kein Vertrauen.

Bravais ') hat den Winkel θ bei verschiedenen Barometern gemessen und findet verschiedene Werthe zwischen 30° 12' und 40° 40' bei verschiedenen Instrumenten, während die Genauigkeit 0°,89 beträgt. Das Mittel aus seinen Zahlen ist $\theta=35^{\circ}\,58'$. In den einzelnen Instrumenten variirt der Winkel sehr wenig. Er wendet reflectirtes Licht an, um den Winkel zu messen, doch habe ich leider die Auseinandersetzung nicht verstehen können, wohl weil der Arbeit keine Zeichnung beigegeben ist.

In einer anderen Abhandlung²) leitet er aus Bohnenberger's³) Versuchen über Meniskenhöhe des Quecksilbers in Barometern den Werth $\theta = 56^{\circ}$ ab, wobei er die Constante H als bekannt annimmt.

Desains *) endlich hat die Beobachtungen von Danger *), welcher die Höhe des Meniskus in Glasröhren von verschiedenem Radius gemessen hat mit der Theorie verglichen. Er findet den Winkel $\theta = 37^{\circ}$ 52' als den, der die Danger'schen Beobachtungen am besten wiedergiebt, und denselben constant für dasselbe Quecksilber und Glas. Desains selbst hat dann den Winkel bestimmt, indem er die Dicke K von großen Quecksilbertropfen auf horizontaler Glasunterlage und die Depression K' von Quecksilber an einem verticalen Planglas gemessen hat. Nach Poisson *) ist dann, wenn man mit H die Constante des ersten Haupt-

¹⁾ Bravais, nouvelle table des dépressions de mercure dans les tubes du baromètre. Ann. de chim. 3. sér. tom. V, p. 492 agg. ...

²⁾ Bravais et Martins, comparaisons barométriques faites à Bruxelles et dans le nord de l'Europe. Mém. de l'acad. roy. de Bruxelles tom. XIV, p. 45.

¹⁾ Bohnenberger, Beobachtungen in Besug auf die Capillarität beim Berometer. Diese Ann. XXVI, p. 458.

⁴⁾ Desains, Ann. de chim. LI, p. 390.

Danger, Ann. de chim. et de phys. sér. III. tom XXIV, p. 501; und diese Ann. LXXVI, p. 297. Ueber die Höhe der Menisken, welche die Oberfläche des Quecksilbers in Glasgefäsen darbietet.

⁶⁾ Poisson, nouv. théor. p. 217 éq. o und pag. 224 éq. r.

theorems, mit e die Dichtigkeit des Quecksilbers, mit g die beschleunigende Kraft der Schwere bezeichnet und endlich

$$\frac{H}{^{4}g} = a^{2}$$

$$K^{2} = a^{2} (1 + \cos \theta)$$

$$K^{2} = a^{2} (1 - \sin \theta)$$

3)

setzt

Aus diesen beiden Gleichungen 3) läßt sich dann θ finden, wenn man annimmt, daßs a^2 und θ in beiden Fällen denselben Werth haben. Da die Tropfen nicht unendlich groß sind, und aur in diesem Falle die Gleichungen 3) gelten, so berechnet Desains mit Hülfe der Poissonschen Formeln eine Correction und findet dann schließlich $\theta = 41^{\circ}36'.5$.

Stellt man die verschiedenen Angaben zusammen, so sieht man eine große Verschiedenheit:

	$\boldsymbol{\theta}^{-}$
Young	40 °
	42° 12'
Gay-Lussac	45°
Poisson	45° 30'
Bravais	35° 58′
Bohnenberger	56°
Danger	37° 52'
Desains	41° 36',5

Abgesehen davon, dass einige Beobachtungsmethoden nicht sehr genau sind, können die Verschiedenheiten des Quecksilbers und der Glasobersläche eine solche Verschiedenheit des Winkels bedingen. So ist es eine bekannte Thatsache, dass Quecksilber in frisch ausgekochten Barometern eine concave statt einer convexen Obersläche zeigt, die erst nach längerer Zeit in eine Kuppe übergeht. Dulong 1) hat den Grund davon in Spuren von Quecksilberoxyd gesucht, das durch das Kochen an der atmosphärischen Luft entsteht; durch längeres Stehen würde dann

¹⁾ Dulong, vide Poisson noav. théor. p. 291 und diese Ann. XXVI, p. 455.

das Oxyd vom Quecksilber aufgelöst, und die Kuppe nähme die gewöhnliche Gestalt an. Da Poggendorff¹) es sehr wahrscheinlich gemacht hat, dass Quecksilber sich durch blosses Stehen an der Lust oxydirt, so könnte durch diese Oxydation, die ja an der Obersläche des Quecksilbers vor sich geht, der Winkel auch ohne Kochen schon sich ändern.

Die Constante H oder a² scheint, den vorhandenen Messungen nach zu urtheilen, nicht so großen Schwankungen unterworfen zu seyn. Folgende Tabelle giebt den Werth von a nach verschiedenen Beobachtungen für Quecksilber in Millimetern:

Laplace 2,55
Poissoin 2,554
Hagen 2,68 bis 2,62
Bède 2,66
Danger 2,59
Desains 2,62 bis 2,65

Von Laplace, Poisson, Danger und Desains sind die Werthe von a nach den Methoden bestimmt, die oben für die Bestimmungen von θ angeführt sind. Aus den Beobachtungen von Quecksilberdepressionen in engen Röhren, die von Hagen und Bède ²) angestellt sind, habe ich a unter der Annahme, dass $\theta = 45^{\circ}$ ist, berechnet. Hagen ²) macht aber schon darauf aufmerksam, dass auch bei Quecksilber wie bei Wasser eine Abnahme der Constante a bemerkbar ist. Dasselbe haben später auch Bède und Desains gefunden, weshalb der erstere die Depression des Quecksilbers erst 24 Stunden nach dem Eingiessen in Röh-

¹⁾ Poggendorff, über das Verhalten des Quecksilbers bei seiner electromagnetischen Rotation. Diese Ann. LXXVII, p. 1 sqq.

²⁾ Bède, Mémoire sur l'ascension de l'eau et de la dépression du mercuse dans les tubes capillaires. Mém. de l'ac. roy. de Belgique (surants étrangers) tom. XXV. 1851-1853.

³⁾ Hagen, Oberstäche der Flüssigkeiten, 2te Abhaudl. p. 15.

ren misst, wo dann doch, wie schon Poggendorff gezeigt hat, das Quecksilber an seiner Obersläche schwer beweglich geworden ist. Ich werde weiter unten hierauf zurückkommen.

3.

Es kam also darauf an, frei von den Fehlern, welche durch Verunreinigung des Quecksilbers und des Glases herbeigeführt werden konnten, den Winkel θ zu bestimmen. Ich habe deshalb von vornherein vorgezogen, den Winkel, welchen Quecksilber mit gläsernen Planplatten bildet, zu bestimmen, weil man diese Platten leichter reinigen kann als Röhren und zugleich die Fehler vermeidet, die durch Unebenheiten der Glaswand bei der Beobachtung entstehen. Außerdem ist auch der störende Einfluss der Reibung, welche die Beweglichkeit des Quecksilbers hindert, geringer.

Ich habe zuerst den Winkel θ unabhängig von der Constante H oder a^2 bestimmt und dazu eine einfache Interpolationsmethode gewählt. Da ein Quecksilbertropfen auf einer horizontalen Unterlage als eine Rotationsobersläche angesehen werden kann, so braucht man nur die erzeugende Curve zu betrachten, oder einen verticalen Schnitt, der durch den höchsten Punkt eines solchen Tropfens gelegt ist. Die Linie, in der die Schnittebene die horizontale Unterlage schneidet, sei die x Axe, die y Axe darauf senkrecht, und der Anfangspunkt der Coordinaten sei der Schnittpunkt der freien Quecksilberobersläche mit der x Axe. Man kann dann in der Nähe des Anfangspunktes der Coordinaten die Curve durch die Gleichung

sich bestimmen lassen. Es ist dann

Da die x Axe mit der Obersläche des festen Körpers

msammenfällt und θ also der Winkel ist, unter dem die Tangente an die Curve im Punkte s=0 die x Axe schneidet.

Es kam nun darauf an, wie die zu einem entsprechenden æ gehörigen y gemessen werden sollten. Der einfachste Weg wäre gewesen, die Tropfen durch einen seitlich aufgestellten photographischen Apparat abzunehmen und dann an diesem Bilde die Coordinaten zu bestimmen. Der Anfangspunkt der Coordinaten markirt sich bei allen diesen Beobachtungen dadurch, dass man zugleich das Spiegelbild des Tropfens in der horizontalen Unterlage sieht, und dass man in der Nähe desselben auch am Spiegelbild die einem gewissen Werthe von æ entsprechenden y messen kann. Die æ Axe wäre dann durch die Verbindungslinie der beiden Endpunkte, wo das Quecksilber die Glasplatte berührt, bestimmt gewesen, und man hätte an demselben Tropfen die Gestalt der rechten und linken Seite zu gleicher Zeit fixirt gehabt.

Da jedoch die Tropfen nur niedrig sind und niemals dicker als 4 ---, so musste entweder der photographische Apparat das Bild vergrößert abnehmen, oder das Messinstrument musste mit einem Mikroskop versehen seyn. Dann wurde aber, wie der Versuch zeigte, die Gränze, mit der sich der Tropsen gegen die Umgebung abzeichnete, undeutlich und erlaubte keine genaue Messung. Ich habe sowohl bei Daguerreotypplatten wie bei Photographien auf Collodium diesen Uebelstand gefunden.

Später habe ich, durch Hrn. Professor Magnus veranlafst, folgende Methode, leider ebenso vergeblich, versucht. Ein Heliostat warf Sonnenlicht auf eine Linse von kurzer Brennweite, die in dem Laden eines dunklen Zimmers angebracht war, so dass man einen leuchtenden Punkt von großer Lichtintensität hatte. Mit diesem wurde dann ein in gleicher Horizontalebene liegender Quecksilbertropfen beleuchtet und der Schatten auf eine entfernte verticale Wand projicirt. Hier zeigte sich nun ein Uebelstand, der überhaupt dazu beiträgt, Messungen an Quecksilberkuppen

ungenau zu machen. Die von der Quecksilberobersläche an ihrer äussersten Gränze reslectirten Lichtstrahlen interferiren mit den ein wenig vor oder hinter dieser Stelle reslectirten Strahlen, und so erscheint der ganze Schatten von prächtigen Fransen eingefast, die jede Messung vereiteln, besonders an den Stellen, wo die Tropsenobersläche das Glas berührt.

4

Ich habe deswegen die Tropfen direct mit einem horizontalen Mikroskop von ziemlicher Objectweite betrachtet; das Mikroskop war an einem Kathetometer angebracht, dessen ich mich auch weiter unten zu anderen Zwecken bedient habe, und dessen Beschreibung daher gleich hier folgen mag. Die Fig. 11 und 13 Taf. I stellen das Kathetometer in ½ natürlicher Größe dar.

Auf einem gusseisernen gehobelten Rahmen A, wie sie an einer gewöhnlichen Drehbank zum Verschieben des Support's angebracht sind, lässt sich ein gusseiserner, ebenfalls gehobelter Schlitten B mit sanfter Reibung verschieben. An diesem Schlitten befindet sich ein Mikroskop C mit Ocular-Mikrometer, welches über einer horizontalen Scale S verschoben wird und so die Verschiebung des Schlittens B bis auf 0^{mm},002 angiebt. Auf dem Schlitten, der das eigentliche Kathetometer trägt, ist mit 3 Stell- und 3 Zugschrauben D und D' ein messingenes Gestell E befestigt, in dessen Y's ein auf dem Support abgedrehter Cylinder F von Messing durch 2 Federn hereingedrückt wird. Cylinder F trägt an seiner Basis eine kleine Platte H von hartem Stahl und ruht mit dieser lose auf dem stählernen Kopf der Schraube K, durch die er sanft gehoben werden kann. Wenn die Schraube K herabgeschraubt wird, sinkt er durch sein eigenes Gewicht herunter; das Muttergewinde für K befindet sich in einer an dem Gestell E festgeschraubten Platte, die aufgeschnitten ist und mit einer Schraube zusammengezogen werden kann. Um eine Drehung des Cylinders F zu vermeiden, hat er parallel der Axe einen Schlitz, in den eine auf dem unteren Y festgeschraubte verticale Stablplatte M eingreift, die in Taf. I Fig. 14 und 15 in natärlicher Größe dargestellt ist. Diese Stablplatte trägt auf der einen Seite eine kleine Stablfeder N, welche immer die eine Seite des Cylinderschlitzes an die verticale Stablplatte M drückt. Auf dem verticalen Cylinder F ist ein horizontales Messingstück O mit 2 Ys angebracht, in welche das Beobachtungs-Mikroskop Q gelegt wird. Mit einer Wasserwaage, die in der Zeichnung fortgelassen ist, kann diess horizontal gestellt werden.

Der verticale Messingcylinder F trägt eine verticale auf Silber in 0ⁿⁿ,25 getheilte Scale R, die vor dem Ocular-Mikrometer des Mikroskops P vorbeigeschoben wird, wenn man den Cylinder F hebt oder senkt. Das Mikroskop P ist durch den messingenen Arm T an dem Gestell E befestigt.

Wenn der Rahmen A durch seine 3 Stellschrauben mit Hülfe einer langen Libelle horizontal gestellt ist, kann man auf ihm den Schlitten B und somit das ganze Kathetometer genau horizontal verschieben. Der Cylinder F ist durch die 3 Stellschrauben DDD vertical gestellt, und das Mikroskop P giebt seine Verschiebung, oder die des Mikroskops Q bis auf $0^{man},001$ an. Die Beobachtung zeigte, dass diese Genauigkeit wirklich erreicht wurde, wenn man das Fadenkreuz von Q auf eine feste Spitze einstellte.

Die Ocular-Mikrometer haben dabei folgende Einrichtung, wie Taf. I Fig. 3 zeigt. Eine Scale mit verticalen Linien wird durch eine schräge Linie AC und eine andere horizontale CB geschnitten. Die Vergrößerung des Mikroskops ist so eingerichtett, daß der Abstand zweier horizontalen Striche DE und D'E' der abzulesenden Scale, die parallel mit BC laufen, im Ocular des Mikroskops den Raum AB einnimmt. Man hat dann nur zu sehen, an welchem Punkte die schräge Linie AC von dem Theilstriche DE geschnitten wird, so kann man direct den Abstand des Punktes A von DC ablesen. Ist z. B. wie in der Zeichnung Taf. I Fig. 3 die Linie AC durch die verticalen Striche in 25 Theile getheilt und ist der Abstand zweier Scalentheile

DE und $D'E' == 0^{mm}.25$, so entspricht ein Theilstrich der Linie AC Good,01, und durch Schätzung kann man leicht 0^{mm},001 bestimmen, Durch eine kleine Rechnung lässt sich natürlich auch jede andere Scale mit Hülfe eines solchen Mikrometers in Unterabtheilungen theilen und ich halte diese Art der Messung für genauer als mit Mikroskopen, wo das Fadenkreuz mit einer Schraube messbar verschoben Abgesehen vom Kostenpunkte und der werden kann. Schnelligkeit des Ablesens wird durch das Schrauben am Fadenkreuz das ganze Mikroskop sehr leicht verschoben und die Messungen werden ungenau, besonders wenn es sich um so kleine Größen wie 0mm,001 handelt. Man kann, wenn die Mikrometertheilung nicht genau seyn sollte, auch leicht die nothwendige Correction aubringen, so wie man, wenn das Mikrometer nur einen kleinen Raum in der Mitte des Gesichtsfeldes einnimmt, auch keinen Fehler durch die Randstrahlen zu befürchten hat, wenigstens nicht mehr als bei Mikroskopen mit verschiebbarem Fadenkreuz.

Bei der Methode, den Winkel 6 durch die Interpolationsformel 5. zu bestimmen, habe ich das Kathetometer nur als Träger des Mikroskopes Q benutzt, das etwa 60 Mal linear vergrößerte. In dem Ocular befand sich ein auf Glas getheiltes, rechtwinkliges Coordinatensystem, dessen Linien 0mm, 1 von einander abstanden, so dass man durch die Vergrößerung des Oculars noch deutlich 0 ... 01 schätzen Durch Verschieben des Kathetometerschlittens konnte man controlliren, ob die eine Linienreihe des Mikrometers horizontal war. Zugleich erlaubte die horizontale und verticale Verschiebung des Mikroskops Q die Ecke E und E' eines Quecksilbertropfens (Taf. I Fig. 1) mit dem Schnittpunkt zweier Coordinatenlinien zusammenfallen zu lassen, und es wurden die den Abscissen $x = 1 2 3 \dots$ entsprechenden Werthe der Ordinaten y abgelesen. Eine freie horizontale Verschiebung wurde Anfangs durch Klopfen an dem Schlitten B (Taf. I Fig. 15 und 17) hervorgebracht, was sehr sicher geht; ich habe später jedoch vorgezogen.

den Schlitten durch eine Schraube zu bewegen, die in der Zeichnung fortgelassen ist.

Vorläufige Messungen hatten gezeigt, dass der Winkel θ in freier Luft bei gewöhnlichem Quecksilber und Glas 36° betrug, und ich schob diese Abweichung von dem Gay-Lussac'schen Werth auf den Gehalt der atmosphärischen Luft an Wasserdampf, zumal ich den Werth 36° nicht constant für dasselbe Quecksilber und dasselbe Glas erhielt. Um diese Fehlerquelle zu vermeiden und zugleich die Tropfen im luftleeren Raum messen zu können, habe ich dann nach einigen Modificationen einen Apparat angewandt, der in Taf. I Fig. 4 und 5 in $\frac{1}{4}$ natürlicher Größe dargestellt ist.

Ein festes Holzgestell A trägt einen verschiebbaren Tisch B, auf dem eine in der Mitte durchbohrte plangeschliffene Glasplatte C festgekittet ist. In die Durchbohrung dieser Platte ist der Glashahn D eingekittet, der durch einen Ausschnitt des Tisches B hinabreicht, um durch den Kork und das Glasrohr E mit einer Luftpumpe in Verbindung gesetzt zu werden. Auf die Glasplatte C passt die unten abgeschliffene Glasglocke F luftdicht auf, in deren Boden die Barometerprobe J eingekittet ist, während vor eine größere seitliche Oeffnung eine messingene rechteckige Fassung gekittet ist, die auf der äusseren Seite plangeschliffen worden. Auf diese wird dann mit Fett oder Kitt eine geschliffene Oertling'sche Glasplatte H mit planparallelen Seiten luftdicht aufgelegt. Diese Planplatte II erlaubt mit dem Mikroskop des Kathetometers in den inneren Raum der Glasglocke zu sehen, in welchem die Quecksilbertropfen auf einem horizontalen Glastisch liegen, der von einem eisernen Gestell N getragen wird.

Dieses Gestell N ist auf Taf. I Fig. 2 und 7 in $\frac{2}{3}$ natürlicher Größe dargestellt. An einem eisernen Klotz K ist die rechtwinklich-gebogene Platte N angeschrauht. In dem oberen horizontalen Theil derselben befinden sich 3 Schrauhen r, auf deren Spitzen der Glastisch P, eben-

falls eine Oertling'sche Planplatte, ruht. Die Stifte QQ verhindern das seitliche Ausweichen dieser Platte.

O ist ein kleines Glasgefäs mit reiner concentrirter Schweselsäure, um den Raum, in welchem sich die Tropsen besinden, trocken zu erhalten. Der Klotz K, in welchen unten ein Ausschnitt geseilt ist, um die Oessenung des Hahnes D nicht zu verdecken, wurde mit ein paar Tropsen Kitt auf der Glasplatte C, der größeren Festigkeit wegen, sestgekittet.

Auf Taf. I Fig. 4 ist noch eine Oeffnung L im oberen Boden der Glasglocke F gezeichnet, durch welche ein Kork und ein Glastrichter gehen. Diese Oeffnung fehlte bei den vorliegenden Versuchen und ich werde später darauf zurückkommen. Das Holzgestell A wurde auf ein festes, an der Wand des Zimmers befestigtes Brett gestellt. Ein Draht, der durch ein Loch des Brettes frei hindurchging und in den Ring E des Gestelles A eingehakt war, trug an seinem unteren Ende ein 30-Pfundstück, wodurch die Festigkeit des Ganzen wesentlich vermehrt wurde.

Die Schrauben S des Holzgestelles und s des eisernen Tischchens erlaubten, die Glasplatte P genau horizontal zu Es geschah diess, bevor die Platte P gereinigt wurde, mittelst einer gewöhnlichen Dosenlibelle, die an ihrer unteren Basis einen abgeschliffenen Ring von geringerem Durchmesser als die Platte P trug. Man konnte sich durch dieselbe Dosenlibelle davon überzeugen, dass die Lage der Platte P nach dem Fortnehmen und wieder Auslegen genau dieselbe war. Ich habe zu demselben Zweck auch eine andere Vorrichtung benutzt, die sehr leicht zu beschaffen ist und, ohne dass die Platte P berührt wird, die Horizontalität derselben zu beurtheilen erlaubt. sich sogar anwenden, wenn die Platte sich im luftleeren Raum befindet. An den drei Seiten eines Dreiecks abc. das bei a den rechten Winkel haben mag, sind drei kleine Pendel aufgehängt, so dass das Pendel a hinter, die Pendel b und c vor der Platte P hängen. Steht das Spiegelbild des Pendels a in der Platte P vertical, so ist die

Platte P horizontal. Um das erstere zu beurtheilen, dienen die Pendel b und c. Man stellt das Auge so, dass das Spiegelbild von a mit dem Pendel b fast zusammenfällt und das Auge beurtheilt schr scharf ob beide parallel sind oder nicht. Dasselbe geschieht mit dem Pendel c und dem Spiegelbild von a. Die Methode wird noch sicherer, wenn man mit einem Fernrohr statt mit blossem Auge die Pendel betrachtet, weil es dem blossen Auge schwerfällt das Spiegelbild und das Pendel b oder c zu gleicher Zeit in die Weite des deutlichen Sehens zu bringen. Als Pendel benutzte ich gewöhnlich Coconfäden, die in aufgeschnittenen Schrootkugeln (Rehposten) eingeklemmt sind, wodurch der Faden ohne verletzt zu werden ein Gewicht trägt, das ihn vollkommen straff spannt. Die gelben Coconfaden sind dabei gegen dunklen Grund sehr gut zu sehen und die Methode hat die einzige Unbequemlichkeit, dass die Luftströmungen leicht Schwingungen der Pendel hervorrufen, was man theilweise dadurch vermeiden kann, dass man die Schrootkugeln in Oel tauchen lässt. Es lässt sich auf diese Weise jede spiegelnde Fläche horizontal stellen, und da man unter einem sehr spitzen Winkel auf dieselbe sehen kann, so werden selbst mattgeschliffene Glasplatten und dergl. noch Spiegelbilder von hinreichender Lichtintensität geben.

Die Glasplatte P wurde vor jedem Versuch mit concentrirter Schwefelsäure erhitzt, mit einer Platinzange herausgenommen, mit destillirtem Wasser gewaschen und dann längere Zeit, etwa eine halbe Stunde, in ein größeres Gefäßs mit destillirtem Wasser gelegt, um die letzten Spuren Säure zu entfernen. Es ist dieß ein ähnliches Verfahren mit welchem Faraday¹) die Platinplatten bei seinen Versuchen über Benetzung der Elektrodenslächen gereinigt, hat. Die Platte wurde dann in einer reinen Porcellanschale über der Spirituslampe oder der Ofenröhre getrocknet, mit der reinen Platinzange auf das eiserne Tischchen gelegt und hier erkalten gelassen.

¹⁾ Faraday experim. research. 588. 633. Ueber Benetsen der Elektrodenstächen, diese Ann. Bd. XXXIII. S. 158 und 177.

Poezendorst's Annal. Bd. CV.

2

Obwohl das destillirte Wasser nochmals filtrirt wurde, zeigten sich doch noch nach dem Trocknen der Glasplatte fremde Substanzen, wenn man sie behauchte. Es wurde daher gesorgt, daß die letzten Spuren Wasser an einer anderen Stelle der Glasplatte verdampften, als der, die mit dem Quecksilber in Bertihrung kam und die dann beim Behauchen den Wasserdampf gleichmäßig condensirte.

Die Quecksilbertropfen wurden mit einem Trichter auf den Glastisch gelegt, der in Fig. 2 dargestellt ist. Derselbe endete in einen langen dünnen elastischen Glasfaden, dessen anderes Ende senkrecht umgebogen war. Während das Ende des Glasfadens vertical festgehalten wurde, konnte man durch Neigen des eigentlichen Trichters leicht jede beliebige Menge Quecksilber aussließen lassen. Der Trichter wurde entweder, wie die Glasplatte, mit heißer concentrirter Schwefelsäure und destillirtem Wasser gereinigt, oder der Glasfaden wurde an einem Trichter, der auf die beschriebene Weise gereinigt war, vor der Glasbläserlampe gezogen und gebogen, ohne daß die Flammengase mit dem inneren Raume in Berührung kommen konnten.

5.

Zuerst wandte ich käufliches reines Quecksilber an, das ich durch mehrfaches Digeriren mit concentrirter Schwefelsäure 1) um beigemengtes Oxyd und fremde Metalle zu entfernen, Waschen mit destillirtem Wasser und Trocknen gereinigt hatte, und das bei 0° ein Sp. G. von 13,595 hatte. Ich habe später als die Versuche nicht constante Resultate für den Winkel θ gaben, dieses so gereinigte Quecksilber mit reiner Salpetersäure in salpetersaures Quecksilberoxyd und durch Glühen in einer Porcellanschale in Quecksilberoxyd verwandelt. Aus diesem Quecksilberoxyd wurde dann, durch Destillation in einer neuen Porcellanretorte, Quecksilber dargestellt, da Glasretorten, wenn man größere Mengen Quecksilber zu destilliren hat, weich werden und sich aufblähen. Hr. Geheimerath Mitscherlich 2 , der

¹⁾ Dulong, diese Ann. Bd. XXVI. S. 457.

²⁾ E. Mitscherlich, Lehrbuch der Chemie 1840, Bd. II, 2, S. 383.

diese Methode reines Quecksilber darzustellen angegeben hat, gestattete mir mit großer Freundlichkeit hierbei die Benutzung seines Laboratoriums. Einige Gramme des so erhaltenen Quecksilbers gaben beim Erhitzen in einer Porcellanschale keinen Rückstand. Das Quecksilber wurde dann durch Behandlung mit reiner concentrirter Chlorwasserstoffsäure in der Wärme und wiederholtes Waschen mit destillirtem Wasser noch von den letzten Spuren Oxyd. die ihm beigemengt seyn konnten, und durch Filtriren und Trocknen über Schweselsäure von Wasser befreit. Theilweise habe ich es auch durch vorsichtiges Erhitzen über der Spirituslampe getrocknet, ohne einen Unterschied in den Eigenschaften desselben zu finden. 34,9361 Grm. dieses Quecksilbers wogen bei 16°,2 C. in ausgekochtem Wasser nur 32,3645 Grm., woraus das Sp. G. dieses Quecksilbers bei 0° C. = 13,596 folgt, ebenso wie es Regnault gefunden hat.

- Vor jedem Versuche wurde das Quecksilber mehrfach durch einen Papiertrichter mit enger Oeffnung filtrirt, und nach ein paar Versuchen wieder mit Chlorwasserstoffsäure behandelt, um es von dem etwa gebildeten Oxyde zu befreien.

Unter diesen Vorsichtsmaßregeln habe ich dann auch bei zahlreichen Messungen verhältnißmäßig constante Resultate erhalten. Dabei war kein Unterschied zu bemerken ob die Tropfen im luftleeren oder im lufterfüllten Raume lagen. Der Glastisch selbst zeigte nach Entfernung der Tropfen jedes Mal beim Behauchen deutlich die Berührungsflächen, und oft schon ohne Behauchen, indem kleine Theilchen Staub an der Gränze der freien Oberfläche des Tropfens und Glases zurückbleiben. Der Grund liegt wohl mit darin, daß der Quecksilbertropfen, wenn man ihn noch so vorsichtig auf die Glastafel legt, durch Reibung elektrisch wird. Die in der ruhigen Luft schwebenden Staubtheilchen werden dann angezogen und lagern sich an der Gränze des Berührungskreises auf dem Glase ab. Welcher Natur diese Schmutz- und Staubtheilchen sind, habe ich mit den stärk-

sten Vergrößerungen eines großen Schiek'schen Mikroskopes nicht erkennen können. Durch diese Staubtheilchen wird natürlich der Winkel θ modificirt und nach längerer Zeit fangen selbst im luftleeren Raume die Ecken des Tropfenbildes an undeutlich zu werden, so daß es schwierig wird den Durchschnittspunkt zweier Coordinatenlinien auf die Ecke einzustellen. Die Veränderungen des Winkels sind aber doch so bedeutend, daß es schwer ist, sie diesen Staubtheilchen allein zuzuschreiben, da auch, wie ich später zeigen werde, die anderen Theile der Quecksilberobersäche sich ändern.

Bei den Messungen selbst wurden die Tropfen von hinten durch eine Argand'sche Lampe erleuchtet, die so lange verschoben wurde, bis die Ecke des Tropfens ein scharfes Bild gab, um so die Spiegelung, die besonders bei großen Tropfen stört, möglichst zu vermeiden. Der Apparat, in welchem der Tropfen lag, war dabei von einem schwarz ausgeklebten Pappkasten umgeben, dessen Hinterwand von einer großen Glimmerplatte gebildet wurde, um die strahlende Wärme der Argand'schen Lampe abzuhalten. Ein Thermometer befand sich mit seiner Kugel innerhalb dieses Pappkastens.

6.

Ich habe zahlreiche Messungen mit diesem Apparate angestellt, indem ich also bestimmte Werthe von y an der einen Seite eines Tropfens maß, die den Werthen $x=1\ 2\ 3$ entsprachen. Die Beobachtungen an der einen Seite eines Tropfens wurden dann combinirt, um mit ihnen die Werthe der Constanten A und B der Gl. 4) nach der Methode der kleinsten Quadrate zu berechnen und aus den so erhaltenen Werthen der Winkel θ gefunden. So z. B. giebt folgende Tabelle die Beobachtungen an 4 Quecksilbertropfen von fast gleicher Größe, die zu derselben Zeit sich auf dem Tischchen befanden. Die erste Columne giebt die Werthe von x, die zweite die beobachteten Werthe von y. Für jede Seite jedes Tropfens wurden nach der Methode der kleinsten Quadrate die entsprechenden Werthe von A

und B der Gleichung 4) berechnet. Die dritte Columne giebt dann die mit diesen Werthen von A und B berechneten Werthe von y, die vierte Columne die Differenzen. M, bedeutet den mittleren Fehler von y. Die Temperatur schwankte von

18° bis 19°,5 C.

Der Druck war 3^{-m} Quecksilber. Die einzelnen Versuchsreihen sind unmittelbar nach dem Auflegen der Tropfen, 8½ und 21 Stunden später abgelesen. Bei den einzelnen Tropfen war das Gewicht

- 1. 05°,0345
- 2. 0 ,0386
- 3. 0 ,0355
- 4. 0 ,0346

			No.	L					No.	2.		
		lin	ks		rech	ts		link	18		rech	ts
x		y			y.			y			,	
1	beob.	ber	Diff.	beob.	ber	Diff.	beob.	ber.	Diff.	beob.	per.	Diff.
1			- 0,20			0,01		1,03		1,1		-0,11
3		$\frac{2,34}{3,72}$			3,45	0,04	1000	2,16 3,39	- 0,04 0,09	3,4		-0.10 -0.07
4		5,24			5,12	0,02		4,72	0,12	4,9		-0,22
5			-0,10			0,05		6,15	0,05			-0,15
6	9,0	8,70	- 0,30	9,1	9,24	0,14	7,6	7,68	0,08	8,1	7,74	-0,36
Ν,	45	50 57	0,159	3	70 174	0,063	44	10 33	0,101	43	0 50	0,195

II. 8h,5 nach Auf-

M_y θ	4	8° 26	0,098	4	20 22	0,079	4	5° 52'	0,057	41	° 27′	0,088
6	9,5	9,30	- 0,20	9,0	9,06	0,06	8,4	8,34	-0,06	8,0	7,80	- 0,20
5	7,4	7,40	0,00	6,9	7,05	0,15	6,6	6,65	0,05	6,2	6,15	-0,05
4	5,7	5,64	- 0,06	5,2	5,24	0,04	5,1	5,08				-0.06
3	4,0	4,02	0,02	3,6	3,63	0,03	3,6	3,63	0,03	3,3	3,27	-0.03
2	2,6	2,54	-0,06			0,02	2,3	2,30	0,00	2,1	2,04	-0,06
1	1,3	1,20	- 0,10	1,1	1,01	-0.09	1,2	1,09	- 0,11	1,0	0,95	-0,05

III. 21h nach Auf-

M, θ	47° 52′	0,075	44° 30°	0,096	47	7° 31'	0,103	47	• 51'	0,145
6	9,3 9,18	0,12	9,0 8,82	0,18	8,3	8,34	0,04	7,9	7,68	0,22
5	7,3 7,30	0,00	6,9 6,95	0,05	6,6	6,70	0,10	6,2	6,25	0,05
4	5,5 5,56	0,06	5,3 5,24	-0.06	5,0	5,16	0,16	4,7	4,88	0,18
3	4,0 3,96	-0.04	3,7 3,69	-0.01	3,7	3,72	0,02	3,4	3,57	0,17
2	2,5 2,50	0,00	2,3 2,30	0,00	2,4	2,38	-0.02	2,2	2,32	0,12
1	1,3 [1,18]-	-0,12	1,2 1,07	-0.13	1,3	1,14	-0,16	1,1	1,13	0,03

legen der Tropfen.

		No	. 3.					No	. 4.		
	link	is		rech	ls		link			rech	ts
1	y y			. '		y	. 1	y			
peop.	ber.	Diff.	beob.	ber.	Diff	beob.	ber.	Diff.	beob.	ber.	Diff.
1,2	1,07	- 0,13	1,1	1,01	- 0,09	1,2	1,08	- 0,12	1,2	1,04	- 0,16
2,4	2,30	-0,10		2,18	-0.02	2,4	2,32	-0.08	2,3	2,22	-0.08
3,7	3,69	-0.01	3,4	3,51	0,11	3,7	3,72	0,02		3,54	0,04
5,2	5,24	0,04	5,0	5,00	0,00	5,2	5,28	0,08	5,1	5,00	- 0,10
6,8	6,95	0,15	6,6	6,65	0,05	7,0	7,00	0,00		6,60	- 0,10
9,0	8,82	- 0,08	8,4	8,46		9,0	8,88	0,02		8,34	- 0,26
44	45	0,098	42	59'	0,066	44	0 54'	0,068	44	16'	0,037

legen der Tropfen.

48	۰ ۱٬	0,097	44	° 41'	0,065	44	° 43'	0,096	44	28'	0,077
9,5	9,54	0,04	8,8	8,82	0,02	9,0	8,82	- 0,18	8,8	8,76	- 0,04
7,4	7,55	0,15	6,8	6,95	0,15			-0.05		6,90	0,10
5,6	5,72	0,12	5,2	5,24	0,04	5,3	5,24	-0,06	5,2	5,20	0,00
4,0	4,05	0,05	3,7	3,69	- 0,01	3,7	3,69	-0,01	3,6	3,66	0,06
2,6	2,54	-0.06	2,3	2,30	0,00	2,3	2,30	0,00	2,3	2,28	-0.02
1,3	1,19	_ 0,111	1,1	1,07	- 0,031	1,2	1,07	-0,13	1,2	1,06	-0,14

legen der Tropfen.

47	° 21′	0,160	43	° 13'	0,145	47	• 17'	0,087	44	• 20'	0,005
$^{7,2}_{9,2}$	7,10 8,94	-0,10 $-0,26$		6,70 8,52	0,00 0,28			0,10 0,06		6,65 8,40	0,0 5 0,00
5,4	5,40	0,00	5,1	5,04	0,06	5,5	5,60	0,10	5,0	5,04	0,04
3.8	3.84	- 0,08 0,04	-	3,54	- 0,10 0,04		3,96	0,02 0,06		2,24 3,57	- 0,06 0,07
1,4	1,14	0,26		1,02	-0,18		1,16	0,14	1,1	1,05	 0,05

Man sicht aus den Werthen von θ , die unter jeder Beobachtungsreihe angegeben sind, daß schon für denselben Tropfen der Winkel nicht constant ist. Da vorherrschend die linken Seiten der Tropfen einen größeren Winkel geben, wie die rechten, so ist es möglich, daß das Fadenkreuz des Oculars ein wenig geneigt gewesen ist. Die Mittel aus den Beobachtungen rechts und links stimmen besser, wie folgende Tafel zeigt.

No.	1	2	3	4	Mittel .
I	41° 37′	44° 11′	43° 52′	44° 35′	43° 34′
II	45 24	43 40	46° 21	44° 36	45
III	46 11	47 41	45° 17	45° 48	46 14

Der wahrscheinliche Fehler von A schwankt bei den einzelnen Messungen von 0,056 bis 0,011 was einem wahrscheinlichen Fehler von θ von 1° 30′ bis 17′ entsprechen würde; im Durchschnitt beträgt der letztere 50′. Da jedoch die Schwankungen schon bei Tropfen von derselben Größe und im luftleeren Raume so groß sind, so war nicht zu erwarten, daß man mit Tropfen von verschiedener Größe und im lufterfüllten Raume andere Resultate erhalten würde. Zahlreiche Versuche haben diese Vermuthung bestätigt. Die Messungen an größeren Tropfen haben dieselben Schwankungen und selbst für verschiedene Seiten eines Tropfens verschiedene Werthe von θ ergeben, wie z. B. die Messungen an einem größeren Tropfen zeigen, dessen Berührungskreis mit der Glasplatte einen Durchmesser von 3^{mm} ,768 hatte.

				25	
		•	Diff.	0,17 0,17 0,19 0,13 0,12 0,00 0,15	0,146
	rechts		ber.	0,93 1,93 3,01 4,17 6,73 6,73 8,12 9,60	135
		8	beob.	1,42,40,89,11	410 33,
			Diff.	0,03 0,03 0,03 0,04 0,04 0,05	101'0
	links		ber.	0,93 1,92 1,92 6,60 1,94 10,83	1,1
		'n	beob.	0,28,4,6,0,0,0,0,0,0,0,0,0,0,0,0,0,0,0,0,0,0	410 47
			Diff.	1 0,0,0,0,0,0,0,0,0,0,0,0,0,0,0,0,0,0,0,	060'0
	rechts		ber.	1,00 3,28 3,28 3,28 7,44 9,03 10,71	,76
		4	beob.	1.2 8.4 8.7 8.5 1.0 1.0 1.0 1.0 1.0 1.0 1.0 1.0 1.0 1.0	.P6 0EF
No. 5.	=		Diff.		0,102
	links		ber.	1,01 2,18 3,33 3,33 7,77 7,05 9,38 9,38	161
		'n	beob.	1.48.4.7.8.9.1	460 17
			Diff.	0,0,0,0 0,0,0,0,0 0,0,0,0,0,0,0,0,0,0,0	6,113
	rechts		ber,	0,92 1,95 3,08 4,32 7,21 8,67 10,33	90
		'n	beob.	0.01.40.1.801	400 59,
	-		Diff.	- 0.24 0,03 0,01 0,01 - 0,07 - 0,06	0,107
	links		ber.	8,7,7 8,7,7 6,91 1,29 9,56 9,90	à
		y	beob.	1,1 8,2,8,4,4,6,0 10,0,0,0,0,0,0,0,0,0,0,0,0,0,0,0,0,0,	30 0 48

•

-

Der wahrscheinliche Fehler von θ beträgt bei diesen Messungen etwa 30', und die Temperatur schwankte zwischen 15°,7 bis 16°,9 C., während der Luftdruck 4°,8 Quecksilber betrug. Die Messungen I. II. III. wurden gleich nach dem Auflegen der Tropfen und Evacuiren, 14 und 36 Stunden später gemacht.

Für dasselbe aus Quecksilberoxyd dargestellte Quecksilber gaben 31 Beobachtungsreihen an 13 Tropfen im Mittel $\theta = 44^{\circ}.39'$

und nahe denselben Werth ergaben zahlreiche Messungen an Quecksilber, das aus gewöhnlichem Quecksilber durch Behandlung mit concentrirter Schweselsäure erhalten war.

7

Ich schob den Mangel eines constanten Resultates auf die Ungenauigkeit der angewandten Methode und benutzte deshalb ein Verfahren, mittelst dessen ich zugleich entscheiden konnte, ob die Constante H, die Anziehung der Quecksilbermolectile auf sich selbst denselben Werth behielt. Da ja die Capillaritätserscheinungen durch so unmerkliche Ursachen beeinflufst werden, so konnte wohl die von Poggendorff so wahrscheinlich gemachte Oxydation des Quecksilbers die von Hagen beobachtete Aenderung von H hervorgerufen haben.

Auf den Rath des Hrn. Professor Neumann befolgte ich dabei folgende Methode.

Es sey K der höchste Punkt der Oberstäche eines Quecksilbertropfens (Fig. 1 Taf. I) der auf einer horizontalen Glasplatte EE' liegt. Da der Tropfen ein Rotationskörper ist, betrachte ich nur den verticalen Querschnitt, durch dessen Drehung er entstanden gedacht werden kann. OK sey die verticale z, OE die horizontale x Axe. Die Punkte K Kund k haben die resp. Ordinaten

$$x=0$$
 $x=r$ $x=l$
 $z=K$ $z=K'$ $z=k$

Der Krümmungsradius der Obersläche in K ist constant $= \mu$. In einem Punkte R der Obersläche mit dem Coordinaten x s sind R und R' der größte und kleinste Krüm-

mungshalbmesser. Wenn der Gleichgewichtszustand eingetreten ist, muß in R und K derselbe Druck seyn, und also nach dem ersten Heupttheorem, da sich die Constanten K der Gleichung 1) fortheben

$$\frac{H}{2}\left(\frac{1}{R}+\frac{1}{R}\right)=\frac{H}{2}\cdot\frac{2}{\mu}+(K-z)\cdot\varepsilon g\ldots(6)$$

wenn ϵ die Dichtigkeit des Quecksilbers und g die beschleunigende Kraft der Schwere bezeichnen. Setzt man wieder, wie oben

$$\frac{H}{\epsilon g} = a^2$$

so kann man die GL (6) auch schreiben 1):

$$\frac{\frac{d^2x}{dx^2}}{\left[1+\left(\frac{dx}{dx}\right)^2\right]^2}+\frac{\frac{1}{x}\frac{dz}{dx}}{\sqrt{1+\left(\frac{dz}{dx}\right)^2}}=2\left(\frac{K-x}{a}+\frac{1}{\mu}\right)...(7)$$

Diese Gleichung mit ds multiplicirt, und von z bis K integrirt, giebt, wenn man berücksichtigt, dass die Wurzelgröße mit $\frac{dz}{dz}$ ihr Zeichen ändern muss,

$$1 - \frac{1}{\sqrt{1 + \left(\frac{dx}{dx}\right)^2}} + \sqrt{\frac{\frac{dx}{x} \frac{dx}{dx}}{\sqrt{1 + \left(\frac{dx}{dx}\right)^2}}} = \left(\frac{K - x}{a} + \frac{a}{\mu}\right)^2 - \frac{a^2}{\mu^2}$$

oder

$$1 + \frac{a^{4}}{\mu^{2}} + \frac{1}{\sqrt{1 + \left(\frac{dz}{dx}\right)^{2}}} + \int_{-\infty}^{\infty} \frac{\frac{dx}{x} \frac{dx}{dx}}{\sqrt{1 + \left(\frac{dz}{dx}\right)^{2}}} = \left(\frac{K - x}{a} + \frac{a}{\mu}\right)^{2}$$
 (8)

Wenn man in dieser Gleichung z = k setzt, und berücksichtigt, dass für z = k der Ausdruck $\frac{1}{\sqrt{1 + \left(\frac{dz}{dz}\right)^2}}$ verschwin-

det, so geht die Gleichung über in

1) Poisson, nouv. théor. p. 282 oder Laplace, méc. cél. IV, p. 411.

$$1 + \frac{a^2}{\mu^2} + \int_{k}^{K} \frac{\frac{dx}{x} \frac{dx}{dx}}{\sqrt{1 + \left(\frac{dx}{dx}\right)^2}} = \left(\frac{K - k}{a} + \frac{a}{\mu}\right)^2$$

oder

$$a = \frac{K - k}{\sqrt{1 + \frac{a^2}{\mu^2} + \int_{-k}^{K} \frac{\frac{dz}{x} \frac{dz}{dx}}{\sqrt{1 + (\frac{dz}{dx})^2}}} - \frac{a}{\mu} \cdot \dots (9)$$

Um in dieser Gleichung das Integral $\int_{1}^{R} zu$ bestimmen, theilen wir es in 2 Theile von k bis K' und von K' bis K. In der Gleichung (8) ist das Integral $\int_{1}^{R} zu$ vernachlässigen für das seitliche Stück der Curve von z = 0 bis z = K', da

$$\frac{\frac{dz}{dx}}{\sqrt{1+\left(\frac{dz}{dx}\right)^2}} = \sin (s, x), \text{ wenn } s \text{ den Bogen der Curve be-}$$

zeichnet, immer eine Größe < 1 ist, und $\frac{dz}{x}$ immer sehr klein ist, sobald x gehörig groß ist. Die Gleichung (8) geht dann über in

$$-\frac{1}{\sqrt{1+\left(\frac{dz}{dx}\right)^{2}}} = \left(\frac{K-z}{a} + \frac{a}{\mu}\right)^{2} - 1 - \frac{a^{2}}{\mu^{2}} = \cos(s, x)$$

Daraus ergiebt'sich

 $\sin (s, x) = \sqrt{\left[\left(\frac{K-z}{a} + \frac{a}{\mu}\right)^2 - \frac{a^2}{\mu^2}\right]\left[2 - \left(\frac{K-z}{a} + \frac{a}{\mu}\right)^2 + \frac{a^2}{\mu^2}\right]}$ oder wenn man, da μ immer sehr groß im Verhältnißs zu a seyn soll, $\frac{a^2}{\mu^2}$ vernachlässigt

$$\sin(s,x) = \frac{\frac{dx}{dx}}{\sqrt{1 + \left(\frac{dx}{dx}\right)^2}}$$

$$= \left(\frac{K - x}{a} + \frac{a}{\mu}\right)\sqrt{2 - \left(\frac{K - x}{a} + \frac{a}{\mu}\right)^2} \dots (10)$$

und daraus folgt dann

$$\int_{1}^{2^{k}} \frac{\frac{dx}{x} \frac{ds}{dx}}{\sqrt{1+\left(\frac{dz}{dx}\right)^{2}}} = \frac{a}{3\lambda} \left[\left\{ 2-\left(\frac{K-z}{a}+\frac{a}{\mu}\right)^{2}\right\}^{\frac{3}{2}}\right]_{z}^{K} \dots (11)$$

wo λ eine Größe zwischen l und r bedeutet. In dieser Gleichung dann k für z gesetzt, giebt

$$\int_{K}^{K'} \frac{\frac{dz}{z} \frac{dz}{dz}}{\sqrt{1 + \left(\frac{dz}{dz}\right)^{2}}} = \frac{a}{3\lambda} \left\{ \left[2 - \left(\frac{K - K'}{a} + \frac{a}{\mu}\right)^{2} \right]^{\frac{3}{2}} - \left[2 - \left(\frac{K - k}{a} + \frac{a}{\mu}\right)^{2} \right]^{\frac{3}{2}} \right\} \dots (12)$$

Um das f zu finden geht man auf die Gleichung (7) zurück, dann ist

$$\int_{K'}^{K} \frac{\frac{dx}{x} \frac{dx}{dx}}{\sqrt{2 + \left(\frac{dz}{dx}\right)^{2}}} = -\int_{K'}^{K} \frac{\frac{d^{3}x}{dx^{3}} dx}{\left[1 + \left(\frac{dz}{dx}\right)^{2}\right]^{\frac{3}{2}}} + 2\int_{K'}^{K} \left(\frac{K - x}{a} + \frac{1}{\mu}\right) dz \dots (13)$$

Wenn man dann die $\frac{3}{4}$ Potenz nach Potenzen von $\frac{dz}{dz}$ entwickelt, und integrirt, so erhält man

$$\int_{K'}^{K} \frac{\frac{dx}{x} \frac{dx}{dx}}{\sqrt{1 + \left(\frac{dx}{dx}\right)^{2}}} = -\left[\frac{1}{2} \left(\frac{dx}{dx}\right)^{2} - \frac{1 \cdot 3}{2 \cdot 4} \left(\frac{dx}{dx}\right)^{4} + \dots\right]_{K'}^{K} + \left(\frac{K - K'}{a}\right)^{2} + 2\frac{K - K'}{\mu}$$

da nun für

$$z = K$$
 $\frac{dz}{dx} = 0$

ist, so wird

$$\int_{K'}^{K} \frac{\frac{dz}{x} \frac{dz}{dx}}{\sqrt{1 + \left(\frac{dz}{dx}\right)^{2}}} = \frac{1}{2} \left(\frac{dz}{dx}\right)^{2} - \frac{3}{8} \left(\frac{dz}{dx}\right)^{4} \\ + 2 \cdot \frac{K - K'}{\mu} + \left(\frac{K - K'}{a}\right)^{2}$$

wo die höheren Potenzen von $\frac{dx}{dx}$ als die vierte vernachlässigt sind, da tg (s,x) für den größten Theil der Curve von K' bis K einen sehr kleinen Werth hat; wobei aus der Gl. (10) folgt

$$\left(\frac{ds}{dx}\right)^{2}_{s=K} = \frac{\left\{2 - \left(\frac{K - K'}{a} + \frac{a}{\mu}\right)^{2}\right\} \left\{\frac{K - K'}{a} + \frac{a}{\mu}\right\}^{2}}{\left\{1 - \left(\frac{K - K'}{a} + \frac{a}{\mu}\right)^{2}\right\}^{2}} \cdot \dots (14)$$

Es wird darnach also der ganze Werth des Integrals in der Gleichung (9)

$$\int_{k}^{K} \frac{\frac{dx}{x} \frac{dx}{dx}}{\sqrt{1 + \left(\frac{dx}{dx}\right)^{2}}} = \frac{a}{31} \left\{ \left[2 - \left(\frac{K - K}{a} + \frac{a}{\mu} \right)^{2} \right]^{\frac{3}{2}} - \left[2 - \left(\frac{K - k}{a} + \frac{a}{\mu} \right)^{2} \right]^{\frac{3}{2}} \right\} + \frac{1}{2} \left(\frac{dx}{dx} \right)^{2} - \frac{3}{8} \left(\frac{dx}{dx} \right)^{4} = \frac{2}{8} \cdot \frac{K - K'}{\mu} + \left(\frac{K - K'}{a} \right)^{2} \cdot \dots$$
(15)

wo für $\left(\frac{dx}{dx}\right)^2$ sein Werth aus der Gl. (14) zu setzen ist.

In der Gleichung (9) sind also, wenn KK'kl und r gemessen sind, alle Größen mit Ausnahme von a, das bestimmt werden soll, und von μ bekannt. Den Krümmungsradius an der Tropfenspitze μ habe ich nach der von Poisson ') gegebenen Formel berechnet, da der Werth von a angenähert bekannt war:

¹⁾ Poisson, nouv. théor. p. 216.

$$\mu = \frac{a(1+\sqrt{2})}{4\sqrt{\pi\sqrt{2}}}\sqrt{\frac{a}{l'}}e^{\frac{l'}{a}\sqrt{2}}$$

wo $l = l + (\sqrt{2} - 1)a$ ist oder

$$\mu = 2,8634 \ a \sqrt{\frac{a}{l'}} e^{\frac{l'}{a} \sqrt{2}}$$

$$l' = l + 0,41421 \ a$$

Aus der Gleichung (9) kann man also mit Hülfe von (14), (15) und (16) a finden, das angenähert = K - k. Das Correctionsglied wird um so kleiner seyn, je größer der Tropfenradius l ist.

Aus der Gleichung (8) folgt ferner

$$\frac{1}{1-\sqrt{1+\left(\frac{dz}{dx}\right)^2}} = \left(\frac{K-z}{a} + \frac{a}{\mu}\right)^2 - \frac{a^2}{\mu^2} - \int_{z}^{\infty} \frac{\frac{dz}{x} \frac{dz}{dx}}{\sqrt{1+\left(\frac{dz}{dx}\right)^2}}$$

und da für z = 0

$$-\frac{1}{\sqrt{1+\left(\frac{d\pi}{dx}\right)^2}}=\cos\theta$$

$$1 + \cos \theta = \left(\frac{K}{a} + \frac{a}{\mu}\right)^2 - \frac{a^2}{\mu^2} - \int_{0}^{K} \frac{dx}{x} \frac{dx}{dx} \cdot \dots (17)$$

wo dann, wie aus den Gleichungen (11) und (13) folgt, ist:

Die Tropfen wurden bei der Beobachtung wie früher auf den horizontalen Glastisch gelegt, die Glasglocke darüber gesetzt, und mit dem Kathetometer KkK'r und l gemessen. Das Mikroskop Q (Fig. 11 und 13 Taf. I), mit dem die Tropfen beobachtet wurden, hatte dabei eine etwa 16 malige Linear-Vergrößerung.

Wenn die Tropfen groß sind, so ist es schwer auf die Spitze des Tropfens das Mikroskop einzustellen. Deshalb ließ sich in dem Kork der Oeffnung L (Fig. 5 Taf. I) ein Stahlstab luftdicht verschieben, der unten in eine feine Spitze endigte. Zwischen dem Bilde dieser Spitze im Quecksilbertropfen und der Spitze selbst wurde dann das Fadenkreuz des Mikroskops eingestellt. K' und k lassen sich besser messen, weil hier die Krümmung der Tropfenobersläche sich schneller ändert, und das Mikroskop sich besser einstellen läßst.

Bei den Messungen zeigte sich nun aber der Uebelstand, dass der Tropsen keine Gleichgewichtslage annimmt, sondern seine Gestalt sortwährend ändert, indem K und k kleiner, K' aber größer wird. Es bedingt das eine Abnahme der Constante a. Die Abnahme ist kurz nach dem Auslegen der Tropsen sehr schnell, später langsamer und dauert ofTage. Das Quecksilber wird dabei auch schwer beweglich: Eindrücke auf seiner Obersläche verschwinden äuserst langsam und Erschütterungen, die in einem bewohnten Hause nicht zu vermeiden sind, verrücken plötzlich die Gestalt, so dass a wieder einen größeren Werth erhält, um von neuem abzunehmen.

Es findet diess statt, mag man reines Quecksilber, das mit reiner Chlorwasserstoffsäure und destillirtem Wasser behandelt worden ist, in der Wärme oder nur durch Filtriren und über concentrirter Schwefelsäure getrocknet haben. Bei den vielen von mir angestellten Versuchen scheint freilich Quecksilber, das nicht durch Anwendung der Wärme getrocknet worden ist, für a einen größeren Werth zu ergeben.

Der Werth der Constante a fiel demzufolge kleiner aus, wenn die Tropfen im luftverdünnten Raume gemessen wur-

den, weil zwischen dem Auflegen und Messen immer eine gewisse Zeit wegen des Auspumpens der Luft verstreichen mußte. Ich maß daher die Tropfen unmittelbar nach dem Auflegen im lufterfüllten trockenen Raume. Um zu zeigen, mit welcher Schnelligkeit die Constante a abnimmt, lasse ich zwei Messungen an einem Tropfen von 13,014 Grm. Gewicht folgen, die unmittelbar nach dem Auflegen und fünf Minuten später, nach dem Evacuiren, gemacht wurden.

Temp. 16°,3 C.

No.	K	k	K-k	K'	K—K'	•	ı	a	B
1. 2.	3,689 3,622	0,810 0,874	2,879 2,748	1,798 1,798	1,891 1,824	9,894	10,222	2,941 2,816	57° 43′ 51 37

Bei der Rechnung wurde λ als das arithmetische Mittel von l und r angenommen. Man sieht, daß a in der kurzen Zeit von fünf Minuten um den 25^{4m} Theil seines Werthes abgenommen hat. Der Winkel θ hat sich von 57° 43' in 51° 37' umgeändert, doch halte ich diese Methode ihn zu bestimmen nicht für genauer als die frühere Interpolationsmethode. Ein Fehler um eine Einheit in der zweiten Decimale von a ist wegen der schnellen Aenderung der Gestalt des Tropfens sehr leicht möglich, ebenso in K, und dießs würde schon für θ eine Aenderung von fast 2° bedingen. Dazu kommt noch der Einfluß der Correctionsglieder, der hier bedeutender als bei der Bestimmung von a ist.

8.

Ich glaubte, dass diese schnelle Aenderung von a durch eine Oxydation des Quecksilbers hervorgebracht seyn könnte, und habe deshalb die Tropsen in den lustleeren Raum gelegt. Dazu wurde in das Loch L (Fig. 5 Tas. I) der Glasplatte F ein Kork lustdicht eingepasst, durch welchen ein Glasrohr von engem Caliber lustdicht hindurchging, das oben in einen Trichter M endigte. An der Stelle, wo der Trichter an das Glasrohr anschloss, war ein Glasstab eingeschliffen. Der Trichter M wurde mit Quecksilber gefüllt, dann die Glocke evacuirt, und man kann nun durch Lüsten

1

des Glasstabes beliebige Mengen Quecksilber durch das enge Glasrohr auf den Glastisch P fließen lassen. Das Beobachtungsmikroskop wurde zwischen der Spitze des Glasrehrs L und dem Bilde dieser Spitze in der Kuppe des Quecksilbertropfens eingestellt; oder es war ein ganz dünner Platindraht an das Glasrohr angeschmolzen, der als Spitze benutzt wurde. Durch Verschieben des Glasrohrs im Kork konnte man die Spitze dem Tropfen beliebig nähern und entfernen. Das Quecksilber kam auf diese Weise nur mit seinem unbenutzten Theile mit der Atmosphäre in Berührung, und da der Glastrichter M und das Glasrohr L leicht mit concentrirter Schwefelsäure und Wasser gereinigt werden konnten, so konnte das Quecksilber auch nicht durch fremde Stoffe verunreinigt werden. Der Versuch zeigte, dass der Apparat mehrere Tage vollkommen luftdicht hielt. Es trat aber auch bei dieser Methode eine schnelle Gestaltsveränderung der Tropfen ein, und die Constante a nahm ab, wie in der atmosphärischen Luft. Durch diese schnelle Abnahme, die später langsamer wird, aber noch nach 10h und länger merklich ist, erklären sich auch die verschiedenen Werthe von a, die ich bei zahlreichen Messungen an verschiedenen Tropfen von demselben Quecksilber erhalten habe.

So ergaben Messungen an einem Tropfen, dessen Gewicht 21.4967 Grm. war

Temp. = 18° C.

Np.
$$K$$
 k $K-k$ K' $K-K'$ I r a θ

1. $\begin{vmatrix} \frac{r_{min}}{3},679 \end{vmatrix} 0,870 \begin{vmatrix} 2,809 \end{vmatrix} 1,848 \begin{vmatrix} 1,831 \end{vmatrix} 13,111 \begin{vmatrix} 12,75 \end{vmatrix} 2,833 \begin{vmatrix} 49^{\circ} 13' \end{vmatrix}$

An einem anderen Tropfen, der nicht gewogen wurde.

	Temp. = 15° C.										
No.	K	k	K-k	K'	K-K'	ı	r	u	θ		
1. 2.	3,660 3,620	0,913 0,910	2,747 2,710	1,882 1,949	1,778 1,671	14,51	14,01	2,772 2,616	45°45′ 36 46		

Zwischen diesen beiden Messungen No. 1 und 2 war eine Zeit von 15 Minuten verflossen, und in dieser Zeit war wieder der Werth von a von 2,77 auf 2,62 gesunken. Während die Messungen an dem ersten Tropfen a=2,83 ergaben, giebt der zweite Tropfen 2,77 und doch sind beide Messungen gleich nach dem Auflegen der Tropfen in den luftleeren Raum gemacht worden. Die Barometerprobe gab bei beiden Tropfen etwa 8^{nm} Druck.

Um zu zeigen, wie a abnimmt, gebe ich die Werthe von K—k an einem Tropfen, der ebenfalls in den luftleeren Raum gelegt war, resp. 0', 5', 10' und 180' nach dem Auflegen:

2⁻⁻⁻,797 2,777 2,688 2,661.

Da die von mir benutzte Luftpumpe nur bis auf 8mm Quecksilberdruck auspumpte, so glaubte ich, dass die geringe Menge atmosphärische Luft, die in der Glocke zurückblieb. noch eine Oxydation des Quecksilbers bewirken könnte. Ich brachte daher, nachdem die Glocke evacuirt und der Hahn D (Fig. 4 und 5 Taf. I) geschlossen worden war, statt des Glasrohrs E, das zur Luftpumpe führte, ein anderes enges Glasrohr an, das am anderen Ende durch ein weiteres daran angeschmolzenes Glasrohr geschlossen war. Die Erweiterung war mit frisch geglühter Kohle gefüllt. nete ich nun wieder den Hahn D, so trat die Lust aus dem Kohlenrohr in die Glocke F, und die Barometerprobe gab ietzt einen Druck von 38^{mm}. Die Kohle in dem Röhrchen wurde dann mit einer Alkoholflamme längere Zeit erhitzt. bis man sicher seyn konnte, dass der Sauerstoff in der Glocke vollständig verzehrt war. Die Temperatur konnte dabei natürlich nur so hoch gesteigert werden, dass das Glas des Kohlenrohrs nicht weich wurde und schmolz. diesen so von Sauerstoff befreiten Raum liess ich dann, nachdem der Hahn D wieder geschlossen worden, das Quecksilber hineinfließen, und beobachtete dieselbe Aenderung der Constante, wie folgende Tabelle zeigt:

36

Temp. = 17° ,1 C.

!			Kk				r	a .	θ
1.	3,655 3,544	0,872 0,878	2,783 2,666	1,799 1,898	1,856 1,646	14,355	13,99	2,850 2,584	51°24′ 40

Der Tropfen wog 27⁵⁷,8452. Die Constante a hat also in 5 Minuten, die die beiden Beobachtungsreihen auseinander liegen, von 2,85 bis 2,58 abgenommen, und ebenso hat sich θ geändert. Die Aenderung ging auch hier wie in atmosphärischer Luft vor sich.

9.

Da die Werthe der Constante a von den verschiedenen früheren Beobachtern mit verhältnissmässig geringen Abweichungen gegeben werden, und bis auf mehrere Decimalen genau, so habe ich von den früher angewandten Methoden diejenigen wiederholt, die mir am zuverlässigsten schienen, d. h. ich habe Quecksilbertropfen mit sehr großem Durchmesser gemessen. Ich habe dabei die Methode gebraucht. eine Spitze mit meinem Kathetometer messbar zu verschieben und sie dem Tropfen oder der Glasunterlage desselben so lange zu nähern, bis Spitze und Bild sich berührten. Diese Methode erlaubt aber nicht k sehr genau zu messen. Man kann diess noch am besten, wenn man eine helle Fläche. z. B. einen Papierstreifen mit verticaler Gränze gegen dunkelen Hintergrund in dem Tropfen spiegeln lässt. Alsdann sieht man diese verticale Linie gekrümmt in dem Tropfen gespiegelt, etwa wie eine Parabel, und beobachtet nun, wenn Spitze, Bild der Spitze und der Scheitel der Parabel in einer horizontalen Ebene liegen. So lässt sich k etwa auf 0 n.01 genau messen, während die Genauigkeit der Messung der Tropfenkuppe und des Tischniveaus wohl 0mm,005 erreicht. Ich habe deshalb später wieder vorgezogen das Fadenkreuz des horizontalen Mikroskops des Kathetometers (dessen Vergrößerung wegen der größeren Objectweite aber schwächer seyn musste) zwischen einer genäherten Spitze und dem Bilde der Spitze einzustellen,

Die Genauigkeit beträgt dann wohl 0mm,001, wenigstens wird man sich selten um diese kleine Größe irren.

Da es schwer, oder fast unmöglich ist, große Quecksilbertropfen so hinzulegen, dass sie Rotationsoberslächen bleiben, so ist das Gewicht bei denselben angegeben. Der Radius ist nur als Annäherung zu betrachten. Unterlage wurde eine große quadratische Glasplatte benutzt deren Seite 30cm betrug. Diese wurde mit einer Dosenlibelle horizontal gestellt, nachdem sie mit concentrirter Schwefelsäure und destillirtem Wasser gereinigt worden. Die Messungen mit dem Kathetometer gaben dann für die verschiedenen Stellen der Platte Höhen an, die höchstens um 0==,001 von einander differirten, so dass die Platte als eben angesehen werden kann. Die Messungen wurden in freier Luft angestellt. Bei I. II. und III. der folgenden Tabelle wurde käufliches Quecksilber angewandt, das mit concentrirter Schweselsäure gereinigt worden war, und ein Sp. G. von 13,595 bei 0° hatte. Bei No. IV wurde Quecksilber aus Quecksilberoxyd benutzt. Folgende Tabelle giebt für vier verschiedene Tropfen die Tropfendicke K, das Gewicht P, den Radius I, die Temperatur und den Werth der Constante a, wenn $\theta = 44^{\circ} 30'$ gesetzt wird. Die Constante a wurde nach der von Poisson 1) gegebenen Gleichung

 $K = a \sqrt{2} \cos \frac{\theta}{2} - \frac{a^2}{\mu} + \frac{a^2}{3l' \cos \frac{\theta}{2}} \left(1 - \sin^3 \frac{\theta}{2}\right)$

berechnet, wenn man das letzte Glied der rechten Seite mit dem näherungsweise bekannten Werth von a berechnet, wie er aus dem ersten Gliede allein folgt. μ wurde $= \infty$ angenommen.

No.	I.	II.	III.	1V.
K l P Temp. °C.	3mm,499 61mm,6 546er,53 16°,5 2,6434	3mm,467 unreg. 14445r,1 15°,6 2,6393	3mm,530 57mm,2 473er,05 16°,6 2,6270	3mm,498 51mm,8 369sr,18 18°,6 2,6373

¹⁾ Poisson, nous. théor. p. 217.

Es wurden also auch hier für α verschiedene Werthe erhalten, freilich unter der Voraussetzung, daß der Winkel θ derselbe gewesen. Bei einigen Tropfen habe ich auch k gemessen, und hier auch eine Abnahme von α gefunden. So ergaben für den Tropfen IV die Messungen, die unmittelbar nach dem Außlegen der Tropfen und fünf Minuten später gemacht worden sind, für K — k die Werthe 27,659 und 27,597.

10.

Ich habe dieselben Versuche in Wasser wiederholt. Es wurde dazu aus möglichst reinen und ebenen Glasplatten um die große Glasplatte, die zu den eben beschriebenen Versuchen gedient hatte, ein Rand von 30mm Höhe gekittet, so dass ein viereckiger Kasten mit senkrechten Glaswänden entstand, in den man mit dem horizontalen Mikroskop hineinsehen konnte. Der Boden des Glaskastens wurde mit einer Dosenlibelle horizontal gestellt, mit Chlorwasserstoffsäure und Wasser gereinigt, und 20mm hoch mit Wasser gefüllt, so dass der Boden vollkommen benetzt war. Auf diesen Boden wurden dann die Tropfen gelegt. Es hat große Schwierigkeiten, wegen der geringen Reibung des Quecksilbers im Wasser und wegen der kleinen Unebenheiten der horizontalen Glasplatte, Tropfen von beträchtlicher Größe an eine bestimmte Stelle zu bringen und sofort zu messen, da dann das Mikroskop nicht einsteht. Ich habe mich deshalb mit Messungen an einigen Tropfen begnügt, da auch hier eine Abnahme der Constante a bemerkt So gaben die Messungen an einem Tropfen von etwa 30mm Radius:

Temp. = 15° , 1 C.

No.	K	k	K-k	a
1. 2. 3. 4.	3,492 3,370 3,360 3,350	0,979 0,977	2,514 2,393	2,469 2,383 2,376 2,269

wobei die einzelnen Beobachtungsreihen etwa 10 Minuten auseinander liegen. Der Werth von a wurde berechnet indem man $\theta = 0$ annahm, also

$$K = a / 2$$

setzte nach der Gl. (3.) Der Werth von a bei der ersten Messung ist bedeutend kleiner als ihn die früheren ergaben, weil längere Zeit zwischen dem Hinlegen und Messen verstrichen war.

Obwohl alle diese Versuche eine schnelle Aenderung der Constante a ergaben, und es also nicht wahrscheinlich war, dass trotzdem eine Oxydation des Quecksilbers diese Acaderung hervorgerusen haben sollte, so habe ich schließhich noch in Chlorwasserstoffsaure die Dicke von Quecksilbertropfen gemessen. Die verticale Wand des Glaskastens. in welchem sich die Säure befand, wurde von einem geschliffenen Oertling'schen Planglase gebildet, und der Tropfen lag auf einer Glasplatte, die mit concentrirter Schwefelsaure und destillirtem Wasser gereinigt, und dann mit der Platinzange in die Chlorwasserstoffsäure gelegt worden war. Die Glasplatte ruhte auf einem kleinen gläsernen Hufeisen mit drei Kugeln wie ich sie weiter unten beschreiben werde (Fig. 10 Taf. 1) und lag horizontal. Die folgende Tafel giebt die Tropfenhöhe K zu der entsprechenden Zeit nach dem Auflegen:

Temp. $=26^{\circ},2$ C.					•
Zeit	0'	5'	15'	604	540'
K	3mm,514	3,497	3,449	3,409	3,338

Der Durchmesser des beobachteten Tropfen war 39^{mm},4. Man sieht also auch hier, während $\theta = 0^{\circ}$ war, eine Abnahme der Tropfendicke und der Constante a.

11.

Obwohl also diese Aenderung von a jede genaue Bestimmung vereitelt und unzuverlässig macht, wäre es doch möglich, dass θ selbst constant bliebe. Die Bestimmungen

nach der vorigen Methode, die Coordinaten der Tropfenoberfläche zu messen und so a und θ zugleich zu finden, die für θ nicht sehr zuverlässige Werthe ergeben, zeigten jedoch auch hier eine Aenderung des Winkels θ an.

Ich habe daher & nach einer anderen Methode direct bestimmt, die eine weit größere Genauigkeit, als die früheren zulässt, und den Winkel direct abzulesen erlaubt. Man denke sich nämlich eine horizontale Glasplatte AC (Fig. 8 Taf. I) auf einen Quecksilbertropfen gelegt, der auf einer horizontalen Unterlage oder in einem Uhrslase ruht. Bei B soll der Tropfen die Platte berühren. BD sevidas letzte Element der freien Tropfenoberfläche, so dass DBA der Winkel 6 ist. der bestimmt werden soll. Von einem leuchtenden Punkte P falle ein Bündel paralleler Lichstrahlen auf B. Das in F. befindliche Auge des Beobachters wird dann in BC ein erstes Bild des leuchtenden Punktes sehen, das durch Reflexion von der Fläche AC entsteht. Die Lichtstrahlen des Punktes P werden aber auch von der Fläche BD reflectirt, und fallen auf einen Spiegel GH, der um eine Axe, senkrecht auf der Ebene der Zeichnung, drehbar ist. Steht GH parallel mit BD, so wird der Lichtstrahl P'P'' parallel mit PB reflectirt, und ein in F befindliches Auge wird zu gleicher Zeit das durch einmalige Reflexion entstandene erste Bild des Punktes P und ein durch dreimalige Reflexion entstandenes zweites Bild sehen. Es ist dabei vorausgesetzt, dass P und F von dem Tropfen gehörig weit entsernt sind, Ein anderes Element der krummen Quecksilberobersläche sey DE. Steht der Spiegel GH mit diesem Element DE parallel, so wird in F ebenfalls ein zweites Bild des leuchtenden Punktes zu sehen seyn. Wenn man dann den Spiegel GH dreht, so sieht man fortwährend ein zweites Bild des leuchtenden Punktes bis zu dem Augenblicke, wo der Spiegel GH parallel mit BD steht. Dreht man noch ein wenig weiter, so verschwindet das zweite Bild, und dieser Moment des Verschwindens lässt sich sehr scharf beobachten. Kennt man in diesem Moment die Neigung des Spiegels GH gegen die Horizontale, so hat man direct den Winkel θ .

Als leuchtenden Punkt benutzte ich nun die Flamme einer Argand'schen Lampe; das erste constante Bild in der horizontalen Fläche A C ist ebenso groß, wie die Flamme, das zweite variable Bild dagegen, welches am höchsten Rande des Tropfenbildes erscheint, sehr klein wegen der Krümmung der freien Quecksilberoberfläche. Beide Bilder unterscheiden sich also von einander durch ihre Größe und das zweite durch dreimalige Reflexion entstandene Bild, ist auf dem dunklen Grunde des ebenfalls von AC gespiegelten Spiegels GH scharf zu sehen. Das Auge des Beobachters wurde so gestellt, dass es mit der Mittellinie der Flamme und dem kleinen variabeln Bilde in eine Vertical-, ebene fiel. Der Spiegel GH war an einem Oertling'schen Goniometer befestigt, das der Berliner Universität gehört, und dessen Benutzung mir Hr. Prof. Magnus gütigst gestattet hatte.

Das Quecksilber befand sich in einem Apparate von ganz ähnlicher Construction wie Fig. 4 und 5 Taf. I, nur dass man durch eine Planplatte von oben in den luftleeren Raum sehen konnte. Die Glasplatte C (Fig. 4) war durch eine andere mit zwei Oeffnungen ersetzt, in welche ein Messinghahn, der zur Luftpumpe führte, und eine Barometerprobe eingekittet waren. Auf der Glasplatte stand dann ein oben und unten abgeschliffener niedriger Glascylinder luftdicht auf, der oben durch eine mattgeschliffene Glasplatte und eine Oertling'sche Planplatte geschlossen war. Auf der unteren Glasplatte, welche mit einer Dosenlibelle horizontal gestellt war, stand ein Glasdreifuss, der in Fig. 9 Taf. I in natürlicher Größe abgebildet ist. Oben trägt er ein kleines Glasschälchen A, dessen Rand eben geschliffen ist, so dass eine auf ihn gelegte Planplatte ebenfalls horizontal steht. An einer Stelle B ist der ebene Rand des Schälchens etwas ausgeschliffen, damit beim Evacuiren die zwischen Quecksilber und der Glaswand des Schälchens

. . . .

befindliche Luft entweichen kann. Das Schälchen konnte daher leicht mit concentrirter Schwefelsäure und destillirtem Wasser gereinigt werden, und wurde dann mit reinem Ouecksilber durch einen Trichter mit langem Glasfaden, (Fig. 2 Taf. I) fast gefüllt. Später, als ich die Reibung des Quecksilbers an den Wänden des Schälchens zu gross fand, habe ich auf das Planglas C Quecksilbertropfen gelegt, und diese mit einem zweiten horizontal liegenden Planglase bedeckt. Dieses zweite Planglas lag dabei auf einem kleinen gläsernen Hufeisen, das in Fig. 10 Taf. I in natürlicher Größe dargestellt ist. An einem dünnen Glassaden sind drei kleine Glaskugeln von gleicher Größe angeschnolzen, so dass das obere Planglas mit dem unteren, als Tisch dienenden, parallel steht. Das blosse Auge unterscheidet schon ziemlich genau, ob die Kugeln gleich groß sind und kleine Fehler lassen sich leicht durch Schleifen beseitigen. Da alles diess von Glas war und leicht herausgenommen, gereinigt, und mit einer reinen Platinzange wieder hineingelegt werden konnte, so kam das reine Quecksilber mit keiner fremden Substanz, die es hätte verunreinigen können, in Berührung!). In dem Raume, der evacuirt werden konnte, befand sich noch ein kleines Gefäs mit reiner concentrirter Schwefelsäure, um ihn trocken zu erhalten.

An dem Goniometer befanden sich zwei Fernröhre, die um die Axe des Instruments messbar gedreht werden konnten. Mit einem Quecksilberniveau wurde die Axe des Instruments genau horizon al und dann die beiden Fernröhre so eingestellt, dass das vom Quecksilberniveau gespiegelte Fadenkreuz des einen von dem des anderen gedeckt wurde. Nachdem das Quecksilberniveau entsernt worden, konnte ein kleiner Stahlspiegel mit planparallelen Seiten an der

¹⁾ Es ist dabei freilich zu bemerken, dass bei allen Versuchen im lustleeren Raume Fett in der Nähe war, mit dem die Glocken lustdicht auf die mattgeschlissenen Glasplatten ausgesetzt wurden, und dass der Raum ossenbar mit dem Dampse dieses Fettes erfüllt war. Ich glaube jedoch nicht, dass man nach meinen Versuchen diesen Fettdämpsen einen Einsluss aus die Veränderlichkeit von a und 0 zuschreiben kann.

Axe des Instruments befestigt, und so gestellt werden, dass wieder das von ihm reslectirte Fadenkreuz des einen Fernrohrs auf das des anderen siel. Dann stand der Stahlspiegel horizontal und konnte nun um einen Winkel mit der Axe gedreht werden, der sich an dem Verticalkreise des Instruments bis auf 0',25 ablesen liefs.

Obwohl der Dreifuls, (Fig. 9 Taf. I) geschliffen war, so stand die Planplatte C doch nicht ganz horizontal, zumal die durchbohrte Glasplatte, die den ganzen Apparat trug, nur mit einer Dosenlibelle horizontal gestellt war. Fehler, der hieraus entstand, erfordert eine kleine Correction, und diese wurde dadurch erhalten, dass man das Bild einer Argan d'schen Lampe einmal von der Platte A C (Fig. 9 Taf. I) in das Fernrohr reflectiren liefs, und dann von einer horizontalen Wassersläche C. Die gemessene Verrückung des Fernrohrs war der doppelte Winkel, den die Planplatte mit der Horizontalen machte, und überstieg sehr selten 45'. Die Genauigkeit der einzelnen Beobachtungen von 6 mag etwa 5' bei meinen Versuchen betragen haben; doch könnte man sie noch viel weiter treiben, wenn man das Bild der Argand'schen Lampe auf eine Linse von kurzer Brennweite fallen liesse, um einen kleineren leuchtenden Punkt zu erhalten und die vom Quecksilber reflectirten Bilder durch ein parallel mit sich selbst verschiebbares Fernrohr mit Fadenkreuz beobachtete.

Die Beobachtungen selbst, in freier Luft wie im luftleeren Raume haben nun aber durchaus keinen constanten Werth für den Winkel θ ergeben, sondern ebenfalls Aenderungen, wie sie die Constante a zeigt, nur dass sich der Winkel weit genauer bestimmen lässt. Zuweilen ist der Berührungskreis des Quecksilbers mit der oberen Platte nicht scharf begränzt, sondern zackig, und dann erscheinen mehrere kleinere Lampenbilder, die zu verschiedener Zeit verschwinden. Diese Beobachtungen wurden natürlich verworfen.

Obwohl alle Glasplatten auf dieselbe Weise mit concentrirter Schweselsäure und destillirtem Wasser gereinigt und getrockniet waren, wie früher, so habe ich verschiedene Werthe erhalten wenn dieselbe Platte zu verschiedenen Malen nach einander aufgelegt wurde, so dass der Winkel durch die Art des Auslegens modificirt zu werden scheint. Ich habe dies bei Platten von verschiedenem Glase und auch bei frisch gespaltenen Gypsplatten gefunden, bei welchen letzteren man eine Verschiedenheit der Oberstäche doch nicht annehmen kann. Die angewandten Gypsplatten wurden mit polarisirtem und reslectirtem Lichte untersucht, und konnten als gleichmäsig dick und eben angesehen werden. Es trat diese Verschiedenheit häusiger ein, wenn sich das Quecksilber in dem Schälchen als wenn es sich auf der Glasplatte befand, vielleicht weil in ersterem Falle die Reibung größer war. Manchmal wird der Winkel θ sogar so groß, dass die Einrichtung der Apparate ihn nach der Reslexionsmethode nicht mehr zu messen erlaubte.

An der Glasplatte die auch zu den Messungen mit der Interpolationsmethode benutzt worden war, und die sich in trockenem Raume bei gewöhnlichem Lustdruck befand, ergaben sich folgende Werthe für θ bei 17°,5 C.:

38° 17′ 39° 19′ 39° 49′.5 40° 2′.5.

Die Messungen folgten in Zwischenräumen von einigen Minuten auf einander, und das Quecksilber befand sich in dem Schälchen.

An einer frisch gespaltenen Gypsplatte wurde unter denselben Verhältnissen gefunden θ

42° 54′ 42° 37′ 42° 21′.

Nachdem sie von neuem aufgelegt war

40 ° 44' 41° 41° 8

Andere Messungen an einem Quecksilbertropfen von 3^{sr},2559 zwischen zwei horizontalen Planplatten, die um 2^{mm},384 von einander entfernt waren, ergaben folgende Zahlen: Die erste Columne giebt dabei die Zeit, vom Auflegen der Tropfen und der oberen Glasplatte an gerechnet, in Stunden, die zweite den beobachteten Werth von θ , die dritte die Temperaturschwankungen und den Barometerstand p, da der Apparat nicht ganz dicht war.

Zeit ,	θ	Temp. ° C.	Zeit	0	Temp. • C.
0h 1 3 ,75 9 13 23 ,75 29 ,75 33 ,75 46 ,25	31° 4′,5 32° 43′ 34° 39′,5 35° 6′,5 38° 44′ 41° 8′ 41° 42′,5 42° 3′ 42° 46′	20°,98 p = 12mm,2 p = 30mm,4 p = 74mm 22°,52	46 ^b ,75 47 ,75 49	stofsen 38° 41' 41° 34' 42° 21' 39° 1' 39° 42' 40° 7'	24*,48

Dasselbe ergaben Messungen an Gypsplatten, von denen ich folgende anführe.

$p=12^{mn}$			
θ	Temp. • C.		
48° 26′	26°,4		
	25•,9		
	θ		

Man sieht auch hier unregelmäßige Aenderungen, die durch zufällige Erschütterungen im Hause oder durch Fahren auf der Straße hervorgebracht seyn mögen. Im Allgemeinen zeigen meine zahlreichen Versuche, daß der Winkel θ mit der Zeit zu wachsen scheint, bis eine zufällige Erschütterung ihn plötzlich ändert.

Im Allgemeinen schwankt θ zwischen 38° und 45° bei demselben Quecksilber und derselben Platte, mag diese letztere von verschiedenem Glas oder Gyps seyn, mag das Quecksilber frisch mit Chlorwasserstoffsäure und destillirtem Wasser gereinigt seyn oder nicht, und mag es mit Anwendung von Wärme getrocknet soyn oder nicht.

Bei einigen Versuchen wurde für θ auch ein bedeutend größerer Werth gefunden. So bei einer mit concentrirter Schwefelsäure und destillirtem Wasser gereinigten Glasplatte

in trockner Luft	57° 59′
nach dem Evacuiren	52° 52'
nachdem der Apparat angestofsen	47° 40′
und bald darauf wieder	52 °

Dieselben Aenderungen und Unregelmäsigkeiten ergaben kleine Tropfen. Bei diesen würde die spiegelnde Fläche BC (Fig. 8 Taf. I) zu klein gewesen seyn, und deshalb wurde die Glasplatte mit einem silbernen Spiegel belegt nach dem von Faraday 1) beschriebenen Petitjean'schen Verfahren. Ein Theil der Belegung wurde dann mit Salpetersäure entfernt, und die Platte mit destillirtem Wasser, mit Alkohol, und wieder mit destillirtem Wasser gereinigt und getrocknet. Hier ergaben sich für Tropfen von gleicher Größe, die zu gleicher Zeit die Platte berührten, verschiedene Winkel, so z. B. fand ich bei einem Versuche, wo die einzelnen Tropfen 2m,5 Durchmesser hatten, für drei verschiedene Tropfen

27° 23' 29° 51' 31° 35'

und diese einzelnen Werthe änderten sich verschieden, indem sie größer wurden, ohne einen constanten Werth zu erreichen.

An benetzten Platten habe ich kein Verschwinden des zweiten reflectirten Bildes beobachten können, was mit der Theorie übereinstimmen würde, indem hier

 $\theta = 0^{\circ}$

seyn muss.

12.

Man sieht also, dass der Winkel θ ebenso wie die Constante α sich so schnell ändert, dass eine genaue Bestimmung derselben nicht möglich ist, und ich glaube auch nachgewiesen zu haben, dass die Aenderung nicht von einer Oxydation des Quecksilbers herrührt. Es modifieiren dabei offenbar noch andere Kräfte diese Erscheinungen, so dass kein Gleichgewichtszustand eintritt. Da aber die Theorie von diesem Gleichgewichtszustande ausgeht, so können die Erscheinungen des Experiments nicht mit der Theorie stimmen, und die genaueren Beobachtungen, wie z. B. die von Desains, bestätigen dies eigentlich, der ja auch eine Aen
1) Faraday, diese Ann. Bd. 101, S. 314.

derung der Constante a bei demselben Quecksilber gefunden hat. Was den Winkel 6 betrifft, so zeigt er zwar wie die Werthe

$$a = 2^{mm},5912$$
 $\theta = 37^{\circ} 52' 33''$

den Danger'schen Beobachtungen von der verschiedenen Höhe von Quecksilbermenisken in Glasröhren von verschiedener Weite genügen, aber er sagt selbst von diesen Werthen: "qui m'ont paru satisfaire mieux que d'autres à l'ensemble des expériences de M. Danger", und führt schließlich an, dass die Constanten a und θ bei verschiedenen Sorten Quecksilber von

variiren. Bei den von mir angewandten Methoden wurde a unabhängig von θ bestimmt, und aus der Schnelligkeit mit der ich die Tropfendicke etc. messen konnte, erklärt sich auch, weshalb meine Versuche für a im Mittel 2^{mn} ,8 ergeben, einige sogar 2^{mn} ,9, welche Werthe bedeutend von den früheren $a = 2^{mn}$,6 abweichen. Da die Messungen an den großen Tropfen nicht so schnell dem Auflegen folgen konnten, wie bei den kleineren, so erklärt sich daraus, daß ich auch hier für a Werthe gefunden habe, die nahe 2,6 waren.

Ich habe es wegen dieser großen Veränderlichkeit capillarer Oberslächen beim Quecksilber daher auch für überslüssig gehalten Beobachtungen bei verschiedener Temperatur anzustellen, oder gar Temperaturcorrectionen an den gemessenen Werthen der Constanten anzubringen, da diese doch ganz unsicher seyn würden.

Wenn Beobachtungen von Quecksilberdepressionen in communicirenden Haarröhrchen constantere Resultate gegeben haben, so ist der Grund davon wohl in der größeren Reibung zu suchen, die scheinbar das Gleichgewicht herstellt. Würden zahlreichere Versuche unter denselben Bedingungen angestellt worden seyn, so würden diese auch verschiedene Werthe der Constanten ergeben haben.

Möglich bleibt es freilich, dass an einem zufälligen Erschütterungen nicht so ausgesetzten Orte, wie sie eine große

Stadt darbietet, und auf besonderen Fundamenten wie bei einer Sternwarte, ein Gleichgewicht der capillaren Oberstäche eintritt. Vielleicht dass dann diese räthselhafte Erscheinung ein Analogon zu der von W. Weber') gefundenen der elastischen Nachwirkung bildet. Immer aber, glaube ich, werden Reibung und die Art und Weise, wie man das Quecksilber in die Gefäse bringt, die Erscheinung so modificiren, dass man für a und θ nicht constante Werthe finden wird.

Wenn es auch nicht ein angenehmer Abschluß einer Arbeit ist, dass man sagen mus, die Uebereinstimmung von Theorie und Beobachtung ist nicht nachzuweisen, so hoffe ich durch Veröffentlichung dieser Versuche doch manchem Anderen Zeit und Mühe zu ersparen, die dadurch auf unverhältnismässige Weise in Anspruch genommen werden.

Ich fühle mich verpflichtet am Schlusse dieser Abhandlung den HH. Professoren Neumann, Magnus und Dove, sowie Hrn. Geheimerath Mitscherlich für die Freundlichkeit, mit der dieselben mich mit ihrem Rathe und Apparaten unterstützt haben, öffentlich meinen Dank auszusprechen.

Berlin im Juni 1858.

¹⁾ W. Weber, Ueber die Elasticität der Seidenfäden, diese Annalen Bd. XXXIV, S. 247.

II. Ueber die Abhängigkeit der Tragkraft von der Größe der Berührungsfläche zwischen Magnet und Anker; von Julius Dub.

Bei meiner Untersuchung über den Einflus der Anker auf die Tragkraft der Elektromagnete 1) machte ich die Beobachtung, dass Anker von gleicher Länge nicht immer mit einer Kraft gehalten werden, die mit dem Durchmesser zunimmt, sondern dass unter Umständen dünnere Anker mit viel größerer Kraft von dem Magneten getragen werden als dicke.

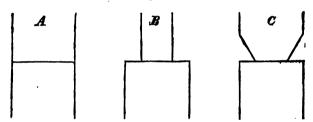
Diese so auffallende Erscheinung hat unter der Bedingung statt, dass der Anker den Magneten unmittelbar berührt oder in sehr geringer Entfernung vom Magneten sich befindet.

Betrachten wir zunächst die geraden Stabelektromagnete, und denken uns ursprünglich die Polfläche von demselben Durchmesser wie Eisenkern und Anker selbst, so kann eine Aenderung der Tragkraft sowohl durch Verkleinerung der Polfläche des Magneten, als auch der des Ankers hervorgerusen werden. Beides hat im Ganzen dasselbe Resultat, dass nämlich bei einer solchen Verkleinerung der Berührungsfläche die Tragkraft bis zu einer bestimmten Gränze sunimmt. Ueber diese Gränze hinaus nimmt alsdann die Tragkraft sehr schnell ab.

Die Verkleinerung der Polsläche kann entweder dadurch herbeigeführt werden, dass der ursprüngliche Anker zugespitzt, oder dass er seiner ganzen Länge nach von geringerem Durchmesser genommen wird. In dem ersten Falle ist wegen der nur wenig verringerten Masse die Zunahme der Tragkraft viel bedeutender als im zweiten, obschon auch hier noch eine Steigerung sich zeigt, wenn nicht etwa schon Sättigung hervortritt.

¹⁾ Diese Ann. Bd. 74, S. 465.

Zur Veranschaulichung der von mir unter den verschiedensten Bedingungen beobachteten Facta führe ich zwei Versuchsreihen an, aus denen das in Bezug auf die vorliegende Besprechung Nöthige hervorgeht. Ich habe bei der ersten dieser Reihen 1) drei Anker von 6" Länge durch einen 12" langen 1" dicken Magneten anziehen lassen und die Wirkung auf dieselben von unmittelbarer Berührung bis auf etwa ½" Entfernung geprüft. Die drei magnetischen Systeme stellen sich in den beistehenden Figuren dar.



Von den drei angewandten Ankern war einer ein Cylinder von 1" Durchmesser, den wir mit A bezeichnen. B war ebenfalls ein 6" langer Cylinder, aber von ½" Durchmesser, dagegen war der cylindrische Anker C von 1" Durchmesser und an einem Ende conisch zugespitzt, so daß die Fläche, mit welcher er den Magnetpol berührte, nur ½" Durchmesser hatte. Diese drei Anker geben folgende Anziehungskräfte:

•		I.	•
Entfernung von d. Magnetpolsliche.	Anker A	Anker B	Anker C
0	3,3 Pfd.	4,8 Pfd.	7 Pfd.
180"	1,1	1,4	2
1	0,9	0,92	1,35
1 60	0,71	0,65	0,93
3 5	0,6	0,48	0,7
2 45	0,38	0,23	0,3
35	0,27	0,15	0,2

1) Diese Ann. Bd. 80, S. 503.

Eatfernung von di	Anker	Anker	Anker
Magnetpolfläche.	4 .	B ·	C
45	0,19	0,11	0,13
33	0,15	0,083	0,1
6 45	0,12	0,072	0,08
	0,096	0,06	0,063
8 45	0,08	0,05	0,055

Wir sehen, dass der Anker C, der die kleinere Berührungsstäche bei derselben Masse wie A hat, bei der Berührung mit der größten Kraft gehalten wird, und dass der Anker B, der doch nur ½ des Volumens von A hat, noch mit größerer Kraft getragen wird als A, weil seine Polstäche uur halb so großen Durchmesser als die des A hat. — Diese Verhältnisse ändern sich jedoch bei der Wirkung des Magneten auf die Anker in nicht unmittelbarer Berührung. Die Anziehung des C nimmt viel schneller ab als die von A und B mit der Zunahme der Entsernung vom Magnetpole, so dass bei der größten Entsernung von demselben C nur noch mit einer Kraft gehalten wird, welche von der des B wenig verschieden ist, während hier A viel stärker wirkt.

Hieran schließen sich die Versuche, bei denen der Durchmesser des Ankers noch den des Magneten übersteigt. Von den vielen in dieser Beziehung angestellten Versuchen führe ich die Reihe an, welche die Tragkraft des 12" langen 1" dicken Magneten mit 6" langen Ankern von 2" bis 16" Durchmesser bei gleichbleibender magnetischer Intensität giebt.

II.

Durchmesser der Anker

Die Resultate der Versuche mit den Ankern von 2", 1;" und 1" Durchmesser zeigen, dass bei gleicher Gröse der Berührungsstäche, wie sie bei diesen drei Ankern vorhanden ist, die Tragkraft mit der Masse des Ankers zunimmt.

In Bezug auf die Resultate, welche die Tragkraft, d. h. die Anziehung in unmittelbarer Berührung von Magnet und Anker, giebt, sagt Müller in Freiburg: »Wie es kommt, dass der kleineren Berührungssläche die größere Tragkraft zukommt, ist noch nicht gehörig ermittelt. Jedenfalls kann man bei größerer Berührungssläche keine so innige Berührung, kein so genaues Anschließen hervorbringen, während außerdem noch bei dickeren Ankern weit eher ein Abbrechen des Ankers stattfinden kann als bei dünneren 1).«

Müller spricht ferner das Bedauern aus, das keine Versuche über das Verhalten einer bis zur Kante oder zum Punkt verkleinerten Berührungssläche angestellt sind.

Die nachfolgende Erklärung der Erscheinung wird auch über die Wirkung der Berührungsflächen solcher ins Extrem getriebenen Formen, welche nachträglich von mir untersucht sind, Aufschluß geben. Zuvor muß ich jedoch noch anderer aufgestellten Erklärungen dieser Thatsache Erwähnung thun.

Wenngleich die Bemerkung Müller's, das größere Flächen eine nicht so innige Berührung als kleinere bieten, nicht unbegründet ist, so dient sie doch aus dem Grunde nicht zur Erklärung der vorliegenden Erscheinung, weil die Tragkraft nur bis zu einer bestimmten Gränze mit der Abnahme der Berührungsfläche zunimmt. Das sich an dieser Gränze zeigende Maximum erfordert eine um so größere Fläche, je stärker der Magnet wird.

Was nun die Berührung zwischen Anker und Magnet betrifft, so haben alle meine Versuche gelehrt, und Keinem, der Abrisversuche angestellt hat, wird es entgangen seyn, dass bei allmähliger Belastung des Ankers stets, bevor derselbe vollständig abris, ein Kippen stattfand und der Anker dann immer nur noch am Rande in einem Punkte mit dem Magnetpole in Berührung war. Natürlich ist der Winkel, den die beiden Flächen mit einander bilden, meist nicht bedeutend und man bemerkt ihn erst, wenn man das Auge in dieselbe Ebene mit der Berührungssläche bringt, in wel
1) Müller's Ber. über die Fortschr. d. Phys. I, S. 494.

chem Falle man dann zwischen beiden Polslächen hindurchsehen kann.

Bilden nun zwei Polstächenpaare von verschiedenem Durchmesser denselben Winkel mit einander, so stehen natürlich bei den größeren Flächen die meisten Theile in größerer Entfernung von einander als bei den kleineren, und nur in diesem Sinne kann man sagen, die kleineren Polstächen gewähren bessere Berührung.

In neuester Zeit hat v. Feilitzsch eine Erklärung dieser Erscheinung der verschieden großen Berührungsflächen dahin gegeben, daß er sie die abstofsende Wirkung der Endflächen nennt²). Er hat nämlich schon früher in diesen Annalen folgende Beobachtung veröffentlicht²):

» Von zwei genau gleich großen Platten aus gewöhnlichem Eisenblech wurde die eine horizontal an einem Waagebalken aufgehängt und tarirt. Diese Platte zu magnetisiren, diente eine flache Spirale von übersponnenem Kupferdraht, bestehend aus nur wenigen (40 bis 60) Windungen, 20mm hoch und 79m im Durchmesser, die durch ein Platinzinkelement in Thätigkeit gesetzt wurde. Näherte ich die Spirale von unten conaxial und parallel zur Platte derselben an, so wurde die letztere angezogen und diese Anziehung fand bei fortgesetzter Annäherung statt bis die Entfernung der Platte von der Mitte der Spirale 13 betrug. Von hier an hatte die Platte bei noch größerer Annäherung das Bestreben vor der Spirale zurückzuweichen und bei grösseren Stromstärken sich an die Innenwände der Spirale anzulehnen. Sie wich aber auch dann normal zur Ebene der Spirale zurück, wenn sie so lange mit Gewichten beschwert wurde, bis das Ausweichen in horizontaler Richtung verhindert werden konnte. Wurde die Spirale noch mehr angenähert, bis sie die Platte umgab, so erwies sich in der Mitte der Spirale eine Stelle labilen Gleichgewichts stir die Platte, denn bei weiterer geringer Hebung der Spirale wich die Platte nun nach unten aus und beharrte in

¹⁾ Encyclopādie d. Physik, Lief. III, §. 20, S. 171 und a. a. O.

²⁾ Bd. 92, S. 539.

diesem Bestreben, bis sie sich in einem Abstand gleich 12ⁿⁿ unterhalb der Mitte der Spirale befand. Von hier aus wurde bei noch größerer Hebung der letzteren die Platte wieder gegen dieselbe, also nach oben gezogen. Befand sich nun die Platte in der untersten der beiden stabilen Gleichgewichtslagen und wurde ihr von unten her die andere Eisenplatte conaxial und parallel genühert, so wich die obere Platte (bei immer festgehaltener Spirale) in das Innere und über die Spirale hinaus zurück, so weit es die Bewegung des Waagebalkens nur immer erlaubte.«

"Der Versuch gelingt schon dann, wenn man zwei gleich große Eisenplatten in eine flache Spirale halt, das Ganze auf die hohe Kante stellt und mit den Fingern die Eisenplatten leicht gegen einander drückt. Sobald ein galvanischer Strom durch die Spirale gesandt wird, springen die Eisenplatten auseinander.

In Bezug auf die vorn angegebenen Erscheinungen mit Ankern von verschieden großen Berührungsflächen sagt nun v. Feilitzsch 1):

» Sicherlich liegt aber der tiefere Grund in der Thatsache, dass die im Allgemeinen zwischen Magnet und Anker wirkende Anziehungskraft beeinträchtigt wird durch eine Abstosung, welche namentlich von den sich zunächst liegenden Flächen ausgeht. Erstere Kraft ist im Allgemeinen stärker als letztere. Die letztere tritt aber allein hervor, wenn man die cylindrischen Eisenstäbe zu dünnen Platten verkürzt. «

Wenn v. Feilitzsch auf S. 145 sagt, dass zwei senkrecht zu ihrer Ebene magnetisirte Platten sich umgekehrt verhalten wie zwei Eisencylinder, indem die befreundeten Pole der ersteren sich abstossen, die der letzteren sich anziehen; so ist nicht klar, wie er beide Wirkungen vereinigt annehmen kann, sobald ein cylindrischer Anker einen Magneten berührt. Wenn Platten sich umgekehrt verhalten wie Cylinder, so stossen die einen sich ab und die andern ziehen sich an; nach v. Feilitzsch aber soll in Cylindern die 1) Karsten's Encyclopädie 3. Lieserung § 19, S. 149.

Kraft der Anziehung größer seyn als die der Abstoßung. Also Cylinder verhalten sich, wenn ich ihn recht verstehe, nicht umgekehrt wie die Platten, sondern in ihnen wirkt die Abstoßung der sich zumächst liegenden Flächen zugleich mit der Anziehung der ganzen Cylinder, die eine Kraft beeinträchtigt die andere, und es käme somit nur eine Differenz beider zur Wirkung.

Wenn dies wirklich so wäre, dann müste die abstobende Kraft der Endflächen viel größer seyn als die anziehende der ganzen Cylinder, wie wir sogleich sehen werden.

Meine Versuche haben nämlich gezeigt, dass die Tragkraft der stärkeren Cylinder, wenn sie einen ihrem Durchmesser gleichen Anker haben, geringer ist als die der schwächeren. So geben die drei Systeme von ‡", 1" und 2" Durchmesser bei gleicher Stromstärke und Windungszahl folgende Tragkraft:

Ш.

Magnet und Anker

#" dick 1" dick 2" dick
Tragkraft 4,7 Pfd. 3,27 Pfd. 2,9 Pfd.

Da es aber feststeht, dass der in einem Eisenstabe erregte Magnetismus der Wurzel seines Durchmessers proportional ist, und der Magnetismus eines Kernes einen Anker von demselben Durchmesser stets eine ihm proportionale Kraft inducht, wie diefs die Versuche bei der Anziehung beweisen; so hätte die Tragkraft des 1" starken Magneten nicht 3,27 Pfd. sondern 9,4 Pfd. und die des 2" dicken nicht 2,9 Pfd. sondern 18,6 Pfd. seyn müssen.

Läge nun der tiefere Grund dieser so bedeutenden Abweichung in der abstofsenden Wirkung der Endflächen, so müßte diese Wirkung bei dem I" dicken Systeme über 6 Pfd. und bei 2" dicken sogar 16 Pfd. betragen. Diese bedeutenden Kräfte sind nun aber, nach v. Feifitzsch's Erklärung, nur die Differenzen zwischen der Abstofsung der ‡", 1" und 2" großen Flächen, da ja bei der einen halben Zoll großen Fläche die erhaltenen 4,7 Pfd. auch erst das Resultat der beiden sich gegenseitig beeinträchtigenden Kräfte sind.

Um mich nun von der Intensität der zwischen zwei Platten wirkenden Kraft zu überzeugen, habe ich das Experiment von v. Feilitzsch wiederholt. Es wurde eine flache Spirale von 13^{mm} Höhe und 82^{mm} inneren Durrhmesser angewandt, welche 40 Windungen mit Seide besponnenen Kupferdrahts von 1,5^{mm} Durchmesser trug. Eine 1^{mm} dicke Eisenplatte von 78^{mm} Durchmesser wurde conaxial und parallel mit den Windungen der Spirale an einem Waagebalken mittelst dreier Seidenfäden aufgehängt und tarirt.

Als ich darauf durch die Spirale den Strom eines Platinzinkelementes gehen liess, der die Nadel der Tangentenbussole auf 25° ablenkte, bemerkte ich in einer Entfernung der Eisenplatte von 1 tiber der Spirale keine Spur einer Wirkung, weder Anziehung noch Abstossung. Auch als ich die Spirale bis dicht an die Platte heranbrachte, war nicht mit Entschiedenheit ein Ausschlag der Waage zu beobachten, obgleich eine geringe Anziehung vorhanden zu seyn schien. Bei größerer Empfindlichkeit der Waage wäre wohl der Ausschlag deutlicher hervorgetreten, allein die Waage war etwas träge durch das auf beiden Seiten aufgelegte Gewicht, welches nöthig war, einerseits um die große Beweglichkeit der Eisenplatte zu hindern, andererseits um mittelst desselben die Platte möglichst genau parallel zu stellen. Es standen nämlich auf der Eisenplatte zwei Gewichtsstücke von drei Loth, durch deren Verrückung auf der Platte ich dieselbe nach jeder beliebigen Seite senken konnte, indem die etwas elastischen Seidenfäden sich um so mehr dehnten. je näher ihnen eines der Gewichte stand. Ungeachtet die. ser Belastung der Waage gab ein aufgelegtes Schrootkorn, deren 140 auf ein Loth gingen, doch einen bedeutenden Ausschlag. Mit der unter diesen Bedingungen vorhandenen Wirkung der Spirale war also keine Beobachtung möglich.

Ich nahm darauf zwei Grove'sche Elemente, so dass die Ablenkung der Bussolennadel 41° betrug und sich in dem ziemlich dicken Drahte Erwärmung bemerkbar machte. Bei diesem Strome fand ich bei einer Entfernung der Platte von 3^{mm} bis 4^{mm} vor der Endwindung der Spirale entschiedene Anziehung. Die Platte bewegte sich in die Spirale hinein bis zur nächsten Windung und legte sich an die Wand derselben.

Stellte ich nun die Spirale so, dass die Eisenplatte möglichst genau in der Ebene des mittleren Querschnitts der Spirale hing und leitete dann den Strom durch dieselbe, so wurde die Platte gehoben oder gesenkt, je nachdem sie etwas tiber oder unter diesem Querschnitt gehangen hatte. Die Platte zeigte also immer das Bestreben sich nach dem nächsten Ende der Spirale zu begeben, ging aber nie tiber die Windungen hinaus.

Darauf wurde unter die Spirale eine zweite, der ersten gleiche, Platte gelegt, und die hängende so gestellt, dass sie in geringer Entfernung von der zweiten ihr parallel und conaxial war. Als jetzt der galvanische Kréis geschlossen wurde, wich die hängende Platte vor der festen zurück, und zwar bei Hebung der festen Platte so lange bis diese selbst über der Spirale sich befand. Alsdann bewegte die hängende sich der festen zu. Diess konnte durch die Anziehung der letzteren oder der Spiralwindungen bewirkt werden, oder vielmehr, es konnte die Summe oder die Differenz beider Wirkungen seyn, für den Fall, dass die Kraft der festen Platte schwächer war als die Anziehung der Spiralwindungen. Als ich nun die feste Platte ebenso weit unter die Spirale legte, als sie bei dem letzten Versuche über derselben sich befunden hatte und nun die andere dicht fiber sie hängte, wich dieselbe wieder in die Spirale zurück wie früher, als keine zweite Platte vorhanden gewesen. Aus der Kraft mit der diess geschah glaube ich jedoch schließen zu dürfen, dass die seste Platte hier ebenfalls abstofsend gewirkt habe, dass mithin die Erscheinung über der Spirale die Differenz beider Wirkungen gewesen.

Ich habe also unter keiner Bedingung Anziehung der

beiden Platten beobachtet; dagegen stießen sie sich entschieden ab, wenn sie einander innerhalb des Gewindes nahe waren.

Alle diese Erscheinungen gingen jedoch mit so geringer Energie von statten, dass, obgleich der Strom sehr stark war, der Ausschlag an der Nadel der Waage nur wenig bemerkt werden konnte, und ein auf die entsprechende Seite gelegtes Schrootkorn denselben vollkommen compensirte. v. Feilitzsch konnte keine Messungen wegen des Anlehnens der Platte an die Spiralwand ausführen. Bei meinen Versuchen war dieses Hindernis nicht in dem Grade vorhanden, wahrscheinlich weil meine Platte mehr belastet war; allein bei geringeren Gewichtsdifferenzen als Tio Loth waren keine Unterschiede bemerkbar.

Woran es gelegen, dass v. Feilitzsch, der doch nur ein galvanisches Element angewandt hat, noch ein Auseinanderspringen der mit den Fingern zusammengehaltenen Platten bemerkt, kann ich nicht erklären, wenn nicht die geringere Ebenheit der Platten die Ursache gewesen ist. Ich habe davon nichts wahrnehmen können und sah schon vor dem Versuch die Unmöglichkeit des Gelingens voraus, da die Adhäsion viel stärker wirken musste als sich die Abstosung vorher gezeigt hatte.

Wenn nun zwar die von v. Feilitzsch angestellten Versuche im Allgemeinen sich bestätigen, so habe ich doch nicht den Punkt bestätigt gefunden, der gerade die in Frage stehenden Erscheinungen erklären soll und den v. Feilitzsch aus seiner Theorie schließt ohne ihn experimentell zu erweisen. Er sagt 1):

"Eine unmittelbare Folgerung aus der Theorie ist es nämlich, daße ein eisenmagnetischer Querschnitt vor einem Magneten oder einem anderen ihm gleichen Querschnitt zurückweichen muß, wenn beide einander die befreundeten Pole zukehren.«

Um zu sehen, ob ein magnetischer Querschnitt ebenso von einem Magneten wie von einem anderen Querschnitt 1) Diese Ann. Bd. 92, S. 538. abgestoßen wirde, nahm ich einen 2" dicken 6" langen Eisenkern und brachte seine Polsläche in alle Lagen zu dem beweglichen Querschnitt, in denen sich vorher der zweite Querschnitt befunden hatte. Mit diesem Eisenkern habe ich aber in allen möglichen Stellungen zur magnetisirenden Spirale Anziehung erhalten, und zwar war dieselbe so bedeutend, dass sie ungefähr das 200 sache der vorn beobachteten Abstoßung betrug. Es zeigte sich hier wie bei den Versuchen mit jedem anderen Anker, dass die Anziehung in Bezug auf ihre Intensität sich nach der Stellung des Kernes zur Spirale richtete. Sie war stärker, wenn der Kern in die Spirale hineinreichte als wenn er sich unter derselben besand. Unter der günstigsten Bedingung wurde die Platte mit einer Kraft von 2 Loth gehalten.

Um mich zu überzengen, ob nicht vielleicht gleicher Durchmesser der Eisenplatte und der Magnetsläche zu der vorausgesagten Abstossung erforderlich wäre, was freilich mach v. Feilitzsch's Theorie nieht nothwendig ist, habe ich dem 2" dieken Eisenkern eine 1 dieke Eisenplatte von 2" Durchmesser gegenüber gestellt; allem auch diese wurde unter allen Verhältnissen angesogen.

Da die vorliegende Auseinandersetzung nicht den Zweck hat, die von v. Feilitzsch entwickelte Theorie einer Prüfung zu unterwerfen, sondern nur ihre Anwendung auf den hier in Frage stehenden Fall zu erproben; so, glaube ich, werden die hier genannten Versuche hinreichen um zu zeigen, dass die bei der Tragkraft beobachtete Erscheinung nicht in der abstoßenden Wirkung der Endflächen ihren Grund haben kann. Denn geben wir selbst zu, dass die beiden äusersten einander gegentiber gestellten Querschnitte zweier magnetisirter Eisenstäbe auch einander abstoßen, so kann doch nach dem vorstehenden Versuche die Abstoßeng für diesen Fall nicht größer seyn als die zweier Querschnitte allein. Während aber zwei Magnetkerne bei der angewandten magnetisirenden Kraft mehrere Pfunde Tragkraft äußern, betrug die Abstoßung zweier Platten etwa

10 der Kraft mit der ein 6" langer Eisenkern die eine Platte hielt.

Bevor ich nun zur Darlegung der Gründe schreite, welche nach meiner Meinung das fragliche Phänomen hat, muß ich bemerken, daß wegen der vielen Bedingungen, von denen die Erscheinung abhängig ist, besonders aber wegen der bis jetzt noch nicht festgestellten Gesetzmäßigkeit einiger dieser Bedingungen, es nicht möglich ist, ein Gesetz aufzustellen, nach welchem jede einzelne in diesen Kreis fallende Beobachtung sich im Voraus genau bestimmen ließe.

Unter den Gründen, welche die durch verschiedene Berührungsstächen bewirkten Abweichungen zwischen Tragkraft und Anziehung der Elektromagnete haben, steht der oben an, dass der Anker den Magneten niemals vollkommen berührt, sondern dass vor dem Abreissen die Ankerebene mit der Magnetebene stets einen Winkel bildet.

Setzen wir der Einfachheit wegen zunächst voraus, daß, sobald der Anker kippt und also nur noch in einem Punkte den Magneten unmittelbar berührt, die Vertheilung des Magnetismus auf der ganzen Politäche nicht geändert werde, so ergiebt sich daraus folgende Tragkraft zweier magnetischer Systeme, deren Durchmesser d und nd seyn mögen.

Der im Magneten und Anker freie Magnetismus ist der Wurzel der Durchmesser proportional, es muss also die Tragkraft sich wie die Durchmesser, d. h. wie 1:n verhalten, wenn Anker und Magnet sich in allen Punkten vollständig berührten. Da nun aber, wie oben bemerkt, die Berührung nur in einem Punkte vorhanden ist, und die entsernter liegenden Punkte im Vergleich mit dem berührenden nur schwach wirken, so wird die Größe der Tragkraft besonders von dem in dem Berührungspunkte freien Magnetismus abhängen. Nun kann aber der in einem Punkte vorhandene Magnetismus nur um so geringer seyn, je größer die Polstächen sind. Da sich nämlich die Tragkraft der ganzen Flächen wie 1:n, die Zahl der magnetischen Theile dieser Flächen aber wie 1:n², und daher die Tragkraft

aus diesem Grunde in jedem Punkte umgekehrt wie die Anzahl der Punkte verhält; so muß die Tragkraft in jedem einzelnen Punkte sich wie $1:\frac{n}{n^2}$ d. h. wie $1:\frac{1}{n}$ verhalten. Also:

• Unter der Annahme, dass durch die Berührung in einem Punkte sich die ursprüngliche Vertheilung des Magnetismus an der Polsläche nicht änderte, würde sich die Tragkraft zweier gleich langer Systeme umgekehrt wie ihre Durchmesser verhalten.

Die für den betrachteten Fall obwaltenden Gründe fallen weg, sobald man die ganze Ankerpolfläche in bestimmter Entfernung von der Magnetpolfläche hält. Wenngleich auch in diesem Falle die beiden Flächen nicht genau parallel liegen, so verschwindet doch die Abweichung von dem absoluten Parallelismus der Flächen gegen die Entfernung aller Theile von einander und mit ihr der Coëfficient 1 in dem obigen Verhältnisse. Daher verhält sich die Anziehung gerade wie die Durchmesser der Systeme, was die Erfahrung lehrt. Diese allgemeine Betrachtung ist die Basis der Erklärung aller auf diesem Gebiete sich zeigenden Erscheinungen, obgleich das für die Tragkraft aus ihr hervorgehende Resultat, wegen der vielen zusammenwirkenden Umstände, durchaus nicht zur allgemeinen Geltung kommt. Es zeigt aber, dass eine Abnahme der Tragkraft mit der Zunahme des Durchmessers der Polstäche durchaus in der Natur der Sache begründet ist.

Dass nun aber die Tragkraft nicht absolut das umgekehrte Verhältnis der Durchmesser der Magnete, sondern ein geringeres zeigt, hat darin seinen Grund, dass durch die Berührung von Anker und Magnet in einem Punkte sich die Vertheilung des Magnetismus in der Polebene ändern muss. Andererseits leuchtet ein, dass diese gleichmässige Vertheilung in dem Grade mehr gestört wird, als der Winkel zwischen Magnet- und Ankersläche wächst, weil durch die Entsernung der Theile von einander immer/weniger Magnetismus in den übrigen Punkten gebunden wird. Der Mag-

netismus muís sich also bei Vergrößerung des Winkels immer mehr in der Kante des Ankers und dem Berührungspunkte der Polsläche concentriren, und da die Anziehung in Berührung die auf geringe Entfernung so bedeutend überwiegt, so muss der zunehmende Winkel die Tragkraft weniger vermindern, als die Concentrirung sie erhöht. Daher die bedeutende Abweichung von dem ausgesprochenen Verhältniss. Ich habe aus diesem Grunde in vielen Fällen die Beobachtung gemacht, dass ein Anker mit um so grösserer Kraft gehalten wurde, je größer der Winkel war, den seine Polhöhe mit der des Magneten bildete. Dieser Fall trat immer dann ein, wenn der freie Magnetismus des Magnetpoles nicht sehr bedeutend war, so dass in der in einem Punkte berührenden Kante des Ankers nicht Sättigung merklich werden konnte 1). Dieselben Gründe, die für Systeme von gleichem Durchmesser des Ankers und Magneten gelten, veranlassen auch die Erscheinungen, welche Anker zeigen, deren Berührungsslächen verschiedene Durchmesser bei gleicher Magnetfläche haben.

Betrachten wir zunächst den Fall, wo ein und derselbe Magnet auf gerade Cylinder als Anker wirkt, welche geringeren Durchmesser haben als der Kern des Magneten. Die Versuchsreihe No. II. zeigt, dass mit abnehmendem Durchmesser des Ankers und seiner Berührungssläche die Anziehung bis zu einem bestimmten Punkte zunimmt. Der Grund dieser Erscheinung ist folgender.

Aus der Versuchsreihe No. I. geht hervor, das bei Anwendung verschieden dicker cylindrischer Anker die Ansiekung, d. h. die Wirkung des Magneten auf einen entfernten Eisenstab, mit dem Durchmesser der Anker abnimmt. Da jedoch diese Abnahme erst dann den Durchmessern der Anker proportional ist, wenn mit ihnen zugleich die Durchmesser der Magnetkerne in demselben Verhältnis abnehmen, so findet in dem Falle, wenn der Magnet derselbe bleibt, die Abnahme der Anziehung in geringerem Verhältnis als die der Ankerdurchmesser statt. Diese 1) Diese Ann. Bd. 102, S. 215.

Abnahme der Anziehung ist von der Abnahme des in dem Anker erregten Magnetismus abhängig, sie muß also auch stattfinden bei unmittelbarer Berührung, denn dieselbe Kraft erregt in einer geringeren Eisenmasse auch weniger Magnetismus. Es muß also aus diesem Grunde die Tragkraft mit der Abnahme des Ankerdurchnessers geringer werden. Diese Verringerung ist verschieden je nach dem Verhältniß des Durchmessers des Magneten zu dem des Ankers. In den von mir beobachteten Fällen wechselt die Anziehung zwischen den Verhältnissen 3:2 und 4:3 bei dem Verhältnisse der Ankerdurchnesser von 2:1.

Gesetzt nun das Verhältnis der Ansiehung wäre bei zwei Ankern von 1" und 1" Durchmesser, welche ein 1" dicker Magnet anzieht, wie 3:2, so ist der in jedem Querschnitt des Ankers erregte Magnetismus wie $\sqrt{3}:\sqrt{2}=17:14$. Da nun aber bei dem 1" starken Anker der Magnetismus √3 in jedem Ouerschnitt, also auch in der Polebene, auf eine viermal so große Fläche vertheilt ist als bei dem 1" dicken Anker, so wird hiernach die Intensität eines jeden Theilchens der Polsläche des ‡" dicken Ankers sich zu der des 1" dicken umgekehrt wie $\sqrt{3}$: $4\sqrt{2}$ verhalten. Unter der vorn vorausgesetzten Bedingung, dass beide Anker den Magneten nur in einem Punkte berühren, wäre also hiernach die Tragkraft des 1" dicken zu dem 4" dicken Ankeretwa 17:56. Dieser, unter den einfachen Bedingungen angenommene Fall, wird nun noch außer den vorn angenommenen Punkten dadurch modificirt, dass, während der 1" dicke Anker den Magneten von 1" Durchmesser am Rande berührt, wo der stärkste Magnetismus ist, die Berührung bei einem dünneren Anker mehr nach der Mitte hin stattfindet. Aus diesem Grunde wird dann das Verhältnis wieder herabgedrückt, so dass die von mir gefundenen Tragkräfte z. B. bei 6" langen Ankern sich wie 3,3:4,7, oder bei andern magnetischen Intensitäten wie 4,8:7, wie 6,8:10,4, wie 8,9:12,5 etc. verhalten 2).

Nach dem bisher Entwickelten müste nun die Tragkraft

1) Diese Ann. Bd. 74, S. 482.

mit der Abnahme des Durchmessers des Ankers und seiner Polebene regelmässig zunehmen. Nach der Lehre des magnetischen Sättigungszustandes, kann diess aber nur so lange geschehen, bis die Sättigung mit dünner werdendem Anker in dem Maasse auftritt, dass sie alle anderen Wirkungen neutralisirt. Von dieser Gränze an muss dann eine schnelle Abnahme der Tragkraft sich zeigen. Hieraus erhellt, warum das Maximum der Tragkraft bei um so dickeren Ankern eintritt, je größer die Intensität des Magneten ist, weil ja die Sättigung bei um so dickeren Stäben bemerkbar wird, je größere magnetisirende Kraft man anwendet.

Aus dem bis jetzt Entwickelten wird es leicht, alle übrigen auf diesen Punkt bezüglichen Erscheinungen zu erklären.

Vor allem wird es klar, weshalb ein Anker, dessen Berührungsfläche allein verkleinert wird, während sein Durchmesser derselbe bleibt, d. h. ein zugespitzter Anker, bis zu einer bestimmten Gränze noch größere Tragkraft zeigen muss als ein anderer, dessen ganze Masse mit der Bertihrungsfläche selbst verringert wird. Es folgt daraus, warum die drei vorn gezeichneten magnetischen Systeme Tragkräfte in dem Verhältnis wie 3,3:4,8:7 Pfd. zeigen. Anker C sind die günstigsten der eben entwickelten Bedingungen, nämlich große Masse mit kleiner Polsläche, vereinigt. Aus dem von Müller gefundenen Sättigungspunkte des weichen Eisens beantworten sich hiernach auch die von ihm gestellten Fragen, in Bezug auf eine bis zur Kante, oder zum Punkte verkleinerte Berührungsfläche. Eine solche Berührungssläche muss eine geringere Tragkraft zeigen als eine andere, sobald der wirkende Magnetismus so groß wird, dass sich in den in der Nähe des Punktes oder der Kante befindlichen Eisentheilen Sättigung bemerkbar macht. Diess wird aber um so eher geschehen, je spitzer der Kantenwinkel, oder der des Conus ist, der die Spitze bildet. Meine Beobachtungen haben gelehrt, dass die durch eine cylindrische Abrundung hervorgerufene Kante, und die durch eine Kugelfläche bewirkte Zuspitzung zu einem Punkte, die günstigsten der in Frage stehenden Fälle darbieten, weil bei ihnen die in der Nähe der Kante oder des Punktes befindlichen Theile noch der Fläche des Magneten sehr nahe sind und merklich mit magnetisirt werden, so dass nicht so schnell wie in den anderen Fällen Sättigung merklich werden kann.

Bei den Untersuchungen, welche von mir in Bezug auf die Länge der Elektromagnete angestellt worden sind 1). machte ich die Probe, ob nicht eine sphäroïdal abgerundete Ankerpolfläche die Versuche erleichtern würde, weil für diesen Fall doch nothwendig immer dieselbe Berührung statthaben musste. Es zeigte sich für geringe magnetische Intensitäten dieselbe Tragkraft wie bei einem ebenen Ankerpole, ein Beweis, dass auch bei diesem die Berührung nur in einem Punkte stattfindet; allein sobald der Magnet grösere Intensität bekam, in dem vorliegenden Falle, sobald seine Länge eine bestimmte Größe überstiegen hatte, nahm mit einer solchen sphäroïdalen Polsläche die Anziehung wenig oder gar nicht mehr zu, während ich diese Gränze mit einer ebenen Polsläche bei meinen Versuchen nie beobachtet habe. Versuche mit einer Spitze können daher nicht die Intensität eines Magneten an einer bestimmten Stelle angeben, weil in dieser sogleich die Sättigung das Resultat abändern muss. Die Versuche v. Kolke's an dem Plücker'schen großen Magneten 2) geben daher kein genügendes Maass für die Vertheilung des Magnetismus auf der Polsläche; noch weniger würde diese Methode zur Erforschung der elektromagnetischen Gesetze, wie dieser Physiker vorschlägt. Anwendung finden können. Der große Unterschied, zwischen den hiermit zusammenhängenden Versuchen v. Feilitzsch's über das Eindringen des Magnetismus in das Innere des weichen Eisens und den von v. Kolke gemachten Beobachtungen findet wohl zum Theil darin seine Erklärung, obgleich hier noch andere Ursachen mitwirken.

¹⁾ Diese Ann. Bd. 102, S. 199.

²⁾ Diese Ann. Bd. 81, S. 351.

Bei Versuchen hinsichts der Tragkraft der Huseisenelektromagnete fand ich cylindrische Anker vortheilhaft, wie auch solche, welche an jedem Pole ein sphäroïdales Eisenstück dem Magneten zur Berührung boten. Dass ein parallelepipedischer Anker sich nicht so günstig zeigte, liegt nach meiner Meinung nicht in der abstossenden Wirkung der berührenden Flächen, wie v. Feilitzsch sagt, sondern darin dass dieser Anker vor dem Abreissen erst abbricht und dann unvortheilhafte Berührung hat. Wäre v. Feilitzsch's Annahme der Grund der Erscheinung, so müßte doch diese Ursache noch mitwirken, wenn man die Kraft des Hufeisens bei einem zwischengelegten Blättchen Papier prüft; denn wenn die abstossende Wirkung der Flächen in unmittelbarer Berührung so groß wäre, wie sie nach den erhaltenen Abreissversuchen sich berechnen lässt, so könnte sie doch bei einer Entfernung von einer Papierdicke nicht ganz verschwunden seyn. Bei einem zwischen gelegten Blatt Papier fand aber auch mit einem flachen Anker keine solche Abweichung wie bei der unmittelbaren Berührung statt.

Die Erscheinungen, welche durch die Form der Anker in Bezug auf die Tragkraft hervorgerufen werden, sind somit aus folgenden Gesichtspunkten zu beurtheilen.

- 1) Der cylindrische Anker berührt, bevor er abreisst, den Magnetpol nur in einem Punkte.
 - Die Intensität jedes einzelnen Theilchens der Polfläche eines Eisenstabes wächst mit der Verkleinerung dieser Fläche.
 - Dieses Wachsen der Intensität geht so lange fort, bis die eintretende Sättigung eine weitere Steigerung hindert.
 - 4) Die Vertheilung des Magnetismus in der Polsläche von Magnet und Anker ändert sich, sobald die Berührungsslächen beider Theile nicht gleich groß sind, oder sich diese nicht in allen Punkten berühren.

Berlin den 10. Juli 1858.

III. Fortgesetzte Beobachtungen über die elektrische Entladung; von Plücker.

(Siehe Ann. Bd. CIII, S. 88 und 151; Bd. CIV, S. 113 und 622.)

Ueber die Spectra der verschiedenen Gase, wenn durch dieselben bei starker Verdünnung die elektrische Entladung hindurchgeht.

- 88. Ich habe, wie ich glaube zuerst, mit Bestimmtheit ausgesprochen, dass die Lichterscheinung, welche die elektrische Entladung durch längere gasverdünnte Röhren begleitet, abgesehen von den besonderen Erscheinungen in der Nähe der beiden Elektroden, einzig und allein durch die in der Röhre zurückgebliebenen Gasspuren bedingt wird und dass, bei der Schönheit und bei der großen Mannigfaltigkeit der Spectra für verschiedene Gase, diese Spectra ein neues charakteristisches Kennzeichen der Gase abgeben und, bei einer etwaigen chemischen Veränderung des Gases, die Natur dieser Veränderung sogleich erkennen lassen. Es schien mir eben hierin die Wichtigkeit des Gegenstandes zu liegen und der Weg für neue physikalisch-chemische Untersuchungen angedeutet.
- 89. Ich finde meine Auffassungsweise, dass von einer Elektrode zur andern keine Metalltheilchen übergeführt werden, durch Hrn. Gassiot bestätigt '). Es geht Metall nur von der einzelnen Elektrode, der negativen, zu dem Theile der inneren Glaswandung, welcher dieselbe zunächst umgiebt und diese Ueberführung findet statt, aus welchem Metalle auch die Elektrode bestehen mag. Die umgebende Glaswand wird durch die Ablagerung des ungemein fein
 - 1) The minute particles of platinum are deposited in a lateral di rection from the negative wire, and consequently in a different manner from what is described as occurring in the voltaic arc (De la Rive "Electricity" vol. 11, p. 288) so that the luminous appearence of discharge from the induction machine can in no way arise from the emanation of particles of the metal. Proceedings of the Royal Society, March 4, 1858.)

zertheilten Metalls allmählich geschwärzt und, bei größerer Dicke der Ablagerung, bildet sich zuletzt ein schöner Metallspiegel. Bei geringerer Dicke erscheint Platin in Folge seiner großen Zertheilung blau, dem feinzertheilten Golde Faraday's, in der einen Nüance, ganz ähnlich'). Von übergeführtem Zink habe ich einen schönen Spiegel an dem einen Ende einer weiten Glasröhre, so weit die negative Zink-Elektrode hineinreichte gesehen. Dieser Spiegel schattirte sich an der Gränze des Undurchsichtigen nur durch Grau ab. Wir könnten auf diesem Wege über die optischen Eigenschaften möglichst fein zertheilter Metalle eine neue Reihe von Versuchen machen.

90. Um die unter den gewöhnlichen Verhältnissen unangenehme Schwärzung des Glases zu vermindern, können wir an die Stelle der gewöhnlich genommenen dünnen Drähte, die sich, wenn sie als negative Elektrode dienen, erwärmen und nach Umständen hell glühend werden, dickerer Drähte uns bedienen, die eine merkliche Erwärmung durch den Strom nicht erfahren. Die stärkere Ueberführung des Metalls der negativen Elektrode in dem Falle dünner Drähte hat ihren Grund, wie es scheint, theilweise auch in der größern Erwärmung und nicht allein darin, daß, bei der kleinern Oberfläche der dünnen Elektrode, die elektrischen Strömungen an derselben sich mehr concentriren.

Einen andern Versuch, der Schwärzung des Glases vorzubeugen, machte Hr. Geifsler, indem er die negative Platinelektrode mit einem engen Glasröhrchen umgab, das, noch eine kleine Strecke über das freie Drahtende hinaus, in den weitern Glascylinder hineinragte. Dann schwärzte sich nur die innere Wandung des dünnen Glasröhrchens, soweit die Elektrode reichte.

91. Dass das Metall in den gasverdünnten Röhren nicht der Träger der elektrischen Entladung und demnach die Ursache der Lichterscheinung ist, davon erhalten wir auch

¹⁾ Experimental Relations of Gold to light. Phil. Transact. 1857, p. 145.

von anderer Seite her, in der folgenden Beobachtung, gewissermaßen eine Bestätigung. Drei verschiedene Röhren
von einer früher (63) beschriebenen Form wurden bezüglich mit reinem Wasserstoffgase, mit Arsenwasserstoffgas
und mit Antimonwasserstoffgas gefüllt und dann, so weit
wie möglich, evacuirt. Der Lichtstrom in dem engen Theile
der Röhre gab in allen drei Fällen das charakteristische,
auf den ersten Blick wiederzuerkennende, Spectrum des
Wasserstoffgases. Die beiden letztgenannten Gase hatten
offenbar eine Zersetzung durch den elektrischen Strom erlitten: die durch diese Zersetzung sich ausscheidenden Metalle, Arsen und Antimon, lassen sich in dem Lichtstrome
nicht mehr wiederfinden.

Bevor wir zur Analyse des Lichtes der verschiedenen Gas-Vacua übergehen, bedarf die Frage noch einer kurzen Erörterung, ob das absolute Vacuum dem elektrischen Strome den Durchgang verwehre und demnach, in demselben, zugleich mit dem Aufhören des Stromes, auch das Licht erlösche. Ein absolut leerer Raum ist eine Fiction, wie ein mathematisches Pendel, und die praktische Frage ist nur, ob wir in der Annäherung an ein solches Vacuum so weit gehen können, dass durch das angenäherte Vacuum keine elektrische Entladung mehr hindurchgeht. Das Torricellische Vacuum, und namentlich dasjenige in solchen von Hrn. Cassella für Hrn. Gassiot angefertigten Röhren, welche die breiten Lichtwolken geben, ist offenbar vollkommener als das Gasvacuum in den verschiedenen Geissler'schen Röhren, das mit Hülfe einer Quecksilber-Luftpumpe dargestellt wird und wobei eine Spannung von weniger als 1mm wohl nicht erreicht werden möchte. Auf meine Veranlassung hat Hr. Geissler neuerdings auch seinerseits wieder in längern und weitern Röhren mit Sorgfalt Torricellische Luftvacua dargestellt. Die besten dieser Röhren lassen die directe Entladung des Ruhmkorff'schen Apparates anfänglich mit weisslichem Lichte zwar durch, die Entladung wird aber bald eine intermittirende und hört nach ein oder zwei Minuten ganz auf. Wenn man, nach Analogie eines früher beschriebenen Versuches (73) sich eine Ansicht über den Vorgang in einer solchen Röhre zu bilden berechtigt ist, so müßte man annehmen, daß das Sauerstoffgas der unmeßbar kleinen Menge von Luft, die zurückgeblieben ist, zur Elektrode gehe und das übrigbleibende Stickgas nicht mehr hinreiche, um Träger des Stromes zu seyn.

Ich theile die Ansicht, dass zur Bildung des elektrischen Stromes ponderable Materie ersorderlich ist; diese ist aber im Allgemeinen nicht, wie theilweise wenigstens beim Davy'schen Lichtbogen, in seinster Zertheilung übergeführtes Metall oder Kohle, sondern irgend ein Gas').

- 93. [Ich schalte hier noch eine Beobachtung ein, welche an einer jener Torricelli'schen Vacuumsröhren gemacht wurde. Nahe an ihren beiden Enden wurden Stanniolbelege angebracht, um inducirte Ströme durch dieselben hindurchzuleiten. (Vergleiche später 118). Nachdem der directe Strom nicht mehr durch die Röhre ging, liess sich der inducirte Strom noch fortwährend hindurchleiten, ohne während längerer Zeit an Helligkeit zu verlieren. Als darauf die Drahtenden des Ruhmkorff'schen Apparates mit den beiden an den Enden der Röhre eingeschmolzenen Platindrähten wieder verbunden wurden, ging der directe Strom von Neuem hindurch, um jedoch bald wiederum zu erlö-
 - 1) Die Ueberführung der Materie der Elektroden im Lichtbogen von einer derselben zur andern ist seit Davy Gegenstand vielfacher Untersuchungen gewesen. Die allgemeine Annahme war, dass diese Uebersührung von der positiven zur negativen Elektrode statt babe. Hr. v. Breda wies aber nach, dass dieselbe gleichzeitig auch den umgekehrten VVeg, von der negativen zur positiven Elektrode, nehme. In den Geissler'schen Röhren gehen die Metalltheilchen lediglich von der negativen Elektrode aus, ohne zur positiven zu gelangen. Hier scheinen Anomalien obzuwalten, denen ähnlich, die sich auf das Austreten der Vvärme an den beiden Elektroden beziehen (46). Versuche, die ich in neuester Zeit über die Entstehung des Lichtbogens in evacuirten Gaskugeln (unter der Einwirkung des Magneten) angestellt habe, und die ihre Stelle erst in der nächsten Mittheilung sinden können, werden, wie ich glaube, Ausklärung über den sraglichen Gegenstand geben.

schen. Dasselbe Experiment konnte man beliebig oft wiederholen.]

94. Die meisten Gase erleiden in den Geissler'schen Röhren, wenn der Strom hindurchgeht, Veränderungen, die sich schon durch die gleichzeitige Veränderung der Farbe dem Auge unmittelbar kund geben. Diese Veränderungen sind oft plötzliche, namentlich dann, wenn der Strom durch den Magneten concentrirt wird; oft finden sie ganz allmählich statt. Dabei erleidet das Gas eine Zersetzung oder das Gas selbst oder Bestandtheile desselben, - es ist nicht zu vergessen, dass es sich hierbei nur um unmessbare Spuren handelt - gehen mit der Elektrode Verbindungen ein. Ich führe in dieser Beziehung ein merkwürdiges Beispiel an. Hr. Geissler hatte beobachtet, dass Röhren die Spuren von schweflicher Säure enthielten durch den elektrischen Strom sich in merkwürdiger Weise änderten. Ich hatte früher schon gesehen, wie ein, wahrscheinlich weniger vollkommenes, Vacuum derselben Säure, als der clektrische Strom unter der Einwirkung des Magneten hindurchging, sich plötzlich änderte (16). Hier war die Aenderung eine continuirliche und langsame. Die neue von mir beobachtete Röhre war 400mm lang und 25mm weit. Sie zeigte ursprünglich feine schöne Schichtung in violettem Lichte, von den übrigen bekannten Erscheinungen begleitet. Während der Ruhmkorff'sche Apparat mehrere Minuten lang durch die Röhre entladen wurde, entfärbte sich allmählich das violette Licht und die ganze Erscheinung änderte sich. Diese erhielt nach längerer Zeit ein stabiles Ansehen, indem die Röhre zuletzt sich gerade so verhielt, wie die schönsten Röhren des Hrn. Gassiot (118): es hatte sich, nachem die schwefliche Säure vollständig verschwunden war, ein Toricellisches Luftvacuum, wenn dieser Ausdruck hier gestattet ist, gebildet. Das Licht um den negativen Pol war durch einen breiten dunkeln Raum von den weißen breiten Lichtwolken getrennt. Diese erstreckten sich bis zu der positiven Elektrode und jede derselben war hell weiss begränzt, nach der negativen Elektrode hin und nach der

positiven hin ius Graue schattirt. Wenn die Röhre an ihrer dunkeln Stelle nahe der negativen Elektrode mit einem schwachen Hufeisenmagnet berührt wird, so wird das System der weißen Wolken weiter in den dunkeln Ranm hineingezogen: eine schöne Erscheinung, die ich bei Hrn. Gassiot gesehen hatte, die ich aber bis dahin an keiner der Geiß'-ler'schen Röhren beobachten konnte. Als ich diejenige Stelle der Röhre, wo die erste Wolke an den dunkeln Raum gränzte, mit zwei Fingern berührte, wurden die sämmtlichen Wolken nach dem positiven Pole hin zurückgedrängt, also Abstoßung, wo im früheren Falle Anziehung, und die ganze Erscheinung wurde stabiler. Dann hatte die Röhre das Aussehen der Fig. 1 Taf. II.

95. Derselbe Versuch gelang mit allen solchen Röhren, nur dass alle Röhren, nach der Veränderung, nicht mehr ganz dasselbe Aussehen hatten. Statt der zollbreiten weisen Wolken trat oft, wie es überhaupt bei dem Torricellischen Luftvacuum der Fall ist, eine viel engere Schichtung des weisen Lichtes auf, und in einem Falle war das Licht sogar röthlich, wie es dem Stickstoffgase entspricht, und wie ich es bei Hrn. Gassiot allmählich werden sah, als er durch ein sinnreiches Mittel ganz allmählich Spuren von Luft hinzutreten lies. Es erscheint hiernach gewis, dass in den verschiedenen schweslige-Säuregas-Vacua mehr oder weniger Luftspuren, am meisten in dem letztgenannten Falle, verblieben waren.

Wir haben vielleicht im schwefligsauren Gase, wenn wir dasselbe ganz luftfrei und vollkommen trocken anwenden, das beste Mittel dem absoluten Vacuum uns möglichst zu nähern.

96. Bemerkenswerth scheint mir noch die folgende Beobachtung. Als die Enden der cylindrischen Röhre, in welchen die Platin-Elektroden eingeschmolzen waren, über einer Spiritusflamme erwärmt wurden, stellte sich sogleich die ursprüngliche Erscheinung der schönen Schichtung im violetten Lichte wieder her. Die schweflige Säure hatte sich durch Wiedervereinigung ihrer Bestandtheile von Neuem

gebildet. Diese hatten sich (vielleicht beide) mit Platin in wenig stabiler Weise verbunden und durch Einwirkung der Wärme von diesem wieder getrennt.

Der durchgehende Strom stellte hierauf die weise Wolkenschichtung wieder her durch allmähliche Zersetzung der schweslichen Säure. Sie konnte durch Erwärmung in gleicher Weise wie zuerst wieder hervorgerusen werden und so stellte sich die doppelte Erscheinung alternirend einige Male wieder her, nahm dabei aber an Schönheit allmählich ab.

Nach dem Vorstehenden scheint mir als erwiesen 97. zu betrachten, dass, bei der elektrischen Entladung durch Röhren, die ursprünglich mit irgend einem Gase gefüllt waren und in Folge der Evacuirung nur noch Spuren dieses Gases enthalten, das diese Entladung begleitende Licht von dem Metalle der Elektroden ganz unabhängig ist, und andererseits im absolut leeren Raume keine Entladung stattfindet und demnach kein Licht auftritt. Somit gelangen wir zu dem Schlusse, dass das Licht des Entladungsstromes überhaupt und insbesondere das entsprechende Spectrum in solchen Gasvacua einzig und allein von den zurückgebliebenen Gasspuren bedingt und deshalb für das jedesmalige Gas charakteristisch ist. Für meine definitiven Bestimmungen wählte ich zuerst Wasserstoffgas, Stickstoffgas und Kohlensäure und erhielt für diese drei Gase vollkommen bestimmte, constante, von einander durchaus verschiedene Spectra. Es ist zwar unmöglich in der Abbildung solcher Spectra die ursprünglichen Farben auch entfernt nur wiederzugeben, und das wird noch dadurch erschwert, dass einzelne Stellen der Spectra durch ihre Lichtintensität so ungemein stark hervortreten; aber für Denjenigen, der die Erscheinung nur einmal gesehen hat, ist in einer solchen ein treues Bild der Erscheinung niedergelegt, das vollkommen ausreicht, um in späteren Fällen einen Vergleich anstellem zu können.

98. Es kommt bei der bildlichen Darstellung ferner noch störend hinzu, dass die Umstände, welche überhaupt

das subjective Urtheil über Farbe bestimmen, sehr complicirter Art sind und dass ein solches Urtheil dann namentlich alle Bedeutung verliert, wenn lichtärmere Stellen von hellen Farbentönen begränzt werden. Der Eindruck, den viele der schönen Gasspectra auf das Auge machen, ist ein solcher, dass er mit dem Grundsatze der Farbenlehre in Widerspruch steht, - damit nämlich, dass die Farbe des Lichtes von der Wellenlänge abhängt, wonach, für ein gegebenes Prisma, gleich stark gebrochenes Licht unter allen Verhältnissen dieselbe Farbe haben muss. Ich führe in dieser Beziehung das bereits vorläufig beschriebene Spectrum des (unreinen?) Fluor-Borgases an (71), in dem schönes Violett auf einen Raum von grüner freilich etwas verwaschener Farbe unmittelbar folgt. Wenn die blaue Farbe wirklich ganz fehlte, wie es bei anderen Gasen der Fall ist, so müste das Violette, nach der Seite des Rothen hin, durch eine schwarze Stelle begränzt sevn. Es scheint am natürlichsten anzunehmen, dass ein schwaches Blau in dem Spectrum vorhanden sev, dasselbe aber durch ein subjectives Gelb, der Complementarfarbe des anliegenden, besonders hellen Violetts, für das Auge in Grün sich verwandele. aber erschien es mir wünschenswerth, durch einen directen Versuch den obigen Grundsatz auch für unsere elektrische Gasspectra zu bestätigen.

99. Zur Herstellung solcher Spectra überhaupt wandte ich das früher (69) bereits beschriebene Verfahren mit einigen Modificationen an. Der leuchtende elektrische Entladungsstrom wurde in Thermometerröhren concentrirt, deren inneren Durchmesser für die verschiedenen untersuchten Gase wenig von einander abwichen und etwa 0,6^{mm} betrugen. (Ein ins Innere einer solchen Röhre gebrachter Quecksilberfaden von 155^{mm} wog 667^{mgr},7 was für den inneren kreisförmigen Durchschuitt der Röhre jenen Durchmesser giebt.) Die Form der vollständigen einzelnen Gasröhre bezeichnet die Fig. 2 Taf. II, so wie auch die Art, wie solche Röhren paarweise (auf einem Brettchen) so verbunden werden können, dass die engen Theile beider (an den Stellen,

wo sie um etwas mehr als 90° umgebogen sind) zusammenstoßen und beide genau gleichgerichtet sind. (Der in der Figur hinzugefügte Glashahn bezicht sich auf einen späteren Versuch.) Bei der gleichzeitigen Durchleitung des Stromes durch ein solches System zweier verschiedenen Glasröhren zeigt sich in den engen Theilen derselben ein geradliniger Lichtfaden, der nur in der Mitte unterbrochen ist und halb dem einen, halb dem anderen Gase entspricht. Wie verschieden die Spectra der beiden Gase auch seyn mochten, ein Streisen von einer beliebigen Farbe in dem einen Spectrum setzte sich in dem anderen, wenn er in demselben nicht ganz erlosch, in gerader Linie fort, wobei im Allgemeinen seine Lichtstärke sich änderte.

100. Zur Beobachtung der Spectra bediente ich mich eines Fraunhofer'schen Fernrohres, das in einer Entfernung von 4 bis 5^m von der verticalen Lichtlinie in der Röhre aufgestellt war. Das Flintgas-Prisma, mit einem brechenden Winkel von 45°, war unmittelbar vor dem Objectiv, das 15 pariser Linien Oeffnung hatte, befestigt. Die Vergröfserung durch das Ocular war so gewählt, dass eine stärkere Vergrößerung keine neue feinen Linien mehr erkennen ließ und nur die Lichtstärke verminderte.

Die in der vorigen Nummer beschriebene Zusammenstellung zweier Glasröhren hat noch eine zweite Anwendung. Richtet man nämlich das Fernrohr auf diejenige Stelle, wo die beiden engen Röhren zusammenstofsen, so sieht man gleichzeitig die Spectra der beiden verschiedenen Gase und kann diese Spectra mit einander vergleichen und die gegenseitigeu Dimensionen der einzelnen Theile derselben bestimmen. Das Spectrum des Wasserstoffgases scheint mir, seiner besonderen Beschaffenheit wegen, bisher als das geeignetste, um bei dieser Vergleichung als Anhaltepunkt zu dienen.

101. Die Röhren, die ich zuerst untersuchte, waren ursprünglich mit Wasserstoffgas, Stickgas und Kohlensäure gefüllt und gaben, so viel als möglich evacuirt, charakteristische, ganz und gar von einander verschiedene, schöne

Spectra. Ich beschränke mich hier auf blosse Andeutungen über diese und die bisher beobachteten Spectra, eine genauere Beschreibung mit bildlicher Darstellung mir vorbehaltend 1).

102. Im Spectrum des Wasserstoffgases concentrirt sich fast das ganze Licht auf drei Streifen, einen blendend rothen am äußersten Ende des Spectrums, einen schönen grünlich blauen und endlich einen weniger hellen, violetten, dessen Abstand von dem grünlich blauen etwa ein Drittel weniger betrug als der Abstand dieses Streifens von dem blendend rothen. In der engen Röhre erscheint der elektrische Lichtstrom roth.

Im Spectrum des Stickgases sind alle Farben schön, keine derselben ist verwaschen, wie in den breiten Räumen, die zwischen den hellen Streifen des Wasserstoff-Spectrums liegen. In dem Raume des Rothen, Orange und Gelben finden sich 15 dunkelgraue feine Linien, in fast gleichem Abstande von einander. Von diesen kommen sechs auf Orange und Gelb. Diese beide Farben sind schön; vom Orange angerechnet, ist das Rothe ins Braune schattirt, wird aber nach dem Ende des Spectrums hin, das sich über den blendend rothen Streifen des Wasserstoffgases hinauszieht, heller und reiner. Von dem Gelben ist ein breiterer grüner Raum durch einen schmalen schwarzen Streifen getrennt; der größere Theil dieses Raumes erscheint von dem schwarzen Streifen an gerechnet, schwarz schattirt. Für ein schärferes Auge lösst sich indess diese Schattirung in sehr feine schwarze Linien auf, die wiederum gleich weit von einander abstehen, aber einander näher liegen, als die früher erwähnten Streifen im Rothen, Orange und Gelben. Der übrige grüne Raum ist noch mehrmals abgetheilt. An das Grüne stoßen zwei schöne hellblaue Streifen, die unter einander und von dem Grünen durch schmale schwarze Streifen scharf begränzt sind. Das blau- und roth-violette Ende des Spectrums bilden neun scharf begränzte violette Streifen, die mit dunkeln abwechseln. Jene haben ver-

¹⁾ Bei der Aufnahme der verschiedenen Spectra haben mich die Studirenden, Hr. Liek und Hr. Dronke, unterstützt.

schiedene Helligkeit, diese erscheinen theils dunkel violett, theils schwarz. Der vierte und fünfte helle Streifen, durch einen schwarzen getrennt, haben das meiste Licht, die vier folgenden treten weniger hervor, jedoch der letzte, eine scharfe Gränze des ganzen Spectrums bildend, am meisten. Das Licht des Entladungsstromes in der engen Röhre ist gelbroth.

104. In dem Spectrum der Kohlensäure (siehe die 115. Nummer) erscheint der helle Theil durch sechs scharf begränzte helle Streifen in fünf Räume getheilt, von welchen die beiden ersten gleiche Breite haben, der dritte und namentlich die beiden letzten etwas breiter sind. der sechs Streifen befindet sich an der äußersten Gränze des Rothen, der zweite ist röthlich orange, der dritte grünlich gelb, der vierte grün, der fünfte blau und der letzte violett. Die zwei ersten Räume werden beide durch schmale schwarzgraue Streifen, von denen jedesmal zwei an den hellen Streisen anliegen, in drei gleichbreite Unterabtheilungen getheilt. Der erste Raum ist braunroth, der zweite schmutzig orange und gelb. Der dritte und vierte Raum sind etwas verwaschen grün und durch Schattirungen mehrfach abgetheilt, der fünfte Raum ist ein ganz verwaschener und in zwei gleiche Theile getheilt, die von der rothen Seite her nach der violetten hin abschattirt sind. Nach dem zuletzt angeführten violetten Streifen kommt noch ein dunklerer Theil des Spectrums, so breit etwa wie der rothgelbe Theil desselben. In diesem dunkleren Theile werden durch drei scharf hervortretende violette Streifen, deren Breite von derselben Ordnung ist, als die Breite der früheren sechs Streifen, und von denen der letzte die sichtbare Gränze des Spectrums bildet, drei Räume bestimmt. Der erste dieser drei Räume, welcher an den obigen sechs hellen Streifen anstößt, ist etwas breiter als der dritte, beide sind absolut schwarz; der zweite mittlere Raum ist etwa so breit als diese beiden zusammen und ganz dunkel violett.

Der erste Streifen, im ersten Augenblick besonders glänzend roth, verlor, nachdem der Strom längere Zeit durch die Röhre gegangen war, fast seine ganze Helligkeit (115).

Das Licht des galvanischen Stromes in der engen Röhre war grünlich weis.

Nachdem die Spectra der drei genannten Gase genau bestimmt und aufgenommen worden waren, wurde die in der zweiten Figur dargestellte Doppelröhre mit zwei verschiedenen Gasen, mit Kohlensäure und Wasserstoff. gefüllt und dann möglichst evacuirt. Die Gase die ursprünglich von einander getrennt waren, konnten durch einen Hahn in Verbindung gesetzt werden. Dieses geschah, während der Strom gleichzeitig durch beide Röhren hindurchging, durch die eine mit grünlich weißem, durch die andere mit rothem Lichte, und das Spectrum des einen Gases, der Kohlensäure, durch das Fernrohr mit dem Prisma beobachtet wurde. Gleich nachdem der Hahn geöffnet worden war, sah man eine blendend rothe Linie anfänglich bloss von Zeit zu Zeit an der Gränze des Spectrums aufflackern und bald nachber ihre Stelle behaupten. Es war dieses der rothe Streifen des Wasserstoffgases. Die Farbe des Lichtes in den beiden engen Röhren war dieselbe, die beiden Spectra waren constant und einander gleich geworden.

Wenn in einer Röhre überhaupt zwei verschiedene Gase mechanisch gemengt sind, so sieht man deutlich, wenn man die beiden Spectra der einzelnen Gase kennt, wie die Spectra dieser Gase in dem Spectrum des gemengten Gases sich überlagern.

106. Es wurde darauf eine einzelne Röhre mit Ammoniakgas gefüllt und evacuirt. Das Spectrum war augenfällig dasjenige, das aus einer Ueberlagerung der beiden Spectra für Wasserstoffgas und Stickgas sich ergiebt. Das Ammoniakgas war augenblicklich in seine Bestandtheile zerfallen, es war nicht möglich gewesen, das Spectrum des zusammengesetzten Gases zu erhalten.

107. Vor Allem musste nun die Bestimmung und Aufnahme des Sauerstoff-Spectrums wünschenswerth erscheinen. Aber hierbei stieß ich auf neue und unerwartete Schwierigkeiten, so dass es mir bis jetzt noch nicht gelungen, eine vollständige Anschauung von diesem Spectrum zu gewinnen. Darum beschränke ich mich einstweilen darauf,

hier nur zweier schmaler, glänzender Streifen zu erwähnen, von welchen der eine die Gränze des Spectrums bildet und der andere schon in das Orange spielt. Der Raum zwischen den beiden Streifen ist dunkel braun. Die rothe Gränze des Sauerstoff-Spectrums reicht etwas über diejenige des Wasserstoff-Spectrums hinaus, wonach denn auch die blendend hellen Gränzstreifen nicht zusammenfallen.

Die oben erwähnte Schwierigkeit in der Feststellung des Spectrums für Sauerstoff liegt aber in dem langsamen Verschwinden des freien Gases, das sich mit dem Platin der negativen Elektrode verbindet. Dass eine solche Verbindung wirklich stattfindet, ist nicht nur aus der Veränderung des Spectrums abzuleiten, sondern folgt unmittelbar schon daraus, dass das gebildete Platinoxyd, sein zertheilt und mit rothgelber Farbe, auf die umgebende innere Glaswand sich absetzt, wobei es zugleich im reslectirten Lichte in schöner Weise die Farben der Newton'schen Ringe zeigt, während, wenn die Röhre Spuren von Wasserstoffgas oder Stickgas enthält, das rein metallische Platin zur Glaswand übergeführt wird.

108. Die Farbe des elektrischen Lichtstromes in der engen Röhre war anfänglich roth, ging durch das Fleischfarbige ins Grüne, und dann durchs Blaue ins röthlich Violette.

Es würde von ganz besonderem Interesse seyn, durch eine sorgfältige Beobachtung des Sauerstoff-Spectrums festzustellen, in welcher Aufeinanderfolge die einzelnen prismatischen Farben verschwinden, während der elektrische Lichtstrom aus dem Grunde langsam erlischt, dass er, beim allmählichen Fortgehen des Sauerstoffgases, keine hinreichende Menge von ponderabler Materie mehr findet, die ihm als Träger dienen könnte. Die obige Farbenscale, die das Licht in der engen Röhre durchmacht, scheint uns zu dem Schlusse zu berechtigen, dass zuerst die weniger brechbaren Strahlen wegfallen und allerdings sieht man auch zuerst die beiden glänzend rothen Streifen des Spectrums erblassen und vielleicht ganz verschwinden. Um aber die Erscheinung vollständig zu beobachten, müssen ganz beson-

dere Vorsichtsmaßregeln genommen werden, um das Sauerstoffgas absolut rein zu erhalten.

Denn, wenn auch nur die kleinste Menge von einem anderen Gase dem Sauerstoffgase beigemengt ist, so wird sich das beigemengte Gas in demselben Maasse mehr in dem Spectrum des Sauerstoffgases geltend machen, als das letztgenannte Gas fortgeht. Aus diesem Grunde mussten zwei Röhren als unbrauchbar zu definitiven Bestimmungen verworfen werden: in beiden konnte man die Art des beigemengten Gases mit Bestimmtheit angeben. In dem ersten Falle, auf den die obigen Angaben sich beziehen, trat das oben beschriebene Spectrum der Kohlensäure immer mehr hervor und, wie befremdend diess auch anfänglich erscheinen mochte, die befriedigende Erklärung fand sich bald darin, dass durch denselben Evacuirungs-Apparat (vermittelst Quecksilber) unmittelbar vorher Kohlenoxydgas (was hier, nach (115), der Kohlensäure gleichkommt) evacuirt worden war. In der zweiten Röhre machte sich das Spectrum des Stickstoffgases kenntlich; auch sie musste verworfen werden, weil dem Sauerstoffgase offenbar Luft beigemengt war.

110. Ich habe bereits früher (73) in dem Erlöschen des elektrischen Stromes im Sauerstoffgase einen Beweis dafür gesehen, dass im absolut leeren Raum, den wir nur mehr oder weniger annähernd darstellen können, kein Strom bestehen kann. Wir können hier noch hinzufügen, dass ein elektrischer Strom im luftleeren Raume jedenfalls nicht leuchtend seyn kann; denn, wenn dieses der Fall wäre, so müste das Spectrum des leeren Raumes in den verschiedenen Gasspectra sich wiederfinden. Diese Spectra haben aber nichts Gemeinsames.

111. Es wurde hierauf versucht das Spectrum des Stickowydgases zu bestimmen. Aber vergeblich: eine Stickoxydröhre gab das Spectrum des Stickgases selbst, mit einer Modification die offenbar reinem Sauerstoffgase zuzuschreiben war und die sich namentlich durch einen glänzenden
Streifen nahe am Ende des Rothen und darin kundgab, dass
das bräunliche Roth an der Gränze des Orange ein helles
Roth wurde. Die feinen charakteristischen Linien im Ro-

then, Orange und Gelben behielten ihre ganze Schärfe; nur die äußersten, welche der helle Streifen theilweise überlagerte, waren verschwunden, so daß von solchen Linien, zwischen dem hinzugetretenen hellen Streifen und der Gränze des Orange, nur noch sechs übrig blieben. Allmählich erlosch der glänzend rothe Streifen, und es stellte sich im Ganzen das reine Stickgas-Spectrum her mit einer Pracht, in der ich es bis dahin nicht gesehen hatte.

Das Stickstoffoxydgas, in einer Menge, die kaum durch die empfindlichste Waage nachgewiesen werden konnte, war chemisch analysirt. Es zerfiel beim Durchgehen des Stromes augenblicklich in seine Bestandtheile, Stickgas und Sauerstoffgas, und letzteres verschwand, indem es allmählich mit dem Platin der negativen Elektrode zu Oxyd sich verband.

- 112. Es konnte hiernach kaum zweifelhaft erscheinen, dass auch die weniger stabilen, höhern Oxydationsstusen des Stickgases, unmittelbar in ihre einfachen Bestandtheile zerfallen würden. Es wurde, zur Bestätigung, eine Röhre mit salpetriger Säure, die durch eine Mischung von Stickoxydgas und Sauerstoffgas in bekannter Proportion hergestellt worden war, gefüllt und dann evacuirt. Das Spectrum war dasselbe wie in dem Falle der Stickoxydgas-Röhre, nur dass der rothe Sauerstoffstreisen anfänglich noch glänzender auftrat.
- 113. Ein weiterer Versuch zeigte, dass auch Stickowydulgas augenblicklich in seine einfachen Bestandtheile zerfällt. Der Sauerstoffstreifen war weniger hell.
- 114. Hierauf wurde Wasserdampf untersucht. Hr. Geißsler stellte mit seiner bekannten Kunstfertigkeit die schöne Röhre in folgender Weise her. An dieselbe wurden noch zwei größere Kugeln, von denen die eine mit einem Hahne nach Außen hin versehen war, angeschmolzen. Die Röhre wurde mit Wasser gefüllt und dieses so lange gekocht bis nur noch Wasserdampf und keine Spur von Luft mehr in derselben war, und dann der, bisher geöffnete, Hahn geschlossen. Die Röhre wurde über einer Spiritus-Lampe stark erhitzt, während die Kugel mit dem Hahne in einer

Kältemischung sich befand, und dann wurde diese Kugel mit dem Hahne abgeblasen. Dieselbe Operation wurde wiederholt, indem die zweite Kugel, die, während die Röhre erhitzt wurde, in der Kältemischung sich befand, abgeblasen wurde. Der elektrische Strom in der feinen Röhre zeigte das schönste gesättigte Roth. Das Spectrum war das des reinen Wasserstoffgases mit seinen drei hervortretenden Streifen, gegen deren Glanz alles Uebrige so in den Hintergrund zurücktrat, das hier die Abschattirungen von Farbe und Lichtstärke nur kaum noch bemerkar waren. Der Wasserdampf war in seine einfachen Bestandtheile zerfallen, aber, zu meinem Bedauern hatte Hr. Geifsler den Strom bereits früher schon durchgeleitet; der eine derselben, Sauerstoffgas, war bereits schon durch seine Verbindung mit der negativen Platin-Elektrode verschwunden.

115. Nach den vorstehenden Versuchen musste es sehr zweifelhaft erscheinen, ob das früher beschriebene Spectrum die Kohlensäure wirklich dieser Säure in ihrem unzersetzten Zustande angehörte. Die Säure konnte nicht in ihre einfachen Bestandtheile zerfallen seyn, denn sonst hätten wir das Spectrum des Sauerstoffgases erhalten müssen, während das Minimum fester Kohle sich, vielleicht nicht bemerkbar, an die innere Glaswandung abgesetzt haben würde. blieb daher nur die Alternative übrig, ob die Säure unzersetzt geblieben oder in Kohlenoxyd und Sauerstoff zerfallen war. Gegen erstere Annahme sprach der Umstand, dass eine Ablagerung von Platinoxyd bemerkbar war (107). Durch die Bestimmung des Spectrums des Kohlenoxyds wurden alle Zweifel gelöst. Dieses Spectrum war dasjenige in welches, namentlich durch Verminderung des Glanzes des äußersten Roths, das Spectrum der Kohlensäure nach kurzer Zeit überging. Das direct oder, durch Fortgehen des freien Sauerstoffgases, indirect erhaltene Spectrum des Kohlenoxvdgases ist seinerseits auch nicht constant, obgleich es sich nur sehr langsam ändert. Während Platinoxyd sich absetzt verschwindet das weniger brechbare Licht aus dem Spectrum (104). Durch das langsame Fortgehen des Sauerstoffs nähert sich das Innere der Röhre einem Vacuum.

116. Die merkwürdige Analogie in dem chemischen Verhalten von Jod, Brom und Chlor findet sich auch in ihren Spectra wieder 1). Ich gehe in eine Beschreibung dieser Spectra hier noch nicht ein, weil die Art, wie die Röhren bisher hergestellt wurden, eine vollständige Ausschliessung der Luft nicht gestattete und die erhaltenen Spectra daher nicht rein, sondern eine Ueberlagerung zweier Spectra waren. Ueberdiess verbinden sich während des Stromdurchganges die genannten Substanzen mit dem Platin der negativen Elektrode. Das Jodspectrum dauerte so lange, dass es aufgenommen werden könnte. Vier Bromröhren mussten nach einander angewendet werden; durch jede derselben wurde nur ein einzelner Theil des Spectrums bestimmt und das ganze Spectrum aus den vier einzelnen Theilen desselben zusammengesetzt. Das Spectrum des Chlors war von kurzer Dauer, so dass man es zwar deutlich sah, aber nicht aufnehmen konnte. Das Gemeinsame der drei Spectra, wodurch sie, soweit bisher die Beobachtungen reichen, von allen übrigen Gasspectra sich charakteristisch unterscheiden, besteht in Lichtlinien, anfänglich ruhig später bloß durchblitzend, deren Breite von derselben Ordnung ist als die Breite der feinen Fraunhofer'schen schwarzen Linien. Im Jodspectrum ist die Stelle von fünf solchen feinen Lichtlinien von größter Lichtintensität im Grünen bestimmt worden, zwei derselben liegen einander sehr nahe. Das Bromspectrum gab eine größere Anzahl solcher Linien, die sich, über mehrere der mittleren Farbenräume verbreiteten, zugleich mit schwarzen Linien, ganz den Fraunhofer'schen ähnlich. Im Chlor-Spectrum scheint noch eine grössere Anzahl von solchen feinen Linien, schwarzen sowohl als hellen, aufzutreten, deren Lage aber bisher noch nicht bestimmt werden konnte.

117. Die bisher gewonnenen chemischen Resultate können wir kurz in dem Folgenden zusammenfassen.

¹⁾ Auch die Einwirkung des Magneten auf Chlor, Brom- und Joddampf, wie ich sie bereits schon angedeutet (16, 17, 59) habe, ist für dieselben charakteristisch. Ich werde später auf diesen Punkt zurückkommen.



- I. Gewisse Gase (Sauerstoff, Chlor, Brom- und Joddampf) verbinden sich mehr oder weniger langsam mit dem Platin der negativen Elektrode, und die resultirenden Verbindungen lagern sich auf die umgebende Glaswandung ab. Wir näheren uns dabei, wenn die Gase rein sind, einem absoluten Vacuum.
- setzt sind (Wasserdampf, Ammoniakgas, Stickoxydul, Stickoxyd, salpetrige Säure) fallen augenblicklich in ihre einfachen Bestandtheile auseinander und bleiben dann unverändert, wenn diese (Ammoniakgas) sich nicht mit dem Platin verbinden. Ist einer derselben Sauerstoffgas (im Wasserdampf und den verschiedenen Oxydations-Stufen des Stickstoffs) so verschwindet dieses allmählich und blofs das andere Gas bleibt.
- HI. Wenn die Gase aus Sauerstoff und einer festen einfachen Substanz zusammengesetzt sind, so findet die vollständige Zersetzung durch den Strom nur langsam statt, indem das Sauerstoffgas zu dem Platin der negativen Elektrode geht (schweflige Säure, Kohlenoxydgas, Kohlensäure) Kohlensäure zerfällt zunächst augenblicklich in die niedere, ebenfalls gasförmige Oxydations-Stufe und in freies Sauerstoff, das allmählich zum Platin geht (I). Das Kohlenoxydgas wird langsam dadurch zersetzt, dass der mit Kohle verbundene Sauerstoff mit der negativen Elektrode sich verbindet 1).

Bonn den 25. August 1858.

1) Ich habe bereits früher schon, um eine vorläufige Idee von Gasspectra zu geben, zwei solcher Spectra beschrieben. Das erste derselben zeigte eine, nicht sehr enge, Wasserstoffgasröhre, die zu den ersten gehörte, welche Hr. Geissler angesertigt hat. Ich wählte dasselbe seiner Einfachheit wegen aus, dasselbe gehört aber nicht dem reinen VVasserstoffgase an, was man nun auf den ersten Blick erkennt. Das zweite beschriebene, schöne Spectrum, das als dem Fluor-Borgase angehörig bezeichnet ist, gehört wahrscheinlich eben so wenig dem reinen Gase an, wir können, mit Rücksicht auf den weniger brechbaren Theil derselben mit seinen seinen grauen Linien, mit ziemlicher Gewisheit annehmen, dass dem Gase Stickgas (Lust) beigemengt war (70, 71).

IV. Versuche über die Spannkraft der Dämpfe aus Lösungen von Salzgemischen;

von A. VV üllner,
Docent an d. Universität zu Marburg.

(Aus der am 23. Juli 1858 vertheidigten Habilitations-Abhandlung.)

1. In einer früheren Arbeit über diesen Gegenstand ') habe ich den Einflus von Salzen auf die Spannkraft der Dämpfe aus ihren Lösungen untersucht, und zunächst nachgewiesen, das die Verminderungen der Spannkraft des Wasserdampfes, wenn man in gleichen Wassermengen verschiedene Mengen ein und desselben Salzes auslöst, direct proportional sind der Menge des gelösten Salzes. Das Gesetz zeigte sich bis zur Siedetemperatur des Wasser, über welche ich nicht hinauszugehen vermochte, strenge gültig, mochte das Salz von nahezu constanter, wie Kochsalz, oder von veränderlicher Löslichkeit seyn.

Man kann auf jenes Gesetz gestützt für jedes Salz einen Coëfficienten bestimmen, durch welchen sich die Verminderung der Spannkraft als Function der letztern ausdrücken läst. Dieser Coëfficient, wie ich ihn für eine Anzahl Salze damals bestimmte, ist dann der Quotient der Verminderung, welche ein Theil Salz in 100 Wasser gelöst, veranlast, getheilt durch die Spannkraft selbst. Zugleich ergab sich jedoch aus den damaligen Versuchen, dass dieser Coëfficient im Allgemeinen keineswegs ein für alle Temperaturen constanter sey, dass er vielmehr mit der Temperatur stetig sich ändere, so dass er mit großer Annäherung sich durch die Form darstellen liess

$$\frac{\nu}{T} = a + b T,$$

wo V die der Spannkraft T des Dampfes von reinem Wasser entsprechende Verminderung ist, welche ein Theil Salz in 100 Theilen Wasser gelöst hervorbringt.

1) Diese Ann. Bd. CIII, S. 529.



Für verschiedene Lösungen eines und desselben Salzes sind nun zufolge des gefundenen Gesetzes a und b constant, so dass also der Coëfficient einer n procentigen Lösung wird

$$n \frac{V}{T} = n (a + b T).$$

Für Lösungen verschiedener Salze ändern sich die Coëfficienten mit der Natur des Salzes. Es ist ebenso für einige Salze b positiv, für andere gleich 0 und wieder für andere negativ, und somit die Aenderung des Coëfficienten für verschiedene Salze eine verschiedene; in dieser Verschiedenheit aber ließ sich keine Beziehung mit andern bereits erkannten Eigenschaften der Salze erkennen; es zeigte sich also in derselben keine Gesetzmäßigkeit.

2. Hr. Kirchhoff hat in einer theoretischen Arbeit 1), welche erschien, als die meinige bereits nicht mehr in meinen Händen war, andere Resultate erhalten.

Hr. Kirchhoff bestimmt dort die Wärmemenge, welche frei oder gebunden wird, wenn ein Salz sich in Wasser löst, indem er annimmt, dass Dampf von kleinerer Spannkraft, als die ist, welche der gesättigten Lösung entspricht, mit dem Salze in Berührung gebracht ist. **Durch Druck** wird der Dampf dann condensirt, und die Masse des Wassers, wenn aller Dampf condensirt ist, ist m, ausgedrückt in Einheiten der Gewichtsmenge des angewandten Salzes-Er unterscheidet nun zwei Fälle, je nachdem die Masse m des Wassers die angewandte Salzmenge noch nicht vollständig zu lösen vermag, oder indem sie so groß ist, daß bereits ein Theil a derselben hinreicht, das Salz zu lösen. Im ersten Falle ist die Spannkraft µ' des Dampfes der Lösung nur abhängig von der Temperatur t, im zweiten jedoch die Spannkraft μ eine Function von t und der condensirten Wassermenge x. Die Gleichungen, zu denen er gelangt, sind, wenn er überdiess noch annimmt, dass der Dampf

Diese Ann. Bd. CIII, S. 177 ff. Ueber einen Satz der mechanischen Wärmetheorie und einige Anwendungen desselben.

bis zum Zeitpunkte der Condensation sich wie ein vollkommenes Gas verhalte, im ersten Falle

$$Q = m \cdot \frac{R}{K} (a+t)^2 \frac{\partial \log \frac{\mu'}{\pi}}{\partial t}$$

im zweiten

$$Q = \frac{R}{K} (a+t)^2 \cdot \frac{\partial}{\partial t} \int_0^{\pi} dx \cdot \log \frac{\mu}{\pi'} \quad . \quad . \quad (11)$$

wenn Q die Wärmemenge, positiv wenn Wärme frei, negativ wenn welche gebunden wird, R eine Constante, K das mechanische Aequivalent der Wärmeeinheit, a+t die Temperatur vom absoluten Nullpunkt an gerechnet, t dieselbe von dem Nullpunkt der Centesimalscala in Graden derselben gezählt, und π' die der Temperatur t entsprechende Spannkraft des Dampfes von reinem Wasser bedeutet.

Hr. Kirchhoff zieht daraus unmittelbar den Schlussdass das Verhältniss $\frac{\mu'}{\pi'}$ oder $\frac{\mu}{\pi'}$ wachse oder abnehme, je nachdem Q positiv oder negativ ist.

Man sieht leicht, dass diess damit zusammenfällt, ob
 (§. 1) negativ oder positiv sey.

Denn setzen wir

$$\mu' = \pi' - v'$$

$$\mu = \pi' - v$$

so ist nach dem eingangs angeführten Gesetze

$$v : v' = \alpha : x$$

$$v = \frac{\alpha v'}{x} = \frac{\alpha}{x} (a \pi' + b \pi'^{2})$$

wenn wir für T (§. 1) π' setzen und für a und b die Werthe, welche v', also die gesättigte Lösung bei der Temperatur erfordert.

Die Kirchhoff'schen Gleichungen werden dann

$$Q = m \frac{R}{K} (a + t)^2 \frac{\partial \log[1 - (a + b\pi')]}{\partial t}$$

und

$$Q = \frac{R}{K} (a+t)^2 \frac{\partial}{\partial t} \int_0^a dx \cdot \log \frac{a}{x} [1 - (a+b\pi')]$$



Und da hier π' allein nach t variabel ist, so ist klar, daß das Zeichen von Q mit dem von b sich ändert, so daß Q für ein positives b negativ, für ein negatives positiv werden müßte. Umgekehrt müßte also auch bei den Salzen, bei deren Lösung Wärme frei wird, b negativ, bei deren Lösung jedoch Wärme gebunden wird, b positiv seyn.

4. Nach den Versuchen ist jedoch für Kochsals, schwefelsaures Kali, salpetersaures Kali, salpetersaures Natron und Chlorkalium, bei deren Lösung, wie bei derjenigen aller wasserfrei krystallisirenden Salze, Q negativ ist, d. h. Wärme gebunden wird, das Zeichen von b keineswegs dasselbe. Es ist b für Kochsalz gleich 0, für schwefelsaures Kali negativ und für die drei andern Salze positiv. Für Zucker, bei dessen Lösung, wie ich mich durch mehrere Versuche überzeugte, ebenfalls eine Temperaturerniedrigung stattfindet, also Wärme gebunden wird, ist b jedoch ebenfalls negativ. Bei der Lösung von Glaubersalz wird Wärme frei, jedoch war b nicht negativ, sondern gleich 0.

Die Erscheinungen, welche letzteres Salz darbot, schliefsen noch einen Grund gegen den Satz des Hrn. Kirchhoff in sich. Das Glaubersalz wirkt, bei der betrachteten Erscheinung, als wasserfreies Salz, indem die Verminderungen der Spannkraft fortschreiten, wie die Mengen des wasserfreien gelösten Salzes. Da nun aber die Wärmeentwicklung, welche man beim Lösen trockner, als wasserhaltige krystallisirender Salze beobachtet, eine Folge davon ist, dass das Salz, bevor es sich zu lösen beginnt, sein Krystallwasser an sich nimmt, also Folge einer Zustandsänderung des Salzes ist, welche in Bezug auf die Verminderung der Spannkraft durchaus ohne Einflus ist, so würde man mit der Annahme dieses Satzes zwei sich ganz fremde Vorgänge zu einander in Beziehung setzen.

Noch einen andern Schlus zieht Hr. Kirchhoff aus der zweiten Gleichung, nämlich den, dass hei sehr verdünnten Lösungen b=0 seyn, $\frac{\mu}{\pi^1}=$ Const. seyn müsse. Wenn nämlich zu einer Lösung, die bis zu einem gewissen Grade

verdünnt ist, noch mehr Wasser hinzugesetzt wird, so findet erfahrungsgemäß keine Wärmeentwicklung mehr statt; es ist dann Q gleich 0. Es muß dazu nach Gleichung II

$$\frac{\partial \log \frac{a}{\pi^1}}{\partial t} = 0$$

also $\frac{\mu}{\pi^1}$ nach t constant seyn. Jedoch auch dieser Schluss wird durch den Versuch nicht bestätigt, da sich zeigt, dass die Verminderung der Spannkraft direct proportional dem Procentgehalte ist, dieselbe also bei verdünnten und concentrirten Lösungen demselben Gesetze folgt.

Die empirischen Formeln, welche sich aus den erhaltenen Zahlen für die untersuchten Salze ergaben, setzen uns in den Stand, für einen beliebigen Concentrationsgrad deren Lösungen die Verminderungen der Spannkraft des Dampfes zu berechnen. Zugleich können wir aber auch wenn wir so die Spannkräfte des Dampfes zweier Lösungen kennen, aus ihnen das Gesetz für die Spannung des Dampfes eines Gemisches derselben, wenn sie chemisch auf einander nicht einwirken, berechnen. Es würde hierdurch wie Hr. Regnault bemerkt 1), ein vortreffliches Mittel gegeben seyn, zu untersuchen, ob die Bildung von Doppelverbindungen in der Lösung oder erst im Momente des Herauskrystallisirens vor sich gehe. Nothwendig ist es jedoch, durch den Versuch festzustellen, ob wirklich die Verminderung der Spannkraft durch ein Lösungsgemisch sich auf diese Weise bestimmen lasse. Ich habe zu dem Ende eine Anzahl Versuche angestellt, welche ich jedoch auch ausdehnte auf solche Lösungsgemische, bei denen eine chemische Einwirkung der verschiedenen in Lösung enthaltenen Salze möglich und durch Berthollet's Untersuchungen auch nachgewiesen ist. Die Lösungen stellte ich nicht dar durch Mischung verschiedener Lösungen, sondern durch Lösen des nach bestimmten Verhältnissen hergestellten Gemisches der verschiedenen Salze. Dieser Weg ist einfa-

¹⁾ Comptes rendus T. XXXIX, p. 301, 345 et 397. Diese Annal. Bd. 93, S. 537.

cher und sicherer, da man so leichter den Concentrationsgrad der Lösung mit Sicherheit bestimmen kann, ohne einer Analyse zu bedürfen.

Die Methode der Messung ist die bereits früher von mir angewandte und in der bereits erwähnten Mittheilung ') beschriebene. Es wird daher üherslüssig seyn, nochmals darauf zurückzukommen, so das ich sosort übergehen kann zur Mittheilung der erhaltenen Resultate ').

Die folgenden Tabellen sind so eingerichtet, dass die ersten Columnen die Temperaturen, die zweiten die diesen Temperaturen entsprechenden Spannkräfte des Dampfes aus reinem Wasser, in Millimetern angegeben, enthalten. In den folgenden Columnen stehen, ebenfalls in Millimetern ausgedrückt, die Verminderungen der Spannkraft, hervorgebracht durch die über denselben angegebenen Salzmengen. Von den mit Mittelwerth überschriebenen Columnen enthält die erste die aus den Versuchen direct hervorgehenden, die zweite die nach den aus diesen Zahlen entwickelten, später mitzutheilenden Formeln berechneten, die dritte die durch Addition der Verminderungen, welche ein Theil jedes Salzes in der gleichen Wassermenge gelöst hervorbringen würde, sich ergebende Verminderung durch die Lösung der Einheit des Gemisches. Ich wandte, der leichtern Uebersichtlichkeit wegen, zunächst Gemische aus gleichen Gewichtsmengen der einzelnen Salze an, so dass die Einheit des Gemisches die Summe der Einheiten der einzelnen Salze ist. Die Lösungen wurden hergestellt mittels einer 0,005 gr. Genauigkeit gestattenden Waage.

¹⁾ Diese Ann. Bd. 103, S. 534 ff.

²⁾ Auch diese Versuche wurden in dem Laboratorium des Hrn. Magnus zu Berlin angestellt.

I. Mischung von Kochsals und Glaubersals.

Beide Salze waren früher theils gereinigt, theils nach vorgängiger Untersuchung als chemisch rein erkannt. Andere Quantitäten derselben Salze hatte ich bei meinen früheren Untersuchungen benutzt. Die angewandten Lösungen enthielten 10 und 20 Theile jedes Salzes auf 100 Wasser.

Tabelle der Spannkraftsverminderungen durch Mischungen von Kochsalz und Glaubersalz.

_	Spann- krast des	100000	nderung rch		werth	Mittel- werth durch Ad-
VVas	VVasser- dampfs	10+10 Thl.	20+20 Thl.	beob- achtet	berech- net	Vermind. Na Cl + Na O . SO ³
15 10 0	mm	mm	mm	mm	mm	mm
17,4° C.	14,790	1,20	2,30	0,117	0,137	0,122
23,0	20,888	1,99	4,08	202	193	174
26,7	26,045	2,69	5,07	258	243	217
27,8	27,778	2,68	5,27	265	258	. 234
30,9	33,21	3,28	6,36	321	308	277
34,6	40,90	4,25	7,75	400	382	343
37,8	48,77	4,47	9,13	453	453	407
39,7	53,99	5,26	10,42	522	501	452
41,8	60,13	5,86	11,22	569	555	502
45,3	72,51	6,46	13,05	650	670	607
47,6	81,76	7,24	14,53	726	746	684
48,9	87,07	8,12	15,56	789	802	728
51,7	100,07	9,03	18,34	912	921	837
53,1	107,16	9,70	19,41	970	983	895
55,9	122,68	10,98	21,57	1,085	1,117	1,021
57,8	134,25	11,70	23,83	184	226	121
59,7	146,74	12,66	25,32	266	333	222
63,1	171,58	15,08	30,14	507	557	431
65,7	192,93	17,29	34,39	723	741	615
67,9	212,67	18,87	37,83	890	916	774
69,5	228,12	20,35	40,80	2,038	2,056	908
73,3	268,58	23,90	47,36	375	403	2,243
74,9	287,33	24,74	49,29	468	567	402
76,8	311,05	27,40	54,54	731	772	603
78,9	339,12	30,49	59,65	3,004	3,008	837
80,6	366,36	31,60	63,52	170	234	3,063
82,9	394,02	34,53	68,58	437	466	297
85.1	434,75	37,50	75,34	761	795	632
88,1	488,57	42,59	84,46	4,235	4,235	4,084
89,0	505,76	43,10	86,00	303	357	226
92,8	584,02	49,84	99,83	986	988	888
95,9	655,13	54,10	109,11	5,440	530	5,482
99,9	757,28	63,50	124,94	6,281	6,285	6,334



II. Mischung von salpetersaurem Kali und salpetersaurem Natron.

Die angewandten Lösungen enthielten 10 und 20 Theile jedes der beiden Salze auf 100 Wasser. Auch diese Salze, wie in allen anderen Fällen, waren von demselben Salze, das zu den früheren Versuchen gedient hatte.

Tabelle der Spannkraftsverminderungen durch Mischungen von Kaliund Natron-Salpeter.

Temp. kraft de Wasser	Spanu- kraft des	Verminderungen durch		Mittelwerth		Mittel- werth für 1+1 durch Ad- dition der
	dampfs	10 + 10 Thl.	20 + 20 Thi.	beob- achtet	berech- net	Verm. d. NaO. NO ⁵ + KO.NO ⁵
17,4° C.	mm	mm 0,70	1,40	0,070	mm 0,073	0,075
	14,79	1,10	2,39	116	104	106
23,0	20,88 26,04	1,10	2,69	134	132	134
26,7	27,77	1,39	2,98	146	141	144
27,8	33,21	1,89	3,73	187	168	171
30,9 34,6	40,90	2,18	4,75	231	211	212
37,8	48,77	2,58	4,96	251	252	253
39,7	53,99	3,17	6,25	311	278	279
41,8	60,13	3,37	6,55	331	311	313
45,3	72,51	4,27	7,84	370	379	380
47,6	81,76	4,66	8,32	433	429	430
48,9	87,07	4,94	9,70	488	457	459
51,7	100,07	5,85	11,40	575	529	531
53,1	107,16	6,03	11,58	587	569	567
55,9	122,68	6,81	13,26	670	655	650
57,8	134,25	7,32	14,56	730	725	718
59,7	146,74	7,90	15,62	784	797	785
63,1	171,58	9,76	19,48	975	942	928
65,7	192,93	5,10	21,33	1,066	1,068	1.056
67,9	212,67	12,04	24,00	201	191	178
69,5	228,12	,01	25,37	268	313	262
73,3	268,58	15,95	30,70	555	555	504
74,9	287,33	10,00	31,32	566	650	603
76,8	311,05	17,15	34,30	715	788	772
78,9	339,12		38,35	918	949	851
80,6	366,36	21,65	42,10	2,125	2,108	2,024
82,9	394,02	_	44,65	233	269	307
85,1	434,75	24,90	48,75	455	500	575
88,1	488,57	19-2-19	55,61	780	810	946
89,0	505,76	29,90	58,45	945	909	3,065
92,8	584,02	34,30	67,68	3,399	3,364	632
95,9	655,13	39,30	76,00	843	773	4,162
99.9	757,28	44.18	85,32	4,317	4,360	5,102

III. Mischung von Kochsalz und salpetersaurem Kali. Die untersuchten Lösungen enthielten 10 Theile Na Cl + 10 Theile KO.NO⁵ und 20 Theile NA Cl+20.KO.NO⁵.

Tabelle der Spannkraftsverminderungen durch Mischungen von Kochsalz und Kali-Salpeter.

Тетр.	Spann- kraft des VVasser- dampfs	ľ	derungen rch 20 + 20 Thl.	1	werth I Theil berechnet	Mittelw. für 1 1 erhalten durch Ad- dition d. Vermind. von NaCl +KO.NO ⁵
18,1° C. 21,8 22,4 25,8 26,3 30,2 30,6 34,4 37,9 39,0 43,7 44,1 49,5 53,2 55,6 55,4 59,8 62,3 63,9 65,5 68,7 71,7 73,8 75,8 77,5 78,2 80,8	mm 15,55 19,42 20,14 24,69 25,44 31,91 32,65 40,45 49,04 52,03 66,72 68,15 77,88 87,93 89,73 107,69 117,47 120,92 138,10 147,55 165,45 177,92 191,21 218,38 220,28 250,68 274,31 288,51 320,20 329,54 366,35	mm 0,90 1,14 1,40 1,59 1,99 2,68 2,53 3,38 4,02 4,47 5,35 5,90 6,50 7,09 7,82 9,39 9,35 10,29 11,48 12,41 13,95 14,83 16,30 18,92 18,55 21,40 22,95 23,78 26,47 27,61 29,60	1,70 2,24 2,80 3,18 3,89 5,32 5,02 6,66 7,80 8,80 10,51 11,40 13,15 14,32 15,06 18,30 19,45 20,49 23,16 24,92 28,08 29,66 32,07 37,60 37,05 42,34 45,90 47,75 53,72 55,72 60,62	0,090 113 140 159 196 268 252 335 394 442 528 577 653 713 783 923 960 1,026 155 244 401 483 612 884 882 2,121 295 384 673 777 3,007	0,129 161 167 206 212 268 273 335 410 436 559 570 652 737 754 902 980 1,013 156 237 386 490 603 829 844 2,100 296 418 681 761 3,069	0,113 154 159 196 202 256 261 324 390 416 534 546 626 709 724 869 950 979 1,119 197 346 450 561 789 805 2,060 263 385 660 740 3,062
81,5 83,9 84,4	376,85 414,67 423,00	31,84 34,97 34,20	63,97 69,94 69,50	193 497 460	158 475 544	156 490 565



Тетр.	Spann- kraft des VVasser-		Verminderungen durch		Mittelwerth für 1+1 Theil		
	damps	10 + 10 Tbl.	20 + 20 Tы.	beob- achtet	berech- net	Vermind. von Na Cl + KO NO	
	mm	1010	20 E	10 m	mm	mm	
87,5	477,38	40,73	80,33	4,035	3,997	4,047	
89 ,8	521,46	43,45	86,81	342	4,369	445	
92,0	566,76	46,51	94.52	701	749	857	
95,2	638,47	52,10	104,20	5,210	5,346	5,524	
98,2	712,39	59,70	118,70	947	959	6,223	
100,0	760,00	64,30	126,60	6,363	6,370	681	

IV. Mischung von salpetersaurem Natron und Chlorkalium.

Die angewandte, in großer Ausdehnung untersuchte Lösung enthielt 20 Theile jeden Salzes auf 100 Wasser.

Tabelle der Spannkraftsverminderungen durch eine Mischung von Chlorkalium und salpetersaurem Natron.

Temp.	Spannkraft des Wasser-	Verminde- rung durch 20 + 20	Vermin für 1	Vermind. d. l + l durch Addition d. Verminder.	
	damples	Thle.	beobachtet	berechnet	d. KCl +NaO.NO
17,4° C. 18,1 22,4 23,0 26,3 26,9 27,8 30,9 34,4 34,6 37,8 39,0 39,7 41,8 43,7 44,1	14,79 15,55 20,14 20,88 25,44 26,04 27,77 31,91 33,21 40,45 40,90 48,77 52,03 53,99 60,13 66,72 68,15	1,80 1,50 2,50 3,09 3,49 4,08 4,08 4,67 5,09 5,87 5,95 7,14 7,36 8,44 8,94 8,64 9,42 10,32	0,090 075 125 154 174 204 204 234 255 293 298 357 368 422 447 432 471 516	0,103 110 143 148 181 186 198 229 238 287 292 348 372 386 430 477 486 518	0,103 109 142 146 179 183 195 224 233 284 289 345 369 384 428 476 486 518
45,3 46,7 47,6 48.9	72,51 77,88 81,76 87.07	10,32 10,77 11,21 12,49	539 560 624	557 584 622	556 586 624

			<u>.</u> .	•	Vermind. d.
	Spannkrast	Verminde-	Vermii	aderung	1+1 dorch
Temp.	des	rung durch	für 1	+1	Addition d.
-	VVasser-	20+20		1	Verminder.
	dampfes	Thle.	beobachtet	berechnet	d. KCl
					+NaO.NO ⁵
49.5° C.		10.50	mm	mm O.C.41	0.040
49,5° C.	89,73	12,50	0,625 717	0,641 715	0,643
53,2	100,07 107,69	14,35 15,35	767	765	721 773
55.6	120,92	17,13	856	865	869
55,9	122,68	17,40	870	872	883
57.8	134,25	19,29	964	957	972
58,4	138,10	19,21	961	986	1,003
59.7	146,74	20,76	1,038	1,044	063
62,3	165,45	24,12	206	180	206
63,1	171,58	24,47	224	223	251
65,5	191,21	26,30	315	365	404
65,7	192,93	28,39	419	380	419
67,9	212,67	31,33	566	517	566
68,5	218,37	30,90	545	· 558	612
69,5	2 28,12	33,55	678	630	690
71,7	250,68	35,04	752	787	864
73,3	268,58	38,40	920	918	2,003
74,9	287,33	40,41	2,020	2,052	153
75,0	288,51	40,26	013	060	162
76,8	311,05	45,20	260	225	346
78,9	339,12	49,72	486	425	575
80,6	366,36	52,95	647	621	795
81,5	376,85	54,15	702	688 817	878
82,9	394,02	57,56	878	966	3,026
83,9	414,67	58,68	934 3,175	3,110	194 362
85,1 87,5	434,75 477,38	63,50	350	412	725
88,1	488,57	67,00 71,86	59 3	494	811
89.0	505,76	75,43	771	620	970
92.8	584,02	87,07	4,353	4,180	4,666
95.8	655,13	93,22	661	686	5,307
98,2	712,39	98,86	943	5,092	836
99,9	757,28	108,84	5,442	417	6,257
100.0	760.00	108,14	407	437	286
,-	,	200,22			-55
		i	1		

V. Mischung von salpetersaurem Natron und schwefelsaurem Kali

Wegen der geringen Löslichkeit des schwefelsauren Kali enthielten die untersuchten Lösungen nur 5 und 10 Theile eines jeden Salzes.

Tabelle der Spanskraftsverminderungen durch Mischungen von schwefelsaurem Kali und salpetersaurem Natron.

Temp.	Spann- kraft des VVasser-	do	durch 1		verth für 1 Thl.	VVerth für 1 + 1 durch Ad- dition der VVerthe f.
	dampfs	5+5 Thle.	10 + 10 Thle.	beob- achtet	berech- net	KO.SO ³ NaO.NO ⁵
10.14.0	開報	-	mm .	mm		
18,1° C.	15,55	_	0,50	0,050	0,087	0,105
21,8	19,42 20,14	0,45	0,70	070 097	090 114	135 139
22,4 25.8	24,69	0,45	1,00 1,00	100	136	171
26,3	25,44	0,50	1,00	106	144	177
30,2	31,91	0.89	1.78	178	171	221
30,6	32,65	0,99	1,98	198	186	226
34,4	40,45	0,99	2,18	211	230	281
37,9	49,04	1,34	2,88	281	279	340
39,0	52,03	1,29	2,78	271	296	360
43,7	66,72	1,39	3,16	303	380	461
44,1	68,15	2,18	4,21	426	388	470
46,7	77,88	2,03	4,10	409	443	537
49,1	87,93	2,61	5,32	528	501	607
49,5	89,73	2,38	4,95	490	511	620
53,2	107,69	2,97	5,84	588	613	735
55,0	117,47	3,16	6,38	636	666	802
55,6	120,92	3,46	6,82	686	689	830
58,4	138,10	3,75	7,60	756	786	944
69,8	147,55	4,35	8,70	870	838	1,014
62,3	165,45	4,35	8,80	877	940	127
63,9	177,92	—	9,57	957	1,007	203
65,5	191,21	5,58	11,26	1,121	088	296
68,5	218,37	6,37	12,60	265	243	474
6 8,7	220,28	6,52	13,15	312	254	487
71,7	250,68	7,16	14,32	432	425	682
73,8	274,31	8,30	16,50	653	562	837
75,0	288,51	7,79	15,50	553 845	641	935 2,131
77,5	320,20	9,25	18,45	847	826 878	188
78,2	329,54	9,32	18,64	864 2,050	2,087	421
80,8 81,5	366,35	10,45	20,50 20,99	098	147	490
83,9	376,85 414,76		23,95	404	363	722
84,4		12,12 11,90	23,65	370	411	773
87,5	423,00 477,38	13,98	27,50	770	720	3,102
89,8	521,41	10,50	32,10	3,210	972	351
92,0	566,76	16,55	32,45	266	3,226	630
95,2	638,47	18,48	36,88	689	639	4,046
98,2	712,39	20,40	41,35	4,119	4,061	462
100,0	760,00	21,04	42,08	208	332	727
	,	,	,			1

Vergleichen wir auch hier wieder, um zunächst Aufschluss zu erhalten über den Einfluss der Menge des gelösten Gemisches, die dem verschiedenen Concentrationsgrade der Lösungen entsprechenden Verminderungen bei ein und derselben Temperatur, so zeigt sich auch hier sofort, dass die Verminderungen der Spannkraft proportional sind der Menge des in der Lösung enthaltenen Salzgemisches. Es ist auf den vier Tabellen, auf denen die Verminderungen für verschieden procentige Lösungen mitgetheilt sind, die Zahl der vierten Columne stets das Doppelte derjenigen in der dritten Columne, oder vielmehr dieselben sind respective das 10 und 20 fache der in der ersten der mit Mittelwerthe für 1+1 überschriebenen Columnen enthaltenen Zahlen. Diese, die Verminderungen für die angenommene Einheit, wurden erhalten dadurch, dass die Summe der in jeder Horizontalreihe enthaltenen Verminderungen durch die Summe der überschriebenen Procentgehalte, also in den Tabellen I, II, III, V durch 30, in Tab. IV durch 20 dividirt wurde.

Die Abweichungen von dieser Gesetzmäsigkeit sind so klein, das sie vollständig innerhalb der Gränzen der unvermeidlichen Beobachtungssehler bleiben, welche, wie ich früher nachwies, in Temperaturen über 60° leicht 3^{mm} erreichen können.

Es lässt sich darnach allgemein das Gesetz aufstellen:

- "Wenn man in Wasser Substanzen auflöst, welche keine eigene Spannkraft besitzen, so vermindern dieselben die Spannkraft des Wasserdampfes direct proportional ihrer Menge."
- 7. Auf diese Gesetzmäsigkeit gestützt, können wir nun die Verminderungen durch ein Gemisch von Salzen mit den Verminderungen der Spannkraft, welche die einzelnen Salze, wenn sie in der gleichen Wassermenge gelöst wären, hervorrusen würden, vergleichen. Bekanntlich schließt bei einer Lösung ein Salz, außer bei einer chemischen Zersetzung und gleichzeitiger Entstehung einer unlöslichen Verbindung, das andere nicht aus; sie können zugleich in Lö-

sung seyn und zwar, nahezu wenigstens, jedes in solcher Quantität, als wenn das andere nicht zugegen wäre. Wir müssen daher auch hier annehmen, dass die einzelnen Salze in der ganzen Wassermenge gelöst seyen, so daß wir hezüglich 10 und 20 procentige Lösungen jeden Salzes haben. Ich habe auch hier, um allgemein vergleichbare Resultate zu haben, die Verminderungen für einprocentige Lösungen jeden Gemisches berechnet. Um mit diesen nun die Verminderungen durch die einzelnen Salze zu vergleichen, muß man nach dem eben Gesagten die Summe der letztern neh-So ist z. B. die Summe der Verminderungen, welche ein Theil Kochsalz gelöst in 100 Wasser hervorbringt, die Größe, welche wir mit der Verminderung durch die angenommene Einheit des Gemisches vergleichen müssen. Diese Größen müssen gleich seyn, wenn es, wie in §. 5 bemerkt wurde, gestattet seyn soll, aus den Spannkräften zweier Lösungen die Spannkräfte eines Gemisches derselben zu berechnen.

Bei Vergleichung dieser Größen finden wir nun aber, daß sie nicht gleich sind, ja daß sie nicht einmal in einem constanten Verhältnisse zu einander stehen. Die Gesetze des Verlauses der Verminderungen sind für die Gemische durchweg von jenen berechneten ganz verschieden, ja selbst der Charakter dieser Verschiedenheit ist für jedes Gemisch ein besonderer. Gehen wir dieselben einzeln durch.

1. Gemisch von Glaubersalz und Kochsalz.

Aus einzelnen Werthen der Verminderungen berechnet sich für die Verminderungen durch dieses Gemisch die Formel

Na Cl + Na O . S O³
$$V = 0.00931 T - 0.00000137 T2$$

wenn V die der Spannkraft T des Dampfes von reinem Wasser entsprechende Verminderung durch die angenommene Einheit des Gemisches ist. Die Betrachtung der beiden vorletzten Columnen der ersten Tabelle zeigt, dass dieselbe die beobachteten Werthe mit hinreichender Genauigkeit wiedergiebt.

Für die einzelnen Salze ergaben frühere Beobachtungen

für Na Cl
$$V = 0,00601 T$$

" Na O.SO" $V = 0,00236 T$
Na Cl + Na O.SO" $V = 0,00837 T$

Während also für die getrennten Lösungen das Verhältnis

$$\frac{V}{T}$$
 = Const.

ist es hier, obwohl eine chemische Einwirkung der beiden Salze auf einander nicht möglich ist, eine mit wachsender Temperatur abnehmende Function derselben. Es ist dieses um so auffallender, da sich die Gleichung für die Verminderungen durch Kochsalz auch in Temperaturen über 100° noch gültig erweist.

II. Salpetersaures Kali und salpetersaures Natron.

Auch bei diesen Salzen ist eine chemische Einwirkung nicht möglich; nichtsdestoweniger folgen die Verminderungen des Gemisches und die der getrennten Lösungen ganz verschiedenen Gesetzen. Die durch Addition der für die einzelnen Salze gültigen Ausdrücke sich ergebende Gleichung ist:

KO.NO⁵
$$V = 0.001965 T + 0.00000108 T2$$

NaO.NO⁵ $V = 0.00315 T + 0.00000090 T2$
KO.NO⁵ + NaO.NO⁵ $V = 0.005115 T + 0.00000198 T2$

Die durch das Gemisch dieser beiden Salze hervorgebrachten Verminderungen fügen sich nicht einer einzigen Gleichung, sondern wir müssen um sie wiederzugeben in niedern Temperaturen einen anderen Interpolationsausdruck auwenden, als in höheren. Bis gegen 73° oder bis T=265 folgen sie der Gleichung

$$V = 0.005009 T + 0.00000291 T^2$$

in höheren Temperaturen bis zum Siedepunkte

$$V = 0.00576 T$$

Die Curve hat also bei 73° einen singulären Punkt, und geht da in eine gerade Linie über.

Die bei den Lösungen der getrennten Salze beobachteten Erscheinungen boten in der Nähe der Siedetemperatur etwas Aehnliches. Die Verminderungen beider Salze folgten den für sie aufgestellten Gleichungen nur bis gegen 100°, die Verminderungen für Salpeter nahmen von da an wieder ab, um bei 110° den, wie es schien, von da ab constanten Werth 1,68mm zu erhalten, während sie für salpetersaures Natron äußerst langsam, fast proportional der Temperatur zunahmen.

Die übrigen untersuchten Gemische, bei denen eine chemische Wechselwirkung der in Lösung enthaltenen Salze möglich ist, zeigen in ihrem Verhalten die auffallendste Aehnlichkeit; für alle ist das Verhältnis

$$\frac{V}{T}$$
 = Const.

während die aus den Spannkraftsverminderungen der getrennten Lösungen gebildeten Ausdrücke die größte Verschiedenheit zeigen.

III. Kochsalz und salpetersaures Kali.

Die beobachteten, durch Lösung des Gemisches hervorgebrachten, Verminderungen ergeben die Gleichung:

$$V = 0.00838 T$$

während die Addition der beiden für die Verminderungen durch die einzelnen Salze gültigen Gleichungen

Na Cl
$$V = 0.00601$$
 T
KO . NO $V = 0.001965$ $T + 0.00000108$ T^2
Na Cl + KO . NO $V = 0.00797$ $T + 0.00000108$ T^2
ergiebt.

IV. Für ein Gemisch aus gleichen Theilen Chlorkalium und salpetersaurem Natron würden die früher gefundenen Zahlen die Gleichung ergeben:

KCl
$$V = 0.00390 \ T + 0.000000538 \ T^2$$
Na O . NO $^5 \ V = 0.00315 \ T + 0.000000907 \ T^2$
KCl + Na O . NO $^5 \ V = 0.00705 \ T + 0.000001445 \ T^2$

während die beobachteten Zahlen für das Gemisch aus Chlorkalium und salpetersaurem Natron ergeben

V = 0.00715 T

Die durch die Lösung dieses Salzgemisches hervorgebrachten Verminderungen sind also um vieles kleiner, als die durch ein Gemisch von Kochsalz und Kalisalpeter veranlassten.

V. Schwefelsaures Kali und salpetersaures Natron.

Aus den Versuchen ergiebt sich

V = 0.00570 T

während die für die einzelnen Salze früher gefundenen Ausdrücke ergeben:

KO.SO³
$$V = 0,00383$$
 $T - 0,0000019$ T^2
NaO.NO⁵ $V = 0,00315$ $T + 0,000000907$ T^2
KO.SO³ + NaO.NO⁵ $V = 0,00698$ $T - 0,000000993$ T^2

Nach den Untersuchungen von Berthollet findet bei solchen Salzlösungen eine wechselseitige Zersetzung in der Weise statt, dass die vier möglichen Salze, welche aus den beiden in Lösung vorhandenen sich bilden können, wirklich entstehen. Bei den beiden Gemischen III. und IV. ist es jedoch nicht möglich eine Combination der vier möglichen Salze so zusammenzustellen, dass aus den für die einzelnen Salze gültigen Werthen für V ein linearer Ausdruck für das Gemisch sich ergeben könnte. Anders jedoch bei dem Gemische V. Dort ergiebt sich im Gegentheil durch Addition der vier Gleichungen für die möglichen Salze ein fast linearer Ausdruck für V, der noch dazu mit der aus den Beobachtungen hergeleiteten Interpolationsgleichung nahe zusammenfällt.

KO . SO³
$$V = 0.00383 \ T - 0.0000019 \ T^2$$
NaO. NO⁵ $V = 0.00315 \ T + 0.0000009 \ T^2$
NaO. SO³ $V = 0.00236 \ T$
KO . NO⁵ $V = 0.00196 \ T + 0.0000010 \ T^2$

$$\Sigma = 0.01130 \ T$$

$$\Sigma = 0.00565 \ T$$

Letzterer Ausdruck, welchen wir nehmen müssen, da bei dieser Zersetzung nur ½ Theil jeden Salzes in Lösung seyn kann, fällt aber mit dem aus den Beobachtungen erhaltenen sehr nahe zusammen.

Wie sich also beim Vergleiche der einzelnen Salze in Bezug auf die Größe der Verminderungen und den Verlauf, den sie in den verschiedenen Temperaturen nehmen, keine Gesetzmässigkeit zeigt, so auch bei der Vergleichung der durch Salzgemische hervorgebrachten Verminderungen mit ienen. Wir sind nicht im Stande, aus den für die einzelnen Salze gültigen Gleichungen die der Gemische herzuleiten; dieselben sind merklich von einander verschieden, und selbst das Zeichen der Verschiedenheit ist keineswegs allgemein dasselbe, so dass jedes Gemisch sich wie ein selbstständiges Salz verhält. Auffallend ist es dabei, daß für die Gemische, bei welchen eine doppelte Zersetzung möglich ist, das Verhältniss der beiden Gleichungen, wenn auch nicht quantitativ, so doch qualitativ dasselbe ist; dass bei allen, während bei den aus den Verminderungen durch die einzelnen Salze gebildeten Gleichungen b nicht 0 ist, die aus den Versuchen sich ergebenden Gleichungen stets das Verhältniss

$$\frac{V}{T} = a$$

haben. Es ist dieses jedoch zu wenig, soweit es jetzt zu erkennen ist, in der Natur der Sache begründet, und zugleich für zu wenig Gemische constatirt, als dass es gestattet wäre, daraus einen allgemeinen Schluss zu ziehen.

9. Die an den Gemischen mit gleichem Gehalt der verschiedenen Salze beobachteten Erscheinungen liefern also auf das unzweideutigste den Beweis, dass auch die Salze, welche wegen Gleichheit ihrer Säure oder Basis chemisch auf einander einzuwirken nicht vermögen, in ihrem Verhalten zum Wasser, wenn sie zugleich in Lösung sind, sich gegenseitig modificiren. Den Grund der Modification aufzufinden möchte schwer halten; die Art derselben jedoch einigermassen zu verfolgen, ob vielleicht ein Salz vorzugs-

weise ändernd einwirke, ist man im Stande, indem man das Verhältnis der Salze zu einander in den Gemischen variirt. Ich habe das für die beiden ersten Gemische, in denen die Salze entweder gleiche Säure oder Basis haben, gethan, indem ich Lösungen von Kochsalz und Glaubersalz im Verhältniss $1:2,\ 1:\frac{3}{4},\ 1:\frac{2}{4},\ 1:\frac{1}{4}$ und solche von Gemischen aus Natron- und Kali-Salpeter, welche in gleichen Verhältnissen dargestellt waren, untersuchte. Die angewandten Lösungen enthielten $10:20,\ 10:15,\ 15:10,\ 10:5$ Theile der verschiedenen Salze; die erhaltenen Zahlen sind auf Tabelle VI und VII zusammengestellt.

Tabelle der Spannkraftsverminderungen durch Gemische von Kochsalz und Glaubersalz.

	Spann-	Verminderungen durch					
Temp.	krast d. VV asser- dampss	5 Thl. NaCl 10NaOSO ³	10 Na Cl 20NaOSO ³	10 NaCl 15 NaOSO ³	15 Na Cl 10NaOSO ³	10 Na Cl 5 NaO SO	
	mm	mm	min	mm	mm	mm	
25,5°C.	17,93	0,90	2,00	1,55	2,00	0,90	
20,5	17,93	1,00	2,00	1,75	2,48	1,20	
21,1	22,31	1,40	2,80	2,24	3,20	1,50	
27,8	27,77	1,65	3,30	2,85	3,90	1,90	
30,3	32,19	2,00	3,99	3,29	4,58	2,09	
31,0	33,40	1,99	4,28	3,46	4,67	2,38	
33,7	38,90	2,58	4,94	4,24	5,56	2,88	
33,8	39,00	2,19	4,97	4,14	5,46	2,74	
36,9	45,00	2,58	5,40	4,66	5,75	3,20	
37,4	48,00	2,88	5,85	4,86	6,54	3,36	
40,4	56,60	3,27	6,74	5,76	7,68	4,07	
40,6	57,00	3,22	6,74	5,76	7,28	4,02	
43,0	64,34	3,77	7,64	6.61	8,68	4,76	
44,1	68,00	1	8,17	6,85	8,82	4,86	
46,5	77,15	4.51	9,02	7,58	10,00	5,55	
46,9	78,00	4,36	9,32	7,83	10,19	5,45	
48,5	85,49	225	9,75	8,17	10,98	6,08	
49,8	91,23	_	10,78	9,30	11,98	6,72	
52,8	105,45	6,04	12,48	10,90	13,57	7,81	
54,8	116,17	6,60	13,47	11,50	14,55	8,41	
57,0	129,25	7,29	14,51	12,72	16,69	8,55	
59,7	146,70	7,54	16,13	13,77	17,44	9,74	
61.5	159,48	8,93	18,25	15,86	20,07	11,08	
63,9	178,27	10,20	20,00	17,14	21,76	12,36	
64,8	185.37	10,35	20,64	17,76	23,00	12,89	
67,0	204,37	11,20	22,72	19,72	24,85	13,90	
69,0	223,16	12,45	25,05	21,80	27,78	15,52	

104

	Spann- kraft d.	Verminderungen durch						
Тетр.		5 Thl. NaCl 10NaOSO ³		10 Na Cl 15 Na OSO ³	15 Na Cl 10 Na OSO ³	10 Na Cl 5 NaO SO		
°C.	mm	mm	mm	mm	mm	mm		
71,8	251,93	13,35	27,50	24,00	30,78	16,89		
73,9	275,48	-	30,35	26,60	33,60	18,15		
76,4	305,23	16,86	33,80	29,56	38,15	20,90		
79,2	343,73	18,26	37,95	33,65	41,80	22,68		
81,5	377,06	20,80	41,60	36.00	45,88	24.54		
84.2	419,57	21,90	44.50	38,53	49,40	27,09		
85,9	448,38	24,20	49,60	6767	53,70	29,76		
89,5	515,53	26,90	52,64		60,00	33,50		
91,2	550,00	28,55	57,09		64,34	35,75		
94,4	620,00	30,90	62,70	1	70,90	39,40		
95,9	655,12	33,26	66,95		75,94	42,10		
98,3	714,97	37,00	75,61		84,50	47,82		
100,4	770,00	40,16	_		89,50	51,75		

Das Gemisch aus 10 Na Cl + 15 Na O SO² wurde in einer andera Reihe weiter untersucht, da der Pfropf der Röhre plötslich undicht wurde; die VVerthe sind

86,4	457,28	43.00	
88,1	488,65	45,60	
90,1	527,47	48,62	
92,1	568,39	52,00	
95,4	643,86	59,58	
97,7	700,00	64,36	
99,9	757,28	69,71	į

Tabelle der Spannkraftsverminderungen durch Gemische von Kaliund Natron-Salpeter.

	Spannkraft	Verminderungen durch				
Тетр.	des VVasser- dampfes	10 NaO NO ⁵ 20 KO NO ⁵	10 NaO NO ⁵ 15 KO NO ⁵	15 NaO NO ⁵ 10 KO NO ⁵	10 NaO NO ⁵	
	200	mm	mm	mm	200	
34,7° C.	41,13	2,28	1,89	3,08	1,49	
36,6	45,65	2,78	2,09	3,57	1,79	
36,9	46,45	2,88	2,58	3,49	1,99	
39,2	52,60	3,47	3,08	4,06	2,39	
40,4	56,10	3,57	3,17	3,88	2,19	
43,2	65,00	4,16	3,77	4,75	2,83	
43,4	65,70	4,26	3,77	5,05	2,88	
46,6	77,35	4,95	4,36	5,45	3,37	
48,4	84.86	5,44	4,95	6,13	3,81	
49,1	87,93	6,23	5,24	6,73	3,95	
50,6	94,60	6,53	5,54	7,13	4,25	

_	Spannkraft des		Verminder	ngen durch	
Temp.	Wasser-	10 NaO NO5	10 NaO NO	15 NaO NO5	10 NaO NO
	dampfes	20 KO NO ⁵	15 KO NO ⁵	10 KO NO ⁵	5 KO NO ⁵
50.10.0	mm 100.04	mm	mm	mm	mm
52,1° C.	102,04	7,02	6,08	7,57	4,41
54,8	116,36	8,07	7,04	8,71	4,94
57,1	129,87	9,99	8,52	10,25	6,60
58,2	136,80	9,84	8,45	10,94	6,71
59,2	143,36	10,49	8,70	10,88	6,80
60,3	150,89	10,67	9,19	11,07	7,01
62,3	165,39	12,16	9,89	11,87	7,51
64,6	183,63	12,96	12,09	13,36	8,60
66,3	198,15	14,35	12,16	15,12	9,49
68,5	218,35	16,00	13,32	16,19	10,35
70,3	236,18	17,28	14,71	17,97	11,43
72,5	259,57	- 19,37	16,50	19,57	13,22
74,4	281,37	20,36	17,79	20,46	14,30
76,1	302,10	22,60	19,24	22,60	14,40
78,6	334,79	25,55	21,90	25,55	17,25
80,1	356,10	26,71	23,75	26,71	17,24
82,2	387,56	30,00	25,12	30,00	18,02
84,2	419,57	30,85	26,80	30,95	21,25
86,4	457,28	35,00	30,25	35,70	23,13
88,1	488,65	38,49	32,81	37,52	23,21
90,1	527,47	40,35	34,43	38,37	25,50
92,1	568,39	44,60	37,90	43,32	28,51
95,4	643,86	51,02	43,55	48,57	33,31
97,7	700,00	54,54	46,10	52,56	34,55
90,85	756,12	61,38	53,44	59,00	37,91

Die direct erhaltenen Zahlen sind jedoch nicht vergleichbar, da in den Lösungen beide Salze in verschiedenen Mengen auftreten. Ich habe daher, ganz in derselben Weise wie früher, gestützt auf das Gesetz, daß die Verminderungen der Spannkraft proportional sind den gelösten Salzmassen, vorausgesetzt, daß deren Zusammensetzung ungeändert bleibe, welches auch hier wieder (Tabelle VI. Spalte 3 und 4) sich bestätigt, die Zahlen auf die Einheiten der gelösten Salze reducirt, welche gleichen Quantitäten des einen Salzes entsprechen, und die so direct vergleichbaren Zahlen auf Tabelle VI a für die Gemische aus Kochsalz und Glaubersalz zugleich mit den, nach den sofort näher zu bezeichnenden Gleichungen, berechneten zusammengestellt.

Tabelle der auf die Kinheit Sals reducirten Werthe der Spannkraftsverminderungen durch verschiedene Mischungen von Kechsals und Glaubersals.

<u>.</u>	. 2g	Verminderungen durch Gemiche aus							
i i	nnkraft d. sserdampfs		•Cl		a Cl	1 N		1 N	
<u> </u>	De.	2 Na().SO	i NaO	.503	N∎O	.50-	₽NaO	.80-
Temperatur	Spannkraft VV asserdam	beob.	ber.	beob.	ber.	beob.	ber.	beob.	ber.
• C.									
20,5	17,93	0.200	0,206	0,155	mm 0,182	0.133	0,153	0.090	0,113
20,5	17,93	201	206	175	182	160	153	120	118
24,1	22,31	280	292	224	224	213	187	150	147
27,8	27,77	330	328	285	285	260	238	190	185
30,3	32,19	400	390	329	329	305	280	209	207
31,0	33,40	416	404	346	336	316	282	238	222
33,7	38,90	504	474	424	398	370	332	288	260
33,8		480	475	414	399	364	333	274	261
36,9		532	555 579	466 486	468 486	383 436	383 409	320 336	301 321
37,4	48,00 56,60	582 666	675	450 576	566	512	474	407	373
40,4 40,6	57,00	666	678	576	568	485	479	402	376
43,0	64,34	744	770	661	646	578	542	476	418
44,1	68.00	817	817	685	685	588	576	486	445
46.5	77,15	902	923	758	776	666	651	555	515
46.9		912	926	783	779	679	661	545	520
48,5	85,49	974	1,016	817	856	732	725	608	570
49,8	91,23	1,018	087	930	915	799	767	672	610
52,8	105,45	234	251	1,090	1,054	901	886	781	702
	116,17	338	378	150	162	970	978	841	775
57,0	129,25	446	528	272	289	1,112	1,083	855	863
	146,70	578	726	377	454	168	214	974	974
	159,58	812	870	586	580	338 451	338 490	1,108 236	1,063 191
	178,27	2,040	2,095	714 776	763 830	533	543	289	237
	185,27 204,37	066 261	146 297	912	2,012	656	694	390	364
	223,16	505	599	2,180	191	852	848	552	500
	251,93	723	907	400	464	2.052	2,091	698	685
	275,48	3.035	3,157	660	679	240	265	805	839
	305,23	377	470	950	956	543	494	2,090	2,040
79,2	343,73	780	890	3,365	3,302	786	801	268	294
	377,06	4,160	4,220	600	608	3,059	3,066	454	522
84,2	419,57	430	670	853	978	300	391	709	747
	448,38	950	950			600	611	976	997
	515,53	5,302	5,544		1	4,000	4,117	3,350	3,445
	550,00	709	937			297	378	575	675
	620,00	6,240	6,543		İ	730	892	940	4,045 251
	655,12	675	871			5,063 633	5,144 575	4,210 782	776
30,3	714,97	7,507	7,416			000	515	102	''6

5	d.	Verminderungen durch Gemische aus								
Temperatur	Spannkraft d. Wasserdampfs	1 Na Cl 2 NaO SO ³		1 Na Cl 3 Na O SO ³		1 Na Cl 3 Na O SO ³		1 Na Cl 1 Na O SO ³		
Ter	Span	beub	ber.	beob.	ber.	beob.	ber.	beob.	ber.	
°G. 100,4	770,00	mm 8,032	mm 7,900	mm	mo	mm 5,966	mm 5,966	mm 5,175	mm 5,158	
	451,28		1000	4,300	4,311	0.000			1	
88,1	488,65			560	577)			
90,1	527,17	1		4,862	4,908					
92,1	568,39			5,200	5,231		N 1			
95,4	643,86			928	862					
97.7	700,00			6,436	6,314					
99,0	757,28			972	750		1			

10. Es zeigt sich nun zunächst, wenn wir bei dem Gemische mit dem geringsten Glaubersalzgehalte beginnen, dass die beobachteten Zahlen mit hinreichender Genauigkeit sich der linearen Gleichung

V = 0,00669 T

anschließen, worin V die der Spannkraft T des Dampfes aus reinem Wasser entsprechende Verminderung bedeutet. Die größte Abweichung, welche zwischen den direct beobachteten und hiernach berechneten Zahlen austritt, beträgt 1.05mm, bei 94.4°, eine Abweichung, welche durchaus innerhalb der Gränzen der möglichen Beobachtungsfehler liegt. Die diesem Gemische entsprechenden Verminderungen der Spannkrast lassen sich also ebenso wie die durch die einzelnen Salze hervorgebrachten Verminderungen in der bereits mehrfach benutzten Darstellungsweise in einem Coordinatensystem, dessen Abscissen die Spannkräfte des Wasserdampfes, dessen Ordinaten die den einzelnen Spannkräften entsprechenden Verminderungen bedeuten, durch eine gerade Linie darstellen. Vergleichen wir aber die Coëfficienten dieses Ausdruckes mit jenem, welcher sich aus den für die einzelnen Salze gültigen, wenn sie einzeln in der gleichen Wassermenge gelöst wären, ergiebt, so zeigt sich, dass der aus den Beobachtungen folgende um ein Bedeutendes kleiner ist. Durch diese Rechnung wird

 $V = 0.00601 \ T + \frac{1}{2} \cdot 0.00236 \ T = 0.00718 \ T$ Die Verminderungen sind also im Verhältniß 669 : 718 kleiner, als sie seyn würden, wenn keine Einwirkung der Salze auf einander stattfände.

Die geringe Uebereinstimmung, welche sich hiernach zwischen den einzelnen Salzen und dem Gemische noch findet, indem die durch jene hervorgebrachten Verminderungen zu diesem in einem constanten Verhältnisse stehen, verschwindet, sobald wir das Glaubersalz in dem Gemische u.n. ein Geringes vermehren. Schon für das Gemisch, welches auf 1 Theil Kochsalz 🖁 Glaubersalz enthält, ist die Gleichung, welche die Abhängigkeit der Spannkraftsverminderungen von den Spannkraften ausdrückt, nicht mehr linear; die darstellende Curve verlässt die gerade Linie und neigt sich gegen die Abscissenaxe, indem sie derselben ihre concave Seite zukehrt. Die Gleichung ist:

 $V = 0.00851 T - 0.0000010 T^2$

während die aus den für die einzelnen Salze gültigen Ausdrücken berechnete

V = 0.00758 T

seyn würde.

Je mehr Glaubersalz nun dem Gemische zugesetzt wird, um so größer wird die Abweichung von den aus den frühern Zahlen berechneten Gleichungen, um so stärker zugleich die Krünmung der Curve. Für das Gemisch aus 1 Theil Kochsalz und 3 Glaubersalz wird

 $V = 0.01021 T - 0.0000027 T^2$

während die berechnete seyn würde

V = 0.00955 T

Für die Mischung aus 1 Theil Kochsalz und 2 Theilen Glaubersalz wird die Gleichung, welcher sich die beobachteten Zahlen anschließen

 $V = 0.01217 T - 0.0000025 T^2$

die berechnete ist hingegen

K = 0.01073 T

11. Es geht daraus hervor, dass die Wirkung des Glaubersalzes hauptsächlich durch die Gegenwart des Kochsalzes modisiert wird, da die Abweichungen von den theoretisch berechneten Gleichungen mit den verschiedenen Mengen Glaubersalz gewissermaßen, wenn auch sehr wenig, regelmäßig sich ändern.

12. Diese äußerst auffallende Thatsache wiederholt sich in noch höherem Maaße bei den Gemischen aus Kali- und Natron-Salpeter. Auch hiefür sind die Zahlen auf Gemische reducirt von der Einheit Natron-Salpeter mit der entsprechenden Quantität Kali-Salpeter (also ½, ¾ etc.), und auf der folgenden Tabelle zugleich mit den nach den Interpolationsformeln berechneten zusammengestellt.

Tabelle der auf die Einheit Salz reducirten Werthe der Spannkraftsverminderungen durch Gemische von Kali- und Natronsalpeter.

b	p.	Verminderungen durch Gemische von							
Temperatur	an a	1 NaO	. NOS	1 NaO	. NOS	I NaC	.NO5	1NaO	NO5
	annkraft d.	2KO.NO		3KO. NO5		3KO.NO5		½ KO. NO5	
	Spannkraft d. Wasserdampfs	beob.	ber.	beob.	ber.	beob	ber.	beob.	ber.
°C.	mo	mm	mm	mm	mm	mm	mm	nom	mm
34,7	41,15	0,228	0,273	0,189	0,235	0,205	0,189	0,149	0,177
36,6	45,65	278	288	209	261	238	211	179	195
36,9	46,45	288	295	258	267	232	212	199	200
39,2	52,60	347	339	308	304	270	244	239	22
40,4	56,10	357	366	317	326	260	260	219	244
43,2	65,00	416	426	377	379	317	303	283	284
43,4	65,70	426	430	377	384	337	307	288	287
46,6	77,35	495	508	436	451	363	361	337	337
48,4	84,86	544	561	495	498	409	395	381	378
49,1	87,93	623	586	524	517	450	415	395	387
50,6	94,60	653	631	554	557	475	448	425	416
51,2	102,04	702	679	608	601	505	484	444	441
54,8	116,36	807	775	704	686	580	553	494	513
57,1	129,87	999	876	852	763	683	624	660	578
58,2	136,80	984	923	845	816	699	659	671	60:
59,2	143,36	1,049	965	870	853	725	702	680	637
60,3	150,89	067	1,021	919	903	739	731	701	674
62,3	165,39	216	125	989	1.023	166	800	751	746
64,6	183,63	296	259	1,209	104	890	896	860	840
66,3	198,15	-435	361	216	200	1,008	977	949	890
68,5	218,35	600	508	332	322	080	1,010	1,035	987
70,3	236,18	728	643	471	443	198	181	143	1,078
72,5	259,57	937	825	650	600	305	308	322	181
74.4	281,37	2,036	986	779	740	364	416	430	282
76,1	302,10	260	2,140	924	879	516	522	440	383
78.6	331,79	555	409	2,190	2,095	703	683	725	557
80,1	356,10	671	577	375	298	780	794	724	648
82,2	387,56	3,000	837	512	462	2,000	950	802	807
84,2	419,57	085	3,093	680	685	063	2,101	2,125	963

Temperatur	P. d.	Verminderungen durch Gemische von								
	Spannkraft d. Wasserdampf	1 NaO NO ⁵ 2 KO NO ⁵		I NaO NO ⁵ ³ KO NO ⁵		1 NaO NO ⁵ 3 KO NO ⁵		I NaO NO ⁵		
		beob.	ber.	beob.	ber.	beob.	ber.	beob.	ber.	
°C.	mm	mm	um	mm	mm	mm	mm	mm	mm	
86,4	457,28	3,500	3,413	3,025	2,955	2,380	2,303	2,313	2,132	
88,1	488,65	849	680	281	3,337	501	464	321	323	
90,1	527,47	4,035	4,028	443	469	558	656	550	520	
92,1	568,39	460	388	790	776	888	862	851	748	
95,4	643.86	5,120	5,088	4,352	4.352	3,238	3,238	3,331	3,147	
97.7	700,00	454	621	610	802	504	528	455	458	
	756,12	6,138	6,167	5,348	5,253	933	810	791	769	

13. Die Interpolationsformeln, nach welchen die als berechnet angegebenen Werthe gefunden wurden, wenn wir zugleich die früher erhaltenen für Gemische aus gleichen Quantitäten der beiden Salze zur Vergleichung hinzufügen, sind folgende:

1 Na O.NO⁵
$$\frac{1}{2}$$
 KO.NO⁵ $V = 0,00432$ $T + 0,0000009$ T^2
1 " $\frac{2}{3}$ " $V = 0,00454$ $T + 0,00000020$ T^2
1 " $V = 0,00504$ T
1 " $V = 0,005009$ $T + 0,0000029$ T^5
1 " $V = 0,00576$ T
1 " $V = 0,00574$ $T + 0,0000016$ T^2
1 " $V = 0,00642$ $T + 0,0000023$ T^2

Für die Gemische aus 1 und $\frac{2}{3}$, 1 und 1 sind je zwei Gleichungen angegeben. Die erstere, mit einem quadratischen Gliede giebt die beobachteten Werthe bei beiden wieder bis zu einer Temperatur von $72-73^{\circ}$, indem bei dem Gemische $1:\frac{2}{3}$ die erste Gleichung in die zweite übergeht für $T=250^{\text{mm}}$, bei 1:1 für $T=263^{\text{mm}}$. In höheren Temperaturen gilt dann die lineare Gleichung bis 100° , der Temperaturgränze, bis zu welcher meine Beobachtungen reichen.

Stellen wir diesen Interpolationsformeln diejenigen gegentiber, welche gültig seyn würden, wenn die Salze ihre Wirkung auf das Wasser gegenseitig nicht modificirten, so sind dieselben folgende: Es wird überslüssig seyn, hier die Vergleichung der einzelnen Interpolationsformeln unter einander, sowie mit den aus den früheren Zahlen erhaltenen durchzuführen. Auftreten zweier Curven mit singulären Punkten, die Unterbrechungen der Continuität in den Gleichungen zeigt schon, dass von einer Regelmässigkeit in der Wechselwirkung der beiden Salze nach den verschiedenen Quantitäten nicht die Rede seyn kann. Gleiches würde sich bei der Zusammenstellung mit den aus den frühern Zahlen berechneten Ausdrücken ergeben. Für 1 Natron- + Kali-Salpeter schneiden sich die beobachtete und berechnete Curve bei T=700. indem der aus den Beobachtungen sich ergebende Ausdruck unterhalb größere, oberhalb T = 700 kleinere Werthe für V giebt, als der berechnete; die für 1 - 2 geltenden Curven schneiden sich schon bei T=200 in gleichem Sinne, bevor also noch die beobachtete Curve ihren singulären Punkt erreicht hat; ein gleiches ist der Fall bei 1 - 1 schon bei T = 20. Bei dem Gemische 1: 3 ist der Kreuzungspunkt der beiden Curven wieder hinaufgerückt: er liegt bei T=104, während die Ausdrücke für das Gemisch 1 Natron- 2 Kali-Salpeter nur bei T=0 zusammentreffen, so zwar, dass die berechnete Gleichung von Anfang an bedeutend größere Werthe liefert.

14. Diese Thatsachen lehren uns also eine Klasse neuer Erscheinungen auf dem Gebiete der Molecularkräfte kennen, für die den physikalischen Grund anzugeben jetzt noch unmöglich ist; sie zeigen uns Aeufserungen von Kräften an einer Stelle, wo solche nicht erwartet werden konnten. Zugleich aber beweisen dieselben, dass es auf diesem Wege nicht möglich ist, die Gesetze derselben kennen zu lernen. Ich habe es daher unterlassen, noch andere Gemische zu

untersuchen, besonders meine Versuche auf solche Gemische auszudehnen, in denen die Salze chemisch sich verändern können und nach Berthollets Untersuchungen in sehr verwickelter Weise auf einander wirken.

15. Wenn wir nun auch die Einzelnheiten der untersuchten Erscheinung nicht zu erklären vermögen, so ist es doch, wie ich bereits anderweitig bemerkte '), wohl keinem Zweifel unterworfen, dass die Veränderung der Spannkraft des Wasserdampses durch im Wasser gelöste, nicht mit eigener Dampspannung begabte Stoffe Folge ist einer Anziehung, welche die im Wasser vertheilten Stofftheilchen auf die umgebenden Wassertheilchen, theils wenn sie noch nicht in Dampsform übergegangen, theils wenn sie bereits Damps geworden sind, ausüben. Diese anziehende Kraft ruft die Verminderung hervor, letztere ist daher ein directes Maass der erstern, bezogen auf die anziehende Kraft, welche die Wassertheilchen selbst bei der Bildung des Dampses und auf den gebildeten Damps selbst ausüben, zu dem wir durch folgende Betrachtung gelangen.

Die Wassertheilchen im stüssigen Wasser haften aneinander lediglich in Folge eines äusseren auf ihnen lastenden Druckes, wie wir daraus schließen müssen, das in einem Raume, in welchem kein Druck auf demselben lastet, Wasser als solches nicht existiren kann, sondern in Dampf sich verwandelt. Wir dürsen daher annehmen, das die Wassertheilchen in eben dem Verhältnis stärker oder schwächer aneinander haften wie der äußere Druck größer oder kleiner wird. Haften also unter dem Drucke p die Wassertheilchen mit der Kraft a, unter p' mit a' aneinander, so ist

a:a'=p:p'

Eine Aenderung des äusseren Druckes ändert also die Kraft, welche erforderlich ist, um die Wassertheilchen aus der dem zweiten Aggregatszustande entsprechenden Gleichgewichtslage zu bringen, die Kraft also mit der sie aneinander haften. Dasselbe, was eine Aenderung des Druckes, bringt auch eine Aenderung der Temperatur hervor, so zwar, das

¹⁾ Diese Ann. Bd. CIII, S. 561.

Wasser von höherer Temperatur schon bei höherem äußerem Druck sich in Dampf verwandelt als Wasser von niedriger Temperatur. Durch Hinzustühren von Wärme vermindern wir also die Cohärenz (um einen kurzen Ausdruck einzuführen) der Wassertheilchen und heben sie schliesslich ganz auf, so dass unter einem gegebenen Druck über eine gewisse Temperatur binaus, und bei gegebener Temperatur unter einem geringeren als einem bestimmten Druck das Wasser als solches nicht mehr existiren kann, sondern sich in Dampf verwandeln muß. Die Beziehung zwischen Druck und Temperatur giebt uns die als Function der letztern gegebene Spannkraft des Wasserdampfes, indem die Spannkraft des Dampfes uns das Minimum des Druckes angiebt, welches erforderlich ist, um die Wassertheilchen in der dem zweiten Aggregatzustande entsprechenden Gleichgewichtslage zu erhalten. Aus dieser Beziehung zwischen Siedetemperatur und Druck, sowie aus dem oben erwähnten Satze der Proportionalität von Cohärenz und Druck ist man berechtigt, den Schluss zu ziehen, dass die Wassertheilchen bei der höhern Temperatur t'o mit eben der Kraft aneinander haften würden, wie bei der Temperatur to, wenn man den auf dem Wasser lastenden Druck p bei der Temperatur t'o in dem Verhältnisse verstärkt, in welchem die der Temperatur t'o entsprechende Spannkraft T größer ist als die der Temperatur to entsprechende Spannkraft T. Denn bei der Temperatur to verhält sich die Cohärenz der Wassertheilchen unter dem Drucke p zu der unter einem der Spannkraft T gleichem Drucke

$$a:a_1=p:T$$

und bei der Temperatur t'o

$$a':a',=p:T'$$

Bei der Temperatur t^o siedet das Wasser unter dem Drucke T, bei t^{o} unter T; beim Sieden ist aber die Cohärenz stets dieselbe, so daß $a_1 = a'_1$ und deshalb

$$a:a'=T':T$$

oder auch

$$a:a'=\frac{1}{T}:\frac{1}{T}$$

so dass wir diese Beziehungen einfach durch den Satz aussprechen können: "Der reciproke Werth der Spannkraft des Wasserdampses bei den verschiedenen Temperaturen ist das Maass für die Cohärenz der Wassermoleküle bei dieser Temperatur."

16. Die Spannkraftsverminderung des Wasserdampfes durch gelöste Salze sahen wir an als die Folge einer anziehenden Wirkung der im Wasser vertheilten Salzmoleküle zu den Wassermolekülen, als Folge also der stärkern Cohärenz der Flüssigkeitstheilchen der Salzlösung. Darnach ist also die Wirkung der gelösten Salze dieselbe, wie die einer Vergrößerung des auf dem Wasser lastenden Druckes oder der Verminderung der Temperatur. Es folgt daraus, dass auch in diesem Falle der reciproke Werth der Spannkraft des Dampfes aus der Lösung und der des Dampfes aus reinem Wasser das relative Maass für die Cohärenz der beiden Flüssigkeiten ist. Die Cohärenz der Flüssigkeistheilchen der Salzlösung ist die Summe der anziehenden Wirkung der Salztheilchen zu den Wassertheilchen und der Kraft, mit der die Wassertheilchen aneinander haften. Bezeichnen wir erstere mit x, letztere mit a, die Spannkraft der Salzlösung mit T, die des reinen Wassers mit T, so haben wir nach dem vorigen §.

$$x+a:a=\frac{1}{T}:\frac{1}{T}$$

und daher

$$x = a \cdot \frac{T - T'}{T'}$$

Nennen wir V die durch das gelöste Salz hervorgebrachte Verminderung der Spannkraft, so ist

$$T = T - V$$

Also

$$x = a \frac{v}{T - V}$$

V fanden wir früher allgemein als Function von T $V = r T + s T^2$

wodurch

$$x = a \frac{r + sT}{1 - (r + sT)}$$

17. Als Maass für die anziehende Wirkung der Salzmoleküle zu den Wassermolekülen haben wir somit die Cohärenz der Wassertheile bei eben derselben Temperatur erhalten. Da letztere selbst eine Function der Temperatur ist, so ist die Einheit auf welche wir x bezogen haben, eine veränderliche. Um dieselbe constant zu erhalten, nehmen wir die Cohärenz der Wassertheile bei 0° und 760mm Druck als Einheit; dadurch wird die Cohärenz bei irgend welcher Temperatur und irgend welchem Druck

$$a = \alpha \cdot \frac{p}{760} \cdot \frac{4,52}{T}$$

worin α die Cohärenz bei 0° und 760^{mm} Druck, p der Druck unter dem das Wasser in dem speciellen Falle, 4,25 die Spannkraft des Wassers bei 0° , T die bei der in Rede stehenden Temperatur stattfindende Spannkraft des Wasserdampfes bedeutet. Darnach wird auf die constante Einheit α bezogen

$$\dot{x} = \alpha \, \frac{p}{760} \cdot \frac{4,25}{T} \cdot \frac{r + s \, T}{1 - (r + s \, T)}$$

Bedeuten r und s die der Gewichtseinheit Salz gelöst in der Gewichtseinheit Wasser entsprechenden Constanten, so bedeutet x die Molekular-Anziehung, welche ein Theil Salz auf ein Theil Wasser ausübt, wenn er in demselben gelöst ist.

- 18. Auf diese Weise sind wir zu demselben Maass gelangt welches Hr. Plücker andeutet, wenn er sagt '), dass wir in der Spannkraft einer Lösung und der des reinen Wassers ein relatives Maass hätten für die Größe der im Innern der Flüssigkeiten thätigen Molecularkräfte. Denn auch er wird dort die reciproken Werthe dieser Spannkräfte gemeint haben.
 - 19. Auch Hr. Regnault statuirt dasselbe Maass 2), in-
 - 1) Diese Ann. Bd. 92, S. 193.
 - 2) Diese Ann. Bd. 93, S. 537 und Comptes rend. XXXIX. p. 312.

116

dem er den Ueberschuss der Temperatur, bei der eine Salzlösung siedet über der, bei welcher das Wasser siedet, als Maass ansieht der anziehenden Wirkung, welche das Salz auf das Wasser ausübt. Nur ist es nicht ao allgemein als das vorhin aufgestellte, da es uns den Factor $\frac{r+sT}{1-(r+sT)}$ nur für T(1-r+sT)=760 liesert, oder nur für die Siedetemperatur der Salzlösung. Allgemein, für alle Temperaturen, gilt es nur bei den Salzen, bei welchen s=0 ist, denn dann wird dieser Factor unabhängig von T. Von den von mir untersuchten Salzen war s=0 nur für Kochsalz und Glaubersalz, von denen für Kochsalz r in der oben §. 17 angegebenen Bedeutung

$$r = 0.601$$

also

$$x = 1.5 \cdot \left(\alpha \cdot \frac{p}{760} \cdot \frac{4,25}{T}\right)$$

also das Anderthalbfache der bei jeder Temperatur stattfindenden Kraft ist, mit der die Wassertheilchen aneinander haften.

. Für Glaubersalz war

$$r = 0.236$$

$$x = 0.13 \cdot \left(\alpha \cdot \frac{p}{760} \cdot \frac{4.25}{T}\right)$$

Für die übrigen Salze war s theils positiv, theils negativ, so dass die Molecularanziehung der Wassertheilchen zu den Salztheilchen in Bezug auf die der erstern unter sich mit steigender Temperatur theils größer, theils kleiner wird. Für Chlorkalium wird z. B.

$$x = \left(\alpha \cdot \frac{p}{760} \cdot \frac{4,25}{T}\right) \frac{0,390 + 0,0000538 \ T}{1 - (0,390 + 0,0000538 \ T)}$$

wo der zweite Factor für T = 760 den Zahlenwerth 0,75 erhält.

20. Fassen wir nun, mit Rücksicht auf das zuletzt Gesagte, die Resultate unserer Bemühungen zusammen, so sind dieselben kurz folgende:

- 1) Die Verminderungen der Spannkräfte des Wasserdampfes durch im Wasser gelöste nicht mit eigener Dampfspannung begabte Substanzen sind proportional den Quantitäten der gelösten Substanzen 1).
- 2) Dieselben sind eine für jedes Salz und jedes Gemisch aus zwei Salzen anders geartete Function der Temperatur.
- 3) Es läst sich keine Beziehung erkennen zwischen diesen Verminderungen und anderen bereits erkannten Eigenschaften der Salze, besonders der Löslichkeit.
- 4) Auch die Salze, welche chemisch auf einander nicht einwirken können, modificiren sich in ihrer anziehenden Wirkung auf das Wasser, wenn sie zugleich in Lösung sind.
- Diese Verminderungen sind ein Maass für die zwischen Wasser und Salz thätigen anziehenden Kräfte.
- 6) Aus 3 und 5 folgt: Die Auflösung eines Salzes ist nicht lediglich Folge anziehender zwischen Wasser und Salz thätiger Kräfte.
- 1) Dieser Satz ist in der als Habilitations-Abhandlung veröffentlichten Mittheilung durch ein Versehen falsch formulirt worden. Die hier gegebene Zusammenstellung der Resultate ist ebenfalls etwas anders, jedoch wie ich glaube deutlicher.

V. Bemerkungen über das feldspathartige Gestein des Zirkonsyenits; von Dr. C. Bergemann.

In der Berg- und Hüttenmännischen Zeitung No. 1 d. J. theilt Hr. Breithaupt in einer Abhandlung »neue Beobachtungen an Felsiten a die Resultate einer Analyse des Mikroklin des norwegischen Zirkonsyenits mit der Bemerkung mit, dass es lange gedauert, ehe die beiden Hauptbestandtheile dieses Gesteins die gebührende Untersuchung gefunden haben. Wenn auch verschiedene, nach meiner Ansicht sehr gründliche Untersuchungen über diesen Gegenstand vorliegen, so veranlasste diese Aeusserung mich doch mit, eine von mir schon früher ausgeführte Arbeit des feldspathartigen Gesteins des Zirkonsyenits, deren Resultate ich aber nicht publicirt hatte, zu revidiren, indem dieselben von denen Anderer bis zu dem Grade abweichen, dass ich an einen irgendwie eingeschlichenen Irrthum glauben musste, zumal da nach den Arbeiten von Hrn. G. Rose gerade dieser Syenit als der Typus eines nur feldspathhaltigen Hornblendegesteins bezeichnet wird. Da ich aber bei der Wiederholung der Untersuchung fast ganz zu denselhen Resultaten gekommen bin, wie früher, so nehme ich keinen Anstand dieselben hier mitzutheilen.

Außer den beiden Hauptbestandtheilen in dem Gestein von Fredriksvaern, Hornblende und Kalifeldspath, ist nach dieser Untersuchung noch ein dem letzteren sehr ähnlicher in großen Massen beigemengt, dessen Zusammensetzung verschieden gedeutet werden kann und welcher wegen seines mehr zersetzten Ansehens und auch wohl wegen der Schwierigkeit, ganz reine Bruchstücke auszusondern, bis jetzt von einer genaueren Untersuchung abgehalten haben dürfte, zumal da reiner Feldspath (Orthoklas) mit allen charakteristischen Merkmalen, so leicht aus dem Gestein zu erhalten ist.

An allen Bruchstücken von Zirkonsyenit, welche ich zu sehen Gelegenheit hatte, bildet Orthoklas immer größere und reinere Abscheidungen, die ein frischeres Anschen besitzen, eine mehr ins Graue oder leicht ins Gelblichgraue gehende Farbe zeigen, und keinen Gewichtsverlust beim Glühen geben, während der von mir untersuchte Theil der mehr gelbliche oder bräunlich gelbe ist, der die fremden Einschließungen, namentlich kleine Zirkone u. s. w. in größerer Menge als der Orthoklas enthält und im Vergleich mit diesem, der in beiden Spaltungsflächen einen größeren Glanz zeigt, wohl als ein Zersetzungsproduct bezeichnet werden kann.

Der Feldspath des Zirkonsyenits ist von Klaproth, Evreinoff und Anderen untersucht worden. Ich fand mich veranlast im Lause meiner Arbeit ebenfalls mit demselben einige Versuche anzustellen und kann nach diesem die früheren Ergebnisse nur bestätigen; nur fand ich in demselben eine bedeutendere Menge Natron, was mit der Untersuchung von C. Gmelin, wonach in demselben 7,08 Proc. Natron enthalten sind, übereinstimmt.

Mit diesem oft beschriebenen Feldspath hat, wie gesagt, der von mir untersuchte Theil des Gesteins eine große Aehnlichkeit, sowohl hinsichtlich seiner physikalischen Beschaffenheit, wie in seinem Verhalten gegen Säuren und bei den Löthrohrversuchen; jedoch seine Zusammensetzung ist eine andere. Dasselbe ist von verschiedenen Massen durchwachsen, jedoch nicht bis zu dem Grade, dass sich nicht mit Hülfe der Lupe das zur Ausführung der Analyse nöthige Material reichlich und rein sammeln ließe, wobei der verschiedene Glanz oft sehr kleiner Zirkone u. dergl. die freilich mühsame Arbeit erleichtert. Entschieden verwitterte und oft glanzlose Partien sind in dem Zirkonsyenit nicht selten; jedoch gelingt es aus dem Innern größerer Bruch stücke hinreichenden Vorrath von Theilchen zu erhalten, welche dem Anschein nach keine Spuren von weiterer Zersetzung an sich tragen und unter einander ein ganz homogenes Ansehen besitzen. Die die feldspathigen Theile oft in Zoll langen und dünnen Linien durchziehenden gelben

Massen, von mattem erdigem Ansehen, welche Yttererde zu enthalten scheinen, wurden sorgfältig vermieden ¹).

Dieser Theil des Gesteins von gleichmäßig gelblicherer Farbe als sie der Feldspath besitzt, ist ungefähr von derselben Härte wie dieser, läßt sich aber der Hauptspaltungsfläche nach leichter zerschlagen. In größeren Massen liefert er ein gelbliches Pulver, der Feldspath dagegen ein weißes; im Strich erscheinen beide weiß. Er besitzt blättrigen Bruch, ist stark glänzend in der Hauptspaltungsfläche, in der zweiten dagegen matter, in dünnen Splittern durchscheinend. Das spec. Gewicht beträgt im Mittel von drei Versuchen 2,726. Säuren wirken sehr wenig auf das Gestein ein und durch Schmelzen mit zweisach schweselsaurem Kalifindet ebenfalls nur eine sehr unvollkommene Zersetzung statt.

Für sich ist das Mineral nur an den Kanten der dünnsten Splitter schmelzbar, die Farbe dabei wenig verändernd, indem an einzelnen Bruchstücken zuweilen ein leichtes Decrepitiren bemerkt wird. Durch Hülfe des Löthrohrs mit den gewöhnlichen Flussmitteln zusammengeschmolzen, zeigen sich nur die Reactionen des Feldspaths, außerdem diejenigen, welche durch die Gegenwart einer geringen Menge Eisen hervorgebracht werden.

Bei der Ausführnug der Analyse ging ich von der Ansicht aus, dass das auf das sorgfätigste ausgewählte Material nur Feldspathmasse sey und nur höchstens Spuren von fremden Beimengungen enthalten könne; nur diese seyen es, welche durch Behandluug mit Säuren oder beim Schmelzen mit zweifach schweselsaurem Kali ausgezogen würden. Einzelne kleine Bläschen, welche beim Digeriren mit Chlorwasserstoffsäure gewöhnlich, aber nicht immer, aufstiegen, hielt ich zuerst für atmosphärische Lust. Zur quantitativen Ermittelung der einzelnen Bestandtheile wurden zwei Analysen ausgesührt. Bei der einen wurde das Gestein durch

Ich finde mich veranlafst, auf diese Verh
ältnisse besonders aufmerksam au machen, um dem Vorwurf, nicht reines Material zur Analyse verwendet zu haben, zu entgehen.

Schmelzen mit kohlensaurem Kali und Natron aufgeschlossen, bei der anderen durch Zersetzung mit Fluorwasserstoffsäure. Die Analyse ergab folgende Resultate:

		2:	uerstoli
Kieselsäure	61,85	32,85	
Thonerde	16,45	7,65)
Eisenoxyd	1,90	0,57	9,27
Ceroxyd	5,08	1,05)
Kali	3,78	0,63	1
Natron	7,50	1,91	0.05
Magnesia	1,48	0,58	3,85
Kalkerde	0,46	0,73	
Glühverlust	1,04	•	
Spuren von Ph	08-		
phorsäure u. Mai	ngan		
•	99,54	-	

In Bezug auf die Phosphorsäure bemerke ich noch, dass ich dieselbe noch besonders bestimmte; ihre Menge betrug aber nur 0,0127 Proc. Auf die Gegenwart des Mangans konnte nur aus der schwach grünlichen Farbe des mit den kohlensauren Alkalien zusammengeschmolzenen Gesteinspulver geschlossen werden.

Unerwartet war die Auffindung einer so bedeutenden Menge von Cer in dem Mineral; ich nahm dasselbe als Oxyd an, wie aus der vorstehenden Aufstellung hervorgeht und möchte glauben, dass die Ursache der gelblichen Farbe des Gesteins mehr diesem als dem Eisenoxyde zuzuschreiben sey. Das aus dem schweselsauren Doppelsalz mit Kali abgeschiedene Oxyd war von der gewöhnlichen Beschaffenheit. Die geglühte Masse enthielt die constanten Begleiter dieses Oxydes und, wie es schien, verhältnismäsig in noch größerer Menge als das aus dem Cerit in der gewöhnlichen Weise dargestellte Oxyd. Ich kochte einen Theil des aus dem seldspathartigen Gestein dargestellten Oxydes, nachdem es nochmals unter Zusatz von Oxalsäure geglüht war, längere Zeit mit einer concentrirten Salmiaksolution, wodurch sich ein großer Theil desselben unter Ammoniakentwick-

lung löste. Die Auflösung lieferte, mit oxalssurem Ammoniak versetzt, einen bedeutenden weißen Niederschlag, der näher nicht untersucht werden konnte, aber die wesentlichsten Reactionen von Lanthan- und Didymoxyd zeigte. Das hinterbleibende Ceroxyd hatte alle die diesem eigenthümlichen Eigenschaften. Die Beimengung jener beiden Oxyde macht die Bestimmung des Sauerstoffgehaltes höchst ungewiß, zumal da bei dieser Analyse sich gar keine Anhaltspunkte darbieten konnten, um zu bestimmen, in welcher Oxydationsstufe dasselbe anzunehmen sey und ob es nicht als Sesquioxyd vielleicht einen Theil der Thonerde vertreten könne.

Die Sauerstoffquantitäten verhalten sich nach der obigen Analyse zueinander wie 1:2,4:8,53, also nahe wie 1:3:9, und könnte man demnach geneigt seyn, diesen Theil des Zirkonsyenits für Oligoklasmasse zu halten. Es zeigen sich indessen auf der Hauptspaltungsfläche auch nicht die geringsten Andeutungen von Linien, welche auf eine Zwillingsbildung schließen ließen, wie sie für den Oligoklas so charakteristisch ist; wenn diese auch bei dem 2- und l gliedrigen Loxoklas, der die Zusammensetzung des Natron-Spodumens besitzen soll, vermisst wird. Das Gestein wird ferner von Säuren wenig angegriffen, viel mehr aber als es sonst bei dem wirklichen Oligoklas, wie bei dem Schlesischen, mit welchem ich mehrere vergleichende Versuche anstellte, geschieht, und aus dem Orthoklaspulver des Zirkonsyenits ziehen Säuren, wie ich mich überzeugt habe, höchstens Spuren von Eisen aus.

Diese Betrachtungen und besonders auch das Auftreten der Ceroxyde brachten mich auf die Vermuthung, dass dieser Haupttheil des Zirkonsyenits ein Gemenge z. B. leichter zersetzbarer Verbindungen seyn könne. Um diese Frage zu entscheiden, wurde das geschlämmte Pulver mit wässeriger Chlorwasserstoffsäure längere Zeit digerirt und die Auflösung für sich untersucht, der Rückstand nach der Gewichtsbestimmung u. s. w. um die Kieselsäure auszuziehen mit

Natronlauge ausgekocht und das Gewicht desselben nach langem vollständigem Aussüssen wieder ermittelt.

Von 4 Grm des Gesteins wurden erhalten

Kieselsäure	0,060	Grm.
Eisenoxyd	0,021	20
Ceroxyd	0,160	*
Kalkerde	0,045	*
Natron u. Bittererde		
in Spuren		
-	0.296	Cm

0,286 Grm.

Thonerde und Kali ließen sich mit Sicherheit nicht auffinden.

Beim Digeriren des Pulvers mit Chlorwasserstoffsäure fand im Anfange eine schwache Entwicklung von Kohlensäure statt, und rührte diese ohne Zweifel von einer geringen Menge von kohlensaurem Kalk her, der dem Gestein in kleinen durch das Auge nicht mehr zu bemerkenden Theilen beigemengt war. Nach der vorstehenden Angabe würde dieser 0,080 Grin. betragen haben. Wird ferner auf Grund der unten folgenden Analyse angenommen, dass der Glühverlust durch entweichendes Wasser entstanden ist, was in diesem auflöslichen Theil des Gesteins vorhanden war, da dasselbe mit unzersetzter Feldspathmase nicht verbunden seyn kann und dessen Menge bei der angegebenen Quantität 0,03 Grm. betragen würde, so wären durch Behandlung mit Säure und durch Ausglühen erhalten:

Kieselsäure	0,060 Grm.
Ceroxyd	0,160 *
Eisenoxyd	0,021 "
kohlensauser Kalk	0,080 »
Wasser	0,030 *
	0,351 Grm.

Es würden Säuren mithin aus dem Gestein entfernt haben 8.775 Proc., und von diesen bestehen 2 Proc. aus koh-

lensaurem Kalk. Die zurückbleibenden 6,775 Proc. bestehen in 100 Theilen aus

124

Kieselsäure	22,14
Eisenoxyd	7,74
Ceroxyd	59,04
Wasser	11,07
	99.99

eine Zusammensetzung, die, wenn das Cer als eine Oxydulverbindung in dem Gestein angenommen wird, zu der Vermuthung führt, dass diese löslichen Theile aus durch Eisen verunreinigter Ceritsubstanz oder aus einer zersetzten ähnlichen Verbindung, wo dann immer nur eine höhere Oxydationsstuse des Cers gebildet seyn könne, bestehen dürste. Eine Berechnung des Sauerstoffverhältnisses schien mir ohne Werth, da wie angegeben, diese Erde eine große Menge seiner gewöhnlichen Begleiter enthält 1).

In dem Verhalten dieser Theile, durch wässerige Salzsäure sich ausziehen zu lassen, während die Verbindung von Kieselsäure mit Thonerde und Alkalien dadurch fast gar nicht angegriffen wird, scheint mir ein Beweis zu liegen, daß sie nur eine in der ganzen Masse verbreitete Beimengung bilden und nicht als wesentliche Bestandtheile eines Oligoklases zu betrachten sind.

Der Haupttheil des Gesteins, der weder durch wässerige Säuren noch durch Kochen mit Natronlauge weiter angegriffen wurde, der auf das vollständigste ausgesüßt, getrocknet und geglüht war, zeigte die gelbliche Farbe des ursprünglich angewendeten Pulvers nicht mehr. Das spec. Gewicht desselben betrug jetzt im Mittel von 5 Wägungen nur 2.632.

Mit solcher Masse wurden ebenfalls zwei Analysen, wie oben angegeben, ausgeführt und folgende Resultate erhalten:

Bunsen's Mittheilungen über die Ceroxyde, Annal. d. Ch. u. Pharm.
 Bd. CV., H. I. waren, als ich diese Untersuchung ausführte, noch nicht erschienen.

		Sauc	erstoff.
Kieselsäure	66,30	34,38	
Thonerde	17,98	8,39	
Eisenoxyd	1,85	0,14	8,53
Ceroxyd	0,20	0,04	
Bittererde	0,65	0,25	1
Kalkerde	0,11	0,03	
Kali	3,38	0,63	2,82
Natron	7,50	1,91	
	97 97	- ,	

Ich zweisele nicht daran, dass bei längerem Digeriren des Gesteinpulvers oder bei Anwendung von concentriter Chlorwasserstoffsäure auch das in der vorstehenden Analyse mit aufgeführte Eisen- und Ceroxyd hätten ausgezogen werden können, und wird von diesen beiden hinweggesehen, so würde das Sauerstoffverhältnis nahe zu seyn 1:3:12 und wir würden in diesem Theile des Zirkonsyenits einen sehr natronreichen Feldspath besitzen.

Außer reinem Kalifeldspath, in dem ich kein Cer vorfand, und der nach den älteren Analysen übereinstimmend höchst geringe Mengen von Natron enthält, in welchem aber in einer irisirenden Abänderung C. Gmelin über sieben Proc. desselben neben einer gleichen Menge Kali entdeckte, würde der Zirkonsyenit also noch einen anderen großen Theil enthalten, der mit einem dem Cerit ähnlichen Mineral oder vielleicht mit einem Zersetzungsproducte desselben gemengt ist. Der kohlensaure Kalk findet sich sehr ungleichförmig in dem Gestein verbreitet, Cer dagegen fand ich in alle den Bruchstücken von gelblicher Farbe, welche ich darauf untersuchte. Die dunkler gefärbten Theile, von mehr verwittertem Ansehen, scheinen indessen eine etwas größere Menge desselben zu enthalten als die helleren.

In dem vorliegenden Falle bestand dieser Theil der feldspathartigen Masse des Zirkonsyenits, der wenigstens in ebenso großen Quantitäten wie normaler Orthoklas in demselben vorkommt, aus 2 Proc. kohlensaurem Kalk, 6,77 Proc. eines dem Cerit ähnlichen Minerals und aus 91,7 Proc. natronreichen Kalifeldspaths.

Bonn, den 13. Mai 1858.

VI. Ueber die Einwirkung verdünnter Salzlösungen auf Silicate; von Dr. H. Eichhorn.

In dem ersten Hefte der » Landwirthschaftlichen Mitthellungen aus Poppelsdorf « habe ich einige Versuche kurz erwähnt, die ich in Betreff der Zersetzungsfähigkeit einiger -Doppelsilicate durch verdünnte Salzlösungen angestellt habe. Da dieselben auch für ein größeres Publikum als das landwirthschaftliche von Interesse seyn möchten, so theile ich in dem Nachstehenden die erhalteten Resultate ausführlicher mit.

Schon vielfältig ist von Chemikern beobachtet worden, dass Salzlösungen, wenn sie mit Ackererden in Berührung kommen, von denselben zersetzt werden, und zwar so, dass die Basis von der Erde zurückgehalten wird, während die Säure mit einer anderen Basis, gewöhnlich Kalk, verbunden in der Flüssigkeit wiedergefunden wird. Way ') machte zuerst darauf aufmerksam, dass es die in den Ackererden enthaltenen Doppelsilicate wohl seyn möchten, die zu dieser Erscheinung Anlass gäben. Versuche, die er in dieser Richtung mit Feldspath und Chlorammonium-Lösung anstellte, gaben jedoch ein negatives Resultat, so dass er daraus schliesst, dass es die Ueberbleibsel granitischer Gesteine nicht seyn könnten, die zur Zersetzung der Salzlosungen beitrügen. Er stellte daher Doppelsilicate von Thonerde einerseits und Kali, Natron, Kalk, Ammoniak andererseits dadurch dar, dass er sich zuerst durch Fällung von löslichem Kali- oder Natron-Silicat mit einem Thon-

¹⁾ Journal of the R. Agricult. Society of England 1850 u. 1852.

erdesalze, ein Thonerde-Kali- oder Thonerde-Natron-Silicat verschaffte, und aus diesem durch Behandeln desselben mit Lösungen von Ammoniak- oder Kalksalzen die entsprechenden Kalk- und Ammoniak-Silicate darstellte. Es gelang ihm jedoch nicht das Natron in dem ursprünglichen Silicat vollständig durch Kalk oder Ammoniak zu verdrängen; so enthielt das Ammoniaksilicat aus verschiedenen Darstellungen zwischen 4,51 bis 5,64 Proc. Ammoniumoxyd; es sollte enthalten 15,47 Proc.

In diesen künstlichen Silicaten können also die Basen von der Form RO gegen andere von derselben Form aus neutralen Salzen vertauscht werden. Diess geschieht jedoch nach Way nur in einer bestimmten Reihenfolge, und zwar in der Folge: Natron, Kali, Kalk, Magnesia, Ammoniak, so dass Kali das Natron, aber nicht umgekehrt Natron das Kali, ferner Kalk das Kali und Natron u. s. w. ersetzen können. Ob diese Silicate jedoch in den Ackererden vorkommen oder sich in denselben bilden, blieb unerwiesen. Sie enthielten nach Way alle Wasser (12 Proc.), so dass es nicht unwahrscheinlich war, dass die natürlich vorkommenden wasserhaltigen Doppelsilicate (die Zeolithe) sich diesen künstlichen ähnlich verhalten würden und es daher einiges Interesse haben möchte, dieselben in dieser Richtung zu prüfen. Die Zeolithe kommen zwar nicht in solcher Verbreitung auf der Erdoberfläche vor, wie die wasserfreien Silicate, diese letzteren nehmen jedoch im ersten Stadium der Verwitterung stets Wasser auf 1), und werden sich dann den zeolithischen Gesteinen ähnlich verhalten. Die Mineralien, welche ich zu meinen Versuchen wählte, waren Chabasit und Natrolith, hauptsächlich aber ersteren.

l. Chabasit gegen Chlornatrium.

Läst man fein gepülverten Chabasit einige Zeit mit einer verdünnten Kochsalzlösung in Berührung, so läst sich in der Flüssigkeit sehr bald Kalk nachweisen. 4,0 Grm. eines Chabasits, dessen Zusammensetzung solgende war:

¹⁾ Bischof, Geologie I, S. 867.

Kieselsäure	47,44
Thonerde	20,69
Kalkerde	10,37
Kali	0,65
Natron	0,42
Wasser	20,18
	99.75

wurde mit 4,0 Grm. reinem Chlornatrium und 400 Cubikc. Wasser 10 Tage stehen gelassen. Die von dem Mineral getrennte Flüssigkeit enthielt nur Natron, Kalkerde und Chlor, und zwar wurde die Quantität des letzteren genau so wiedergefunden, wie sie der Rechnung nach darin enthalten seyn sollte. Kieselsäure und Thonerde waren nicht in Lösung gegangen, so dass also einfach ein Theil des Kalks im Chabasit gegen Natron vertauscht war. Die Zusammensetzung des veränderten Minerals war:

Kieselsäure	48,31
Thonerde	21,04
Kalkerde	6,65
Kali	0,64
Natron	5,40
\mathbf{W} asser	18,33
	100.37

Beinahe die Hälfte der Kalkerde war ausgetreten und dafür Natron eingetreten; außerdem hatte das Silicat Wasser verloren. An eine verdünnte Lösung von Chlorcalcium gab das veränderte Silicat wieder Natron ab: eine eben solche Lösung von Chlorkalium machte Natron und Kalkerde daraus frei.

2. Chabusit gegen Chlorammonium.

Der hiezu und zu den folgenden Versuchen vorwendete Chabasit war zwar nicht genau derselbe, von welchen die Analyse oben mitgetheilt, stammte jedoch von demselben Fundorte, so dass man die Zusammensetzung desselben mit dem früheren wohl übereinstimmend annehmen könnte. Es wurde 15,0 fein gepulverter Chabasit mit 10,0 Grm. Chlor-

ammonium und 500 Cubikc. Wasser 21 Tage in Berührung gelassen. In der vom Mineral abfiltrirten Flüssigkeit war außer Kalk nur Chlor und Ammoniak enthalten. Die Zusammensetzung des veränderten Minerals war folgende, bei 100° getrocknet:

Kieselsäure	51,26
Thonerde	22,17
Kalkerde	4,15
Ammoniumoxyd	6,94
Wasser	14,87
Alkalien (a. d. Verlust)	0,61
•	100.00.

Es war auch hier, wie die Analyse zeigt, außerdem, daß ein Theil der Kalkerde durch Ammoniumoxyd vertreten war, das Mineral wasserärmer geworden, wie bei der Vertretung durch Natron. Eine andere Quantität Chabasit mit. Chlorammoniumlösung 10 Tage behandelt, zeigte folgende Zusammensetzung:

Kieselsäure	50,38
Thonerde	21,10
Kalkerde	6,69
Ammoniumoxyd	3,33
Wasser u. Alkalien	18,50
	100 00

Diese Ammoniumoxyd-Silicate gaben bei 100° erhitzt kein Ammoniak ab; eine Ammoniakentwicklung trat erst dann ein, wenn das Mineral so stark erhitzt wurde, dass das Wasser anfing zu entweichen. Mit Kalilauge erwärmt, zeigte sich sogleich Ammoniakreaction. Von destillirtem Wasser scheint das Silicat in sehr geringer Menge gelöst zu werden, da nach Behandlung des Minerals mit Wasser in letzterem durch Jodkalium-Jodquecksilber-Lösung eine gelbe Färbung das Vorhandenseyn von Ammoniak anzeigte. Eine verdünnte Lösung von Chlorcalcium entzog dem Mineral Ammoniak; Lösungen von Chlorkalium und Chlornatrium verhielten sich ebenso, es trat jedoch außer dem Ammoniak noch Kalkerde aus dem Silicat aus. Schwefel-

saure Magnesia bewirkte zwar gleichfalls ein Austreten von Ammoniak; es war aber in der Flüssigkeit, mit welcher das Mineral behandelt war, kein Kalk nachzuweisen. Letzteres wird weiter unten seine Erklärung finden.

3. Natrolith gegen Chlorcalcium.

Die Gewichtsverhältnisse und Zeitdauer beim Versuche waren ganz wie bei No. 1. Der verwendete Natrolith zeigte bei einer qualitativen Prüfung nur eine sehr geringe Kalkreaction, es wurde deshalb eine quantitative Untersuchung nicht vorgenommen. Das mit Chlorcalciumlösung behandelte Mineral zeigte bei der Analyse folgende Zusammensetzung:

Kieselsäure	47,42
Thonerde	27,14
Kalkerde	0,31
Wasser	9,96
Alkalien (a. d. Verlust)	15,17
	100.00

Es geht hieraus hervor, dass eine wesentliche Aufnahme von Kalkerde aus der Chlorcalciumlösung nicht stattgefunden hat, mithin eine Vertretung des Natrons durch Kalkerde nicht vorhanden war.

4. Chabasit gegen kohlensaures Natron und kohlensaures Ammoniak.

Bei den unter 1 und 2 angeführten Vertretungen war immer nur ein Theil des Kalkes ausgetreten. Es konnte diess daher rühren, dass das gebildete Chlorcalcium der Einwirkung des Chloranmoniums oder Chlornatriums eine Gränze setzte. Durch das Verhalten des Ammoniak-Chabasits und des Natron-Chabasits gegen Chlorcalciumlösung war diese Vermuthung gerechtfertigt, keineswegs aber durch das Verhalten des Natroliths gegen Chlorcalcium. Letzte-

res konnte jedoch eine Ursache darin haben, dass das Natron im Natrolith fester gebunden war als die durch Austausch eingetretenen Basen. Um daher eine solche mögliche Einwirkung des löslich gewordenen Kalkes zu verhindern, wählte ich die kohlensauren Salze des Natrons und Ammoniaks; die entstandenen Produkte mußten dann unlösliches Silicat und hohlensaurer Kalk seyn.

a. Chabasit gegen kohlensaures Natron.

15,0 Grm. Chabasit; 20,0 Grm. kryst. kohlensaures Natron; 500 Cubikcent. Wasser; Zeitdauer der Einwirkung: 21 Tage. Die von dem Mineral abfiltrirte Flüssigkeit enthielt außer dem überschüssigen kohlensauren Natron noch geringe Mengen von Kieselsäure und Thonerde; es war also eine theilweise Zersetzung des Minerals eingetreten. Das veränderte Mineral war ein Gemenge von Silicat und kohlensaurem Kalk; letzterer wurde durch verdünnte Essigsäure entfernt, wobei sich wieder geringe Mengen von Kieselsäure und Thonerde lösten. Das so behandelte und gut ausgewaschene Silicat zeigte folgende Zusammensetzung:

Kieselsäure	48,39
Thonerde	20,76
Kalkerde	5,64
Alkalien	6,86
Wasser	18,46
	100.11.

b. Chabasit gegen kohlensaures Ammoniak.

15,0 Grm. Chabasit; 10,0 Grm. kohlens. Ammoniak; 500 Cubikcent. Wasser; Zeitdauer der Einwirkung: 21 Tage. In der vom Mineral abfiltrirten Flüssigkeit war keine Thonerde und Kieselsäure enthalten, wohl aber in der verdünnten Essigsäure, womit das Mineral ebenfalls zur Entfernung des kohlensauren Kalkes behandelt war. Das veränderte Mineral bestand bei 100° getrocknet aus:

Kieselsäure	50,61
Thonerde	21,26
Kalkerde	5,63
Ammoniumoxyd	5,91
Wasser	15,72 _
Alkalien (a. d. Verlust)	0,87
•	100,00.

Vergleicht man diese Analysen mit den früher mitgetheilten, so sieht man, das ein wesentlicher Unterschied nicht stattfindet. Außer dem Wasserverlust, den das Mineral erlitten hat, ist ebenfalls nur ein Theil des Kalkes durch Natron oder Ammoniak ersetzt, so das in der That eine Gränze in diesen Substitutionen einzutreten scheint.

Die von Way aufgestellte Reihenfolge, in welcher die Basen sich vertreten können, wird durch die vorliegenden Versuche nicht bestätigt. Nach dieser hätte eine Vertretung des Kalkes im Chabasit gar nicht stattfinden können, während andererseits gerade durch Chlorcalcium ein Austausch des Natrons im Natrolith hätte erfolgen müssen. Ja es ist überhaupt zweiselhaft, ob eine solche Reihensolge bei diesen Verdrängungen stattfinde; das Verhalten der durch Substitution veränderten Silicate gegen Salzlösungen spricht nicht dafür. So treibt Chlorammonium aus dem Chabasit Kalk aus: aus dem Ammoniak-Chabasit macht eine Lösung von Chlorcalcium wieder Ammoniak frei. Ebenso tritt aus einer Chlornatriumlösung Natron in den Chabasit ein und umgekehrt aus dem Natron-Chabasit wieder Natron gegen den Kalk einer Chlorcalciumlösung aus. scheint wohl überhaupt, dass die Basen sich gegenseitig vertreten können und ein Unterschied ist nur in der Quantität vorhanden oder in der Zeit, in welcher diese Vertretung vor sich geht. Aus dem Verhalten des Kalks im Chabasit zu Salzlösungen derjenigen Basen, die dem Kalk nahe stehen, geht diess wenigstens hervor.

Chabasit wurde unter denselben Verhältnissen, wie früher angegeben, mit Lösungen von Chlorkalium, Chlornatrium, Chlorlithium, Chlormagnesium, Chlorzink, salpetersaurem Kadmiumoxyd, Chlorstrontium und Chlorbarium behandelt. Chlorkalium gab in sehr kurzer Zeit (3 Tagen und weniger) eine starke Kalkreaction; ebenso Chlornatrium und Chlorlithium, letzteres am schwächsten. Dann folgten Chlorbarium und salpeters. Kadmiumoxyd. Beim Chlorzink und Chlorstrontium war die Einwirkung lange Zeit zweifelhaft, am zwölften Tage aber deutlich vorhanden. Beim Chlormagnesium war der Austausch am spätesten wahrnehmbar; erst am vierzehnten Tage konnten in der Flüssigkeit Spuren von Kalk nachgewiesen werden. Es erklärt sich hieraus, weshalb bei der oben angeführten Behandlung des Ammoniak-Chabasits mit schwefelsaurer Magnesia kein Kalk in der Lösung aufgefunden wurde; die Zeitdauer des Versuches war eine zu kurze gewesen.

Stellt man die Basen nach dem folgenden Schema zusammen, so werden es die von dem Kalke entfernteren Glieder seyn, die denselben am schnellsten verdrängen, und diese Verdrängung wird um so langsamer vor sich gehen, je näher sie dem Kalke stehen.

LiO	Na O	KO
MgO	Zn O	CqO
Ca O	Sr O	Na O.

Wie diese Vertretungen durch mehr oder weniger concentrirte Salzlösungen modificirt werden können, müssen spätere Untersuchungen erweisen.

VII. Natrolith in Pseudomorphosen nach Oligoklas und Nephelin; von R. Blum.

Als ich vor einigen Jahren in diesen Annalen (Bd. 87, S. 316) die Krystalle, in welchen sich der sogenannte Spreustein (Natrolith) im Zirkonsyenite Norwegens findet, für Pseudomorphosen nach Nephelin erklärte, sprach sich

Scheerer zuerst gegen diese Ansicht aus und zwar in einem Aufsatze den er "über eine angebliche Pseudomorphose des Natroliths nach Eläolith zu betiteln beliebte. 1). Derselbe machte auch in späteren Arbeiten diese Ansicht geltend, indem er sich hierbei hauptsächlich auf die Verschiedenheit der Winkelverhältnisse der pseudomorphen und der Nephelin-Krystalle stützte. Wenn ich nun Scheerer in dieser Beziehung theilweise beipflichte und zugleich zugebe, dass ich mich durch den hexagonalen Typus jener Krystalle und das Unvollkommene und Unregelmässige in deren Aeusserem verleiten ließ, alle Formen für solche des Nephelins zu halten, so mufs ich doch auf der anderen Seite mit aller Bestimmtheit behaupten, dass unter diesen Pseudomorphosen auch Gestalten sind, die dem Eläolith angehören; namentlich beweist diess ein kleiner Krystall dessen Winkel 120° betragen, und in dem noch ein Kern von Eläolith befindlich ist. Die übrigen Krystalle aber gehören allerdings einem anderen Systeme an, und können nicht Nephelin gewesen seyn. Da sich aber bis jetzt kein Mineral fand, auf welches jene Formen hätten bezogen werden können, so erklärte Scheerer dieselben für Paramorphosen und zwar zu solchen von Natrolith nach Paläo-Natrolith, indem er annahm, dass die Natrolith-Substanz dimorph gewesen sey; demgemäß soll sich dieselbe hier zuerst in den vorliegenden Formen ausgebildet und dann später in den rhombischen Natrolith umgesetzt haben. Obwohl Scheerer hiermit nur eine Hypothese aufgestellt hat, dient ihm dieselbe nichtsdestoweniger zur Grundlage eines geologischen Gebäudes, Hypothese auf Hypothese stützend.

Zuerst macht Scheerer auf die Art des Vorkommens des Natroliths in einer älteren plutonischen Gebirgsart aufmerksam, und wie diese auf das Entschiedenste erkennen ließ: daß der Natrolith hier nicht, wie in den basaltischen Gesteinen, einen eingewanderten, sondern einen aboriginen Gemengtheil ausmache. Es stehe fest (?), daß der Natrolith sich unmittelbar aus der ehemals plutonisch-geschmolzenen

¹⁾ Berg- u. Hüttenm. Zeitung 1853. S. 270 u. 284.

Masse des Zirkonsyenits in eben der Weise ausgeschieden habe. wie Hornblende, Feldspath, Eläolith etc. Diese genetischen Verhältnisse bedingten die wesentliche Verschiedenheit, welche zwischen dem Natrolith-Vorkommen in basaltischen Gesteinen und dem im Zirkonsvenite stattfinde, und hieraus lasse sich der sehr verschiedene Habitus erklären welchen der Natrolith unter solchen Umständen angenommen habe. In den Drusenräumen und Spalten vulkanischer Gesteine bilde er aufgewachsene, mehr oder weniger freistehende Krystalle von rhombischer Gestalt, und Jedermann erkenne in denselben eine Bildung auf nassem Wege: » Der Natrolith der Basalte ist aus einer wässerigen Auflösung krystallisirt. « In der großkörnig krystallinischen Masse des Zirkonsyenits sehe man dagegen diess Mineral als einen eingewachsenen Gemengtheil einer auf plutonischem Wege entstandenen Gebirgsart: "Der Natrolith des Zirkonsyenits hat sich aus einer geschmolzenen Masse abgeschieden. « (!) Sein Habitus sey dadurch ein so fremdartiger geworden, dass man ihn lange Zeit nicht erkannt, Werner ihn als ein eigenthümliches Mineral betrachtet und ihn mit dem Namen Spreustein belegt habe, einem Namen, der sich auf die eigenthümliche marmorartige und zugleich blättrige oder strahlige » zusammengehäufter Spreu « ähnliche Structur beziehe. Allein dieser Spreustein komme nicht allein in äußerlich gestaltlosen Partien vor, sondern er bilde als solcher auch zahlreich eingewachsene Krystalle. Da sich aber diese Spreustein Krystalle in ihrer Masse als ein krystallinisches Aggregat gewöhnlichen Natroliths darstellen, so gelangt Scheerer zu dem Auspruch: »was könnte wohl wahrscheinlicher seyn, als dass wir es hier mit einer Paramorphose zu thun haben, mit einer heteroaxen Paramorphose von Natrolith nach Paläo-Natrolith. « Diese Wahrscheinlichkeit wird jedoch auch hier sogleich als etwas Feststehendes angenommen, und weiter entwickelt, wie die fraglichen Krystalle diejenigen Formen seyen, in welchen sich der Paläo-Natrolith aus der plutonisch-geschmolzenen Masse unter hohem Druck, welcher das Entweichen des Wassers verhinderte,

ausgeschieden habe, dass aber derselbe, als hohe Temperatur und Druck allmählich abgenommen, nicht mehr seine innere Molocularanordnung zu bewahren vernocht hätte und jeder Paläo-Natrolith-Krystall nun zu einer Paramorphose von rhombischem Natrolith verwandelt worden sey. Auf die weiteren Folgerungen, namentlich in geologischer Beziehung, welche Scheerer auf diese Paramorphose stützt, kann hier nicht eingegangen werden, zumal da jene Spreustein-Krystalle Pseudomorphosen sind, ein Paläo-Natrolith aber nie existirt hat.

Was nun zuerst die eigenthümliche marmor- oder spreuartige Structur betrifft, welcher Scheerer einen ganz besonderen Werth beilegt, weil sie nur dem Spreustein zukomme und eine Folge seiner eigenthümlichen Bildung sevn soll, so findet sich dieselbe auch bei solchem Natrolith. welcher in Gesteinen vorkommt, in denen Jedermann dessen Bildung auf wässerigem Wege anerkennen wird. fand ich diese Structur bei den kleinen eingesprengten Partien von Natrolith in den doleritischen Gesteinen von Oberschaffhausen am Kaiserstuhle im Breisgau, von Eichelsachsen im Vogelsgebirge und von der Pflasterkaute bei Marksuhl, noch ausgezeichneter in den Phonolithen von Aussig in Böhmen und Hohentwiel in Högau. An letzterem Orte ist es besonders der Natrolith, welcher Klüfte und Spalten ganz erfüllt, bei dem jene Structur zuweilen ebenso ausgezeichnet getroffen wird, wie beim Spreustein, es stellen sich jedoch faserige und nadelförmige Bildungen ein, wenn Hohlräume vorhanden waren; auch ist nicht selten der Natrolith mit spreusteinartiger Structur die Unterlage auf welcher nadel- und haarförmige Kryställchen sitzen. Kann daher jene als beim Spreustein allein vorkommend nicht angesehen werden, so finden wir aber auch auf der anderen Seite einen Stellvertreter des rhombischen Natroliths, den Brevigit, in ebendemselben Zirkonsvenit, in welchem der Spreustein vorkommt. Scheerer erwähnt desselben nicht. er scheint ihm ein unbequemer Gast zu seyn, und so erfahren wir denn auch nicht, ob derselbe eingewandert oder aborigin sey. Dass derselbe aber späterer Bildung ist, daran wird wohl um so weniger gezweifelt werden können, als er den Beweis dafür in seiner säulenförmigen Gestaltung trägt. Wir ersehen daraus, dass in demselben Gestein, das undurchdringlich für Wasser seyn soll, diess dennoch unzweiselhaft sein Spiel getrieben haben muss, zumal da auch noch andere Zeolithe, Apophyllit, Analcim und Stilbit, in demselben vorkommen. Die Sache ist aber wohl die: da wo Raum bei der Bildung des Natroliths vorhanden war oder in Folge derselben entstand, entwickelten sich lange- oder nadelförmige Individuen, auch faserige Aggregate, da aber, wo die Entstehung desselben mitten im Gestein im bewegten Raume stattfand, entwickelte sich mehr die verworren faserige, spreusteinartige Structur. Und so war es hier als die vorliegenden Pseudomorphosen entstanden; und so finden wir es in den Phonolithen, in welchen unzweifelhaft Natrolith mitten in dem Gestein aus anderen Mineralien hervorging und wahrscheinlich noch hervorgeht. So sieht man in manchen Stücken Phonoliths von Hohentwiel und von Gonnersbohl bei Hilzingen im Högau an vielen Stellen kleine spreusteinartige Partien, während sich an anderen kleine Hohlräume gebildet haben, in welchen sich fein nadel- oder haarförmiger Mesotyp findet. Mineral, aus welchem sich in diesen Fällen der Natrolith entwickelte, scheint Nephelin oder Oligoklas gewesen zu seyn; ganz deutliche Krystalle, um diess bestimmen zu können, wurden bis jetzt nicht gefunden. Zuweilen ist dieses Mineral in Sanidin-Krystalle eingeschlossen, aber auch oft schon zu Natrolith umgewandelt, ohne dass jener die geringste Spur von Veränderung zeigte; ja es haben sich selbst in solchen Fällen Hohlräume mit haarförmigen Kryställchen gebildet. Die Entstehung der Hohlräume, die nicht mit Blasenräumen zu verwechseln sind, ist hier offenbar eine Folge der Umwandlung, indem bei derselben mehr von den Bestandtheilen verloren ging, als aufgenommen wurde, und daher der Raum nicht mehr vollständig erfüllt werden konnte.

Dass der Nephelin sich leicht verändert, ergiebt sich nicht nur aus den Spreustein-Pseudomorphosen nach ihm, sondern man sieht es auch in den Gesteinen, in welchen er eingeschlosseh oder in Blasenräumen vorkommt. letztere Weise treffen wir Krystalle desselben in dem bekannten Nephelin- Dolerit von Capo di Bove bei Rom, welche jedoch nicht selten mehr oder weniger verändert sind: eine höchst feine bräunliche Rinde überzieht sie manchmal, unter welcher zuerst eine weisse zeolithartige Substanz und dann der Kern folgt, der jedoch Durchsichtigkeit und Glanz verloren und die Eigenschaften des Eläoliths angenommen hat. Zuweilen schreitet auch die Veränderung weiter vor, und der Kern zeigt sich mehr angegriffen, der Krystall wird ganz porös, oder es bleibt von ihm nur eine dünne Wandung, welche die Form noch zeigt, übrig, während das Innere hohl ist. Diess sieht man auch bei den Nephelin-Krystallen, welche in den Drusenräumen des Nephelin-Dolerits von Meiches im Vogelsgebirge und in dem Basaltischen Gestein der Pflasterkaute bei Marksuhl und am Laacher See vorkommen. Der Nephelin-Dolerit vom Katzenbuckel im Oderwald schliesst oft Nephelin-Krystalle in solcher Menge ein, dass er dadurch eine porphyrartige Structur erhält; diese Krystalle sind mehr oder minder zu Eläolith geworden, und nicht selten zeigen sich die größeren derselben mit einer dünnen Rinde bedeckt, welche mit Spreustein viel Aehnlichkeit hat, während die kleineren, welche man noch deutlich an ihren hexagonalen und rectangulären Durchschnitten im Gestein erkennt, ganz in eine Mesotypmasse mit verworren strahliger Structur verändert sind. Jene größeren Krystalle geben im Kolben sehr viel Wasser und sind beinahe so leicht schmelzbar wie Natrolith. Dass aber der Eläolith ein Nephelin ist, der schon eine gewisse Veränderung erlitten hat, worauf ich früher schon aufmerksam machte, geht aus dem Wassergehalte desselben hervor: auch dürfte es nicht überflüssig sevn. nochmals daran zu erinnern dass, nach Scheerer, selbst die grünen und braunen Farben der Eläolithe von Fredricksvärn organischen Ursprungs sind, ein Umstand, der nur durch Vermittlung des Wassers bewirkt worden seyn kann. Es ist also leicht möglich, dass eine auf solche Weise eingeleitete Umwandlung weiter vorgeschritten und am Ende aus dem Eläolith ein Natrolith hervorgegangen sey. Vergleicht man das Resultat der Analysen des braunen Eläoliths a und des sleischrothen Spreusteins b, beide aus dem Zirkonsyenit Norwegens, von Scheerer, nämlich:

	а	b
Kieselsäure	45,55	47,97
Thonerde	32,0 0	26,66
Eisenoxyd	1,41	0,73
Kalkerde	Spur	0,68
Natron	16,09	14,07
Kali	5,02	Spur
Wasser	0,78	9,77
	100,85	99,88

so sieht man, dass geringe Theile von Thonerde und Eisenoxyd, das Kali aber ganz ausgeschieden wurden, dagegen aber Wasser eintrat, ein Process auf welchen Bischof (Geologie Bd. 2, S. 2156 u. ff.) näher aufmerksam machte. Noch muss ich bemerken, wie auch der derbe Eläolith oft in solcher Berührung mit dem Spreustein getroffen wird, dass man einen allmählichen Uebergang des einen in den anderen verfolgen kann, der aber nur als eine Folge der Umwandlung angesehen werden kann. Auch der sogenannte Ozarkit vom Ozarkberge im Arkansas, welcher einen Ueberzug über Eläolith bildet, ist unstreitig nichts anderes als ein Umwandlungs Product aus diesem, und zwar wohl ein Natrolith, worauf die oft sehr deutliche spreusteinartige Structur hinzudeuten scheint. Gehen wir nun zur Deutung der anderen und am häufigsten vorkommenden Art von Spreustein-Krystallen über, so stellte Dauber die Ansicht (in diesen Ann. Bd. 92, S. 251) auf, dass dieselben Pseudomorphosen nach Feldspath seyen, indem er dabei bemerkt, dass seine bisherigen Beobachtungen an einer großen Menge von Exemplaren zu dieser Annahme recht gut stimmten,

jedoch hoffe er auf vollständigere und regelmäßiger ausgebildete Krystalle, ehe er die Frage für entschieden halte. Gegen diese Ansicht spricht jedoch, wie diess auch schon hervorgehoben wurde, das Vorkommen der Spreustein-Krystalle mitten im Orthoklas selbst.

Der nichernte Weg, welcher hier einzuschlagen war, um über die Natur des ursprünglichen Minerals Gewissheit zu erhalten, nämlich den mittelst einer Analyse des Kernes vom unveränderten Mineral, welcher sich in einem Spreuatein Kryatall fand, den Nachweis über die chemische Zusammensetzung desselben zu liefern, wurde zwar schon längst betreten, aber leider, besonderer Umständen wegen. noch nicht zu Ende geführt. In der neuesten Zeit hatte IIr. I)r. Carius die Güte die Analyse von jenem Kerne. von welchem ich glücklicher Weise noch etwas besafs, zu theruchmen, und ich erlaube mir in seinen eigenen Worten das Betreffende und die Resultate seiner Untersuchung hier anzusühren. "Der von mir untersuchte Spreustein-Krystall besafs eine unregelmäßige sechsseitige Form, eine Lange von etwa 25 mm und einen Durchmesser bis zu 15 mm. Am oberen abgebrochenen Ende, sowie nach dem Zerschlagen zeigte es sich, dass er etwa zur Hälfte aus einem unveränderten farblosen oder weißen, durchsichtigen bis durchscheinenden Kerne, einer augenscheinlich unveränderten Mineralsubstanz bestand; dieselbe besass einen zwischen Glas und Fettglanz stehenden Glanz und eine Härte von b. Der Krystall wurde zerschlagen und die äußere Hülle sorgfältig von dem Kerne abgetrennt, an der sie sehr fest sals. Dabei wurden Spaltungen erhalten, welche einer schief prismatischen Form entsprechen. Nach dem Pulvern ward die Masse des Kernes durch Erwärmung mit concentrirter Chlorwasserstoffsäure vollkommen unter Abscheidung von gallertartiger Kieselsäure zerlegt. Die Analyse derselben konnte daher ausgeführt werden, indem eine gewogene Menge der bei 100° C. getrockneten Substanz mit Salzsäure his zur vollständigen Zersetzung digerirt, zur Trockene aberstamps and the ruckstandige Masse mit Chlorwasserstoff

und Wasser ausgezogen wurde; die erhaltene Kieselsäure erwies sich als vollkommen rein. Die weitere Ausführung der Analyse geschah in der im akademischen Laboratorium zu Heidelberg üblichen Weise. Die Resultate sind folgende:

	I.	II.
Angewandt:	1,0150 Grm	1,1340 Grm
Kieselsäure	0,6116	0,6864
Thonerde	0,2509	0,2824
Eisenoxyd	0,0022	0,0061
Kohlensaurer Kalk	0,0462	0,0476
Phosphorsaure Magnesia	0,0231	0,0234
Kaliumplatinchlorid	0,0920	
Chlorkalium	0,0281	
Chlornatrium *	0,1635	

Daraus findet man folgende Zusammensetzung des Kernes in 100 Theilen bei 100° C. getrockneter Substanz:

	1.		II.	Mittel
Kieselsäure	60,256		60,529	60,392
Thonerde	24,719		24,903	24,811
Eisenoxyd	0,217		0,538	0,377
Kalkerde	2,549		2,351	2,450
Talkerde	0,821		0,744	0,783
Kali	1,750	1	10,288	1,750
Natron	8,538	5	10,255	8,538
	98,850	_	99.353	99,101

Die Untersuchung der Hülle, welche von röthlicher Farbe war und ganz das Ansehen des Mesotyps besaß, wurde in gleicher Weise ausgeführt wie die des Kerns. Auch sie zerlegte sich mit Chlorwasserstoff leicht unter Abscheidung gallertartiger Kieselsäure. Die Resultate der Analyse sind folgende, wobei die Alkalien aus dem Verlust bestimmt wurden:

Angewandt	1,1010 Grm. Substans
Erhalten:	
Kieselsäure	0,5073
Thonerde	0,2902
Eisenoxyd	0,0180
Kohlensaurer Kalk	0,0195
Phosphorsaure Magnesia	0,0024
Wasser	0,1442

Daraus:

Kieselsäure	46,08
Thonerde	26,36
Eisenoxyd	1,64
Kalkerde	0,99
Talkerde	0,08
Alkalien	11,75
Wasser	13,10
	100.00

Der Kern stimmt mit den Eigenschaften des Oligoklases bis auf die Zerlegbarkeit durch Chlorwasserstoff überein.

In der That ist die Zusammensetzung die des Oligoklases; wenigstens steht sie zwischen den Resultaten der Analysen, welche man von verschiedenen Oligoklasen besitzt; aber auch die übrigen Eigenschaften weisen darauf hin, dass wir es hier mit einem solchen zu thun haben. Die Spaltbarkeit, welche nach zwei Richtungen hin vollkommen ist, ergab bei der Messung mit dem Anlegegoniometer Winkel von 86 bis 87° und 93 bis 94°; der Versuch, den Hr. Dr. Carius machte, mit dem Reflexionsgoniometer zu messen, scheiterte an der Unebenheit der einen Art von Spaltungsflächen. Härte, Glanz und Farbe stimmen ganz mit denselben Eigenschaften des Oligoklases überein. Gegen das Vorkommen desselben im Zirkonsvenite aber kann um so weniger eingewendet werden, als derselbe fast in allen Syeniten getroffen wird, und ich ihn selbst in dem Syenite der Insel Lamöe bei Brevig beobachtete. Was aber die krystallographischen Verhältnisse der Spreustein-Krystalle betrifft, so stimmen diese mit denen des Oligoklases zwar

nicht ganz überein, können aber um so weniger als ein Beweis dafür angesehen werden, dass die ursprünglichen Krystalle nicht dem Oligoklas angehört hätten, als nicht nur einzelne Winkel denen des letzteren sehr nahe stehen, sondern auch beim Oligoklase wie beim Spreustein die Formen- und Winkel-Verhältnisse noch nichts weniger als genau bekannt sind. F. Hessenberg bemerkt in seinen » Mineralogischen Notizen« Seite 6, dass seine Messungsergebnisse an den besten Oligoklas-Krystallen von Arendal für gleiche Flächen sehr starke Schwankungen ergeben hätten, so dass ein bis zwei Grad Abweichung, auch bei ziemlich glänzenden Flächen, häufig sey. Wenn aber solche Abweichungen bei unveränderten Krystallen vorkommen, um wie viel leichter ist es möglich, solche bei veränderten zu treffen, und so ist es hier; nicht nur dass die ursprünglich wohl gleichen Winkel bedeutende Abweichungen zeigen, ich fand selbst an ein und derselben Kante des nämlichen Krystalles Schwankungen in dieser Beziehung, indem ich an dem einen Ende etwa 110°, am anderen aber bis 125° mass. Diese Erscheinung ist bei den Spreusteinkrystallen wohl eine Folge des Umwandlungsprocesses: da nämlich die neue Substanz einen größeren Raum als die alte einnehmen musste. wie aus der Vergleichung der specifischen Gewichte beider hervorgeht. wenn diess nicht durch einen bedeutenden Verlust von Bestandtheilen ausgeglichen wurde, so ist wohl denkbar, dass solche Ausgleichung nicht überall gleichmäßig stattfand, wodurch selbst die Schärfe der Krystalle leiden konnte. Dass aber Scheerer selbst solche Abweichungen der Form, durch pseudomorphe Bildung hervorgerufen, zugiebt, geht aus seinen eigenen Worten hervor. Als derselbe nämlich von der Uebereinstimmung gewisser Pseudomorphosen von Schlaggewalde mit dem Prosopit von Altenberg, worauf Hausmann aufmerksam gemacht hatte, sprach (in diesen Ann. Bd. 92, S. 614 u. ff.) und die Formen von jenen auf diesen zurückzuführen versuchte, obwohl seine Messungen mit denen von Zippe nicht im Einklang standen, da Schwankungen bis zu 4 Grad vorkommen, bemerkte derselbe »jedoch kann eine verschiedene Ausbildungsschärfe der pseudomorphen Gestalt hieran schuld seyn.«

Noch muss ich bemerken, dass der Orthoklas, in welchem sich Spreusteinkrystalle finden, nicht selten, namentlich hinsichtlich der Farbe, verändert ist, indem er um so mehr bräunlich erscheint, je näher er sich jenen Krystallen befindet; die Spaltbarkeit ist noch vollkommen erhalten. allein die Härte hat etwas abgenommen, ebenso der Glanz und die Durchscheinenheit an den Kanten. diesen Orthoklas im Kolben der Hitze aussetzt, decrepitirt er sehr heftig und giebt eine beträchtliche Menge Wasser. Selbst scheinbar ganz unveränderter Orthoklas aus der Nähe der Spreustein-Krystalle, aber nicht von Berührungsstellen mit denselben, gab Wasser. Hieraus ist deutlich ersichtbar, dass der Umwandlungs-Process nicht ganz ohne Einfluss auf die umgebenden Substanzen der Pseudomorphosen war, indem man jenes Wasser doch unmöglich als ursprüngliches wird annehmen können.

So ist denn die Frage hinsichtlich der Spreustein-Krystalle insoweit vollständig entschieden, daß wir in denselben Pseudomorphosen und keine Paramorphosen vor uns haben. Es hat keinen Paläo-Natrolith gegeben; und somit fallen auch alle geologische Hypothesen, welche sich an dessen frühere Existenz knüpfen, hinweg.

VIII. Analytisch-mineralogische Mittheilungen; von Dr. Carl Schnabel,

Director der Realschule in Siegen.

I. Zinkblüthe von Ramsbeck.

Dieses seltene Mineral findet sich in ausgedehntem Maafse auf den Bleierz- und Blendegruben bei Romsbeck in West-

phalen und zwar nicht allein in den Gruben, wo es in den abgebauten Räumen als Ueberzug des Gesteins vorkommt, sondern auch auf den Halden, deren Erzhaufwerke, so wie die aufgestürzten Berge, namentlich bei starkem Sonnenschein weiß auswittern. Der geringste Regen entfernt indessen die Auswitterung fast plötzlich. Die Untersuchung einer solchen von der Grube Bastenberg lieferte:

Zinkoxyd	64,01			
Kupferoxyd	0,62			
Eisenoxyd u. Thonerde	2,48			
Kalk	0,52			
Kohlensäure	12,30			
Hydratwasser	13,59			
Hygroskop. Wasser	2,02	(beim	Trocknen	im Was_
In Salzsäure unlöslicher		•		serbade)
Kieselrest	3,88			•
Magnesia, Manganoxydul, Schwefelsäure	Spure	n		
•	99,45			

woraus sich, nach Abweichung der zufälligen Beimischungen, ergiebt, dass dieses erdige Auswitterungsproduct aus 3 Aeq. Zinkoxyd, 1 Aeq. Kohlensäure und 3 Aeq. Wasser besteht und durch die bekannte Formel der Zinkblüthe CO₂.3ZnO+3HO oder ZnO.CO₂+2ZnO.HO ausgedrückt werden kann.

Die Erzführung der Romsbecker Lagerstätten, hauptsächlich aus Bleiglanz und Blende bestehend, ist an kalkige Schieferschichten gebunden; die Schichten enthalten sehr häufig Versteinerungen, welche größtentheils aus kohlens. Kalk zusammengesetzt sind. In obere Teufen ist das Vorkommen von Galmei, der ebenfalls als Zersetzungsproduct von Blende angesehen werden muß, gewöhnlich. Bei der Untersuchung eines Schiefers zeigte sich, daß derselbe auf seinen Kluftflächen mit erdiger Zinkblüthe bedeckt war; Wasser entzog ihm schweselsauren Kalk, Salzsäure unter starkem Aufbrausen von Kohlensäure vielen Kalk, Eisenoxydul und Oxyd, wenig Zinkoxyd und Magnesia und die Poggendorff's Annal. Bd. CV.

146

gleichzeitige schwache Entwicklung von Schwefelwasserstoffgas gab den Beweis, dass noch unzersetzte Blende vorhanden war.

11. Kieselzinkerz von Cumillas bei Santander in Spanien.

Diess Erz erscheint in concentrisch schaligen und faserigen Partien, ist weiss oder farblos, von starkem Glanz und an der Obersläche gewöhnlich mehr oder weniger in dichte oder erdige, theilweise durch Eisenoxydhydrat braun gefärbte Zinkblüthe verwittert. Spec. Gewicht = 3,42. Da die vollständige Zersetzung durch Salzsäure schwierig von Statten ging, so wurde eine Ausschließung mit kohlens. Natron-Kali vorgenommen. Die Analyse ergab:

Zinkoxyd	66,25
Kieselsäure	23,74
Wasser	8,34
Thonerde u. Eisenoxyd	1,08
Phosphorsäure	Spur
-	99,41

III. Braune Blende von der Grube »Mückenwiese« bei Burbach, Revier Siegen.

Sie bricht in derben krystallinischen Massen, bei deren Analyse

12,59 Fe S

70,45 Zn S

16,96 Gebirgsart (unlöslich)

erhalten wurde. Da die Aequivalente von Fe S und Zn S sich wie 1:5 verhalten, so kann die Zusammensetzung des von der beigemengten Gebirgsart befreiten Erzes mit

5 Zn S + Fe S

bezeichnet werden.

IV. Antimonocker (Stiblith)

fand sich mit Nickelantimonglanz und Spatheisenstein aus der Grube Hercules bei Eisern, Revier Siegen, in erdigen weislichgelben bis braungelben Partien. Bei der Analyse des im Wasserbade getrockneten (wobei ein Gewichtsverlust 3,84 Proc. Wasser) Pulvers fand ich

<u> </u>	100,00.	(
antimons. Antimonoxyd)	84,85	(als Rest)	
Antimonige Säure (od.			
Wasser	9,42		ganoxyd
Eisenoxyd	5,56	mit Spuren	von Man-
Nickeloxydul	0,17		
abe 0,011100abbon/ 1 a.			

Dieser Ocker ist offenbar aus der Verwitterung von Nickelantimonglanz und Spatheisenstein hervorgegangen und das Eisenoxyd als Hydrat anzunehmen.

V. Oolithischer Thoneisenstein (Eisensandstein)

aus dem sogenannten braunen Jura von Hersbruck bei Nürnberg, lieferte bei der Analyse:

Eisenoxyd	55,68
Thonerde	7,24
Wasser	11,28
Kieselrest	25,97
Manganoxyd	Spur
•	100.17

VI. Dolomit

als Ausfüllungsmasse (Steinkern) eines Echinus von Ingolstadt (Baiern), an der Oberfläche krystallisch, hatte folgende Zusammensetzung

Kohlens.	Kalk	55,48
20	Talkerde	43,29
Eisenoxy	·d	0,48
Kieselero	le	0,16-
Spuren v	on Wasser	
•		9941

Siegen den 14. September 1858.

IX. Ueber den Leitungswiderstand des Nickels; con A. Arndtsen aus Christiania.

Chemisch reines Nickel ist wie bekanut eine Seltenheit, und noch seltener in Form von Draht, passend zur Untersuchung des elektrischen Leitungswiderstandes; derselbe ist deshalb, meines Wissens, nur ein Mal, nämlich von Prof. Riess untersucht worden.

Während meines Aufenthaltes in Göttingen hatte Hr. Hofrath Wöhler die Güte mir einen Nickeldraht zu leihen, den er von Deville bekommen hatte, und da dieser Draht, nach der Angabe des Hrn. Devilles aus vollkommen reinem Nickel gezogen war, wird vielleicht die folgende Bestimmung des Leitungswiderstandes desselben nicht ohne Interesse seyn.

Hierzu wurde die von Hrn. Prof. W. Weber angegebene Methode ') in Anwendung gebracht, indem ich den untersuchten Nickeldraht mit einem Kupferdraht verglich, dessen absoluter Widerstand aus früheren Versuchen bekannt war. Ferner wurde ein Spiegelgalvanometer benutzt, mit astatischer Nadel und zwei Multiplicatoren von dickem Draht, neben einander verbunden, so dass der Widerstand sehr gering war. Als Elektromotor wurde ein magnetischer Inductor benutzt, bestehend aus einem festliegenden cylindrischen Magnetstab und einer beweglichen Inductorrolle ebenfalls von dickem Draht, dessen Enden mit den Multiplicatordrähten des Galvanometers in Verbindung gebracht wurden. Der ganze Inductor war dicht neben dem Fernrohr, durch welches die Galvanometernadel beobachtet wurde, aufgestellt, so dass ich selbst während der Beobachtungen die Inductionsstöße in dem richtigen Zeitmoment hervorbringen konnte. Durch starke Schraubenklemmen wurde der Raum, in welchem die Inductorrolle hin und

¹⁾ Elektrodynamische Maaßbestimmungen, insbesondere Widerstandsmessungen. S. 204 u. folg.

her geschoben werden sollte, unveränderlich begränzt, so daß alle Inductionsstöße bei jeder Beobachtungsreihe genau denselben Integralwerth behielten.

Die zwei Verbindungspunkte zwischen den Enden des Inductordrahtes und des Multiplicatordrahtes werden mit z und k bezeichnet. Zur Vergleichung des Nickeldrahtes mit dem als Original benutzten Kupferdraht wurden dieselben zwischen z und k auf folgende vier Weisen eingeschaltet.

- A. Der Kupferdraht allein wurde zwischen z und keingeschaltet, so dass der Strom sich theilen musste zwischen dem Kupferdraht und dem Galvanometer.
- B. Anstatt des Kupferdrahtes wurde der Nickeldraht allein eingeschaltet.
- C. Der Kupferdraht und der Nickeldraht wurden neben einander verbunden und so zwischen z und k eingeschaltet.
- D. Der Kupferdraht und der Nickeldraht wurden nach einander verbunden und zwischen z und k eingeschaltet.

Bei jeder von diesen vier Combinationen erhält also die Intensität des durch das Galvanometer circulirenden und durch dasselbe gemessenen Stromzweiges verschiedene Werthe. Bezeichnet man die zu den vier Combinationen A, B, C und D entsprechenden Stromintensitäten respective mit denselben Buchstaben, und bezeichnet man ferner den Widerstand des Nickeldrahtes mit p und den Widerstand des Kupferdrahtes mit q, so ist nach Seite 213 der oben citirten Abhandlung

$$\frac{p}{q} = \frac{AB - AC}{AB - BC}$$
$$\frac{p}{q} = \sqrt{\frac{AB - BD}{AB - BD}}$$

Zur Bestimmung der Stromintensitäten A, B, C und D wurde die ebenfalls in der oben citirten Abhandlung (S. 349 u. folg.) beschriebene sogenannte Zurückwerfungsmethode benutzt.

Diese Methode besteht wesentlich darin, dass man durch einen momentanen Strom die Nadel plötzlich in Bewegung setzt und ihre erste Elongation beobachtet, darauf in dem

Augenblicke, wo die Nadel zum ersten Male wieder ihren ursprünglichen Stand passirt, wieder einen momentanen Strom auf sie wirken läst, der aber, gleich allen solgenden, doppelt so stark ist, wie der erste. Dieser zweite Strom soll dieselbe Richtung wie der erste haben; alsdann wird die Nadel durch ihn in ihrer Bewegung nicht allein plötzlich gehemmt werden, sondern sogar eine Geschwindigkeit nach derselben Seite erhalten, von welcher sie herkommt. Man beobachtet sodann wieder die erste Elongation, welche die Nadel hierauf macht, die, ohne Dämpfung, der vorigen nahe gleich ist, und lässt die Nadel auf die andere Seite ihrer Ruhelage hinüberschwingen, und beobachtet hier auch noch die zweite Elongation. Erst wenn die Nadel von dieser anderen Seite her ihre Ruhelage wieder passirt, lässt man einen momentanen Strom, in entgegengesetzter Richtung als das zweite Mal, wirken und wirft sie dadurch nach derselben Seite zurück, woher sie kommt, und beobachtet die erste und zweite darauf folgende Elongation, worauf man, sobald die Nadel wieder ihre Ruhelage passirt, den momentanen Strom in entgegengesetzter Richtung wie das vorige Mal, wirken lässt, u. folg.«

Man sieht dann, dass die correspondirenden Beobachtungen (nämlich die 1., 5., 9., u. folg. oder die 2., 6., 10. u. folg., oder die 3., 7., 11. u. folg.) sich sehr schnell vier Gränzwerthen nähern. Bezeichnet man sodann den Unterschied des ersten und dritten Gränzwerthes mit a, den Unterschied des zweiten und vierten mit b, so ist das Verhältniss von a:b dem Verhältnisse zweier auf einander folgender Schwingungsbögen gleich, folglich:

$$\lambda = \log \operatorname{nat} \frac{a}{b}$$
,

wenn à das logarithmische Decrement bezeichnet.

Ferner ist die Geschwindigkeit c, welche der Nadel von jedem momentanen Strome, mit Ausnahme des ersten, ertheilt wird,

$$c = \frac{\pi}{2T} \cdot \frac{a^2 + b^2}{V\overline{ab}} \cdot e^{-\frac{\lambda}{\pi} \arctan \frac{\lambda}{\pi}}$$

wo T die Schwingungsdauer ohne Dämpfung bezeichnet.

Der Ausdruck:

$$\frac{a^2+b^2}{\sqrt{ab}} \cdot e^{-\frac{\lambda}{\pi} \arctan \frac{1}{\pi}}$$

kann also als Maass der Stromintensität angesehen werden.
Die folgenden vier Taseln enthalten die unmittelbaren
Beobachtungsresultate. Hiebei ist zu bemerken, dass die
vier ersten ausgezeichneten Elongationen neben einander
in derselben Horizontallinie stehen, darunter die vier solgenden u. s. w., und endlich ist für jede Verticalreihe der
mittlere Werth der entsprechenden Elongationen angegeben

	A		
781,7	369,0	251,3	661,9
781,0	368,6	252,0	661,8
781,0	368,5	251,5	662,0
781,1	368,8	251,0	662,0
781,5	368,5	2 5 2,5	660,8
781,0	369,0	251,7	661,1
780,9	368,9	251,0	661,0
780,1	369,0	253,0	661,0
781,0	369,2	253,0	661,7
780,5	369,4	252,6	661,3
780,98	368,89	251,96	661,46
	В		
779,0	372,2	257,2	660,4
779,7	372,1	257,3	660,4
778,9	373,1	258,9	659,8
778,0	373,3	257,0	660,4
777,3	373,0	257,0	660,9
778,9	372,1	258,0	660,1
778,5	372,3	257,0	659,1
778,3	373,0	259,0	659,7
778,1	372,0	257,0	659,0
777,0	372,9	256,1	659,6
778,37	372,60	257,45	659,94

	15	2	
	C	•	
687,0	424,0	344,0	606,6
688,0	424,0	344,0	606,4
688,0	424,0	343,0	607,0
689,0	423,7	344,9	606,1
687,4	424,8	344,0	607,1
688,0	424,2	345,7	606,2
687,8	425,0	344,0	607,8
688,5	425,0	344,0	608,0
689,8	424,5	345,0	607,9
689,0	425,0	344,2	608.0
688,25	424,42	344,28	607,11
	D		
862,0	295,0	146,4	705,0
860,0	295,5	145,4	706,0
860,3	295,9	146,0	706,1
860,8	296,8	148,5	706,0
860 ,0	296,5	147,0	706,8
861,1	298,0	147,0	707,2
859,0	297,2	148,0	707,5
861,2	297,0	149,8	706,5
862,0	297,8	147,0	707,7
860,7	298,0	148,0	_

Sucht man in den obenstehenden Tafeln die Differenz zwischen dem ersten und dritten, und zwischen dem zweiten und vierten der angegebenen Mittelwerthe, und bezeichnet man diese Differenzen mit a und b, so erhält man für dieselben folgende Werthe:

147,31

706,53

296,77

861,71

	æ	æ
A	529,02	292,57
B	520,92	287,34
\boldsymbol{c}	343,97	182,66
D	714,40	409,76

Diese Werthe für a und b, welche wie bekannt den Tangenten der doppelten Elongationswinkel proportional sind, müssen auf solche Werthe reducirt werden, die den Elongationswinkeln selbst proportional sind. Da der Abstand des Spiegels von der Scale

2413 Scalentheile

betrug, so ist die hierzu nöthige Correction

$$=-\tfrac{1}{8}\tfrac{x^3}{2413^2}=-\tfrac{x^3}{17467707},$$

wenn x die in Scalentheile ausgedrückten Werthe von a und b bezeichnet.

Nach Ausführung der Rechnung erhält man folgende corrigirte Werthe für a und b:

	a	b
A	520,54	291,14
B	512,83	285,98
\boldsymbol{c}	341,64	182,34
D	693,53	404,82

Mit diesen Werthen von a und b berechnete man dann ferner die folgende Tafel:

$$\log \operatorname{nat} \frac{a}{b} = \lambda \qquad \frac{a^2 + b^3}{\sqrt{ab}} \cdot e^{-\frac{\lambda}{\pi} \operatorname{arc tang}} \frac{\lambda}{\pi}$$

$$A \qquad 0.5810625 \qquad 883,36$$

$$B \qquad 0.5840225 \qquad 870,05$$

$$C \qquad 0.6278844 \qquad 577,63$$

$$D \qquad 0.5358851 \qquad 1179,77$$

wo die in der dritten Columne angegebenen Größen als Maaß der Stromintensitäten A, B, C und D betrachtet werden können.

Es ergiebt sich dann endlich:

$$\frac{p}{q} = \frac{AB - AC}{AB - BC} = 0,971098$$

$$\frac{p}{q} = \sqrt{\frac{AB - BD}{AB - AD}} = 0,970882.$$

Der Widerstand des Nickeldrahtes verhält sich also zum Widerstand des Kupferdrahtes (im Mittel) wie 0,97099: 1,

wobei noch zu bemerken ist, dass die mittlere Temperatur während des Versuches

+ 13°,69 C.

betrug.

Nach meinen früheren Versuchen über den Leitungswiderstand der Metalle 1) ist der absolute Widerstand des angewandten Kupferdrahtes bei derselben Temperatur

 $=2673880000^{\circ}$),

folglich der absolute Widerstand des Nickeldrahtes = 2596313000.

Ferner war die ganze Länge des Nickeldrahtes = 247,35^{mm}, dessen Masse = 279,2^{mm} und dessen specifisches Gewicht (bei + 9°,57 C. gegen Wasser bei + 4° C.) = 8,8801, also der mittlere Halbmesser

0mm,20115,

und da die Länge des zwischen den Klemmschrauben eingeschalteten Theils des Drahtes

240mm

betrug, so war die reducirte Länge (d. i. die Länge eines 1^{mm} dicken Nickeldrahtes von demselben Widerstand wie der hier untersuchte)

1482,9^{mm}.

Daraus folgt ferner der Widerstand eines Nickeldrahtes von ein Millimeter Länge und ein Millimeter Durchmesser (der relative Widerstand)

1750835.

- 1) Pogg. Ann. Bd. ClV, S. 1 u. ff.
- 2) Der angewandte Kupserdraht war von demselben Stück wie der in oben citirter Abhandlung beschriebene Widerstandsetalon, dessen Länge 44000mm betrug. Der Widerstand desselben bei t⁰ wurde

=47289243800+174447000.t

gefunden, also der VViderstand bei 13°,69 = 49677326800.

Da der hier benutzte Kupferdraht nur eine Länge von

2368,3mm
hatte, so ist der Widerstand desselben bei derselben Temperatur

 $=\frac{49677326800 \cdot 2368,3}{44000} = 2673880000.$

Nach meinen früheren Versuchen ist der Widerstand eines Kupferdrahtes von denselben Dimensionen und bei derselben Temperatur

=256711.

Wird also der Widerstand des Kupfers = 1 angenommen, so ist der Widerstand des Nickels

= 6.82

also nahe gleich dem Widerstand des Eisens, der nach meinen Messungen

=6,66

ist. Nach Riefs ') verhält sich der Widerstand des Kupfers zum Widerstand des Nickels wie

1:7,60,

was mit meinem Resultat so nahe übereinstimmt, als man nach der Natur der Sache erwarten darf, zumal wenn man bemerkt, dass Riess nicht für die Reinheit der von ihm untersuchten Metalle einsteht.

Göttingen, im April 1858.

X. Ueber den Osteolith aus dem Kratzer Berge bei Friedland in Böhmen; von Dürre.

In einem Steinbruche auf dem Kratzer Berge an der Nordseite des Dorfes Schönwalde bei Böhmisch-Friedland sindet sich zwischen den senkrecht stehenden Basaltsäulen des Berges, die in dem Steinbruche sehr schön entblöst sind, hier und da in zolldicken Lagen, ein schneeweises erdiges Mineral, das offenhar ein Zersetzungsproduct des Basaltes ist. Hr. Prof. G. Rose durch den Dechanten Menzel aus Schönwalde darauf aufmerksam gemacht, hatte es auf einer Excursion mit Demselben gesammelt und mir zur Analyse 1) Die Lehre von der Reibungselektricität Bd. 1, S. 431.

mitgetheilt, die ich damit auch in dem Laboratorium des Hrn. Prof. H. Rose augestellt habe.

Das weise erdige Mineral hat im gepülverten Zustande nach zwei Versuchen ein specifisches Gewicht von 2,828 bis 2,829 und wird schon bei der gewöhnlichen Temperatur, wenn auch langsam, von Salzsäure und Salpetersäure zersetzt. Die Analyse ergab in 100 Theilen:

Phosphorsäure	34,639
Kalkerde	41,762
Kieselsäure	8,888
Thonerde	6,139
Eisenoxyd	0,506
Magnesia	0,791
Chlor	Spur
Wasser	2,970
	98,695

Hieraus ergiebt sich, dass das Mineral Osteolith ist, wie das, welches in dem Dolerite von Ostheim bei Hanau vorkommt, und von Bromeis¹) untersucht ist. Wie diesem, ist ihm auch ein Silicat, und zwar in noch etwas größerer Menge beigemengt; denn nimmt man an, dass der Osteolith nur dreibasisch phosphorsaure Kalkerde sey, und berechnet man nach der gefundenen Phosphorsäure, 34,639 Proc., in dem Minerale vom Kratzer Berge, die mit ihm verbundene Kalkerde, so erhält man 40,985 Proc. Das übrig bleibende Silicat hat dann folgende Zusammensetzung:

Kieselsäure	8,888	4,618	
Thonerde	6,139	2,867	3,019
Eisenoxyd	0,5 06	0,152	
Kalkerde	3,779	1,074	1,380
Talkerde	0,791	0,306	

woraus sich für das Silicat die am meisten entsprechende Formel

ableiten lässt. Auf den Gehalt an Wasser, das übrigens
1) Vergl. Annalen der Chem. nnd Pharm. Bd. 79, S. 1.

durch langes Trocknen bis 100° nicht entfernt werden kann, was auch durch den wenn auch sehr geringen Chlorgehalt wahrscheinlich gemacht wird, ist hierbei keine Rücksicht genommen.

Bromeis fand in dem Osteolithe von Ostheim 4 Proc. Kieselsäure, außerdem noch etwas Kohlensäure, Kali und Natron, was wohl von der verschiedenen Zusammensetzung des Dolerites von Ostheim und des Basaltes vom Kratzer Berge herrühren mag, denn offenbar rührt der Osteolith vom letzteren Berge von der Zersetzung des Basaltes und des in ihm enthaltenen Apatites her, wie der Osteolith von Ostheim von der Zersetzung des Dolerits und seines Apatits, wie letzteres auch Bromeis auseinander gesetzt hat 1).

Die Analyse wurde auf folgende Weise ausgeführt: Das fein gepülverte, bei 100° getrocknete Mineral wurde mit Salzsäure aufgeschlossen und die Kieselsäure abgeschieden Darauf ward der Kalk mittels Alkohol und Schwefelsäure gefällt und die Trennung der Phosphorsäure von den übrigen Basen nach der Fuchs'schen Methode (mittels Kieselfeuchtigkeit) bewirkt. Es war ganz unmöglich die Kieselsäure rein zu halten, wenn das Mineral mit Salpetersäure aufgeschlossen wurde. Mehrere auf diese Weise angestellte Versuche ergaben einen zu hohen Gehalt an Kieselsäure und diese enthielt nach vollständigem Auswaschen dann stets Thonerde. Da diese Versuche mit großer Sorgfalt angestellt waren, namentlich das Eintrocknen im Wasserbade eher zu früh als zu spät beendigt wurde, so muss das ungünstige Resultat der Gegenwart von Phosphorsäure zugeschrieben werden, wie diess auch H. Rose in seinem Handbuch erwähnt. Im besten Fall erhielt ich 11 Proc. Kieselsäure zu viel, nämlich 10,081 Proc., während beim Aufschließen mit Salzsäure 8,952 Proc., 8,601 Proc., 8,892 Proc. und die schon oben angegebene Menge, nämlich 8,888 Proc. resultirten.

Auch die Trennung der Phosphorsäure vom Kalk mittels kohlensauren Baryts führte zu keinem Ziel; trotz mehr1) A. a O S. 16.

tägiger Einwirkung und fleissigen Umrührens blieb viel Phosphorsäure in Lösung, während die ganze Menge derselben an Baryt gebunden in den Niederschlag gehen soll.

XI. Ueber die Ausdehnbarkeit der über ihren Siedpunkt erhitzten Flüssigkeiten; von Hrn. Ch. Drion. (Compt. rend. T. XLVI, p. 1235.

In einer 1835 veröffentlichten Notiz legt Hr. Thilorier1) der flüssigen Kohlensäure zwischen 0° und 30° C. einen mittleren Ausdehnungscoëfficienten von 0,0142 bei, d. h. einen etwa viermal stärkeren als ihn Luft und Gas besitzen. Wenn diese Zahl richtig ist, wird es mehr als wahrscheinlich, dass andere flüchtige Flüssigkeiten bei hinreichend von ihren Siedpunkten entfernten Temperaturen Ausdehnungscoëfficienten von eben solcher Größenordnung zeigen werden. Um mich davon zu versichern, wählte ich zwei Flüssigkeiten von sehr verschiedener chemischer Constitution, Chlorwasserstoffäther und schweflige Säure; aus den von mir angestellten Versuchen glaube ich schließen zu können, dass die von Hrn. Thilorier veröffentliche Thatsache eine allgemeine ist, und dass die Flüssigkeiten bei Temperaturen in der Nähe derjenigen, bei welchen dieselben sich innerhalb sehr beschränkter Räume ganz in Dampf verwandeln, eine viel größere Ausdehnbarkeit besitzen als Luft und Gase unter Drucken, die wenig von dem der Atmosphäre abweichen. Hier einige Worte über die von mir befolgte Methode.

Die Flüssigkeit, mit der ich operire, ist eingeschlossen in einen Ausfluss-Apparat, ähnlich in Form dem Maximumthermometer des Hrn. Walferdin. Dieser Apparat ist, neben einem empfindlichen Quecksilberthermometer, befe-

¹⁾ L'Institut Année III, 327. (Ann. Bd. XXXVI, S. 141.)

stigt in einer umgestülpten Glocke von 3 bis 4 Liter Capacität, die Wasser oder eine concentrirte und klare Lösung von Chlorcalcium enthält. Die Glocke hängt in einer Hülle von Blech, die auf einem mit Hahn versehenen Gasofen steht. Zwei gegenüberstehende Fenster von recht durchsichtigen Glimmertafeln erlauben mittelst eines Fernrohrs die Thermometer aus der Ferne zu beobachten. Mit Hülfe eines gehörig eingerichteten kreisrunden Agitators erhält man das Bad in allen Theilen in gleichförmiger Temperatur.

Die Beobachtungen geschehen paarweise; bei der ersten macht man das Ende der slüssigen Säule stationär vor einer der unteren Theilstriche des Stiels; bei der anderen läst man sie zu dem oberen Theil steigen. Jedes Mal merkt man sich genau die Angaben der beiden Thermometer. Da man das Verhältnis zwischea der Capacität des Behälters und der einer Abtheilung des Stieles kennt, so ist es leicht aus den beiden Ablesungen das Verhältnis der scheinbaren Volume der Flüssigkeiten bei den Temperaturen der Beobachtungen abzuleiten und folglich auch den mittleren Coëfficienten der scheinbaren Ausdehnung zwischen diesen beiden Gränzen. Erhitzt man hierauf das Bad um etwa zehn Grade, so macht man einen Theil der Flüssigkeit ausfließen, und das Instrument wird dadurch für ein neues Temperatur-Intervall geschickt.

Bevor ich die numerischen Resultate meiner Versuche beibringe, glaube ich einige Bemerkungen machen zu müssen, die geeignet seyn werden, einen Begriff von deren

Genauigkeit zu geben.

Durch die Versuche des Hrn. Cagniard de Latour weiß man, daß die Flüssigkeiten bei sehr von ihren Siedepunkten entfernten Temperaturen Dämpse von sehr beträchtlicher Dichtigkeit ausgeben. Es war also wichtig, mit der größten Sorgsalt zu verhindern, daß die in dem unteren Behälter und dem Stiele enthaltene Flüssigkeit einen Theil des zur Sättigung des oberen Behälters nöthigen Dampses liefern könnte.

Dahin gelangt man ohne Mühe, wenn man dem Ausflusschnabel eine große Länge (5 bis 6 Centin.) und einen fast mikroskopischen Durchmesser giebt. Ich habe mich versichert, daß man bei dieser Einrichtung die beiden Behälter mehr als eine halbe Stunde lang un einige zwanzig Grad verschieden in der Temperatur halten kann, ohne daß sich eine merkliche Destillation von dem einen in den an-

dern einstellt; ich glaube es also als erwiesen betrachten zu dürsen, dass die in dem oberen Behälter enthaltene Flüssigkeit für sich allein allen zur Sättigung dieses Raumes angewandten Dampf lieserte. Man wird übrigens bemerken, dass wenn in dem Intervalle zweier Beobachtungen ein Theil der thermometrischen Flüssigkeit verdampste, diese Fehlerquelle die erhaltenen Zahlen nur zu klein machen und nichts an den allgemeinen Schlüssen aus meinen Versuchen ändern würde.

Die Anwendung des Leuchtgases macht die Herstellung eines stationären Maximums oder Minimums der Temperatur auf mehre Minuten äußerst leicht; bei einiger Uebung gelingt es sogar dieses Maximum oder Minimum für jeden beliebigen Punkt der Thernometerscale genau zu erhalten. Ehe ich die Angaben des Apparates aufzeichnete, sorgte ich immer dafür, die Temperatur einige Male und sehr langsam zwischen möglichst genäherten Gränzen schwanken zu lassen, um somit sicher zu seyn, daß die Temperatur der flüchtigen Flüssigkeit nicht hinter der des Quecksilberthermometers zurückbliebe.

Folgendes sind nun einige der erhaltenen Resultate.

Chlorwasserstoffäther. Bei 0° ist dessen Ausdehnungscoëfficient nach Hrn. Pierre gleich 0,00157. Nach meinen Versuchen ist die scheinbare Ausdehnung derselben
Flüssigkeit durchschnittlich für jeden Centesimalgrad 0,00360
des Volums bei 121°. Zwischen 128° und 134° = 0,00421
des Volums bei 128° und zwischen 144°,5 und 149°,25
= 0,00553 des Volums bei 144°,5.

Schweflige Säure. — Zwischen 0° und 18° C. ist ihre mittlere Ausdehnung = 0,00193. Zwischen 91° und 99°,5 ist sie = 0,00368 des Volums bei 91°; zwischen 108°,5 und 115°,5 = 0,00463 des Volums bei 108°,5; zwischen 116° und 122° = 0,00533 des Volums bei 116°; zwischen 122° und 127° = 0,00600 des Volums bei 122°.

Es erreicht also beim Chlorwasserstoffäther der Ausdehnungscoöfficient den der Gase gegen 125° und bei der schwefligen Säure gegen 95°. Von diesen Temperaturen ab nimmt die Ausdehnung in einem wahrhaft überraschen-Grade zu.



1858. ANNALEN

.Yo. 10

DER PHYSIK UND CHEMIE.

BAND CV.

I. Einige Thatsachen betreffend das Schmelzen und Gefrieren des VV assers; von A. Mousson.

I. Die Ueberschmelzung

Bekanntermaßen gestattet vollkommene Ruhe, d. h. die Abhaltung aller Erschütterungen vom Boden und von der Luft her, Wasser mehrere Grade unter 0° zu erkalten, unter der Luftpumpe sogar bis — 12° und — 15° C. Der leiseste Anstoß bewirkt dann, unter Erhebung der Temperatur auf 0°, ein rasches Erstarren.

Ueber 0° besteht nur ein Gleichgewichtszustand der Theilchen, der flüssige, weder recht stabil, noch labil, ein ähnlicher Zustand, wie ihn eine Kugel auf einer horizontalen Fläche für die Schwere darstellt. Unter 0° giebt es zwei Gleichgewichtszustände, einen flüssigen und einen festen, der eine ganz labil, der audere vollkommen stabil. Die geringste relative Umstellung Eines Theilchens zieht die Umwälzung aller anderen nach sich und die Flüssigkeit krystallisirt zu Eis. Alle Umstände, welche die Theilchen in ihrer Lage zurückhalten, ihre Beweglichkeit und Umstellung erschweren, werden zugleich die Eisbildung verzögern, wie mir scheint erklären sich hiernach folgende Fälle.

1. Wasser in ganz kleinen vollkommenen Kügelchen unter ham auf nicht benetzter Oberstäche (auf Sammt, einer fein bestäubten Oberstäche, manchen Blättern etc.) hält sich bedeutend unter 0° slüssig und durchsichtig. Berührung mit einer Nadel veranlasst das Erstarren, wie das schon früher für geschmolzenen Schwefel erkannt worden war. Die Unbeweglichkeit der oberstächlichen Theilchen einer Flüssigkeit ist geringer als diejenige der inneren Theilchen: je

mehr also die Oberfläche im Vergleich zur Masse vorwaltet, d. h. je kleiner die Kügelchen sind, desto länger werden sie sich flüssig erhalten können.

Aehnliches gilt von dünnen durch Cohäsion und Viscosität zusammengehaltenen Häutchen. Namentlich ist bekannt, wie die kleinen, den Dunst und Nebel bildenden Wasserbläschen auch in hoher Kälte flüssig bleiben, wie die, von dem Daseyn der durchsichtigen Hülle abhängigen, optischen Erscheinungen entschieden beweisen. Es sind nicht Eis-, sondern Wasserbläschen.

Die Kräfte der Cohäsion, Ursache der Capillarerscheinungen, haben einen ähnlichen Einflus.

Es wurden unter Anderen acht Röhren, deren Weite, durch Wägung gemessener Längen Quecksilber bestimmt, von 0,187 auf 2,503_{mm} anstieg, mit einem frei endenden Wasserfaden versehen (Länge gegen 300mm). Die Röhren a (Fig. 3 Taf. II.) wurden horizontal gelegt, so dass beiderseits, außen am Wasser, noch bis zu den Enden der Röhren, die zur Hinderung der Verdunstung mit Siegellack geschlossen waren, ein leerer Raum übrig blich. deckte Kasten A, der neben einander die Röhren enthielt, war mit einem herausragenden Thermometer b versehen, und wurde, von zwei Armen B getragen, der kalten Luft ausgesetzt. Während der kalten Tage vom 2. bis 9. Jan. 1858 stieg das Thermometer am Tage nie über - 2" und sank in der Nacht immer auf - 5° bis 7° C. Nach dieser Zeit waren alle Röhren über 0,9mm gefroren; der von trübem Eise gebildete Eisfaden war im Mittel um 0,0988 länger als der ursprüngliche Wasserfaden. Alle Röhren unter 0,7mm blieben flüssig, und blieben es, selbst wenn man sie durch Stöße erschütterte, denen sie übrigens schon vorher bei dem wiederholt wehenden Nordwind vielfach ausgesetzt gewesen waren. Wurden die Röhren c, um einen längeren Wasserfaden zu erhalten, schief mit dem Ende in ein gefrierendes Wassergefäs C eingetaucht und so der Kälte ausgesetzt, so wirkte der Einfluss der Ansatzpunkte, und alle gefroren in der ersten Nacht, mit Ausnahme der zwei

feinsten, die 0,341 und 0,186^{mm} Weite hatten. Dasselbe erfolgte mit den horizontalen Röhren, wenn der Wasserfaden an dem einen offenen Ende frei heraustrat, und sich dort als größerer Tropfen ausbreitete.

Eine dünne Wasserschicht zwischen zwei Spiegelplatten gefror nicht, wenn die Platten durch Schrauben zusammengeklemmt, bisweilen aber, nachdem sie einfach auf einander gelegt worden, da dann die Wasserschicht eine dickere war. Zwischen Eisslächen gefriert eine Wasserschicht immer unter dem beiderseitigen Einslus der gleichartigen krystallisirten Theilchen. Es folgt, wie ich glaube aus diesen Thatsachen, dass alle Kräfte, welche die Umstellung der Theilchen erschweren, auch die Ueberschmelzung begünstigen.

2. Schmelzung durch mechanische Arbeit.

Die mechanische Wärmetheorie der HH. Thomson und Clausius haben verschiedene Beziehungen zwischen Wärmemenge, Temperatur, Volumen und mechanischer Arbeit aufgedeckt, welche auf manche dunkle Erscheinungen der Wärmelehre Licht verbreiten, und manche neue Untersuchungen hervorriefen, deren Resultate ihr zur Bestätigung gedient haben.

Wenn eine mechanische Arbeit auf einen festen Körper ausgeübt wird, und wirklich auf ihn übergeht, so kann dadurch 1) den Cohäsionskräften entgegen, eine innere Arbeit geleistet werden; 2) es kann das ganze Volumen sich vergrößern und dadurch dem äußern Druck entgegen eine äußere Arbeit verrichtet werden; endlich 3) kann ein Theil der Arbeit auf die materielle Theile selbst übergehen, die lebendige Kraft ihres Schwingungszustandes erhöhen, und somit durch Erwärmung sich offenbaren.

Bei den schönen Versuchen der HH. Faraday und Tyndall über die Umgestaltung des Eises durch Druck in jede beliebige Form; wird das Eis zermalmt, in die neue Form gedrängt, und bildet durch Verwachsen definitiv wieder dichtes Eis. Abgesehen von zufälligen Lücken hat nun dasselbe, wiewohl unter anderer Gestalt des Ganzen, wie-

der die nämliche Dichte als vorher: innere und äußere Arbeit, welche stets mit räumlichen Veränderungen zusammenhängen, fehlen, oder vielmehr die Arbeit bei der Trennung der Theilchen und diejenige bei ihrer Wiedervereinigung haben sich aufgehoben, und auch die Temperatur des neuen Eises ist 0°, wie sie vorher war. In dem umgestalteten Eise findet sich demnach kein Theil der aufgewandten Arbeit wieder; dieselbe muss also ganz zu Wärme geworden, das heisst in der Schmelzung eines anderen entsprechenden Theiles Eis zu finden seyn. Ich stellte in den kalten Tagen des Winters 1857 bis 1858 einige Versuche über die Zerdrückung des Eises mittelst einer starken hydraulischen Presse an, deren Kraft bis auf ein Bedeutendes steigen konnte '). Es wurden Stücke des reinsten glasigen Eises, von 9 bis 12 Centim. nach jeder Seite, zu dünnen Tafeln von wenigen Millimetern Dicke eines zusammenhängenden dichten, obgleich von kleinen Lücken getrübten Eises umgestaltet. Beim Fortschreiten der Operation begann ein Hervortreten von Schmelzungswasser, das bis zu Ende zunahm und nach mehreren Seiten von der Unterlage abfloss, wozu noch der kleine Antheil Wasser, der in den Lücken zurückblieb, hinzugerechnet werden muß. In der kurzen Zeit des Versuchs, da der Zimmerraum überdiess nur wenige Grade über 0° stand, konnte die aussere Wärme unmöglich eine solche Schmelzung zu Stande bringen; es bleibt daher kein anderer Ausweg als dieselbe einer Wärmeentwicklung aus der mechanischen Arbeit zuzuschreiben.

An der hydraulischen Presse fehlte ein Manometer zur Messung des Druckes in jedem Augenblick; es war daher nicht möglich die mechanische Arbeit, die ausgeübt wurde, quantitativ mit der Schmelzwärme des gebildeten Wassers zu vergleichen. Ich hoffe den kommenden Wiuter diese

Diese Presse aus den Werkstätten der Hrn. Escher-Wyss u. Comp. dient zum Ausprägen silberner Gegenstände und gehört Hrn. Goldschmied Fries, der sie uns mit der dankenswerthesten Bereitwilligkeit zur Verfügung stellte.

Vergleichung vornehmen zu können. Beträgt das in den Poren des gebildeten Eises zurückbleibende Wasser nicht einen zu erheblichen Antheil des Ganzen, so muß man genähert zwischen der aufgewandten Arbeit und der Schmelzwärme des entstandenen Wassers jenes Verhältniß wiederfinden, welches die HH. Joule und Thomson aus der Reibung der festen und flüssigen Körper und aus der Gasausdehnung als eine allgemeine Naturconstante aufgestellt haben. Einer Wärmeeinheit nämlich (1 Kilogrm. Wasser um einen Grad C. erwärmt) sollen 423 Kilogrammeter, oder einem Kilogrammeter ein Bruchtheil von 0,00237 Wärmeeinheiten entsprechen.

3 Liquefaction des Eises durch Druck.

Eine andere merkwürdige Folgerung aus der mechanischen Wärmetheorie besteht in einer Abhängigkeit des Schmelzpunktes von dem äußern Druck, eine Abhängigkeit wie man sie früher nur für den Condensationspunkt der Dämpfe kannte.

Dieser Abhängigkeit zufolge, ändert sich für kleine Variationen der Schmelz- oder Erstarrungspunkt dem Drucke proportional und zwar in dem einen oder andern Sinne, je nachdem der flüssige Körper beim Erstarren sich zusammenzieht oder ausdehnt. Hat der Körper fest ein kleineres Volumen als flüssig, so steigt der Erstarrungspunkt, hat er ein größeres, so sinkt derselbe.

Die Richtigkeit dieser Folgerungen ist bereits durch Versuche außer Zweifel gesetzt. Hr. Bunsen zeigte z. B. mit einem eignen piezometrischen Apparate, daß der Erstarrungspunkt des Wallrathes und Paraffins für 1 Atm. um 0°,0208 und 0°,0386 steigt. Achnliche Resultate erhielt Hr. Hopkins mittelst einer Hebelpresse für Wachs, Stearin, Schwefel, alles Substanzen, welche sich beim Erstarren contrahiren.

Das Umgekehrte erkannte Hr. W. Thomson für Wasser. Aus Versuchen mit einem gewöhnlichen Piezometer, welches Wasser, Eis und überdiess ein vor dem Drucke ge-

schütztes ungemein empfindliches Thermometer enthielt, in welchen Versuchen die stets dem Schmelzpunkt des Eises entsprechende Temperatur der Flüssigkeit beobachtet wurde, ergab sich auf eine Atmosphäre eine Senkung des Schmelzpunktes von 0,00747. Die Theorie des Hrn. Clausius giebt nahe übereinstimmend 0,00758.

Die Frage, die ich mir vorlegte, war eine etwas andere. Das gefrierende Wasser dehnt sich bei 0° und 1 Atm. um etwa ¼ aus: was geschieht 1) wenn man die Ausdehnung hindert? 2) wenn man das Eisvolumen durch sehr starken Druck auf das ursprüngliche Wasservolumen zurückführt? Erhält man comprimirtes Eis, oder erhält man Wasser? Vergeblich sieht man sich nach einer Beantwortung dieser Fragen um, sie scheinen wirklich die Aufmerksamkeit der Physiker noch nicht auf sich gezogen zu haben.

1) Mit der ersten obiger Fragen stehen allerdings Versuche in Verbindung, welche William in Quebeck vor längerer Zeit anstellte, in der Absicht die Kraft zu messen, mit welcher das gefrierende Wasser sich ausdehnt. Er setzte dicke eiserne Bomben, die mit Wasser gefüllt und mittelst eines eingeschlagenen Eisenstöpsels verschlossen waren, der Kälte aus. Erst bei einer tiefen Temperatur, einmal z. B. erst bei — 28°,7, wurde entweder der Stöpsel gewaltsam herausgetrieben, oder die Bombe zerprengt; es schien das Wasser bis zu dieser Temperatur stüssig geblieben, und erst im Augenblick, wo es Raum gewann, zu Eis geworden zu seyn.

Ich wünschte diese Frage des Flüssigbleibens unter hinlänglichem Druck augenfällig zu beantworten und benutzte hiezu den folgenden Apparat. Es wurde ein dickes vierkantiges Eisenprisma Fig. 4° u. 4° Taf. II aus zwei genau ancinander schließenden und mit starken Schrauben a zu verbindenden Längshälsten A, B gebildet. Durch die Länge desselben, also zur Hälste in jeder Prismahälste, ging zur Aufnahme des Wassers ein 6 mm weiter Hohlraum b. Eine starke Schraube C, die ihre Mutter im Eisenprisma hatte, passte mit ihrem konischen Ende in das gleich gestaltete

Ende des Hohlraums und bildete dessen unteren Verschluss. Von der anderen Seite wirkte ein comprimirender Stahl-Das Eisenprisma bildete nämlich oben eine starke Schraube, über welche mittelst eines langen Hebelarms die den Stempel treibende Schraubenmutter D herabbewegt wurde. Eine feine, mit Schranbe verschließbare Oeffnung d. die seitlings in den Hohlraum reichte, bezeichnete die Stelle von der an, der Stempel auf das Wasser Die Liederung, sowohl am Stempel zu wirken begann. in e, als an der Schlussschraube in f, wurde durch Blei hergestellt. Um durch den Hohlraum blicken zu können. ging quer durch die beiden Hälften des Eisenprismas eine etwa 10^{mm} hohe und 2^{mm} breite Oeffnung g. Zum Verschlus derselben waren zu beiden Seiten des Hohlraums 12^{mm} dicke Spiegelglasstücke h in das Eisen eingelassen und an der inneren Seite der beiden Prismenhälften durch Eisenplatten und Schrauben festgehalten. Alle Fugen waren auf das Genaueste ausgearbeitet und vor der Verbindung mit einem Anstrich von flüssigem Gummi elasticum versehen, was unter gewöhnlichen Umständen einen vorzüglichen Verschluss bewirkt.

Hatte man den Hohlraum von der Stempelseite her mit Wasser gefüllt, brachte als Index k ein dickes Stück Kupferdraht in dasselbe, lang genug um theilweise durch die Ritze gesehen zu werden, und ließ die Schraube auf den Stempel wirken, so befand sich das Wasser abgeschlossen unter dem hervorgebrachten Druck, und man erkannte den flüssigen Zustand daran, daß beim Umkehren des ganzen Eisenprismas der Index k vor der Ritze vorbei nach dem anderen Ende des Hohlraums ging und mit seinem anderen Ende gesehen wurde.

Bei einem der Versuche füllte man den Hohlraum im Freien mit Wasser, das nahe an 0° war und liess das ganze Prisma von Morgens 10 Uhr bis Abends 4 Uhr der kalten Lust ausgesetzt, die — 3° hatte. Der Index blieb immer beweglich, das Wasser also slüssig. Später sank die Kälte auf — 5°, der Hohlraum trübte sich und wurde sest. Beim

Oeffnen zeigte sich, das die Gummielasticum - Haut der Fugen, ihrer Dünne und Compression ungeachtet, zurück gedrängt worden war und dem Wasser theils einen Spielraum zur Ausdehnung, theils einen kleinen Ausweg geboten batte.

Hielt auch der Apparat keinen größeren Druck aus, so war damit immerhin erwiesen, daß bis — 3° die Unterdrückung der Ausdehnung die Hinderung des Gefrierens zur Folge hatte. Was aber für — 3° galt, muß natürlich auch für größere Kälte seine Richtigkeit haben, wenn das Gefäß nur stark und widerstehend genug ist.

2) Zur Compression des Eises genügt der vorige Apparat nicht. Der Fugenverschluss durch Gummi elasticum, durch Blei oder Zinn, widerstand nicht; die dicken Glasstücke, wiewohl sie nur in der Ausdehnung der Ritze dem Drucke unterworfen waren, zersprangen jedesmal, endlich vermochte das Gewinde der Eisenschraube den Druck nicht zu ertragen und wurde zerdrückt. Nach mancherlei vergeblichen Versuchen erfüllte endlich der folgende Apparat, in welchem alle Fugen vermieden und alle dem Drucke ausgesetzten Theile aus dem besten Stahle hergestellt wurden, vollständig seinen Zweck.

Durch die Axe eines 151 mm langen und 43 mm dicken massiven, vierkantigen Prisma A (Fig. 5" u. 5" Taf. II) des besten Stahls ist der Hohlraum B gebohrt. Oben in a 8,61mm weit, verengt er sich sehr langsam bis auf einen cylindrischen Theil bc von 7,12 www Weite, der unten wieder in einen konischen Theil von 11,70^{mm} Länge und 10,91^{mm} Oeffnung ausläuft. Jener ist die Stempelseite, dieser die Schlusseite des Zum Verschluss beiderseits hat sich kein Metall bewährt als recht reines homogenes Kupfer, das mit genau gearbeiteter konischer Form in die konischen Höhlungen hineingetrieben wurde. Unten geschieht es durch eine Schlusschraube C, deren Mutter in das Stahlprisma geschnitten ist, oben durch einen 32,49^{um} langen 8^{mm} dicken cylindrischen Stempel vom härtesten Stahle D, auf den ebenfalls mit Stahlkopf die große Schraubenmutter E wirkt, welche mittelst eines 600mm langen Hebels F gedreht wird. Die

als Liederung dienenden Kupferkegel sind durch e und f dargestellt. Da hier kein Durchsehen zur Beobachtung des Index möglich ist, kann über den Zustand des Inhaltes des Hohlraumes nicht anders geurtheilt werden, als durch Umkehrung des Apparates und durch Beobachtung der Seite, wo beim Oeffnen der Schlussschraube C der Index (ein Kupfercylinder von 23,59mm Länge und 5,13mm Dicke) sich befindet.

Die genaue Beschreibung des letzten Versuches, der ohne irgend einen Unfall verlief, wird das ganze Verfahren vollständig aufklären.

Der Versuch wurde den 27. Februar an einem der kälteren Tage Morgens 8 Uhr bei - 9°.5 C. begonnen. Man hatte schon den Abend vorher den Hohlraum B von der Stempelseite her mittelst des langen Kupferkegels e, des Stahlstempels D und der großen Mutter E festgeschlossen, den Hohlraum in umgekehrter Stellung mit ausgekochtem Wasser gefüllt, in denselben den Index d versenkt und das Ganze der Nachtkälte überlassen. Am Morgen wurde die durch das Gesrieren des Wassers im Grunde des konischen Raumes c entstandene Eiswarze mit Sorgfalt entfernt, der kurze Kupferkegel F eingesetzt und mittelst der Schlusschraube C mit möglichster Kraft eingetrieben. Nun kehrte man das ganze Prisma, das Stempelende nach oben, um, und befestigte es in dieser Stellung (Fig. 6 Taf. II) an einen starken Balken, der zwischen zwei Bäumen angebracht war. Der eingefrorne Index d befand sich jetzt oben, im dichten glasigen Eis des Hohlraums B und alles war zubereitet um durch Einwirkung der großen Mutter E den Druck wirken zu lassen. Blieb das Eis fest, so musste beim Oeffnen der unten liegenden Schlussschraube nach dem Kupferkegel f erst ein Eiscylinder und nachher der Index d erscheinen: war durch den Druck Wasser entstanden, so bätte sich der Index d an die Schlussseite des Hohlraums bewegen, und zuerst, nachber der Eiscylinder, erscheinen müssen.

Bei Ausübung des Druckes war voraus jede Erwärmung und Schmelzung aus der Arbeit selbst zu vermeiden; eine

Erwärmung welche, dem Frühern zusolge, keineswegs unbedeutend ist. Zu dem Ende blieb das Prisma während der ganzen, in der kalten Lust (unter — 3° C.) vorgenommenen Operation stets von einer Kältemischung aus Schnee und Salz, deren Temperatur sich nur von — 21° auf — 18° veränderte, umschlossen und wurde nie anders, als mit ganz kalten Werkzeugen berührt; außerdem ließ man die Arbeit so langsam vor sich gehen, daß an eine Erwärmung nicht zu denken war. Man drehte nämlich den Hebel ganz langsam um nicht mehr als ½ Umdrehung, und wartete jedesmal wieder 5 bis 8 Minuten, um eine zweite ähnliche Bewegung auszusühren. Bei diesem Versahren waren vier Stunden nothwendig, um die Mutter um 2½ Windungen oder, da die Windung 3,644° Höhe hatte, um 9,11° vorwärts zu bewegen.

Als man nach diesem Verfahren die untere Schlusschraube C in schiefer Stellung (Fig. 7 Taf. II) immer in voller Kälte öffnete und den kleinen Konus löste, trat derselbe sofort etwas heraus und an seiner Seite bildete sich augenblicklich Eis. Gleich hinter dem Konus folgte der Index d und erst nach diesem ein dichter Eiscylinder, der sich im Augenblick des Oeffnens gebildet haben musste. Damit war erwiesen, dass sich der Index d, unter dem Einflus des Druckes, von dem einen nach dem anderen Ende des anfänglich von Eis gefüllten Hohlraums begeben hatte, was nicht anders als durch eine Schmelzung des Eises erklärbar ist, womit auch die Erscheinungen beim Oeffnen selbst übereinstimmen. Alle Umstände waren so günstig, die ganze Operation ging so regelmässig vor sich, der Verschlufs aller Theile bewährte sich so gut, dass ich den Versuch als entscheidend, es als erwiesen betrachte, das Eis bei - 18° C. durch hinlänglich starken Druck zu Wasser wird.

Es wäre interessant zu wissen 1) wie weit bei dem Versuche die Compression des Eises getrieben wurde, 2) welcher Druck denn eigentlich nach Abzug der Kraft, die von den Widerständen des Apparates in Anspruch genommen wurde, auf das Eis wirkte. Die Natur des Versuches gestattete nur höchst oberflächliche Berechnungen, indessen geben die folgenden Daten eine Vorstellung von den Gröfsen, um die es sich handelt.

1) Der Hohlraum zwischen den Kupferkegeln e und f der anfangs das Eis enthielt, hatte 44,18 Länge auf 7,12 Weite, also einen Querschnitt 39,815 Quadratmillim. und einen Inhalt von 1759,04 Cubicmillim.; davon nahm der Index 487,589 Cubicmillim. ein, so das das Volumen des Eises anfangs 1271,45 Cubicmillim. betrug.

Durch die Arbeit der Schraubenmutter E rückte, wie gesagt, der Stahlstempel um 9,11^{mm} vor, der lange Kupferkegel e, anfänglich 61,40^{mm} lang, rückte aber mit seinem Ende nur um 4,28^{mm} vor, und verkürzte sich also um 4,83^{mm}, was daher rührte, daß ein Theil des Metalls als feste Kupferhülle zwischen dem Stempel und der Wand des Hohlraumes herausgedrängt wurde. Das Vorrücken um 4,28^{mm} entspricht einer Verkleinerung des Hohlraumes um 170,41 Cubikmillim.; die Compression betrug also 170,41: 1271,45 = 1:7,46; zwischen ½ bis ½ des anfänglichen Eisvolumens.

2) Um einigermaßen den Druck zu bestimmen, ließ man die Kraft nicht unmittelbar, sondern durch Vernittlung eines durch vorläufige Versuche erprobten Federdynamometers auf den langen Hebel F wirken. Beim anfänglichen Eintreiben des langen Kupferkegels e wandte man eine Kraft von 22,5 Kil. am Hebel an. Mit dieser Kraft begann auch die Compression und stieg nun regelmäßig durch die einzelnen Stufen der Arbeit bis auf 69,75 Kil. Der Unterschied dieser beiden Zahlen darf indeß nicht für die auf das Eis wirkende Kraft genommen werden, denn es stiegen nothwendig alle Widerstände (die Reibung der großen Schraube; diejenige am Kopfe des Stempels, der durch ein bewegliches Stahlstück g vor Verdrehung gesichert war; endlich der Widerstand des Kupferkegels e beim Vorrücken in seiner Höhlung) mit dem Drucke auf unbekannte Weise.

Eine Berechnung dieser Größe auf theoretischem Wege ließ sich in Ermangelung aller Elemente dazu nicht ausstüh-

ren; um sie versuchsweise einigermaßen zu schätzen, bestimmte man nach Beendigung der ganzen Operation und nach Entleerung des Hohlraums von Eis, die zu einer kleinen Bewegung des Kupferkegels e erforderliche Kraft, wenn der Kegel noch einen durch eine Hebelvorrichtung erzeugten Gegendruck von 408,8 Kil. zu überwinden hatte. Drei Versuche ergaben im Mittel, daß die Bewegung des Kegels allein 44,2 Kil. und mit obigem Gegendruck 46,2 Kil. Kraft am Hebel erforderte. Demnach erhöhen 408,8 Kil. Gegendruck die Kraft am Hebel um 2 Kil.; auf 1 Kil. Kraftvermehrung am Hebel geht ein Gegendruck von 204,4 Kil. an den Kupferkegel.

Da nun die Kraft zur Compression des Eises zuletzt 69,75 Kil. betrug, diejenige für den Kegel allein 44,2 Kil., so bewirkte das Daseyn des Eises eine Vermehrung der Kraft von 69,75 — 44,2 = 25,55 Kil., entsprechend einem Gegendruck von 25,55×204,4 = 5222,42 Kil. Dieser Druck wirkte gegen die Endfläche des Kupferkegels von 39,815 Quadratmillim, auf jedes Quadratmillim. also mit 131,161 Kil. Da nun eine Atmosphäre auf 1 Quadratmillim. 0,010333 Kil. entspricht, so betrug der Druck 131,161:0,01033 = 13070 Atm.

Bei der Unsicherheit der Daten fehlt dieser Zahl natürlich jede Genauigkeit. Unter 13070 Atmosphären wäre also das Eis bei — 18° bis — 20° flüssig, womit aber nicht gesagt ist, das nicht ein weit kleinerer Druck schon genügt hätte, zumal wenn der Versuch bei einer weniger tiesen Temperatur angestellt worden wäre, was hier zur vollständigen Vermeidung aller Schmelzung aus der mechanischen Arbeit vermieden wurde. Dürste man den srüher augeführten aus der Theorie abgeleiteten Coöfficienten einer Senkung des Schmelzpunktes von 0,00748° C. für eine Atmosphäre, noch für größere drückende Kräfte anwenden, so würden 20° Schmelzpunktsenkung einen Druck von 2640 Atm. verlangen, 5 mal weniger als der ausgeübte Druck. So weit indes ist man nicht berechtigt jene Zahl anzuwenden. Sie solgt nämlich aus der angenäherten Formel

$$\delta \tau = k \cdot \frac{V - V'}{L} \cdot \delta p$$

in welcher $\delta \tau$ die Veränderung des Schmelzpunktes für eine Druckänderung δp , V, V' die Volumina der gleichen Körpermenge im flüssigen und festen Zustand, L die Schmelzungswärme bei τ und p, k endlich einen absoluten constanten Coëfficienten bezeichnet. So lange man $\frac{v-v'}{L}$ als constant betrachten darf, wird $\delta \tau$ auch mit δp proportional seyn, was in den früheren angegebenen Versuchen von Bunsen und Hopkins angenommen wurde. Bei den ungeheuren drückenden Kräften, die in den gegenwärtigen Versuchen ausgeübt wurden, ist offenbar diese Voraussetzung selbst angenähert, nicht mehr zulässig, und es fehlt an allen Erfahrungen über die Aenderungen jener Größe.

Die folgende Auffassung mag die Sachlage noch klarer darstellen. Denkt man sich das Volumen des Wassers durch eine Ordinate dargestellt, die Temperatur durch eine Abscisse, so wird die Linie abc (Fig. 8 Taf. II), die ihre Minimum-Ordinate bei 4º hat, die Veränderung des Volumens darstellen. Den Versuchen zufolge steigt sie jenseits 0° noch immer stetig in wachsendem Verhältniss, und zwar theoretisch genommen ins Unbegränzte nach c hin. Von 0° an hat man ein zweites Volumen d' dem Eise angehörend und dieses zieht sich durch Kälte, wie bei allen anderen festen Körpern, stetig zusammen, woraus die Linie d'c' hervorgeht. Die steigende Linie dc und die sinkende d'c', hinlänglich verlängert, werden in einem Punkte c zusammentreffen, für die entsprechende Temperatur würde der Körper bei gleichem Volumen flüssig und fest seyn können.

Bezeichnen V., V., das Volumen von Wasser und Eis bei 0°: α, α' die Coëfficienten der Ausdehnung des erstern, und der Contraction des letzteren für 1º Erkältung, beide unveränderlich angenommen, so würde jene Temperatur t gleichen festen und flüssigen Volumens, gefunden aus

 $V_0(1 + \alpha t) = V_0(1 - \beta t).$

Sey ferner y die Ausdehnung der Eisbildung für die Cubik einheit also $V_0 = V_0 (1 + \gamma)$ so hat man die Bedingung:

$$1 + \alpha t = (1 + \gamma)(1 - \beta t)$$

woraus

$$t = \frac{\gamma}{\alpha + (1+\gamma)\beta}$$

Beim Wasser hat man $\gamma=0.09$; die Coëfficienten α und β kennt man leider nur in der Nähe von 0° , während man in dem Ausdruck der mittleren Werthe dieser Größen zwischen 0° und τ bedürfte. Die HH. Geißer und Plücker fanden bei 0° $\beta=0.0001585$; Hr. Pierre (zufolge der Berechnung des Hrn. Frankenheim) erhielt als mittleren Coëfficienten des Wassers von 0° bis -15° $\alpha=0.000250$; diese Werthe in die Formel gesetzt, geben $t=-212^{\circ}$ C.; da indeß α mit sinkender Temperatur wächst, β dagegen abnimmt, beides auf unbekannte Weise, so kann diese Bestimmung auf keine Genauigkeit Anspruch machen.

Das System der beiden Curven abdc und d'c' ändert nun sich aber, wenn der Druck von einer Atmosphäre auf eine größere Zahl derselben übergeht. Da Eis und Wasser durch Druck ihr Volumen vermindern, sinken beide Curven auf einen tiefern Stand herab, verwandeln sich z. B. in $\delta \gamma$ und $\delta' \gamma'$; zugleich auch verschiebt sich der Anfangspunkt von $\delta' \gamma'$ oder der Schmelzpunkt auf eine tiefere Temperatur. Die wahrscheinlichste Deutung der Liquefaction durch Druck besteht, wie mir scheint nun darin, dass bei solchem Drucke $\delta \gamma'$ oder die Ausdehnung der Eisbildung zuletzt verschwindet oder der Convergenzpunkt e in die vorhandene Temperatur vorrückt. Ein größerer Druck wird das Wasser slüssig erhalten, ein kleinerer ein doppeltes Volumen gestatten, entsprechend dem festen und flüssigen Zustande. Je kleiner der Druck, desto tiefer liegt die Temperatur, für welche beide Zustände sich in Ein Volumen vereinigen.

Ich wünsche übrigens durch diese Bemerkungen den Gegenstand der Aufmerksamkeit der Physiker zu empfehlen. Zürich, im August 1858. II. Darstellung aller Polarisationsbewegungen und einer zweiten verwandten VV ellenbewegung durch Zusammensetzung zweier Schraubenbewegungen, nebst Nachricht von einem Apparat dazu; von C. L. Gerling in Marburg.

Ausgehend von der Bemerkung, dass alle Bewegungen, welche bei der Polarisation des Lichts zur Betrachtung kommen, sich auf die Zusammensetzung der Bewegungen zweier Schrauben zurückführen lassen, unternahm ich im Frühjahr 1855 einen neuen Wellen-Apparat zu construiren, welcher bei Vorlesungs-Versuchen vor dem sonst so sinnreichen Fessel'schen Apparat 1) die Vorzüge einer beliebig continuirlichen Bewegung und größeren Dauerhaftigkeit voraus haben sollte. Diese Construction führte mir nun auch Hr. Mechanicus Schubart während des folgenden Jahres vorerst an einem Modell mit zwei Schrauben so weit aus, dass eine Ueberzeugung von der Zweckmässigkeit im Allgemeinen gewonnen wurde. Ich konnte das fertige Modell am 11. Juli 1856 in unserer naturforschenden Gesellschaft vorzeigen und machte von meiner Beschäftigung mit dem Gegenstand und dem bisherigen Erfolg am 20. Sept. 1856 - in der mathematischen Section der Naturforscher-Versammlung zu Wien eine Mittheilung.

Mit Hülfe dieses Modells habe ich seitdem den Gegenstand weiter verfolgt, und bin jetzt seit Kurzem im Besitz eines Apparats, der schon in dieser ersten Ausführung seinen Zweck vollständig erfüllt.

Aber nicht bloss zu einer Maschine für Darstellung der Polarisationsbewegungen führten diese Arbeiten, sondern auch, schon bei der Anfertigung des Modells, zur Auffindung einer, meines Wissens bisjetzt noch nicht untersuchten Wellenbewegung, welche gleichsam ein Gegenstück zur Polarisationsbewegung macht.

¹⁾ Diese Ann. Bd. 78, S. 421.

wächst, die Ordinate desselben aber abnimmt, so dass also bei rechtläusiger Bewegung der Hauptradius in seiner Ebene umläuft wie der Zeiger einer Uhr über dem Zisserblatt.

Weil hier aber zwei solche excentrische Kreise in Betrachtung kommen, so ist zunächst deren ursprüngliche Stellung gegen einander auszudrücken. Dazu bezeichne man dasjenige positive, von 0 bis 360° fortgezählte, w., welches bei dem rechtsliegenden Kreise stattfindet, wenn der Hauptradius des linksliegenden Kreises mit der Ordinaten-Axe parallel ist, mit W.

Zuletzt bleiben noch die beiden Fälle zu unterscheiden, wo beide Kreise in demselben Sinn, und wo sie im entgegengesetzten Sinn mit gleicher Winkelgeschwindigkeit umlaufen. Hiebei ist es erlaubt vorauszusetzen, dass der rechtsliegende Kreis auch rechtläufig sey und bleibe, während der linksliegende das eine Mal gleichfalls rechtläufig, das andere Mal rückläufig ist. Die beiden anderen Combinationen fallen nämlich durch blosse Umkehrung der verticalen Ebene um die Ordinaten-Axe darauf zurück.

§. 3.

Nach allen Obigen hat man also für den ersten Fall, wo beide Kreise rechtläufig sind, zu setzen

$$x_1 = -a + e \sin w + b; y_1 = e \cos w + b x_2 = +a + e \sin (W + w) - b; y_1 = e \cos (W + w) + b$$
 (2)

Substituirt man diese Werthe in die Formel (1) so kommt zunächst

$$\frac{x_1 + x_2}{2} = \frac{e}{2} \left[\sin w - \sin (W + w) \right]$$

$$= e \cos \frac{1}{2} W \sin (\frac{1}{2} W + w)$$

$$\frac{x_1 - x_2}{2} = \frac{e}{2} \left[\sin w - \sin (W + w) \right] - a + b$$

$$= -e \sin \frac{1}{2} W \cos (\frac{1}{2} W + w) - a + b$$

$$\frac{y_1 + y_2}{2} = \frac{e}{2} \left[\cos w + \cos (W + w) \right] + b$$

$$= e \cos \frac{1}{2} W \cos (\frac{1}{2} W + w) + b$$

$$\frac{y_1 - y_2}{2} = \frac{e}{2} \left[\cos w - \cos (W + w) \right]$$

$$= e \sin \frac{1}{2} W \sin (\frac{1}{2} W + w)$$

woraus dann folgt:

$$x = e(\cos \frac{1}{2} W + \sin \frac{1}{2} W) \sin (\frac{1}{2} W + w)$$

$$y = e(\cos \frac{1}{2} W - \sin \frac{1}{2} W) \cos (\frac{1}{2} W + w) - a + 2b$$
(4)

Den constanten Theil der Ordinaten schaffe man nun dadurch fort, dass man allen Ordinaten die Größe +a-2b zufügt, d. h. dass man den Anfangspunkt der Coordinaten in denjenigen Punkt der Ordinaten-Axe verlegt, wo dieselbe von der geraden Linie geschnitten wird, welche man durch die Mittelpunkte der von den Berührungspunkten beschriebenen Kreise (§. 2) der Dreiecks-Katheten parallel legt. Zieht man sodann noch die Parenthesen in (4) zusammen ') und erhält somit bequeme Ausdrücke für den jedesmaligen Ort des bewegten Punktes, so bleibt endlich nur das veränderliche w zu eliminiren, um die Gleichung für die Bahn des Scheitelpunkts und somit auch aller übrigen Punkte in der Ebene (wovon nur jede ihren eigenen neuen Coordinaten-Anfang bekommt) auszudrücken, welche einem angenommenen W entspricht.

Man erhält auf diese Weise das System

$$x = \sqrt{2 \cdot e \sin(\frac{1}{2}W + 45^{\circ}) \sin(\frac{1}{2}W + w)}$$

$$y = \sqrt{2 \cdot e \cos(\frac{1}{2}W + 45^{\circ}) \cos(\frac{1}{2}W + w)}$$

$$\frac{x^{2}}{2e^{2}\sin(\frac{1}{2}W + 45^{\circ})^{2}} + \frac{y^{2}}{2e^{2}\cos(\frac{1}{2}W + 45^{\circ})^{2}} = 1$$
(1)

wobei sich von selbst versteht, dass unter 1/2 immer nur die positive Zahl 2 sin 45° zu verstehen ist.

Die Ellipse, in welcher sich in diesem Fall der Punkt bewegt, hängt also ihrer Größe nach nur von e, ihrer Form nach nur von W d. h. von der bleibenden gegenseitigen Stellung der beiden Kreise ab. Diese Ellipse geht über für W=0 in einen Kreis vom Halbmesser e

- W=90° in eine horizontale Gerade von d. Länge 2 √2.e
- W=180° wieder in einen Kreis vom Halbmesser e
- $W = 270^{\circ}$ in eine verticale Gerade von d. Länge $2\sqrt{2.\epsilon}$
- 1) Nach den bekannten Formeln

$$\cos x + \sin x = \cos x - \cos (90 + x) = 2 \sin 45^{\circ} \sin (\frac{1}{2}x + 45^{\circ})$$

 $\cos x - \sin x = \cos x + \cos (90 + x) = 2 \cos 45^{\circ} \cos (\frac{1}{4}x + 45^{\circ})$

Für eine beliebig vorgegebene Form der Ellipse wird man nur das Verhältnifs der beiden Axen durch den Zahlenwerth von tang (½ W + 45") darzustellen und W darnach zu berechnen haben.

Aber auch der Sinn der Bewegung des Punktes in seiner Bahn ist bloß von W abhängig. Bezeichnet man nämlich den Bogen der Ellipse, von seinem Durchschnitt mit der positiven Ordinaten-Axe aus gezählt, mit s, so wird nach dem Obigen die Bewegung rechtläußig genannt werden müssen, wenn ∂s und ∂w einerlei Zeichen haben, oder wenn der Quotient $\frac{\partial s}{\partial w}$ positiv ist. Für ∂s aber kann man $\frac{\partial x}{y}N$ schreiben, wobei N die stets positiv bleibende Normale bedeutet. Demnach richtet sich das Zeichen von $\frac{\partial s}{\partial w}$ nach dem Zeichen von $\frac{\partial x}{y\partial w}$. Letzterer Ausdruck ist aber nach den Formeln (I) immer $= \tan \left(\frac{t}{x}W + 45^{\circ}\right)$,

Demnach findet eine rechtläufige Bewegung des Punktes in der Ellipse statt

von
$$\frac{1}{4}W = 315^{\circ}$$
 bis $\frac{1}{4}W = 45^{\circ}$, und von $\frac{1}{4}W = 135^{\circ}$ bis $\frac{1}{4}W = 225^{\circ}$

d. h. von

$$W = 270^{\circ}$$
 bis $W = 90^{\circ}$

und eine rückläufige Bewegung

von
$$\frac{7}{2}$$
 $W = 45^{\circ}$ bis $\frac{1}{2}$ $W = 135^{\circ}$ und von $\frac{7}{2}$ $W = 225^{\circ}$ bis $\frac{1}{2}$ $W = 315^{\circ}$

d. h. von

$$W = 90^{\circ}$$
 bis $W = 270^{\circ}$

Man hat also, nun Beides zusammengenommen, für W = 0 einen rechtläufigen Kreis. Darauf folgen bei wachsendem W rechtläufige breite Ellipsen, deren Vertical-Axe sich stets verkürzt, bis sie für $W = 90^{\circ}$ in eine horizontale Gerade übergehen. Von da an folgen dann rückläufige breite Ellipsen, deren breite Vertical-Axe stets wächst, bis sie bei $W = 180^{\circ}$ in einen rückläufigen Kreis übergehen. Jetzt folgen rückläufige hohe Ellipsen mit stets sich verlängernder Vertical-Axe, welche endlich bei $W = 270^{\circ}$ in eine

verticale Gerade übergehen. Von hier an bis $W = 360^{\circ}$ folgen endlich wieder rechtläußge hohe Ellipsen mit abnehmender Vertical-Axe, die bei $W = 360^{\circ}$ selbst, sich zu dem rechtsläußgen Kreis abrunden, wovon ausgegangen war.

Auf ganz ähnliche Weise hat man für den zweiten Fall wo der rechtsliegende Kreis rechtläufig bleibt, der linksliegende aber rückläufig ist, die Bewegung des Punktes zu entwickeln.

Hier bekommt nämlich in dem Ausdruck von x_1 das veränderliche Glied e sin w das entgegengesetzte Zeichen, so das in (2) zu setzen ist

$$x_1 = -a - e \sin \omega + b \quad (5)$$

während die drei übrigen in (2) unverändert bleiben.

Bei der Substitution in (1) ändern sich also die beiden ersten Gleichungen in (3) indem sie nun werden

$$\frac{x_1 + x_2}{2} = \frac{e}{2} \left[-\sin w + \sin (W + w) \right]
= e \sin \frac{1}{2} W \cos (\frac{1}{2} W + w)
\frac{x_1 - x_2}{2} = \frac{e}{2} \left[-\sin w - \sin (W + w) \right] - a + b
= -e \cos \frac{1}{2} W \sin (\frac{1}{2} W + w) - a + b$$
(6)

während die beiden letzten Gleichungen von (3) ungeändert bleiben.

Verrichtet man damit nun dieselben Substitutionen und Zusammenziehungen wie in §. 3, so entspringt für diesen Fall das Gleichungs-System

$$x = \frac{1}{2} \cdot e \sin \frac{1}{2} W \sin \left(\frac{1}{2} W + w + 45^{\circ} \right)$$

$$y = \frac{1}{2} \cdot e \cos \frac{1}{2} W \cos \left(\frac{1}{2} W + w + 45^{\circ} \right)$$

$$\frac{x^{2}}{2e^{2} \sin \frac{1}{2} W^{2}} + \frac{y^{2}}{2e^{2} \cos \frac{1}{2} W^{2}} = 1$$
(II)

Es ist also hier das Axenverhältniss der Ellipsen durch den Zahlenwerth von tg $\frac{1}{2}$ W ausgedrückt.

Eine Vergleichung der beiden Systeme (I) und (II) anzustellen, beziffere man sowohl die constanten W als die

veränderlichen w nach diesen beiden Fällen. Man hat dann für Zurückführung der Fälle auf einander die beiden Gleichungen

$$\frac{1}{2} W_2 = \frac{1}{2} W_1 + 45^{\circ}$$
 und $\frac{1}{2} W_2 + w_2 + 45 = \frac{1}{2} W_1 + w_1$,

Man übersieht also unmittelbar, dass um identische Ellipsen zu erhalten, man nur $W_1 = W_1 + 90^\circ$ zu machen habe, und dass um den bewegten Punkt auch an demselben Ort zu erhalten, noch überdiess $w_2 = w_1 - 90^\circ$ zu machen sey. Hieraus folgt, dass $W_1 + w_2 = W_1 + w_1$ seyn muss d. h. dass man in beiden Fällen den Hauptradius des rechtsliegenden Kreises um einen gleichen Winkel von dem Parallelismus mit der positiven Ordinaten-Axe weggedreht haben muss, wenn man denselben Ort des bewegten Punktes in beiden Fällen erhalten will.

Der geometrische Grund dieses Satzes ist evident. nämlich durch einen Winkel w, des ersten Falls der Punkt an einen bestimmten Ort gebracht, und macht also der Hauptradius des linksliegenden Kreises mit der Parallele der positiven Ordinaten-Axe den positiven Winkel w1, so ist der Winkel zwischen dem zum Berührungspunkt mit der linken Kathete gezogenen Halbmesser des excentrischen Kreises und dem Hauptradius $= w_1 - 45^{\circ}$. Da nun aber der excentrische Kreis durch den Hauptradius und seine Verlängerung symmetrisch theilbar ist; so muß es auf seiner Peripherie einen zweiten Punkt geben, dessen Halbmesser gleichfalls um w, - 45° vom Hauptradius, aber nach der entgegengesetzten Seite, entfernt liegt, und der durch gehörige Umdrehung gleichfalls Berührungspunkt an derselben Geraden werden kann. Dieser zweite Berührungspunkt liegt also im Sinn der positiven w um $2w_1 - 90^\circ$ entfernt vom erstern. Will man ihn also mit dem erstern vertauschen, so muss man nicht nur w_1 , sondern noch weiter $w_1 - 90^{\circ}$ d. h. w2 zurückdrehen.

§. 7.

Die Untersuchung über die Form der Ellipsen und über den Sinn der Bewegung in ihnen geht nun in diesem zwei-

ten Fall denselben Weg wie §. 4. Man erkennt, dass die Form nur von der Größe des constanten Winkels W abhängt, und daß, da auch hier der Sinn der Bewegung von dem Zeichen des Ausdrucks $\frac{\partial x}{y \partial w}$ bestimmt wird, und dieser Ausdruck nach den Formeln (II) immer = $tg \frac{1}{2} W$ ist, rechtläufige Bewegung stattfindet

von $\frac{1}{2}$ W = 0 bis $\frac{1}{2}$ $W = 90^{\circ}$ und von $\frac{1}{2}$ $W = 180^{\circ}$ bis $\frac{1}{6}$ $W = 270^{\circ}$ d. h. von W = 0 bis $W = 180^{\circ}$.

rückläufige Bewegung dagegen

 $\operatorname{von} \frac{1}{2} W = 90^{\circ} \operatorname{bis} \frac{1}{2} W = 180^{\circ} \operatorname{und} \operatorname{von} \frac{1}{2} W = 270^{\circ} \operatorname{bis} \frac{1}{2} W 360^{\circ}$

d. h. von $W = 180^{\circ}$ bis $W = 360^{\circ}$

Demnach hat man in diesem zweiten Fall

Bei W=0 eine verticale Gerade von der Länge $2\sqrt{2}.\epsilon$

Darauf fölgen dann rechtläufige hohe Ellipsen, deren Vertical-Axe abnimmt, bis sie

bei $W = 90^{\circ}$ in einen rechtläufigen Kreis vom Halbmesser e übergehen. Darauf folgen dann wieder rechtläufige breite Ellipsen mit stets abnehmender Vertical-Axe bis am Ende

bei $W=180^\circ$ eine horizontale Gerade von der Länge $2\sqrt{2} \cdot e$ beschrieben wird. Die hierauf folgenden breiten Ellipsen mit stets wachsender Vertical-Axe sind dann rückläufig bis sie

bei $W=270^{\circ}$ in den rückläufigen Kreis vom Halbmesser e übergehen, welchem dann wieder gleichfalls rückläufige hohe Ellipsen folgen, die endlich

bei W = 360 wieder die verticale Gerade darstellen, von welcher ausgegangen war.

Die ganze Periode der Bewegungen folgt also hier in derselben Reihenfolge wie im ersten Fall, nur dass die zugehörigen W hier um einen Quadranten höher zu setzen sind.

§. 8.

Es ist schon am Ende des §. 2 bemerkt worden, dass die beiden hisher betrachteten Fälle genügen, um alle möglichen Bewegungen zu untersuchen. Dieses leuchtet jetzt noch deutlicher ein, wenn man erwägt, dass ein Unteren der rechtläufigen Bewegung der Kreise in die rückläufige (d. h. also im ersten Fall die Annahme rückläufiger Bewegung in beiden Kreisen, und im zweiten Fall die Annahme rückläufiger Bewegung im rechtsliegenden und rechtläufiger Bewegung im linksliegenden) überall nur eine Rückkehr des bewegten Punkts in der Bahn zur Folge haben kann. Die Bedeutung des W ändert sich nämlich durch diese Annahme nicht, also ändert sich auch nicht das Zeichen von $\operatorname{tg}(\frac{1}{2}W+45^{\circ})$ im §. 4 und $\operatorname{tg}\frac{1}{2}W$ im §. 7, also auch nicht das Zeichen von $\frac{\partial x}{\partial w}$ und $\frac{\partial s}{\partial w}$; ∂s muß also mit ∂w sugleich sein Zeichen ändern.

Demnach steht durch das Bisherige fest, dass man durch zwei gleiche excentrische Kreise auf swei verschiedene Weisen einem Punkte alle die Bewegungen ertheilen kann, welche man jedem einzelnen Aetherpartikelchen in einem polarisirten Lichtstrahl zuschreibt.

§. 9.

Es kommt nun aber darauf an, eine Reihe solcher Punkte, die einen Lichtstrahl vorstellen sollen, in angemessene Bewegungen zu versetzen. Zu dem Ende lege man den auf einander folgenden Punkten, außer den bisherigen Coordinaten x und y, noch die dritten Coordinaten z bei, die man sich positiv wachsend denke, wenn der Punkt sich von der ursprünglichen, schon durch das obige »rechts und links « charakterisirten Stellung des Beobachters entfernt.

Es müssen sodann die positiven oder negativen Veränderungen u, welche die bisherigen, bei z=0 geltenden werleiden, wenn man von dem bisher allein betrachteten einzelnen Punkt auf die folgenden übergeht, den z proportional seyn, und zwar so, das man, für die angenommene Wellenlänge =l, hat $u=\frac{2\pi z}{l}$ oder $u=-\frac{2\pi z}{l}$. Diesen Zweck erreicht man, wenn man horizontale gerade Kreiscylinder mit dem Halbmesser e beschreibt, sodann um dieselben je eine Schraubenlinie (helix) legt, deren Gleichungen sind:

$$\xi = \pm e \sin \frac{2\pi z}{l}$$

$$\eta = e \cos \frac{2\pi z}{l},$$

endlich dann noch die bewegenden Kreise vom Halbmesser R sich selbst parallel mit ihren Mittelpunkten in diesen Schraubenlinien fortbewegt.

Hier ist nun zuerst die Duplicität des Zeichens durch die Unterscheidung von rechten und linken (oder rechtsgewundenen und linksgewundenen) Schrauben festzustellen. Wir nennen also, folgend dem allgemeinen Sprachgebrauch der Techniker, rechte (oder rechtsgewundene) Schraube eine solche, deren Gänge, wenn sie vertical steht, dem von außen sie betrachtenden Beobachter von links zu rechts aufsteigen, oder mit andern Worten, in welchen ein Punkt von der nach Osten liegenden Cylinderseite zu der nach Westen liegenden durch Norden aufsteigt '). Demnach gilt bei dem obigen § das obere Zeichen für eine rechte und das untere für eine linke Schraubenlinie.

Die krumme Oberstäche der Schraube selbst, welche durch parallele Fortbewegung des Kreises vom Halbmesser R entsteht, ist dann in Folge der Gleichung $(x-\xi)^2 + (y-\eta)^2 = R^2$ auszudrücken

für die rechte Schraube durch

$$x^2 + y^2 - 2xe \sin \frac{2\pi x}{l} - 2ye \cos \frac{2\pi x}{l} = R^2 - e^2$$
 (7)

für die linke Schraube durch

$$x^{2} + y^{2} + 2xe\sin\frac{2\pi x}{l} - 2ye\cos\frac{2\pi x}{l} = R^{2} - e^{2} \quad (8).$$

1) Dieser uralte Sprachgebrauch aller Techniker ist auch von Linné Philos. botan., Stockholm 1757 p. 39) in die wissenschaftliche Terminologie aufgenommen, mit den Worten: ascendens... sinistrorsum secundum solem... dextrorsum contra solem, und scheint hier unverändert beibehalten, bis 1827 De Caudolle (dem wie es scheint auch manche Botaniker jetzt folgen) die Terminologie geradezu unkehrte, in den Worten: on détermine cette direction en supposant qu'on est soi-même placé au centre de la spirale.

Die Durchschnitte dieser krummen Fläche mit den coordinirten Ebenen ys und zs werden also (beide Schrauben zusammengenommen) ausgedrückt durch

$$y^{2}-2ye\cos\frac{2\pi x}{l}=R^{2}-e^{2}$$

$$x^{2}+2xe\sin\frac{2\pi x}{l}=R^{2}-e^{2}$$
(9).

Die Geichungen für die Curven aber, welche auf den coordinirten Ebenen ys und xs entstehen, wenn man ein die krumme Oberstäche berührendes Perpendikel auf dieselben sich selbst parallel fortführt, erhält man mittelst Nullsetzung der partiellen Differentialquotienten $\frac{\partial x}{\partial y}$ und $\frac{\partial y}{\partial x}$ der Gleichungen (7) und (8), nämlich

$$y = e \cos \frac{2\pi z}{l}$$

$$x = \pm e \sin \frac{2\pi z}{l}$$
(10).

Hieraus erhellt nun, dass Schrauben, welche eine continuirliche gerade Linie in die oscillirende Bewegung des polarisirten Lichts versetzen sollen, sich nach Art der sogenannten gewundenen Säulen auf der Drehbank wohl etwa dadurch machen ließen, dass man dem Drehstahl eine nach den Gleichungen (10) gekrümmte Schneide doppelter Krümmung gäbe. Für die praktische Ausführung einer Maschine aber, wobei nur eine Reihe von auf der Wellenlänge 1 gleichvertheilten einzelnen Punkten zu bewegen ist, bleibt es vorzuziehen, statt der Schraube selbst ein System von cylindrischen Scheiben zu setzen, deren Dicke dem Unterschied je zweier benachbarter z gleich kommt, und deren Mittelpunkte in der obigen Schraubenlinie liegen, während die noch beliebig zu wählenden R nur nach den Zwecken der Genauigkeit und Dauerhaftigkeit des Apparats zu bestimmen sind ').

 Hr. Mechanikus Schubart, welcher 1855 die Schrauben zu meinem Modell sehr mühsam ausarbeitete, kam damals schon auf den Gedanken, Scheibensysteme dafür zu aubstituiren, und wir fanden dann auch

§. 10.

Um nun vermittelst zweier solcher Schrauben (oder dafür substituirter Scheibensysteme)

die Polarisationsbewegungen

so wie sie bei dem Licht vorausgesetzt werden, hervorzubringen, ist von den beiden eben beim Kreise betrachteten Fällen Anwendung zu machen.

Lässt man überall die Kreise, mit denen sich in den §§. 2 bis 8 beschäftigt wurde, für den Ansang der Wellenbewegung, z = 0, gelten, und behält die obigen Bedeutungen für w und W in diesen Ansangskreisen bei, so hat man für die folgenden Punkte nur einer Veränderung dieser beiden Größen, je nach den z vorauszusetzen.

1) Bei zwei congruenten rechtsgewundenen Schrauben, welche sich in demselben Sinn undrehen

hat man nun die w auf beiden Seiten um $\frac{2\pi z}{l}$ zu vermehren, wenn das z von 0 an bis z angewachsen ist. Das W aber bleibt bei jedem z (jeder Scheibe) dasselbe.

Man hat demnach aus dem System (1) des §. 3. für die krumme Linie, worin sich sämmtliche Punkte befinden, die Gleichungen

$$x = \sqrt{2} \cdot e \sin\left(\frac{1}{2}W + 45^{\circ}\right) \sin\left(\frac{1}{2}W + w + \frac{2\pi x}{l}\right)$$

$$y = \sqrt{2} \cdot e \cos\left(\frac{1}{2}W + 45^{\circ}\right) \cos\left(\frac{1}{2}W + w + \frac{2\pi x}{l}\right)$$
(11)

aus welchen sich mit dem w sugleich das z wie oben eliminirt, so dass

$$\frac{x^2}{2e^2\sin(\frac{1}{2}W+45^6)^2} + \frac{y^2}{2e^2\cos(\frac{1}{2}W+45)^2} = 1$$
 (12)

ganz unverändert bleibt.

bald eine sichere Methode, dergleichen genau congruent oder genau symmetrisch zu construiren. — Dem Ansehen der Abbildung nach zu urtheilen, haben unsere Systeme die größte Aehnlichkeit mit der zwei Jahre später durch diese Annal. Bd. 100, S. 585 uns bekannt gewordenen Einrichtung von Lissajous.

Diess zeigt nun, dass nich alle Bahnen als identischs Ellipsen auf die Ebene zy projiciren, oder mit andern Werten, dass die durch die Gleichungen (11) ausgehrückte krumme Linie doppelter Krümmung eine Spirale um einen geraden elliptischen Cylinder darstellt, wobei zum Uebersflus noch bemerkt werden mag, dass in den Fällen, wo die Ellipsen in gerade Linien übergehen (bei geradliniger Polarisation) diese Spirale in eine ebene Wellenlinie übergeht, was aber der Allgemeinheit nicht schadet.

Es fragt sich also nun zunächst, ob diese Spirale eine rechts- oder linksgewundene sey? Diess zu entscheiden, denke man durch einen Punkt derselben, die Elemente 8s in der Bahn des bewegten Punkts, und 8s parallel der Axe nach ihren oben schon bestimmten positiven Richtungen gelegt; so wird das Element der Spirale & S, gleichfalls positiv gezählt, wo eine Entfernung vom Anfangspunkt ausgedrückt werden soll, nur dann zwischen dieselben fallen, oder mit andern Worten, so wird der Winkel vom positiven ∂s bis zum positiven ∂S nur dann spitz seyn, wenn die Spirale rechtsgewunden ist, stumpf aber, wenn sie linksgewunden ist. Die Cotangente dieses Winkels wird aber durch $\frac{\partial s}{\partial x}$ ausgedrückt. Es liegt also die Entscheidung in dem Zeichen dieses Ausdrucks oder (wie §. 4) im Zeichen des Ausdrucks $\frac{\partial x}{y \partial x}$, welches nach den Formeln (11) mit dem Zeichen von $tang(\frac{1}{2}W+45^{\circ})$ identisch ist. Dieses. verglichen mit §. 4, zeigt also, dass man

- a) bei zwei rechtläusigen rechtsgewundenen Schrauben, rechtsgewundene und linksgewundene Spiralen zwischen denselben Gräuzen erhält, zwischen welchen die Bahnen der einzelnen Punkte rechtsläusig oder rückläusig sind. Wenn dagegen
- b) beide rechtsgewundene Schrauben rückläufig werden, die w aller Punkte also durch die Drehung abnehmen, und letztere also in ihren nach a) beschriebenen Bahnen zurückkehren, die 8s und 8x also zugleich ihr

Zeichen ändern wie §. 8; so ändert sich doch das Zeichen der ∂z von einer Bahn zur folgenden dabei nicht; $\frac{\partial z}{\partial z}$ ändert also sein Zeichen, und man findet am Ende, dass man hier eine rechtsgewundene Spirale hat, wo vermöge der angenommenen W die Punkte in der Bahn rückläufig, und eine linksgewundene, wo sie rechtläufig sind.

§. 11.

Werden nun

2) zwei congruente linksgewundene Schrauben in demselben Sinn umgedreht

so bleibt gleichfalls W unverändert, die w aber vermindern sich bei wachsendem s auf beiden Seiten um $\frac{2\pi s}{l}$, man bekommt also nach dem System (I) des §. 3 die Gleichungen

$$x = \sqrt{2} \cdot e \sin\left(\frac{1}{2}W + 45^{\circ}\right) \sin\left(\frac{1}{2}W + w - \frac{2\pi x}{l}\right)$$

$$y = \sqrt{2} \cdot e \cos\left(\frac{1}{2}W + 45^{\circ}\right) \cos\left(\frac{1}{2}W + w - \frac{2\pi x}{l}\right)$$

$$\frac{x^{2}}{2e^{2} \sin\left(\frac{1}{2}W + 45^{\circ}\right)^{2}} + \frac{y^{2}}{2e^{2} \cos\left(\frac{1}{2}W + 45^{\circ}\right)^{2}} = 1 \qquad (14)$$

Die Punkte laufen also auch hier auf der Oberfläche eines geraden elliptischen Cylinders wie in §. 10, und es ist kein Unterschied als dass Zeichen von $\frac{\partial s}{\partial x}$ oder $\frac{\partial z}{y\partial x}$ das entgegengesetzte von dem wird, was in §. 10 galt. Man erhält also, im Verfolg der obigen Schlüsse,

- a) bei zwei rechtläufigen linksgewundenen Schrauben rechtsgewundene Spiralen, da wo die Bahnen der einzelnen Punkte rückläufig sind, und linksgewundene, da wo die Punkte in der Bahn rechtläufig sind. Dagegen aber hat man
- b) bei zwei rückläufigen linksgewundenen Schrauben, die rechtsgewundenen Spiralen bei den rechtläufigen Bahnen und die linksgewundenen bei den rückläufigen.

§. 12.

Werden nun aber zwei symmetrische Schrauben mit einander so verbunden, dass sie sich mit gleicher Winkelgeschwindigkeit umdrehen, so mus ein anderer Weg eingeschlagen werden, um zu den Polarisationsbewegungen zu gelangen.

Nach dem was am Ende des §. 2 bemerkt und §. 8 weiter ausgeführt wurde, ist es für die Untersuchung dabei gleichbedeutend, ob man die rechtsgewundene oder die linksgewundene als rechtsliegend betrachtet. Es mag also, zur bequemen Anknüpfung an das Obige vorausgesetzt werden, das die rechtsliegende auch die rechtsgewundene sey.

In den symmetrischen Schrauben werden nun die Hauptradien, welche bei dem Anfangskreis (s=0) einen Winkel W mit einander bilden, bei einem späteren s den Winkel W $+\frac{4\pi z}{l}$ gegen einander machen. Wollte man also auch hier wie in §. 10 und 11 eine Bewegung in demselben Sinn bei beiden Schrauben voraussetzeu, und demgemäß in das System (I) des §. 3 substituiren, so würde man aus den Formeln, welche an die Stelle von (11) und (13) träten, weil die W nun aufgehört hätten constant zu seyn, nicht das z zugleich mit dem w eliminiren können, demnach nicht, wie in den beiden früheren Fällen, dieselbe Ellipse für alle Bahnen, d. h. nicht eine Spirale auf einen geraden elliptischen Cylinder für den geometrischen Ort aller bewegten Punkte, kurz nicht die Polarisationsbewegung erhalten. Dagegen kommt man hier zum Zweck, wenn man

3) zwei symmetrische Schrauben sich im entgegengesetzten Sinn drehen läst.

In diesem Fall bestimmt sich nach der Festsetzung des §. 2 das W für einen späteren Kreis, für welchen s gilt, dadurch, dass man das bei s=0 geltende W vorerst um $2\frac{\pi s}{l}$ vermehrt, weil die rechtsliegende Schraube auch als rechtsgewundene vorausgesetzt ist, und sodann den Hauptradius dieses rechtsliegenden Kreises, und somit die ganze

rechtsliegende Schraube, wieder um $\frac{2\pi z}{l}$ zurückdreht, damit der in der linksliegenden linksgewundenen Schraube um $\frac{2\pi z}{l}$ nach links gerückte Hauptradius wieder zum Parallelismus mit der positiven Ordinaten-Axe zurückkehre. Demnach heben sich die beiden $\frac{2\pi z}{l}$ um welche die Hauptradien auseinander gerückt sind, in den W wieder vollständig auf. Man behält also ein constantes W und kann nach dem System (II) des §. 5 ansetzen

$$x = \sqrt{2} \cdot e \sin \frac{1}{2} W \sin \left(\frac{1}{2} W + w + 45^{\circ} + \frac{2\pi x}{l} \right)$$

$$y = \sqrt{2} \cdot e \cos \frac{1}{2} W \cos \left(\frac{1}{2} W + w + 45^{\circ} + \frac{2\pi x}{l} \right)$$

$$\frac{x^{2}}{2e^{2} \sin \frac{1}{2} W^{2}} + \frac{y^{2}}{2e^{2} \cos \frac{1}{2} W^{2}} = 1$$
(15)

Die Gestalt der Bahnen, in welchen sich die einzelnen Punkte bewegen und ihr Rechtlaufen oder Rücklaufen in denselben erkennt man dann unmittelbar durch den §. 7. Sie folgen demnach ganz dem Zeichen von $\operatorname{tg} \frac{1}{2} W$ und fallen zusammen mit denen, die in §. 10 und 11 für zwei congruente Schrauben aufgefunden sind, wenn die in §. 6 aufgeführten Bedingungen erfüllt werden.

Was sodann die *Spiralen* betrifft, in welchen auf dem geraden elliptischen Cylinder die bewegten Punkte liegen, so werden sie wieder nach dem Zeichen von $\frac{\partial x}{y \partial z} = \lg \frac{1}{2} W$ rechts- oder linksgewunden seyn.

- a) Wenn also die rechtsliegende rechtsgewundene Schraube auch rechtläufig ist, und die linksliegende linksgewundene dagegen rückläufig, so erhält man rechtläufige Bahnen verbunden mit rechtsgewundenen Spiralen, rückläufige Bahnen verbunden mit linksgewundenen.
- b) Wird die Bewegung aber umgekehrt, welches so viel ist, als ob eine rechtsliegende linksgewundene Schraube rechtläufig wäre, und dagegen die linksliegende rechtsgewundene rückläufig, so ändern sich die Richtungen

der Bahnen nach §, 8; die Windung der Spiralen bleibt aber unverändert dieselbe wie bei a), indem die æ und s zugleich ihr Zeichen ändern, und man hat also rückläufige Bahnen verbunden mit rechtsgewundenen Spiralen und rechtläufige Bahnen mit linksgewundenen Spiralen.

Zu demselben Resultate würde man auch gelangen, wenn man vornherein zur rechtsliegenden Schrauhe eine linksgewundene gewählt hätte. Es würde dann nur in den Gleichungen (15) $-\frac{2\pi z}{l}$ an die Stelle von $+\frac{2\pi z}{l}$ zu schreiben seyn.

§. 13.

Nachdem in den vorigen Paragraphen festgestellt ist, dass sich durch Zusammensetzung der Bewegungen congruenter sowohl als symmetrischer Schrauben alle Arten von Polarisationsbewegungen hervorbringen lassen, und zwar jede auf mehrere Weise, bleibt noch übrig die Projectionen der dabei vorkommenden Spiralen auf die Ebenen yz und zzetwas näher zu betrachten.

Dabei ist auszugehen von den Gleichungen (11), (13) und (15), die man mit Rücksicht auf die Bemerkung am Ende des vorigen §. nunmehr so schreiben kann:

Für zwei congruente gleichlaufend sich drehende Schrauben:

$$x = \sqrt{2} \cdot e \sin\left(\frac{1}{2}W + 45^{\circ}\right) \sin\left(\frac{1}{2}W + \omega \pm \frac{2\pi x}{l}\right)$$

$$y = \sqrt{2} \cdot e \cos\left(\frac{1}{2}W + 45^{\circ}\right) \cos\left(\frac{1}{2}W + \omega \pm \frac{2\pi x}{l}\right)$$
(17)

wobei das obere Zeichen für rechtsgewundene, das untere für linksgewundene gilt;

für zwei symmetrische entgegengesetzt sich drehende Schrauben

$$x = \sqrt{2 \cdot e \sin \frac{1}{2} W \sin \left(\frac{1}{2} W + w + 45^{\circ} \pm \frac{2\pi x}{l} \right)}$$

$$y = \sqrt{2 \cdot e \cos \frac{1}{2} W \cos \left(\frac{1}{2} W + w + 45^{\circ} \pm \frac{2\pi x}{l} \right)}$$
(18).

wo das obere Zeichen gilt, wenn die rechtsgewundene Schraube nach der positiven Seite der Abscissenlinie hin liegt, das untere für den entgegengesetzten Fall.

Man übersieht aus diesen Gleichungen dann gleich, dass die Projectionen Wellenlinien sind, deren Excursionsweiten übereinstimmen mit den Halbaxen der Ellipsen, welche den verschiedenen W entsprechen, und dass bei den geradlinigen Polarisationen, welche in beiden Systemen entstehen können, die eine Projection in eine gerade Linie übergeht, während die andere ihre größte Excursionsweite $(=\sqrt{2}\cdot e)$ erhält.

Ferner übersieht man leicht, dass diese Wellenlinien laufenden Wellen angehören, deren Knotenpunkte also bei der Drehung der Schrauben längs der Axe der z fortlaufen, und jedesmal in der zweiten Projection die größte Excursionsweite neben sich haben; so dass die Knotenpunkte beider Projectionen um 11 von einander liegen.

So hat man z. B. aus den Gleichungen (17) für den Fall der rechtsgewundenen congruenten Schrauben

das größte x neben y=0

für
$$\frac{1}{2}W + w + \frac{2\pi z}{l} = 90^{\circ}$$
 oder = 270°

d. h. für
$$z = \frac{1}{4}l - \frac{lW}{4\pi} - \frac{lw}{2\pi}$$
 oder $= \frac{8}{4}l - \frac{lW}{4\pi} - \frac{lw}{2\pi}$

oder allgemein, da nach jeder Wellenlänge dasselbe wiederkehrt

für
$$z = \frac{2n+1}{4} l - \frac{lW}{4\pi} - \frac{lw}{2\pi}$$

eine Vermehrung des w hat also eine Verminderung des zur Folge, d. h. die Wellen laufen in diesem Fall, beim Vorwärtsdrehen der Schrauben, rückwärts gegen den Anfang der Abscissen zu und umgekehrt.

Entstände nun neben dieser Polarisationswelle eine zweite durch zwei symmetrische Schrauben in dem ersten Fall der Formel (18)

so ware
$$y = 0$$

$$\text{für } \frac{1}{t}W + 45^{\circ} + w + \frac{2\pi z}{t} = 90^{\circ} \text{ oder } = 270^{\circ}$$

$$\text{d. b. für } s = \frac{1}{t}l - \frac{lW}{4\pi} - \frac{lw}{2\pi} \text{ oder } = \frac{1}{t}l - \frac{lW}{4\pi} - \frac{lw}{2\pi}$$

$$\text{allgemein für } z = \frac{4\pi + 1}{8}l - \frac{lW}{4\pi} - \frac{lw}{2\pi}.$$

Auch hier also laufen die Wellen der Projectionen rückwärts gegen den Anfangspunkt der Abscissen, und wenn beide Wellensysteme mit gleichem W gebildet sind, so ist in der Projection auf ys der constante Abstand ihrer Knotenpunkte = ¼ dergestalt, daß derjenige der zweiten Welle immer um so viel dem Anfange der Coordinaten näher liegt.

§. 14. Es bleibt nun noch übrig die sweite Wellenbewegung

un untersuchen, welche, im Obigen schon angedeutet, heine Pelarisationsbetregung, derselben aber nahe verwandt ist, weil sie auch aus der Bewegung congruenter oder symmetrischer Schrauben entsteht, wenn erstere entgegengesetzt oder letzterer gleichläufig sich drehen.

Beseichnet man hier wie früher mit W und ar die oben definirten Winkel der ersten Kreise, deren Ebenen mit der Ebene sy für 3 == 0 russummenfallen, so setze man

1) bei surei rechtspeurundenen Schrauben, die sich im antgegempesetsten Sinne dreben

einstweilen werder voraus, dass die rechtsbegende auch rechtlitulig segt. Filte die Anfangskreuse sind dasse unmittelbar die Ghüchungen All des § 3 so neduren, für die späteren siben der benden Schrauben aber, die a so meditieren.

der Unfangebereer und zum "ber 3=0)
he geweige, wenn der Heuperadies des
ne und dem producer Park der Ordihe Wit dem vollenders bereis der eigehört wei abelaut, wie die Schrau-

m beide als rechtsgewunden vorausgesetzt werden, die auptradien im Sinn der rechtsläufigen Drehung um $\frac{2\pi x}{l}$ m denen der Anfangskreise voraus. Damit also der Hauptdius des linksliegenden folgenden Kreises in die Lage a Hauptradius des linksliegenden Anfangskreises zurückführt werde, muß, weil entgegengesetzter Lauf stattfinst, der rechtsliegende noch um $\frac{2\pi x}{l}$ weiter vorwärts geteht werden. Dadurch tritt an die Stelle der frühern W nnmehr $W + \frac{4\pi x}{l}$. Sind aber die Anfangskreise um w us der Anfangslage herausgedreht, so sind die späteren reise erst um $w - \frac{2\pi x}{l}$ aus derselben heraus. Man hat so durch Substitution in das System (II) des §. 5, indem ch die $\frac{2\pi x}{l}$ neben den $\frac{1}{2}W$ und w gegen einander aufhehn, für die Curve doppelter Krümmung, worin die einelnen Punkte sich bewegen, die Gleichungen

$$x = \sqrt{2} e \sin\left(\frac{1}{2}W + \frac{2\pi x}{l}\right) \sin\left(\frac{1}{2}W + w + 45^{\circ}\right)$$

$$y = \sqrt{2} e \cos\left(\frac{1}{2}W + \frac{2\pi x}{l}\right) \cos\left(\frac{1}{2}W + w + 45^{\circ}\right)$$
(19)

ie Elimination von w giebt hier die Gleichung

$$\frac{x^2}{2e^2\sin\left(\frac{1}{l}W + \frac{2\pi x}{l}\right)^2} + \frac{y^2}{2e_0^2\cos\left(\frac{1}{l}W + \frac{2\pi x}{l}\right)^2} = 1 \quad (20),$$

oraus man erkennt, dass die Punkte sich auf einer krumen Fläche bewegen, die lauter elliptische Durchschnitte nkrecht zur Schrauben-Axe hat, für jedes z aber eine sdere Ellipse giebt.

Durch Elimination von z aber erhält man aus (19) die leichung

$$\frac{x^2}{2e^2\sin(\frac{1}{2}W+w+45^\circ)^2} + \frac{y^2}{2e^2\cos(\frac{1}{2}W+w+45^\circ)^2} = 1 \quad (21)$$

elche anzeigt, dass die Projectionen sämmtlicher Punkte

auf die Ebene xy eine sich während der Drehung stets verändernde Ellipse giebt.

Um die Beschaffenheit dieser neuen Bewegungsfläche, welche sich also in der Projection auf xy als einen geraden mit der Drehung stets veränderlichen elliptischen Cylinder darstellt, und des Laufs der Punkte in ihr näher zu untersuchen, gehe man

A. von der Gleichung (21) aus. Man erkennt dann, dass die veränderliche Ellipse der Projection auf xy

a) in eine verticale gerade Linie übergeht für

$$\frac{1}{2}W + w + 45^{\circ} = 360^{\circ}$$
 oder 180°
d. h. für $w = 315^{\circ} - \frac{1}{2}W$ und $135^{\circ} - \frac{1}{2}W$

b) in einen Kreis für

$$\frac{1}{2}W + w + 45^{\circ} = 45^{\circ} \text{ oder} = 135^{\circ} \text{ oder} = 225^{\circ} \text{ oder} = 315^{\circ}$$

d. h. für $w = 360^{\circ} - \frac{1}{2}W$; $= 90^{\circ} - \frac{1}{2}W$; $= 180^{\circ} - \frac{1}{2}W$; $= 270^{\circ} - \frac{1}{2}W$.

c) in eine horizontale gerade Linie für $\frac{1}{2}W + w + 45^{\circ} = 90^{\circ}$ oder $= 270^{\circ}$ d. h. für $w = 45^{\circ} - \frac{1}{2}W$ und $225^{\circ} - \frac{1}{2}W$.

Die Punkte befinden sich also während einer Umdrehung in achtfacher Abwechselung; zweimal in der Lage der geradlinigen Polarisation, deren Schwingungen in einer verticalen Ebene mit der Excursionsweite V2.e vorgehen, zweimal in der Lage der geradlinigen Polarisation mit horizontalen Schwingungen von derselben Excursionsweite, und viermal in der Lage, die sie bei der Kreispolarisation für den Halbmesser e annehmen würden. Ueberdieß sieht man leicht, daß die Uebergänge zwischen diesen acht Projectionsformen durch Ellipsen geschehen, welche zwischen den Verticalen und ihren benachbarten Kreisen hoch, zwischen den horizontalen und ihren benachbarten Kreisen aber breit sind.

B. Sodann giebt die Gleichung (20) in Verbindung mit (19) weiteren Aufschluss über die Bahnen der einzelnen Punkte in der Bewegungssläche. Man sieht, dass die

Beschaffenheit dieser Bahnen ganz von der Größe von zahhängt. Die Bahn ist

a) eine verticale gerade Linie

für
$$\frac{1}{2}W + \frac{2\pi z}{l} = 0^{\circ}$$
 oder = 360° und = 180°
d. b. für $z = l - \frac{lW}{4\pi}$ und = $\frac{1}{2}l - \frac{lW}{4\pi}$

b) ein Kreis

für
$$\frac{1}{l}W + \frac{2\pi \pi}{l} = 45^{\circ}; = 135^{\circ}; = 225^{\circ}; = 315^{\circ}$$

d h. für
$$z = \frac{1}{8}l - \frac{lW}{4\pi}$$
; $= \frac{3}{5}l - \frac{lW}{4\pi}$; $= \frac{5}{8}l - \frac{lW}{4\pi} = \frac{7}{8}l - \frac{lW}{4\pi}$

c) eine horizontale Gerade

für
$$\frac{1}{2}W + \frac{2\pi^2}{l} = 90^\circ$$
 und $= 270^\circ$
d. h. für $z = \frac{1}{4}l - \frac{lW}{4\pi}$ und $= \frac{1}{4}l - \frac{lW}{4\pi}$.

Es ist auch hier wie vorhin leicht zu übersehen, dass der Uebergang zwischen diesen acht Hauptfällen der Punktbewegung durch Ellipsen gebildet wird, welche hoch oder breit sind, je nachdem sie den verticalen oder horizontalen Geraden benachbart sind.

C. Die beiden vorigen Sätze machen es nun wünschenswerth die in einer Wellenlänge mehrfach vorkommenden Bahnen gehörig von einander zu unterscheiden, und den im Wesentlichen willkührlichen Anfangspunkt einer Welle dann so zu bestimmen, dass er einer bestimmten Bahn und einer bestimmten Lage des bewegten Punkts in ihr entspricht. Zu dem Ende nenne man für jedes angenommene W diejenige verticale Bahn erste Verticale, welche das kleinste positive z hat, und bestimme den Anfang einer Welle so, dass in dieser ersten Verticale das y seinen größten positiven Werth hat für x = 0.

Da man nun immer $W < 360^{\circ}$ setzen kann, so wird man die erste Verticale im Allgemeinen bei $\frac{1}{l}W + \frac{2\pi z}{l}$ = 180° d. h. bei $z = \frac{1}{l}l - \frac{lW}{4\pi}$ finden (wenn nämlich nicht

gerade W=0, wo dann freilich s=0 selbst der kleinste positive Werth von z für die erste Verticale würde). Dann hat man für den Anfang der Welle, damit ein größtes positives y entstehe, auch $\frac{1}{2}W+w+45^{\circ}=180^{\circ}$, d. h. $w=135^{\circ}-\frac{1}{2}W$ zu setzen. Wäre z. B. $W=90^{\circ}$, so hätte man die erste Verticale bei $z=\frac{3}{8}l$, und für den Anfang der Welle müßte man $w=90^{\circ}$ setzen.

Es leuchtet von selbst ein, dass man durch veränderte Annahme der W die erste Verticale auf jedes beliebige x verlegen kann. Sollte z. B. die erste Verticale bei $x = \frac{1}{6}I$ fallen, so müste man $W = 4\pi \left(\frac{1}{2} - \frac{x}{I}\right) = 270^{\circ}$ setzen und die Welle anfangen lassen, wo w = 0

D. Die Projectionen der bewegten Punkte auf die Ebenen ys und xs sind nach (19) Wellenlinien, deren Ordinaten gegen die Abscissenlinie z von w abhängen, während ihre Excursionsweiten von z selbst bestimmt werden. findet sich z. B. für den nach C bestimmten Anfang der Welle die positive Excursionsweite der $y = + \sqrt{2} \cdot e$ bei $w = 135^{\circ} - \frac{1}{2} W$, die negative Excursionsweite = $- \sqrt{2}$ bei w=3150-1 W, wogegen die Projection sämmtlicher Punkte auf xy in eine verticale gerade Linie übergeht, und die Projection auf xs mit der Axe des z zusammenfällt. dieselben Werthe von w hat man dagegen bei einem z, welches um 1/8 l weiter vom Anfang liegt, in der Ebene yz die größte Excursionsweite = + e, die kleinste = -e. Bei einem z, welches 1/4 l vom Anfang liegt, findet man wieder für dieselben Werthe von w in yz beide Excursionsweiten = 0 und hat dagegen in xz bei dem ersten Werthe von w die Excursionsweite + V2.e, bei dem zweiten - V2.e.

Man sieht nun leicht, das beide Projectionen auch unabhängig von w d. h. fortwährend in denselben Punkten die Axe der z schneiden. Bei der Projection auf yz findet dieses statt

für
$$\frac{1}{2}W + \frac{2\pi z}{l} = 90^{\circ}$$
 und $= 270^{\circ}$
d. h. für $z = \frac{1}{4}l - \frac{lW}{4\pi}$ und $= \frac{3}{4}l - \frac{lW}{4\pi}$

Bei der Projection auf xz

für
$$\frac{1}{2}W + \frac{2\pi z}{l} = 180^{\circ}$$
 und $= 360^{\circ}$
d. h. für $z = \frac{1}{2}l - \frac{lW}{4\pi}$ und $= l - \frac{lW}{4\pi}$

Bei denjenigen Werthen von z, welche in der einen Projection einen Durchschnitt mit der Axe der z geben, hat die andere Projection ihre größte Excursion.

Jede einzelne dieser beiden Projectionen stellt also das Bild von stehenden Wellen dar, deren Knotenpunkte um ½ l von einander entfernt sind, während die übrigen Punkte auf beiden Seiten jedes Knotenpunkts nach verschiedenen Seiten schwingen und alle gleichzeitig in die gerade Linie zurücktreten. Dabei liegen die Knotenpunkte der einen Projection um ¼ l entfernt von denen der anderen.

Bei einer Aenderung von W ändert sich endlich nur die Lage der Knotenpunkte auf der Axe der z, sonst bleibt alles ganz unverändert, so lange l unverändert bleibt.

E. Der Lauf jedes Punktes in seiner Bahn ist nun ganz so wie in §. 4 durch das Zeichen des Ausdrucks $\frac{\partial z}{\partial w}$ oder $\frac{\partial x}{y \partial w}$, also durch partielle Differentirung der Gleichungen (19) zu entscheiden.

Man hat also rechtläufige oder rückläufige Bahnen je nachdem tg $\left(\frac{1}{2}W + \frac{2\pi z}{l}\right)$ positiv oder negativ ist.

Demnach sind alle Bahnen von der ersten Verticale bis zur ersten Horizontale, d. h. nach der Festsetzung in C, im ersten Viertel der Wellenlänge rechtläufig, von da bis zur zweiten Verticale, d. h. im zweiten Viertel der Wellenlänge, rückläufig, und so fort wechselt der Lauf bei jedem Viertel.

F. Auf der Oberfläche, die bisher untersucht wurde, liegen die einzelnen Punkte nun in einer durch die Gleichungen (19) ausgedrückten veränderlichen Spirale, welche in den Fällen, wo die Projection auf xy in gerade Linien übergeht, sich zu einer ebenen Wellenlinie verslacht.

Um zu untersuchen, wo diese Spirale rechts oder links

gewunden ist, muss man, wie im §. 10, von dem Ausdruck, $\frac{\partial s}{\partial z}$ oder $\frac{\partial z}{y \partial z}$ ausgehen, dessen positives Zeichen das Rechtsgewundenseyn anzeigt. Es ist aber hier

$$\frac{\partial x}{y \partial z} = \tan \left(\frac{1}{2} W + w + 45^{\circ} \right)$$

und man hat also, wieder ausgehend vom Anfang der Welle, nach der Festsetzung in *C*, eine rechtsgewundene Spirale im ersten und dritten Viertel der Weiterdrehung, eine linksgewundene in den beiden anderen Vierteln. Dabei verflacht sich im ersten Viertel die rechtsgewundene Spirale zwischen erster Verticale und erster Horizontale allmählich zu einer ebenen Wellenlinie, erhebt sich dann wieder aus derselben zur linksgewundenen im zweiten Viertel u. s. w.

G. Schliefslich bleibt nur noch zu bemerken, das hier eben so wie oben §. 10 bei der Polarisationsbewegung, da wo ein Rücklauf der Punkte in ihren Bahnen eintritt, auch nun die Spiralen in das Symmetrische übergehen, so dass man linksgewundene erhält wo in F rechtsgewundene waren und umgekehrt.

§. 15.

Die sieben Sätze A bis G, welche im vorigen §. aus den Gleichungen (19), (20) und (21) gefolgert sind, vermitteln nun die Anschauung der eigenthümlichen krummen Fläche auf welcher die Schwingungen der hier betrachteten zweiten Wellenbewegung vor sich gehen, wenn die w stetig wachsen, d. h. wenn die rechtsliegende Schraube auch rechtsläufig gedreht wird.

Um diese Anschauung festzustellen, denke man auf einer Wellenlänge sechszehn Punkte gleichmäßig vertheilt, die von 0 bis 15 numerirt seyn mögen, so daß 16 den Schluß der ersten Welle, d. h. dem Anfang der folgenden Welle angehört. Man setze nun, um den nach C in §. 14 definirten Anfang einer Welle mit dem allgemeinen Anfang der Coordinaten zusammenfallen zu lassen, das willkührliche W=0 und lasse die Bewegung beginnen wo $w=315^\circ$. Dann liegen nach dem Obigen sämmtliche Punkte in der

Ebene yz und ihre Projection bildet also darauf eine ebene Wellenlinie, in welcher 0 und 16 die Gipfel von Wellenlängen mit $\sqrt{2}.e$ Excursionsweite, 8 aber die Tiefe eines Thals von gleicher Excursionsweite, endlich 4 und 12 Knotenpunkte bilden. Die Zwischenpunkte 2 und 14 haben die Ordinaten +e und dagegen 6 und 10 die Ordinaten -e. Die Projection auf xz ist dabei durchweg eine gerade Linie.

Man denke nun diese Orte der Punkte in der Ebene yz fixirt, während man das w um 90° vergrößert, so entsteht aus jener ersten Wellenlinie eine Gerade; dagegen sind nun sämmtliche Punkte in die Ebene xz hinabgestiegen und bilden hier wieder eine Wellenlinie bei welcher 0, 8 und 16 in ihren Knotenpunkten sich befinden, während 4 den Gipfel eines Berges mit positiver Ordinate $x = + \sqrt{2}e$, 12 die Tiefe eines Thals mit $x = -\sqrt{2}e$ annimmt, die Punkte 2 und 6 die Ordinate +e, 10 und 14 aber die Ordinate -e haben, so daß diese vier letzterwähnten Punkte die der Länge nach gleichen Ordinaten haben wie vorher in der Ebene yz.

Der Uebergang von der früher fixirten Lage in yz zu der jetzt eben aufgeführten in xz, welche von nun an auch fixirt gedacht werden soll, geschah nun bei 0 durch ein Absteigen parallel der Axe der y, bei 2 durch ein Vorwärtslausen in einem Kreis, bei 4 durch ein Vorlausen im Sinn der positiven x, bei 6 durch ein Rückwärtslausen in einem Kreis, bei 8 durch ein Aufsteigen parallel der Axe der y, bei 10 durch Vorwärtslausen im Kreis, bei 12 durch Rücklausen in Sinn der negativen x, bei 14 endlich durch Rückwärtslausen im Kreis.

Denkt man endlich eine der Ebene xy parallele Ebene sich auf der Axe z von 0 bis 16 stetig fortbewegend, und in ihr bei jeder ihrer Lagen eine vollständige Ellipse gezogen, deren Scheitel in den beiden vorher fixirt gedachten Wellenlinien liegen, so bildet der Inbegriff aller dieser Ellipsen die krumme Oberstäche, auf welcher diese zweite Bewegung vorgeht.

Man übersieht dann auch leicht, dass die Obersläche

vorerst aus zwei congruenten Hälften besteht, die beiderseits von Verticalen begränzt sind; jede Hälfte wieder aus zwei congruenten aber im Sinn der z entgegengesetzt gestellten Vierteln, welche durch eine Horizontale getrennt sind; jedes Viertel wieder aus zwei congruenten Achteln, die von einer kreisförmigen Grundfläche aus nach entgegengesetzten Seiten sich ausdehnen, und deren durch ¼ l getrennte Firste rechte Winkel gegen einander bilden 1).

Es verdient hier noch einmal als eine charakteristische Verschiedenheit zwischen dieser zweiten Wellenbewegung und der Polarisationsbewegung hervorgehoben zu werden, daß die Abänderung der W gar keine Aenderung der Bewegungsfläche mit sich bringt; denn da durch die Annahme eines beliebigen W nur ein Abzug von $\frac{tW}{4\pi}$ an den z bewirkt wird, so hat man genau dieselben Bewegungen wie vorher, nur an anderen Punkten der Axe der z.

§. 16.

Setzt man nun statt der in §. 14 gemachten Annahme voraus, dass

2) zwei linksgewundene Schrauben sich im entgegengesetzten Sinne drehen,

wobei man die rechtsliegende wieder als rechtläufig annehmen kann, so gelangt man zu den nöthigen Formeln ganz auf demselben Wege wie in §. 14, indem in der dortigen Ableitung nur $-\frac{2\pi x}{l}$ an die Stelle von $+\frac{2\pi x}{l}$ tritt, was auch ganz damit übereinstimmt, dass eine Schraube in die symmetrische sich verwandelt, wenn die Coordinaten einer Axe alle ihr Zeichen ändern.

Man erhält auf diese Weise also die Gleichungen

$$x = \sqrt{2} \cdot e \sin\left(\frac{1}{2}W - \frac{2\pi x}{l}\right) \sin\left(\frac{1}{2}W + w + 45^{\circ}\right)$$

$$y = \sqrt{2} \cdot e \cos\left(\frac{1}{2}W - \frac{2\pi x}{l}\right) \cos\left(\frac{1}{2}W + w + 45^{\circ}\right)$$
(22)

1) Hr. Dr. Fliedner, dem ich bei einem Besuche hieselbst diese Bewegungsfläche zeigte, bemerkte gleich die Achnlichkeit, welche zwischen derselben und der in diesen Annal. Bd. 65, S. 120 bis 123 beschrichenen stattfindet.

$$\frac{x^2}{2e^3\sin\left(\frac{1}{2}W - \frac{2\pi x}{l}\right)^2} + \frac{x^3}{2e^2\cos\left(\frac{1}{2}W - \frac{2\pi x}{l}\right)^2} = 1 \qquad (23)$$

$$\frac{x^2}{2e^2\sin(\frac{1}{4}W+w+45^\circ)^2} + \frac{y^2}{2e^2\cos(\frac{1}{4}W+w+45^\circ)^2} = 1$$
 (24)

Demuach hat man im Verfolg der Betrachtungen des §- 14.

- Die Aenderungen der Projectionen auf die Ebene xy in derselben Reihenfolge und in denselben Gränzen wie oben.
- B. Die Bahnen, welche im Obigen betrachtet wurden, kommen auch hier vor, nur bei anderen s, also
 - a. Die verticale Gerade

bei
$$z = \frac{lW}{4\pi}$$
 und $z = \frac{1}{2}l + \frac{lW}{4\pi}$

b. Der Kreis

bei
$$z = \frac{1}{8}l + \frac{lW}{4\pi}$$
 u. s. w.

c. Die horizontale Gerade

bei
$$z = \frac{1}{4}l + \frac{lW}{4\pi}$$
 u. s. w.

Kurz die z, bei welchen hier dieselben Bahnen vorkommen, sind um $\frac{lW}{2\pi}$ größer als oben. Will man also die z unverändert erhalten, so muß man bei zwei linksgewundenen Schrauben $360^{\circ} - W$ für das W setzen, welches bei zwei rechtsgewundenen erforderlich war, um die verlangte Bahn zu geben.

C. Man wird auch hier, eben so wie oben, die einzelnen Bahnen von der ersten Verticale an zählen können, wo für ein angenommenes W das Kleinste z stattfindet, und eben so den Anfang einer Welle in die erste Verticale verlegen können; für letzteren also nur ein w so zu bestimmen haben, wie es dem angenommenen W entspricht, um ein positives größtes y in der ersten Verticale zu erhalten.

Bei dem Uebergang von einer Bahn in die andere hat man dann die W so viel zu vermindern oder zu vermehren, als man sie in §. 14 zu vermehren oder zu vermindern hatte. Auch wird die Verlegung der ersten Verticale auf ein bestimmtes z sich eben so bewirken lassen wie §. 14.

- D. Die Projectionen auf yz und zz fallen dann, vorbehaltlich nur der gehörigen Modification der W und w für den Anfang, genau eben so aus wie §. 14.
 - E. Aus denselben Gründen wie oben, bleiben denn die Bahnen auch hier im ersten Viertel der Wellenlänge rechtsläufig u. s. w.
 - F. Die Spiralen dagegen bekommen, weil $\frac{\partial x}{\partial x}$ sein Zeichen ändert, die entgegengesetzte Windung, und sind also, vom Anfang ausgegangen, im ersten und dritten Viertel der Weiterdrehung linksgewunden, in den beiden anderen Vierteln rechtsgewunden.
 - G. Beim Rückwärtsdrehen endlich, wodurch in den Bahnen ein Rücklauf eintritt, gehen denn auch die Spiralen eben so wie oben in das Symmetrische über, was in F für das Vorwärtsdrehen stattsand.

Die in §. 15 behandelte Bewegungsfläche endlich bleibt (immer vorbehaltlich der gehörigen Modification der W und w für den Anfang) genau dieselbe wie oben. Es bleibt also am Ende gar kein Unterschied als der der Spiralen.

§. 17.

Wird nun zuletzt noch vorausgesetzt, dass

3) zwei symmetrische Schrauben sich in demselben Sinne drehen,

wobei man die rechtsliegende wieder als rechtsgewunden und beide rechtläufig denken kann; so ist in das System (I) des §. 3 gehörig zu substituiren.

Hier gehen nun, wenn in den Anfangskreisen (z=0) die Hauptradien um ein gewisses W gegen einander geneigt sind, für einen folgenden Kreis, der ein gewisses z hat, die Hauptradien um $\frac{4\pi z}{l}$ weiter auseinander, gerade wie §. 14, nur aus einem anderen Grunde, weil nämlich

hier die symmetrischen Schrauben gleichlaufend sind, während dort die congruenten entgegengesetzt laufend waren.

Es ist also vorerst für W in den Formeln (I) nun zu setzen $W + \frac{4\pi z}{2}$. Derselbe Grund aber, das Auseinanderweichen der Hauptradien, bewirkt, dass das w neben dem vermehrten W um $\frac{2\pi z}{l}$ sich vermindert. Demnach erhält man aus (I) die Gleichungen

$$x = \sqrt{2} \cdot e \sin\left(\frac{1}{2}W + \frac{2\pi z}{l} + 45^{\circ}\right) \sin\left(\frac{1}{2}W + w\right)$$

$$y = \sqrt{2} \cdot e \cos\left(\frac{1}{2}W + \frac{2\pi z}{l} + 45^{\circ}\right) \cos\left(\frac{1}{2}W + w\right)$$
(25)

$$\frac{x^2}{2e^2\sin\left(\frac{1}{2}W + \frac{2\pi x}{l} + 45^0\right)^2} + \frac{y^2}{2e^2\cos\left(\frac{1}{2}W + \frac{2\pi x}{l} + 45^0\right)^2} = 1 \quad (26)$$

$$\frac{x^2}{2e^2\sin(\frac{1}{2}W+w)^2} + \frac{y^2}{2e^2\cos(\frac{1}{2}W+w)^2} = 1$$
 (27)

welche nun hier wie in den §. 14 und 16 näher zu betrachten sind.

- A. Die veränderliche Ellipse der Projectionen auf die Ebene xy geht über
 - a. in verticale gerade Linien

für
$$w = 360^{\circ} - \frac{1}{2} W$$
 und $w = 180^{\circ} - \frac{1}{2} W$

b. in Kreise

für
$$w=45-\frac{1}{2}W$$
; $135^{\circ}-\frac{1}{2}W$; $225^{\circ}-\frac{1}{2}W$; $315^{\circ}-\frac{1}{2}W$

c. in horizontale gerade Linien

für
$$w = 90^{\circ} - \frac{1}{2} W$$
 und $270^{\circ} - \frac{1}{2} W$.

- B. Die Bahnen der einzelnen Punkte sind
 - a. verticale gerade Linien

für
$$\frac{1}{2}W + \frac{2\pi s}{l} + 45^{\circ} = 360^{\circ}$$
 und $= 180^{\circ}$

d. h. für
$$z = \frac{7}{8}l - \frac{lW}{4\pi}$$
 und $\frac{3}{8}l - \frac{lW}{4\pi}$

b. Kreise

für
$$z = l - \frac{lW}{4\pi}; \frac{1}{4}l - \frac{lW}{4\pi}; \frac{1}{2}l - \frac{lW}{4\pi}; \frac{3}{4}l - \frac{lW}{4\pi}$$

c. horizontale gerade Linien

für
$$z = \frac{1}{8}l - \frac{lW}{4\pi}$$
 und $\frac{5}{8}l - \frac{lW}{4\pi}$

C. Auch hier wird man zweckmäsig diejenige verticale Bahn, bei welcher für ein angenommenes W das kleinste s stattfindet, als erste Verticale bezeichnen, und dann auch den Anfang einer Welle durch Bestimmung des w dahin verlegen, wo in der ersten Verticale ein größtes positives y mit x = 0 zusammentrifft.

So hätte man z. B. für W=0 die erste Verticale bei $z=\frac{2}{3}l$, indem man $\frac{1}{2}W+\frac{2\pi z}{l}+45^{\circ}=180^{\circ}$ setzte, und müßte nun, um ein positives Größtes für y zu erhalten, auch $\frac{1}{2}W+w=180^{\circ}$ d. h. für den Anfang der Welle $w=180^{\circ}$ nehmen.

- D. Die Projectionen auf die Ebenen yz und zz sind dann wieder auch ganz dieselben, wie sie §. 14 gefunden wurden.
- E. Auch der Lauf in der Bahn bleibt derselbe wie §. 14, rechtsläufig im ersten Viertel der Wellenlänge u. s. w.
- F. Die auf der Bewegungsfläche beschriebenen Spiralen hängen hier von dem Zeichen von tang (½ W + w) ab. Man hat also ganz so wie §. 14 und im Gegensatz gegen den in §. 16 behandelten Fall, eine rechtsgewundene Spirale im ersten und dritten Viertel der Weiterdrehung, eine linksgewundene in den beiden anderen Vierteln.

ł

G. Beim Rückwärtsdrehen endlich, wo die Bahnen den entgegengesetzten Lauf annehmen, gehen auch die Spiralen in die symmetrischen von denen über, welche beim Vorwärtsdrehen stattfinden.

Es ist leicht zu übersehen, dass hier die ursprüngliche willkührliche Annahme, dass die rechtsgewundene Schraube auch die rechtsliegende sey, auf das Resultat ohne Einsluss ist, indem nur in dieser Annahme rückwärts gedreht zu werden braucht, um w, x und dann auch noch z zugleich im Zeichen ändern und somit die linksgewundene als rechtsliegende zu denken, wodurch sich also nichts ändert als der Sinn, in welchem die Spiralen gewunden sind.

§. 18.

Die in §. 16 und 17 vorgetragenen Sätze zeigen nun, als dieselbe Bewegungsfläche welche in §. 15 festgestellt at, in allen Fällen stattfindet, wo congruente Schrauben ntgegenlaufend oder symmetrische gleichlaufend sind, und lass sie immer unverändert bleibt, wie sich auch die ursprüngliche Annahme über die Lage der Hauptradien der Anfangstreise ändern möge; dass sodann auf dieser Bewegungstäche auch immer dieselben Bahnen und zwar in derselben Reihenfolge beschrieben werden, nur nach den Umständen an verschiedenen Punkten der Axe der z anfangend; dass endlich die einzige Verschiedenheit zwischen den einzelnen Fällen dieser zweiten Wellenbewegung nur in dem Rechtsoder Linksgewundenseyn der Spiralen bestehen kann.

Die Umsetzung dieser zweiten in §. 14 bis 17 betrachteten Bewegung in die §. 10 bis 14 betrachtete Polarisationsbewegung erfolgt durch Umkehrung der Drehung von einer der beiden Schrauben in die entgegengesetzte. Dabei können aber aus der zweiten Bewegung alle möglichen Polarisationsbewegungen entstehen, während umgekehrt aus allen möglichen Polarisationsbewegungen nur eine und dieselbe zweite Bewegung entsteht.

Der Apparat, welcher diese Beweguugen versinnlicht, hat drei parallele horizontale Schrauben, welche zwischen sich auf je einer Wellenlänge 16 Dreiecke tragen, deren in jedem Zwischenraume 28 liegen. Die mittlere Schraube, welche mit einer Kurbel versehen ist, ist eine rechtsgewundene, die rechtsliegende ist dann gleichfalls rechtsgewunden, die linksliegende linksgewunden. Eine vierte Schraube noch anzubringen, um auch zwei linksgewundene zusammenwirken zu lassen, schien nicht zweckmäßig, da nach dem Obigen keine neue Gattung von Bewegungen daraus entstehen kann.

Alle drei Schrauben sind mit Zahnrädern von gleicher Anzahl von Zähnen und überdiefs die beiden äußeren mit

203

einer Kreistheilung versehen um die W nach Bedürfniss einzustellen und die w zu messen.

Zwischen je zwei Zahnrädern liegen nun verschiebbare Wechselplatten, welche einerseits ein Wechselrad von 2n Zähnen und andererseits zwei Wechselräder von n und n+1 Zähnen tragen. Diese Einrichtung gestattet also, durch Vorschieben oder Zurückschieben der Wechselplatten, die Schrauben nach Belieben gleichlaufend oder gegenlaufend zu machen.

Die Dreiecke, welche auf den Schrauben ruhen, tragen nun zuvörderst auf ihren nach außen liegenden Spitzen eine Reihe von kleinen Kugeln auf Stiften von gleicher Länge.

Sollen diese Kugeln die Polarisationsbewegungen darstellen, so ist rechts das eine Wechselrad, links aber sind zwei Wechselräder einzuschalten, was durch Ziffern auf den Zeigern augedeutet ist. Jede verlangte Polarisation kann nun leicht dargestellt werden, wenn man das W, welches die Form der Ellipse bestimmt, nach (12) oder (16) berechnet und einstellt. Um aber auch ohne vorgängige Rechnung die vorzüglichsten Formen einstellen zu können, sind neben den Kreistheilungen die acht Hauptfiguren eingravirt, z. B. rechtläufige hohe Ellipse, rechtläufiger Kreis, rechtläufige breite Ellipse u. s. w.

Um die zweite Bewegung zu erhalten, braucht man dann nur eine Abänderung mit den Wechselrädern vorzunehmen, also rechts zwei Wechselräder, links ein Wechselrad einzuschalten, und ist, weil hier immer dieselbe Art von Bewegung entsteht, das W mag angenommen seyn wie es will, nur in dem einzigen Fall etwas zu rechnen, wo man auf ein bestimmtes z gerade die erste Verticale verlegen will.

Jede Dreiecksreihe trägt nun auf ihren nach innen liegenden Spitzen noch eine zweite Reihe von Stiften mit Kugeln, welche eine gemeinschaftliche Reihe von doppelter Anzahl über der mittleren Schraube bilden, und dazu bestimmt sind, die Combinationen je zweier Bewegungen vorverden dieselben unmittelbar durch Einstellen der betrefEenden Figuren hervorgebracht. Bei der zweiten WellenEewegung ist sodann nur zu beachten, dass man, wenn die
Eechtsliegende Schraube nach der obigen, immer vorausgestellten, Voraussetzung auch rechtlausend seyn soll, die mittIere rückwärts drehen mus, also in dem linken System dann
eine rückläusige Bewegung hervorgebracht wird. Bei Combination einer Polarisationsbewegung mit einer zweiten Bewegung wird man also am bequemsten die erste im rechtsliegenden System hervorbringen und die letztere dann auch
durch Rechtsdrehen der Kurbel gleich rechtläusig mit erhalten.

Um die Bewegungen auch abgesondert erhalten, und sie fortwährend mit der Ruhelage vergleichen zu können, sind zwischen den Schrauben noch vier Kämme angebracht, welche durch das Aufheben je zweier Hebelpaare die Dreiecke von ihren Schrauben ganz abheben, und alle Kugeln in gerade Linie bringen.

Hebt man aber bei einem Dreiecksystem nur einen Kamm, so streift die eine Kathete des Dreiecks auf demselben hin und her, während die andere von ihrer Schraube getrieben wird. Es entstehen auf diese Weise geradlinige Polarisationen mit den Excursionsweiten e, welche unter 45° gegen die Abscissenlinie geneigt sind, indem die unter 45° geneigte Ebene nach §. 9 von lauter tangirenden Perpendikeln getroffen wird.

Eine ähnliche, nicht mehr zu dem Obigen gehörende, aber doch nahe damit zusammenhängende, Bewegung erhält man dadurch, dass man eine oder die andere Schraube ganz in Stillstand setzt, während die Dreiecke mittelst der anderen allein bewegt werden. Mechanisch wird dieser Stillstand bei den beiden äußeren Schrauben dadurch bewirkt, dass man die zugehörigen Wechselplatten ganz ausrückt und dagegen die Umdrehungs-Axen durch eine Seitenschraube seststellt. Die mittlere Schraube kann dagegen

von ihrem Zahnrad durch Ausziehen eines Stiftes abgelüst und gleichfalls durch eine Seitenschraube festgestellt werden. Eine wieder eingerückte Wechselplatte macht dann, daß eine freie äußere Schraube umläuft, während die mittlere ruht.

Die Bewegung, welche auf diese Weise entsteht und einen Uebergang zwischen der Polarisationsbewegung und der zweiten Bewegung bildet, hat Eigenschaften, die denen Beider analog sind. Vorbehaltlich sie gelegentlich specieller zu behandeln, genüge es hier zu bemerken, das sie vorgeht auf einer Cylindersläche, deren Seiten der einen Kathete des Dreiecks parallel sind, während die Grundlinie eine unveränderliche Wellenlinie von der Excursionsweite ein einer der zweiten Kathete parallelen Ebene bildet. Die Projectionen auf die unter 45° gegen den Horizont geneigten Ebenen geben einerseits die unveränderliche Welle der Grundlinie wieder, andererseits aber laufende Wellen mit der Excursionsweite e. Die Projection auf xy endlich stellt die veränderliche Ellipse der zweiten Bewegung dar, jedoch mit einer doppelt so langen Periode der Wiederkehr.

Marburg den 15. Julius 1858.

III. Beiträge zur Kenntnifs der Zuckersäure und ihrer Verbindungen; von VV. Heintz.

In meiner Inauguraldissertation de acido saccharico ejusque salibus, welche ihrem wesentlichen Inhalte nach in Pogg. Annal. Bd. 61, S. 315 bis 352 abgedruckt ist, habe ich angegeben, (an letzterem Orte S. 349), dass es mir nicht gelungen sey, einen Aether dieser Säure darzustellen. Damals waren noch keine in Wasser in jedem Verhältniss lösliche, zusammengesetzte Aether bekannt. Ich hatte deshalb die Flüssigkeiten, in denen der Aether gebildet seyn konnte, nur mit Wasser gemischt, um dadurch einen darin nicht löslichen Körper abzuscheiden. Da mir diess nicht gelang, so gab ich die Versuche einen Zuckersäureäther zu erzeugen aus.

Seitdem man nun schon mehrere im Wasser äußerst leicht lösliche zusammengesetzte Aether kennen gelernt hat, durfte ich erwarten, daß auch die Zuckersäure einen solchen Aether zu bilden im Stand sey, um so mehr als gerade die Säuren, deren Aether diese Eigenschaft besitzen, wie die Zuckersäure, sehr sauerstoffreich und sehr leicht in Wasser löslich sind. In der That darf man es als ziemlich durchgehendes Gesetz ansehen, daß, je sauerstoffreicher eine Säure und je leichter sie in Wasser löslich ist, der durch sie gebildete Aether sich um so leichter in Wasser auflöst.

Diese Umstände veranlassten mich, die Versuche zur Darstellung eines Zuckersäureäthers in abgeänderter Weise zu wiederholen. Ich stieß jedoch auch jetzt wieder auf Schwierigkeiten, die wenn sie mir auch die Gewissheit nicht vorenthalten konnten, das ein solcher Aether existirt, doch die Reindarstellung desselben so erschwerten, das ich bald den Rest meines Materials, welches mir von meiner früheren Arbeit über die Zuckersäure übrig geblieben war, verbraucht hatte, ohne zu analytischen Resultaten gelangt zu seyn.

Deshalb sah ich mich genöthigt, zu neuer Darstellung reinen zuckersauren Kalis zu schreiten. Dabei habe ich einige Beobachtungen gemacht, welche die Gewinnung bedcutender Mengen dieser Säure oder vielmehr ihres sauren Kali und Ammoniaksalzes wesentlich erleichtern, und will ich die Resultate der zwei Versuche zur Darstellung des sauren zuckersauren Kalis und des sauren zuckersauren Ammoniaks hier folgen lassen.

Die Methode der Darstellung derselben war anfangs dieselbe, welche ich in der oben beschriebenen Abhandlung in diesen Annalen angegeben habe, nur wurde mehr darauf Rücksicht genommen, die Salpetersäure möglichst vollkommen zu entfernen, als die Bildung der Oxalsäure gänzlich zu vermeiden.

Der erste Versuch wurde mit drei Pfund Zucker ausgeführt. Er wurde mit 10! Pfd. Salpetersäure vom spec-Gew 1.27 gemischt und erhazt, bis eine Gasentwicklung begann. Dann wurde die Schale vom Feuer genommen. um die l'emperatur der Lösung, die bei der indessen heftig gewordenen Gasentwicklung bis 90 C. stieg, zu ermaisiger. Die Flissigkeit ward nun so lenge auf etwa 60% C. erbalten, b.s. die Masse, brann geworden war. Dann war die Solpctersaure fast bis auf die letzte Spur zersetzt. Die Braufung eisehwert die Reindurstellung der Selze nicht: dern were von der Bekinning die Reserion interfrischenand the are Misse and Applicaseuron Kall (the sating) wird. so both we see oben so dankel as well as in Masse sobia ver also be figure germant runs. Be dem zweithe Veneral and the company West asserted more market in the Lorence of the Septembershare and the succession of the Control of the Masse from the state of the second s from the first the trace of the state of the Sunnan

Where Lines were the control of the

anit Ammoniak schwach übersättigt, und endlich wieder mit so viel Essigsäure vermischt, dass die Mischung stark nach Essigsäure roch. So blieben die Mischungen mehrere Wochen stehen. Die dann abgeschiedenen Salze wurden stark abgepresst und in kochendem Wasser gelöst, wobei nach dem Erkalten die Salze nur dunkelgelb gefärbt anschossen. Sie wurden auf einem Trichter gewaschen, bis das Waschwasser sarblos abslos, dann nochmals in kochendem Wasser unter Zusatz von frisch geglühter Thierkohle ausgelöst, worauf sie nach dem Filtriren schon sast weis anschossen. Als sie nochmals gewaschen und nochmals mit Hülse von Thierkohle umkrystallisirt wurden, erhielt ich sie vollkommen weis und rein.

Die bei der ersten Umkrystallisation gewonnenen Mutterlaugen wurden eingedampft und daraus möglichst alles zuckersaure Salz krystallisirt, welches durch Zusatz von Essigsäure nach geschehener Verdampfung befördert wurde, weil während des Abdampfens das saure zuckersaure Salz das Alkali von vorhandenen essigsauren Alkali aufnimmt, indem Essigsäure sich verflüchtigt, wodurch sich das leicht lösliche neutrale Salz bildet. Die jedesmal abgeschiedenen Salzmengen wurden mit Wasser gewaschen, bis dieses farblos wieder abfloss, und die Mutterlauge nebst Waschwasser dann weiter eingedampft. Die zuletzt krystallisirenden Salzportionen enthielten saure oxalsaure Salze. Um diese von der Zuckersäure abzuscheiden, wurden sie mit der mit Wasser und Essigsäure verdünnten Mutterlauge heiß gelöst, mit essigsaurer Kalkerde versetzt und nun heiss filtrirt. Bei Uebersättigung der vom oxalsauren Kalk abfiltrirten Flüssigkeit mit Ammoniak und kochendem Eindampfen schied sich der zuckersaure Kalk ab. Er wurde abfiltrirt, gewaschen und durch Kochen mit kohlensaurem Kali oder kohlensaurem Ammoniak zersetzt. Aus der abfiltrirten und eingedampsten Flüssigkeit schied sich von Neuem saures Salz ab, als dieselbe mit Essigsäure stark übersättigt wurde. Alle so erhaltenen Salzportionen wurden nun unter Zusatz von geglühter Thierkohle in der Mutterlauge von der zweiten Umkrystallisation, dann in der von der ersten Umkrystallisation und endlich in reinem Wasser mit Beihülfe von Thierkohle umkrystallisirt, wodurch von Neuem bedeutende Mengen des reinen Salzes erhalten wurden. Mit den restirenden Mutterlaugen wurde endlich auf dieselbe Weise so oft verfahren, bis keine wesentliche Menge reinen Salzes mehr gewonnen werden konnte.

So erhielt ich aus 3 Pfd. Zucker 10½ Loth, also 10,9 Proc. sauren zuckersauren Kalis, und aus 6 Pfd. Zucker 15½ Loth also 8,1 Proc. sauren zuckersauren Ammoniumoxyds, während man vor meiner ersten Arbeit über die Zuckersäure nur 0,33 Proc. und ich selbst nach der früher von mir beschriebenen Methode nicht ganz 6 Proc. des angewendeten Zuckers an reinem sauren zuckersauren Kali erhalten hatte.

Nach diesen Versuchen ist es offenbar vortheilhafter, das Kalisalz der Zuckersäure zur Reindarstellung dieser Säure zu benutzen, wenn man eine möglichst große Ausbeute an reiner Zuckersäure erhalten will. Man sieht aber auch aus diesen Versuchen, daß die Anwendung von etwas mehr als dem dreifachen Gewicht des Zuckers an Salpetersäure die Ausbeute eher vermehrt als verringert. Ich glaube, daß man künftig mit Vortheil das vierfache Gewicht des Zuckers an Salpetersäure vom spec. Gew. 1,27 zur Darstellung dieser Säure wird verwenden können, und daß dadurch die Ausbeute noch vermehrt werden wird.

Um den Zuckersäureäther darzustellen, verfuhr ich auf folgende Weise. Das saure Kali oder Ammoniaksalz wurde in Wasser gelöst, die Lösung mit Ammoniak neutralisirt und mit einer solchen Menge essigsauren Bleioxyds gefällt, dass noch etwas Zuckersäure in der Auflösung blieb. Auf diese Weise suchte ich die Bildung des Essigsäure enthaltenden Niederschlages zu vermeiden, der Thaulow veranlast hatte, die Zuckersäure fälschlich für eine fünfbasische Säure zu erklären 1).

¹⁾ Pogg. Ann Bd, 61, S. 335 u. folg.

Der erhaltene Niederschlag wurde ausgewaschen, in Wasser vertheilt und durch Schwefelwasserstoffgas zerlegt. Die vom Niederschlag abfiltrirte Flüssigkeit, welche die Zuckersäure enthalten musste, wurde im Wasserbade zum Syrup abgedampft, wobei sie sich allmählich bräunte, und der Rückstand in absolutem Alkohol aufgelöst. Durch die Lösung leitete ich dann einen Strom trocknen Chlorwasserstoffgases, während ich dieselbe kalt erhielt. Nachdem der absolute Alkohol mit dem Gase gesättigt war, wurde die Lösung erhitzt und mehrere Stunden im Kochen erhalten, während fortdauernd ein Strom salzsauren Gases hindurchgeleitet wurde. Hierbei verdunstete so viel Alkohol, dass die Flüssigkeit sehr concentrirt wurde. Sie wurde mit kohlensaurem Kali gesättigt und mit Aether geschüttelt. Der abfiltrirte Aether hinterließ nach dem Verdunsten im Wasserbade eine kleine Menge eines bräunlichen Syrups, der in Wasser leicht löslich war, beim Kochen mit Wasser langsam saure Reaction annahm, bitter schmeckte, und durch Erhitzen mit Kalilösung und Vermischen derselben mit Essigsäure wieder in saures zuckersaures Kali verwandelt werden konnte.

Aus diesem Versuche ergiebt sich mit ziemlicher Sicherheit die Existenz eines Zuckersäureäthers. Die angewendete Methode der Abscheidung des gebildeten Aethers aus der sauren Flüssigkeit war jedoch sehr unvortheilbaft. Ungeachtet dieser Aether gewiss noch unrein war, so habe ich doch eine kleine Menge desselben der Analyse unterworfen. Dazu trocknete ich denselben in einem Schiffchen bei 110 bis 120° C., wobei er jedoch, wie es scheint, eine Veränderung erlitt. Er nahm fortdauernd an Gewicht ab. Deshalb brachte ich ihn zuletzt unter die Luftpumpe neben Schwefelsäure und trocknete ihn darin vollständig. Da dieser Körper leicht Feuchtigkeit anzieht, so wog ich das ihn enthaltende Schiffchen in einem Glasrohr, über welches ein zweites geschoben werden konnte, dessen Rand an einer Stelle so aufgebogen war, dass das Rohr auf der Waage nicht rollen konnte. Die Analyse ergab Folgendes:

0,1821 Grm. lieferten 0,306 Grm. Kohlensäure und 0,092 Grm. Wasser. entsprechend 0,08345 Grm. oder 45,83 Proc. Kohlenstoff und 0,01022 Grm. oder 5.62 Proc. Wasserstoff.

	gefunden	berechnet	
Koblenstoff	45,83	45,11	20 C
Wasserstoff	5,62	6,77	18 H
Sauerstoff	48,55	48,12	160
	100.	ION.	

Man sieht aus dieser Analyse, dass dieser bittere Stoff mindestens nicht reiner Aether der Zuckersäure seyn konnte.

Um zu ermitteln, ob der analysiste Körper durch das Trocknen bei 110°C. wesentlich verändert worden war, analysiste ich eine Probe des vermeintlichen Aethers, nachdem er nur unter der Luftpnunpe neben Schwefelsäure getrocknet worden war.

0,2305 Grm. lieferte 0.3955 Grm. Kohlensäure und 0,1321 Grm. Wasser, was entspricht 0.10795 Grm. und 46,77 Proc. Kohlenstoff und 0.01465 Grm. oder 6.40 Proc. Wasserstoff

	gelun len	berecliner	
Kohlenstoff	46.77	45,11	20 C
Wasserstoff	6.36	6,77	18 H
Sauerstoff	46.57	45,12	16 O
	100.	100.	

Bei näherer Untersuchung fand sich jedoch, dass die analysirte Substanz in Wasser nicht vollkommen löslich war. Eine bei sehr gelinder Wärme schmelzende braune Substanz blieb ungelöst, die sich in Kali in der Kochhitze löste, aber auf Zusatz von Essigsäure kein saures zuckersaures Kali bildete. Die wässerige Lösung, die den Aether enthalten mußte, wurde mit Kalkmilch neutralisirt, unter der Luftpumpe verdunstet und der Rückstand mit von Wasser und Alkohol freiem Aether ausgezogen. Nach Verdunstung desselben blieb eine gelblich gefarbte, syrupartige oder extractähnliche Substanz, die bei der Analyse, vor welcher sie nur unter der Luftpumpe getrocknet wurde, folgende Zahlen lieferte:

- 0,2159 Grm. desselben gaben 0,3702 Grm. Kohlensäure und 0,1267 Grm. Wasser. Diefs entspricht 0,10096
 Grm. oder 46,76 Proc. Kohlenstoff und 0,01408 Grm. oder 6,52 Proc. Wasserstoff.
- 0,2421 Grm. lieferten 0,4137 Grm. Kohlensäure und 0,1393 Grm. Wasser, entsprechend 0,11283 Grm. oder 46,60 Proc. Kohlenstoff und 0,01547 Grm. oder 6,39 Proc. Wasserstoff.

	I.	11.	berechnet	
Kohlenstoff	46,76	46,60	45,11	20 C
Wasserstoff	6,52	6,39	6,77	18 H
Sauerstoff	46,72	47,01	48,12	16 O
•	100.	100.	100.	

Trotz der versuchten Reinigung hatte sich die Substanz in ihrer Zusammensetzung nicht wesentlich geändert.

Als ich den Rest der Substanz, der sich in Wasser wieder nicht vollkommen löste, nochmals auf dieselbe Weise gereinigt hatte, zeigte dieselbe folgende Zusammensetzung.

0,1922 Grm. derselben gaben 0,3133 Grm. Kohlensäure und 0,1004 Grm. Wasser, entsprechend 0,08545 Grm. oder 44,46 Proc. Kohlenstoff und 0,01116 Grm. oder 5,81 Proc. Wasserstoff.

	gefunden	berechnet	
Kohlenstoff	44,46	45,11	20 C
Wasserstoff	5,81	6,77	18 H
Sauerstoff	49,73	48,12	16 O
	100.	100.	

Der nun nur noch geringe Rückstand zeigte nach dem Auflösen in Wasser stark saure Reaction, der Aether mußte also theilweise zersetzt worden seyn. Daher ist die Verminderung des Kohlenstoff- und Wasserstoffgehalts zu erklären.

Bei einem folgenden Versuch den Zuckersäureäther rein zu erhalten, wendete ich an Stelle der reinen Zuckersäure saures zuckersaures Kali an, weil ich hoffte, dadurch die Bräunung der Säure zu vermeiden, die offenbar beim

Abdampfen derselben an der Luft durch Oxydation veranlasst wird. Ich hoffte das Kali in Form von Chlorkalium abfiltriren zu können. Als jenes Salz mit absolutem Alkohol geschüttelt und durch die Mischung trocknes salzsaures Gas geleitet wurde, fand sich in der That, dass sich Chlorkalium abgeschieden hatte. Durch die filtrirte Flüssigkeit leitete ich dann während sie im Kochen erhalten wurde noch mehrere Stunden Salzsäuregas hindurch, ohne dass braune Färbung eingetreten wäre. Um die Zersetzung des Aethers zu vermeiden, neutralisirte ich nicht mit kohlensaurem Kali, sondern mit kohlensaurem Kalk, und zwar wurde dieser Körper sofort nach Einwirkung der Salzsäure. hinzugesetzt, dann wurde Aether hinzugefügt. Um den Aether möglichst vom Wasser und Alkohol zu befreien. setzte ich dann trockenes Chlorcalcium hinzu, in der Voraussetzung, dass der Zuckersäureäther in der ätherischen Lösung bleiben würde. Der Aether aber hinterliess beim Verdunsten einen grün gefärbten Rückstand, der viel Chlorcalcium enthielt. Er wurde mit absolutem Aether nochmals geschüttelt, worin sich nun nicht alles löste. Das Chlorcalcium blieb zurück. Die Aetherlösung trübte sich noch etwas auf Zusatz von Wasser, indem sich noch etwas Chlorcalcium ausschied. Die filtrirte Aetherlösung hinterliess endlich beim Verdunsten eine grün gefärbte Masse, die in Wasser zum geringsten Theil auflöslich war. Die Menge derselben war zu gering, um sie weiter untersuchen zu können.

Da ich nun den Zuckersäureäther bei dem in Aether Unlöslichen vermuthete, so behandelte ich diesen Rückstand mit Wasssr, filtrirte von dem kohlsauren Kalk, der zuckersauren Kalk enthielt ab, und dampste die Lösung ein, jedoch bei einer Temperatur, die 50° C. nicht überstieg, um die Zersetzung des Zuckersäureäthers zu vermeiden. Ich konnte jedoch keine Krystallbildung beobachten. Auch geang es mir nicht eine Methode zu finden, den wohl noch darin vorhandenen Zuckersäureäther abzuscheiden.

Um zu ermitteln, ob in der Chlorcalcium enthaltenden Lösung nicht vielleicht ätherzuckersaurer Kalk enthalten sey, suchte ich diesen mit Alkohol zu fällen. Der Niederschlag wurde mit Alkohol gewaschen und, nachdem er lufttrocken gemacht war, sein Gehalt an Kalk bestimmt (siehe I). In der von diesem Niederschlage abgeschiedenen Flüssigkeit gab mehr Alkohol noch einen Niederschlag, der ebenfalls mit Alkohol gewaschen und dessen Kalkgehalt bestimmt wurde (siehe II). Das Trocknen dieser Niederschläge geschah zuerst bei 110°C. zuletzt bei 125° bis 130°C. weil bei jener Temperatur kein constantes Gewicht erzielt werden konnte.

- U,5125 Grm. des Kalksalzes lieferten 0,1972 Grm. kohlensaure Kalkerde, entsprechend 0,1104 Grm. oder 21,54 Proc. Kalk.
- II. Aus 0,3118 Grm. erhielt ich 0,1298 Grm. kohlensaure Kalkerde, entsprechend 0,0727 Grm. oder 23,32 Proc. Kalk.

Keins der beiden Salze kann ätherzuckersaures Salz gewesen seyn, denn dessen Formel muß seyn $\frac{C^{12}H^6O^{12}}{(C^4H^6)Ca}$ O⁴.

Es kann also nur 20,89 Proc. Kalk enthalten. Ersteres Salz ist ohne Zweifel ziemlich reiner zuckersaurer Kalk gewesen, der 21,05 Proc. Kalk enthält '). Das zweite Salz enthielt wahrscheinlich etwas mehr einer unorganischen Verunreinigung.

Ein auf ähnliche Weise bei einem anderen Versuch, den Zuckersäureäther darzustellen, gewonnenes Kalksalz wurde nicht bei höherer Temperatur, sondern unter der Luftpumpe getrocknet. Dabei nahm es sehr lange an Gewicht ab, so dass es vier Wochen dauerte, bis vollkommene Trockenheit erreicht wurde. Das ursprüngliche Gewicht desselben verminderte sich dabei von 0,5445 Grm. auf 0,4687 Grm. Beim Glühen und nachheriger Behandlung mit kohlensaurem Ammoniak blieben 0,1788 Grm. kohlensaure Kalkerde, entsprechend 0,0995 Grm. oder 24,24 Proc. Kalkerde zurück.

Man sieht hieraus, dass auch dieses Salz nichts anderes als zuckersaure Kalkerde war.

¹⁾ Vergleiche Pogg. Annal. Bd. 61, S. 329.

Ein fernerer Versuch den Zuckersäureäther zu erzeugen führte ganz zu denselben nicht befriegenden Resultaten. Nur setzten sich beim allmählichen Verdampfen einer Probe der letzt erwähnten chlorcalciumhaltigen Flüssigkeit, als sie Syrupsdicke angenommen hatte, Kryställchen ab, die ich abpresste und aus der wässrigen Lösung stets mit der Vorsicht, die Temperatur nicht zu hoch zu steigern, umkrystallisirte. Bei der Verdunstung der Hauptmasse der Flüssigkeit, aus der ich diese Krystalle gleichfalls gewinnen wollte, war zwar die Erhitzung nicht zu hoch (nicht über 50° C.) gesteigert, wohl aber die Verdampfung zu weit getrieben worden. In Folge dessen war die vorher neutrale Flüssigkeit sauer geworden und Salzsäuredampfe erfüllten das Zimmer. Offenbar war der Zuckersaureäther zerlegt worden und die frei gewordene Zuckersäure hatte das Chlorcalcium zersetzt.

Die Quantität der gewonnenen Krystalle genügte jedoch, trotzdem dass sie noch mit Chlorkalium verunreinigt waren, um ihre Zusammensetzung auszumitteln. Um dieses Chlorkalium möglichst zu entsernen, wurden sie in Alkohol gelöst, wobei der größte Theil des Chlorkaliums zurückblieb, durch vorsichtiges Abdampsen wieder krystallisirt und mit absolutem Alkohol gewaschen.

Diese Krystalle waren farblos und für die kleine Menge vorhandener Substanz ziemlich groß. Doch konnte die Form nicht ermittelt werden. Wurden sie auf Wasser geworfen, so kamen die zufällig obenauf schwimmenden Kryställchen in eine heftige rotirende Bewegung, die bis zur vollkommenen Lösung andauerte. Beim Erhitzen auf Plalinblech blähten sie sich auf, brenzliche Producte wurden entwickelt und ein schwarzer Rückstand blieb, dessen Kohlegehalt sehr schwer verbrennlich war. In Wasser waren sie sehr leicht löslich, in Alkohol jedoch nur schwer. Wurden die Krystalle mit einer wäßrigen Lösung von kohlensaurem Ammoniak gekocht, filtrirt, die Lösung im Wasserbade zur Trockne gebracht und die concentrirte Lösung des Rückstandes mit einigen Tropfen Essigsäure

versetzt, so setzten sich Krystalle des sauren zuckersauren Ammoniaks ab, mit Hülfe welcher es leicht gelang Silberlösung in der Weise zu reduciren, wie es die zuckersauren Verbindungen zu thun pslegen. Diese Krystalle enthielten viel Chlor und Kalk, aber auch immer noch etwas Kali.

Bei der Analyse wurden durch einen Versuch die unorganischen Bestandtheile durch einen zweiten der Kohlenstoff- und Wasserstoff- so wie der Kalk- und Kaligehalt bestimmt.

I. 0,4062 Grm. der bei 100° bis 110° C. getrockneten Krystalle, die noch immer nicht ganz frei von Chlorkalium waren, wurden in Wasser gelöst, die Lösung mit etwas Salpetersäure sauer gemacht und durch Silbersolution das Chlor gefällt. Aus dem Filtrat wurde das überschüssige Silber durch Salzsäure und aus der filtrirten Flüssigkeit nach Uebersättigung derselben mit Ammoniak durch reine Oxalsäure der Kalk gefällt. Die davon abfiltrirte Flüssigkeit wurde zur Trockne gebracht, der Rückstand geglüht und mit Hülfe von etwas verdünnter Salzsäure in einen Platintiegel gebracht, in dem das Chlorkalium mit den nöthigen Cautelen zur Wägung gebracht wurde. Ich erhielt 0,2294 Grm. Chlorsilber, 0,0604 Grm. kohlensaure Kalkerde und 0,0314 Grm. Chlorkalium.

II. 0,4420 Grm der Krystalle, die durch nochmalige Behandlung mit Alkohol vollkommener vom Chlorkalium befreit worden waren, wurden der Elementaranalyse unterworfen und zwar in einem Schiffchen, so daß es möglich war, die Aschenbestandtheile zu sammeln und zu analysiren. Allerdings stieg die Substanz zum Theil aus dem Schiffchen heraus; aber da ich dafür gesorgt hatte, daß das Schiffchen 2 bis 3 Zoll von dem Kupferoxyd entfernt war, so gelang es durch Abschneiden des Rohrs und Auswaschen den feuerbeständigen Rückstand ohne jeden Verlust aufzusammeln. Durch einen Vorversuch hatte ich mich überzeugt, daß bei der Verbrennung der Verbindung im Schiffchen ein Gemisch von Aetzkalk, kohlensaurem Kalk, Chlorcalcium und eine geringe Menge Kohle zurückblieb. Um

auch die Kohlensäure zu sammeln, die an Kalk gebunden zurückgeblieben war, brachte ich nachdem das Chlorcalcium-rohr gewogen, und der Apparat wieder zusammengestellt worden war, in das Verbrennungsrohr ein mit Salzsäure gefülltes Schiffchen, und destillirte die Salzsäure in das die Asche enthaltende Schiffchen hinein. Die dabei entwickelte Kohlensäure wurde durch einen Luftstrom in die Kalispparate getrieben, während das Kupferoxyd, das mit Bleioxyd gemischt war, damit die Salzsäure in dem Verbrennungsrohr zurückgehalten würde, im Glühen erhalten ward. Ich erhielt aus der angegebenen Menge Substanz 0,2182 Grm. Wasser und 0,5790 Grm. Kohlensäure, 0,0005 Grm. unverbrannte Kohle, ferner 0,0678 Grm. kohlensaure Kalkerde und 0,0158 Grm. Chlorkalium.

Berechnet man aus den Resultaten dieser Analysen die Zusammensetzung der reinen, Chlorkalium freien Krystalle, so findet man folgende Zahlen

-	i.	11.	berechnet	
Kohlenstoff		37,17	37,33	20 C
Wasserstoff		5,69	5,60	18 H
Sauerstoff		39,41	39,81	16 O
Chlor	11,15	11,34	11,04	ı cl
Calcium	6,47	6,39	6,22	1 Ca
		1(M)	100	

Das Chlor ist in der zweiten Analyse aus der Menge des Calciums berechnet.

Diese Zahlen lehren, dass die untersuchten Krystalle aus einer Verbindung des Zuckersäureäthers mit Chlorcalcium bestanden. Dieser Aether kann sich daher ähnlich wie andere zusammengesetzte Aether mit Chlorcalcium zu einer krystallisirbaren Verbindung vereinigen. Z. B. der Milchsäureäther verbindet sich mit Chlorcalcium zu einer ganz analog susammengesetzten Verbindung, die aus C?"H?"O!? + ClCa, also aus gleichen Acquivalenten des Aethers und Chlorcalciums besteht, wie die analysirten Krystalle ebenfalls aus gleichen Acquivalenten Zuckersäureäther und Chlorcalcium nämlich aus C?"G!" + ClCa bestehen.

Bei den letzt erwähnten Versuchen hatte ich bemerkt. dass die mit Aether geschüttelte an Salzsäure reiche Alkoholmischung durch kohlensauren Kalk nicht vollkommen neutralisirt werden konnte. Deshalb wendete ich bei einem folgenden Versuch, wozu aus zuckersaurer Kalkerde durch die äquivalente Menge Schwefelsäure und Alkohol abgeschiedene Zuckersäure benutzt wurde, mit Aether angeriebenes Kalkhydrat zur Neutralisation an. Das Resultat war iedoch für die Gewinnung des Zuckersäureäthers und dessen Verbindung mit Chlorcalcium eben so ungünstig, wie die frühere. Der Aether aber, welcher den Zuckersäureäther gelöst enthalten sollte, hinterliess wieder eine Masse, die in Wasser sich nur theilweise löste, und diessmal in einiger Menge. Sie wurde in Alkohol gelöst und beim freiwilligen Verdunsten schieden sich wenig gefärbte Krystalle aus, die sich in einer braunen öligen Masse befanden. Sie wurden zwischen Fliesspapier gepresst, nochmals in Alkohol gelöst und durch freiwilliges Verdunsten krystallisirt, und diese Operation so oft wiederholt, bis sie farblos geworden waren. Dabei war jedoch ihre Menge so gering geworden, dass eine fernere Untersuchung unmöglich war. Sie waren in Wasser nicht, wohl aber in Alkohol löslich. Beim gelindesten Erhitzen schmolzen sie zu einer ölartigen Flüssigkeit, die bei weiterem Erhitzen in Dampfform überging und sich zu einer farblosen Flüssigkeit verdichtete, welche beim vollkommenen Erkalten wieder erstarrte und krystallinisch wurde. Diese Substanz scheint also unverändert destillirbar zu seyn. Schon bei gewöhnlicher Temperatur scheint sie sich zu verslüchtigen. Wenigstens fand ich in einem Schälchen, in dem sie geschmolzen und wieder erstarrt war, nachdem sie nur mit Papier bedeckt mehrere Wochen gestanden hatte, an den Wänden der Schale theils an den einzelnen Oeltröpfchen angesetzte, theils auch von diesen ganz isolirte prismatische Kryställchen, welche unter dem Mikroskop betrachtet zwei schiefe Endslächen erkennen liessen, die sich unter einem sehr stumpfen Winkel schnitten. Dieselbe Form zeigten auch die aus Alkohol ausgeschiedenen Krystalle, nur waren sie breiter als jene, die mehr in die Länge ausgedehnt erschienen.

Weiter oben sind die Analysen mehrerer Proben von Zuckersäureäther augeführt worden, welche beim Behandeln mit Wasser einen öligen Körper absetzten, der meist beim hinlänglichen Erkalten erstarrte. Gleichzeitig war bei den Analysen zu viel Kohlenstoff aber etwas zu wenig Wasserstoff erhalten worden. Um zu ermitteln, ob die ölige Substanz, welche bein Abpressen dieser Krystalle in das Papier gezogen war, ihrer Zusammensetzung gemäß diesen Effect auf die Resultate der Analysen haben konnte, wenn sie dem Zuckersäureäther beigemengt war, sammelte ich sie aus dem Papier durch Lösung in Alkohol, und verdunstete die Lösung, um den Rückstand zu analysiren.

0,1939 Grin. derselben lieferten 0,4378 Grin. Kohlensäure und 0,145 Grin. Wasser entsprechend 0,1194 Grin. Kohlenstoff und 0,01611 Grin. Wasserstoff. Hieraus folgt folgende Zusammensetzung:

> Kohlenstoff 61,58 Wasserstoff 8,31 Sauerstoff 30,11.

Man sieht hieraus, dass der Kohlenstoffgehalt dieser Substanz in der That weit größer ist, als der des Zuckersäureäthers. Aber auch der Wasserstoffgehalt ist größer. Dass also der Wasserstoffgehalt zu gering gefunden wurde, muß einen andern Grund haben. Er kann nur im Vorhandenseyn von Zuckersäurehydrat gesucht werden. In der That habe ich nicht nur gefunden, dass selbst beim sorgfältigsten Verdunsten der Lösungen des unreinen Zuckersäureäthers selbst unter der Lustpumpe stets ein Theil desselben zersetzt wird, sondern auch, dass Proben des analysirten Aethers in wenig Wasser gelöst, sauer reagirten.

Da ich glaubte, dass durch Anwendung basischer Substanzen zur Entfernung der Chlorwasserstoffsäure der gebildete Zuckersäureäther in den früheren Fällen zersetzt

worden seyn möchte, so suchte ich bei diesem Versuche diesen Zweck auf eine andere Weise zu erreichen. schüttelte 30 Grm. sauren zuckersauren Kalis mit absolutem Alkohol, sättigte diesen unter Abkühlung mit salzsaurem Gas, filtrirte das abgeschiedene Chlorkalium ab, und leitete nun von Neuem 2 Stunden in das Filtrat salzsaures Gas ein, während ich es zum Kochen erhitzte. goss ich es in eine Schale, die ich neben Schwefelsäure und Aetzkalk unter eine Glocke brachte. Als die Masse Syrupsdicke angenommen hatte und nur noch wenig nach Salzsäure roch, brachte ich sie unter die Glocke der Luftpumpe über ein Gefäss mit Schwefelsäure, das mit Aetzkalk dicht umlegt war, um das Eindringen des immer noch vorhandenen salzsauren Gases in die Luftpumpe zu verhindern, bis jede Spur freier Salzsäure entfernt war. Die dicke syrupartige Masse enthielt kein Chlor mehr, wohl aber Kali, das jedoch als kohlensaures Salz zurückblieb, wenn eine Probe derselben verbrannt wurde. Offenbar war die geringe Menge des in dem Salzsäure enthaltenden Alkohol gebliebenen Chlorkaliums durch das Verdunsten der Masse unter der Luftpumpe unter dem Einfluss des nicht in den Aether umgewandelten Theils der Zuckersäure zersetzt und zuckersaures Kali gebildet worden.

Um nun den Zuckersäureäther auszuziehen, mischte ich die zähe Masse mit etwas absolutem Alkohol, und dann mit alkohol- und wasserfreiem Aether. Dabei blieb ein Theil ungelöst, der in Wasser gelöst und mit kohlensauren Baryt gesättigt wurde, um zu untersuchen, ob sich vielleicht ätherzuckersaures Baryt bilden würde. Mit dem überschüssigen kohlensauren Baryt gemengt blieb eine reichliche Menge zuckersaurer Baryterde, wovon auch das Filtrat enthalten mußte, da dieses Salz in Wasser nicht unlöslich ist. Es wurde unter der Luftpumpe neben Schwefelsäure verdunstet, bis nur noch wenig Flüssigkeit übrig blieb. Das dabei ausgeschiedene Salz wurde mit Wasser gewaschen, und die Menge der Baryterde in demselben bestimmt.

0,3836 Grm. dieses bei 110° bis 120° C. getrockneten Barytsalzes lieferten 0,2162 Grm. kohlensaure Baryterde, entsprechend 0,1679 Grm. Baryterde oder 43,77 Proc.

Man sieht hieraus, dass es ziemlich reiner zuckersaurer Baryt war, welcher 44,38 Proc. Baryt enthält. Die vom zuckersauren Baryt zuerst abfiltrirte wässerige Flüssigkeit wurde mit absolutem Alkohol gemischt, wodurch ein weifser Niederschlag entstand, der mit dem Fällungsmittel gewaschen wurde.

- 0,2616 Grm. dieses Salzes lieferten 0,1464 Grm. kohlensaure Baryterde, enthielten also 0,1137 Grm. oder 43,46 Proc. Baryterde. Also auch dieses Salz bestand aus ziemlich reinem zuckersaurem Baryt.

Die alkoholische Flüssigkeit wurde endlich von Neuem über Schwefelsäure unter der Luftpumpe verdunstet, wobei sich wieder aber nur eine geringe Menge eines festen Körpers ausschied, der nun nicht mehr zuckersaurer Baryt seyn konnte. Er wurde mit absolutem Alkohol ausgezogen. Die Untersuchung ergab, dass die hierin nicht lösliche Substanz zum größten Theil aus Chlorbaryum bestand. Ihre Menge war nur sehr gering. Was nun im absoluten Alkohol gelöst geblieben war, betrug so wenig, dass es nicht weiter untersucht werden konnte.

Von der ätherischen Lösung, von der die Substanz, deren Untersuchung so eben beschrieben ist, abfiltrirt worden war, wurde nun bei möglichst gelinder Temperatur der Aether abdestillirt, und der Rückstand unter der Luftpumpe bis zur möglichsten Trockenheit eingedunstet und mit wasser- und alkoholfreiem Aether geschüttelt. Nachdem die Masse 48 Stunden gestanden hatte, hatte sich die im Aether nicht gelöste syrupärtige Substanz in eine krystallinische Masse verwandelt, in welcher bis drei Linien lange Krystalle kenntlich waren. Der Aether hatte Zuckersäureäther aufgelöst, aber es gelang nicht daraus diesen Körper im reinen Zustande zu erhalten.

Die krystallinische Masse, welche im Aether ungelöst geblieben war, wurde in wenig Wasser gelöst und etwas

kohlensaurer Baryt hinzugesetzt. Da kein Brausen merklich war, so filtrirte ich die Flüssigkeit vom kohlensauren Baryt wieder ab, und fand in dem Filtrat in der That nur eine Spur Baryt. Beim Verdunsten der Lösung unter der Lustpumpe krystallisirte die Substanz wieder heraus, als die Lösung syrupdick geworden war. In diesen Krystallen fand ich eine kleine Menge Kali und eine Spur Baryt. Um sie zu reinigen, namentlich den Baryt wieder fortzuschaffen, der möglicher Weise die Reinigung der Verbindung erschweren konnte, wurde die wässerige Lösung der Krystallmasse mit etwas schwefelsaurem Kali versetzt, die Mischung unter der Luftpumpe zur Trockniss gebracht, und in warmem absoluten Alkohol gelöst. Beim Erkalten der filtrirten Lösung krystallisirte die Substanz wieder heraus. Als sie durch mehrmaliges Umkrystallisiren gereinigt war, zeigte sich, dass sie vollkommen frei von unorganischer Substanz war.

Ehe ich die Eigenschaften derselben anführe, will ich die bei der Analyse erhaltenen Zahlen angeben. Leider konnte ich nur zwei Analysen machen, da die Menge der gewonnenen Substanz zu gering war.

Zur Analyse wurden die lafttrocknen Krystalle zerrieben und nur unter der Luftpumpe neben Schwefelsäure getrocknet. Zur Wägung der Substanz in dem Schiffchen bediente ich mich des Apparatchens, welches ich bei der Analyse des Zuckersäureäthers (siehe S. 215) benutzt hatte-Durch dieses Trocknen nahmen die zerriebenen Krystalle nur um ein sehr Unbedeutendes an Gewicht ab.

- I. 0,2182 Grm. der Substanz lieferten 0,3477 Grm. Kohlensäure und 0,1075 Grm. Wasser, entsprechend 0,09483 Grm. oder 43,46 Proc. Kohlenstoff und 0,1194 Grm. oder 5,47 Proc. Wasserstoff.
- II. 0,2575 Grm. derselben gaben 0,4101 Grm. Kohlensäure und 0,1295 Grm. Wasser, d. h. 0,11185 Grm. oder 43,44 Proc. Kohlenstoff und 0,01439 Grm. oder 5,50 Proc. Wasserstoff.

or product of	1.	II.	berechnet	
Kohlenstoff	43,46	43,44	43,64	8 C
Wasserstoff	5,47	5,59	5,45	6 H
Sauerstoff	51,07	50,97	50,91	70
	100.	100.	100.	

Diese Substanz bildete farblose durchsichtige, schmale, langgestreckte, unsymmetrische, sechsseitige Säulen mit Winkeln von etwa 60°, 140° und 160°. Als Endigung erscheint ein Flächenpaar, das auf die scharfe Kante gerade aufgesetzt ist und das nach wiederholten Messungen unter dem Mikroskop so wohl mit einander, als mit beiden scharfen Seitenkanten Winkel von nahezu 120° bildet. Mein verehrter Freund und College Girard, dem ich zunächst diese Angaben verdanke, vermochte wegen der Unvollkommenheit der Krystalle keine genaueren Messungen auszuführen. Sie besaßen bis ; Zoll Länge, waren in Wasser sehr leicht löslich, schwerer in Alkohol, namentlich in kaltem. In heissem Alkohol lösten sie sich viel leichter, so dass sie aus der Alkohollösung gut umkrystallisirt werden konnten. Die concentrirte Alkohollösung konnte durch Aether nicht gefällt werden, obgleich die Substanz in Aether kaum auflöslich war. Wurde die Lösung derselben in möglichst wenig absoluten Alkohols zugedeckt sich selbst überlassen, so schied sich beim Erkalten daraus nichts ab. dann aber ein Krystall derselben Substanz in die Flüssigkeit gebracht, so erstarrte die ganze Flüssigkeit. Die Substanz bildet also übersättigte alkoholische Lösungen. Diese werden auch durch Aether präcipitirt. Die concentrirte wässerige Lösung dieser Krystalle reagirt merklich sauer, obgleich sie aus kohlensaurem Baryt, wie ich oben erwähnt habe, die Kohlensäure nicht auszutreiben vermag.

Beim Erhitzen bis 100° bis 110° C. schmelzten die Krystalle zu einer gelblichen Flüssigkeit, die sauer reagirt, in vielem Alkohol auflöslich ist, aus der aber die Substanz nicht wieder herauskrystallisirt. Durch salpetersaures Silberoxyd und Ammoniak konnte in der wässerigen Lösung diese durch Hitze veränderten Substanz in der Wärme die

bekannte Reaction der Zuckersäure sehr schön hervorgebracht werden. Als eine andere Probe derselben Substanz mit Kali neutralisirt und mit Essigsäure angesäuert worden war, bildeten sich einige Krystalle von saurem zuckersaurem Kali. Die Krystalle selbst gaben, als sie in Wasser gelöst und mit etwas Kalihydrat gekocht worden waren, beim Zusatz von Essigsäure zu der concentrirten Lösung starke Abscheidung eines schwer löslichen Salzes, welches von dem sauren zuckersauren Kali nicht unterschfeden werden konnte. Es wurde mehrmals umkrystallisirt, und das Barytsalz daraus dargestellt, welches analysirt wurde. Zur Elementaranalyse war seine Menge zu gering. Ich begnügte mich daher eine möglichst genaue Bestimmung der Baryterde in demselben auszuführen.

0,123 Grm. dieses Barytsalzes lieferten 0,070 Grm. kohlensaure Baryterde, entsprechend 0,0544 Grm. oder 44,23 Proc. Baryterde. Die zuckersaure Baryterde enthält 44,38 Proc. Basis.

Hieraus folgt, dass die untersuchten Krystalle unter dem Einsluss des Kalihydrats wieder in Zuckersäure übergehen.

Geht man von diesen Zersetzungserscheinungen aus, so kann die analysirte Substanz nur entweder eine Aethylverbindung oder eine Verbindung seyn, welche sich von der Zuckersäure durch einen Mindergehalt an Wasserstoff und Sauerstoff in dem Verhältnis unterscheidet, wie sie im Wasser enthalten sind. Letzteres ist nun nicht der Fall. Der Wasserstoffgehalt ist dazu zu groß im Verhältnis zum Sauerstoff. Denn das reine Hydrat der Zuckersäure enthält nur 3,8 Proc. Wasserstoff, dagegen 61,5 Proc. Sauer-Die Substanz muss daher eine Aethylverbindung In diesem Falle muss die oben aufgestellte empirische Formel verdoppelt werden. Sie wird dann C16 H12 O14, und in diesem Falle kann die Formel für diesen Körper nach der Typentheorie nur geschrieben werden entweder C12 H6 O10 C4 H5, H

Da die Substanz sauer reagirt, so kann nur eine der bei-

den ersten Formeln die richtige seyn. Die erste ist deshalb nicht wahrscheinlich, weil sie die Zusammensetzung der Monoäthylcitronensäure ausdrückt, die bei ihrer Zersetzung durch Alkalien keinenfalls Zuckersäure liefern kann, wie die untersuchte Substanz. Ich Lalte daher die zweite Formel für die richtige.

Nach unserer Kenntnifs der Zusammensetzung der Zuckersäure müßte die Aetherzuckersäure folgende Znsammensetzung haben: C12H5O12 O4, das heißt, sie müßte zwei Atome Wasserstoff und Sauerstoff mehr enthalten, als in der untersuchten Substanz gefunden ist. Diese Differenz kann entweder dadurch bedingt seyn, dass letztere die Aethersäure einer neuen, durch die Zersetzung mittelst Kalihydrat aber unter Wasseraufnahme in Zuckersäure übergehenden Säure ist, oder darin, dass die meisten zuckersauren Salze noch Wasser chemisch gebunden zurückhalten, das bei einer Temperatur, bei der die Säure nicht zersetzt wird, nicht ausgetrieben werden kann, während obige Aethersäure wasserfrei ist. Dann muss die Zusammensetzung des Hy-C12 H 6 O10 } O4 drats der Zuckersäure durch die Formel ausgedrückt werden. Für letztere Ansicht scheint der Umstand zu sprechen, dass einige der von mir analysirten Salze der Zuckersäure weniger Wasserstoff geliefert haben, als bei der Formel C'2H8O'2 O4 erwartet werden musste. H, H Namentlich war diess bei dem Wismuthsalz der Fall.

Um diese Frage zu entscheiden, muste ich eine grösere Menge der Substanz darzustellen suchen. Denn die
kleine Menge, welche ich im reinen Zustande erhalten hatte,
war durch die beschriebenen Versuche verbraucht. Allein
trotz dem, das ich möglichst die Umstände innezuhalten
suchte, unter denen sich diese Substanz gebildet hatte und
unter denen sie abgeschieden worden war, gelang es in
mehreren Versuchen nicht, sie nochmals zu gewinnen. Das

in dem vorigen enthaltene ist daher alles, was ich über sie angeben kann.

Ich versuchte nun nach einer anderen Methode die Chlorcalciumverbindung des Zuckersäureäthers auf kürzerem Wege darzustellen. Ich ging dabei von dem Gedanken aus, dass der so leicht zersetzbare Zuckersäureäther beständiger seyn möchte, wenn er bei seiner Entstehung Chlorcalcium vorfindet, zu dem er Verwandtschaft hat. Ich stellte daher zuckersaure Kalkerde dar, mischte sie mit absolutem Alkohol, und leitete durch die Mischung trockenes salzsaures Gas. Die Wirkung desselben war zuerst die, den zuckersauren Kalk aufzulösen. Indem sich aber die Flüssigkeit erhitzte, schieden sich kleine Krystalle aus, die endlich so reichlich wurden, dass die ganze Flüssigkeit zu einem Brei erstarrte. Diese Kryställchen waren die gewünschte Verbindung. Um sie zu reinigen, muss man sie auf ein Filtrum bringen, jedoch da sie in absolutem Alkohol nicht ganz unlöslich sind, nicht mit dieser Flüssigkeit waschen, sondern nach möglichstem Abtropfen der Mutterlauge zwischen Fliesspapier stark auspressen, dann noch .* mals mit absolutem Alkohol anreiben und von Neuem pressen. Statt dessen kann man sie auch nach dem ersten Auspressen einige Tage unter einer Glocke neben Schwefelsäure und Aetzkalk stehen lassen, bis sie nicht mehr nach Salzsäure riechen und vollkommen trocken sind. Endlich wurden sie in Wasser gelöst und durch sehr allmähliches Verdunsten neben Schwefelsäure zur Krystallisation gebracht.

Ein Versuch lehrte, dass diese Verbindung durch Kochen mit Wasser zersetzt wird. Denn als eine nicht concentrirte Lösung derselben gekocht und im Wasserbade zum Syrup abgedampft worden war, löste sich der Rückstand ganz in absolutem Alkohol auf. Auch zerflossen die Krystalle, die sich anfangs gebildet hatten, während die unveränderte Verbindung wenigstens in nicht zu feuchter Luft beständig ist. Kochhitze ist selbst nicht einmal er-

forderlich, um die Zersetzung einzuleiten. Schon bei einer Temperatur von 60° bis 80° C. tritt dieselbe ein. Ja selbst in der Kälte leitet Wasser allmählich eine Zersetzung ein, jedoch weit langsamer. Um die Krystalle, welche sich beim Verdunsten der wäßrigen Lösung der Verbindung bilden von den gleichzeitig etwa gebildeten Zersetzungsproducten zu befreien, braucht man sie nur mit absolutem Alkohol zu waschen.

Wegen dieser Leichtzersetzbarkeit der Verbindung des Zuckersäureäthers mit Chlorcalcium darf man auch die alkoholischen Flüssigkeiten, die man durch das Reinigen der Krystalle erhält, nicht im Wasserbade abdampfen, um die darin gelöste Substanz wieder zu gewinnen. Die Verbindung wird dadurch zersetzt. Folgender Versuch lehrt, dass hierbei der Zuckersäureäther offenbar unter Alkoholbildung einfach in Zuckersäure übergeht. Löst man nämlich die abgedampfte Masse in absolutem Alkohol und leitet, mag dabei eine klare Lösung oder eine Trübung entstehen, salzsaures Gas hindurch, so scheidet sich die Verbindung von Neuem in kleinen Krystallen aus. Hatte der Alkohol eine Trübung veranlasst, so war die Zuckersäure zum Theil in zuckersaure Kalkerde übergegangen, indem sie einen Theil des Chlorcalciums unter Salzsäureentwickelung zersetzt hatte. In diesem Fall trat dieselbe Erscheinung ein, welche bei der Darstellung dieser Verbindung beobachtet wird; die Flüssigkeit klärte sich näunlich, bevor sie die Krystalle derselben absetzte.

Dass diese krystallisirbare Substanz die Chlorcalciumverbindung ist, geht aus den Resultaten der Analysen hervor, die damit ausgeführt worden sind.

- I. 0,5405 Grm. der Krystalle lieferten unter der Luftpumpe getrocknet 0,2356 Grm. Chlorsilber und 0,0856 Grm. kohlensaure Kalkerde entsprechend 0,05825 Grm. oder 10,78 Proc. Chlor und 0,03424 Grm. oder 6,33 Proc. Calcium.
- II. 0,4456 Grm. derselben gaben 0,1955 Grm. Chlorsilber und 0,0690 Grm. kohlensaure Kalkerde, entsprechend

0,04834 Grm. oder 10,85 Proc. Chlor und 0,0276 Grm. oder 6,19 Proc. Calcium.

III. 0,3367 Grm. der Verbindung lieferten 0,4394 Grm. Kohlensäure und 0,1685 Grm. Wasser. Aus dem Rückstand im Schiffchen, der aus Aetzkalk, kohlensaurem Kalk, Chlorcalcium und etwas Kohle bestand, wurden in der früher beschriebenen Weise noch 0,0088 Grm. Kohlensäure und 0,0025 Grm. Kohle gewonnen. Hiernach beträgt die Gesammtmenge des Kohlenstoffs 0,12474 Grm. oder 37,05 Proc., die des Wasserstoffs 0,01872 Grm. oder 5,56 Proc.

IV. Aus 0,3194 Grm. derselben erhielt ich 0,4162 Grm. Kohlensäure und 0,1630 Grm. Wasser. Zu ersterer kommen noch 0,0124 Grm. Kohlensäure und 0,0019 Grm. Kohle aus der Asche. Es wurden also erhalten 0,11879 Grm. oder 37,20 Proc. Kohlenstoff und 0,01811 Grm. oder 5,67 Proc. Wasserstoff.

Die analysirte Substanz hat daher folgende Zusammensetzung:

· ·	I.	II.	Ш.	iV.	berechnet	
Kohlenstoff		_	37,05	37,20	37,33	20 C
Wasserstoff	_	_	5,56	5,67	5;60	18 H
Sauerstoff	_		_	_	39,81	16 O
Chlor	10,78	10,85	_	_	11,04	l Cl
Calcium	6,33	6,19	_		6,22	1 Ca
				_	100.	

Die Eigenschaften dieses Körpers sind schon weiter oben angegeben worden. Die Form der Krystalle desselben ist eine rhombische Säule, deren Winkel etwas gröfser, als 60° zu seyn scheint, auf deren scharfe Kante eine schiefe Endfläche unter 95° bis 100° aufgesetzt ist, deren Vorherrschen die Krystalle tafelartig erscheinen läst. Mein verehrter College Professor Girard, dem ich diese Angaben verdanke, hat sich vergebens bemüht, genauere Winkelmessungen auszusühren, theils weil die Krystalle nicht sehr vollkommen ausgebildet waren, theils weil sie in feuchter Luft, also in der Nähe des Beobachters sehr leicht feucht werden.

Da es mir nun gelungen war, eine Methode zu finden um mit großer Leichtigkeit große Mengen wenigstens einer Verbindung des Zuckersäurenthers im reinen Zustande darzustellen, so versuchte ich nun aus dieser Verbindung den reinen Zuckersäurenther abzuscheiden. Dieß geschah auf folgende Weise:

Eilf Theile der Chlorcalciumverbindung des Zuckersäureäther wurden in wenig Wasser gelöst, etwas Alkohol hinzugesetzt und nun eine Lösung von sechs Theilen krystallisirten schwefelsauren Natrons in einer möglichst kleinen Menge lauen Wassers hinzugesetzt. Die Mischung, in der sofort ein Niederschlag von schwefelsaurem Kalk entstand, wurde unter der Luftpumpe neben Schwefelsäure möglichst schnell zur Trockne gebracht, und nun in einer sehr kleinen Menge absoluten Alkohols vertheilt. Zu dieser Mischung wurde darauf eine bedeutende Menge wasserfreien Aethers gegossen, und die filtrirte ätherische Lösung wieder so schnell als möglich unter der Luftpumpe über Schwefelsäure verdunstet. Dabei blieb eine vollkommen wasserhelle, syrupartige Flüssigkeit zurück, welche bitter schmeckte und beim Erhitzen unter allmählicher Bräunung einen Geruch ausstiefs, der nur mit dem Geschmack der Wallnüsse verglichen werden kann. Beim Verbrennen blieb eine kaum merkbare Menge Asche zurück, die aus Chlornatrium bestand.

Als diese syrupartige Substanz noch längere Zeit der Austrocknung überlassen wurde, fand sich beim Hervornehmen der Schale unter der Glocke der Luftpumpe ein Theil fest geworden. Von einem Punkte aus hatte sich eine concentrisch strahlige Krystallisation eingestellt, die nun an der Luft schnell weiter fortschritt. Die Masse erstarrte nun ähnlich krystallinisch, wie reine Stearinsäure oder Palmitinsäure. Von Krystallflächen war darin nichts zu entdecken, doch war die Structur vollkommen krystallinisch. An den Wänden der Schale, die die Substanz in ganz dünner Schicht überzog, bildeten sich concentrisch gruppirte lange Nadeln, die dem Wawellit täuschend ähnlich waren. Der Zucker-

säureäther (die weiter unten gegebenen Resultate der Analysen dieses Körpers werden darthun, dass er eben der reine Zuckersäureäther ist) ist also im reinsten Zustand eine feste, weiße krystallinische Substanz. Ich bezweißle nicht, dass es gelingen würde, ihn auch in deutlichen Krystallen zu gewinnen, wenn man ihn in großen Massen darstellen Allein dazu dürften einige Lothe nicht genügen. wollte. Der Geschmack des Zuckersäureäthers ist bitter. man ihn, so schmilzt er sehr leicht, fängt sehr bald an zu kochen, bräunt sich aber dann und zersetzt sich. Er ist also nicht unzersetzt flüchtig. Die Dämpfe, die sich beim Erhitzen desselben bilden, haben einen eigenthümlichen Geruch, der sich mit dem Geschmack der Wallnüsse am besten vergleichen läst. In Wasser und Alkohol ist er äußerst leicht löslich. Aus feuchter Luft zieht er schnell Wasser an, in ziemlich trockener Luft erhält er sich aber lange ohne zu zersließen. In Aether löst er sich ebenfalls aber doch schwerer, namentlich, wenn dieser frei von Alkohol und Wasser ist. Fügt man zu einer ganz concentrirten Lösung des Zuckersäureäthers in absolutem Alkohol, eine ebenfalls alkoholische Chlorcalciumlösung, so entsieht in den meisten Fällen kein Niederschlag selbst nicht nach längerer Zeit. Wirft man dann aber nur ein sehr kleines Kryställchen der Chlorcalciumverbindung des Zuckersäureäthers hinein, so beginnt langsam die Krystallbildung. Der sich bildende Niederschlag kann durch Zusatz eines gleichen Volums Aether noch bedeutend vermehrt werden. Auch wenn man die Mischung für sich oder auch unter Zusatz von etwas Salzsäure enthaltendem Alkohol kochend etwas eindampft, bilden sich bald die Krystalle.

Die Zusammensetzung dieses unter der Luftpumpe vollständig ausgetrockneten Körpers wurde durch folgende zwei Analysen ermittelt:

I. 0,3135 Grm. der Substanz lieferten 0,5157 Grm. Kohlensäure, 0,1906 Grm. Wasser und im Schiffchen blieben 0,0007 Grm. Asche. Die Menge des reinen Aethers betrug also 0,3128 Grm. Die Substanz enthielt also 0,14065 Grm.

oder 44,97 Proc. Kohlenstoff und 0,02118 Grm. oder 6,77 Proc. Wasserstoff.

II. 0,2627 Grm. derselben gaben 0,4306 Grm. Kohlensäure und 0,1574 Grm. Wasser. Im Schiffchen blieben 0,0006 Grm. Asche. 0,2621 Grm. des Aethers enthielten also 0,11744 Grm. Kohlensäure und 0,01749 Grm. Wasser, 100 Theile also 44,81 Kohlensäure und 6,67 Wasser.

•	I. II. berech		berechnet	Del	
Kohlenstoff	44,97	44,81	45,11	20 C	
Wasserstoff	6,77	6,67	6,77	18 H	
Sauerstoff	48,26	48,52	48,12	16 O	
	100.	100.	100		

Wenn es mir hiernach gelungen ist, den Zuckersäureäther rein darzustellen, so war es doch nicht möglich, in den Nebenproducten bei Bildung desselben eine Aetherzuckersäure aufzufinden. Denn die weiter oben beschriebene Aethersäure enthält zwei Atome Wasser weniger, als die Aetherzuckersäure enthalten muss, wenn wir C12 H10 O16. als die wahre Formelzusammensetzung der Zuckersäure ansehen. Auch durch anhaltendes Kochen einer Lösung von Zuckersäure in absolutem Alkohol bildet sich keine Aethersäure. Als eine solche Lösung, die vierstündigem Kochen ausgesetzt gewesen war, mit gepulvertem Marmor gesättigt worden war, wurde durch Filtration eine Flüssigkeit erhalten, die beim Verdunsten einen Syrup hinterließ, in welchem sich einige Kryställchen aussonderten. Aether zog daraus eine große Menge aus, die wieder als Syrup zurückblieb, als der Aether verdunstet wurde. Sie enthielt nur eine Spur Kalk, schmeckte bitter, war nicht sauer, bestand daher im Wesentlichen aus Zuckersäureäther. Das in Aether nicht Lösliche ward mit absolutem Alkohol ausgezogen und die Lösung unter der Luftpumpe verdampft, wobei nur eine so geringe Menge Substanz zurückblieb, dass es nicht möglich war, sie näher zu untersuchen. Das im Alkohol nicht Lösliche bestand aus zuckersaurer Kalkerde. Wenigstens gelang es nicht auf den gewöhnlichen Wegen ein ätherzuckersaures Salz daraus derzustellen.

Ein Versuch die Amidverbindung der Zuckersäure darzustellen hat keinen günstigen Erfolg gehabt. eine Lösung des Zuckersäureäthers in absolutem Alkohols und viel wasserfreiem Aethers Ammoniakgas geleitet wurde, schied sich eine braungelbe, syrupartige Flüssigkeit auf dem Boden des Gefässes ab, während einige wenige Kryställchen sich an den Wänden des Glases ansetzten. Der Aether wurde entfernt, und die Masse in Wasser gelöst. Beim Eindampfen dieser Lösung im Wasserbade entwich reichlich Ammoniak und die zur Trockne gebrachte Lösung löste sich in kaltem Wasser schwer, in heißem leicht, und beim Erkalten schied sich saures zuckersaures Ammoniak aus. Wenn daher auch vielleicht anfangs Saccharvlamid gebildet war, so ist es doch durch Wasser in zuckersaures Ammoniak verwandelt worden. Ich behalte mir vor. zu versuchen, ob, wenn bei der Einwirkung des Ammoniaks auf den Zuckersäureäther die Gegenwart des Wassers vollkommen vermieden wird, diese Amidverbindung erhalten werden kann.

Die aus vorstehender Arbeit hervorgehenden Resultate lassen sich in Folgendem zusammenfassen:

- 1) Es wird eine Methode beschrieben, mit Hülfe welcher man mehr als 10 Procent des angewendeten Zuckers an reinem sauren zuckersauren Kali erhält.
- 2) Durch Einwirkung von Salzsäuregas auf eine Lösung der Zuckersäure in absolutem Alkohol in der Kochbitze bildet sich zwar Zuckersäureäther; es gelingt jedoch nicht ihn auf diese Weise im reinen Zustande zu gewinnen.
- 3) Bei dieser Operation entsteht als Nebenprodukt eine kleine Menge einer in Wasser nicht löslichen Substanz, aus welcher durch Auflösen in Alkohol und freiwilliges Verdunsten neben einer öligen Substauz eine krystallisirte gewonnen werden kann, deren Eigenschaften so viel wie möglich studirt wurden, deren Zusammensetzung aber wegen Mangels an Material nicht ermittelt werden konnte.
- 4) Bei einem dieser Versuche wurde eine krystallisirbare Aethersäure in geringer Menge erhalten, die nicht die Zu-

sammensetzung, welche die Aetherzuckersäure haben müste, besitzt, sondern zwei Atome Wasser weniger enthält, also wahrscheinlich als die Aethersäure einer zwei Atome Wasser weniger als die Zuckersäure enthaltenden Säure zu betrachten ist. Es gelang nicht diese Säure in größerer Menge darzustellen. Ihre empirische Formel ist C¹⁶ H¹²O¹⁴.

- 5) Wird Zuckersäure mit Chlorcalcium anhaltend bei 50°C. erhitzt, bis fast alles Wasser verdunstet ist, so entwickelt sich Chlorwasserstoffsäure und zuckersaure Kalkerde bildet sich.
- 6) Eine krystallisirbare Verbindung des Zuckersäureäthers mit Chlorcalcium entsteht unter günstigen Umständen, wenn die Lösung von Zuckersäure in absolutem Alkohol, in welchen salzsaures Gas hindurchgeleitet ist, mit kohlensaurem Kalk neutralisirt und die Lösung bei gelinder Wärme eingedampft wird oder leichter und sicherer, wenn man zuckersaure Kalkerde in. wenig Alkohol vertheilt und salzsaures Gas hindurchleitet. Diese Verbindung hat die empirische Formel C²⁰ H¹⁸ O¹⁶ + Cl Ca.
- 7) Versuche, ähnliche Verbindungen des Chlorcalciums mit den Aethern der Citronen-, Weinstein- und Apfelsäure darzustellen, führten zu keinem günstigen Resultate.
- 8) Durch Zersetzung der Chlorcalciumverbindung des Zuckersäureäthers mittelst schwefelsauren Natrons und Extraction mit Aether kann der reine Zuckersäureäther dargestellt werden, der eine feste, leicht Feuchtigkeit anziehende Substanz ist. Seine Zusammensetzung wurde gleich der empirischen Formel C²⁰H¹⁸O¹⁶ gefunden.
- 9) Aetherzuckersäure von der Formel C¹⁶ H¹⁴ O¹⁶ konnte micht erzengt werden, weder durch Kochen der reinen Zückersäure mit absolutem Alkohol, wodurch vielmehr eine ziemliche Quantität Zuckersäureäther freilich im unreinen Zustande entstand, noch wurde sie als Nebenproduct bei der Zuckersäureäthererzeugung bemerkt.
- 10) Ein Versuch, die Amidverbindung der Zuckersäure durch Einwirkung von Ammoniakgas auf den in Aether gelösten Zuckersäureäther darzustellen, misslang wohl nur

deshalb, weil nicht mit genügender Sorgfalt die Gegenwart jeder Spur Wassers vermieden worden war, wodurch die Bildung des zuckersauren Ammoniaks veranlasst wurde. Er soll mit Vermeidung dieses Fehlers wiederholt werden.

IV. Ueber die mittlere Länge der VVege, welche bei der Molecularbewegung gasförmiger Körper von den einzelnen Molecülen zurückgelegt werden; nebst einigen anderen Bemerkungen über die mechanische VVärmetheorie; von R. Clausius.

In der im Februarhefte dieser Annalen enthaltenen Abhandlung von Buijs-Ballot ȟber die Art von Bewegung, welche wir Wärme und Elektricität nennen«, sind gegen die Ansichten, welche Joule, Krönig und ich über die Molecularbewegungen in gasförmigen Körpern ausgesprochen haben, einige Einwendungen gemacht, unter denen besonders folgende hervorzuheben ist. Es wird darauf hingedeutet, dass, wenn die Molectile sich geradlinig bewegten, dadurch eine schnelle Vermischung von Gasmassen, welche mit einander in Berührung sind, entstehen müsste, was in der Wirklichkeit nicht stattfindet. Zum Beweise des Letzteren werden auf S. 250 folgende Thatsachen angeführt. » Wie kommt es denn, dass Tabacksrauch sich in Zimmern so lange in unbewegten Lagen ausbreitet?« und dieselbe Erscheinung wird auch von Rauchwolken in freier Luft erwähnt. Ferner: » wenn in einer Ecke eines Zimmers Schwefelwasserstoff- oder Chlorgas entwickelt wird, so verstreichen ganze Minuten ehe man es in der anderen Ecke riecht, während doch die Gastheilcheu das Zimmer in einer einzigen Sekunde hunderte Male hätten durchlaufen müssen.« Endlich: "wie könnte denn auch Kohlensäuregas in einem offenen Gefässe so lange verweilen?«

Da diese Einwendungen auf den ersten Blick als sehr schlagend erscheinen können, so halte ich es für nöthig, durch besondere Betrachtungen nachzuweisen, dass die angeführten Thatsachen mit der Theorie von der geradlinigen Bewegung der Molecüle ganz wohl vereinbar sind. Die Anregung dieses Gegenstandes durch Hrn. Buijs-Ballot ist mir sogar in sosern angenehm, als sie mir eine erwitnschte Gelegenheit darbietet, den betreffenden Theil der Theoriewelchen ich in meiner früheren Abhandlung vielleicht etwas zu kurz behandelt habe, zu vervollständigen, und dadurch ferneren Misverständnissen vorzubeugen.

2. Es wird in den Einwendungen vorausgesetzt, daß die Molecüle bedeutende Strecken in gerader Linie durchlaufen, was besonders in der zweiten bestimmt hervortritt. wo gesagt wird, dass ein Molecul in Einer Sekunde das Zimmer viele Male hätte durchlaufen müssen. Diese Voraussetzung darf aber in keiner Weise als eine nothwendige Folge der von mir ausgesprochenen Ansichten über den Zustand der Gase betrachtet werden. Ich habe unter den Bedingungen, welche erfüllt seyn müssten, wenn für ein Gas das Mariotte'sche und Gav-Lussac'sche Gesetz ganz streng gültig sevn sollte, folgende angeführt, » dass die Theile des von einem Molecüle beschriebenen Weges, auf welchem die Molecularkräste von Einfluss sind, indem sie die Bewegung des Molecüls in Richtung oder Geschwindigkeit merklich ändern, gegen die Theile des Weges, auf welchem die Kräfte als unwirksam betrachtet werden können, verschwinden.« Bei den in der Wirklichkeit vorhandenen Gasen ist nun das Mariotte'sche und Gav-Lussac'sche Gesetz nicht streng, sondern nur angenähert gültig, und daraus folgt, dass bei ihnen jene ersten Theile des Weges gegen den ganzen Weg zwar kleine, aber nicht gerade verschwindend kleine seyn müssen. eine der Grundbedingungen, auf welchen die ganze Theorie beruht, die ist, dass die Molecularkräfte nur bis in geringe Entfernungen von den Molecülen merkbar sind, so kann ein Weg, der im Verhältnis zur Wirkungssphäre

eines Moleculs groß ist, doch, absolut genommen, noch sehr klein seyn.

Man kann sich durch einige einfache Betrachtungen eine ungefähre Vorstellung von der mittleren Größe der Wege, welche die einzelnen Molecüle zurücklegen, bilden, und ich will versuchen dieses im Folgenden auseinanderzusetzen.

3. Dazu wird es zweckmäsig seyn, zunächst einige Bemerkungen darüber vorauszuschicken, wie man sich die Molecularkräfte möglicherweise vorstellen kann, und was man sich demgemäs unter der Wirkungssphäre zu denken hat. Diese Bemerkungen sind nicht als ein wesentlicher Bestandtheil der weiterhin folgenden Entwickelung zu betrachten, sondern sollen nur dazu dienen, die Ideen zu fixiren.

Wenn wir von den Kräften der chemischen Verwandtschaft absehen, und nur solche Molecüle betrachten, die chemisch gegen einander indifferent sind, so glaube ich, dass man noch zwei Kräfte unterscheiden muß, dass nämlich bei der Annäherung zweier Molecüle zuerst eine Anziehungskraft wirkt, welche schon in einiger Entfernung anfängt merkbar zu werden, und mit Abnahme der Entfernung wächst: dass dann aber, wenn die Molecüle in unmittelbare Nähe zu einander gelangt sind, eine Kraft eintritt, welche sie wieder auseinander zu treiben sucht. Wie man sich die letzteren denken will, ob so wie bei festen elastischen Körpern, die erst, wenn sie in wirklicher Berührung sind, und mit einer gewissen Kraft zusammengedrückt wurden, sich mit derselben Kraft wieder auseinander treiben, oder so dass sie schon vor der wirklichen Berührung der Molecüle eintritt, ist für die hier beabsichtigte Betrachtung gleichgültig. Ebenso kann der Ursprung dieser Kräfte, ob man sie beide den ponderablen Massentheilchen selbst, oder eine von ihnen einem feineren Stoffe, mit dem die ponderablen Massentheilchen begabt seyn können, zuschreiben will, hier unerörtert bleiben.

Denken wir uns nun zwei Molectile, die sich in solchen Richtungen bewegen, dass sie, wenn sie diese Richtungen Poggendorst's Annal. Bd. CV.

in einiger Entfernung aneinander vorbeigehen würden, so können verschiedene Fälle eintreten. Ist die Entfernung sehr klein, so kommen die Molecüle, welche durch die schon aus einiger Entfernung wirkende Anziehungskraft noch mehr zu einander gezogen werden, sich so nahe, dass die abstosende Kraft wirksam wird und ein Abprallen der Molecüle stattsindet. Ist die Entfernung etwas größer, so erleiden die Bahnen der Molecüle nur durch die Anziehungskraft eine gewisse Richtungsänderung, ohne dass die Abstostosungskraft dabei in Wirksamkeit treten kann. Endlich bei noch größeren Entfernungen ist der Einflus der Molecüle auf einander ganz zu vernachlässigen.

Wie groß die Entfernungen seyn müssen, damit das eine oder das andere eintritt, würde sich, selbst wenn man über die Molecularkräfte genaue Kenntniss hätte, nicht allgemein bestimmen lassen, indem dabei auch die Geschwindigkeit der Molecüle und die gegenseitige Neigung ihrer Bahnen in Betracht kommen, indessen würde man doch mittlere Werthe dieser Entfernungen angeben können. Wir wollen daher annehmen, es sey als ein solcher Mittelwerth die Entfernung oggeben, welche die Gränze zwischen dem ersten und zweiten Fall bildet, und deren Bedeutung wir noch etwas bestimmter folgendermaßen feststellen wollen. Wenn die Schwerpunkte zweier Molecüle solche Bewegungsrichtungen haben, dass sie, wenn sie sich in diesen Richtungen geradlinig fortbewegten, in einer Entfernung an einander vorbeigehen würden, die größer als ρ ist, so ändern die Molecüle nur durch die gegenseitige Anziehung die Richtungen ihrer Bahnen etwas, ohne dass eine auseinandertreibende Kraft zwischen ihnen eintritt; ist dagegen jene Entfernung kleiner als ϱ , so tritt auch die letztere Kraft in Thätigkeit, und es findet ein Abprallen der Molecüle statt.

Wenn wir nun unter Zusammenstofs zweier Molecüle nur den letzteren Fall verstehen, und dagegen die Richtungsänderungen, welche bei größeren Entfernungen durch die Anziehung verursacht werden, außer Acht lassen, so können wir für unsere hier beabsichtigten Batrachtungen eine um den Schwerpunkt des Molecüls als Centrum mit dem Radius ϱ beschriebene Kugel als die *Wirkungssphäre* des Molecüls bezeichnen.

Ich will noch einmal hervorheben, dass die hierbei gemachten speciellen Annahmen über die Natur der Molecularkräfte nicht als eine nothwendige Bedingung für die Gültigkeit der folgenden Entwicklungen anzusehen sind, sondern dass sie nur dazu dienen sollten, der Vorstellung einen gewissen Anhaltspunkt zu geben, und dadurch das Verständniss zu erleichtern. Wie man sich auch die Kräfte. durch welche die Molecüle ihre Bewegungsrichtungen gegenseitig ändern, denken mag, wenn man nur zugiebt, dass ihre Wirkungen nur bis in sehr kleine Entfernungen merkbar sind, so wird man immer eine Entfernung als Gränz. werth annehmen können, mit der Bestimmung, dass die Wirkungen in größere Entfernungen hinaus vernachlässigt und nur die Wirkungen in kleineren Entfernungen berücksichtigt werden sollen, und eine mit dieser Entfernung beschriebene Kugel kann man dann als Wirkungssphäre bezeichnen.

4. Denkt man sich nun in einem gegebeuen Raume eine große Menge von Molecülen, welche sich unregelmäßig durcheinander bewegen, und wählt eins unter ihnen zur Betrachtung aus, so wird dieses bald hier bald dort gegen eins der anderen Molecüle stoßen, und von ihm abprallen, und es entsteht nun für uns die Frage, wie groß die mittlere Weglänge zwischen zwei solchen Zusammenstößen ist, oder genauer ausgedrückt, wie weit sich das Molecül durchschnittlich bewegen kann, bis sein Schwerpunkt einmal in die Wirkungssphäre eines anderen Molecüles kommt.

Wir wollen diese Frage jedoch nicht ohne Weiteres in der vorstehenden Form behandeln, sondern wollen statt ihrer eine etwas einfachere stellen, welche mit ihr in solcher Verbindung steht, dass man aus der Lösung der einen auf die der anderen schließen kann.

Nimmt man an, dass die in dem Raume befindlichen Molecüle nicht sämmtlich in Bewegung seven, sondern dass nur das eine zur Betrachtung ausgewählte Molecül sich bewege, und alle anderen in festen Lagen beharren, so wird auch unter diesen Umständen das bewegliche Molecul bald hier bald dort gegen eins der anderen stofsen, und man kann nun die Anzahl der Anstöße, welche es in diesem Falle während einer Zeiteinheit erleidet, mit derjenigen vergleichen, welche es im Falle der allgemeinen Bewegung erleiden würde. Bei näherer Betrachtung des Gegenstandes überzeugt man sich bald, dass die Anzahl der Anstöße unter bewegten Molecülen größer seyn muß, als unter ruhenden, oder was dasselbe ist, dass die mittlere Länge der Wege, welche das betrachtete Molecul zwischen je zwei Anstößen zurücklegt, im ersteren Falle kleiner sevn muß als im letzteren. Das Verhältnis zwischen den beiden mittleren Weglängen lässt sich bestimmt berechnen, sobald die Geschwindigkeit der übrigen Molecule im Verhältnis zu der des betrachteten gegeben ist. Für unsere Untersuchungen ist nur der Fall von besonderem Interesse, wo die Geschwindigkeiten aller Molecüle durchschnittlich gleich groß sind, wofür wir dann, wenn wir nur die mittleren Geschwindigkeiten betrachten, einfacher annehmen können, dass alle Molecüle sich gleich schnell bewegen, und für diesen Fall erhält man folgendes Resultat. Die mittleren Weglängen für die beiden Fälle, wo die übrigen Molecüle entweder sich ebenso schnell bewegen wie das betrachtete. oder in Ruhe sind, verhalten sich wie 3:1.

Der Beweis für die Richtigkeit dieses Verhältnisses würde nicht schwierig seyn, indessen ist es nicht nothwendig, dass wir uns damit aufhalten, da es sich bei unserer Betrachtung über den mittleren Weg nicht darum handelt, den genauen Zahlenwerth desselben zu bestimmen, sondern nur einen ungefähren Begriff von seiner Größe zu erhalten, und daher auch die genaue Kenntniß jenes Verhältnisses nicht erforderlich ist. Für unseren Zweck genügt es schon, wenn nur als feststehend angenommen werden darf, dass der mittlere Weg unter bewegten Molecülen nicht größer seyn kann, als unter ruhenden, und das wird wohl ohne Weiteres zugestanden werden. Wir wollen daher unter dieser Voraussetzung die wirkliche Behandlung der Frage auf den Fall beschränken, wo nur das betrachtete Molecül sich bewegt, während alle anderen in Ruhe sind.

Außerdem können wir noch, ohne irgend etwas an der Sache zu ändern, statt des bewegten Molecüls einen bloßen bewegten Punkt substituiren, da doch nur der Schwerpunkt des Molecüls in Betracht kommt.

Es sey also ein Raum gegeben, in welchem sich eine große Menge von Molecülen befindet, ohne regelmäßige Anordnung, nur mit der Bedingung, dass die Dichtigkeit überall gleich sey, d. h. dass sich in gleichen Raumtheilen gleich viel Molecüle befinden. Die Bestimmung der Dichtigkeit kann auf eine für unsere Untersuchungen zweckmässige Weise dadurch geschehen, dass angegeben wird, wie weit zwei einander zunächstliegende Molecule von einander entfernt seyn würden, wenn die Molecüle cubisch angeordnet wären, d. h. so angeordnet, dass man sich den ganzen Raum in lauter gleiche, sehr kleine würfelförmige Räume zerlegt denken könnte, in deren Eckpunkten die Centra der Molecüle lägen. Diese Entfernung, also die Seite eines der kleinen Würfel, wollen wir mit à bezeichnen, und wollen sie den mittleren Abstand der Nachbarmolecüle nennen.

Wenn nun durch diesen Raum ein Punkt sich geradlinig bewegt, so wollen wir uns senkrecht zu seiner Bewegungsrichtung den Raum in parallele Schichten zerlegt denken und bestimmen, wie groß die Wahrscheinlichkeit dafür ist, daß der Punkt eine Schicht von der Dicke x frei durchläuft, ohne die Wirkungssphäre eines Molecüls zu treffen.

Nehmen wir zuerst eine Schicht von der Dicke I, und bezeichnen die Wahrscheinlichkeit dafür, dass der Punkt beim Durchlaufen derselben keine Wirkungssphäre trifft, als Bruchtheil der Einheit, mit a, so ist die entsprechende Wahrscheinlichkeit für eine Schicht von der Dicke 2 gleich a2, denn wenn man sich diese Schicht in zwei Schichten von der Dicke 1 zerlegt denkt, so muss man die Wahrscheinlichkeit, welche dafür gilt, dass der Punkt die erste Schicht frei durchläuft und daher zur zweiten gelangt, mit der Wahrscheinlichkeit, welche für das Durchlaufen der letzteren gilt, multipliciren. Ebenso erhält man für eine Schicht von der Dicke 3 den Ausdruck a3 u. s. f. und für eine Schicht von der beliebigen Dicke x kann man demgemäß schreiben a'. Diesen Ausdruck wollen wir noch dadurch umformen, dass wir statt a setzen e-a, worin e die Basis der natürlichen Logarithmen bedeutet, und $-\alpha = \log$ nat. α ist, welcher Logarithmus negativ sevn muss, weil a kleiner als 1 ist. Bezeichnen wir nun die Wahrscheinlichkeit für das freie Durchlaufen einer Schicht von der Dicke z mit W. so haben wir die Gleichung:

(1)
$$W = e^{-\alpha x}$$
.

und es kommt nur noch darauf an, die hierin vorkommende Constante a zu bestimmen.

Dazu betrachten wir eine Schicht von so geringer Dicke, dass wir die höheren Potenzen der Dicke gegen die erste vernachlässigen können. Nennen wir diese Dicke d und die entsprechende Wahrscheinlichkeit W_2 , so geht die vorige Gleichung über in:

(2)
$$W_i = e^{-ai} = 1 - ai$$
.

Andererseits können wir für diesen Fall die Wahrscheinlichkeit auch durch einige besondere Betrachtungen direct bestimmen. Wählen wir in der Schicht irgend eine den Gränzebenen parallele Ebene zur Betrachtung aus, und denken uns die sämmtlichen Molecüle, deren Centra in der Schicht liegen, senkrecht zur Dicke der Schicht so verschoben, dass ihre Centra in diese Ebene fallen, so brauchen wir nur zu fragen, wie groß die Wahrscheinlichkeit ist, dass der Punkt beim Durchgange durch diese Ebene keine Wirkungssphäre trifft, und diese Wahrscheinlichkeit

läset sich auf einfache Weise durch das Verhältniss zweier Flächenräume darstellen. Von dem ganzen Stücke der Ebene, welches innerhalb des gegebenen Raumes liegt, wird ein gewisser Theil von den größten Kreisen der Wirkungssphären, deren Centra sie enthält, bedeckt, während der übrige Theil für den Durchgang frei ist, und die Wahrscheinlichkeit des ungehinderten Durchganges wird daher ausgedrückt durch das Verhältnis des freien Theiles der Ebene zur ganzen Ebene.

Aus der Art, wie zu Anfang dieses Artikels die Dichtigkeit bestimmt wurde, ergiebt sich, dass in einer Schicht von der Dicke λ so viele Molecüle enthalten seyn müssen, dass, wenn man sich dieselben in eine und dieselbe den Gränzebenen parallele Ebene gebracht, und in dieser Ebene noch quadratisch angeordnet denkt, dann die Seite der kleinen Quadrate, in deren Eckpunkten sich die Centra der Molecüle befänden, gleich λ seyn würde. Daraus folgt, dass der Theil der Ebene, welcher von den größten Kreisen der Wirkungssphären bedeckt wäre, sich zur ganzen Ebene verhalten würde, wie Ein größter Kreis zu einem Quadrate von der Seite λ , so dass also der bedeckte Flächenraum als Bruchtheil des ganzen Flächenraums durch

$$\frac{\pi \varrho^2}{\lambda^2}$$

dargestellt wäre. Um die entsprechende Größe für eine Schicht von der Dicke δ zu erhalten, braucht man die vorige nur mit $\frac{\delta}{\lambda}$ zu multipliciren, also

$$\frac{\pi \varrho^2}{13} \delta$$
,

und wenn man diese Größe von 1 abzieht, so stellt die Differenz den freien Theil der Ebene als Bruchtheil der ganzen Ebene dar.

Demnach ist die Wahrscheinlichkeit dafür, dass der Punkt durch unsere Ebene, oder, was auf dasselbe hinauskommt, durch eine Schicht von der Dicke δ ungehindert hindurchgeht, bestimmt durch die Gleichung:

(3)
$$W_{\delta} = 1 - \frac{\pi \varrho^3}{\lambda^3} \delta$$
,

und wenn man diesen Ausdruck von W_δ mit dem in Gleichung (2) gegebenen vergleicht, so ergiebt sich, dass

(4)
$$\alpha = \frac{\pi \varrho^2}{1^3}$$

seyn muss, und dadurch geht die allgemeine Gleichung (1) über in:

(5)
$$W = e^{-\frac{\pi \varrho^3}{\lambda^2} \cdot x}$$

 Mit Hülfe dieser Gleichung können wir nun den Mittelwerth der Wege, welche der Punkt zu durchlaufen hat, bis er einmal eine Wirkungssphäre trifft, bestimmen.

Nehmen wir an, es würde eine große Anzahl N von Punkten in gleicher Richtung durch den Raum geworfen, und denken wir uns den Raum senkrecht zur Bewegungsrichtung in sehr dünne Schichten getheilt, so wird eine kleine Anzahl der Punkte schon in der ersten Schicht von den Wirkungssphären aufgefangen werden, eine andere Anzahl in der zweiten, eine andere in der dritten u. s. f. Wenn man nun jede dieser kleineren Zahlen mit der dazugehörigen Weglänge multiplicirt, die dadurch entstehenden Producte addirt, und die erhaltene Summe durch die ganze Zahl N dividirt, so ist der Quotient die mittlere Weglänge, welche wir suchen.

Nach Gleichung (5) wird die Anzahl der Punkte, welche die Entsernung z vom Ausgangspunkte der Bewegung erreichen oder überschreiten, durch

$$Ne^{-\frac{\pi\varrho^2}{\lambda^2}x}$$

dargestellt, und dem entsprechend die Anzahl, welche die Entfernung x+dx erreichen oder überschreiten, durch

$$Ne^{-\frac{\pi \varrho^2}{\lambda^3}(x+dx)} = Ne^{-\frac{\pi \varrho^2}{\lambda^3}x} \left(1 - \frac{\pi \varrho^2}{\lambda^3}dx\right).$$

Die Differenz dieser beiden Ausdrücke, nämlich

i.

$$Ne^{-\frac{\pi\varrho^2}{\lambda^3}x}\cdot\frac{\pi\varrho^2}{\lambda^2}dx$$

stellt die Anzahl derjenigen Punkte dar, welche auf der Strecke von x zu x+dx aufgefangen werden. Der Weg, welchen diese Punkte zurückgelegt haben, ist, wenn wir unendlich kleine Abweichungen vernachlässigen, gleich x zu setzen, und mit dieser Länge müssen wir also den vorigen Ausdruck multipliciren, um eines der vorher erwähnten Producte zu erhalten, nämlich

$$Ne^{-\frac{\pi \varrho^2}{\lambda^3}x} \cdot \frac{\pi \varrho^2}{\lambda^3} x \, dx.$$

Wenn man nun von allen Producten dieser Art, welche den verschiedenen Schichten von der Dicke dx entsprechen, die Summe bilden soll, so muß dieses natürlich im vorliegenden Falle, wo die Schichten unendlich dünn sind, durch Integration geschehen. Man hat also die vorige Formel von x=0 bis $x=\infty$ zu integriren, wodurch folgender Ausdruck entsteht:

$$N\frac{\lambda^3}{\pi o^2}$$
.

Diesen Ausdruck braucht man nur noch durch N zu dividiren, um die gesuchte mittlere Weglänge zu bekommen. Nennt man diese I, so lautet die Gleichung:

$$(6) \quad l' = \frac{\lambda^3}{\pi \varrho^2}.$$

In dem Falle, wo nicht blos Ein Molecül in Bewegung ist, während alle anderen sich in Ruhe befinden, sondern wo alle Molecüle sich gleich schnell bewegen, ist die mittlere Weglänge, wie oben erwähnt, im Verhältnisse von \(^3\): 1 kleiner als im vorher betrachteten. Man erhält also, wenn man für diesen Fall das einfache Zeichen \(^l\) wählt:

(7)
$$l = \frac{3}{4} \frac{\lambda^3}{\pi \varrho^2}$$

Wenn man diese Gleichung in folgender Form schreibt:

$$(7_a) \quad \frac{l}{\varrho} = \frac{\lambda^3}{\frac{1}{2}\pi \, \varrho^3},$$

so ergiebt sich daraus ein einfacher Satz. Aus der Art, wie wir die Dichtigkeit bestimmt haben, folgt, dass der Theil des gegebenen Raumes, welcher von den Wirkungssphären der Molecüle ausgefüllt wird, sich zum ganzen gegebenen Raume verhält, wie Eine Wirkungssphäre zu einem Würfel von der Seite λ, also wie

Demnach läst sich die Bedeutung der vorigen Gleichung folgendermassen aussprechen. Die mittlere Weglänge eines Molecüls verhält sich zum Radius der Wirkungssphären, wie der von dem Gase im Ganzen eingenommene Raum zu dem Theile des Raumes, welcher von den Wirkungssphären der Molecüle wirklich ausgefüllt wird.

7. Um ein bestimmtes Zahlenbeispiel zu haben, wollen wir einmal in runder Zahl annehmen, die Wirkungssphären der Molecüle seyen so klein, dass nur ein Tausend stel des von dem Gase eingenommenen Raumes von den Wirkungssphären wirklich ausgefüllt werde, und der ganze übrige Theil des Raumes für die Bewegung frei sey.

Für diesen Fall hat man:

$$\frac{\lambda^3}{\frac{1}{3}\pi\varrho^3} = 1000,$$

woraus folgt:

(8)
$$\frac{\lambda}{\rho} = 16,12.$$

Durch Anwendung dieses Werthes erhält man aus den Gleichungen (6) und (7):

$$(9) \quad l = 1333 \varrho = 83 \lambda$$

(10)
$$l = 1000 \varrho = 61 \lambda$$
.

Die ersten Ausdrücke in beiden Gleichungen zeigen, dass unter der gemachten Annahme der mittlere Weg im Verhältnisse zum Radius der Wirkungssphären eine bedeutende Länge hat, und dass daher, soweit es auf den Einsluss dieses Umstandes ankommt, das Mariotte'sche und Gay-Lussac'sche Gesetz schon mit großer Annäherung für das Gas gelten kann. Durch einige einfache Rech-

nungen lässt sich nachweisen, dass das Verhältniss von 1000: 1 selbst für diejenigen Annäherungen, welche Regnault bei den permanenten Gasen gefunden hat, schon vollkommen ausreicht. Man kann daher die als Beispiel angenommene Größe der Wirkungssphären, obwohl sie willkührlich gewählt ist, wenigstens als eine solche ansehen, die innerhalb der Gränzen der Möglichkeit liegt.

Betrachten wir nun aber dieselbe mittlere Weglänge in der Weise, dass wir sie nicht mit Moleculardimensionen, sondern mit unseren gewöhnlichen Längeneinheiten vergleichen, so erhalten wir ganz andere Verhältnisse. allen physikalischen und chemischen Untersuchungen, bei denen man Gelegenheit hat, über die Größe und das Gewicht der einzelnen Molecüle Schlüsse zu ziehen, wird man immer darauf hingeführt, dass die Molecüle im Verhältnisse zu allen messbaren Größen ganz außerordentlich klein seyn müssen, ohne dass man bisjetzt jemals dazu gelangt wäre, auch nach der unteren Seite, (für die Kleinheit), eine Gränze angeben zu können. Man muss daher, wenn eine gewöhnliche Raumeinheit, z. B. ein Litre, unter dem gewöhnlichen atmosphärischen Drucke mit Gas gefüllt ist, annehmen, dass die Anzahl der darin enthaltenen Molecüle sehr groß, und daher der Abstand der Molecüle sehr klein ist. Demgemäß sind auch die vorher für l' und l gefundenen Werthe 83 \(\) und 62 \(\) noch als kleine Größen zu betrachten.

8. Nachdem wir im Vorstehenden die Länge des mittleren Weges bestimmt haben, bleibt uns noch zu untersuchen, wie sich die einzelnen wirklich vorkommenden Wege zum mittleren Wege verhalten.

Zunächst entsteht die Frage, wie sich die Anzahl der Fälle, in welchen der wirkliche Weg kleiner als der mittlere ist, zur Anzahl derer verhält, in welchen er größer ist. Zur Beantwortung dieser Frage dient die Gleichung (5), in welcher man nur für x den mittleren Weg l zu setzen braucht, um die Wahrscheinlichkeit dafür, daß der wirkliche Weg gleich oder größer als der mittlere ist, zu ex-

halten. Wendet man hierbei für l den in (6) gegebenen Ausdruck an, und bezeichnet den betreffenden Werth von W mit W_1 , so kommt

(11)
$$W_1 = e^{-1} = 0.3679$$
,

woraus folgt, dass unter N Fällen nur

0,3679 N

Fälle vorkommen, in welchen der wirkliche Weg gleich oder größer als der mittlere ist, während in den übrigen

0,6321 N

Fällen der wirkliche Weg kleiner ist.

Fragt man ferner nach der Anzahl von Fällen, in welchen der wirkliche Weg die zweifache, dreifache etc. Länge des mittleren Weges erreicht oder übertrifft, so kann man dasselbe Verfahren, wie vorher, anwenden. Nennt man die betreffenden Wahrscheinlichkeiten W_2 , W_3 etc. so kommt:

(12)
$$\begin{cases} W_2 = e^{-2} \\ W_3 = e^{-3} \\ \text{etc.} \end{cases}$$

Diese Zahlen nehmen offenbar sehr schnell ab, indem z. B. $e^{-10} = 0.000045$

ist, und man sieht daraus, dass, wenn auch einzelne Fälle vorkommen, in welchen ein Molecül einen beträchtlich längeren Weg als den mittleren zurücklegt, diese Fälle doch verhältnismässig selten sind, und dass in der überwiegenden Mehrzahl von Fällen die wirklichen Wege kleiner oder nur wenig größer sind, als der oben gefundene kleine Mittelwerth.

9. Wendet man nun diese Resultate auf das äußerlich wahrnehmbare Verhalten der Gase an, wobei vorausgesetzt werden soll, daß außer den Molecularbewegungen
keine anderen, den ganzen Massen gemeinsame Bewegungen vorkommen, so überzeugt man sich leicht, daß die
Theorie, welche die Expansivkraft der Gase aus geradlinigen Bewegungen der Molecüle erklärt, nicht zu dem Schlusse
führt, daß zwei aneinander gränzende Gasmassen sich schnell

und stürmisch vermischen müssen, sondern dass nur eine verhältnismäsig kleine Anzahl von Molecülen schnell in größere Entfernungen gelangen kann, während die Hauptmassen sich nur allmählich an den Gränzflächen mischen können.

Demnach ist es erklärlich, weshalb Rauchwolken in ruhiger Luft ihre Gestalt nur langsam verändern. bewegter Luft, wenn die Bewegung nur in einem gleichmässigen Strömen der ganzen Masse besteht, können Rauchwolken mit fortgeführt werden, ohne deshalb ihre Gestalt schnell ändern zu müssen. Ebenso einfach erklären sich auch die beiden anderen von Buijs-Ballot angeführten Thatsachen. Die von ihm bei einer derselben gemachte Bemerkung, dass die Gastheilchen das Zimmer in einer einzigen Sekunde hunderte Male durchlaufen müssten, ist der Theorie durchaus fremd. Vielleicht könnte man von einer Stelle, welche in der meiner früheren Abhandlung beigefügten mathematischen Entwicklung vorkommt, sagen, daß sie zu einer solchen Vorstellung Veranlassung gebe. habe nämlich dort vorausgesetzt, dass sich das Gas in einem sehr flachen Gefässe befinde, und habe dann angenommen dass die Gasmolecüle, ohne sich gegenseitig zu stören, zwischen den beiden großen parallelen Wänden hin- und herfliegen. Indessen habe ich dort die Annahme mit folgenden Worten eingeleitet: "man kann bei der Bestimmung des Druckes, statt die Bewegung ganz so zu betrachten, wie sie wirklich stattfindet, einige Vereinfachungen einführen, « und dadurch glaube ich bestimmt genug darauf aufmerksam gemacht zu haben, dass die Annahme nicht dazu dienen sollte, ein Bild von dem wirklichen Vorgange zu geben, sondern nur die dort beabsichtigte Rechnung, deren Resultat dadurch nicht geändert werden konnte, zu erleichtern.

10. Die ferneren Einwendungen, welche Buijs-Ballot gegen die geradlinige Bewegung der Molecüle macht, scheinen mir weniger erheblich zu seyn. Wenn er auf S. 251 sagt, dass nach dieser Hypothese unsere Atmosphäre

keine Gränze haben könnte, so kann ich den Grund davon nicht einsehen. Was zunächst die allmähliche Abnahme der Dichtigkeit mit der Höhe betrifft, so lässt sich aus iener Hvpothese nichts anderes schließen, als was man auch ohne dieselbe unter Annahme des Mariotte'schen und Gav-Lussac'schen Gesetzes schließen kann, und wenn man die äußersten Luftmolecüle der Atmosphäre betrachtet, welche, wenn sie noch höher fliegen, im Allgemeinen gegen kein Molecül mehr stoßen, und annimmt, daß eins derselben in dieser Höhe noch einen Stoß erhält, der es mit der Geschwindigkeit von einigen hundert Metern aufwärts treibt, so ist leicht zu sehen, dass es darum doch noch nicht ganz von der Erde fortsliegen kann, sondern vielmehr durch den Einfluss der Schwere allmählich seine Geschwindigkeit verlieren, und zuletzt umkehren und wieder der Erde zufliegen muss.

Wenn ferner auf derselben Seite gesagt wird, dass sich die Entstehung von Wärmewellen nicht daraus erklären lasse, dass nin dem Hin- und Hergange der Theilchen von der einen Wand zur anderen etwas Periodisches ist, so stimme ich dem vollkommen bei, und ich habe auch nie daran gedacht, die Wärmestrahlung auf diese Weise erklären zu wollen. Andererseits glaube ich aber auch nicht, dass in dem Vorhandenseyn von geradliniger Bewegung neben anderen Bewegungen ein Hinderniss für die Erklärung der Wärmestrahlung liegt.

Endlich wird in der Abhandlung von Buijs-Ballot noch ein Punkt erwähnt, welcher die mechanische Wärmetheorie im Allgemeinen betrifft. Es wird nämlich auf S. 243 der absolute Nullpunkt der Temperatur als etwas Ungereimtes bezeichnet, weil absolute Ruhe in der Natur nicht denkbar ist, und weiterhin S. 253, bei der Betrachtung gasförmiger Körper, wird von dem Schluss, welchen ich über die Constante eines Integrals gezogen habe, gesagt, dass er nicht mehr gestattet sey, wenn man den absoluten Nullpunkt längne. Indessen glaube ich, dass hierbei die Bedeutung des absoluten Nullpunktes nicht ganz richtig auf-

gefast ist. Wenn ein Quantum Gas sich bei der Temperatur des Gefrierpunktes befindet, so besitzen seine Molecüle durch ihre Bewegungen eine gewisse lebendige Kraft, welche sich durch Zahlen ausdrücken lassen muß, und welche man daher auch mit derjenigen Zunahme der lebendigen Kraft, die bei der Erwärmung um einen Grad stattsindet, vergleichen kann. Wenn nun gesagt wird, der absolute Nullpunkt liegt 273° unter dem Gefrierpunkte, so soll das nur bedeuten, daß der Zuwachs an lebendiger Kraft, welcher bei der Erwärmung des Gases um einen Grad stattfindet, sich zu der beim Gefrierpunkte schon in ihm vorhandenen lebendigen Kraft verhält wie 1:273, und ich denke darin liegt nichts ungereimtes. Ob man einen Körper wirklich bis zum absoluten Nullpunkte abkühlen kann, ist dabei ganz gleichgültig.

11. In einem noch neueren Hefte dieser Annalen vom Juni d. J. ist ein Aufsatz von Hoppe erschienen, in welchem ebenfalls gegen die Theorie der geradlinigen Bewegung der Gasmolecüle Einwendungen gemacht werden.

Der Haupteinwand bezieht sich wieder darauf, dass die Annahme solcher Bewegungen, bei denen die Molecüle weite Strecken in gerader Linie zurücklegten, mit bekannten Thatsachen im Widerspruch stehen würde, und diesen Punkt glaube ich im Vorigen abgemacht zu haben durch den Nachweis, dass die von der Theorie vorausgesetzten Wege nur sehr kurz sind. Demnach ist auch die Bemerkung, dass unter der Annahme der geradlinigen Bewegung eine lokale Temperatur in dem Gase undenkbar sey, nicht gerechtsertigt.

Ferner erwähnt Hoppe eine Stelle von F. Eisenlohr'), worin dieser davon spricht, dass die Expansivkraft der Gase sich nicht aus einer Abstossung, welche die Molecüle in ihren mittleren Entfernungen auf einander ausüben, erklären lasse, weil eine Abstossung der Luftmolecüle der Erfahrung widerspreche. Hoppe zieht das letztere in Zweifel; dabei scheint er aber eine Thatsache, welche Eisen-

¹⁾ Kritische Zeitschrift für Chemie, Physik und Mathematik Heft 1, S. 56 und 57

lohr anführt, unbeachtet gelassen zu haben, nämlich die, dass bei der Ausdehnung eines permanenten Gases keine innere Arbeit gethan wird, oder wenigstens nur eine solche, die im Verhältniss zur äußeren Arbeit, welche das Gas bei der Ueberwindung des Gegendruckes thun kann, sehr klein ist. Dass dieses der Fall seyn muss, habe ich schon in meiner ersten Abhandlung über die mechanische Wärmetheorie 1) aus dem sonstigen Verhalten der permanenten Gase geschlossen, und später ist dasselbe durch Versuche von Regnault, und besonders durch die schönen Untersuchungen von W. Thomson und Joule 2) vollkommen bestätigt, so dass es jetzt als eine feststehende Thatsache zu betrachten ist. Aus dieser Kleinheit der inneren Arbeit im Vergleich zur äußeren folgt weiter mit Nothwendigkeit, dass die Kräfte, welche die Molecule in ihren mittleren Entfernungen auf einander ausüben, gegen diejenigen, welche nöthig seyn würden, um daraus die Expansivkraft des Gases zu erklären, sehr klein seyn müssen. Außerdem ist noch ein anderer Umstand wohl zu beachten. Die geringe innere Arbeit, welche nach den Versuchen von Thomson und Joule stattfindet, ist von der Art, dass man daraus schließen muß, dass die kleinen Kräfte, welche die Molecüle in ihren mittleren Entfernungen auf einander ausüben, nicht Abstossungen sondern Anziehungen sind.

Ich habe in meiner Abhandlung "über die Art der Bewegung, welche wir Wärme nennen, die Ansicht aufgestellt, dass die Molecüle gasförmiger Körper ausser der fortschreitenden Bewegung noch andere Bewegungen besitzen, und dass sich zwischen diesen verschiedenen Bewegungen bei einem bestimmten Gase immer ein constantes Verhältnis herstelle. Dieses fast Hoppe so auf, als ob schon bei jedem einzelnen Molecüle das constante Verhältnis stattsinden solle, und erklärt dieses für unrichtig. Er sagt darüber (S. 285): "Nach Grundsätzen der Wahrscheinlichkeits-

¹⁾ Diese Ann. Bd. LXXIX, S. 392.

²⁾ London Phil. Trans. Vol. 143 and 144 for the years 1853 and 1854.

rechnung ist die durchschnittliche Abweichung des Antheils an lebendiger Kraft, welche den verschiedenen Bewegungsarten zukommt, allerdings verschwindend klein, so groß auch immer die mögliche Abweichung seyn mag. Nur eine wirkliche physische Ausgleichung, wie sie Clausius behauptet, eine allmähliche Annäherung an einem Beharrungszustand, wird nicht stattfinden, wenn die Wege der Molecüle von einander unabhängig sind.« Es ist mir unbegreiflich, wie man meine Darstellung so auffassen kann, wie es Hoppe gethan hat. Es liegt in dem ganzen Sinn meiner Abhandlung, und ist auch mehrfach hervorgehoben, dass in den Bewegungen der einzelnen Molecüle die größte Mannichfaltigkeit und Unregelmässigkeit herrscht, und dass Einfachheit und Regelmässigkeit erst dann eintreten, wenn man nicht die Zustände der einzelnen, sondern den Mittelzustand sehr vieler Molecüle betrachtet. Wenn ich also von einem constanten Verhältnisse zwischen den verschiedenen Bewegungen gesprochen habe, so versteht es sich ganz von selbst, dass dieses nicht für die Bewegungen jedes einzelnen Molecüls gelten soll, sondern für diejenigen Quantitäten von lebendiger Kraft, welche den verschiedenen Bewegungen in dem ganzen Gase zukommen. Hätte Hr. Hoppe nur den gleich auf die kritisirte Stelle folgenden Absatz meiner Abhandlung mit Aufmerksamkeit gelesen, so würde er dort (S. 356) folgende Stelle gefunden haben. » Wenn aber die verschiedenen Bewegungen sich einmal so ausgeglichen haben, dass die fortschreitende Bewegung durch die Bewegungen der Bestandtheile durchschnittlich nicht vermehrt oder vermindert wird, so etc. « Aus dem hier vorkommenden Worte durchschnittlich konnte er leicht erkennen, dass ich nichts anders gemeint habe, als was er selbst aus Grundsätzen der Wahrscheinlichkeitsrechnung als richtig zugesteht.

An einer anderen Stelle (S. 288) sagt Hoppe: «Geradezu den mechanischen Principien widersprechend ist aber die Annahme starrer Atome in dem Falle, in welchem Clausius ihre Möglichkeit einräumt, wo nämlich gar keine Ab-

stofsung stattfindet, und die Atome demnach häufig zusammenstofsen, ohne jedoch fähig zu seyn, ihre Bewegung auf einander zu übertragen. « Ich soll also angenommen, oder als möglich eingeräumt haben, dass gar keine Abstofsung stattfinde, auch wenn die Molectile in unmittelbare Nähe zu einander kommen, und dass sie nicht fähig seyen, ihre Bewegung auf einander zu übertragen. Wo dieses in meiner Abhandlung stehen soll, davon habe ich keine Ahnung. Wenn man einem Anderen eine Ansicht zuschreibt, von der man sagt, dass sie geradezu den mechanischen Principien widerspricht, so denke ich, sollte man wenigstens soviel thun, durch specielle Citate nachzuweisen, dass der Andere wirklich diese Ansicht gehabt hat.

Zürich den 14. August 1858.

V. Fortgesetzte Untersuchungen über den Sauerstoff; von Ch. F. Schönbein.

I.

Ueber den Einflus des Platins auf chemisch-gebundenen Sauerstoff.

Bis jetzt ist meines Wissens nur der Einfluss untersucht worden, welchen das Platin auf die chemische Thätigkeit des freien gewöhnlichen Sauerstoffs ausübt und das Meiste, was wir hierüber wissen, verdanken wir den Untersuchungen Davy's, vorzugsweise aber den schönen Arbeiten des verstorbenen Döbereiner. Ich habe in der neuesten Zeit einige Thatsachen ermittelt, welche zeigen, das in manchen Fällen das Platin auch auf den chemisch gebundenen Sauerstoff in der Weise einwirkt, dass derselbe entweder zu raschen Oxydationswirkungen, die unter sonst gleichen Umständen bei Abwesenheit des Metalles nur langsam er-

folgten, bestimmt, oder aus seiner chemischen Verbindung abgeschieden wird.

Uebermangansäure oder Kalipermanganat. Färbt man verdünntes wässeriges Ammoniak mittelst der einen oder anderen der genannten Substanzen tiefroth, so vergehen in der Kälte mehrere Stunden, bis die Uebermangansäure völlig zersetzt ist, d. h. das Gemisch die rothe Färbung verloren hat, während dasselbe beim Schütteln mit einer gehörigen Menge Platinmohres beinahe augenblicklich entfärbt wird unter Ausscheidung von Mangansuperoxydhydrat und Bildung eines Nitrites: des salpetrichtsauren Kali bei Anwendung von Kalipermanganat und des salpetrichtsauren Ammoniaks bei Anwendung wässeriger Uebermangansäure und überschüssigen Ammoniaks.

In einer früheren Mittheilung ist bereits von mir erwähnt worden, dass die Uebermangansäure oder deren lösliche Salze für sich allein mit wässerigem Ammoniak Nitrite bilden, rasch in der Wärme, langsam in der Kälte. Beifügen will ich hier noch, das auch Uebermangansäure oder mit Kalipermanganat gerötheter Weingeist in der Kälte nur allmählich sich entfärbt, sehr rasch aher beim Schütteln mit Platinmohr.

Chromsäure. Eine concentrirte Lösung dieser Säure vermag schon für sich allein bei gewöhnlicher Temperatur Jod aus dem Jodkalium abzuscheiden und daher den mit diesem Salze versetzten Stärkekleister sofort zu bläuen. Diese Wirkung erfolgt jedoch nicht mehr augenblicklich, falls die Säurelösung einen gewissen Grad von Verdünnung hat und findet um so langsamer statt, je ärmer die Lösung an Säure ist. Ein Raumtheil verdünnten Jodkaliumkleisters (aus einem Theil Jodkaliums, zehn Theilen Stärke und tausend Theilen Wassers bestehend) mit einem Raumtheile hundertfach verdünnter Chromsäure vermischt, bläut sich beinahe noch augenblicklich, mit zweihundertfach verdünnter Säure in einigen Minuten und mit fünfhundertfach verdünnter in etwa einer halben Stunde; führt man aber in

letzteres Gemenge einigen Platinmohr ein, so erfolgt augenblicklich die tiefste Bläuung.

Jodsäure. Die durch Indigotinctur gebläuete wässerige Lösung der Jodsäure entfärbt sich bei gewöhnlicher Temperatur nur langsam, beim Schütteln mit einer gehörigen Menge Platinmohres aber beinahe augenblicklich, d. h. gerade so, als ob sie bis zum Sieden erhitzt worden wäre. In schwefelsäurehaltigem Wasser gelöstes Kalijodat wirkt in der Kälte ebenfalls nur allmählich zerstörend auf die damit vermischte Indigotinctur ein, thut diess aber unter dem Berührungseinflusse des Platinmohres sehr rasch.

Chlorsäure. Auch die verdünnte Chlorsäure zerstört die damit vermischte Indigolösung in der Kälte nur äußerst langsam, sehr rasch dagegen beim Schütteln mit Platinmohr. Kalichloratlösung mit etwas Schwefelsäure versetzt und durch Indigotinctur gebläut, ist bei gewöhnlicher Temperatur nach tagelangem Stehen noch nicht entfärbt, während dieses Gemisch unter dem Einflusse des Platinmohres sich sofort entbläut. Alles Uebrige sonst gleich, verhält sich die Ueberchlorsäure und das Kaliperchlorat wie die Chlorsäure und das Kalichlorat, mit dem Unterschiede jedoch, das jene unter dem Einflusse des Platins das Indigoblau etwas langsamer als diese zerstören.

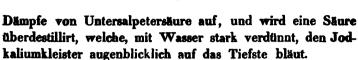
Bromsäure. Mit wässeriger Bromsäure habe ich keine Versuche angestellt; was die schwefelsäurehaltige Kalibromatlösung betrifft, so entbläut sie nach meinen Erfahrungen die damit vermischte Indigtinctur in der Kälte zwar auch nicht augenblicklich, doch aber ungleich rascher, als diess die gleichbeumständeten Jodate, Chlorate oder deren verdünnte Säuren thun. Bei Anwesenheit von Platinmohr erfolgt die Entbläuung sosort.

Weitere Untersuchungen werden ohne Zweisel zeigen, dass es noch andere als die erwähnten Sauerstoffverbindungen giebt, auf welche das Platin in ähnlicher Weise wie suf die Uebermangansäure, Chromsäure, Jodsäure, Chlorature, Ueberchlorsäure und Bromsäure einwirkt, d. h. welche so beschaffen sind, dass ein Theil ihres Sauerstoffs un-

ter dem Berührungseinflusse des genannten Metalles viel rascher auf andere mit ihnen in Berührung stehende oxydirbare Materien übergeführt wird, als diess bei Abwesenheit des Platins geschehen würde, wenn auch alle übrigen Umstände: Temperatur, Verdünnungsgrad u. s. w. sonst gleich wären.

Salpetersäure. Bekanntlich läst sich nicht allzu concentrirte Salpetersäure bis zum Sieden erhitzen und destilliren, ohne auch nur spurenweise in Untersalpetersäure und Sauerstoffgas zu zerfallen; unter dem Berührungseinflusse des Platins verhält sich diess aber anders, wie aus nachstehenden Angaben erhellen wird.

Da bei den zu erwähnenden Versuchen bisweilen nur sehr kleine Mengen von Untersalpetersäure zum Vorschein kommen, so will ich vorerst bemerken, dass die beste Art, deren Anwesenheit in der Salpetersäure zu ermitteln, folgende ist. Man versetzt die auf NO, zu prüfende Salpetersäure mit ihrem mehrfachen Volumen Wassers und gießt sie in verdünnten Jodkaliumkleister; ist die Salpetersäure gänzlich frei von NO4, so bleibt das Gemisch völlig farblos, während dasselbe im entgegengesetzten Falle sich augenblicklich bläut und zwar schon sehr stark selbst bei nur äußerst kleinen Mengen vorhandener Untersalpetersäure. Versteht sich von selbst, dass das angewendete Jodkalium vollkommen frei von Jodat seyn muss, wenn aus der Bläuung des Kleisters auf die Anwesenheit von NO, geschlossen werden soll. Erhitzt man chemisch reine Salpetersäure (völlig frei von NO₄) von 1,35 in einer Retorte bis zum Sieden und destillirt man einen Theil derselben über, so lässt sich in dieser ebenso wenig als in der rückständigen Säure auch nur die kleinste Spur von Untersalpetersäure mittelst des erwähnten Reagens nachweisen, zum Beweise, dass bei ihrem Siedepunkte eine solche Salpetersäure auch nicht dem geringsten Theile nach in Untersalpetersäure zerlegt wird. Führt man aber in die gleiche Säure eine merkliche Menge Platinmohrs ein, dieselbe bis zum Sieden erhitzend, so treten bald in der Retorte schon für das Auge bemerkbare



Alles Uebrige sonst gleich, zersetzt sich die Salpetersäure um so reichlicher, je wasserärmer sie ist, so dass z. B. aus einer Säure von 1,45 in der Siedhitze mehr NO. entbunden wird, als aus einer Säure von 1,35. Lässt man von NO. völlig freie Salpetersäure von 1,48 in gänzlicher Dunkelheit und bei Nullgrad etwa zwölf Stunden lang mit einer merklichen Menge Platinmohrs zusammenstehen, so werden in ihr schon nachweisbare Mengen Untersalpetersäure angetroffen, wie die tiefe Bläuung des Jodkaliumskleisters zeigt, welche diese mit Wasser gehörig verdünnte Säure verursacht, wobei noch zu bemerken ist, dass diese Mengen um so größer werden, je höher die Temperatur geht, welcher man die mit Platinmohr in Berührung stehende Säure aussetzt.

Wird chemisch reiner Kalisalpeter mit der drei- oder vierfachen Menge reinen Vitriolöles erhitzt, bis sich das Salz vollständig gelöst hat und die flüssige Masse zu sieden anfängt, so enthalten die sich entwickelnden Dämpfe so wenig NO₄, dass sie farblos erscheinen; führt man aber unter diesen Umständen Platinmohr in die Flüsisgkeit ein, so findet ein heftiges Aufschäumen statt, unter Entbindung ziemlich reichlicher rothbrauner Dämpfe.

Da das Platin, wie in vielen Fällen, so namentlich auch mit Bezug auf die Salpetersäure ähnlich der Wärme wirkt und, alles Uebrige sonst gleich, diese Wirksamkeit um so größer wird, je geringer der Wassergehalt der Säure ist, so läßt sich vermuthen, daß der Platinmohr schon bei gewöhnlicher Temperatur die wasserfreie Salpetersäure mit Heftigkeit in Untersalpetersäure und Sauerstoffgas zerlegen, d. b. die Verpuffung derselben verursachen werde.

Jodsäure. Eine schon ziemlich concentrirte wässerige Lösung dieser Säure kann bekanntlich bis zum Sieden erhitzt werden, ohne auch nur spurenweise in Jod und Sauerstoff zu zerfallen. Anders bei Anwesenheit von Platin. Er-

hitzt man eine solche Säurelösung in einem Probegläschen mit Platinmohr bis zum Sieden, so findet zwar in einem schwachen, doch aber noch nachweisbarem Grade eine Zersetzung der Jodsäure statt, wie diess schon der Geruch nach Jod andeutet, auf das Unzweifelhafteste jedoch an der Bläuung eines mit Stärkckleister getränkten und in das Versuchsglas gehaltenen Papierstreifens erkannt wird. Schwefelsäurehaltige Kalijodatlösung lässt sich ebenfalls bis zum Sieden erhitzen, ohne dass hierbei eine Spur von freiem Jod zum Vorschein käme, was aber sofort bei Einführung von Platinmohr geschieht, wie diess die Färbung eines mit Stärkekleister behafteten Papierstreifens zeigt, den man nur kurze Zeit in die aus der siedenden Flüssigkeit sich entwickelnden Wasserdämpfe hält. Ich will hier nicht unerwähnt lassen, dass das Guajak für das Jod wenigstens eben so empfindlich als die Stärke ist, wie daraus erhellt, dass mit frischer Guajaktinctur getränkte Papierstreifen schon durch die allerschwächsten Joddämpfe eben so rasch als die mit Stärkekleister behafteten Papiere gebläut werden. Man kann daher bei den letzterwähnten Versuchen zur Nachweisung entbundenen Jods auch die Lösung des besagten Harzes anwenden, insofern unter diesen Umständen die Bläuung des Guajaks nur durch das Jod bewerkstelligt wird.

Uebermangansäure. Es ist eine bekannte Thatsache, dass die Salpetersäure schon in der Kälte allmählich die Zersetzung des in ihr gelösten Kalipermanganates verursacht und hierbei die Säure dieses Salzes in Mangansuperoxyd und Sauerstoff zerfällt. Färbt man kalte Salpetersäure von 1,35 mittelst übermangansauren Kalis tiefroth, so erscheint sie erst nach einigen Stunden wieder farblos und hat sich braunes Mangansuperoxydhydrat ausgeschieden; wird aber die rothe Flüssigkeit mit einer gehörigen Menge Platinmohres geschüttelt, so erfolgt deren Entfärbung (Zersetzung der Uebermangansäure) beinahe augenblicklich.

Was nun die Fähigkeit des Platins betrifft, in den oben angeführten Fällen die chemische Thätigkeit des chemisch

gebundenen Sauerstoffs zu steigern, so hängt sie wahrscheinlich zusammen mit dem wohl bekannten Vermögen dieses Metalles, den freien gewöhnlichen Sauerstoff thätiger zu machen, als er es für sich allein ist. Haben aber diese beiden durch das Platin hervorgebrachten Wirkungen einerlei Ursache, so kann nach meinem Dafürhalten die Annahme, dass die erhöhte chemische Thätigkeit des freien gewöhnlichen Sauerstoffs auf einer durch das besagte Metall bewerkstelligten Verdichtung dieses Gases beruhe, kaum gegründet seyn. Der in der Uebermangansäure, Chromsäure, Jodsäure, Chlorsäure u. s. w. enthaltene Sauerstoff, welcher gemäß den oben gemachten Angaben unter dem Berührungseinslusse des Platinmohrs zu raschen Oxydationswirkungen bestimmt wird, bedarf der Verdichtung nicht mehr. er ist in den erwähnten Säuren schon im verdichteten Zustand. Auch wird man kaum annehmen wollen, dass das Platin den besagten Säuren auf irgend eine physikalische Weise erst Sauerstoff entziehe und dann denselben noch mehr verdichte, um ihn nachher auf das Ammoniak, Indigoblau, Jodkalium u. s. w. überzutragen. Am allerunstatthaftesten dürfte aber die Annahme seyn, dass das Platin auf Kosten der erwähnten Säuren sich oxydire und das Oxyd dieses Metalles das oxydirende Agens sey, in welcher Weise bekanntlich Hr. de la Rive die Oxydationserscheinungen zu erklären sucht, die der gewöhnliche freie Sauerstoff unter der Mitwirkung des Platins so leicht zu verursachen im Stande ist.

Wie das Platin chemisch erregend sowohl auf den freien gewöhnlichen, als in gegebenen Fällen auch auf den gebundenen Sauerstoff einwirkt, läßt sich meines Bedünkens dermalen noch nicht einsehen; es ist aber für den Fortschritt der Wissenschaft sicherlich zuträglicher, sich der Unwissenheit über die Ursache von Erscheinungen klar bewußt zu seyn, als über dieselben voreilige oder ungegründete Erklärungen aufzustellen; denn eben ein solches Bewußtseyn stachelt zur weitern Erforschung der unerklärten Phänomene an und wird dadurch zur Mutter wirklichen Wis-

sens. Das zuletzt erwähnte Verhalten des Platins zur Salpetersäure, Jodsäure und Uebermangansäure scheint mir sehr ähnlich demjenigen des gleichen Metalles zum Wasserstoffsuperoxyd zu seyn: in allen diesen Fällen wird unter dem Berührungseinflusse des Platins chemisch gebundener Sauerstoff in Freiheit gesetzt, ohne dass das Metall stofflich irgendwie an diesen Zersetzungen sich betheiligte, wie einfach daraus erhellt, dass dasselbe nach vollbrachter chemischer Arbeit immer noch das ist, was es vorher gewesen. Es liegt deshalb auch die Vermuthung sehr nahe, dass alle die erwähnten Zersetzungserscheinungen von einer und eben derselben Ursache herrühren.

Nach meinem Dafürhalten beruhen dieselben zunächst auf einer Zustandsveränderung (Allotropie) des in den besagten Verbindungen enthaltenen ozonisirten Sauerstoffes: es wird Ö in O übergeführt, welches O eben so wenig mit HO, als mit J, NO₄ oder MnO₂ verbunden bleiben kann, weshalb das Wasserstoffsuperoxyd in Wasser und gewöhnlichen Sauerstoff, die Salpetersäure in NO₄ und Sauerstoff, die Jodsäure in Jod und Sauerstoff u. s. w. zerfällt. Wie aber das Platin die Umwandlung des chemisch gebundenen Ö in O bewerkstellige, vermögen wir freilich dermalen eben so wenig zu sagen, als wir wissen, in welcher Weise die Wärme Ö in O, oder die Elektricität wie auch der Phosphor O in Ö überführt.

H.

Ueber den Einflus des Eisens und seiner Oxydulsalze auf chemischgebundenen Sauerstoff.

Chromsäure. Wie in der voranstehenden Abhandlung bemerkt worden, bläut die fünfhundertfach mit Wasser verdünnte Chromsäure den zu gleichen Raumtheilen mit ihr vermischten und oben näher erwähnten verdünnten Jodkaliumkleister nur langsam, augenblicklich aber beim Zusammenschütteln mit feinem Eisenpulver. Eben so wirksam verhalten sich die Lösungen der Oxydulsalze dieses Metalla,

wie daraus erhellt, dass ein aus verdünnter Chromsäure und Jodkaliumkleister bestehendes Gemeng beim Zusugen einiger Tropsen einer selbst stark verdünnten Eisenvitriollösung sosort auf das Tiesste gebläut wird.

Da meinen frühern Mittheilungen gemäß die Blutkörperchen gerade so wie die Eisenoxydulsalze wirken, so erwartete ich, dass jene wie diese unser Gemeng ebenfalls und zwar augenblicklich bläuen würden. Dem ist aber nicht so: die Blutkörperchen lassen das Gemisch nicht nur ungebläut, sondern, wenn in gehöriger Menge angewendet, verhindern es sogar, dass Platinmohr, Eisen oder Eisenvitriollösung diese Wirkung hervorbringen. Wie ich mich durch wiederholte Versuche überzeugt habe, liegt der nächste Grund dieses auffallenden negativen Verhaltens in der außerordentlich starken Neigung der Blutkörperchen einen Theil des Sauerstoffes der Chromsäure sich anzueignen, in Folge dessen sie (durch Oxydation) zerstört werden; weshalb dieselben auch beim Vermischen mit der jodkaliumhaltigen Chromsäure sofort den übertragbaren Sauerstoff dieser Verbindung für sich allein in Beschlag nehmen. während dagegen die Eisenoxydulsalze einen Theil dieses Sauerstoffes dem Jodkalium überlassen. Es wirken mit anderen Worten die Blutkörperchen rascher desoxydirend auf die verdunnte Chromsäure ein, als diess die besagten Salze thun, aus welchem Grunde der übertragbare Sauerstoff von CrO, nicht zwischen Jenen und dem Jodkalium sich so theilen kann, wie diess zwischen den Eisenoxydulsalzen und KJ geschieht, weshalb sich aus letzterem bei Anwendung von Blutkörperchen auch kein Jod abscheidet.

Chlorsäure. Verdünnte reine (kein freies Chlor enthaltende) Chlorsäure wirkt, wie schon erwähnt, bei gewöhnlicher Temperatur nur sehr langsam zerstörend auf die Indigolösung ein; schüttet man aber die durch Indigotinktur gefärbte Säure mit Eisenfeile, oder fügt man der Flüssigkeit einige Tropfen Eisenvitriollösung zu, so erfolgt die Entbläuung beinahe augenblicklich. Wie die freie Chlorsäure verhält sich auch die mit einiger Schwefelsäure versetzte Kalichloratlösung, welche, durch Indigolösung gebläut, beim Schütteln mit metallischem Eisen oder bei Zusatz eines Eisenoxydulsalzes rasch sich entfärbt.

Verdünnter Jodkaliumkleister wird durch die reine Chlorsäure nicht gebläut, wohl aber sofort unter dem Einflusse des Eisens oder seiner Oxydulsalze. Eben so läst sich der besagte Kleister mit schweselsäurehaltiger Kalichloratlösung vermischen, ohne sich zu bläuen, wird aber das Gemeng mit Eisenseile geschüttelt oder mit einigen Tropfen Eisensitriollösung vermischt, so erfolgt augenblicklich tiefste Bläuung. Ueberchlorsäure und Perchlorate verhalten sich wie die Chlorsäure und Chlorate; es wirken jedoch unter sonst gleichen Umständen jene merklich langsamer als diese.

Es läst sich nun fragen, weshalb die beschriebenen Oxydationswirkungen bei Gegenwart des Eisens oder seiner Oxydulsalze rascher erfolgen, als diess bei Abwesenheit dieser Substanzen geschieht. Da das genannte Metall wie auch dessen Oxydulsalze sehr begierig sind, Sauerstoff aufzunehmen, so möchte man geneigt seyn, zu vermuthen, dass das in Oxydation begriffene Eisen oder Oxydulsalzes sey, welches auch das Indigoblau oder die metallische Grundlage des Jodkaliums bestimme, einen Theil des in der Chromsäure, Chlorsäure u. s. w. enthaltenen Sauerstoffes sich anzueignen, dass wir somit in den fraglichen Wirkungen Fälle von Uebertragung der chemischen Thättigkeit eines Körpers auf einen andern hätten.

Die oben erwähnte Thatsache jedoch, dass der Platinmohr das Gemisch von verdünnter Chromsäure und Jodkaliumkleister eben so gut bläut oder die durch Indigolösung gebläuete Chlorsäure entfernt, als diess das Eisen
oder dessen Oxydulsalze thun, scheint es mir noch zweifelhaft zu machen, dass in dem Oxydationsacte der letztgenannten Materien als solchem die nächste Ursache der besprochenen Wirkungen liege. Denn wenn das Platin, ohne
dabei selbst auch nur spurenweise oxydirt zu werden, die
Chromsäure oder Chlorsäure bestimmen kann, rasch oxy-

dirend auf das Jodkalium oder Indigoblau einzuwirken, so muß es wenigstens als möglich erscheinen, daß auch das Eisen und dessen Oxydulsalze nach Art des Platins wirken, d. h. unabhängig von ihrer eigenen Oxydation den Sauerstoff der erwähnten Säuren zur chemischen Thätigkeit anregen, und daß diese ihre eigene Oxydation eben so gut als diejenige des Kaliums, des Jodmetalles oder des Indigoblaues nur die Folge einer diesen Reactionen vorausgegangenen Einwirkung des Eisens oder seiner Oxydulsalze wäre.

III.

Ueber die gegenseitige Katalyse einer Reihe von Oxyden, Superoxyden und Säuren und die chemisch-gegensätzlichen Zustände des thätigen Sauerstoffes.

Der gänzlichen Unwissenheit wegen, in welcher wir dermalen noch über die nächste Ursache der sogenannten katalytischen Phänomene uns befinden, wie auch der an Gewißsheit gränzenden Wahrscheinlichkeit halber, daß aus der Aufhellung dieses Dunkels ein nicht kleiner Gewinn für die theoretische Chemie erwachsen würde, ist meinem Dafürhalten nach das bezeichnete Erscheinungsgebiet ganz besonders der Aufmerksamkeit des chemischen Forschers werth.

Es haben deshalb auch schon seit Jahren vor Allen diejenigen chemischen Berührungswirkungen, an welchen der Sauerstoff sich betheiligt und die wohl auch die zahlreichern sind, mein Interesse auf das Lebhafteste in Anspruch genommen, und ich hoffe, dass es mir endlich gelungen sey, durch die Ermittelung einer Reihe neuer Thatsachen wenigstens einen Theil der bisher uns so räthselhaft gebliebenen chemischen Contactphänomene dem Verständnisse näher zu bringen.

Vor längerer Zeit schon habe ich es versucht, eine Anzahl den Sauerstoff betreffender katalytischer Erscheinungen auf allotrope Modificationeu dieses Elementes zurückzuführen und ich erlaube mir hier auf die Abhandlung »Ueber den Zusammenhang der katalytischen Phänomene mit der Allotropie « zu verweisen, welche sich im ersten Hefte der Pog-

gendorff'schen Annalen vom Jahrgang 1857 abgedruckt findet.

Ehe ich jedoch in weitere Erörterungen über diesen Gegenstand eintrete, wird es wohl sachdienlich seyn, die von mir in neuester Zeit ermittelten Thatsachen mitzutheilen, von denen ich glaube, dass sie in der allernächsten Beziehung zu der vorliegenden Frage stehen.

Bekanntlich hat schon Thenard beobachtet, dass das Wasserstoffsuperoxyd unter Verlust der Hälfte seines eigenen Sauerstoffgehaltes sämmtliche Oxyde der edlen Metalle vollständig reducirt, wie es auch dem französischen Chemiker nicht entgangen ist, dass HO₂ und PbO₂ in Bleioxyd, Wasser und Sauerstoff sich umsetzen. Wöhler hat gezeigt, dass das Gleiche der Fall ist mit HO₂ und MnO₂ und überdiess noch die in theoretischer Hinsicht so äusserst wichtige Thatsache ermittelt, dass zur vollständigen gegenseitigen Katalyse dieser beiden Superoxyde von jedem derselben ein Aequivalent erfordert wird.

Ganz in die gleiche Klasse der chemischen Contactsphänomene gehören nach meinem Ermessen die im Nachstehenden beschriebenen Thatsachen.

Freier ozonisirter Sauerstoff und Wasserstoffsuperoxyd. Wird unter dem Berührungseinflusse des Phosphors atmosphärischer Sauerstoff so stark ozonisirt, dass ein in ihn gehaltener Streisen seuchten Jodkaliumstärkepapieres augenblicklich tief schwarzblau sich färbt, und schüttelt man diesen durch Wasser von jeder Säurespur vorher befreiten Sauerstoff mit Wasserstoffsuperoxyd zusammen, so verschwindet bald im Versuchsgefäse der so eigenthümliche Ozongeruch, und hat besagter Sauerstoff zu gleicher Zeit auch das Vermögen eingebüßt, das vorhin erwähnte Reagenspapier zu bläuen, die Indigotinctur zu zerstören oder irgend welche der bekannten Oxydationswirkungen des ozonisirten Sauerstoffs hervorzubringen.

Behandelt man eine gegebene Menge Wasserstoffsuperoxydes mit einer hinreichend großen Quantität ozonisirten Sauerstoffs, so wird dasselbe zu HO reducirt, aus welchen dirend auf das Jodkalium oder Indigoblau einzv mufs es wenigstens als möglich erscheinen, gewöh= Eisen und dessen Oxydulsalze nach Art 🛃 offsuperox d. h. unabhängig von ihrer eigenen C m Freiheit stoff der erwähnten Säuren zur ch regen, und dass diese ihre eige ach wiederholen we als diejenige des Kaliums, de ge Zersetzung von HC blaues nur die Folge eino erkannt wird, dass ma genen Einwirkung des behandelten Wasserstoffsu

Jodkaliumkleisters zusetzt under die gegen der Ganze ungefärbt, so findet sich in der bleibt das Ganze ungefärbt, so findet sich in der bleibt das Hüssigkeit kein HO, mehr vor; denn wäre hieren nach nach die kleinste Spur vorhanden, so würde gewäsch nach augenblicklich sich bläuen.

Gemischengansäure und Wasserstoffsuperoxyd. Fügt man Websieger Uebermangansäure oder einer wässerigen Lösung abermangansauren Kalis Wasserstoffsuperoxyd, so trübt abermangansxydhydrat und findet zu gleicher Zeit eine lebhafte Entbindung von Sauerstoffgas statt. Wendet man eine hinrichende Menge von HO, auf eine gegebene Quantität der erwähnten Säure — oder Salzlösung an, so wird diese ganslich entfärbt zum Beweise der gänzlichen Zersetzung aller vorhanden gewesenen Uebermangansäure, und kaum wird es der Erwähnung bedürfen, dass auch das verwendete Wasserstoffsuperoxyd in Sauerstoffgas und Wasserzerfällt, so dass also die stattfindende Katalyse eine gegenseitige ist.

Versetzt man die Lösung der Uebermangansäure oder ihres Kalisalzes mit etwas Schwefelsäure oder Salpetersäure, so reducirt zugefügtes Wasserstoffsuperoxyd die Metallsäure vollständig zu Manganoxydul, welches als Sulfat oder Nitrat in der Flüssigkeit gelöst bleibt, woher es kommt, dass das anfänglich tiefrothe Gemisch nach kurzer Zeit vollkommen klar und farblos wird.

Chromsäure und Wasserstoffsuperoxyd. Chromsäurelö-

sung mit Wasserstoffsuperoxyd vermischt, färbt sich bekanntermaßen anfänglich blau; bald entwickelt sich jedoch aus dem Gemische Sauerstoffgas und die Flüssigkeit geht durch rün in rothgelb über, nun kein Wasserstoffsuperoxyd mehr, udern nur unveränderte Chromsäure enthaltend, woraus ellt, daß unter den erwähnten Umständen das Wassersuperoxyd allein katalysirt wird und die Chromsäure en Sauerstoffverlust erleidet.

uders aber verhält sich die Sache bei Anwesenheit \mathcal{D}_3 oder NO_5 . Wird mit schwefelsäure- oder salretersäurehaltiger Chromsäurelösung Wasserstoffsuperoxyd
vermischt, so färbt sich anfänglich dieselbe ebenfalls blau,
sie wird jedoch bald unter lebhafter Sauerstoffgasentwicklung dauernd grün in Folge des unter diesen Umständen
sich bildenden schwefelsauren oder salpetersauren Chromoxydes.

Wie also bei Anwesenheit von Schwefelsäure u. s. w. die Uebermangansäure durch Wasserstoffsuperoxyd vollständig zu Manganoxydul reducirt wird, so auch die Chromsäure zu Oxyd, und selbstverständlich zerfällt hierbei auch das Wasserstoffsuperoxyd in Sauerstoff und Wasser.

Bekanntlich können unter geeigneten Umständen mehrere metallische Superoxyde als solche in gewissen Säuren sich auflösen, wie z. B. das Mangan- und Bleisuperoxyd in concentrirter Essigsäure, das Silbersuperoxyd in kalter Salpetersäure, das Mangansuperoxyd in concentrirter und kalter Salzsäure, in welchem gelösten Zustande sie sich als äußerst kräftig oxydirende Agentien verhalten, also z. B. die Indigotinctur mit chlorähnlicher Energie zerstören, eine Reihe von Metallen schon in der Kälte oxydiren, den Jodkaliumstärkekleister bläuen u. s. w. (Man sehe meinen Außatz "Ueber die metallischen Superoxyde" in den Abhandlungen der k. bayerisch. Akademie der Wissenschaften Band VIII, Abschnitt I.)

Alle diese mit Säuren vergesellschafteten Superoxyde lassen sich durch Wasserstoffsuperoxyd auf das Leichteste zu basischen Oxyden reduciren, wie natürlich die besagten.

Superoxyde ihrerseits auch das Wasserstoffsuperoxyd in Sauerstoff und Wasser zerlegen.

Gelöstes Mangansuperoxyd und Wasserstoffsuperoxyd. Versetzt man das in Essigsäure gelöste tiefbraun gefärbte Mangansuperoxyd mit einer gehörigen Menge Wasserstoffsuperoxydes, so wird das Gemisch rasch vollkommen farblos unter Bildung essigsauren Manganoxyduls und lebhafter Entbindung von Sauerstoffgas. Die dunkelbraune Flüssigkeit, welche man beim Zusammenbringen kalter concentrirter Salzsäure mit fein gepulvertem Braunstein erhält, entfärbt sich ebenfalls vollständig und rasch beim Vermischen mit einer hinreichenden Menge Wasserstoffsuperoxydes unter Bildung salzsauren Manganoxyduls und Entwickelung von Sauerstoffgas. In gleicher Weise verhält sich die colombinrothe Lösung des schwefelsauren Manganoxydes, welche durch Wasserstoffsuperoxyd unter Entbindung von Sauerstoffgas augenblicklich entfärbt wird in Folge der unter diesen Umständen stattfindenden Reduction des Manganoxydes zu Manganoxydul.

Gelöstes Bleisuperoxyd und Wasserstoffsuperoxyd. Das reine mit Essigsäure vergesellschaftete Bleisuperoxyd (siehe die letzt erwähnte Abhandlung), wie auch die Lösung der Mennige in dieser Säure (ein Gemeng von essigsaurem Bleioxyd und essigsaurem Bleisuperoxyd) setzt sich mit Wasserstoffsuperoxyd rasch in frei werdenden Sauerstoff und essigsaures Bleioxyd um, wobei selbstverständlich auch HO₂ in Sauerstoff und Wasser zerlegt wird.

Gelöstes Silbersuperoxyd und Wasserstoffsuperoxyd. Bekannt ist, dass sowohl das auf elektrolytischem Wege, als auch das mittelst freien ozonisirten Sauerstofs und metallischen Silbers unmittelbar gebildete Silbersuperoxyd als solches in kalter Salpetersäure sich löst, damit eine tiesbraun gefärbte Flüssigkeit bildend. Fügt man zu dieser Lösung Wasserstoffsuperoryd, so entfärbt sie sich rasch unter lebhafter Entbindung von Sauerstoffgas und Ueberführung der beiden Superoxyde in HO und AgO, welches letztere natürlich mit der vorhandenen Salpetersäure zu Nitrat sich vereiniget.

Gelöstes Eisenoxyd und Wasserstoffsuperoxyd. Die wäßrigen Lösungen sämmtlicher Eisenoxydsalze verhalten sich gegen das Wasserstoffsuperoxyd ähnlich der Chromsäure: auch sie katalysiren HO2, ohne daß ihr Oxyd zu Oxydul reducirt würde, und der einzige zwischen ihnen und der Chronsäure sich zeigende Unterschied besteht in der schwächern katalysirenden Wirksamkeit der Eisenoxydsalze. Wie aber die Anwesenheit der Schwefelsäure, Salpetersäure u.s.w. die gegenseitige Katalyse der Chromsäure und des Wasserstoffsuperoxydes ermöglicht, so vermag auch die Gegenwart des Kaliumeisencyanides in den Eisenoxydsalzlösungen die gegenseitige Katalyse des Eisenoxydes und des Wasserstoffsuperoxydes zu bestimmen.

Bekanntlich bläuen nur die Eisenoxydulsalze, nicht aber die Oxydsalze die Lösung des Kaliumeisencyanides. Gießst man nun in ein Gemisch gelösten salpetersauren, schwefelsauren oder salzsauren Eisenoxydes und Kaliumeisencyanides Wasserstoffsuperoxyd, so wird unter Sauerstoffgasentwickelung aus der Flüssigkeit Berlinerblau gefällt, zum Beweise, daß unter den erwähnten Umständen das Eisenoxydsalz in ein Oxydulsalz übergeführt wird und folglich Eisenoxyd und Wasserstoffsuperoxyd sich gegenseitig katalvsiren.

Gelöstes Kupferoxyd und Wasserstoffsuperoxyd. Die Lösungen der Kupferoxydsalze z. B. die des Sulfates, Nitrates und Muriates wirken nicht merklich katalysirend auf das Wasserstoffsuperoxyd ein; fügt man aber zu dem Gemisch einer solchen Lösung und HO, gelöstes Kali, so fällt unter lebhafter Sauerstoffgasentbindung Kupferoxydulhydrat nieder, das aber bald wieder in Kupferoxydhydrat übergeht. Hieraus erhellt, dass das Kupferoxyd im Augenblicke seiner Abtrennung von der mit ihm verbundenen Säure und Wasserstoffsuperoxyd in Kupferoxydul, Wasser und Sauerstoff sich umsetzen.

Aus den oben angeführten, wie auch aus den bereits von Thenard ermittelten Thatsachen geht somit hervor, das dem Wasserstoffsuperoxyd das Vermögen zukommt, schon bei gewöhnlicher Temperatur aus einer nicht ganz kleinen Anzahl von Oxyden, Superoxyden und Säuren entweder deren ganzen Sauerstoffgehalt oder nur einen Theil desselben in Freiheit zu setzen, wobei immer HO₂ selbst die Hälfte seines Sauerstoffes verliert.

Ganz besondere Beobachtung verdient nun die Thatsache, das die durch das Wasserstoffsuperoxyd katalysirten Oxyde, Superoxyde und Säuren entweder all ihren
Sauerstoff (wie das Silber- oder Goldoxyd), oder nur einen
Theil desselben (wie das Bleisuperoxyd oder die Uebermangansäure) im thätigen Zustand enthalten, wie diess aus
dem ausgezeichneten oxydirenden Vermögen dieser sauerstoffhaltigen Verbindungen deutlich genug erhellt. Und
aus dem gleichen Grunde läst sich das Nämliche auch von
der Hälste des im Wasserstoffsuperoxyd enthaltenen Sauerstoffes sagen.

Eine zweite eben so beachtenswerthe Thatsache ist die, dass nach meinen Untersuchungen der durch die gegenseitige Katalyse der erwähnten Verbindungen in Freiheit gesetzte Sauerstoff durchaus nicht mehr activ ist, sondern ganz so wie der aus den gleichen Verbindungen unter dem Einflusse der Wärme entwickelte — d. h. wie gewöhnlicher Sauerstoff sich verhält.

Hieraus erhellt sonach, dass Wasserstoffsuperoxyd auf die Uebermangansäure, Bleisuperoxyd, Silberoxyd u. s. w. und umgekehrt die Uebermangansäure, Bleisuperoxyd u. s. w. auf das Wasserstoffsuperoxyd gerade so wie die Wärme einwirkt.

Meine eigenen und Marignac's Versuche haben gezeigt, dass auch der freie ozonisirte Sauerstoss bei erhöhter Temperatur in gewöhnlichen übergeführt wird; es bringt daher obigen Angaben gemäß das Wasserstossuperoxyd auf den freien ozonisirten Sauerstoss die gleiche Wirkung hervor, welche die Wärme verursacht, wie ungekehrt auch

der besagte Sauerstoff ähnlich der Wärme den activen Sauerstoff des Wasserstoffsuperoxydes in gewöhnlichen oder unthätigen verwandelt.

Man könnte auch sagen, dass das Wasserstoffsuperoxyd sowohl zum freien ozonisirten - als auch zu dem activen Sauerstoff der Uebermangansäure, des Bleisuperoxydes u. s. w. wie ein oxydirbarer oder reducirender Körper, z. B. wie die schweflichte Säure sich verhalte, welche bekanntlich den freien ozonisirten Sauerstoff augenblicklich zum Verschwinden bringt, wie auch die Lösungen der Uebermangansäure, des essigsauren Mangansuperoxydes u. s. w. sofort entfärbt, wobei sich SO, durch Aufnahme des freien oder gebundenen activen Sauerstoffes zu Schwefelsäure oxydirt. Der Unterschied zwischen SO, und HO, besteht nur darin, dass bei Anwendung der schweflichten Säure sowohl der freie ozonisirte - als auch der gebundene thätige Sauerstoff der Uebermangansäure u. s. w. wieder eine chemische Verbindung eingeht, während durch das Wasserstoffsuperoxyd dieser gleiche Sauerstoff in gewöhnlichen verwandelt und eben dadurch in Freiheit gesetzt wird.

Da bei den besprochenen Katalysen zu gleicher Zeit auch der thätige Sauerstoff des Wasserstoffsuperoxydes als unthätiger entbunden und nach den von Wöhler erhaltenen Ergebnissen auf ein Aequivalent Mangansuperoxydes ein Aequivalent Wasserstoffsuperoxydes katalysirt wird, so giebt diese Thatsache der Vermuthung Raum, dass der bei allen gegenseitigen Katalysen entbundene Sauerstoff zur Hälfte aus dem Wasserstofssuperoxyd, zur Hälfte aus der Uebermangansäure, dem Bleisuperoxyd u. s. w. stamme. und somit auch, dass ein Aequivalent freien ozonisirten Sauerstoffes und ein Aequivalent Wasserstoffsuperoxydes in zwei Aequivalente gewöhnlichen Sauerstoffes und ein Aequivalent Wassers sich umsetzen. Vorläufige über diesen Gegenstand von mir angestellte Versuche haben Ergebnisse geliefert, welche der ausgesprochenen Vermuthung keineswegs widersprechen; ich behalte mir jedoch vor, deu fraglichen Punkt später durch genaue quantitative Versuche festzustellen, welcher, wie man leicht einsieht, in theoretischer Hinsicht von nicht geringer Bedeutung ist.

Dem Gesagten gemäß sieht es also so aus, als ob der thätige Sauerstoff des Wasserstoffsuperoxydes sowohl zum freien ozonisirten — als auch zu dem gebundenen activen Sauerstoff der Uebermangansäure u. s. w. (um die Berzelius'sche elektrochemische Sprache zu reden) wie ein elektropositives Element sich verhalte, und ein Aequivalent desselben mit einem Aequivalent des freien ozonisirten oder des gebundenen activen Sauerstoffes der Metallsäure, des Mangansuperoxydes u. s. w. eine Art von chemischer Verbindung eingehe, um den gewöhnlichen oder unthätigen Sauerstoff zu erzeugen.

Kein Chemiker wird jedoch geneigt seyn anzunehmen, dass es zwei stofflich verschiedene Sauerstoffarten gebe, aus welchen der gewöhnliche oder unthätige Sanerstoff zusammengesetzt sey, und natürlich bin auch ich weit davon entfernt, einer so gänzlich unstatthaften Annahme das Wort reden zu wollen. Wohl aber habe ich die Meinung, dass die erwähnten Fälle der gegenseitigen Katalyse des Wasserstoffsuperoxydes und einer Reihe sauerstoffhaltiger Verbindungen der schon lange von mir gehegten und vor einiger Zeit auch öffentlich ausgesprochenen Vermuthung günstig seven, gemäß welcher nämlich der Sauerstoff fähig ist. in zwei thätigen, wie plus und minus zu einander sich verhaltenden Zuständen zu existiren: als positiv-activer und negativ-activer Sauerstoff, oder symbolisch ausgedrückt als $\overset{\circ}{\Theta}$ und $\overset{\circ}{\Theta}$ (wofür man anch bloss Θ und Θ setzen könnte), oder, wenn man für den durch Elektricität oder Phosphor activirten Sauerstoff der Kürze halber den von mir vorgeschlagenen Namen beibehalten will, als Ozon und Antozon. Es würden mit andern Worten diese beiden Zustände so seyn, dass ein Aequivalent des thätigen Sauerstoffes der einen Art mit einem Aequivalent des thätigen Sauerstoffes der andern Art zu gewöhnlichem oder unthätigem Sauerstoff sich ausgleichen.

Mit der für die theoretische Chemie nicht unwichtigen Frage, ob es zwei solche chemisch-polare thätige Zustände des Sauerstoffes gebe, hängt nach meinem Ermessen das verschiedenartige Verhalten der metallischen Superoxyde zu der Salzsäure und dem Wasserstoffsuperoxyd so innig zusammen, dass ich nicht anstehe, die Behauptung auszusprechen: die besagte Verschiedenheit sey nichts Anderes als der thatsächliche Ausdruck der von mir angenommenen Gegensätzlichkeit oder Polarität der chemisch-thätigen Zustände des Sauerstoffes, und ich werde im Nachstehenden den Beweis für die Richtigkeit dieser allerdings höchst ungewöhnlichen Behauptung zu leisten suchen.

Es ist wohl bekannt, dass die Salzsäure mit den einen metallischen Superoxyden in sogenannte Chlormetalle, freies Chlor und Wasser, mit den andern ebenfalls in Chlormetalle und Wasserstoffsuperoxyd sich umsetzt.

Die erste Gruppe dieser Sauerstoffverbindungen besteht aus den Superoxyden des Mangans, Bleies, Nickels, Kobaltes, Wismuthes und Silbers, wozu auch noch die Uebermangan-, Chrom- und Vanadsäure gezählt werden dürfen. Zu der andern Gruppe gehören die Superoxyde des Bariums, Strontiums, Calciums und der übrigen alkalischen Metalle.

Die erste Gruppe ist weiter negativ dadurch charakterisirt, dass kein ihr angehöriges Superoxyd mit irgend einer wasserhaltigen Säure: Schweselsäure, Salpetersäure, Phosphorsäure u. s. w. das Wasserstoffsuperoxyd zu erzeugen vermag, und die zweite Gruppe dadurch, dass keines ihrer Superoxyde unter irgend welchen Umständen aus der Salzsäure oder irgend einem salzsaurem Salze Chlor zu entwickeln im Stande ist.

Es kommt ferner sämmtlichen Superoxyden der ersten Gruppe das Vermögen zu, das Wasserstoffsuperoxyd in Sauerstoff und Wasser zu zerlegen, wobei sie selbst katalysirt werden, während die Superoxyde der zweiten Gruppe und das Wasserstoffsuperoxyd vollkommen gleichgültig gegen einander sich verhalten.

278

Alle Superoxyde der ersten Gruppe bläuen augenblicklich die frisch bereitete Guajaktinctur, während die Superoxyde der zweiten Gruppe gleich dem Wasserstoffsuperoxyd diess nicht nur nicht thun, sondern umgekehrt die
durch die Superoxyde der ersten Gruppe gebläuete Harzlösung wieder entfärben.

Das volta'sche oder elektromotorische Verhalten der Körper steht bekanntermaßen in engem Zusammenhang mit ihrer chemischen Natur oder bestimmten allotropen Zuständen. So ist z. B. der freie ozonisirte Sauerstoff eine stark elektro-negative Materie, während der gewöhnliche Sauerstoff in elektro-motorischer Hinsicht indifferent sich verhalt, wie daraus erhellt, dass der Erstere das Platin kraftig negativ (wie das Chlor) polarisirt, der Gewöhnliche diess aber nicht thut. Bekannt ist nun auch, dass das elektromotorische Verhalten der ersten Superoxydgruppe durchaus demjenigen des freien ozonisirten Sauerstoffes gleicht, die Superoxyde der zweiten Gruppe aber gegenüber Denen der ersten als elektro-positive Substanzen sich verhalten. Diese so auffallende Verschiedenheit des chemischen und volta'schen Verhaltens der beiden Superoxydgruppen muss sicherlich irgend einen Grund haben, und nach meinem Ermessen kann derselbe in nichts Anderem, als in der Verschiedenheit der Zustände des in beiden Gruppen enthaltenen activen Sauerstoffs gesucht werden.

Der thätige Sauerstoff des Bariumsuperoxydes z. B. muss anders beschaffen seyn, als derjenige des Mangansuperoxydes. Oder woher käme es denn sonst, dass die Salzsäure mit BaO₂ Chlorbarium und Wasserstoffsuperoxyd erzeugt, mit MnO₂ aber in Chlormangan, freies Chlor und Wasser sich umsetzt? Warum soll der active Sauerstoff des Bariumsuperoxydes der Chlorwasserstoffsäure (um im Sinne der Davy'schen Hypothese zu reden) ihren Wasserstoff nicht eben so gut entziehen können, als diess der thätige Sauerstoff des Mangansuperoxydes u. s. w. thut? Oder worin läge der Grund, dass z. B. die wässerige Salpetersäure mit dem Bleisuperoxyd u. s. w. nicht in Bleioxydni-

trat und Wasserstoffsuperoxyd sich umsetzt, wie sie diess doch so leicht mit jedem Superoxyd der zweiten Gruppe thut; warum können das Silbersuperoxyd in Salpetersäure, das Blei- und Mangansuperoxyd als solche in Essigsaure gelöst seyn, ohne dass sich auch nur eine Spur von Wasserstoffsuperoxyd bildete? Und weshalb katalysiren die Superoxyde der ersten Gruppe und das Wasserstoffsuperoxyd sich gegenseitig mit so großer Lebhaftigkeit, während die Superoxyde der zweiten Gruppe und HO, völlig gleichgültig gegen einander bleiben? Weshalb bläuen nur die Superoxyde der ersten Gruppe die Guajaktinctur, und warum wird die durch dieselben gebläuete Harzlösung durch diejenigen der zweiten Gruppe wieder entfärbt? Woher endlich der so große Unterschied, welcher sich zwischen dem elektromotorischen Verhalten beider Superoxydgruppen zeigt?

Diese Fragen scheinen mir ihre Beantwortung einzig und allein in der Annahme zu finden, dass der thätige Sauerstoff der einen Superoxydgruppe in einem Zustande sich befindet, genau entgegengesetzt demjenigen, in welchem der active Sauerstoff der andern Gruppe existirt, in der Annahme also, dass in den einen Superoxyden positiv-activer, in den andern negativ-activer Sauerstoff vorhanden sey.

Da in der Folge von den beiden Superoxydgruppen noch manchmal die Rede seyn wird, so werde ich der Kürze halber die Superoxyde der ersten Gruppe bisweilen » Ozonide « und diejenigen der zweiten Gruppe » Antozonide « nennen, zu welchen beiden Abtheilungen jedoch, wie diess später sich zeigen wird, noch andere sauerstoffhaltige Verbindungen als diejenigen gehören, welche man bisher Superoxyde genannt hat.

Aus vielen von mir schon anderwärts angegebenen, der Analogie entnommenen Gründen kann ich nicht umhin, der ältern Theorie gemäß, das Chlor, Brom und Jod für sauerstoffhaltige Verbindungen anzusehen und noch des Weiteren anzunehmen, daß ein Theil des Sauerstoffgehaltes dieser Körper in de njenigen Zustande existire, in welchem der freie ozonisirte — wie auch der in der Uebermangansäure, dem Bleisuperoxyd u. s. w. vorhandene active Sauerstoff sich befindet, dass also jene für einfach geltende Stoffe der Gruppe der Ozonide angehören.

Bezeichnen wir, wie oben geschehen, die beiden von mir angenommenen thätigen Sauerstoffarten mit $\mathring{\Theta}$ und $\mathring{\Theta}$, das Wasserstoffsuperoxyd mit $HO+\mathring{\Theta}$, das Muriumsuperoxyd (Chlor) mit $MuO+\mathring{\Theta}$, somit das Bariumsuperoxyd mit $BaO+\mathring{\Theta}$, das Mangansuperoxyd mit $MnO+\mathring{\Theta}$ und die Salzsäure (Chlorwasserstoffsäure) mit MuO+HO, so läßt sich leicht begreifen, warum die Einwirkungsweise dieser Säure auf das Bariumsuperoxyd eine andere als diejenige auf das Mangansuperoxyd ist.

Aus einem uns noch gänzlich unbekannten Grunde kann HO nur mit Θ sich chemisch vergesellschaften, um dasjenige zu bilden, was wir bis jetzt Wasserstoffsuperoxyd genannt haben, und eben so vermag MuO (die hypothetisch wasserfreie Salzsäure der ältern Chemiker) nur mit Θ sich zu verbinden, um dasjenige zu erzeugen, was die heutige Chemie mit dem Namen Chlor bezeichnet. Bringen wir nun MuO+HO mit BaO+Θ zusammen, so vereiniget sich MuO mit BaO zu salzsaurem Baryt und HO mit Θ zu Wasserstoffsuperoxyd genäß der Gleichung MuO, HO+BaO, Θ = MuO, BaO+HO, Θ.

Lassen wir dagegen die Salzsäure auf MnO+ $\mathring{\Theta}$ einwirken, so tritt ein Theil von MuO mit $\mathring{\Theta}$ zu Muriumsuperoxyd und ein anderer Theil von MuO mit MnO zu salzsaurem Manganoxydul zusammen unter Austreten des mit der Salzsäure verbunden gewesenen Wassers gemäß der Gleichung 2 MuO, HO+MnO, $\mathring{\Theta}$ = MuO, $\mathring{\Theta}$ +MnO, MuO+2 HO. Hieraus würde sich überhaupt erklären, warum nur die Superoxyde der ersten Gruppe aus Salz-

säure oder salzsauren Salzen Chlor entbinden können, und warum nur die Superoxyde der zweiten Gruppe mit Salzsäure oder andern wasserhaltigen Säuren Wasserstoffsuperoxyd zu bilden vermögen.

Eben so wird durch meine Annahme das verschiedenartige Verhalten der beiden Superoxydgruppen gegen die Guajaktinctur begreiflich. Da nur $\mathring{\Theta}$ mit dem Guajakharze die bekaunte blaue Verbindung bilden kann, nicht aber $\mathring{\Theta}$ oder O, jenes $\mathring{\Theta}$ aber meiner Voraussetzung gemäß nur in den Ozoniden, $\mathring{\Theta}$ in den Antozoniden vorhanden ist, so vermögen auch einzig die Ersteren, wie das freie $\mathring{\Theta}$ selbst, das Guajak zu bläuen. Und eben weil die gebläuete Lösung dieses Harzes $\mathring{\Theta}$ enthält, muß sie durch die Antozonide, z. B. durch Wasserstoffsuperoxyd entfärbt werden, deren $\mathring{\Theta}$ mit dem $\mathring{\Theta}$ der Harzlösung sich zu O ausgleicht.

Was das verschiedenartige Verhalten der beiden Superoxydgruppen zum Wasserstoffsuperoxyd betrifft, so lässt
sich nach meinem Ermessen aus ihm allein schon nicht nur
auf die Verschiedenheit, sondern auch auf die chemische
Gegensätzlichkeit oder Polarität des in den besagten Gruppen enthaltenen activen Sauerstoffes schließen. Ist z. B.
das Bariumsuperoxyd = BaO + Å, das Mangansuperoxyd
== MnO + Å und das Wasserstoffsuperoxyd = HO + Å,
so können sich nur HO + Å und MnO + Å in Manganoxydul, Wasser und gewöhnlichen Sauerstoff umsetzen, und
müssen BaO + Å und HO + Å gleichgültig gegen einander bleiben, weil nur Å und Å, nicht aber Å und Å oder
Å und Å zu O sich auszugleichen vermögen.

Aus der Annahme, dass die Zustände des in den beiden Superoxydgruppen enthaltenen activen Sauerstoffs einander polar entgegengesetzt seyen und die gegenseitige Katalyse des Wasserstoffsuperoxydes und der Superoxyde der ersten Gruppe auf einer Ausgleichung oder Aufhebung dieser gegen-

sätzlichen Zustände beruhe. würde aber ganz allgemehn folgen, dass unter geeigneten Umständen jedes Ozonid zu jedem Antozonid gerade so wie das Wasserstoffsuperoxyd zu dem Mangansuperoxyd sich zu verhalten hätte, d. h. dass sie sich gegenseitig katalysirten.

Und wie man leicht einsieht, würde aus der besagten Annahme noch die weitere Folgerung zu ziehen seyn, dass jedes Ozonid gegen jedes andere Ozonid, wie auch jedes Antozonid gegen jedes andere Antozonid, wie das Wasserstofsuperoxyd gegen das Baryumsuperoxyd und das Mangansuperoxyd gegen das Bleisuperoxyd sich verhalten, d. h. wirkungslos bleiben sollte.

Sehen wir nun, wie die Sache in der Wirklichkeit sich Da mit wenigen Ausnahmen sämmtliche Ozonide und Antozonide im festen Zustand existiren und gemäß der alten chemischen Regel Corpora non agunt nisi soluta.« so steht nicht zu erwarten, dass ein sestes Ozonid auf ein gleichbeschaffenes Antozonid katalysirend einwirken werde. In der That lehrt auch die Erfahrung, dass aus einem noch so innigen Gemenge, z. B. von Baryum- und Silbersuperoxyd keine Spur von Sauerstoff sich entbindet. Schon anders aber verhält sich die Sache bei Anwesenheit von Wasser. Uebergiesst man mit dieser Flüssigkeit das letzterwähnte Superoxydgemenge, so tritt sofort eine lebhafte Sauerstoffgasentwicklung ein, das Baryumsuperoxyd wird zu Baryt (welcher sich im Wasser löst) und das Silbersuperoxyd zu metallischem Silber reducirt. Eben so lebhaft katalysiren sich gegeuseitig, bei Anwesenheit von Wasser, das Barvumsuperoxyd und Silberoxyd, und der Kürze wegen will ich hier ganz im Allgemeinen bemerken, dass alle die Oxyde, Superoxyde und Säuren, welche das Wasserstoffsuperoxyd zerlegen und dabei selbst entweder all ihren Sauerstoff oder nur einen Theil desselben verlieren, unter Beiseyn des Wassers auch ganz ähnlich gegen das Barvumsuperoxyd sich verhalten; sie wirken indessen, wie sich diess des festen Zustandes von BaO, halber zum Voraus erwarten lässt, nicht so rasch und energisch katalysirend auf das Letztere als auf das flüssige Wasserstoffsuperoxyd ein. Silberoxyd und Silbersuperoxyd katalysiren BaO₂ lebhafter, als diefs das Bleisuperoxyd thut, und dieses wirkt etwas lebhafter als das Mangausuperoxyd.

Es ist oben der Thatsache erwähnt worden, dass das Wasserstoffsuperoxyd (HO $+ \mathring{\theta}$) den freien ozonisirten Sauerstoff (O) in gewöhnlichen (O) überführe, und umgekehrt dieser ozonisirte Sauerstoff auch den activen Sauerstoff des Wasserstoffsuperoxydes in unthätigen verwandle und dadurch in Freiheit setze. Das ganz gleiche Verhalten gegen einander zeigen auch das Baryumsuperoxyd (BaO+Θ) und der freie ozonisirte Sauerstoff. Schüttelt man möglichst stark ozonisirte Luft mit Baryumsuperoxyd, das in verhältnissmässig viel Wasser zertheilt ist, lebhaft zusammen, so verschwindet beinahe augenblicklich auch die letzte Spur des vorhandenen ozonisirten Sauerstoffs, wie man sich hievon leicht mittelst feuchten Jodkaliumstärkepapiers überzeugen kann. Behandelt man eine gegebene Menge von BaO, mit hinreichend viel ozonisirtem Sauerstoff, so wird das Superoxyd zu Baryt reducirt, aus welchen Thatsachen erhellt, dass der freie ozonisirte Sauerstoff mit dem gebundenen activen Sauerstoff des Baryumsuperoxydes sich gerade so zu gewöhnlichem Sauerstoff ausgleicht, wie er es mit dem thätigen Sauerstoff des Wasserstoffsuperoxydes thut.

Sind die das Baryumsuperoxyd katalysirenden Ozonide in Säuren gelöst, oder wird ein Gemeng von BaO, und einem Ozonid, welches mittelst Wasserstoffsuperoxydes oder Erhitzung zur Salzbasis oder zu Metall reducirt werden kann, mit einer Säure übergossen, so findet die gegenseitige Katalyse von BaO, und seinem gegensätzlichen Oxyd ungleich rascher und vollständiger statt, als diess bei blosser Anwesenheit von Wasser geschieht, wie aus nachstehenden Angaben erhellen wird.

Führt man in die tiefbraune Lösung des Mangansuperoxydes in Essigsäure fein gepülvertes Baryumsuperoxyd ein, so entfärbt sich sofort die Flüssigkeit unter Bildung essigsauren Barytes und Manganoxydules und der lebhaftesten Entwickelung von Sauerstoffgas.

Eben so verhält sich das Baryumsuperoxyd gegen die braune Lösung des Silbersuperoxydes in kalter Salpetersäure, oder gegen das in Essigsäure gelöste Bleisuperoxyd: es entsteht im ersten Falle (wenn nicht zu viel BaO, augewendet) Baryt- und Silberoxydnitrat und im zweiten Falle Baryt- und Bleioxydacetat, natürlich unter lebhafter Entbindung von Sauerstoffgas.

Behandelt man eine etwas verdünnte Lösung reinen salpetersauren Silberoxydes mit Baryumsuperoxyd, so setzt sich das Ganze ziemlich rasch in Barytnitrat, metallisches Silber und gewöhnlichen Sauerstoff um. Gießt man auf ein inniges Gemeng von Baryumsuperoxyd und Bleisuperoxyd oder Mangansuperoxyd Essigsäure oder verdünnte Salpetersäure, so tritt eine stürmische Entwickelung von Sauerstoffgas ein, und es bilden sich die Acetate oder Nitrate des Barytes, Bleioxydes oder Manganoxydules. Trägt man in ein Gemisch von verdünnter Salpetersäure und einer Lösung der Uebermangansäure oder des übermangansauren Kalis fein gepulvertes Baryumsuperoxyd ein, so entfärbt sich die blaurothe Flüssigkeit augenblicklich unter Bildung von Baryt- und Manganoxydulnitrat unter lebhaftester Entbindung von Sauerstoffgas.

Führt man in salpetersäurehaltige Chromsäurelösung Baryumsuperoxyd ein, so setzt sich das Ganze rasch in salpetersauren Baryt, salpetersaures Chromoxyd und gewöhnlichen Sauerstoff um, welcher selbstverständlich frei wird.

Fügt man zu dem Gemische eines gelösten Eisenoxydsalzes (z. B. des Nitrates) und Kaliumeisencyanides gepülvertes Baryumsuperoxyd, so wird unter lebhafter Entwickelung von gewöhnlichem Sauerstoffgas Berlinerblau gefällt.

Aus diesen Thatsachen erhellt, dass das Baryumsuperoxyd ähnlich oder vielmehr gleich dem Wasserstoffsuperoxyd zu den Superoxyden der ersten Gruppe oder zu den Ozoniden im Allgemeinen sich verhält. Man könnte freilich auch annehmen, dass in allen den vorhin angeführten Fällen sich erst Wasserstoffsuperoxyd bilde und es das Letztere sey, welches die vorhin beschriebenen katalytischen Wirkungen hervorbringe. Indessen kommt, wie mir scheint die Sache auf das Gleiche heraus, denn es ist doch immer der im Baryumsuperoxyd enthaltene active Sauerstoff, welcher die besagten Wirkungen verursacht, und es kann deshalb auch völlig gleichgültig seyn, ob man diesen Sauerstoff erst vorher noch an das Wasser treten oder unmittelbar vom Baryumsuperoxyd aus wirken lässt.

Das bisher Gesagte möchte ich jedoch nicht so verstanden wissen, als ob ich annähme, dass das Ö der Antozonide zu dem Ö der Ozonide einen absoluten Gegensatz bilde, oder dass zwischen dem Ö der verschiedenen Ozonide und dem Ö der verschiedenen Ozonide gar kein Unterschied bestehe. Es giebt Thatsachen, welche vermuthen lassen, dass alle Zustandsunterschiede des Sauerstoffs nur relative seyen, was, wie man leicht begreift, die Möglichkeit einschlöse, dass unter gegebenen Umständen z. B. Ö in Ö sich überführen ließe und noch andere Zustandswandlungen des Sauerstoffs zu bewerkstelligen wären. Ich werde übrigens diesen theoretisch gar nicht unwichtigen Gegenstand in einer eigenen Arbeit behandeln, für welche bereits thatsächliche Materialien vorliegen.

Noch muß schließlich einiger Thatsachen umständliche Erwähnung geschehen, die eigentlich schon früher hätten besprochen werden sollen, welche ich aber absichtlich gesondert hervorheben wollte, weil ich der Meinung bin, daß dieselben auch ganz besonders zu Gunsten der Annahme sprechen, daß der in beiden Superoxydgruppen vorhandene active Sauerstoff in zwei einander polar entgegengesetzten Zuständen existire.

Wenn erfahrungsgemäß die Salzsäure mit den Superoxyden der ersten Gruppe nur Muriumsuperoxyd (Chlor), mit den Superoxyden der zweiten Gruppe nur Wasserstofssuperoxyd zu erzeugen vermag und dieser Reactionsuntensions within a der von aur weiter oben beneichnature Urseche hoptimiet lagt, so suiter aus einem inteigen
Gemone zweier gegensitzsieher Superaguier darch Solutione
weiter Chler endumien, auch Wassentstämpenungst gehöden, soniere der in besien Superaguien endultung autier
Sumezunf aus unthätten au Fresheit gesetzt werden. Den
ist nur weitlich auch so. dem übergenist zum ein mitglicht
integen, aus fürst Theilen Bergumapenungste und zwei Theilen Mangensupenungste benedensite Gemung mit etwas verdiameter Suitsimer, au setzt sich des Gauter sehr zusch in
salmannen Berge, salsatzes Mangenengwick und frei wendenden gewähnlichen Sunesunf zu, weschen auch keine Spar
von Chler begemenne ist.

House so minimum Empires with such vellaration, were memor learning quality in Recommendated — Red 44 in Management via — Mad 47 in Class — Mad 47 in Management via — Mad 48 in Management via — Mad 48 in Mad 60 in Management was recommended and the 4 in management was not one of the analogue and the 4 in management was not as another well as in Mad 60 in Management was at 18 in Mad 60 in Management and the 60 in Management was at the 60 in Management and the 60 in Management was attended in the 60 in Management was attended in the 60 in Management was attended in Management and in the 60 in Management and in Management

Come an wor the Subjective resolutions, which has non-

vorhin erwähnten Superoxydgemeng Brombaryum und Brommangan bildet unter stürmischer Entbindung gewöhnlichen Sauerstoffgases, dem ebenfalls keine Spur freien Bromes beigemengt ist.

Was die wässerige Jodwasserstoffsäure betrifft, so wirkt sie zwar den beiden vorhin erwähnten Säuren ähnlich auf das besagte Superoxydgemeng ein, d. h. setzt sich mit demselben unter Sauerstoffgasentwickelung in Jodbaryum und Jodmangan um; es kommen jedoch hierbei merkliche Spuren freien Jodes zum Vorschein, wie diess schon die Färbung der Flüssigkeit zeigt und mittelst des Stärkekleisters außer Zweifel gestellt wird.

Sind, wie ich dafür halte, das Brom, Jod und Chlor Ozonide, d. h. sauerstoffhaltige Verbindungen, welche Ö enthalten, so sollten sie auch auf das Wasserstoffsuperoxyd, wie überhaupt auf die Superoxyde der zweiten Gruppe (Antozonide) einen katalisirenden Einflus ausüben, ähnlich demjenigen, welchen z. B. das Bleisuperoxyd gegen HO₂ äußert. Da ich das Verhalten der drei genannten Salzbildner zum Wasserstoffsuperoxyd und zu den Antozoniden überhaupt in einer besondern Arbeit zu behandeln gedenke, so will ihr hier vorläufig nur eines Ergebnisses meiner bisherigen Untersuchungen über diesen Gegenstand erwähnen, welches nach meinem Dafürhalten in einer nahen Beziehung zu der vorliegenden Frage steht.

Brom und Wasserstoffsuperoxyd. Lässt man in Wasserstoffsuperoxyd ein Tröpfchen reinen Bromes fallen, so bedeckt sich dasselbe mit einer Gasblase, welche bald so groß wird, daß sie sich vom Brom ablöst und in der Flüsigkeit außsteigt; es folgt schnell eine zweite, dritte u. s. w. Blase nach, und dieses am Brome sich entbindende Gas ist nichts Anderes als gewöhnlicher Sauerstoff. Schüttelt man den Bromtropfen sofort mit dem Wasserstoffsuperoxyd zusammen, so tritt eine stürmische Sauerstoffgasentwickelung ein, gerade so, als ob man Blei- oder Mangansuperoxyd mit HO₂ in Berührung gesetzt hätte. Das Brom bleibt je-

238

doch nicht als solches in der Flüssigkeit gelüst, wie diese nach obigen Angaben z. B. die mit Wasserstoffunperunyd vermischte Chromsture thut, welche zwar HO, katalyzirt, nicht aber selbst katalyzirt wird.

Hat man zu einer gegebenen Menge Bruns hinreichend viel Wasserstoffsuperoxyd gefügt, so wird eine farbloss, samerschmeckende, das Lakmuspapier stark röthende Flüssigkeit erhalten, welche nicht mehr nach Brom riecht und die, mit etwas Chlorwasser versetzt, sich augenblicklich braungelb färbt in Folge frei gewordenen Broms.

Stellt man den Versuch so an, das Wasserstoffsuperoxyd in hinreichender Menge mit einer concentrirten wäsasrigen Bromlösung vermischt wird, so treten selbstverständlich die Gleichungen ein: augenblickliche Entfärbung des Bromwassers, Verschwinden des Bromgeruches, Sauerwerden der Flüssigkeit, Entbindung gewöhnlichen Sauerstoffgases und Wiedergelbwerden der farblosen Flüssigkeit bei Zusatz von Chlorwasser.

Aus diesen Thatsachen erhellt, dass bei der Einwirkung des Broms auf Wasserstoffsuperoxyd dasjenige entsteht, was die Chemiker Bromwasserstoffsäure nennen, ein Ergebnis, das merkwürdig und unerwartet genug ist, und welches die heutige Theorie wohl nicht anders als durch die an und sür sich sehr unwahrscheinliche Annahme erklären kann, dass Brom dem Wasserstoffsuperoxyd den Wasserstoff entziehe und dadurch den mit diesem Elemente verbundenen Sauerstoff in Freiheit setze.

Bei meinen Ansichten über die chemische Natur des Broms muß ich natürlich die eben erwähnten Erscheinungen anders deuten; ich leite den entbundenen Sauerstoff theils vom Wasserstoffsuperoxyd (HO + 0), theils vom Bromiumsuperoxyd (Brom = BrO + 0) her und überlasse es dem Ermessen unbefangener Chemiker, zu entscheiden, auf welcher Seite das größere Gewicht der Analogie liege.

Da bekanntlich alle die durch das Brom. Jod und Chlor hervorgebrachten Oxydationswirkungen, wie überhaupt alle auf diese drei Stoffe sich beziehenden Erscheinungen eben so genügend nach der Berthollet'schen als Davy'schen Hypothese sich erklären lassen, so sind es bis jetzt nur Gründe der Analogie, welche den Chemiker bestimmen können, die eine Ansicht für wahrscheinlicher als die andere zu halten. Was mich betrifft, so ist es unnöthig zu wiederholen, dass ich der ältern Theorie den Vorzug gebe, trotz des etwas misslichen und bedenklichen Umstandes, dass die übrige chemische Welt seit einem halben Jahrhundert das Gegentheil thut und Denjenigen mitleidig belächelt, welcher an der Richtigkeit der englischen Lehre auch nur im Mindesten zu zweiseln wagt.

VI. Ueber die Lösungen der Manganoxydsalze; von Heinr. Rose.

Das Manganoxyd ist eine so schwache Base, dass es aus vielen seiner salzartigen Verbindungen, namentlich aus dem schweselsauren Manganoxyd und aus der Lösung des Manganchlorids durch die geringsten Mengen von Wasser als Hydrat ausgeschieden wird, und dass es daher nicht gut möglich ist, viele Manganoxydsalze in Lösungen zu erhalten. Es gelingt dies nicht, selbst wenn man diese Salze mit einem Ueberschuss von Säure behandelt.

Carius, dem wir die Darstellung eines reinen schwefelsauren Manganoxyds verdanken'), hat gezeigt, dass sich dasselbe nur dann in überschüssiger Schwefelsäure löst, wenn es zugleich Manganoxydul enthält. Es bildet dann eine purpurrothe Lösung.

In der Lösung dieses Doppelsalzes wird das Manganoxyd, wegen der Gegenwart der großen Menge der freien Säure erst durch eine größere Menge von Wasser, aber

¹⁾ Ann. der Chem. und Pharm. Bd. 98, S. 53.

vollständig gefällt. In der von Manganoxydhydrat getrennten Flüssigkeit findet man immer die Gegenwart von Manganoxydul.

Die Lösungen des Manganoxyds in Sauerstoffsäuren haben hinsichtlich ihrer Farbe eine solche Aehnlichkeit mit der einer Lösung des übermangansauren Kalis, dass sie oft für Lösungen von Uebermangansäure gehalten worden sind, und zwar für eine Modification der Uebermangansäure, die sich durch ihre größere Beständigkeit von der Uebermangansäure des gewöhnlichen übermangansauren Kalis unterscheidet ').

Am merkwürdigsten verhält sich die Lösung des phos-

phorsauren Manganoxyds.

Erhitzt man Manganoxyd, Manganoxyd-Oxydul, Mangansuperoxyd, mangansaure oder übermangansaure Salze mit syrupartiger Phosphorsäure, so lösen sie sich in der-Hat man so lange erhitzt, bis die Säure selben auf. anfängt sich schwach zu verslüchtigen, so hat die Masse heiss eine schöne tief blaue Farbe, dem Blau. das Kobaltoxyd den Flüssen mittheilt, ähnlich. Beim Erkalten wird die Farbe schön purpurfarben; mit Wasser giebt sie eine Lösung von derselben Farbe, vollkommen ähnlich einer Lösung des übermangansauren Kalis. Sie enthält aber Manganoxyd, das durch die Phosphorsäure gegen die Fällung durch Wasser geschützt wird, durch sie eine große Beständigkeit erhält, selbst durch langes Kochen nicht zersetzt wird und überhaupt ein verändertes Verhalten gegen Reagentien zeigt, wie im Allgemeinen die Phosphorsäure in dieser Hinsicht wie Weinsteinsäure und andere organische Säuren auf viele Metalloxyde wirkt. Kalihydrat bringt in der Lösung einen braunen Niederschlag hervor; die über demselben stehende Flüssigkeit ist farblos. Fügt man zu der Lösung eine bei gewöhnlicher Temperatur bereitete Lösung von Chromoxyd in einem Ueberschufs von Kalihydrat, so wird durch diese braunes Manganoxyd gefällt; die filtrirte

¹⁾ Berzelius, Lehrbuch der Chem. 5te Auflage Bd. 2, S. 768. Dessen Jahresbericht, 26ster Jahrg. 1847, S, 276.

Flüssigkeit ist farblos, nicht gelb gefärbt, und enthält keine Spur von chromsaurem Kali; sie konnte deshalb keine Uebermangansäure enthalten. Ammoniak erzeugt in der Lösung keinen Niederschlag, sondern nur eine tief dunkelbraune Färbung, die auch nach Verdünnung mit vielem Wasser klar bleibt. In dieser Lösung bringt Schwefelammonium keine Fällung von Schwefelmangan hervor. Eine Lösung von kohlensaurem Natron giebt einen hellbraunen Niederschlag; die darüber stehende Flüssigkeit bleibt aber braun gefärbt. Durch Schwefelammonium wird nach längerer Zeit Schwefelnangan darin erzeugt. Fügt man nach der Sättigung der rothen Flüssigkeit mit kohlensaurem Natron eine Lösung von Cyankalium hinzu, so erhält man eine klare braune Lösung, in welcher durch Schwefelammonium kein Schwefelmangan entsteht.

Durch Oxalsäure wird die rothe Lösung sogleich braun. und nach längerer Zeit ganz farblos. Fügt man Chlorwasserstoffsäure zu der etwas concentrirten rothen Lösung, so wird dieselbe dunkelbraun, und erhält die Farbe des Manganchlorids. Verdünnt man aber mit Wasser, so wird die Lösung wiederum purpurfarben. Durch die Einwirkung der Chlorwasserstoffsäure wird die Lösung nicht entfärbt; auch nach längerem Erhitzen wird die Farbe der Lösung nur etwas heller. Selbst wenn dann Alkohol hinzugefügt wird, ist ein längeres Erhitzen und Zeit erforderlich, um eine Entfärbung hervorzubringen. Die Gegenwart der Phosphorsäure verhindert also lange die Desoxydation des Manganoxyds durch Chlorwasserstoffsäure. Schnell aber findet eine Entfärbung statt, wenn man zu der rothen Lösung Chlorwasserstoffsäure und etwas Zucker gesetzt hat und dann erwärmt wird.

Salpetersäure, welche eine auch nur kleine Menge von salpetrichter Säure enthält, entfärbt die rothe Lösung sogleich.

Durch kohlensaure Baryterde wird schon bei gewöhnlicher Temperatur die rothe Lösung sogleich entfärbt, und rothes phosphorsaures Manganoxyd gefällt. Die filtrirte

Lösung enthält keine fixen Bestandtheile. Die rothe Fällung löst sich mit purpurrother Farbe in Säuren auf, und zeigt nach Abscheidung der Baryterde vermittelst Schwefelsäure die ursprünglichen Eigenschaften.

Kaliumeisencyanür bewirkt in der rothen Lösung einen grünlichen, und Kaliumeisencyanid einen braunen Niederschlag wie in einer Manganchloridlösung.

So täuschend ähnlich die Lösung des phosphorsauren Manganoxyds hinsichtlich der Farbe der des übermangansauren Kalis ist, so findet ein geringer Unterschied statt, wenn man beide beim Lampenlicht betrachtet oder, mit sehr vielem Wasser verdünnt, sie beim Lampen- oder beim Tageslicht untersucht. Das übermangansaure Kali behält in beiden Fällen seine Purpurfarbe; die Lösung des phosphorsauren Manganoxyds hingegen verliert den Stich ins Violette, und wird mehr rein roth.

Wird die Lösung des Manganoxyds in syrupartiger Phosphorsäure stärker erhitzt, so wird sie entfärbt, und enthält Manganoxydul. Bei größeren Mengen von aufgelöstem Manganoxyd ist dazu ein langes Schmelzen erforderlich; schneller aber wird die Entfärbung bewirkt, wenn man im Platingefäß den Syrup bei so starkem Rothglühen erhitzt, daß er kocht. — Bringt man in die farblose Masse etwas Salpeter oder chlorsaures Kali, und erhitzt gelinde das Ganze, so wird sie wieder blau und nach dem Erkalten purpurfarben.

Schmelzt man Manganoxydul oder ein Manganoxydulsalz mit syrupartiger Phosphorsäure, so erhält man eine farblose klare Masse, die sich vollständig in Wasser löst. Die geringsten Mengen von Manganoxyd in Oxydul oder von einer anderen höheren Oxydationsstufe des Mangans färben dieselben purpurroth.

In der farblosen Lösung bringt Kalihydrat anfangs keine Veränderung hervor; nach und nach bräunt sich aber die Flüssigkeit von der Oberstäche aus, und es setzt sich endlich ein brauner Niederschlag von Manganoxydhydrat ab. Schneller geschieht diess durchs Erhitzen. Ammoniak läst

die Lösung ganz unverändert; auch nach langer Zeit findet keine Bildung von Manganoxydhydrat statt. Wird sie erhitzt, so erzeugt sich in ihr eine weise Fällung von metaphosphorsaurem Manganoxydul, die sich in vielem Wasser nicht löst. Durch Schweselammonium wird in der ammoniakalischen Lösung keine Fällung von Schwefelmangan erzeugt; auch salpetersaures Silberoxyd bringt darin nicht einen schwarzen Niederschlag von Manganoxyd-Silberoxydul hervor. Kaliumeisencyanür und Kaliumeisencyanid verhalten sich gegen die Lösung wie gegen andere Manganoxydullösungen. Kohlensaure Baryterde fällt aus der Lösung bei gewöhnlicher Temperatur das metaphosphorsaure Manganoxydul vollständig. Wird das Gefällte in Chlorwasserstoffsäure gelöst, und die gelöste Baryterde durch Schwefelsäure entfernt, so wird in der Lösung durch Kalihydrat eine Fällung erzeugt, die sich sehr bald bräunt; Ammoniak fällt schon bei gewöhnlicher Temperatur einen weißen Niederschlag, den aber Schwefelammonium nicht in Schwefelmangan verwandelt.

Hat man Manganoxydul in syrupartiger Phosphorsäure durchs Erhitzen gelöst, so wird die farblose Masse purpurfarben, wenn man sie längere Zeit beim Zutritt der Luft erhitzt, aber nur in einem schwachen Grade, so dass sie nicht anfängt sich zu verflüchtigen. Sie kann aber auf diese Weise nur eine schwache und helle Purpurfarbe an-Es zeigen sich also hier ähnliche Erscheinungen, wie beim Auflösen manganhaltiger Körper in Phosphorsalz vermittelst der Löthrohrslamme. In der äussern Flamme ist die Perle amethystfarben aber nicht stark, wenigstens lange nicht so stark wie im Boraxglase; in der innern Flamme wird sie aber farblos, und dieser Erfolg wird weniger durch die reducirenden Gasarten des Löthrohrs hervorgebracht, als durch die blosse Einwirkung der hohen Temperatur beim Ausschluss der Luft.

Die Lösung des Manganchlorids theilt nicht die Purpurfarbe der Lösungen der Sauerstoffsalze des Oxyds. Sie sieht bekanntlich dunkelschwarzbraun aus. Gegen Reagentien verhält sich übrigens die Lösung des Chlorids und die des schwefelsauren Manganoxyds (das Oxydul enthält) ziemlich ähnlich. Aus beiden wird durch Wasser das Manganoxyd als Hydrat gefällt. In der schwarzbraunen Lösung des Chlorids ist immer auch etwas Chlorür enthalten. Fügt man zu einer etwas concentrirten Manganchloridlösung syrupartige Phosphorsäure, so erfolgt keine Veränderung. Verdünnt man aber das Ganze mit Wasser, so erhält man eine purpurrothe Lösung.

Walter Crum hat eine Methode angegeben, um die kleinsten Mengen von Manganoxydul in einer Lösung zu erkennen '). Sie besteht darin, dass man braunes Bleisuperoxyd mit verdünnter Salpetersäure erhitzt, und dann eine kleine Menge von der Lösung hinzusetzt. Die Flüssigkeit nimmt bei Gegenwart von Manganoxydul eine intensiv purpurrothe Farbe an, die sehr leicht zu erkennen ist, wenn der Ueberschuss des Superoxyds sich zu Boden gesetzt hat. Diese Probe ist in der That von einer überraschenden Empfindlichkeit, und gewiss die empfindlichste auf Mangan auf nassem Wege. Die Purpursarbe der Lösung rührt aber nicht von Uebermangansäure, sondern von Manganoxyd her.

Ebenso wird nach manchen Methoden, die zur Darstellung von Uebermangansäure gegeben worden sind, nur eine Lösung von Manganoxyd erhalten ²).

¹⁾ Ann. der Chem. und Pharm. Bd 55, S. 219.

²⁾ L. Gmelin's Handburh, 4. Aufl., Bd. 25, S. 639.



Im vierten Hefte dieser Ann. vom laufenden Jahre S.654 macht Hr. Zeis in Jena auf eine nicht uninteressante Erscheinung aufmerksam. Wenn man nämlich bei sogenannter schiefer Beleuchtung ein Mikroskop auf ein Object einstellt, so scheint sein Bild, vom Hervordämmern bis zur völligen Klarheit und von da bis zum Wiederverschwinden, eine seitliche Bewegung durch das Gesichtsfeld zu machen, während es bei gerade von unten auffallendem Lichte einfach auftaucht, deutlich wird und wieder vergeht. Diese Seitenbewegung erfolgt in der Art, dass, wenn man das Objectiv vom Object entfernt, d. i. aufwärts schraubt, das Bild sich nach jener Seite verrückt, auf welcher der Spiegel steht. Nähert mant das Objectiv dem Object, (schraubt man abwärts), so weicht das Bild nach der dem Spiegel entgegengesetzten Seite ab.

Diese Verschiebung ist eine stärkere bei stärkerer Verstellung des Spiegels; bei ungefähr 20° Abweichung des Spiegels beträgt der Weg, den das Object (ein Coconfaden oder ähnliches) zurücklegt, während es im Mikroskop sichtbar ist, 0,0012 bis 0,0010 par. Zoll, bei 40° Spiegel-Abweichung 0,0025 bis 0,0027 par. Zoll. Da beim Auf- und Abschrauben der Mikroskopröhre sich aber die Lage des Bildes in dieser ändert, so muß nothwendig die Seitenbewegung des Bildes mit dieser Lage des Bildes im Zusammenhang stehen.

Bevor ich weiter gehe mus ich noch einer Angabe des Hrn. Zeis a. a. O. gedenken. Er sagt nämlich: da das Mikroskop die Gegenstände verkehrt zeige, so erfolge die angedeutete Bewegung in entgegengesetztem Sinne, als oben angeführt wurde. Aber die Umkehrung des Bildes erfolgt. durch das Objectiv, während das Ocular den Gegenstand aufrecht giebt; hier handelt es sich aber nicht um eine Eigenschaft des Gegenstandes, sondern um eine des Bildes; die Bewegungen des Bildes bei unverrücktem Object werden daher aufreht geschen, und geschehen in dem Sinne, wie man sie wahrnimmt. Das Bild entfernt sich daher beim Abwärtsschrauben nach der dem verstellten Spiegel entgegengesetzten Seite. Man kann sich auch mittelst eines Mikroskops, das ein aufrechtes Bild giebt, sehr leicht von der Wahrheit des Gesagten überzeugen, da nämlich in diesem das Ocular das vom Objectiv verkehrt entworfene Bild wieder umkehrt, so muß die Bewegung des Bildes in diesem die entgegengesetzte, d. h. die von Zeis angegebene seyn, was sich auch in der That so verhält.

Bei gerader Beleuchtung sind aber die Lagen des Bildes die folgenden:

Sey in Fig. 14 Taf. III A die Mikroskopröhre, O das Objectiv, BB das Object, S der Spiegel, C das Ocular, so liegt das von O entworfene Bild des Objectes in B'B', sein Mittelpunkt B" in der optischen Axe des Instrumentes, in der Linie SOC. Schraubt man O nach oben, so geht B'B' nach DD, wobei sich seine Lage gegen das (einmal festgestellte) Ocular und das damit verbundene Collectiv L so ändert, dass es unter dieses zu liegen kommt und somit endlich verschwindet; erst durch Tieferstellen des Oculars (Verkürzung der Röhre) wird es wieder deutlich.

Schraubt man dagegen nach unten, so geht B'B' nach EE; es hebt sich und nähert sich dem Oculare, wird dadurch undeutlich und kann erst durch Ausziehen der Röhre wieder deutlich gemacht werden. Man sieht, dass das Bild in dieser eine Bewegung macht, welche jener der Röhre gerade entgegengesetzt ist; es hebt sich, wenn man diese senkt, und umgekehrt. Da bei gerader Beleuchtung die einander entsprechenden Punkte der bei verschiedenen Objectivdistanzen entworfenen Bilder genau übereinander liegen, also D'B' E' in der Axe des Mikroskops, so kann man diese

verticale Bewegung des Bildes, während man durch das Ocular sieht, nicht unmittelbar bemerken; ihr einziges Zeichen ist das Deutlich- und Undeutlichwerden des Bildes. Nimmt man aber während des Einstellens eine Seitenbewegung des Bildes gewahr, so kann sie, dem Gesagten nach, nur dadurch hervorgebracht werden, dass sich die den einzelnen Objectivdistanzen entsprechenden Bilder nicht vertical decken, sondern einzeln betrachtet um so mehr excentrisch lagern, je tiefer der Stand des Objectivs, (je höher das Bild) ist. Bei schiefer Beleuchtung Fig. 15 Taf. III kommen die Bilder DD'D. B'B'B', EE'E und alle dazwischen liegenden so zu liegen, dass ihre Centra seitlich von OC liegen; und es ist klar, dass diese Stellung der Bilder dadurch bemerklich wird, dass sie während des Einstellens successive von unten nach oben, oder von oben nach unten gehen, je nachdem man abwärts oder aufwärts schraubt. In jedem Fall legen sie den Weg D'E' zurück, der bei Betrachtung von oben aber in eine Ebene gesehen wird, und somit unsere seitliche Verschiebung darstellt.

Dass D'B'E' wirklich auf derselben und zwar der dem Spiegel entgegengesetzten Seite von OC liegt, kann dem Gesagten zusolge auch keinem Zweisel unterliegen, und kann auch durch ein einsaches Experiment gezeigt werden. Man benutze als Object einen "Coconfaden", oder ein Glasnikrometer, lege in das Ocular ein Fadenkreuz oder Mikrometer und bringe beides bei gerader Beleuchtung in die zum Messen eines Objectes ersorderliche Stellung. Dann schiebe man, ohne sonst am Instrumente etwas zu rühren, den Spiegel zur Seite, und es wird sogleich das Bild des Objectes aus die entgegengesetzte Seite abweichen.

Der Grund des von Hrn. Zeis näher gewürdigten Phänomens besteht somit darin, dass das von dem seitlich gestellten Spiegel kommende Licht das Object schief durchdringt und somit schief auf das Objectiv fällt, also dem entsprechend auch ein excentrisch liegendes Bild in der Mikroskopröhre erzeugt, das in seinen verschiedenen Höhen verschieden aber entsprechend abweicht, und dessen Excen-

tricität beim Einstellen des Mikroskops als horizontale Verschiebung erscheint.

Krakau am 6. August 1858.

VIII. Ueber eine optische Inversion bei Betrachtung verkehrter, durch optische Vorrichtung entworfener, physischer Bilder; von H. Schröder.

- 1. Im Jahre 1744 theilte Dr. Ph. Fr. Gmelin in Würtemberg der Londoner königl. Gesellschaft einige sonderbare Illusionen mit, welche er bei Betrachtung verschiedener Körper durch Teleskope und durch zusammengesetzte Mikroskope beobachtet hatte, indem sich häufig die Erhabenheiten der Körper in Vertiefungen, und die Vertiefungen in Erhabenheiten verwandelten. In anderen Fällen geschah diefs auch nicht. In den *Philos. Trans.* von 1745 hat Gmelin über diesen Gegenstand eine Abhandlung veröffentlich. Er bemühte sich ohne Erfolg einige feste Bedingungen der Erscheinung aufzusuchen, und hat auch keinen Versuch gemacht, dieselbe zu erklären.
- 2. Im Jahre 1780 beschäftigte sich David Rittenhouse, Präsident der amerikanischen philosophischen Societät, mit diesen Täuschungen. Er gab keine genügende Erklärung, indem er die Erscheinung lediglich auf eine Umkehrung des Schattens durch jene optischen Vorrichtungen zurückzuführen suchte. Es ist klar, dass die blosse Umkehrung des Schattens nicht die Vorstellung einer Inversion, sondern lediglich die Vorstellung einer verkehrten Beleuchtung hervorrusen müste.
- 3. Sir David Brewster im Edinburgh Journal of Science Vol. IX. 1826, schliefst sich der Erklärung von Littenhouse an, und führt sie weiter aus. Da man wisse,

von welcher Seite das Licht komme, und den Schatten verkehrt sehe, so schließt der Beobachter sogleich, sagt Brewster, daß, was früher eine Vertiefung war, nun eiue Erhabenheit seyn müsse, und umgekehrt. Die factischen Belege, welche Brewster zur Unterstützung dieser Erklärung beibringt, sind irrig, wie ich zeigen werde. Die Erklärung selbst ist unzulässig, weil das Bewußstseyn überhaupt niemals im gesunden Zustande einen Einfluß auf die sinnliche Wahrnehmung ausübt, und weil durch eine Reihe von Thatsachen gezeigt werden kann, daß bei den fraglichen Täuschungen das Bewußstseyn, von welcher Seite das Licht kommt, nicht den mindesten Einfluß übt.

In seinen Beiträgen zur Physiologie des Gesichtssinnes in den Philos. Trans. 1838 Bd. II., deutsch von Dr. Franz in den Ann. Ergänzungsband No. 1, widerlegt Wheatstone in Betreff jener Inversionen Brewster's Ausicht. Ihm scheint die wahre Erklärung darin zu liegen, dass, wenn die Gegenstände nur mit Einem Auge betrachtet werden, der Urtheilskraft über das Relief ihre zuverlässigste Richtschnur fehle, nämlich die Darstellung verschiedener Bilder auf der Retina jedes Auges. Die Einbildungskraft ersetze nun den Mangel derselben, und wir sähen daher das Bild des Objects erhöht, oder vertieft, gerade wie sie es uns, durch andere hinzukommende Umstände beeinflusst, angebe. Dass auch dieser Erklärungsversuch Wheatstone's ein ungegründeter ist, geht schon daraus hervor, dass man auch mit Einem Auge ein ausreichend sicheres und richtiges Urtheil über das Relief der Objecte hat, und dass bei monocularem Sehen mit freiem Auge ähnliche Inversionen, wie bei Betrachtung verkehrter, durch optische Vorrichtungen entworfener, physischer Bilder nicht stattfinden.

In dem Repertorium der Physik von Dove, 1844, Bd. 5, S. 377, kommt endlich Moser auf den Gegenstand zurück. Er erhebt gegründete Bedenken über die Ansichten Wheatstone's, ohne jedoch selbst eine genügende Erklärung der Erscheinung zu versuchen. Er ist der Ansicht, dass man die Erklärung nicht aus Einem Principe ableiten könne;

diese Erscheinungen gehörten zum Theile zu denjenigen, welche man bei stereometrischen Figuren beobachte, welche manchmal ähnliche sonderbare Inversionen erlitten.

- 6. Sowohl Brewster, als Wheatstone, und endlich auch Moser bringen übrigens das Erhabensehen hohler Matrizen von Köpfen und Figuren mit freiem Auge in dieselbe Kategorie, wie das Umgestülptsehen mit Hülfe von umkehrenden optischen Vorrichtungen, während diese Täuschungen doch auf ganz verschiedenen Bedingungen beruhen, und nichts mit den Inversionen mit freiem Auge gemein haben. Von diesen letzteren glaube ich eine vollständige und genügende Erklärung in diesen Ann. Bd. 87, S. 306 u. d. f. in einer Abhandlung unter dem Titel: »Ueber eine optische Inversion mit freiem Auge « gegeben zu haben.
- 7. In allen oben bezeichneten Nachrichten, welche bisher über die fraglichen Umstülpungen gegeben worden sind, finden sich die eigentlichen Bedingungen des Versuches selbst so undeutlich bezeichnet, dass man dieselben erst nach mancherlei Proben herausfindet, und diese ist wohl auch die Ursache, weshalb die Erscheinung selbst nur Wenigen bekannt ist.

Die allgemeine Bedingung der Erscheinung ist: das das von einer Sammellinse, oder von einer wie eine Sammellinse wirkenden optischen Vorrichtung entworfene physische Bild eines Objects entweder direct mit freiem Auge oder mit einem nicht umkehrenden Oculare betrachtet werde. Sie tritt also unter sonst entsprechenden Umständen ein, wenn man einen Gegenstand mit einem umkehrenden zusammengesetzten Mikroskop oder Fernrohr oder Teleskop betrachtet; sie tritt ebenso ein, wenn man das von einer einfachen oder zusammengesetzten Lupe, oder von einem Hohlspiegel entworfene physiche Bild beschaut. Im letzteren Falle muß die Lupe um mehr als ihre Brennweite von dem Objecte abstehen: andererseits muß das Auge so weit von der Lupe entfernt seyn, daß das von dieser entwor-

fene physische Bild zwischen das Auge und die Lupe zu liegen kommt.

Ich werde nun im Folgenden immer nur von einer solchen Betrachtung eines Objectes durch eine Lupe reden, da sich alles für die Lupe Gesagte sehr leicht auf andere und zusammengesetzte optische Vorrichtungen, welche ein verkehrtes Bild geben, übertragen läst. Ich werde ferner, der Kürze wegen, einfach den Ausdruck wählen: "bei Betrachtung mit der Lupe " oder "mit der Lupe ", indem es sich dabei immer von selbst versteht, das die oben bezeichneten Bedingungen gemeint seyen. Ich kann mich zugleich kürzer fassen, wenn ich die Theorie der Erscheinung vorausschicke, und dann die Uebereinstimmung der Beobachtung mit derselben nachweise.

Die bei monocularem Sehen dem Auge und dem unbewusst thätigen Urtheile gegebenen Hülfsmittel Schätzung der Entfernung sind bei Betrachtung eines physischen Bildes entweder ganz aufgehoben, oder doch so modificirt, dass die gewohnte sichere Orientirung der Vorstellung damit zugleich größtentheils weggenommen ist. Eines der allgemeinsten Mittel zur Schätzung der relativen Entfernung ist die Projection auf den Hintergrund. Dasjenige Object ist das nähere, welches sich auf ein Anderes projicirt. Der Stand jeder optischen Vorrichtung begränzt nothwendig das durch dieselbe sichtbare Bild; es projicirt sich auf dasselbe, und darin ist der Grund zu suchen, weshalb, entgegen der gewöhnlichen Annahme, auch das vor einer Linse oder einem Hohlspiegel entworfene physische Bild, mit Einem Auge betrachtet, doch hinter der Linse oder dem Spiegel gesehen wird. Erst vor kürzerer Zeit hat Dove (diese Ann. Bd. 85, S. 404) zuerst darauf aufmerksam gemacht, dass nur bei binocularem Sehen das vor einem Hohlspiegel entworfene Bild wirklich vor demselben gesehen wird.

Ein zweites wesentliches Hülfsmittel ist die Parallaxe bei einer kleinen Bewegung des Kopfes und Auges. Es verschiebt sich die Projection auf den Hintergrund bei einem näheren Objecte viel rascher, als bei einem entfernteren. Auf dieses Hülfsmittel zur Beurtheilung der relativen Entfernung hat meines Wissens zuerst De la Hire aufmerksam gemacht.

Indem nun bei Betrachtung eines physischen Bildes die Projection des Lupenrandes und des Bildes, und die Verschiebung dieser Projectionen auf dem Hintergrunde mit der Projection des Lupenrandes auf das Bild selbst im Widerspruch steht, und indem außerdem die Projectionen und ihre Verschiebungen im Bilde selbst gänzlich ungewöhnliche Verhältnisse annehmen, ist das unbewußt thätige Urtheil völlig unsicher gemacht, und irregeleitet.

9. Ein kaum minder wesentliches Hülfsmittel zur Wahrnehmung der Entfernung mit Einem Auge ist das Verhältnis der bekannten oder vorgestellten Größe zur scheinbaren Größe der Objecte; denn die Vorstellung von der Größe der Objecte ist von ihrer Entfernung innerhalb bestimmter Gränzen unabhängig. Schon Biot hat darauf aufmerksam gemacht, daß ein Mensch, der sich von uns entfernt, nicht kleiner zu werden scheint; er wird immer in derselben Größe vorgestellt, so lange die Entfernung nicht so groß wird, daß sie das uns geläufige Maaß überschreitet. Ist daher die Größe eines Objects einmal in die Vorstellung aufgenommen, so ist dessen-Entfernung für die Vorstellung unmittelbar mit seiner scheinbaren Größe gegeben.

Indem nun bei Betrachtung eines physischen Bildes auch das gewöhnliche Verhältnis, nach welchem die scheinbare Größe mit der Entfernung abnimmt, gänzlich geändert ist, so ist der Vorstellung auch von dieser Seite die gewohnte Unterlage entzogen.

10. Von allen Hülfsmitteln zur Wahrnehmung der Entfernung, von welchen ich ein sehr wesentliches noch ferner beibringen werde, scheint nur Eines bei Betrachtung eines physischen Bildes übrig zu bleiben; es ist dasjenige, welches durch die Schatten- und Licht-Verhältnisse gegeben ist. Ein beleuchteter Theil des Objects muß über den von ihm beschatteten Theil des Objects in der Richtungslinie des einfallenden Lichtes hervorragen.

Aber gerade die Schatten- und Licht- Verhältnisse, wenn nicht noch anderweitige Hülfsmittel zur Wahrnehmung der absoluten und relativen Entfernung mitwirken, erlauben im Allgemeinen eine doppelte Auffassung des Reliefs, indem sie in der Regel eben so gut mit einer etwas modificirten Umstülpung oder Inversion eines Objects harmoniren, wenn nur die Beleuchtung als von der anderen Seite kommend in diesem Falle vorgestellt wird, und dieser letzteren Vorstellung steht überall nichts im Wege.

- Es ist hierdurch klar, weshalb die Wahrnehmung der Entfernung und des Reliefs bei Betrachtung eines physischen Bildes unsicher gemacht ist. Bei der Ansicht eines aufrechten physischen Bildes reichen die erwähnten Hülfs. mittel, wie sehr sie auch abgeschwächt und gestört seyn mögen, gleichwohl fast immer noch vollständig hin, die richtige Vorstellung des Reliefs zu sichern. Nur Einmal, während einer großen Reihe von Versuchen, ist es mir vorgekommen, die Hohlleisten einer Thüre und die Matrize eines Kopfes bei Betrachtung eines aufrechten physischen Bildes revertirt zu sehen. Die Vorrichtung bestand in zwei größeren Sammellinsen, welche um mehr als die Summe ihrer Brennweiten von einander abstanden, so dass die zweite von dem verkehrten physischen Bilde entfernter Objecte, welches die erste gab, wieder ein verkehrtes also nun aufrechtes physisches Bild entwarf, welches mit freiem Auge Ein zweiter fernsichtiger Beobachter, angeschen wurde. dem die Inversion bei verkehrten Bildern eine viel regelmässigere Erscheinung ist, konnte sie hier, mit Ausnahme der Inversion von ein paar Hohlleisten der Thüre, nicht wahrnehmen.
- 12. Die Ursache, weshalb bei Betrachtung verkehrter physischer Bilder die Inversionen eine gewissermaßen regelmäßige, und wenn noch besondere Momente hinzutreten; sogar nothwendige Erscheinung ist, liegt darin, daß Eins der Hülfsmittel zur Wahrnehmung der Entfernung bei mo-

lecularem Sehnen von entgegengesetzter Wirkung werden, und deshalb über die übrigen, im höchsten Maasse abgeschwächten und gestörten Hülfsmittel das Uebergewicht erlangen kann.

Ein wesentliches Element zur Beurtheilung der relativen Entfernung auch bei monocularem Sehen, welches ich nirgend hervorgehoben finde, ist nämlich die Lage in Verbindung mit der Continuität der Theile der Objecte. Die Lage ist unmittelbur durch die Richtungslinie des Sehens bestimmt. Die Stellung des Kopfes liegt vollkommen in der Empfindung. Ist nun diese z. B. aufrecht, so sind in dem horizontalen Theile der Ausbreitung jeder Fläche die näher liegenden Punkte die unteren, die entfernter liegenden die oberen des Gesichtsfeldes. Wenn nicht besondere Projectionen oder Schatten- und Licht-Verhältnisse eine andere Vorstellung mit Nothwendig bedingen, so wird daher in der in die Horizontalprojection fallenden Ausbreitung einer Fläche ein Punkt um so näher vorgestellt, je tiefer, und um so entfernter, je höher er im Gesichtskreis zu liegen kommt; wie denn z. B. in der Landschaftsmalerei stets die untersten Punkte dem Vordergrunde, die obersten, wenn sie nicht besondere Hervorragungen darstellen, den entferntesten Theilen des sichtbaren Horizontes angehören.

In dem Lupenbilde, wenn es ein verkehrtes ist, entsprechen nun alle oberen Punkte des Sehfeldes den unteren und näheren Punkten einer sich vor uns ausbreitenden Fläche, und alle unteren Punkte des Sehfeldes entsprechen den oberen und entfernteren des freien Gesichtskreises. Man wird daher stets geneigt seyn, in dem Lupenbilde jeder mit theilweise horizontaler Erstreckung sich ausbreitenden Fläche die unteren Punkte, die den entfernteren entsprechen, für die näheren, und die oberen Punkte, die den näheren des Objects entsprechen, für die entfernteren zu halten. Mit der Vorstellung, dass die näheren Punkte die entfernteren seyen und umgekehrt, ist jedoch die Inversion des Reliefs unmittelbar gegeben. Es ist leicht, die gleichen

Schlüsse auch auf eine andere als verticale Stellung des Gesichtskreises auszudehen.

- 13. Legt man in der That einen rechteckigen Bogen Papier vor sich auf den Tisch und betrachtet das verkehrte physische Bild desselben durch die Lupe, so erscheint derselbe im oberen Theile des Sehfeldes verbreitet, im unteren verengert. Jeder Unbefangene, der gefragt wird, welcher Theil der nähere sey, wird aber in der Regel sagen: der schmälere, obgleich dieser in der That der entferntere ist. Legt man auf einen Tisch drei verschiedene Objecte hintereinander und betrachtet sie mit der Lupe, so wird ebenfalls jeder Unbefangene, der gefragt wird, in welcher Ordnung er sie sieht, in der Regel die verkehrte von der wirklichen angeben. Er wird das nächste Object für das entfernteste halten.
- Es ist diese verkehrte Vorstellung von der relativen Entfernung jedoch keine Nothwendigkeit; denn bewegt man die Lupe so, dass man den Rand des Tisches und den Fussboden in das Gesichtsseld bekommt, dann scheint der Tisch die Füsse nach oben zu kehren, und seine Obersläche erscheint nun so, als ob sie, über ihre Begränzung durch die Lupe hinaus ausgedehnt, schief über den Kopf des Beobachters hin sich fortsetzen müste. In dieser Lage werden die näheren Punkte des Objects auch als die näheren vorgestellt. Obwohl diese letztere Vorstellung sehr ungewöhnlich ist, so ist sie doch nicht schwierig festzuhalten; und sie wird noch dadurch besonders unterstützt, dass die näheren Gegenstände auch größer, die entfernteren auch kleiner erscheinen. Für die horizontale Erstreckung jeder einzelnen Fläche kann nun gleich von Vornherein die eine oder die andere dieser Vorstellungen Platz greifen, und dadurch massgebend werden für die Vorstellung des Reliefs.

Es liegen somit einander entgegenwirkende Elemente für die Vorstellung der Entfernung und des Reliefs bei Betrachtung verkehrter physischer Bilder vor, und es ist hiernach begreiflich, dass jede einzelne Besonderheit, dass jede weitere für eine der beiden Vorstellungen hinzutretende Un-

Uebergewicht verschaffen wird; ja dass, je nachdem die eine oder andere Fläche eines Körpers bei Betrachtung desselben durch die Lupe unter sonst ganz gleichen Umständen zuerst ins Auge fällt, auch das invertirte oder das ursprüngliche Relief in der Vorstellung entspringen, dann aber, se lange der Blick nicht abgewendet wird, beharren wirdt und das endlich nichts im Wege steht, das selbst einzelne Objecte oder Theile eines Objectes invertirt hervortreten neben anderen, deren Relief als das wirkliche erscheint. Es wird endlich begreiflich, dass gewisse plötzliche Veränderungen im Glanz oder in der relativen Lage der Theile die Vorstellung auch plötzlich umspringen machen können.

Ich werde nun eine Reihe von Thatrachen beibringen, welche die vorausgehenden Schlüsse bestätigen; muß jedoch bemerken, dass ich diese Thatsachen längst gesammelt hatte, ehe mir ihre Erklärung genügend möglich schien.

15. Betrachtet man nebeneinander mit der Lupe das Basrelief und die Matrize eines Kopfes oder einer menschlichen Figur, sey es in Gyps, Wachs, Schwefel u. s. w., so werden beide invertirt erscheinen. Die Matrize wird unter allen Umständen und jedesmal als Basrelief gesehen, weil sich hier zu dem Momente der Inversion, welches das verkehrte physische Bild als solches beibringt, noch jenes andere Moment gesellt, dass ein Kopf, eine Figur überhaupt nicht anders als plastisch vorgestellt werden kann, und welches ich in diesen Ann. Bd. 87, S. 306 u. d. f. zur Erklärung der Inversion hohler Formen von Köpfen und Figuren bei Betrachtung mit freiem Auge näher entwickelt habe. Aus dem gleichen Grunde aber erscheint das Basrelief in der Regel nur dem Unbefangeneu, und beim erstmaligen Anblick, als hohle Form; diese geht bei längerer Betrachtung unsehlbar wieder in das Basrelief über, und wird bei häufiger Wiederholung des Versuchs überhaupt nicht mehr invertirt gesehen.

16. Ganz anders bei blossen Ornamenten, z. B. einer bronzirten Vorhangsrosette. Auch diese erscheint bei erst-

maliger Betrachtung in der Regel dem Unbefangenen invertirt. Bei öfterer Wiederholung scheint jedoch das invertirte und nicht invertirte Bild im allgemeinen gleich leicht hervorzutreten; es geht aber niemals das eine in das andere tiber, wenn man den Blick nicht abwendet.

17. Das invertirte Object wird immer so vorgestellt, als ob das Licht von der nämlichen Seite käme, von der es wirklich kommt; das nicht invertirte Object erscheint so beleuchtet, als ob das Licht von der anderen Seite komme: In den meisten Fällen finden sich einzelne Licht- und Schatten-Partien, welche mit einer reinen Inversion des Objects' nicht verträglich sind, und diese führen dann bestimmte eigenthümliche Veränderungen in der Gestalt des vorgestellten Objects herbei. So erscheint z. B. die Inversion einer einfachen prismatischen Rinne nicht rein als prismatischer Stab. Es sey Fig. 15, Taf. III abcdef die Rinne oder Hohlleiste, la die Richtung des einfallenden Lichtes; so sind ed und q d beschattet, alle anderen Theile, namentlich auch eh sind beleuchtet. Die reine Inversion derselben wie Fig. 6, Taf. III würde den widersinnigen Schatten dg enthalten und auf eh würde der nothwendige Schatten fehlen; man sieht daher die prismatische Rinne nicht als prismatischen Stab, sondern in der Form abegief Fig. 7 Taf. III, einseitig als Rundstab und beträchtlich verschmälert. Ebenso geht ein prismatischer Stab abcdef Fig. 8 Taf. III nicht in eine prismatische Rinne abcdef Fig. 9, Taf. III über, in welcher der Schatten hb widersinnig wäre und der nothwendige Schatten eg fehlen würde; sondern er erscheint als einseitig ausgerundete und beträchtlich erweiterte Rinne ahicdef Fig. 10, Taf. III.

Es ist leicht einzusehen, dass in ähnlicher Weise im Allgemeinen bei diesen Inversionen Erhabenheiten als verbreiterte Vertiefungen, Vertiefungen als verschmälerte Erhabenheiten gesehen werden müssen, um so mehr verbreitert oder verschmälert, je höher und tiefer sie sind und je schiefer die Beleuchtung ist, denn das oben entwickelte Schema lästs 20 * sich auf die Schatten- und Licht-Verhältnisse sehr vieler Formen unmittelbar übertragen.

Aber eben diese oft sehr gezwungenen und ungewöhnlichen Differenzen zwischen der gesehenen Form und der reinen Inversion liefern zugleich den Nachweis, dass alle anderen Elemente zur Wahrnehmung der Entfernung und des Reliefs, mit alleiniger Ausnahme der Schatten- und Licht-Verhältnisse, entweder ganz fehlen, oder doch in ihrer Bedeutung so sehr abgeschwächt sind, dass die letzteren ganz allein die Vorstellung von der Form der Objecte in einer Reihe von Fällen bedingen. Vielleicht der anffallendste in dieser Beziehung ist der folgende. Eine hohle Matrize in Gyps von einem Kopfe in directem Sonnenlichte. so dass ein sehr scharfer Schatten quer auf das Gesicht fällt, mit der Lupe betrachtet, erscheint gleichwohl als Basrelief: aber in dem Gesichte erscheint an der Stelle, wo die Gränze des Schattens hinfällt, eine scharfe Kante, von welcher ab der beschattete Theil des Gesichts sich plötzlich abwärts senkt.

- 18. Es giebt Formen, welche nur theilweise invertirt werden, weil die vollständige Inversion mit den Schattenverhältnissen unvereinbar ist. Ein runder Bilderrahmen mit Hohlrinnen an der Wand wird mit Rundleisten, und wie in einer nach der Schattenseite verbreiterten Grube in der Wand gelegen, erscheinen. Der Schatten eines viereckigen Bilderrahmens auf ebener Wand läfst hingegen die Vorstellung, dass er in einer Grube liege, nicht zu. Der Rahmen erscheint auf der Wand mit seinem natürlichen Schatten; gleichwohl wird der Rahmen selbst mit einer dem Schatten, welchen er auf die Wand wirft, widersprechenden Beleuchtung invertirt erscheinen können, so dass die Leisten als Rinne und die Rinne als Leisten gesehen werden.
- 19. Es giebt Fälle, in welchen ein Object bei Betrachtung mit der Lupe mit seinem Schatten in der Vorstellung verwechselt wird. Man halte z. B. bei einseitiger Beleuchtung durch eine Lampe, mittelst eines leisen Druckes mit dem Finger einen Draht, oder eine Stecknadel, auf einem

weißen Bogen Papier als Unterlage schief aufgestellt. Man wird in der Regel den Schatten für den Draht, und den Draht für den Schatten halten. Fast ebenso leicht wird jedoch auch die richtige Vorstellung Platz greifen.

20. Tritt irgend ein neues Element zur Schätzung der Entfernung hinzu, so findet nicht selten ein plötzliches Umspringen der Vorstellung statt.

Es sey abc Fig. 11 Taf. III. ein auf einem weißen Bogen Papier mit den Enden a und c schief aufgestützter, bei b mit den Fingern festgehaltener, doppelt gebogener Draht; $a\beta c$ bei einseitiger Lampenbeleuchtung sein Schatten. Dreht man nun während der Betrachtung mit der Lupe den Draht um den Stützpunkt a allmählich in die Lage ab'c', so tritt die Projectionsverschiebung eines Drahtarms auf den Schatten, oder des Schattens auf einen Drahtarm während dieser Bewegung in Widerspruch mit der Vorstellung, und diese schlägt regelmäßig in ihr Gegentheil um, d. h. das Object erscheint plötzlich als Schatten, wenn es vorher als Object gesehen wurde, und es erscheint als Object, wenn es vorher als Schatten gesehen wurde.

Das Auge ist immer geneigt, hell erleuchtete Punkte als näher erscheinen zu lassen. Fällt der Glanz eines vertieft gravirten Buchstabens auf einem Siegel auf die Kante der Gravirung, so wird diese mit der Lupe erhaben gesehen. Dreht man allmählich das Siegel, bis der Glanz auf die ebene Fläche fällt, und die Kante der Gravirung ohne Glanz erscheint, so springt die Vorstellung in der Regel in diesem Momente um, und die Gravirung erscheint vertieft.

Immer aber, wenn die Vorstellung umspringen soll, muss das hinzutretende neue Element zur Schätzung der relativen Entfernung in dem vorgestellten Gegenstande selbst eine Veränderung hervorbringen. Sieht man ein Ornament durch die Lupe umgestülpt, und hält nun, ohne den Blick abzuwenden, einen Stab, einen Finger oder sonst ertwas hinein, so fällt der Schatten dieses auf das Object gehaltenen Körpers in Bezug auf die vorgestellte Beleuchtung des Objects verkehrt. Dies hindert aber nicht die Vorstellung.

die man einund hat; nie geht nicht in die dem Object entsprechende dadurch über, wie Brewster irrhämlich angiebt. Es trifft sich wohl einmal, dass im Momente der Borührung mit einem fremden Kärper die laversion unschligt,
es rührt diess aber daher, dass man während dieser Bewegung seine Ausmerksankeit auf den hinbewegten Kärper
richtet und den Gegenstand einen Moment aus dem Angeverliert. Es ist dann gerade so, als ob man den Gogunstand von Neuen mit der Lupe betrachtete, und es int achen
hervorgehoben worden, dass von Ansang beide Vorstellungen im Allgemeinen gleich möglich sind.

21. Ich habe oben die Gründe entwickelt, werhalb mit dur Lupe die Inversion fast nieuws eine reine int, sondern immer eine gewisse Verzerrung in der Gestaht des Objects zur nothwendigen Folge hat. Es stärt diefs bei der Botrachtung der Lupenbilder deshalb nicht, weil des wurgestellte Relief lediglich von den Schatten- und Licht-Verhältnissen abhängt und alle anderen Hülfsmittel fehlen.

Ganz anders bei der Bd. 87 diese Ann. von mir erläuterten Inversion hohler Formen von Köpfen und Figuren mit freiem Ange. Dem freien Ange sind alle anderen Hülfsmittel zur Wahrnehmung der relativen Entfernung und des Relief nicht genommen oder gestört. Dur mit freiem Ange gesehene inversion congruirt nothwendig mit dem ungestülpten Object, wie das Basrelief mit der Matrine, aus der es abgegossen ist. Diese Congruenz ist aber nur möglich mit der Vorstellung einer a. a. O. näher geschilderten Beleuchtung von Innen beraus.

Es at hierdurch zugleich klar, weshalb mit freuen Ange minnels eine laversion mit scheinbar verkehrter Beleuchtung von Amisen, und weshalb mit der Lupe memais eine Inversion mit jener megischen Beleuchtung von Innen zu Stande kannet.

22. Es ist unzweiselbait, dass opake Objecte mit dem unkahrenden zusammengesetzten Mikroskope sehr bindig ungestülgt gesehen werden. Auch mit einem großen Frankehofer'schen astronomischen Fernrohre erschien mir einmal die Oberstäche des Mondes invertirt.

Vielleicht ist in dieser Beziehung eine Revision mancher mikroskopischen Abbildungen und Beschreibungen opaker Objecte erforderlich. Man kann zwar erkennen, dass die Inversion stattfindet, wenn die Schatten in Bezug auf das wirklich einfallende Licht nicht verkehrt liegen. Gleichwohl wäre es nützlich, den Mikroskopen zur Controle ein Ocular beizugeben, welches ein aufrechtes Bild liefert.

23. Ich füge noch ein sehr auffallendes Beispiel von dem Umspringen der Vorstellung, selbst bei Betrachtung von Zeichnungen, bei. Fig. 13, Taf. III ist mit Fig. 12, Taf. III daselbst identisch, aber so gezeichnet, wie Fig. 12 Taf. III erscheint, wenn man das Blatt in seiner Ebene um 180° dreht. Ist Fig. 12 Taf. III oben, so stellt es eine Treppe vor. Dreht man das Blatt in seiner Ebene um 180°, während man den Blick fest auf Fig. 12 Taf. III gerichtet hält, so kommt Fig. 12, Taf. III in die Lage von Fig. 13 Taf. III und erscheint als eine von unten stufenweise ausgebrochene Mauer.

Da man jedoch immer geneigt ist, die unteren Theile einer perspectivisch gezeichneten horizontalen Linie für näher, die oberen für entfernter zu halten, und diess Verhältnis umgekehrt ist, wenn Fig. 13 Taf. III als von unten ausgebrochene Mauer erscheint, so sieht man Fig. 13, Taf. III leichter ebenfalls als Treppe, aber in ihrer Beleuchtung von Fig. 12, Taf. III verschieden.

Hat man nun diese letztere Vorstellung von Fig. 12 u. 13, d. h., erscheint jede der beiden Figuren als eine aufrechte Treppe und man dreht das Blatt rasch um 180°, so hat man nun wieder dasselbe Bild vor sich, die nämlichen zwei aufrechten Treppen, obwohl beide umgekehrt wurden. In ähnlicher Weise gelingt der Versuch, wenn man die Zeichnung in einer um 90° gedrehten Stellung betrachtet und dann rasch um 180° dreht.

Manheim den 30. August 1858.

IX. Notiz über die circulare Polarisation des Lichtes; ron Adam Arndtsen aus Christiania.

(Anne)

VV ahrend meines Ausenthaltes in Paris in dem letzten Sommer hatte ich Gelegenheit einige Versuche über die Drehung der Polarisationsebene in verschiedenen Körpern hei Hrn. Verdet, Prof. an der Ȏcole normale supérieure» auzustellen, deren Resultate ich hier kurz mittheile.

Methode. Was son zunächst die Untersuchungsmethode betrifft, so habe ich die folgende von Fizeau und Foucault (Compter render tome XXL p. 1155) merst angegebene in Anwendung gebracht: mit Hülfe eines Heliostats läßt man ein Bündel von Sonnenstrahlen durch einen verticalen Spalt auf zwei Nicol'sche Prismen fallen, deren Axen in derselben geraden Linie liegen. Das eine Prisma kann um diese Linie gedrebt werden, und mit Hülfe eines getheilten Kreises kann man den Winkel messen, den die Vibrationsebenen der beiden Prismen mit einander bilden. Vor dem drehbaren Nicol schen Prisma stellt man ein gutes Glasprisma so auf, dais man durch dasselbe ein Sonnenspectrum mit den Fraunhoferischen Linien deutlich sieht: bringt man dann einen circularpolarisirenden Körper, z. R. eine Quaraplatte, zwischen die beiden Nicol'schen Prismen, so wird man im Allgemeinen einen oder mehrere schwarze verticale Streifen in dem Spectrum wahrnehmen können, die sich von dem einen Ende des Spectrums sum anderen bewegen, wenn man das Ocular-Nicol um seine Are dreht. Wenn man nun ferner so lange dreht, bis die Mitte dieses Streifens mit einer von den Fraunhofer'schen Lauch susammenfallt, so kann man direct auf dem getheilten Areis den Rotatnuswunkel dieser Linie ablemen (wenn von vorne her der Apparat gehörig regulint int l

Um den Grad der Genauigkeit zu zeigen, welchen man mit dieser Methode erreichen kann, habe ich für drei verschiedene Versuchsreihen den wahrscheinlichen Fehler berechnet für das Mittel der gemessenen Rotationswinkel (für die Linien C, D, E, b, F und e) und dadurch die folgenden Werthe gefunden:

No.	C	D	E	b	F	e
1	0,04202 ±0,0094	0,01689 ±0,00378		0,0257 ±0,005 75	0,03967 ±0,00887	
2 .	0,07117 ±0,0107	0,0424 ±0,00949	0,06951 ±0,01554	0,0711 ±0,0159	-	-
3	0,0374 ±0,0108	0,0196 ±0,0062	0,0361 ±0,00807	0,00885 ±0,00198		

Die Zahl der einzelnen Beobachtungen variirte zwischen 5 und 15 (in der Regel 10).

Zucker. Einige Versuche, die ich vor einigen Jahren in Christiania anstellte, schienen zu dem Resultate zu führen, dass die moleculare Rotationskraft des Rohrzuckers von der zugesetzten Wassermenge abhängig wäre. In einem Aufsatz in Comptes rendus (1852, vol. 35, p. 233) sagt auch Biot, dass er gesunden habe, dass die Rotationskraft des Zuckers sich ein klein wenig mit der Concentration ändere; und zwar meint er, dass diese Krast mit größeren Wassermengen zunimmt, während die meinigen Versuche gerade den umgekehrten Gang andeuteten. Es schien mir deshalb nothwendig die Untersuchungen in dieser Beziehung mit der größten Feinheit zu wiederholen, und ich bereitete drei verschiedene Lösungen aus dem reinsten Candiszucker, deren Zuckermengen respective gleich 0,3, 0,4 und 0,6 waren, und für deren moleculare Rotationskraft die folgenden Werthe gefunden wurden (wenn man 100mm als Einheit der Länge annimmt):

•	<u> </u>		•	:]		vir i
No.	C	D	E	6	F	
1	+53°,30+	+65',05	+85°,57	+98 ,58	+101*,58	H.25.H
3	13, 12 22, 12	67 ,33 67 ,92	74.08十 34,68 86,68	. 88 ,34 23, 86	101 ,23	126 ,51
Mind						126°,325

Man sicht hier, dass für alle Farben eine so nahe Uebereinstimmung sich herausstellt, dass man nicht bezweiseln
kann, dass die moleculare Rotationskraft des Zuchers oöllig constant sey. Der Grund, warum meine eesten Untersuchungen ein anderes Resultat gaben, liegt wahrscheinlich
in der Weise, nach der ich die Zuckermenge zu bestimmen
suchte, nämlich durch Eindampsen der untersuchten Lösungen zur Trockenheit: denn es ist sehr wohl möglich, dass
durch diesen Process ein Theil des Zuckers in Caramel
verwandelt worden ist, und das um so mehr, je concentrirter die Lösung war.

Weinsteinsäure. Es ist bekannt, dass die durch active Körper bervorgebrachte Rotation im Allgemeinen mit der Brechbarkeit der Strablen zunimmt, und wur die Weinsteinsture scheint von dieser allgemeinen Regel eine sonderbare Australiane zu machen, indem Riot bekanntlich fand, dals die Rotation für die grönen Arablen größer ser als für irgend eine andere Farbe, und aufserdem: dass die Rotaspecial self bedeutend mit der sneetsten Wassermenge variire. Wirwohl son Biot sehr tahlreiche und umfassende Versucharaben ther dose Materie angestell und publiciet dat, so ist doch so bemerken, dats alle diese Versuche mber die Vertinderhichteit der Rotationskraft sich mer auf eine eineige Farte (der rethen revierben R und C) bezieben, und ferent, daß die Versuche über die eigenthümliche igensiement der Polanzationsebenen nicht auf die festen Limin des Spretrums such besorben, sondern auf die wenig policiem Amedricke. Roth, Gelb w. w.

Ann diesem Grande schien es gestelbitettigt, die Unter-

suchungen in größeren Umfang und mit größerer Präcision fortzusetzen, und ich habe dabei mit möglichster Genauigkeit die optischen Eigenschaften der Weinsäure in zahlreichen wässerigen und alkoholischen Lösungen derselben studirt, wodurch sich die folgenden Resultate ergeben haben.

- 1. Dass die Rotation im Allgemeinen für eine bestimmte Farbe des Spectrums ein Maximum hat:
- 2. Dass dieses Maximum mit der zugesetzten Wassermenge seinen Platz ändert und zwar so, dass dasselbe sich mehr und mehr dem violetten Ende des Spectrums nähert, je größer die Wassermenge wird.
- 3. Dass die Rotationskraft für die stärker brechbaren Strahlen negativ wird, für die schwächer brechbaren positiv, wenn die Wassermenge klein genug wird.
- 4. Dass die Rotationskräfte (für die verschiedenen Farben) mit der Concentration in der Weise variiren, dass dieselben als verschiedene lineare Functionen von der Wassermenge ausgedrückt werden können; in dieser Beziehung wurde nämlich gefunden (wenn [o] die moleculare Rotationskraft und e die Wassermenge bedeutet).

für
$$C$$
 [ρ] = +2°,748 + 9°,446 · e

D [ρ] = 1 ,950 + 13 ,030 · e

E [ρ] = 0 ,153 + 17 ,514 · e

D [ρ] = -0 ,832 + 10 ,147 · e

F [ρ] = -3 ,598 + 23 ,977 · e
 e [ρ] = -9 ,657 + 31 ,437 · e

Kampher. Zuletzt habe ich auch, durch eine Notiz von Biot in d. Comptes rendus (vol. 35, p. 233) dazu veranlaßt, eine ähnliche Versuchsreihe über den natürlichen Kampher in alkoholischen Lösungen vorgenommen, wodurch Folgendes gefunden wurde.

1. Dass die Rotationskraft des Kamphers mit der Brechbarkeit der Lichtstrahlen in einem weit rascherem Verhältnis zunimmt als die der anderen bekannten activen Körper; in der That wurde nämlich das Verhältnis zwischen den Rotationswinkeln der Linien C und e gefunden, wie

1:4,012,

während dasselbe Verhältnis für Zucker sich wie 1:2,365

verhält; und man weiß, daß die meisten anderen activen Kärper in dieser Beziehung dem Zucker sehr nahe stehen.

2. Dass die Rotationskraft für alle Furben mit der Concentration regelmässig abnimmt und zwar so, dass sie auch hier durch lineure Gleichungen ausgedrückt werden hönnen: es ergab sich n\u00e4mlich:

te bedeutet hier die Mençe des Alkahals in der Einheit des Gewichts).

Es mais noch bemerkt werden, dass die angegebenen Resultate, was die Wenssiere beträft, für die mitdere Temperatur $=+24^{\circ}.91$ C. gehen, und was den Kampber bewällt für $+22^{\circ}.97$ C.

Schlieislich werde ach meh einige Werze huszulügen über eine Erälleringsweise, weiche nan volleicht in Berng mit die üte die Weinsteinslure zu eigenthämliche Despersion der Pourssauunsehemen nunedmen abunne. Die eben ungeführen Versuche über den Kumpher zegen dies verschiebene Karper, die dennschen algemennen Despersionspessen beigen, died under einstehen algemennen Despersionspessen beimen in Berng mit die Verhältnis, worm die Bernstummit der Recchinekach der Stradien zummme. Wenn man sich mit zwei neuen karper übert der andere installend den anderen rechnischen der Kreiben der Brechiner in verschieben Vermältusse mit der Brechineren ins Ludiussen und der Brechineren ins Ludiussen auch der Brechineren ins Ludiussen auch der Brechineren in Kreiben sein der Brechineren in Kreiben sein der Brechineren ins Ludiussen auch der Brechineren in Kreiben.

als die Weinsäure, was schon von Biot durch directe Versuche bewiesen worden ist. Man könnte sich also die Weinsäure denken als eine Mischung von zwei, nur durch die moleculare Constitution verschiedenen Körpern, von denen die Rotationskraft des einen negativ wäre, die des anderen positiv, und deren Rotationen mit verschiedenen Geschwindigkeiten mit den Wellenlängen zu- oder abnähmen. Pasteur hat bekanntlich eine Modification der Weinsteinsäure entdeckt, die linksdrehend ist; es ist mir aber unbekannt, ob auch Versuche tiber die Dispersionsart dieser Modification vorgenommen worden seyen. Wahrscheinlich würden solche Versuche zu interessanten Resultaten führen.

Im September 1858.

X. Ueber die Zusammensetzung des Analcims; con C. Rammelsberg.

Der Analcim ist zuerst von Vauquelin chemisch untersucht worden. H. Rose verdanken wir aber zwei genaue Analysen, aus denen sich ergiebt, dass der Sauerstoff des Natrons, der Thonerde, der Kieselsäure und des Wassers das Verhältnis von 1:3:8:2 bilden, so das der Analcim als eine Verbindung von 1 At. Natronbisilicat, 3 At. Thonerdebisilicat und 6 At. Wasser betrachtet werden muss. Alle späteren Versuche haben diese Zusammensetzung bestätigt.

Die Abänderungen, welche auf diese Art geprüft wurden, sind folgende.

Der Analcim und der sogenannte Sarcolith aus dem Fassathal von H. Rose; der Analcim vom Giants Causeway von Thomson; vom Blagodat im Ural von Henry; aus dem Zirkonsyenit von Lövöen bei Brevig von Awdejew;

von Niederkirchen in Rheinbayern von Riegel, und von Kewenaw Point am Lake Superior von Jackson.

Die früheren dieser Analysen gaben neben dem Natron kein Kali an, vielleicht aus Mangel genauer Prüfung. Nur Henry fand in dem uralischen Analcim 6,55 Proc. Kali, Awdejew aber, der die norwegische Abunderung gerade in dieser Beziehung prüfte, fand nur eine Spur Kali.

Um so mehr muss es befremden, das Sartorius von Waltershausen in dem bis dahin noch nicht untersuchten schönen Analcim der Cyclopen Inseln bei Catanea fast 4½ Proc. Kali gefunden zu haben angiebt. Ueberdiess giebt seine Analyse statt des Sauerstoffverhältnisses 1:3:8:2 das von 0,9:3,2:8:2,2, also einen Mangel an Alkali.

Verdient irgend eine Abänderung des Analcim eine chemische Untersuchung, so ist es diese letztere. Ich habe eine Wiederholung deshalb für nicht überflüssig gehalten, dabei insbesondere aber die Bestimmung des Kalis berücksichtigt. Sie betraf 1. den Analcim aus dem grauen doleritischen Gestein und 2. den Analcim aus der sogenannten Creta, einem gelbgrauen Thon, wahrscheinlich einem Zersetzungsproduct jenes selbst schon sehr verwitterten Dolerites.

Das spec. G. ist = 2,236 nach Sartor. v. Waltersh. = 2,288 nach meinen Beob.

Folgendes sind die Resultate meiner Analysen, verglichen mit denen von S. v. W.

	1.	2.	Mittel	S. v. VV.
Kieselsäure	55,22	-	55,22	53,72
Thonerde	23,14	23,61	23,38	24,03
Kalkerde	0,25	0,21	0,23	1,23
Talkerde	<u>. </u>	0,12	0,12	0,05
Natron	12,19		12,19	7,92
Kali	1,52		1,52	4,46
Wasser	_	8,11	8,11	8,50
	100.	100.	100,77.	99,91.

Mithin ist der Kaligehalt nach meinen Versuchen um vieles geringer.

Zugleich habe ich den halbdurchsichtigen Analcim von Wessela bei Aussig untersucht, dessen spec. G. = 2,262 ist. Zwei Analysen gaben:

	1.	2.	Mittel
Kieselsäure	56,22	56,42	56,32
Thonerde	22,22	22,82	22,52
Kalkerde	Spur	Spur	Spur
Natron	12,10	12,05	12,08
Kali	1,45		1,45
Wasser	8,33	8,38	8,36
	100,59	•	100,73

Auch hier sind nur etwa 11 Proc. Kali vorhanden.

Obwohl es sicher seyn dürfte, dass jeder Analcim etwas Kali enthält, so glaube ich doch, dass die Angaben von Sart. v. Waltershausen auf einem Irrthum beruhen.

Wenn man jetzt, nachdem Marignae die Isomorphie der Fluorkiesel-Doppelsalze mit den Fluorzinn-Doppelsalzen nachgewiesen, nicht mehr umhin kann, in der Kieselsäure nur 2 At. Sauerstoff anzunehmen, so verwandelt sich die bisherige Analcimformel

$$(Na^3 Si^2 + 3 Al Si^2) + 6 aq.$$

in die viel einfachere

$$(Na \ddot{S}i + \ddot{A}l \ddot{S}i^3) + 2 aq.$$

XI. Die krystallisirte Kieselsäure ist dimorph.

Vestan (ein- und eingliedrig krystallisirte Kieselsäure) charakteristisch für die Melaphyre;

com Bergrath Dr. Jenzsch.

(Aus dem lithologischen Laboratorium im Herzoglichen Schlosse zu Siebleben bei Gotha.)

Das seither als Fettquarz angesprochene Mineral, welches von einigen Autoren mit dem Olivenquarze 1) (Freiesleben) verwechselt wird, ist als ein charakteristischer, wenn auch nur accessorischer aber ursprünglicher Gemengtheil des Melaphyr anzusehen.

Wenn man Zeit und Mühe nicht scheut, so wird es wahrscheinlich in jedem Melaphyre (Brongniart) gefunden werden.

Ich fand dasselbe nicht nur

in sämmtlichen Melaphyren und Melaphyrmandelsteinen der näheren und weiteren Umgebung von Zwickau im Königreiche Sachsen und zwar besonders ausgezeichnet im Nieder Cainsdorfer Melaphyrbruche und in der Gegend zwischen Zschoken und Wildenfels, sondern auch in den Melaphyren des Thüringer Waldes und zwar

oberhalb Kabarz im Melaphyrbruche bei der »Leuchtenburg« an der Strasse nach dem Inselsberge;

am und in der Nähe des Dreh- (Tröh) Berges; am Kammerberg bei Ilmenau;

von einem Melaphyr-Gange am Eselssprunge bei Bad Liebenstein.

1) Hr. Freiesleben hält das betreffende Mineral im Melaphyre der Zwickauer Gegend für Olivin, mit dem Namen Oliven-Quarz bezeichnet er aber die im Sanidin-Quarzporphyre (Pechstein z. Th.) porphyrartig inneliegenden Quarz-Dihexaēder. Vergl. meine Abhandlung über Sanidinquarzporphyr in von Leonhard N. Jahrb. 1858, Heft 6.

Dem sogenannten Fettquarz begegnet man ferner im Melaphyre vom Ganzig bei Oschatz.

Außerdem kommt dieses Mineral nach den im Königl. Mineralien-Kabinet zu Berlin befindlichen Belegstücken im Harze vor, und zwar in den Melaphyren

aus dem Steinbruche an der Wiegersdorfer Flur bei Ilfeld;

des Nitzberges bei Ilfeld; und

im sog. Melaphyr-Porphyr vom Gänseschnabel bei Ilfeld, sämmtlich von Hrn. Prof. G. Rose kürzlich selbst gesammelt.

Ferner findet sich dasselbe

bei Darmstadt (in einem von Hrn. Dr. Gumprecht 1840 gesammelten sehr verwitterten Melaphyre), ebenso wie in dem Schlesischen Melaphyre

unterhalb des Emmerichsbergs bei Flachenseiffen nördlich von Hirschberg.

Dieser sogenannte Fettquarz ist aus den nachstehend entwickelten Gründen ein selbständiges Mineral, für welches ich den Namen Vestan vorschlage. Einen mythologischen Namen wählte ich für dieses mit dem Quarze leicht zu verwechselndes Mineral, weil Hr. Breithaupt bereits schon für zwei früher als Quarz betrachtete Mineralien (Castor und Pollux) sich der mythologischen Nomenclatur bedient hat.

Obgleich, wie man aus der großen Anzahl der Fundorte sieht, der Vestan ein sehr häufig vorkommendes Mineral ist, so sind doch deutliche Krystalle ziemlich selten. Die Vestan-Krystalle sind stets mit der sogenannten dichten Melaphyrgrundmasse fest verwachsen, namentlich wenn die Gemengtheile derselben unter dem Mikroskope noch unverändert (frisch) erscheinen.

Lose Krystalle trifft man daher auch nur dann, wenn eine ziemlich vorgeschrittene Verwitterung des Gesteins die Blofslegung derselben ermöglicht hat, wodurch sich erklärt, dass die wenigen deutlicheren mir bekannten freigelegten Krystalle nicht mehr frisch sind.

Auch die von Hrn. Geinitz') beschriebenen Pseudomorphosen eines triklinoëdrischen Feldspaths dürften vielleicht als Vestan-Krystalle anzusehen seyn.

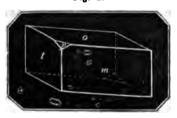
Dass es Pseudomorphosen wären, hatte um so größere Wahrscheinlichkeit, da bekanntlich, wie schon Hr. G. Bisch of nachweist, sämmtliche in den Melaphyren und Melaphyr-Mandelsteinen angetroffenen Quarze und Chalcedone secundärer Bildung sind. Die im königlichen Mineralien-Kabinet zu Dresden befindlichen, nicht mehr frischen und zum Theil mit einem blassröthlichbraunen Ueberzuge bedeckten Exemplare fand Hr. Prof. Geinitz im Melaphyre zwischen Viclau und Wildenfels. Genauere Messungen lassen sich an diesen Krystallen nicht anstellen, denn sie besitzen sämmtlich eine rauhe Obersläche, sind außerdem aber auch noch aufgewachsen.

Es wäre sonach nicht möglich gewesen, nur auf Grund dieser Krystalle die Acchtheit derselben festzustellen.

Aus den von mir im Nieder Cainsdorfer Melaphyrbruche gesammelten größeren Vestan Ausscheidungen, welche ich dort bis zu 1501 im Durchmesser fand, gelang es mir zunächst Spallungsgestalten darzustellen, an welchen die Winkel annäherungsweise gemessen werden konnten

Nach vier Richtungen ist der blättrige Bruch deutlich bis ziemlich deutlich.

Fig. 1.



In beistehender Figur (Fig. 1) ist eine Spaltungsgestalt gezeichnet. Am deutlichsten ist der Vestan spaltbar nach t, noch recht deutlich nach o, welches besonders charakteri-

1) Geognostische Darstellung der Steinkohlenformation in Sachsen, Leipzig 1856, S 27.

sirt wird durch blättriges Gefüge und durch eine fast stets beobachtbare Streifung parallel der Combinationskante mit p: nach m geht der vierte immer noch ziemlich deutliche Blätterbruch.

Das Messen mit dem Reflexionsgoniometer hat wegen der Ungleichheit in der physikalischen Beschaffenheit der Spaltungsflächen seine große Schwierigkeit, und mußte ich mich leider vorläufig mit approximativen Messungen begnügen, nach welchen sich ergiebt:

t:m ungefähr 111° und m:t, ungefähr 69° 910 m: 0, 80° 8410 9510 o:tt : 0, 1330 o: p

Hoffentlich wird es später gelingen, mehr und zum Messen geeigneteres Material zu erlangen.

Der Vestan ist ein- und eingliedrig (triklinoëdrisch, gedreht-tetarto-rhombisch).

Fig. 2.

Will man eine schematische Figur (Fig. 2) aller bis jetzt am Vestan beobachteten Krystallforinen entwerfen, so könnte man t und m ansehen als die Flächen des ersten und zweiten Hemiprisma, o als ein weniger geneigtes Doma zur Ebene der Brachydiagonale und p als ein steileres Doma zur Ebene der Makrodiagonale.

An den nachfolgend beschriebenen, von mir gefundenen Krystallen wurden noch außer diesen vier Bruchslächen folgende Krystallflächen beobachtet:

- n das makrodiagonale Flächenpaar,
- r das brachydiagonale Flächenpaar,
- d ein die Combinationskante von t:n abstumpfendes Hemiprisma.

Fig 3.

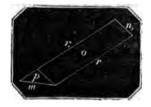


Einen größeren in (Fig. 3) ungefähr in natürlicher Größe abgebildeten, durch Verwitterung des umgebenden Gesteins frei gelegten Krystall fand ich in der Gegend zwischen Zschoken und Wildenfels.

Es ist m und m, das zweite Hemiprisma,

- o das Hemidoma zur Ebene der Brachydiagonale,
- t die vordere Fläche des ersten Hemiprisma,
- d, die hintere Fläche eines anderen Hemiprisma, welches nach einer ganz ungefähren Messung mittelst des Anlegoniometers mit der Fläche m, einen Winkel von etwa 126° bildet,
- r die vordere Fläche des brachydiagonalen Flächenpaares, welches nach einer ganz ungefähren Messung mittelst des Anlegoniometers mit *m* einen Winkel von etwa 132° einschließt.

Fig. 4.



Ein kleinerer Krystall, ebenfalls aus der Umgegend von Zwickau ist in Fig. 4, dreimal vergrößert im Grundrisse gezeichnet. An demselben beobachtet man:

- r und r, das makrodiagonale Flächenpaar,
- o das Hemidoma zur Ebene der Brachydiagonale,
- m die vordere Fläche des zweiten Hemiprisma,
- n, die hintere Fläche des makrodiagonalen Flächenpaares,
- p das Hemidoma zur Ebene der Makrodiagonale.

Auf einem von mir am südwestlichen Fuse des Dreh-(Tröh) Berges geschlagenen Handstücke eines schon ziemlich verwitterten, an Vestan verhältnismäsig reichen Melaphyrs ist ein ungefähr 1,5 großer Vestan-Krystall mit t, aufgewachsen und zeigt die Flächen:

- t die vordere Fläche des ersten Hemiprisma,
- o und o1 das Hemidoma zur Ebene der Brachydiagonale,
- m die vordere Fläche des zweiten Hemiprisma,
- r, die hintere Fläche des brachydiagonalen Flächenpaares.

Die äußeren Krystallstächen der drei eben beschriebenen Vestane aus der Gegend von Zwickau und aus dem Thüringer Walde stehen sonach im genauesten Zusammenhange mit den angeführten Spaltungsrichtungen, was nicht der Fall seyn könnte, wenn es ächte Krystalle nicht wären, denn es ist eine erwiesene Thatsache, dass nur in ächten Krystallen äußere Krystallsorm und Spaltbarkeit im Zusammenhange stehen.

Der Vestan ist leichter spaltbar als der Quarz '). In seinem gewöhnlichen Bruchansehen gleicht der Vestan dem gemeinen Quarze ziemlich, denn er besitzt ebenfalls einen ausgezeichnet muscheligen Bruch. Der Vestan springt aber gewöhnlich in stumpfere Stücke, als es der Quarz zu thun pflegt, dessen Splitter oft sehr scharf und spitz sind.

1) Bekanntlich giebt es Quarz-Varietäten, an welchen ziemlich deutliche Spaltbarkeit nach +R(R); -R(r') und ∞R angegeben wird, und wo sich die VVinkel von R:r, in den Endkanten = 133° 44′

in den Seitenkanten = 103° 34' und = 76° 26'

und in der Combination mit © R auch noch Winkel von 141°47' und 38° 13', sowie 113° 8' und 66° 52' ergeben.

Der Vestan ist doppelt lichtbrechend.

Der Vestan fühlt sich kälter an als der Quarz.

Der Vestan ist in seinen meisten Abänderungen vollkommen durchsichtig, wasserhell. Sein Glanz ist ein lebhafter Fettglanz, welcher sich dem Demantglanze nähert.

Besonders würde sich deshalb der Vestan zum Verschleifen für wohlfeilere Schmucksteine eignen, wenn er häufiger in größeren und reinen Partien angetroffen würde. Nach der Aussage des Steinschleifers schleift er sich ebenso leicht, jedoch etwas »schmieriger« als der Quarz.

Die Härte des Vestan (= 9½ nach zwöllth. Scala) übersteigt die des Quarzes etwas; der Vestan wird zwar vom Topas geritzt, ritzt jedoch seinerseits den Quarz deutlich.

Bei weißem Striche sind die frischesten Abanderungen blas nelkenbraun bis farblos.

Weniger frische Stücke sind oft sehr zerklüftet und erscheinen dann trübe und milchweiß. Dringen in diese Sprünge und Risschen Zersetzungsproducte des Melaphyr ein, so erscheint der Vestan je nach der Farbe derselben entweder weiß, grau, apfelgrün, olivengrün, braun, häufig auch roth.

Das spec. Gewicht fand ich bei 28° C. = 2,659,

bei einer anderen Bestimmung bei 27° C. = 2,658,

was einem specifischen Gewichte = 2,649 entspricht, wenn dasselbe auf die größte Dichtigkeit des Wassers zurückgeführt wird.

Vorm Löthrohre bleibt das Mineral ganz unverändert, ertheilt auch der Flamme keine Färbung; unter Brausen löst sich der Vestan in Soda auf, in der Boraxperle ist er löslich, in der Phosphorsalzperle aber bleibt ein großer Theil des angewendeten Pulvers ungelöst.

Zur chemischen Analyse wurden nur vollkommen reine, ganz durchsichtige Stückchen ausgewählt und verwendet. Die Analyse selbst geschah durch Außschließen (1) mittelst kohlensauren Natrons auf bekannte Weise, (2) mittelst kohlensauren Kalkes.

	(1)	(2)
Kieselsäure	99,46	
Titansäure	keine	_
Manganoxydol (mit Eisen-		
oxyd verunreinigt)	0,41	0,22
Kalk	0,50	0,18
Magnesia	0,19	0,18
Kupferoxyd 1)	0,36	-
Alkalien		nicht nachweisbar
Glühverlust	keiner	keiner

Wurde das Mineral in Stückchen längere Zeit der stärksten Weissgluth ausgesetzt, so erfolgte nicht die geringste Gewichtsveränderung; auch das specifische Gewicht blieb dasselbe, denn ich fand es wiederum bei 28° C. =2,659, was einem specifischen Gewichte = 2,649 entspricht, wenn dasselbe auf die größte Dichtigkeit des Wassers zurückgeführt wird; wohl aber verschwand die bräunliche Farbe, das Mineral erschien vollkommen farblos und wasserhell. Die bränliche Farbe verschwindet übrigens schon beim Erhitzen über einer einfachen Spirituslampe.

Wird Vestan in Pulverform der stärksten Weißgluth ausgesetzt, so bäckt das Pulver schon nach 2½ Minuten unter Raumverminderung zu einer sehr wenig festen Masse zusammen. Bei einem, längere Zeit fortgesetzten, starken Erhitzen über der großen Deville'schen Lampe gelang es nicht, das Vestan-Pulver zusammen zu schmelzen. Manche farblose und durchsichtige Stücke des Vestan, welche noch sehr frisch erscheinen, werden beim Glühen durch und durch rissig und erscheinen dann milchweiß. Setzt man ein solches Stück der Weißgluth aus und wirft das weißglühende Stück in kaltes Wasser, so wird dasselbe so ungemein rissig, daß es ganz trübe, fast undurchsichtig wird und sich dann mit größter Leichtigkeit, zum Theil schon

In Hohlräumen des Melaphyr vom Oskarschachte bei Oberhohendorf ist als Seltenheit früher bekanntlich erdiger Malachit vorgekommen.

zwischen den Fingern in sehr feine, durchsichtige Nadeln zerdrücken lässt.

Mit concentrirter kaustischer Kalilösung wurde Vestan-Pulver in einem silbernen Tiegel bis zu dem Augenblicke über der Berzeliuslampe behandelt, wo das Ganze anfing ruhig zu schmelzen. Nach dem Erkalten erstarrte der Inhalt des Tiegels zu einer röthlich-violetten Masse, welche sich in Wasser völlig auflöste, und aus der nach Zusatz von Salzsäure auf bekannte Weise die Kieselsäure abgeschieden wurde. Durch Kochen mit kohlensaurer Natronlösung scheint der Vestan, wenn auch wenig, doch etwas gelöst zu werden, wie mir ein vorläufiger Versuch lehrte.

Flussäuredämpfe wirken auf den Vestan noch weniger ein, als auf den Quarz. Bekanntlich widerstehen die prismatischen Flächen des Quarzes der Einwirkung der Flussäure am meisten. Ich ließ an einem Rauch-Quarz-Krystalle eine solche Fläche poliren, überzog sie mit Wachs und setzte sie $2\frac{1}{4}$ Stunden lang bei geringer Erwärmung Flußsäuredämpfen aus, welche in einem Platintiegel entwickelt wurden. Das in den Wachsüberzug geschriebene Wort fand man nach Entfernung der Wachsschicht auf dem Quarz-Krystalle deutlich geätzt.

Eine Vestanplatte wurde gleichzeitig und gleich lange, ganz unter denselben Bedingungen (gleich große Mengen von Flusspath und Schwefelsäure, Anwendung derselben Temperatur etc.), wie beim ersteren Versuche, Flussäuredämpfen ausgesetzt. Nach Entfernung der Wachsschicht war das geätzte Wort nur mit Mühe zu erkennen, die feineren Schriftzüge wurden erst nach dem Anhauchen sichtbar.

Der Vestan scheint etwas leichter zu verwittern als der gemeine Quarz.

Obgleich nun nach den Ergebnissen der chemischen Untersuchung der Vestan ebenfalls als eine durch geringe Beimengungen verunreinigte Kieselsäure zu betrachten ist, so macht dennoch sein Krystallsystem es ganz evident, dass er ein vom Quarse vollkommen geschiedenes selbständiges Mineral ist.

Wir hätten im Vestan sonach ein Gegenstück für Quarz von dem, was Aragonit für den Kalkspath, was Binarkies für den Eisenkies, was Graphit für den Diamant ist; ein und derselbe Stoff in zweierlei, unter sich unvereinbaren, krystallinischen Zuständen, also je zwei Gattungen bildend.

XII. Ueber den Kaba-Debreczin-Meteorit;

con Dr. J. con Török,

Prof. d. Chemie u. Mineralogie an d. Hochschule zu Debreczin.

In der Nähe von Debreczin (in Ungarn) bei der Ortschaft Kaba hat am 15. April 1857 Abends um 10 Uhr ein Meteorsteinfall stattgefunden. Den aufgefundenen und ausgegrabenen Meteorit hat die Ortschafts-Behörde dem Naturalien-Kabinet der Debrecziner Hochschule zum Geschenk eingesendet, woselbst derselbe als die höchste Zierde des Museums aufbewahrt wird, und folglich mit Recht den Namen Kaba-Debreczin-Meteorit führen kann.

Die Verhältnisse des Steinfalls sind folgende: Am 15. April des Jahres 1857 Abends um 10 Uhr schlief ein wohlbemittelter Kabaer Einwohner Namens Gábriel Szilágyi vor seinem Hause, also unter freiem Himmel, als er plötzlich durch ein Getöse, nach seinem Ausdruck ganz verschieden vom Donner, aufgeweckt wurde, und da sah er, bei übrigens heiterem Himmel eine feurige Kugel von der Größe einer Kalesse, mit augenblendendem Licht und Glanz, welche ihre bogenförmige Bahn in ungefähr 4 Sekunden beendigte. Dieses Phänomen wurde von mehreren Einwohnern der benachbarten Ortschaften Debreczin, Kordpay u. s. w. beobachtet. Am anderen Tage in der Frühe ritt Gábriel Szilágyi zu seiner Tanya (Meierhof) hinaus, als sein Pferd auf der Straße plötzlich schnaubend zurückschrack und

nicht vorwärts gehen wollte; er aber bemerkte auf der harten befahrenen Strasse einen schwarzen Stein, in den Boden so tief eingekeilt, dass die Oberfläche des Steines mit der des Bodens in gleichem Niveau, die Erde rings um den Stein niedergedrückt und zersprungen. (Wie allgemein bekannt, kommen in unserer fruchtbaren Gegend gar keine Steine vor, so dass die meisten Leute in ihrem ganzen Leben gar keinen anderen Stein als gebrannte Ziegelsteine gesehen haben). Nichtsdestoweniger setzte er seinen Weg fort und erst gegen Abend, nachdem er von seiner Tanva heimgekehrt war, ging er mit mehreren Nachbarn und Zuschauern nach Ort und Stelle hin und liefs den Meteorit mit einer Schaufel ausgraben. Der noch unverletzte Meteorit wog nach Szilágyi 7 Pfund; es wurden aber von den Kanten und Spitzen etliche Stücke abgeschlagen, wahrscheinlich um zu sehen, ob sich innerlich kein edles Metall befinde, und so wiegt jetzt dass im Museum aufbewahrte Stack 54 Pfund.

Mineralogische Beschreibnug des Kaba-Debreckiner Meteoriten.

Der Kaba-Debrecziner Meteorit hat eine Gestalt, welche mit einem kleinen Laib Brot, was von den Ungarn Czipó (Zipó) genannt wird, verglichen werden könnte, wenn die Unterfläche ganz eben wäre. Es hat nämlich eine obere gewölbte, sast konische und eine untere jochförmige Oberfläche, bei welcher der eine Abfall steiler ist als der andere. Durch dieses Joch, welches so ziemlich unter der Spitze des Kegels liegt, bekommt der Meteorit in der Stellung a betrachtet (s. Fig. 16, Taf. III.) eine rhombische Ge-In dieser Stellung liefert nun der Meteorit, aufser den zwei genannten oberen und unteren Oberslächen, noch eine vordere, mit vielen Eindrücken versehene, und eine hintere Obersläche, welche durch das Abschlagen der entsprechenden Seitenkante entstanden ist, welche demnach füglich die Bruchfläche genannt werden kann. Alle diese Oberflächen, indem sie bedeutend von einander abweichen, müssen besonders beschrieben werden.

Was die obere convexe Oberfläche anlangt, so ist die durch Schmelzung entstandene Rinde hier unverletzt, ausgenommen den weißen ziemlich ovalen, fast einen Silbergroschen großen Fleck, der auf dem Bilde (Fig. 16, Taf. III.) oben, in der Nähe der konischen Spitze, auf dem Bilde (Fig. 17, Taf. III.) unten zu bemerken ist. Dieser weiße Fleck ist durch das Absprengen der Kruste in Folge einer mechanischen Einwirkung, wahrscheinlich eines Hammerschlags, entstanden. Diese Oberfläche, welche uns das Bild Fig. 17 isolirt darstellt, ist ganz verschieden von den übrigen Oberflächen. Sie bietet nämlich streng bis zu den Seitenkanten und Seitenflächen eine bräunlich-schwarze glanzlose Farbe dar, außerdem schlängelnde aber nicht continuirliche Furchen und Erhabenheiten, die von der konischen Spitze als Mittelpunkt strahlenförmig gegen die Seitenflächen und Seitenkanten auslaufen. Charakteristisch sind noch für diese Obersläche die zahlreichen glänzenden Metallkörner, welche auf dem in Fig. 17 Taf. III wiedergegebenen photographirten Bilde als weisse Punkte zu bemerken sind, deren man hunderte zählen kann, und endlich zahlreiche braunund grüngelbe, in die Rinde eingeschmolzene Körper, die den im Basalt oft vorkommenden Olivinkörnern ähneln.

Auf der untern Obersläche, welche auf dem Bilde Fig. 18, Tas. III. sichtbar ist, und den unteren Theil einnimmt, während die Bruchsläche den oberen, zieht sich am linken Abfalle des Joches eine Bruchsläche in der Breite eines Zolles hin. Die unverletzte Rinde auf dieser Obersläche erscheint von den vielen kleineren und größeren Kügelchen, aus welchen die innere Masse des Meteoriten großentheils besteht, und welche durch die geschmolzene Rinde bedeckt sind, in der mittleren Gegend seingekörnt, gegen die linke und rechte Seitenkante aber deutlich porös und schlackig, bie und da verglast. Sonst bietet uns hier die Rinde eine reine schwarze Farbe dar, ist ganz matt, glanzlos; nur auf der verglasten Stelle bemerkt man einen deutlichen Pechglanz. Glänzende Metallkörner kommen hier sehr sparsam vor, braun- und grüngelbe Flecke aber gar nicht.

Die vordere Seitenfläche (sichtbar auf dem Bilde Fig. 16 Stellung a) hat eine rhombische Gestalt, rein schwarze Farbe, ist größtentheils glanzlos, oder nur wenig glässend. Die rechte Hälfte dieser Oberfläche ist größtentheils deutlich schlackig-porös, die linke hingegen nur unter der Lupe poros und von oben nach unten zu gerunzelt. Die Runzeln sind am deutlichsten ausgeprägt auf dem oberen Rande dieser Oberfläche, wo nämlich die obere convexe Oberfläche mit dieser Seitenfläche eine stumpfe Kante bildet. Ganz charakteristisch für die Oberfläche sind die tiefen, breiten länglichen Eindrücke und Erhabenheiten, die auf der obera und untern Oberfläche durchaus nicht wahrzunehnen sind. Rine mit ähnlichen Eindrücken versehene kleine Seitenfläche befindet sich noch links, zwischen der vordern und hintern Oberfläche. Endlich muss ich noch erwähnen, dass auf dieser Oberfläche gar keine glänzenden Metallkörner aufzufinden sind: nur am linken Rande kann man bis 6 bis 7 dicht neben einander auftretende glänzende silberweiße Metallkörner bemerken.

Was die hintere Seitenfläche oder Bruchfläche anbelangt, so ist die Farbe dieser Oberstäche, solglich die innere Masse des Meteoriten dunkelgrün. In der dunkelgrünen dichten Masse sieht man sehr zahlreiche kleinere und größere weiße Punkte und Flecke, deren einige sogar bohnengroß sind, durch welche die ganze Masse ein porphyrartiges Aussehen bekommt. Endlich befinden sich in der dunkelgrünen Grundmasse unzählbare kleinere und grüssere, Hirse- bis Pfesserkorn große schwarze Kügelchen (einige concentrisch-schalig) die aus der Grundmasse sich ziemlich leicht auslösen lassen, und ein entsprechendes rundes Grübchen zurücklassen. Durch diese Kügelchen bekommt die Grundmasse einigermaßen das Ansehen des Rogensteines. Diese Kügelchen sind ziemlich hart und spröde, so dass sie sich leicht pulverisiren lassen, und geben ein grauschwarzes Pulver ohne glänzende Metalikörner. Ueberhaupt kann man in der Grundmasse die auf der convexen

Oberfläche so häufigen Metallkörner nur seltener und von kleineren Dimensionen wahrnehmen.

Wenn wir die aufgezählten Eigenschaften des Kuba-Debrecziner Meteoriten erwägen, kommen wir auf das merkwürdige Resultat, dass der Kuba - Debrecziner Meteorit von allen bisher bekannten Meteoriten wesentlich verschieden ist.

Er unterscheidet sich nämlich von den tibrigen Meteoriten erstens durch seine dreierlei Rinden, welche in so grosem Maasstabe von einander verschieden sind, dass wenn man sie einzeln zu sehen bekäme, man glauben könnte, sie rührten von drei verschiedenen Meteoriten her. Der verdienstvolle ehemalige Custos des k. k. Hof-Mineralien-Kabinets zu Wien, Paul v. Partsch, bemerkt schon von dem Trentschiner (Budetin-Gross-Divinaer) Meteorit, als eine höchst merkwürdige Erscheinung, dass die obere Rinde von der untern ganz verschieden sey; desto merkwürdiger muß also in Hinsicht unseres Meteoriten der Umstand erscheinen, dass er drei von einander wesentlich verschiedene Krusten besitzt.

Zweitens unterscheidet sich unser Meteorit von den übrigen durch die schlängelnd-strahligen Furchen und Erhabenheiten, welche die convexe Oberstäche auszeichnen.

Drittens ist unser Meteorit verschieden von den bisher bekannten dadurch, dass in der innern Masse unzählige kleinere und größere schwarze Kügelchen sich besinden, welche durch die dunkelgrüne Grundmasse, gleichsam als Cement, zusammengekittet sind. Es giebt zwar zahlreiche Meteoriten, die kugelige Ausscheidungen enthalten, wie z. B. der von Benares, La Basse, Poltava, Zebrak, Timochin, Groß-Divina, aber diese Ausscheidungen sind theils von anderer, schmutzig-grünlich-grauer Farbe, theils sparsamer; während die Kügelchen unseres Meteoriten rein schwarz und so zahlreich sind, dass die Masse dadurch das Aussehen des Rogensteines bekommt.

Endlich ist der Kaba-Debrecziner Meteorit mit der größeten Wahrscheinlichkeit verschieden von allen übrigen da-

durch, dass in der Grundmasse, ausser den schwarzen Kösgelchen, zahlreiche schneeweisse Punkte und Flecke vorkommen, und wo diese weisse Substanz in größerem Mansstabe ausgeschieden ist, dort füllt sie die größeren und
kleineren, ziemlich ovalen, in der Grundmasse gehildeten
Hohlräume aus. Weisse Substanzen kommen zwar, wie
bekannt, auch in mehreren Meteoriten vor, aber sie hilden theils den wesentlichen Bestandtheil der Grundmasse
wie z. B. in den Meteoriten von Mässting, Bulistock, Jouzac, Stannern, Juvenas etc., theils kommen sie nur in kleinen, oder sogar undeutlichen Körnern und Efflerescirungen
vor, wie in den Meteoriten von Lontalax, Capland, Alais etc.,
während in unserm Meteorit auch bohnengreise, evale
Hohlräume damit ausgefüllt sind.

Die chemische Analyse dieses Meteoriten ist noch nicht ausgeführt.

XIII. Ueber den Meteorsteinfull zu Ohaba in Siebenbürgen; son Dr. M. Hörnes.

(Aus den Sitzungsbericht, d. Wiener Akad, Bd. XXXL S. 79).

Am Abend des 10. Octobers 1857, legte sich der grinchisch nicht untre Pfarrer der Gemeinde Ohaba, östlich vom Carlsburg im Blasendorfer Bezirke. Namens Nicolaus Moldovau, am Eingange seiner Scheune im Stroh um daselbst zu schlasen. Etwa bald nach Mitternacht wurde derselbe durch ein donnerähnliches Getöse aufgeschreckt und sah während der Fortdauer dieses Gepolters an dem heitern Himmel eine seurige Masse, welche sich mit Blatzesschnelle gegen die Erde bewegte und bahi darauf auch unter solchen Lärm zur Erde siel, dass der erschruckene Pfarrer durun betänbt einige Minnten weder hören noch sehen konnte. Reisende aus dem unr wenige Sunden von Ohaba

entfernten Georgedorf, welche auf ihrer Fahrt nach Reufsmarkt auf einem Berge im Freien übernachteten, sahen dieselbe Erscheinung. So heftig war der Donner und das Leuchten, dass selbst ihr Zugvieh aufsprang und sich nach der Gegend desselben hin wendete.

Am anderen Morgen wurde der in der Nacht niedergefallene Meteorstein von dem Weingärten-Hüter Michaille Grosza in dem ihm eigenthümlich gehörigen, an die Weingärten angränzenden Obstgarten, in den mit Moos bewachsenen zähen Boden eingebohrt gefunden.

Der hievon benachrichtigte Pfarrer begab sich hierauf mit dem Ortsrichter und den Geschwornen, welchen sich viele Ohabaer Insassen anschlossen, an Ort und Stelle, um das Wunder — wie sie es nannten — zu sehen. Der hinzugekommene Notar von Bluthroth, Hr. Thalmann, welcher den Werth dieses Steines erkannte, übernahm von dem Finder sosort den Stein und überbrachte ihn dem Blasendorfer Bezirksamte, wo derselbe von dem Bezirksvorstande Hrn. Haubel selbst in Empsang genommen und später von dem siebenbürgischen k. k. Statthalterei-Präsidio an das k. k. Hof-Mineralien-Kabinet eingesendet wurde.

Der durchaus mit der den Meteorsteinen eigenthümlichen schwarzen Rinde bedeckte Stein, hat die Form einer unregelmässigen dreiseitigen Pyramide, deren Höhe 14# Zoll beträgt: zwei dieser gekrümmten Pyramidenslächen sind glatt, während die dritte, so wie die Basis mit jenen merkwürdigen, die Oberfläche der meisten Meteorsteine so sehr bezeichnenden muschelförmigen Eindrücken versehen sind, welche zuweilen schmelzende Eisklumpen zeigen. frischen Bruchstelle an der Basis zeigt der Stein eine lichtgraue, etwas ins Dunkelblaulichgraue ziehende Grundmasse mit undeutlichen dunkelgrauen kugeligen Ausscheidungen und höchst sparsam auftretenden Olivinkörnern, viel fein und grob eingemengtes metallisches Eisen und sehr fein eingesprengten Magnetkies; die Rinde ist dünn und matt: der Stein hat dem äusseren Ansehen nach, unter der Lupe, die größte Aehnlichkeit mit dem am 19. Juni 1841 zu Chateau-Renard in Frankreich gefallenen 70 bis 80 Pfund schweren Stein und gehört daher nach Partsch in die Abtheilung der normalen Meteorsteine, bei welchen die kugeligen Ausscheidungen weniger deutlich sind.

Der Stein wog ursprünglich 29 Pfund, nachdem aber zur Untersuchung des specifischen Gewichtes und zur chemischen Analyse mehrere Fragmente von der Basis behutsam abgetrennt wurden, wiegt er gegenwärtig 28 Pfd. 20 Lth.

Das specifische Gewicht beträgt nach den Untersuchungen des Dr. Grailich im Mittel aus 4 Wägungen bei 12,6° Réaum. 3,1103.

Nach einer vom Dr. Bukeisen im Laboratorium des Hrn. Prof. Wöhler zu Göttingen ausgeführten Analyse besteht die Masse dieses Meteoriten. ähnlich wie bei so vielen anderen, im Wesentlichen aus einem Gemenge von einem Olivin, einem Augit und einem feldspathartigen Mineral, gemengt mit Partikeln von Eisen und Schwefeleisen und zwar in folgendem Verhältnis:

Unlösliches Silicat (Olivin, Mg, Si)	44,83
Lösliches Silicat (Augit und Feldspath)	18,27
Eisen (nickelhaltiges)	23,76
Schwefeleisen	13,14
	100,00

Als einzelne Bestandtheile des Steins ergaben sich im Hundert:

Eisen 21,40: Nickel 1,80: Schwefeleisen 13,14: Kieselsäure 36,60: Magnesia 23,45: Eisenovydul 1,75: Manganovydul 0,15: Thonerde 0,28: Kali und Natron 0,98: Chromeisen 0,56: Kalk und Phosphor Spuren.

1858. ANNALEN No. 11. DER PHYSIK UND CHEMIE. BAND CV.

1. Untersuchungen über die thermischen VV irkungen des Sonnenspectrums; von Dr. J. Müller in Freiburg.

Einleitung.

Nachdem man durch Fluorescenz und Photographie die ultraviolette Ausdehuung des Sonnenspectrums genauer kennen gelernt hatte, gewann auch die jenseitige Ausdehnung des Spectrums, d. h. die über das Roth des sichtbaren Spectrums hinausgehende Verlängerung, welche nur durch ihre erwärmenden Eigenschaften merklich wird, ein neues Interesse.

Eine Zusammenstellung aller bis jetzt über die Wärmestrahlen im Sonnenspectrum ausgeführten Untersuchungen hat erst vor Kurzem R. Franz in einem Aufsatz gegeben, welcher in Pogg. Ann. Bd. CI, S. 59 abgedruckt ist; es würde deshalb sehr überslüssig seyn, wenn ich hier die Literatur über diesen Gegenstand nochmals aufführen wollte.

Durch die Untersuchungen Melloni's ist für die Lehre von der strahlenden Wärme eine neue Periode eröffnet worden. So zahlreich aber auch die Entdeckungen sind, welche in Folge der Einführung der Thermosäule und des Multiplicators als Thermoskop nach anderen Seiten hin gemacht wurden, so wurde doch die Kenntniss von den Wärmeverhältnissen des Sonnenspectrums nicht viel weiter gebracht, obgleich Melloni in dem Steinsalz einen Körper gefunden hatte, welcher alle Wärmestrahlen gleich gut durch läst.

Melloni's Versuche über die Wärme des Sonnempectrums beschränken sich fast nur darauf, die Lage des thermischen Maximums zu ermitteln. Mit einem Steinsalzprisma experimentirend fand er das Maximum der Erwärmung an einer Stelle, welche ebensoweit jenseits der rothen Gränze das Spectrums liegt, als die Stelle des Uebergangs von Grün in Blau vom rothen Ende absteht, (Pogg. Ann. Bd. XXXV, S. 307). Aber weder in dieser, noch in einer folgenden Abhandlung giebt Melloni numerische Data an: man erfährt weder, welche Ausschläge er bei diesen Versuchen an seinem Thermomultiplicator erhalten hat, noch wie breit die Spectra waren, mit denen er experimentirte; kurz es finden sich in Melloni's Abhandlungen durchaus keine Anhaltzpunkte, um daraus die Intensitätscurve der Wärme im Sonnenspectrum abzuleiten.

Während früher Melloni Licht- und Wärmestrahlen als wesentlich verschieden angeseben hatte, sprach er sich später ganz entschieden für die vollkommene identität derselben aus.

Diese letztere Ausicht, dass Licht- und Wärmestrahlen gleicher Brechbarkeit absolut identisch seyen, vertreten auch Masson und Jamin (Compt. rend. tom. 31 p. 14), welche gefunden haben wollen, dass von Steinsalz, Bergkrystall Alaun, Glas, Wasser u. s. w. alle innerhalb des sichtbaren Spectrums liegenden Wärmestrahlen gleich gut durchgelassen werden, dass also die ungleiche Diathermanität dieser Substanzen nur darin ihren Grund hat, dass sie für die dunklen, noch weniger als Roth brechbaren Wärmestrahlen eine ungleiche Absorptionsfähigkeit haben. An der Richtigheit dieses Resultates ist wohl nicht zu zweiseln; die genannten Physiker hätten aber doch die Versuche, durch welche sie sich zu diesem Schlusse berechtigt glauben, nicht zurückhalten sollen: denn ohne experimentelle Begründung hat die bloise Aussage des gefundenen Resultates nur einen geringen Werth für die Wissenschaft. Hätten Masson und Jamin die Beobachtungen publicirs, durch welche sie an dem oben ausgesprochenen Resultate gelangten so wärden dieselben ohne Zweifel hinlänglich Material bieten, um die thermische Intensitätscurve wenigstens innerhalb des sichtbaren Spectrums zu construiren.

Das Verdienst, zum erstenmale Größeangaben über die Wärme an verschiedenen Stellen des Spectrums mitgetheilt zu haben, welche mit Hülfe der Thermosäule und des Multiplicators erhalten worden waren, hat sich R. Franz durch seinen Aufsatz: "Untersuchungen über die Diathermansie einiger gefärbten Flüssigkeiten" (Pogg. Ann. Bd. CI, S. 46) erworben.

Durch Franz erfahren wir zuerst (was gewiß jeder Physiker, welcher die thermischen Wirkungen des Sonnenspectrums zum Gegenstand von Experimentaluntersuchungen gemacht hat, beobachten mußte, was bis dahin aber noch keiner ausgesprochen hat), daß in einem Spectrum, welches rein genug ist, um die Fraunhofer'schen Linien zu zeigen, die thermischen Effecte so gering sind, daß an brauchbare Messungen derselben nicht zu denken ist.

Das Prisma, mit welchem Franz experimentirte, war ein Flintglasprisma. Durch einen 4⁻⁻ breiten Spalt drangen die vom einem Metallspiegel reflectirten Sonnenstrahlen in das dunkle Zimmer ein; 32 Millim. hinter diesem ersten Spalt befand sich ein zweiter, 2 Millim. breiter, und dicht hinter diesem zweiten Spalte war das Prisma aufgestellt.

In einem Abstand von 17 Centim. vom Prisma betrug die Breite des sichtbaren Spectrums ungefähr 18 Millim. Denken wir uns den an das rothe Ende des Spectrums angränzenden Raum in Abtheilungen von 3 Breite getheilt, so nennt Franz die 1., 2., 3. u. s. w. dieser Abtheilungen die 1., 2., 3. u. s. w. dieser Abtheilungen die 1., 2., 3. u. s. w. dunkle Zone und fand für die Wärfmeeffecte in den einzelnen Abtheilungen des sichtbaren Spectrums und in diesen dunklen Zonen folgende Werthe;

	Roth	15,11
•	Gelb	10,78
	Grün	6,39
	Blau;	3,61
	Indigo	1,95
	. Violett	0,85
		=

Die Zahlen sind nun aber nicht etwa unmittelbar die Werthe der beobachteten Ausschläge des Multiplicators, sondern sie sind aus den Mittelzahlen der besten Beobachtungen durch Multiplication mit einem constanten Factor erhalten, dessen Zahlenwerth aber nicht angegeben ist. Es wäre sehr zu wünschen gewesen, daß Franz wenigstens theilweise unmittelbar die beobachteten Ausschläge mitgetheilt hätte, weil man nur dadurch einen Maaßstab für den Grad der Genauigkeit der Resultate erhält.

Da das Glas eine bedeutende Menge dunkler Wärmestrahlen absorbirt, so stellt die nach obigen Zahlen con struirte thermische Intensitätscurve keineswegs die Wärmevertheilung in einem vollständigen Wärmespectrum dar; ein solches läßt sich nur mit Hülfe eines Steinsalzprismas erhalten.

Diess war im Wesentlichen der Stand der Sache, als ich meine Versuche über die thermischen Wirkungen des Sonnenspectrums begann, welche den Gegenstaud der folgenden Blätter bilden werden.

Die zu Versuchen über das Wärmespectrum gebrauchten Apparate und ihre Aufstellung.

Bevor ich zu den einzelnen Versuchsreihen übergehe, wird es nöthig seyn, die bei denselben gebrauchten Instrumente und ihre Aufstellung zu besprechen.

Die Thermosäule war in einer, zu Versuchen mit Sonnenstrahlen eingerichteten dunklen Kammer aufgestellt.

Unter den verschiedenen mir zu Gebote stehenden Multiplicatoren gab, mit einer Thermosäule von 40 Wismuth-Antimonpaaren combinirt, derjenige weitaus die bedeutendsten Ausschläge, welchen ich vor einigen Jahren selbst con-

struirt hatte, um Du Bois-Reymond's Versuche über den Muskelstrom zu wiederholen.

Dieser Multiplicator besteht aus 3700 Windungen, welche aber in vier Abtheilungen aufgewickelt sind, von denen jede in zwei Schraubenklemmen endigt, so dass man die einzelnen Abtheilungen nach Belieben hintereinander oder nebeneinander combiniren kann. Bei letzterer Combination waren bei gleicher Bestrahlung der Thermosäule die Ausschläge mehr als doppelt so groß als bei der ersteren, weshalb bei den folgenden Versuchen stets die letztere Combination angewandt wurde, welche eigentlich 925 Windungen von dem 4 facheu Querschnitt des einzelnen Drahtes (0,3***Durchm.) repräsentirt.

Dieser Multiplicator ist an dem Fenster eines benachbarten Zimmers auf einem an der Wand befestigten Consol ein für allemal aufgestellt. Der Haupttheil der Leitung zwischen der Thermosäule und dem Multiplicator war durch zwei 1" dicke und mit Wolle übersponnene Kupferdrähte hergestellt.

Bevor ich zu den einzelnen Versuchsreihen überging, habe ich den besprochenen Multiplicator nach Melloni's Methode graduirt. Bezeichnen wir mit I die Stromstärke, welche eine Ablenkung von 1° an unserem Instrumente hervorbringt, so ergab sich, dass bis zu 20° hin die Ablenkung der Stromstärke proportional blieb, darüber hinaus aber ergaben sich solgende zusammengehörige Werthe der Ablenkungen und der Stromstärke:

	Stromstärke	Differenz der Stromstärke		
Ablenkung		für 5°	für 1°	
25	26	6	12	
30	32	8	1,2 1,6 2,4 3,4	
35	40	12	9.4	
40	52	17	2,4	
45	69		3,4	
50	92	23	4,6 6,0	
55	122	30	0,0	
60	162	40	8,0	
65	223	61	12	
70	323	.100	20	
75	510	187	/ 31	

Zu den Versuchen über die Wärmestrahlen, welche durch farbige Flüssigkeiten hindurchgelessen werden, henutzte ich die schon erwähnte Thermosäule von 40 Wismuth-Antimonpaaren, welche schon seit längerer Zeit im Besitze unseres Kabinets ist und deren Ursprung ich nicht angeben kann. Zu den Versuchen über die Vertheilung der Wärme im Spectrum selbst benutzte ich eine limeare Thermosäule von 15 Paaren, welche ich zu diesem Zwecke anschafte. Ich habe dieselbe von Lerebours et Secretan in Paris bezogen, in deren Katalog sie unter Nr. 765 auf Seite 93 angeführt ist. Einer ebenso construirten Thermosäule bedienten sich Maas on und Jamin zu ihren Versuchen über die Wärme des Sonnenspectrums.

Damit der Leser die Leistungsfähigkeit meiner Apparate mit andern vergleichen könne, führe ich hier einige zu diesem Zwecke angestellte Versuche an.

Die 3 Zoll hohe Flamme eines Bunsen'schen Gasbrenners brachte in 3 Decim. Entfernung auf die quadratische Thermosäule (ohne Reflectionstrichter) strahlend 32°, auf die lineare Thermosäule strahlend 11° Ablenkung an dem ohen besprochenen Multiplicator hervor.

Das durch eine Weingeistlampe erhitzte geschwärste Kupferblech, welches ich in der 5. Auflage meines Lehrhuchs der Physik (Bd. II, S. 644) abgebildet habe, brachte aus 2,5 Decim. Entfernung auf die quadratische Thermosäule strahlend 43°, auf die lineare Thermosäule strahlend 14° Ablenkung an denselben Multiplicator hervor.

Die Sonnenstrahlen, mit welchen ich experimentirte, wurden durch den Metallspiegel eines Silbermann'schen Heliostaten, welcher vor dem Fenster der dunklen Kammer aufgestellt war, in horizontaler Richtung durch die entsprechenden Oeffnungen im Laden dieses Fensters in den verdunkelten Raum reflectirt.

In Betreff der Genauigkeit der nachfolgenden Versuche habe ich noch einige Bemerkungen zu machen.

Der Multiplicatorkreis ist nur von 5 zu 5 Grad getheilt, die Ablesungen sind darbalh auch höchstens bis auf ½ Grad

genau. Eine größere Genauigkeit in der Ablesung würde übrigens vollkommen illusorisch gewesen seyn, da einerseits die Einstellung der Multiplicatornadel, nachdem man die Thermosäule der Strahlung entzogen hatte, doch nie eine sehr präcise war und Schwankungen machte, deren Amplitude gegen; Grad betrug; andererseits aber die Einstellung der linearen Thermosäule, da das Spectrum nicht rein genug war, um Fraunhofer'sche Linien zu zeigen, bei weitem noch nicht auf einen der Ablesung des Multiplicators entsprechenden Grad von Genauigkeit Anspruch machen kann.

An die Nachweisung wärmeloser Streifen im Spectrum, welche den Fraunhofer'schen dunklen Linien entsprechen, scheint vor der Hand noch nicht gedacht werden zu können, wie denn überhaupt die thermische Untersuchung des Spectrums noch weit von dem Grade der Genauigkeit entfernt ist, den man in der optischen Untersuchung des Spectrums erreicht hat.

In den folgenden Blättern ist das Beobachtungsmaterial soweit mitgetheilt worden, dass der Leser sich ein Urtheil über die Gränzen der Beobachtungssehler bilden kann. Ich habe es durchaus vermieden, den Resultaten einen Schein von Genauigkeit zu geben, den sie nicht haben und vor der Hand auch nicht wohl haben können.

Versuche über die Wärmestrahlen, welche von farbigen Flüssigkeiten durchgelassen werden.

Als ich mich entschlos, Versuche über die Vertheilung der Wärme im Sonnenspectrum auzustellen, war ich noch nicht im Besitz einer linearen Thermosäule; ich dachte deshalb ohne eine solche dadurch zum Ziele zu kommen, das ich die Wirkung der Wärmestrahlen zu bestimmen suchte, welche durch farbige Flüssigkeiten gegangen waren. Ermittelt man alsdann welcher Theil des sichtbaren Spectrums von den fraglichen Flüssigkeiten durchgelassen wurde, so hoffte ich auf diese Weise die diesem Theil entsprechende Wärmewirkung bestimmen zu können, wobei aber natür-

lich die Identität der Licht- und Wärmestrahlen in dem Sinne, wie Masson und Jamin sie behauptet haben, als vollständig erwiesen angenommen werden mußte.

Die optische Untersuchung der farbigen Flüssigkeiten, mit welchen ich zu experimentiren beabsichtigte, wurde in der Weise ausgeführt, das ich mittelst eines Flintglasprismas ein vollständiges Sonnenspectrum auf einem Papierschirm erzeugte, sodann die zu untersuchende, zwischen zwei 15⁻⁻ von einander abstehenden Glasplatten enthaltene Flüssigkeit dicht vor den Spalt setzte, welcher die Sonnenstrahlen einließ, und endlich beobachtete, welcher Theil des Spectrums unausgelöscht blieb.

Auf diese Weise ergaben sich folgende Resultate:

- 1. Cochenillelösung ließ alle rothen Strahlen bis zum Beginn des Orange vollkommen gut durch, so daß das Roth des Spectrums durch die Cochenillelösung nicht geschwächt wurde; dagegen waren aber alle übrigen Farben des Spectrums vollkommen ausgelöscht.
- 2. Lösung von saurem chromsaurem Kali ließ fast ohne alle Absorption Roth, Orange und Gelb, sodann noch eine Spur Grün durch, während der ganze Rest des Spectrums vollständig absorbirt wurde.
- 3. Lösung von Chlorkupfer absorbirt das ganze Spectrum bis auf das Grün, aber selbst das Grün des Spectrums hatte merklich an Lichtstärke verloren.
- 4. Lösung von schwefelsaurem Kupferoxydammoniak absorbirte vollständig den weniger brechbaren Theil des Spectrums, während Blau, Indigo und Violett ohne merkliche Schwächung durchgelassen wurden.

Um die Absorptionsfähigkeit dieser Flüssigkeiten für Wärmestrahlen zu bestimmen, ließ ich zunächst die vom Metallspiegel reflectirten Sonnenstrahlen durch eine runde Oeffnung von 1 Zoll Durchmesser in den dunklen Raum eintreten. Ungefähr 2! Meter von der Oeffnung wurde die quadratische Thermosäule so aufgestellt, daß sie gerade in die Mitte des einfallenden Strahlenbündels zu stehen kam. Nachdem die entsprechende Ablenkung am Multiplicator ab-

gelesen war, wurde ein Gefäss von der in Fig. 585 meines Lehrbuchs (5. Aust. Bd. I S. 506) abgebildeten Einrichtung, dessen Glaswände 15^{mm} von einander abstanden, einmal mit Wasser, dann der Reihe nach mit den oben genannten Flüssigkeiten gefüllt vor die Oeffnung gebracht und jedesmal die am Multiplicator bewirkte Ablenkung beobachtet.

Nun aber ergab sich, dass wenn die Thermosäule durch den Multiplicator geschlossen wurde, immer ein bald gröfserer bald kleinerer Ausschlag blieb, selbst wenn man möglichst alle Strahlung von der Thermosäule abhielt. Man muste deshalb ausser der Ablenkung, welche der Multiplicator bei farbiger Bestrahlung der Thermosäule zeigte, auch noch die Ablenkung beobachten, welche vorher und nachher stattfand, während alle Strahlung von der Thermosäule möglichst abgehalten war. Eine derartige Versuchsreihe wird dies vollkommen verständlich machen.

		Ablenkende
	Ablenkung	. Kräste.
Freie Strahlung	67°	
Ohne Strahlung	— 10	273
Reines Wasser	56	140
Ohne Strahlung	- 10	
Cochenillelösung	36	52
Ohne Strahlung	— 10	
Lösung von saurem chroms. Kali	48	91
Ohne Strahlung	– 8	
Lös. v. schwefels. Kupferoxyd-Amm.	6	13
Ohne Strahlung	— 5	

Die in der letzten Columne angeführten *ablenkenden Kräfte * sind aus den Angaben der vorhergehenden Zahlenreihe leicht zu berechnen. Als die Sonnenstrahlen, bevor sie die Thermosäule trafen, durch reines Wasser gehen mußten, war die Ablenkung 56°. Dieser Ablenkung entspricht nach der Tabelle auf Seite 341 die Stromstärke 130. Zu dieser Stromstärke ist aber noch 10 zu addiren.

Nach diesen, den Gang der Versuche hinlänglich erläuternden Bemerkungen wird es genügen, die Resultate dex

drei besten Versuchsreihen dieser Art in der Weise zusammenzustellen, dass der Wärmeeffect der durch farbloses Wasser gegangenen Strahlen mit 100 bezeichnet ward.

	1.	11.	fil.	
Farbloses Wasser	100	100	100	100
Rothe Lösung	37	35	38	40
Gelbe Lösung	65	64	70	74
Grüne Lösung	9	_	-	13
Blaue Lösung	9	9	9	13

Dass die Summen der Wärmemengen, welche durch die gelbe, die grüne und die blaue Lösung, (also 70+9+9=88) nicht gleich ist der durch farbloses Wasser gehenden Wärmemenge 100, liegt offenbar nur daran, das jede der farbigen Lösungen auch einige Absorption auf Strahlen ihrer Farbe ausübt, wie wir ja von der grünen Lösung wissen, dass sie nicht alle grünen Strahlen des Spectrums durchläßt. Vertheilen wir die Differenz 100 — 88 = 12 in der Weise, dass 2 auf Roth, 2 auf Orange und Gelb, 4 auf Grün, 4 auf Blau, Indigo und Violett kommt, so ergeben sich für die wärmende Kraft der einzelnen Abtheilungen des Spectrums die in der letzten Verticalreihe obiger Tabelle angegebenen Werthe.

Was aber die wärmende Kraft aller rothen Strahlen des Spectrums anlangt, so können wir dafür nicht ohne Weiteres die der rothen Lösung entsprechende Zahl 40 nehmen, weil wir durch unsere Versuche nicht berechtigt sind anzunehmen, dass die rothe Lösung nur rothe und nicht ausser diesen noch eine gewisse Menge dunkler Wärmestrahlen durchließe.

Eine rothe Flüssigkeit, welche nur rothe Strahlen mit Ausschlus der dunklen Wärmestrahlen durchläst, wird aber

wohl eben so wenig gefunden werden, als es bis jetzt gelungen ist, eine gelbe Flüssigkeit zu finden, welche gelbe Strahlen mit Ausschluß des Rothen durchläßt.

Nach den Versuchen von Franz (Pogg. Ann. Bd. Cf. S. 57 und 58) können wir annehmen, dass 43 bis 50 Proc. aller durch die rothe Lösung gehenden Strahlen dunkle Wärmestrahlen sind; es bliebe demnach für die wärmende Kraft aller rothen Strahlen des Sonnenspectrums noch der Werth 20 bis 30 übrig.

So ergiebt sich denn aus diesen Versuchen, dass die wärmende Kraft der weniger brechbaren Strahlen des Sonnenspectrum, nämlich der rothen, orangefarbenen und gelben, viel bedeutender ist als die der grünen, blauen, indigofarbenen und violetten. Die oben mitgetheilten Zahlenwerthe würden auch, in Verbindung gebracht mit der Ausdehnung der einzelnen Farben im Spectrum, zur Construction einer Intensitätscurve der wärmenden Kraft des Sonnenspectrums führen. Wir wollen aber die Ausführung derselben unterlassen, da ihr Resultat jedenfalls weniger genau seyn würde, als man von einer directen Untersuchung des Sonnenspectrums in thermischer Beziehung erwarten kann.

Versuche über die Wärmevertheilung im Spectrum eines Gas- und eines Steinsalzprismas.

Nach Beendigung der im vorigen Abschnitt besprochenen Versuchsreihe, ging ich, da unterdessen die lineare Thermosäule angekommen war, zu directen Versuchen über die Vertheilung der Wärme im Sonnenspectrum über. Ein Sonnenspectrum ohne absorbirte Wärmestrahlen läset sich bekanntlich nur durch ein Steinsalzprisma erhalten; bevor ich jedoch die Versuche mit einem solchen, welches ich von Hrn. J. V. Albert Sohn in Frankfurt a. M. bezogen hatte, anstellte, hielt ich es für zweckmäsig, erst mit einem Glasprisma zu experimentiren, um die zweckmäsigste Anordnung der Versuche aussindig zu machen und die nöthige Uebung

in deuselben zu erlangen, bevor ich das Steinsalzprisma aus dem Glasgebäuse nahm, in welchem es eingekittet war.

Nach einigen vorläufigen Versuchen wurde die Aufstellung der Apparate in folgender Weise ausgeführt:

Die von dem Metallspiegel des Heliostaten reflectirten Strahlen gelangten durch einen 3^{mm} breiten Spalt in das dunkle Zimmer. Ungefähr 3 Zoll von diesem Spalt war ein Crownglasprisma so aufgestellt, dass die durchgehenden Strahlen ungefähr das Minimum der Ablenkung erlitten. Auf die Vordersläche dieses Prismas war ein Stanniolblatt aufgeklebt, aus welchem ein 3^{mm} breiter verticaler Streifen ausgeschnitten und dadurch eine zweite, ganz unmittelbar vor dem Prisma befindliche Spalte gebildet war. Es versteht sich von selbst, dass an der Stelle, wo die Stanniolbelegung weggenommen war, die Glasobersläche gehörig von Leim gereinigt wurde.

Die lineare Thermosäule wurde in einem solchen Abstand von dem Prisma aufgestellt, das das sichtbare Spectrum daselbst eine Breite von 18^{mm} hatte, wie bei den Versuchen von Franz. Sie war auf die Messingschiene des Melloni'schen Apparats aufgesetzt, welche rechtwinklig stand zu der Richtung des aus dem Prisma austretenden Strahlenbündels. Die Schiene, auf welcher die Thermosäule leicht verschoben und beliebig festgestellt werden konnte war in Pariser Linien getheilt.

In die Leitung, welche die Thermosäule mit dem Multiplicator verband, wurde ein Commutator eingeschaltet und für jede Stellung desselben eine Ablesung vor, während und nach der Bestrahlung der Thermosäule durch eine bestimmte aus dem Prisma austretende Strahlengattung vorgenommen.

Ein Beispiel mag diesen Gang der Beobachtung erläutern. Die Thermosäule wurde in das Roth des Spectrums eingestellt, sodann die durch den ersten Spalt eintretenden Sonnenstrahlen durch einen Schirm von Pappendeckel aufgefangen, also die Thermosäule der Strahlung entzogen.

Nachdem nun der Commutator geschlossen worden war, stellte sich die Nadel des Multiplicators auf

+ 3°.5

ein. Nun wurde der Schirm entfernt welcher die Strahlen von dem Prisma abhielt, so dass die Thermosäule von rothen Strahlen getroffen wurde; die Nadel des Multiplicators stellte sich auf

-- 7º

ein. Nachdem die einfallenden Strahlen wieder aufgefangen worden, die Thermosäule also abermals der Strahlung entzogen worden war, ging die Nadel des Multiplicators wieder auf

+ 30,5

zurück. Daraus folgt aber, dass die Bestrahlung der Thermosäule durch die rothen Strahlen in diesem Falle eine Ablenkung von 10,5° hervorbrachte.

Der Commutator wurde nun umgekehrt und die Beobachtung in gleicher Weise wiederholt und nun ergab sich für die Bestrahlung der Thermosäule durch die rothen Strahlen eine Ablenkung von 9°,5. Im Mittel entspricht also der thermischen Wirkung, welche die rothen auf die Thermosäule fallenden Strahlen hervorbringen, eine Ablenkung der Multiplicatornadel von 10 Graden.

In der folgenden Tabelle sind nun die auf diesem Wege für die verschiedenen Stellen des Spectrums erhaltenen Mittelwerthe der thermischen Effecte zusammengestellt.

Gra	inze	von	Indige	und V	iolett	29
Mitt	ten in	n Bl	au			4
Mit	ten i	m G	elb			7
Mit	ten in	n Ro	oth			10
1‴	über	die	rothe	Gränze	hinaus	12
2"	"	*	"		*	11
4"	w	20	×	• *	*	7
6'''	20	33	*	»	>>	2

Nach diesen Beobachtungen liegt also in dem Spectrum unseres Crownglasprismas das Maximum der Wärme noch über die rothe Gränze hinaus, während Franz das thermische Maximum für sein Flintglasprisma im Roth selbst fand. Diese Abweichung läst sich aber leicht erklären. Der Weg, den die Strahlen innerhalb des Franz'schen Prismas zurückzulegen hatten, betrug ungefähr 18 Millim., während ich die Spalte in der Stanniolbelegung so angebracht hatte, dass der Weg, welchen die Strahlen im Glas zu durchlaufen hatten, nur 10^{mm} betrug. Da nun aber das Glas auf die dunklen Wärmestrahlen absorbirend wirkt, so wird das thermische Maximum offenbar gegen das Roth hinverschoben, wenn die Dicke der zu durchwandernden Glasschicht zunimmt.

Nach den obigen Zahlenangaben ist nun die thermische Intensitätscurve RabS in Fig. 1 auf Taf. III. für das Spectrum eines Glasprismas construirt. Man übersieht aus derselben, dass die thermische Verlängerung des Spectrums über das Roth hinaus noch einen Raum einnimmt, welcher nahezu eben so lang ist als das ganze sichtbare Spectrum, welches in unserer Figur durch eine Klammer bezeichnet ist. Für diesen sichtbaren Theil des Spectrums ist auch, der bessern Orientirung wegen, die Lage der wichtigsten Fraunhofer'schen Linien bezeichnet.

Nach den Beobachtungen von Franz ist der dunkle Theil des Wärmespectrums ungeführ eben so groß, wie ich ihn gefunden habe, wie denn überhaupt jene Beobachtungen mit den meinigen wenn auch nicht ganz übereinstimmen, doch keine wesentlichen Abweichungen zeigen. Ich hielt es deshalb auch für unnöthig eine zweite Versuchsreihe mit dem Glasprisma auzustellen und ging alsbald zu den Versuchen mit dem Steinsalzprisma über.

Dieses Prisma war ein gleichseitiges; jede Seite war 36nn lang, die Höhe des Prismas betrug 44nn. Da man auf dieses Prisma nicht ein Stanniolblatt aufkleben konnte, ohne die Eintrittsfläche zu verderben, so wurde das Stanniolblatt durch eine Platte von Messingblech ersetzt, in welcher ein Spalt von 3nn Breite angebracht war, und welcher dicht vor die Eintrittsfläche des Steinsalzprismas aufgestellt wurde.

In der folgenden Tabelle sind die Resultate zweier

Versuchsreihen zusammengestellt, von deuen jede ganz in der Weise ausgeführt wurde, wie die oben besprochene Versuchsreihe mit dem Glasprisma

	I.	11.
Violettes Ende	0,5 °	
Im Blau	3,0	2,04
Im Gelb	5,5	4,8
Im Roth	7,3	6,0
l" i. D.	9,7	8,3
3‴ i. D.	11,5	9,7
4"' i. D.	10,5	7,5
6" i. D.	1,0	1,2

Nehmen wir aus den beiden nebeneinander stehenden Zahlen das Mittel, multipliciren wir dasselbe mit einem Factor, welcher für Roth das Product 10 giebt, so kommt

lm	Blau	3,7
Im	Gelb	7,9
lm	Rath	10,0
1‴	i. D.	13,2
3‴	i.D.	15,9
4‴	i. D.	13,2
6‴	i. D.	1,7

Dass die Ausschläge für den sichtbaren Theil des Spectrums bei den Versuchen mit dem Steinsalzprisma geringer aussielen als bei denen mit dem Glasprisma, hat offenbar nur darin seinen Grund, dass die Flächen des Steinsalzes doch nicht ganz so vollkommen geschlissen und polirt werden können als die des Glases, und serner darin, dass in einer Partie des Steinsalzprimas eine schwache Trübung vorhanden war.

Diese Zahlen stimmen nun freilich selbst innerhalb des sichtbaren Spectrums nicht ganz mit denen für Glas erhaltenen überein, allein die gewiss nur von Beobachtungssehlern herrührenden Differenzen sind nicht der Art, dass man wegen ihrer die Identität der thermischen Intensitätscurve für das Glas und Steinsalzprisma innerhalb des sichtbaren Theils des Spectrums in Zweisel ziehen dürfte. (Von einer

Berücksichtigung der Unterschiede der partiellen Dispersion von Glas und Steinsalz kann natürlich hier keine Rede seyn.) Ueber die rothe Gränze des sichtbaren Spectrums hinaus gehen aber die beiden Intensitätscurven bedeutend auseinander, wie man Fig. 1 Taf. III sieht, in welcher die Curve RacS dem Spectrum des Steinsalzprismas entspricht.

In diesem Spectrum liegt also das thermische Maximum noch weiter vom Roth ab, als beim Spectrum des Glasprismas und zwar ist der Abstand dieses Maximums von der Gränze des Roth übereinstimmend mit Melloni's Versuchen ungefähr ebenso groß wie der Abstand des Uebergangs von Grün in Blau von der rothen Gränze des Spectrums.

Die dunkle thermische Verlängerung des Spectrums ist diesen Versuchen zu Folge für Steinsalz nicht größer als für Glas.

Da nun das Steinsalz die Wärmestrahlen aller Art gleich gut durchläst, so stellte uns die Curve RacS die wahre Vertheilung der Wärme in einem nicht durch partielle Absorption alterirten Brechungsspectrum dar.

Bestimmung des Brechungsexponenten und der Wellenlänge der äufsersten dunklen Wärmestrahlen des Sonnenspectrums.

Durch die obigen Versuche ist dargethan, dass die dunklen Wärmestrahlen, welche im Sonnenspectrum enthalten sind, noch weit über die rothe Gränze des sichtbaren Spectrums hinausgehen, und zwar so, dass die Fraunhofer'sche Linie B (für ein Crownglasspectrum) ungefähr in der Mitte liegt zwischen dem violetten Ende des Spectrums und den äussersten dunklen Wärmestrahlen desselben (Fig. 1 Taf. III). Da nun für Crownglas der Brechungsexponent für H ungefähr 1,546, für B ungefähr 1,526 ist, so ergiebt sich, dass der Brechungsexponent der äussersten dunklen Wärmestrahlen des Sonnenspectrums ungefähr 1,506 ist.

Was nun die Bestimmung der Wellenlänge der dunklen Wärmestrahlen des Sonnenspectrums betrifft, so kann man

begreiflicherweise die Methoden nicht in Anwendung bringen, welche zur Bestimmung der Wellenlänge der verschiedenfarbigen Lichtstrahlen angewandt worden sind, sondern man muß die Wellenlänge der verschiedenfarbigen Lichtstrahlen als bekannt voraussetzend, nach dem Zusammenhange zwischen Brechungsexponent und Wellenlänge aus dem Brechungsexponent der äußersten dunklen Wärmestrahlen auf ihre Wellenlänge schließen.

Mit Cauchy's Dispersionsformel, welche den Zusammenhang zwischen Wellenlänge und Brechungsexponent darstellen soll, scheinen die Resultate meiner Versuche in Widerspruch zu stehen. Ich behalte mir vor, diesen Gegenstand später ausführlicher zu erörtern.

Ich versuche nun den Zusammenhang zwischen Wellenlänge und Brechungsexponent durch eine empirische Formel darzustellen. Bezeichnen wir die Wellenlänge mit so, den Brechungsexponenten mit e, so können wir setzen

Setzen wir in diese Gleichung der Reihe nach drei zusammengehörige Werthe von w und e, nämlich: der Fraushofer'schen Linie B entsprechend,

$$w = 690 \quad e = 1,526$$

dann der Fraunhofer'schen Linie F entsprechend

$$w = 485 \quad e = 1.536$$

und endlich der Fraunhofer'schen Linie H entsprechend w = 396 e = 1.546

(indem man, um die vielen Decimalstellen zu vermeiden, die wahren Werthe von w mit 1000000 multiplicirt) so erhalten wir drei Gleichungen, aus denen sich folgende Werthe von a, b und c ergeben:

$$a = 1391460$$
 $b = -1796460$
 $c = 580000$

Setzen wir diese Zahlenwerthe in Gleich. 1), so kommt $w = 1391460 - 1796460 e + 580000 e^2 \dots 2$

Aus dieser Gleichung ergiebt sich endlich für die Wellenlänge der äußersten Wärmestrahlen des Sonnenspectrums,

wenn wir für's den Brechungsexponent derselben, nämlich e == 1,506 substituiren: man findet alsdann

w = 1770

oder viehnehr

w = 0.00177

wenn man den aus Gleichung (2) berechneten Werth mit 1000000 dividirt.

Leichter und übersichtlicher gelangt man zu demmelben Resultat auf geometrisch-graphischem Wege. In Fig. 2 Taf. III repräsentirt die Linie RS das durch ein Crownglasprisma hervorgebrachte Sonnenspectrum und zwar in gleicher Ausdehnung wie in Fig. 1 Taf. III. In den Punkten H, G, F, D und B, welche den gleichnamigen an diese Stellen fallenden Fraunhofer'schen Linien entsprechen, sind Perpendikel errichtet und deren Länge der Wellenlänge proportional aufgetragen, und zwar auf die Weise, dass eine Höhendisserenz von 5 Millim. einem Unterschied der Wellenlänge von 0,0001 entspricht. Die über die Gipfelpunkte der Perpendikel in H, G, F, D und B gezogene Curve ab stellt nun das Gesetz dar, nach welchem die Wellenlänge vom Brechungsexponenten im Crownglase abhängt.

Die Curve ab ist aber nun über b hinaus in der Weise verlängert, dass der Verlauf der Verlängerung bc sich möglichst gut an den Verlauf des durch Beobachtungen bestimmten Curvenstücks ab anschließt oder mit anderen Worten das Gesetz, nach welchem Wellenlänge und Brechungsexponent innerhalb des sichtbaren Theils des Spectruns zusammenhängen, ist auf graphischem Wege auch auf die ultrarothen dunklen Wärmestrahlen übertragen worden.

Errichtet man nun in S, d. h. in dem Punkt, welcher den äußersten Gränzen der dunklen Wärmestrahlen des Sonnenspectrums entspricht, ein Perpendikel, so trifft dasselbe unsere Curve in einem Punkte c, dessen Höhe über der Abscissenlinie RS einer Wellenlänge 0,0019 entspricht, d. h. die Wellenlänge der äußersten dunklen Wärmestrahlen des Sonnenspectrums ist

0.0019 Millim.

Wir können diesen Werth natürlich nicht als einen genauen, sondern nur als einen angenäherten bezeichnen, da
die Erweiterung eines jeden empirischen Gesetzes über die
Gränzen der Beobachtungen hinaus, aus welchen es abgeleitet wurde, nie auf große Genauigkeit Anspruch machen
kann, mag diese Erweiterung nun auf algebraischem, oder
wie es hier geschehen ist, auf geometrisch-graphischem Wege
ausgeführt worden seyn.

Als Mittel aus dem durch Rechnung gefundenen Werth 0,00177 und dem auf geometrisch-graphischem Wege ermittelten Werthe 0,0019 ergiebt sich

w = 0,00183 Millim.

als Wellenlänge der äufsersten dunklen Strahlen des Sonnenspectrums.

Die Wellenlänge der alleräussersten fluorescirenden Strahlen, welche im Sonnenlicht enthalten sind, ist nach Esselbach's Untersuchungen 0,0003 Millim. (siehe mein Lehrbuch der Physik 5. Aufl. Bd. I S. 698; Pogg. Ann. XCVIII, S. 513). Der nächst niederen Octave dieser allerbrechbarsten Strahlen kommt die Wellenlänge 0,0006 nm zu, welche, wie man aus Fig. 2 Taf. Ill ersieht, nahezu dem Fraunhofer'schen Streifen D im Orange entspricht.

Die zweit niedere Octave der allerbrechbarsten Strahlen mit der Wellenlänge 0,0012^{mm} fällt bereits mitten in die dunklen Wärmestrahlen des Sonnenspectrums, die dritt niedere Octave mit der Wellenlänge 0,0024 fällt aber noch über die der geringsten Brechbarkeit entsprechende Gränze 8 des Sonnenspectrums hinaus. Im Ganzen umfafst also das Sonnenspectrum etwas über 2½ Octaven, d. h. Strahlen von der Wellenlänge von 0,0003 bis zur Wellenlänge von 0,0018 Millim.

Vertheilung der Wärme im Diffractionsspectrum.

• Es ist bekannt, dass die Farben in einem Gitterspectrum ganz anders vertheilt sind als in einem prismatischen Spectrum; es lässt sich also voraus sehen, dass die Intensitätscurve der Wärme für ein Gitterspectrum eine ganz andere Gestalt haben wird, als die in Fig. 1 Taf. III verzeichnete, welche sich auf ein prismatisches Spectrum bezieht.

Die ersten Versuche über die Wärme im Diffractionsspectrum hat meines Wissens Draper angestellt (Philosephical Magasine 1857, Vol. XIII. pag. 153), welcher mit einem durch Reflexion erhaltenen Gitterspectrum experimentirte. Die Art, wie er seine Versuche anstellte, ist höchst unvollständig beschrieben und über die Größe der Effecte, welche er am Multiplicator erzielt hat, giebt er nicht die mindeste Auskunft; er behauptet nur, das Maximum der Erwärmung im Gelb gefunden zu haben. Wenn auch, wie er selbst sagt, seine Resultate simperfect and incomplete waren, so wäre doch immerhin eine genauere Beschreibung der angewandten Apparate, der Anordnung des Versuchs und seiner Ergebnisse für den Physiker von Interesse gewesen.

Wenn ich es recht verstanden habe, so wendet Draper als Thermosäule ein einziges thermo-elektrisches Element an; es ist also auch nicht zu verwundern, wenn die thermischen Wirkungen, welche er beobachtete, wie er selbst zugiebt, sehr gering waren; ja ich kann nach meinen Erfahrungen kaum begreifen wie er mehr als Spuren jener Wirkungen beobachten konnte.

Im Besitz eines ausgezeichneten Rusgitters, dem ähnlich mit welchem Eisenlohr (Pogg. Ann. Bd. XCVIII S. 354) experimentirte, und welches ich gleichfalls der freundschaftlichen Güte des Hrn. Prof. Schwerd verdanke, stellte ich Versuche über die strahlende Wärme im Diffractionsspectrum an, fand aber, obgleich ich eine lineare Thermosäule von 15 Paaren anwandte, die thermischen Effecte so gering, das ich die Hoffnung aufgab auf diesem Wege einigermaßen brauchbare Resultate zu erzielen; denn merkliche Ausschläge des Multiplicators erfolgten erst, wenn ich die Thermosäule dem Gitter bis auf einen Abstand näherte, für welchen die Spectra so unrein waren, das das erste vollkommen in das zweite überging.

Die geringe Erwärmung im Diffractionsspectrum ist leicht

erklärlich. Bei Vermeidung einer Linse darf man höchstens einen 2^{mm} breiten Theil des Gitters in Anwendung bringen. wenn man noch einigermaßen reine Spectra erhalten will-Als ich nun die etwas über 2mm breite lineare Thermosaule an die Stelle des Gitters setzte, war die Totalwirkung, welche das direct auf die Thermosäule fallende Strahlenbündel am Multiplicator hervorbrachte, eine Ablenkung von Wenn nun dieselbe Strahlenmenge auf einen 2** breiten Theil des Gitters fällt, so wird ungefähr die Hälfte aller Strahlen durch die undurchsichtigen Partien Gitters aufgefangen, es bleibt also noch eine thermische Totalwirkung von 15° übrig. Diese Wärme vertheilt sich aber auf eine ganze Reihe von Spectren. Nehmen wir das Mittelbild mitgerechnet nur 7 an, so bleiben, wenn man von allen andern Verlüsten abstrahirt, für die thermische Gesammtwirkung eines einzelnen Beugungsspectrums kaum noch 2º übrig. Wenn aber die Gesammtwirkung eines solchen Spectrums nur 2º ist, so kann man in den einzelnen Theilen desselben unmöglich namhafte Wärmeeffecte erwarten.

Obgleich die experimentalen Hülfsmittel zu diesem Zweck bis jetzt noch nicht so weit vervollkommnet sind, dass man den Verlauf der Wärmecurve im Diffractionsspectrum aus directen Versuchen ableiten kann, ist es doch möglich auf indirectem Wege dieses Ziel zu erreichen; es läst sich nämlich der Verlauf der Wärmecurve im Diffractionsspectrum aus dem Verlauf der für das Brechungsspectrum ermittelten Wärmecurve Fig. I Tas. III und zwar am einfachsten auf folgende Weise ableiten.

Denken wir uns in Fig. 2 Taf. III von den Punkten, in welchen die horizontalen Linien die Curve abc treffen, Perpendikel auf die Linie RS gefällt, so wird durch diese Perpendikel die ganze Länge des Spectrums in 15 Abtheilungen getheilt, deren jede einer Differenz der Wellenlänge von (),0001 Millim. entspricht, d. h. von der Linken zur Rechten fortschreitend entspricht jeder folgenden Verticalen eine um 0,0001 Millim. größere Wellenlänge. Fig. 3 Taf. III stell

nun die Wärme-Intensitäts-Curve des Brechungsspectrums sammt diesen Verticalen dar.

Soll nun ein Diffractionsspectrum von gleicher Breite HS wie das Brechungsspectrum Fig. 3 Taf. III in 15 Theile getheilt werden, deren jeder einer Zunahme der Wellenlänge von 0,0001 Millim. entspricht, so ist die ganze Länge HS in 15 gleiche Theile zu theilen, wie diess in Fig. 4 Taf. III geschehen ist. Die entsprechenden Abtheilungen des Brechungs- und Beugungsspectrums sind dennach von ungleicher Breite; dieselbe Strahlenmenge ist in dem einen auf eine größere oder kleinere Strecke vertheilt als im andern, weshalb denn auch für entsprechende Stellen beider Spectra die Erwärmung ungleich ausfallen muß.

Die Strecke vom Violett bis gegen die Gränze von Blau und Grün hin zwischen den Verticalen 0,0004 und 0,0005 nimmt im prismatischen Spectrum Fig. 3 Taf. III eine Breite von 22, im Gitterspectrum nur eine Breite von 6^{mm} ein. Im Gitterspectrum sind also die violetten, indigofarbenen und blauen Strahlen auf ³T des Raumes zusammengedrängt, welchen sie im prismatischen Spectrum einnehmen; die Intensität der Erwärmung muß also für die fragliche Stelle im Diffractionsspectrum auch ¹T mal größer seyn als für das Refractionsspectrum Fig. 3 Taf. III, und deshalb ist die Ordinate in der Mitte zwischen den Verticalen 0,0004 und 0,0005 in Fig. 4 Taf. III auch ¹T mal größer gemacht als die Höhe der Ordinate in der Mitte zwischen 0,0004 und 0,0005 in Fig. 3 Taf. III.

Die Abtheilung zwischen den Verticalen 0,0005 und 0,0006 (vorzugsweise Grün und Gelb enthaltend) ist in Fig. 3 12 Millim., in Fig. 4 6 Millim., also nur halb so breit. Da nun die Ordinate in der Mitte zwischen 0,0005 und 0,0006 für Fig. 3 16 Millim. hoch ist, so muß man die entsprechende Ordinate in Fig. 4 doppelt so hoch, also 32 Millm. hoch machen, wenn sie der hier stattfindenden Erwärmung proportional seyn soll.

In derselben Weise fortfahrend sind nun Pankte bestimmt worden, über welche man die Intensitätscurve Fig. 4

gezogen hat, indem man nämlich die Mitte einer jeden Abtheilung in Fig. 4 um so vielmal höher oder niedriger machte als die entsprechende Ordinate in Fig. 3, als die Breite der Abtheilung in Fig. 4 kleiner oder größer ist als die Breite der entsprechenden Abtheilung in Fig. 3.

Wenn auch die Curve Fig. 4 auf große Genauigkeit keinen Anspruch machen kann, so stellt sie im Wesentlichen die Vertheilung der Wärme im Diffractionsspectrum doch richtig dar. Dadurch wird nun allerdings bestätigt daßs im Diffractionsspectrum das Maximum der Erwärmung in das Gelb fällt, wie Draper behauptet hat, aber es folgt daraus durchaus nicht, *that the distribution of heat corresponds to the distribution of light, * wie Draper meint, welcher zu glauben scheint, daßs vom Gelb aus die Intensität der Wärme wie die des Lichtes in gleicher Weise gegen die violette und rothe Gränze des sichtbaren Spectrums hin abnimmt, und welcher somit den dunklen Theil des Wärmespectrums ganz ignorirt.

Da die Intensitätscurve des Lichtes im Brechungsspectrum so durchaus vom Verlauf der Wärmecurve abweicht, so können beide Curven für das Diffractionsspectrum nicht zusammenfallen, wenn auch die Intensitätsmaxima für Licht und Wärme im Diffractionsspectrum einander ungleich näher liegen als im Refractionsspectrum.

Aus Fig. 4 Taf. III ersehen wir, dass die dunklen Wärmestrahlen im Disfractionsspectrum einen Raum einnehmen, welcher ungefähr $3\frac{1}{4}$ mal so breit ist als das ganze sichtbare Spectrum. In dem durch ein Gitter gebildeten Disfractionsbilde (Vergl. mein Lehrbuch der Physik 5. Ausl. Bd. I S. 622 Fig. 699) reicht demnach der dunkle Theil des ersten Wärmespectrums auf jeder Seite bis zum Violett des dritten Lichtspectrums also von R bis V''. Es ist also sast das ganze zweite Lichtspectrum noch durch die dunklen Wärmestrahlen des ersten Spectrums überdeckt, ein Umstand, welcher es, ganz abgesehen von sonstigen Schwierigkeiten, unmöglich macht direct die Intensitätscurve eines einzelnen Diffractionsspectrums isolirt zu verfolgen.

II. Ueber die Aenderungen, welche die Modification des mittleren Volums einiger Salzlösungen durch Aenderungen der Temperatur erleidet; von P. Kremers.

Die nachfolgende Untersuchung reiht sich unmittelbar an eine frühere (Bd. 100, S. 394) an und wurde auch im Wesentlichen wie jene durchgeführt. Nur hin und wieder wurden einzelne Aenderungen getroffen und sind auch nur diese im Folgenden angeführt, wogegen hinsichtlich des Uebrigen auf die frühere Arbeit verwiesen wird.

Da der früher benutzte Ausdehnungsapparat defect geworden war, so wurde für die folgende Untersuchung ein ganz neuer Apparat hergestellt, welcher sowohl hinsichtlich der Form genau mit dem früher beschriebenen übereinstimmt, als auch wenigstens annähernd dessen Dimensionen hat 1). Die beiden Capillarröhren waren, soweit sie getheilt, vollständig cylindrisch 2). Die Theilstriche waren äußerst fein und mit Flußsäure geätzt; ihr Abstand betrug nur die Hälfte der früheren, also nur 0,6 mm, wovon ganz bequem noch der vierte Theil geschätzt werden konnte. Auch dieser Apparat war, wie die früheren, von Hrn. Heinr. Geißeler in Bonn angefertigt, mit Quecksilber gefüllt und ausgekocht worden.

Bei 11°C. enthielten die beiden Röhren die hiernächst folgenden Gewichte Quecksilber:

Röhre a.
510,5 Theilstriche wogen 4,4974 Grm., also 1 Theilstrich = 0,008810
393.25 3 2.4658 3 3 3 = 0.008813

393,25 » 3,4658 » » 3 = 0,008813

Mittel = 0,0088115

1) Das cylindrische Gefäß sowohl als auch die Röhren waren aus ein und derselben Glasmasse gesogen.

2) Nur die Röhre b war, wie man aus den nachfolgenden Zahlen erschen wird, in ihrer Mitte um ein Minimum weiter als an ihren beiden Enden. Die dadurch verursachten Fohler berechneten sich indess als so gering, dass sie süglich vernachlässigt werden konnten.

Böhre b.

412 The	ilstriche	wogen	2,9478	èrm.,	also	1	Theilstrich	=	0,007155
391,5	»	*	2,8025	20	»	×	*	=	0,007158
352,75	•		2,5256	×	*	10	*	=	0.007160

Für die Röhre b wurde als Mittel genommen der Werth 0,007158. Bei derselben Temperatur enthielt der Apparat bis zu den Theilstrichen 130,5 (a) und 128,5 (b) an Quecksilber 169,3482 Grm.

Bei 100°,4 C. stand das Quecksilber bei den Theilstrichen 279,5 (a) und 273,5 (b).

Aus diesen Beobachtungen berechnet sich die scheinbare Ausdehnung des Quecksilbers für 1°C. zu 0,00015527. Subtrahirt man diesen Werth von der wirklichen Ausdehnung des Quecksilbers 0,00018153, wie sie Regnault fand, so erhält man für den Ausdehnungscoöfficienten des Glases den Werth 0.00002626.

Die zu untersuchenden Salzlösungen wurden wie früher in einem kleinen enghalsigen Kölbchen bis zum Kochen erhitzt und darauf noch während fünf Minuten in lebhaftem Sieden erhalten.

Das Thermometer, welches die Temperatur 19°,5 C. angab, war das frühere; für die höheren Temperaturen hatte mir Hr. Geißler ein neues Thermometer angesertigt, welches in Fünstel-Grade eingetheilt ist. Die Capillarröhre dieses Instruments ist zwischen 0 und 100° vollständig cylindrisch und, mit dem Normalthermometer des Hrn. Geißler verglichen, zeigt es keine merklichen Unterschiede. Anfänglich zeigte dieses Thermometer keine Depression des Nullpunktes, wenn es den Dämpsen des siedenden Wassers ausgesetzt wurde; erst nachdem es vielleicht einen Monat hindurch tagtäglich gebraucht war, trat diese Aenderung ein, doch betrug sie selbst dann nicht mehr als 0°,1 C. Auf diesen Umstand wurde so viel als möglich Rücksicht genommen.

Die hiernächst untersuchten Salzlösungen sind dieselben, welche schon früher (Bd. 104, S. 133) hinsichtlich ihrer relativen Räume untersucht wurden und wird daher, was Darstelling and Reinigung asbugt, and jest Abbandling vervigen.

Nachlem die Salzitsungen hinsichtlich ihrer Auslehung untersucht waren, wurde ihr spec. Gewicht bei 19°,5 C. bestimmt, das des Inflicien Wanners bei demelhen Temperatur als Einheit gesetzt. Aus den spec. Gewichten wurde alselam mit Zegeunflegung der felheren Bestimmungen der Gehalt an wanterfreien Salzstomen durch graphische Intopolitien abgeleitet. Die Bestimmung der spec. Gemichte kounte mit dem früher (Bd. 95, S. 116) hendrichenen Appurate amgeführt werden. Da indefe mit jenem Appurate nur bei einer Luftwärme von weniger als 19°.5 gembeliet werden kounte, so wurde bei den folgenden Bestimmungen der durch beistehende Zeichnung durgestellte gunt einfache

Apparat benutzt. Die beiden an ihren Enden durch aufgeschliffene Hinchen verschliefsbure Capillarrühren sind in ihren oberen Theilen cyfindrisch, eleich weit und in eieriche Theile einestheilt. Das Volum dieses Apparats war nur um etwas klemer als das des Ansdeinnungssparates. Das Umfüllen erforderte mar wenice Minuten und wurze dazu ein einemolosies cyfindrisches Gefäß benutzt, so dass bei dieser Operation eine etwanze Aemberanz des Concentrationsgrades zur nicht zu befüreitung war.

Le falet horraiclest eine Zusammenstellung der munitielharen Bestingungen:

Linnest via Chicarymum.

 Eine Litzung, welche das sper. Gew. 1.8538 zeigte, also nebez 100 Gewichtstheilen Wasser 652. Arome Se Claudich.

Yenp.	£	,	T emo	4	,
194.5 C.	****	34.0	7919	\$51.4	23K.5
39.9	18.73	1344	569 ₹	1.1.4	Lile
50 S	≥36. #	216.7			

2. Eine Lösung, welche das spec. Gew. 1,3014 zeigte, also neben 100 Gewichtstheilen Wasser 50,0 Atome Sr Clenthielt.

Temp.	a	b	Temp.	a	· b
0° C.	31,0	23,5	60°	276,0	270,5
19 ,5	101,5	93,5	80	376,0	372,5
40 ,2	186,0	179,0	100,2	487,5	484,5

3. Eine Lösung, welche das spec. Gew. 1,2059 zeigte, also neben 100 Gewichtstheilen Wasser 32,6 Atome Sr Cl enthielt.

Temp.	а	ь	Temp.	a	b
0° C.	28,5	17,5	60°,1	258,0	252,75
19 ,5	88,0	79,0	80 ,2	361,5	360,5
40	167,0	159,25	100 ,0	476,25	480,0

4. Eine Lösung, welche das spec. Gew. 1,1046 zeigte, also neben 100 Gewichtstheilen Wasser 16,0 Atome Sr Cl enthielt.

Temp.	a	b	Temp.	a	ь
Oo C.	36,75	26,5	60°,1	238 ,0	238,5
19 ,5	75,5	73,0	80 ,1	347,0	352,0
40 ,1	147,5	145,0	99 ,9	471,0	484,0

Lösungen von Chlorcalcium.

1. Eine Lösung, welche das spec. Gew. 1,0852 zeigte, also neben 100 Gewichtstheilen Wasser 20,2 Atome Ca Cl enthielt.

Temp.	a	b	Temp.	а	b
0° C.	52,5	63,75	60°,1	253,5	269,5
19 ,5	94,75	108,0	80 ,1	359,5	378,5
40 ,1	165,0	179,0	99 ,9	481,0	504,0

2. Eine Lösung, welche das spec. Gew. 1,1652 zeigte, also neben 100 Gewichtstheilen Wasser 41,2 Atome Ca Clenthielt.

Temp.	a	ь	Temp.	æ	b
ο C.	56,0	44,0	60°	276,5	278,0
19 ,5	115,0	107,0	80	372,5	383,0
40 ¹)	191,5	187,0	99,5	475,5	498,0

¹⁾ Die Rührvorrichtung war soweit verbessert, dass forten immer bei den Temperaturen 40, 60 und 80° beobachtet werden konnte.

Nach diesem Versuche zeigte der Apparat einen kleinen Riss im Cylinder. Mit einer feinen Stichslamme wurde dieser wieder verschmolzen, wobei indes der Cylinder an der Löthstelle sich etwas zusammenschnürte. Der Apparat faste jetzt bei 11° C. bis zu dem Theilstriche 0 in jeder der beiden Capillarröhren 167,0270 Grm. Quecksilber. Als Ausdehnungscoöfficient des Glases wurde wieder der obengenannte angenommen.

Mit diesem Apparate wurden folgende Beobachtungen gemacht:

3. Eine Lösung, welche das spec. Gew. 1,2447 zeigte, also neben 100 Gewichtstheilen Wasser 65,0 Atome Ca C'enthielt.

Temp.		b	Temp.	a	6
0° Č.	74,0	46,25	60°	312,0	299,5
19 ,5	146,0	120,5	80	405,0	400,0
40	22 6,5	207,0	99,7	501,0	507,0

4. Eine Lösung, welche das spec. Gew. 1,3094 zeigte, also neben 100 Gewichtstheilen Wasser 86,5 Atome Ca "cnthielt.

Temp.	а	b	Temp.	a	b
0° C.	•	60°	296,0	299,0	
19 ,5	119,0	117,0	80	390,5	395,5
40	207.0	207.0	100	489.0	498.5

Nach diesem Versuche zeigte der Apparat wieder einen Riss im Cylinder. Der bisherige Cylinder wurde darauf durch einen neuen ersetzt, welcher aus ganz anderem Glase angesertigt war, einem grünen Glase nämlich, welches Hr. Geissler mir besonders empfahl, weil es weniger rissig ist und auch leicht mit andern Gläsern sich verschmelzen läst. Dieser Apparat wurde darauf wieder mit Quecksilber gefüllt und ausgekocht.

Bei 11° C. enthielt der Apparat bis zu den Theilstrichen 75,75 (a) und 73,0 (b) an Quecksilber 166,9360 Grm.

Bei 100°,1 C. stand das Quecksilber bei den Theilstrichen 212,25 (a) und 224,25 (b). Aus diesen Beobachtun-

gen berechnet sich die wirkliche Ausdehnung des Glases für 1° C. zu 0,00002788.

Dadurch dass der Cylinder einen andern Ausdehnungscoëfficienten hat, als die beiden Capillarröhren, sind die
unmittelbaren Beobachtungen allerdings mit einem kleinen
Fehler behaftet, doch wird dieser durch Einführung des
mittleren Ausdehnungscoöfficienten wieder compensirt. Sofern nämlich der Apparat die wirkliche Ausdehnung des
Quecksilbers richtig berechnen läst, gilt dies natürlich auch
von allen andern Flüssigkeiten.

Mit diesem Apparate wurden folgende Beobachtungen gemacht.

5. Eine Lösung, welche das spec. Gew. 1,3760 zeigtes also neben 100 Gewichtstheilen Wasser 111,6 Atome Ca Clenthielt.

Temp.	a	b	Тетр.	Œ	b
19°,5 C.	138,75	108,5	80°	406,5	408,0
40	228,0	207,5	100	500,0	513,5
60	316.0	306.0			

Nach diesem Versuche zeigte der Apparat wieder einen Riss im obern Theile des Cylinders, wo nämlich die in den untern Theil des Cylinders hinunter reichende Capillarröhre mittelst eines Wulstes eingeschmolzen war, ohne Zweifel wohl nur die Folge einer mangelhaften Abkühlung. Es wurde daher aus demselben grünen Glase ein neuer Cylinder angesertigt und an der Stelle, wo die betreffende Capillarröhre eingeschmolzen war, sehr sorgfältig gekühlt. Dieser Apparat wurde darauf wieder mit Quecksilber gefüllt und ausgekocht.

Bei 11° C. enthielt der Apparat bis zu den Theilstrichen 190,75 (a) und 184,5 (b) an Quecksilber 168,9267 Grm. Bei 99°,6 C. stand das Quecksilber bei den Theilstrichen 333,0 (a) und 331,0 (b). Aus diesen Beobachtungen berechnet sich der Ausdehnungscoöfficient des Glases für 1° C. zu 0,00002772.

Mit diesem Apparate wurden folgende Beobachtungen gemacht:

Lösungen von Chlorcadmium.

 Eine Lösung, welche das spec. Gew. 1,5000 zeigte, also neben 100 Gewichtstheilen Wasser 78,2 Atome Cd Cl enthielt.

Temp.	a	ь	Temp.	a	
0° C.	109,25	61,75	400	292,25	266,0
19,5	190,0	150,0	60	408,5	397,0

Hierauf wurde von der Salzlösung soviel entfernt, dass auch die Volumina bei den höhern Temperaturen konnten beobachtet werden. Da diess bei den folgenden Salzlösungen noch öfter nöthig war, so ist, um Wiederholungen zu vermeiden, diess durch einen horizontalen Strich angedeutet.

Temp.	a	b	Temp.	a	b .
60° C.	199,0	191,0	99°,9	465,0	497,0
80	329,5	335,0		100000	Zall

2. Eine Lösung, welche das spec. Gew. 1,4040 zeigte, also neben 100 Gewichtstheilen Wasser 60,7 Atome Cd Clenthielt.

Temp.	a	b	Temp.	a	b
0° C.	113,75	83,5	40°	289,5	271,0
19,5	190,0	162,5	60	405,0	396,0
40°	98,0	93,0	100	490,0	506,5
80	347,0	350,0			

3. Eine Lösung, welche das spec. Gew. 1,2690 zeigte, also neben 100 Gewichtstheilen Wasser 38,4 Atome CdCl enthielt.

Temp.	a	Ь	Temp.	æ	b
0∘ C.	118,5	110,0	40°	271,5	267,25
19 ,5	180,5	173,5			
19,5	24,0	10,0	80	353,0	348,0
60	223,5	215,0	99,9	497,0	501,0
4 171	T			<u> </u>	100 .

4. Eine Lösung, welche das spec. Gew. 1,1402 zeigte, also neben 100 Gewichtstheilen Wasser 19,2 Atome CdCl enthielt.

Temp.	a	b	Temp.	a	b
0° C.	48,0	58,5	60	268,25	278,0
19, 5	90,0	100,5	80	395,0	402,0
40	166,5	176,75			
			 ,	,	
19°,5 C.	43,5	44,0	99,9	485,0	500,0

5. Eine Lösung, welche das spec. Gew. 1,7266 zeigte, also neben 100 Gewichtstheilen Wasser 124,8 Atome Cd Cl enthielt.

Temp.	æ	ь -	Temp.	a	b
0 C.	55,5	59,0	40°	259,0	264,0
19°,5	147,0	150,0			•
Temp.	а	Ь	Temp.	a	b
40°	105,0	93,0	80°	362 ,0	354,25
60 C.	226,25	218,0	100,3	505,0	508,5

Lösungen von Chlorzink.

1. Eine Lösung, welche das spec. Gew. 1,1275 zeigte, also neben 100 Gewichtstheilen Wasser 23,7 Atome Zn Cl enthielt.

Temp. 0° C. 19, 5	a 20,0 89,0	48,0 114,25	Тетр. 40° 6 0	191,25 317,0	<i>b</i> 212,0 330,25
40	73,0	90,0	100,2	504,0	504,0
80	342.0	344.75			

2. Eine Lösung, welche das spec. Gew. 1,2466 zeigte, also neben 100 Gewichtstheilen Wasser 51,2 Atome Zn Clenthielt.

Temp.	æ	b	Temp.	a	b
0° Ċ.	46,25	63,25	40°	263,5	269,25
19 ,5	143,0	155,25	60	399,0	396,25
40	59,25	87 ,25	99,9	505,5	500,0
80	343,0	348,5			

 Eine Lösung, welche das spec, Gew. 1,3869 zeigte, also neben 100 Gewichtstheilen Wasser 88,2 Atome Zn Cl enthielt.

Temp.	4	8	Temp.	2.00	
0 . C.	* 38,0	33,0	400	268,5	259,25
19 ,5	144,75	137,25	60	401,5	391,0
40	85,0	84,25	100	510,0	508,25
80	359,5	352,5		7	
. TO			Acres	C 1 .	

 Eine Lösung, welche das spec. Gew. 1,5551 zeigte, also neben 100 Gewichtstheilen Wasser 142,8 Atome Zn Cl enthielt.

CO	222	92.1.3R			
**	143,5	87.5	100	506,0	504,0
19 ,5	149,5	142,5	60	403,25	398,0
O° C.	39,5	33,5	Temp. 40°	273,25	267,5

Literagen von Chierangennium

 Eine L\u00e4sung, welche das spec. Gew. L.1195 neigte, also neben 100 Gewichtstheilen Wasser 33.4 Atome Mg Clenthielt.

Temp.	1123		-	******************	
£ 61	151.0	140,5	50		STI.D
**	300.5	383.5	160	eren	430.0

2. Eine Litang, welche das spec. Gew. LIGSS assigte, also nelsen 100 Gewichtscheilen Watter 17.4 Mauer Mg/CI enthielt.

Franç	•	•	Tong		3
P C	36.75	SLP.		NOTE	NI.B
19.3	ini.	115.0	50	3660	376.5
**	EMA	all a	90.9	#5.P	450

3. Eine Litens, welche die spra Gree 1.1702 migte also under 100 Greenbackeilen Wieser 185 kreue MgCI unthiek

Тетр.	a	b	Temp.	a	b
0° C.	145,0	127,5	60°	315,0	306,0
19 ,5	188,0	172,0	80	394,75	390,0
40	246,0	234,0	99,8	480,0	488,0

4. Eine Lösung, welche das spec. Gew. 1,2366 zeigte, also neben 100 Gewichtstheilen Wasser 73,8 Atome Mg Clenthielt.

Temp.	a	b	Temp.	a	b
0° Ċ.	116,25	103,0	60°	282,0	276,0
19 ,5	162,0	150,5	80	352,0	350,25
40	219,0	210,0	99,8	425,0	434,0

5. Eine Lösung, welche das spec. Gew. 1,3016 zeigte, also neben 100 Gewichtstheilen Wasser 99,2 Atome Mg Clenthielt.

Temp.	a	b	Temp.	a	b
0° Č.	123,0	132,0	60°	286,0	298,0
19,5	170,75	180,75	80	351,25	362,25
40	226,75	237,5	99,9	420,0	431,0

Lösungen von Bromkalium.

1. Eine Lösung, welche das spec. Gew. 1,2476 zeigte, also neben 100 Gewichtstheilen Wasser 34,8 Atome KBr enthielt.

Temp.	a	b	Тепър.	a	Ь
0° Č.	35,0	21,25	60°	281,5	263,0
19 ,5	105,0	79,75	80	388,0	376,0
40	187,25	165.0	100	503.0	506,5

2. Eine Lösung, welche das spec. Gew. 1,1359 zeigte, also neben 100 Gewichtstheilen Wasser 17,7 Atome KBr enthielt.

Тепор.	a	b	Temp.	a	ь
0° C.	45,0	48,75	60 °	264,0	268,75
19 ,5	93,0	97,25	80°	377,0	382,0
40	169,0	173,5	99,9	505,0	515,0

3. Eine Lösung, welche das spec. Gew. 1,3407 zeigte, also neben 100 Gewichtstheilen Wasser 51,0 Atome K Br enthielt.

Twnp. 19°,5 ().	107,25	↓ 97,0	Temp. 80°	394, 0	391,0
10	194,0	186,0	99,9	504,0	513,0
61)	289,25	282,0			

Lõrangen von Bromnstrium.

 Fine Lösung, welche das spec. Gew. 1,3865 zeigte, also neben 100 Gewichtstheilen Wasser 60,5 Atome Na Brenthielt.

7rap 0° C. 19 ,5	52,25 145,0	•	40°	248,0	250,0
2. es	ero	62 0	50	388,0	389,0
(21)	273.25	977.0	99 .5	506.0	509,0

 Fine Lüsung, welche das sper, Gew. 1.2926 zeigte, also neben 100 Gewichtstheilen Wasser 41.4 Atome Na Br enthich.

Trans.	4	,	ĩ c a p		۵
6, C	0.2.7	65.0	191.5	156.0	151.0
19.3	3.90	.20	**	376.0	354,0
*	1364	like	98.9	3 000.0	507.0
*	≱il. ♦	271.0			

3. Fine Library, weight this spec. Geor. 1.1450 zeigte, this neiter 190 Georgia Station Wasser 1905 Atomic Na Brendwill.

O. C.	145.4	314	16.3 C	1613	153.0
19.3	71.3	85,5	**	221	282.0
461	134.73	168,75	100	346.+	545.D
660	203.0	267.25			

Ber Linne, welche die sper: Gest Lidthi zegen. Die seine Mit Complessionien Wieser (S.) Anne Na Dr

Temp.	a	b	Temp.	a	b
19°,5 C.	64,0	63,5	80°	391,5	390,5
40	170,75	169,75	100,2	509,0	510,5
60	278,5	278.0	·		•

Lösungen von Bromlithium.

1. Eine Lösung, welche das spec. Gew. 1,2719 zeigte, also neben 100 Gewichtstheilen Wasser 53,8 Atome Li Brenthielt.

Temp.	a	b	Temp.	a	b
0º Ċ.	122,25	124,5	6 0°	318,0	320,5
19 ,5	174,5	176,5	80	407,0	407,5
40	241,0	243,75	100,1	505,0	506,5

2. Eine Lösung, welche das spec. Gew. 1,1252 zeigte, also neben 100 Gewichtstheilen Wasser 22,6 Atome Li Br enthielt.

Temp.	а	ь	Temp.	æ	ь
0° Ċ.	86,75	96,0	60	271,75	278,0
19 ,5	124,0	131,5	80	374,0	379,0
40	188.0	195.0	100.2	496.0	496.0

3. Eine Lösung, welche das spec. Gew. 1,3872 zeigte, also neben 100 Gewichtstheilen Wasser 82,7 Atome Li Brenthielt.

Temp.	a	b	Temp.	a	b
0° Č.	129,0	142,0	60	335,0	343,0
19 ,5	189,5	201,25	80	417,5	422,5
40	260,0	269,5	100	505,0	509,5

4. Eine Lösung, welche das spec. Gew. 1,5478 zeigte, also neben 100 Gewichtstheilen Wasser 129,5 Atome Li Br enthielt.

Temp.	а	Ь	Temp.	æ	b
0° Ċ.	104,5	108,5	60°	320,0	323,5
19 ,5	172,5	176,0	80	397,5	400,75
40	246,0	249,5	99,9	477,0	482,0
		·	•	9	A *

Lösungen von Resmissysten.

 Eine Läsung, welche das spec. Gew. 1,6629 neigte, also neben 100 Gewichtscheilen Wasser 64.5 Atome Ba Br enthieb.

Tong.			Tenn. 19°,5 C.		158,5
19 ,5	75.0	91,5	50	392/0	395,5
100	1740	159,25	300	495.0	5((2,0)
60	275,0	289,5			

 Eine Lüsung, welche das sper. Gew. 1,4710 neigte, also neben 100 Gewichtstheilen Wasser 43.2 Atome Ba Br enthielt.

Tesp.	4	. 4	Temp.		16.	
W.C.	10,0	15,0	GIII*	959.95	286,5	
B 3	500	%5	***		3045	
*	1920	1:00	20.2	38\5	3300	

 Emr Lämng, welche das spec. Gew. 1.2000 neigte, also nelsen 100 Gewichtsheilen Wasser 21.5 Annae Balle entlicht.

7 C	20.0	15.0 25.0	1	353.0	305.0
B 3	363	93.0	***	230	3.30
	DELP			SAL.	323.0

Limin or parameter

L. Eine Linne, wolche des spec. Gew. 1,002% snight. also seden 100 Gewichtstholen Wasser 65,6 Atome Selbrandich.

T-	•	*	2000	•	3
PC		320			27.3
B ,3			70	MES	2060
		MAP			746.3

2. Hire Library within the spec. Gen. 1.4278 prints. allowables 100 Considerabelles Wasser GS types fritte antick.

Temp.	a	b		Temp.	a	b
0° C.	19,25	43,5		60°	285,5	300,0
19 ,5	97,0	118,5	1	80	394,0	401,0
40	188,0	206,0		99, 8	509,0	511,0

Nach diesem Versuche zeigte eine der beiden Capillarröhren einen kleinen Rifs und zwar an einer der Stellen, wo eine Zahl mit dem Demant eingeschrieben war. Schon im Laufe des folgenden Versuchs brach diese Röhre an jener Stelle entzwei. Dieser Umstand sowohl, als auch der andere, dass die Eisvorräthe so ziemlich verbraucht waren, bestimmten mich, die Fortsetzung dieser Untersuchung einstweilen wieder bis auf Weiteres zu verschieben.

Die nächstfolgende Tabelle enthält die Volumina der Salzlösungen, wie sie sich aus den vorstehenden Angaben berechnen und ist hierbei auch wieder wie früher das Volum bei 19°,5 C. als Einheit angenommen. In dieser Tabelle ist den einzelnen Columnen überschrieben die Anzahl der wasserfreien Salzatome, welche in den Lösungen neben 100 Gewichtstheilen Wasser enthalten ist.

		Sr Cl		
	16,0	32,6	50,0	65,2
0° C.	0,99549	0,99377	0,99284	
19 ,5	1,00000	1,00000	1,00000	1,00000
40	1,00733	1,00807	1,00850	1,00875
60	1,01655	1,01728	1,01767	1,01798
80	1,02759	1,02773	1,02774	1,02790
100	1,04032	1,03943	1,03873	1,03850

Ca Cl

	20,2	41,2	65,0	86,5	111,6
O° C.	0,99541	0,99375	0,99260	0,99179	
19 ,5	1,00000	1,00000	1,00000	1,00000	1,00000
40	1,00718	1,00791	1,00839	1,00894	1,00949
6 0	1,01615	1,01672	1,01728	1,01801	1,01887
80	1,02682	1,02670	1.02691	1,02755	1,02853
100	1,03911	1,03772	1,03710	1,03758	1,03850

C9CI

er C	19,3 0,99545			19;2 0.00150	
	1,00000				
	the second second second			1.46	and the second second
40	1,00785				
60	1,01509	1,02053	1,02225	1,02302	1,02369
60	1,03062	1,03368	1,03582	1,63678	1,03736
100	1,04524	1,04553	1,05074	1,05166	1,05199

ZnCl

	23,7	51,2	55,2	142.8
0. C	0,99300	0,99045	0,95913	0.98906
19 ,5	1,00000	1,00000	1,00000	1,00000
49	1,01012	1,01173	1,01224	1,01237
60	1,02234	1,02478	1,02537	1,02528
50	1.09656	1.03931	1.03962	1.53912
140	1,65255	1.65519	1.666	1 05369

MiCI

	14	37.1	477	2.5	33,2
e. C	0.99655	0.99572	0.55533	1.99545	0.59450
خ, 19	l'esses	1.00000		1.00000	1,00000
40	1.00634	1,00631	L00622	LANCONS	1.00590
	LOHAS	To 1400	1,01343	1.01273	1.01212
90	1.02197	L02333	L02171	1105011	1.01550
100	1,63639	1.63369	1.030%	1.02511	1.02590

K Br

10000	17,7	34.5	54.0
0. C	0.99487	0.99327	
19 ,5	1,00000	1.0000	geton. I
40	1,00784	1.00/54	1.00:05
60	1,01746	L01:325	1.01:339
80	1,02881	F05354	1.02933
100	1,04185	F0115 3	1.0440.1



		375		
00.6	19,8	Na Br 41,4	60,5	85,5
0° C.	0,99380	0,99159	0,99067	
19 ,5	1,00000	1,00000	1,00000	•
40	1,00852	. 1,00980	1,01032	•
60	1,01858	1,02032	1,02108	•
80	1,03021	1,03178	1,03249	1,03298
100	1,04347	1,04421	1,04453	1,04477
		Li Br		
	22,6	53,8	82,7	129,5
U° C.	0,99599	0,99453	0,99380	0,99304
19 ,5	1,00000	1,00000	1,00000	1,00000
40	1,00663	1,00689	1,00713	1,00753
60	1,01512	1,01473	1,01471	-
80	1,02534	1,02362	1,02293	•
100	1,03717	1,03345	1,03173	
		Ba Br		
	21	,5	43,2	64,8
0°	C. 0,99	395 0,	99190	0,99097
19	-		00000	1,00000
40	1,00	823 1,	00938	1,00997
60	1,01	790 1,0	01938	1,02014
80	1,02	•	03027	1,03086
100	•	•	04201	1,04209

	Sr Br	
	45,8	68,6
0° C.	0,99217	0,99141
19 ,5	1,00000	1,00000
40	1,00909	1,00952
60	1,01878	1,01930
80	1,02935	1,02953
100	1 04076	1 04034

Aus den Zahlen der vorstehenden Tabelle wurden mittelst graphischer Interpolation die Volumina abgeleitet, welche die Salzlösungen zeigen, wenn neben je 100 Gewichtstheilen Wasser die den einzelnen Columnen überschriebene, um eine constante Größe wachsende Anzahl von Salzatomen in ihnen enthalten ist. Bei den weniger löslichen Salzatomen ist diese constante Größe 10, bei den löslichern dagegen 20, wodurch eigentlich der Uebersichtlichkeit wenig geschadet wird und die Tabellen nicht gar zu viel Raum erfordern. Auch sind der Vollständigkeit wegen die früher gewonnenen Resultate hier wiedergegeben. Die zwischenliegenden kleingedruckten Zahlen sind die Differenzen und sind dieselben in den Fällen, wo bei zunehmender Concentration das Volumen abnimmt, unterstrichen.

Li CI

	20	400	60	50	D00
PE	0.9967.	68: 0,98688	±± 0.98587	1804	
19.5	Louve		- •	. Lauce	e Lecco
40	LOUGE	192 20 1,0069 2	574 13 1,80574	570 # LAUSTO	574 4: 1,66574
33	71. 71.	102 LOCKE	676 L01250	36 LOL214	10: FREM 4
30	1007 Luc as	979 230 LØ2296	794 172 1,02034	94: LB1948	46 LORNOL
300	1194 L43630	1014 410 L63220	230 L92540	168 LOCITE	ten Luzzaro

Na CI

	10		20)		30		40	50
ør€. 19.5	0,99597 102 1,00000	-	0;39436 564 1,00000	1	2,00000		1,50000	
mh		-						
-101	T(98739)	160	E00206	38	LORSS.	28	Louises.	
	9420		100.00		979		985	
60	1,0107.3	195	1,017.4	62	1,91836	44	1,015990	
Since or a	1252		21(24)		11/200 ·		0.003	
30	1,0125/215	NO.	1,92908	48	1,82956	25	1,02960	
	1260		10000		F261		1228	
100	6,04187	26	0.04213		0.94210	1.6	1,042363	



377

K Cl

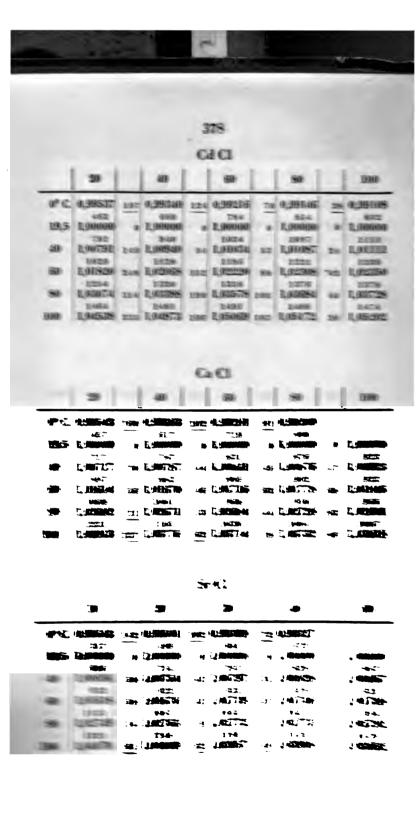
	10		20		30		40
0° C.		•					
19,5	1,00000	0	1,00000	•	1,00000	0	1,00000
40	700 1,007 0 0	5.5	755 1,00755	30	785 1,00785	22	807 1,00807
60-	926		927		928	••	910
	1,01626	56	1,01682	31	1,01713	14	1,01727 1055
80	1,02767	23	1,02790	4	1,02794	12	1,02782
100	1,01131	51	1,04083	66	1,04017	63	1,03954

Mg Cl

	20		40		60	i	80		100
0° C.	0,99640	88	0,99552	34	0,99518	17	0,99501	12	0,99489
19,5	360 1,00000	0	448 1,00000	_	482 1,00000	0	499 1,00000	•	511 1,00000
40	634 1,00631	6	628 1,00628	12	616 1,00616	12	604 1,00604	15	5 8 9 1,005 8 9
60	823 1,01457	- 76	753 1,01381	70	695 1.01311	54	653 1,01257	47	621 1,01210
80	1011 1,02468	211	876 1,02257	160	786 1,02097	121	719 1,01976	100	666 1,01876
100	1166 1,03634	383	994 1,03251	287	867 1,02964	214	774 1,02750	165	709 1,02585

Zn Cl

	20		40		60		80		100
0° C.	0,99352	227	0,99125	115	0,99010	54	0,98956	28	0,98928
19,5	6+8 1,00000	•	875 1,00000	-	990 1,00000	•	1044 1,00000	0	1072 1,00000
40	965 1,00965	161	1126 1,01126	72	1198 1,01198	22	1220 1,01220	10	1230
60	1 1 9 5 1,02160	218	1282 1,02408	102	1312 1,02510	25	1315	3	1308 1,02538
80	1400 1,03560	306	1458	8 4	1440 1,03950	12	1427 1,03962	4	1420 1,03958
100	1560 1,05120	356	1610 1,05476	54	1580 1,05530		1548 1,05510	-	1514 1,05472



379

Вa	CI

1	10		20		30
0° C	0,99619	154	0,99465		
19,5	381 1,00000		535 1,00000	0	1,00000
40	706 1,00706	71	1,00777	54	831 1,00831
60	933 1,01639	71	933 1,01710	62	941 1,01772
80	1133 1,02772	39	1101 1,02811	31	1070 1,02842
100	1330 1,04102	25	1266 1,04077	24	1211 1,04053

Li Br

	20		40		60		80		100
0° C.	0,99620	116	0,99504	70	0,99434	49	0,99385	38	0,99347
	380		496	. —	566		615	_	653
19,5	1,00000	0	1,00000	0	1,00000	0	1,00000	0	•
	659		682		694		710		727
40	1,00659	23	1,00682	12	1,00694	16	1,00710	17	
	856		804		777		760		7 48
60	1,01515	29	1,01486	15	1,01471	1	1,01470	5	1,01475
	1039		936		869	_	827		809
80	1,02554	132	1,02422	82	1,02340	43	1,02297	13	1,02284
	1205		1066	_	954		884		852
100	1,03759	271	1,03488	194	1,03294	113	1,03181	45	1,03136

Na Br

	20		40		60		80
0° C.	0,99377	208	0,99169	101	0,99068		
	623	_	831		932		
19,5	1,00000	0	1,00000	0	1,00000	0	1,00000
•	853		975		1030		1066
40	1,00853	122	1,00975	5 5	1,01030	36	1,01066
	1007		1049		1076		1088
60	1,01860	164	1,02024	82	1,02106	48	1,02154
	1162		1147		1142		1136
80	1,03022	149	1,03171	77	1,03248	42	1,03290
	1326		1247		1204		1182
100	1.04348	70	1.04418	34	1.04452	20	1,04472

	34	*	-		50
# =		324 (.)342			
Rō	1			. L	
•		m Laking	43 1 (1883)	24 1.0000 3	LANCES
	E: 190 3 23		-		
**	1.0254	** 556	- 1	S LASSES	4 Less
3=	:=	~			1163
_					<u> </u>
			la le		
	36	*	*	•	, •
P :	USS	: LIKE	: ·F (L.95300)	~ LSSCH	4:5500
H.S		1	RANGE		1 44444 1 44444
_		n en	6 ANS	ACCOLUMN	Land Lands
-	JUNE	:	inesis.	~ 102 69	1.05002
-	.:-				2476 2.63675
				, MIST	::>0

The Schallschaffen when de considerate Tabelles finner, and terms timer à à à appenden whether and services and percentage at vernemen, and percentage at vernemen, and percentage at terms and percentage at terms and percentage at terms and terms are l'annualle at l'establic at l'assumption at l'annualle. Tours desse and an elementation at Satisfant, and the desse and an elementation at management and alle falles mi at minimum and l'annualle and an analysis and analysis and an analysis and

mes Li Cl. Es tritt hier nur weniger deutlich hervor, weil hier überhaupt bei gleicher Atommenge die Distanz kleiner ist. Bei den beiden anderen homologen Seitenatomen Ba Cl und KCl nimmt dagegen die Distanz gleichen Volums mit zunehmender Concentration ab, ist aber auch hier wieder dem Vorangehenden entsprechend, bei gleicher Atommenge bei KCl kleiner als bei BaCl. In Folge dessen ist, wenn man die Seitenglieder der beiden Triaden miteinander vergleicht. also LiCl mit KCl einerseits und CaCl mit BaCl andererseits, für niedere Concentrationsgrade die Distanz am kleinsten bei dem leichtesten Gliede, für höhere dagegen bei dem schwersten Gliede. Der Uebergang vom einen zum auderen Verhalten liegt für Ca Cl und Ba Cl den vorliegenden Zahlen zufolge bei einem Concentrationsgrade von wahrscheinlich weniger als 100 Atomen, für LiCl und KCl dagegen kann er erst bei einem Concentrationsgrade von weit mehr als 100 Atomen liegen. Gerade wie Li Cl und KCl verhalten sich auch zu einander die Seitenglieder der Mitteltriade MgCl und CdCl, denn bei MgCl ist die Distanz Null bei allen bisher bekannten Concentrationsgraden, bei 19°,5 C. berühren sich die Curven der verschiedenen Concentrationsgrade bloss wie auch die von LiCl, so lange sie den Concentrationsgrad 80 noch nicht überschritten haben, und bei CdCl ist die Distanz bei allen bisher bekannten Concentrationsgraden größer als bei KCl. In gleicher Weise, wie die Chlorüre, verhalten sich auch die Bromure, mit dem Unterschiede nur, dass die Distanz bei einem Bromür in allen bisher bekannten Fällen immer gröfser ist, als bei dem entsprechenden Chlorüre.

Aus den Werthen der vorstehenden Tabellen berechnen sich die Volumina, welche die Salzlösungen bei den verschiedenen Temperaturen einnehmen, wenn bei jeder dieser Temperaturen das Volum des lösenden Wassers als 100 angenommen wird, wie folgt:

	n 100 Gewi		
	10.00	NaG	R/C
0.€	105,57		
19 ,5	105,80 -	105,90	109,10
400	105,79	106,16	[[]0]:20]
600	105,64	106/20 -	109/29
80	105,38	106,54	1009,185
1000	105,05	105,97	108,96
	Medi	- Zivilli	CHC
OF C.	10239	103(27)	104,47
10 ,5	103.16	103,92	D14,920
400	103.18 -	104,39	105,19
600	103,04	1084;732	10536
50	1002,500	104,97	105.45
TOM	102.45	105,15	105,49
	(5(0)	50	Sh-(2)
0 C.	ING. SEA	W451	

₩ E	103.3	1455	
モ. 钽		WEST	1304.78
10	103.96 —	THAIT	PASAME.
***	1013.9¥	MALT.	INE.
30	1111.75	HAR	IDA 90
	102.40	102.7	POPA COR

Bie Griffee, um weiche das Volum einer eine Wassermenge durch den Kintrit einer communien. Menge vom Inkratomen vermehrt wird, ist alen, der vermehrend Educile zufeier, bei den verschiedenen Lemperaturen sehr verschieden. Her steigender Lempersone menne sie zu. erreinht ein Minimum und nimmt wieder als. Die Lage dieses Maximum: 1) int lief den voretelnenden Seigensemmen seine responsibile. Ber dem leichtesten Seitenginne der dem Dieden liest es bei der meditigen, bei dem schwerten Juden ffiede bei der hollern Temperatur, also ber hiell mitten alls her R.Cl. her Mg.Cl unedriger alls him Gidel, inc. Gadel. mierienger als her Ba-CIL Ber dem Mitteinnen bres inege. es gwischen denen der angehüngen Sollmeibnier, zur ihm

¹⁾ Um die lage diese Vanname deutstag berentrom u been. or direct room increasures Stock becomes.

Mittelgliede Na Cl dagegen hat es diese Gränzen schon tiberschritten und ist dies nicht der erste Fall, wo bei der Triade Na die Modification der mittleren Eigenschaft größer ist, als bei der ihr conjugirten Triade Sr (Bd. 101, S. 138). Vergleicht man ferner die homologen Seitenglieder miteinander, so wird man auch hier wieder zwischen dem relativen Gewichte der Atome und der Lage dieses Maximums die vorerwähnte Regelmäsigkeit finden, denn bei Li Cl liegt das Maximum wieder niedriger als bei Ca Cl, bei K Cl niedriger als bei Ba Cl, und eine Ausnahme bilden nur die beiden mittleren Seitenglieder Na Cl und Sr Cl in Folge der vorerwähnten so verschiedenen Modification der mittleren Eigenschaft.

Ob dieses Maximum des Volums bei verschiedenen Concentrationsgraden dieselbe Lage hat, ist eine Frage, welche hier wohl zunächst zu erörtern ist. Es folgt daher hier noch eine Zusammenstellung der Volumina einiger anderer Concentrationsgrade.

20 Atome in 100 Gewichtstheilen Wasser gelöst.

	Ca Cl	Sr Cl	Ba Cl
0° C.	102,06	102,12	102,64
19 ,5	102,38	102,48	103,04
40	102,49,—	102,62	103,21
60	102,46	102,62	103,22 —
80	102,34	102,52	103,13
100	102.15	102,34	102.97

40 Atome in 100 Gewichtstheilen Wasser gelöst.

	Mg Cl	Zo Cl	C4C1
0° C.	104,11	105,03	106,23
19 ,5	104,42	105,80	106,78
40	104,44 —	106,34	107,13
60	104,26	106,71	107,34
80	103,95	106,98	107,47
100	103,52	107,15	107,52

60 Atome in 100 Gewichtstheilen Wasser gelö	60	Atome	in	100	Gewichtstheilen	Wasser	gelös
---	----	-------	----	-----	-----------------	--------	-------

	Mg Cl	Zn Cl	Cd Cl
0° C.	106,74	108,81	109,94
19 ,5	107,10	109,74	110,64
40	107,10	110,38	111,10
60-	106,87	110,80	111,39
80	106,45	111,05	111,56
100	105,88	111,19	111,62

80 Atome in 100 Gewichtstheilen Wasser gelöst.

	Mg Cl	ZnCl	CdCl
0° C.	109,69	112,74	113,85
19 ,5	110,08 —	113,76	114,66
40	110,07	114,45	115,20
60	109,78	114,88	115,54
80	109,28	115,13	115,73
100	108.60	115.24	115,78

100 Atome in 100 Gewichtstheilen Wasser gelöst.

	MgCl	Zn Cl	C4 C1
0° C.	112,77	116,79	117,95
19 ,5	113,18 —	117,88	118,84
40	113,15	118,60	119,43
60	112,82	119,05	119,80
80	112,25	119,30	120,00
100	111.48	f 19.38	120.04

30 Atome in 100 Gewichtstheilen Wasser gelöst.

	Li Br	Na Br	K Br
0° C.	108,09	107,36	110,88
19 ,5	108,42	108,00	111,42
40	108,49 —	108,34	111,67
60	108,38	108,45 —	111,72 —
80	108,17	108,41	111,63
100	107,86	108,251)	111,43

¹⁾ Hier tritt das Mittelglied bei steigender Temperatur und constanter Concentration zwischen seine Seitenglieder. Dasselbe wurde auch früher beobachtet bei constanter Temperatur und steigender Concentration.

40	Atome	in	100	Gewichtstheilen	Wasser	gelöst.
----	-------	----	-----	-----------------	--------	---------

	Li Br	Na Br	K Br
0° C.	110,89	110,10	
19 ,5	111,28	110,86	115,40
40	111,36 —	111,26	115,69
60	111,23	111,40 —	115,75 —
80	110,95	111,34	115,63
100	110,57	111,14	115,37

60 Atome in 100 Gewichtstheilen Wasser gelöst.

	Li Br	Na Br	K Br
O° C.	116,55	115,82	
19 ,5	117,04	116,74	
40	117,14 —	117,23	
60	116,97	117,40 —	
80	116,60	117,34	
100	116,08	117,08	

80 Atome in 100 Gewichtstheilen Wasser gelöst.

	Li Br	Na Br	ΚB
0° C.	122,23		
19 ,5	122,80	122,80	
40	122,92 —	123,35	
60	122,72	123,55	-
80	122,29	123,48	
100	121,66	123,18	

Den vorstehenden Zahlen zufolge scheint allerdings (Mg Cl) das Maximum des Volums seine Lage durch Aenderung der Concentration etwas zu ändern, doch sind bedeutende Aenderungen der Concentration erforderlich, ehe dies hinreichend deutlich wird.

Die für die Bromüre angeführten Zahlen zeigen ferner, dass auch hier hinsichtlich der Lage des größten Volums dieselbe Regelmäßigkeit herrscht, wie sie bei den entsprechenden Chlorüren beobachtet wurde. Bei dem leichtesten Seitengliede Li Br liegt z. B. auch wieder das Maximum des Volums bei der niedrigeren, bei dem schwersten Seiten-

gliede KBr dagegen bei der höheren Temperatur. Der Unterschied der heiden Temperaturen ist hier geringer als bei den Chlorüren. Dasselbe beobachtet man auch wieder bei den homologen Atomen KBr und BaBr, denn während das größte Volum bei BaCl doch noch um etwa 10° höher lag als bei KCl, ist dagegen bei KBr und BaBr kein Unterschied wabrzunehmen, wie dieß aus den nachfolgenden Zahlen zu ersehen ist.

30 Atome in 100 Gewichtstheilen Wasser gelöst.

Aus den vorstehenden Zahlen berechnet sich nun die Modification des mittleren Volums $\left(\frac{h-m}{h}\right)$ für die verschiedenen Temperaturen wie folgt:

30 Atome in 100 Gewichtstheilen Wasser gelöst.

Wenn
$$h = \left(\frac{\text{Li} + \text{K}}{2}\right)$$
 Cl und $m = \text{Na Cl}$, so ist $\frac{h - m}{h}$ bei

$$\begin{array}{ccc}
19^{\circ}, 5 \text{ C.} &= +0,0144 & 16 \\
40 & 0,0128 & 12 \\
60 & 0,0116 & 10 \\
80 & 0,0106 & 9 \\
100 & 0,0097 & 9
\end{array}$$

Wenn
$$h = \left(\frac{M_g + Cd}{2}\right)$$
 Cl und $m = Zn$ Cl, so ist $\frac{h - m}{h}$ bei

 0° C. $= +0,0040$
 $19,5$
 $0,0012$
 32
 40
 $-0,0020$
 30
 60
 $0,0050$
 31
 80
 $0,0061$
 31
 100
 $0,0113$

20 Atome in 100 Gewichtstheilen Wasser gelöst

Wenn
$$h = {Ca + Ba \choose 2}$$
 Cl und $m = Sr$ Cl, so ist $\frac{h - m}{h}$ bei

$$\begin{array}{cccc}
0^{\circ} \text{ C.} & = +0,0022 & 0 \\
19,5 & 0,0022 & 0 \\
40 & 0,0022 & 0 \\
60 & 0,0021 & 0 \\
80 & 0,0021 & 0 \\
100 & 0,0021 & 0
\end{array}$$

40 Atome in 100 Gewichtstheilen Wasser gelöst.

Wenn
$$h = {Mg + Cd \choose 2}$$
 Cl und $m = Zn$ Cl, so ist $\frac{h - m}{k}$ bei

 $0 \, ^{\circ}$ C. $= +0.0013$
 $19.5 \, -0.0019$
 32
 $40 \, 0.0052$
 33
 $60 \, 0.0086$
 $80 \, 0.0120$
 34
 $100 \, 0.0154$

1) Die Werthe für m == NaCl sind der frühern Abhandlung entlehnt.

60 Atome in 100 Gewichtstheilen Wasser gewst.

Wenn
$$h = \left(\frac{M_g + Cd}{2}\right)$$
 Cl und $m = \text{Zn Cl}$, so ist $\frac{h - m}{h}$ bei

$$\begin{array}{cccc}
0^{\circ} \text{ C.} & = -0.0043 & 37 \\
19.5 & 0.0080 & 37 \\
40 & 0.0117 & 36 \\
60 & 0.0153 & 35 \\
80 & 0.0188 & 35 \\
100 & 0.0224 & 36
\end{array}$$

80 Atome in 100 Gewichtstheilen Wasser gelöst.

Wenn
$$h = {M_g + Cd \choose 2}$$
 Cl und $m = \text{Zn Cl}$, so ist $\frac{h - m}{h}$ bei

 0° C. $= -0.0087$
 0.0124
 0.0161
 0.0161
 0.0161
 0.0161
 0.0161
 0.0161
 0.0161
 0.0161
 0.0161
 0.0161
 0.0161
 0.0161
 0.0161
 0.0161
 0.0161
 0.0161
 0.0161
 0.0161
 0.0161
 0.0161
 0.0161
 0.0161
 0.0161
 0.0161
 0.0161
 0.0161
 0.0161
 0.0161
 0.0161
 0.0161
 0.0161
 0.0161
 0.0161
 0.0161
 0.0161
 0.0161
 0.0161
 0.0161
 0.0161
 0.0161
 0.0161
 0.0161
 0.0161
 0.0161
 0.0161
 0.0161
 0.0161
 0.0161
 0.0161
 0.0161
 0.0161
 0.0161
 0.0161
 0.0161
 0.0161
 0.0161
 0.0161
 0.0161
 0.0161
 0.0161
 0.0161
 0.0161
 0.0161
 0.0161
 0.0161
 0.0161
 0.0161
 0.0161
 0.0161
 0.0161
 0.0161
 0.0161
 0.0161
 0.0161
 0.0161
 0.0161
 0.0161
 0.0161
 0.0161
 0.0161
 0.0161
 0.0161
 0.0161
 0.0161
 0.0161
 0.0161
 0.0161
 0.0161
 0.0161
 0.0161
 0.0161
 0.0161
 0.0161
 0.0161
 0.0161
 0.0161
 0.0161
 0.0161
 0.0161
 0.0161
 0.0161
 0.0161
 0.0161
 0.0161
 0.0161
 0.0161
 0.0161
 0.0161
 0.0161
 0.0161
 0.0161
 0.0161
 0.0161
 0.0161
 0.0161
 0.0161
 0.0161
 0.0161
 0.0161
 0.0161
 0.0161
 0.0161
 0.0161
 0.0161
 0.0161
 0.0161
 0.0161
 0.0161
 0.0161
 0.0161
 0.0161
 0.0161
 0.0161
 0.0161
 0.0161
 0.0161
 0.0161
 0.0161
 0.0161
 0.0161
 0.0161
 0.0161
 0.0161
 0.0161
 0.0161
 0.0161
 0.0161
 0.0161
 0.0161
 0.0161
 0.0161
 0.0161
 0.0161
 0.0161
 0.0161
 0.0161
 0.0161
 0.0161
 0.0161
 0.0161
 0.0161
 0.0161
 0.0161
 0.0161
 0.0161
 0.0161
 0.0161
 0.0161
 0.0161
 0.0161
 0.0161
 0.0161
 0.0161
 0.0161
 0.0161
 0.0161
 0.0161
 0.0161
 0.0161
 0.0161
 0.0161
 0.0161
 0.0161
 0.0161
 0.0161
 0.0161
 0.0161
 0.0161
 0.0161
 0.0161
 0.0161
 0.0161
 0.0161
 0.0161

100 Atome in 100 Gewichtstheilen Wasser gelöst.

Wenn
$$h = \left(\frac{Mg + Cd}{2}\right)$$
 Cl und $m = Zn$ Cl, so ist $\frac{h - m}{2}$ bei

Diff.

 0° C. $= -0.0124$
 19.5
 0.0161
 37
 40
 0.0199
 38
 60
 0.0236
 37
 80
 0.0273
 40
 0.0313

Die Modification des mittleren Volums vermindert sich also bei allen drei Triaden, wenn die Temperatur gesteigert wird. Die Abnahme der Modification ist nur gering bei der schwersten Triade Ca SrBa, bedeutender schon bei der leichtesten Triade Li NaK, am bedeutendsten bei der Mitteltriade Mg Zn Cd.

Vergleicht man nun ferner miteinander die homologen Glieder der drei Triaden, so berechnet sich die Modification des mittlern Volums $\binom{h-m}{h}$ für die verschiedenen Temperaturen, wie folgt:

30 Atome in 100 Gewichtstheilen Wasser gelöst.

Wenn
$$h = \left(\frac{\text{Li} + \text{Ca}}{2}\right)$$
 Cl und $m = Mg$ Cl, so ist $\frac{h - m}{h}$ bei

$$\begin{array}{ccc}
0^{\circ} \text{ C.} & = +0.0152 & 5 \\
19.5 & 0.0157 & 4 \\
40 & 0.0161 & 5 \\
60 & 0.0166 & 3 \\
80 & 0.0169 & 5 \\
100 & 0.0174 & 5
\end{array}$$

Wenn
$$h = {Na + Sr \choose 2}$$
 Cl und $m = Zn$ Cl, so ist $\frac{h - m}{h}$ bei

19°,5 C. = +0,0097
40
0,0074
23
60
0,0045
80
0,0011
37

Wenn
$$h = \left(\frac{K + Ba}{2}\right)$$
 Cl und $m = Cd$ Cl, so ist $\frac{h - m}{h}$ bei

19°,5 C. = +0,0189
40
0,0183
60
0,0168
80
0,0149
19
100
0,0125

Auch unter diesen drei Triaden sind wieder zwei, bei welchen die Modification des mittleren Volums sich vermindert, wenn die Temperatur gesteigert wird. Nur eine Triade bildet eine Ausnahme von dieser Regel und zwar nicht bloss bei dem vorstehenden, sondern auch bei allen andern bekannten Concentrationsgraden, wie diess aus den folgenden Zahlen ersichtlich ist.

Wenn
$$h = \left(\frac{\text{Li} + \text{Ca}}{2}\right)$$
 Cl und $m = \text{Mg Cl}$, so ist $\frac{h - m}{h}$ bei

0° C. = +0.0278 8
19.5 0.0286 9
40 0.0295 7
60 0.0302 8
80 0.0310 9
100 0.0319

100 Atome in 100 Gewichtstheilen Wasser gelöst.

Wenn
$$h = \left(\frac{\text{Li} + \text{Ca}}{2}\right)$$
 Cl und $m = Mg$ Cl, so ist $\frac{h - m}{h}$ bei

19°,5 C. = +0,0408
40
0,0424
60
0,0438
14
0,0452
17

Die bisher untersuchten Bromüre verhalten sich auch wieder ganz regelmäßig, sofern auch hier wieder die Modification des mittlern Volums sich vermindert, wenn die Temperatur gesteigert wird, wie dieß aus den folgenden Zahlen ersichtlich ist.

 Es mögen hier noch die Werthe angeführt werden, welche bei den folgenden Rechnungen zu Grunde gelegt und weiter oben nicht angeführt wurden.

	60 Atome		100 Atome	
	Li Cl	' Ca Cl	Li Cl	Ca Cl
0° C.	111,74	107,84		
19 ,5	112,04	108,46	120,52	115,48
40	112,00	108,70 —	120,47	115,84
60	111,73	108,66	120,13	115,84
80	111,29	108,42	119,55	115,58
100	110,74	108,00	118,81	115,11

30 Atome in 100 Gewichtstheilen Wasser gelöst.

Wenn
$$h = \left(\frac{1.i + k}{2}\right)$$
 Br und $m = Na$ Br, so ist $\frac{h - m}{h}$ bei

$$\begin{array}{cccc}
0^{\circ} & C. & = +0.0194 & 19 \\
19.5 & 0.0175 & 17 \\
40 & 0.0158 & 13 \\
60 & 0.0145 & 9 \\
80 & 0.0136 & 9 \\
100 & 0.0127 & 9
\end{array}$$

40 Atome in 100 Gewichtstheilen Wasser gelöst.

Es wäre nun noch zu untersuchen, ob und in wie weit die räumlichen Verhältnisse der Salzlösungen, wie sie früher (Bd. 104, S. 133) für die Temperatur 19"5 C. geschildert wurden, bei wachsenden Temperaturen wesentliche Aenderungen erleiden. Von diesem Gesichtspunkte aus werden daher im Folgenden die hauptsächlichsten Resultate der erwähnten Abhandlung ganz in Kürze behandelt.

Dass zunächst die so regelmässige Auseinandersolge der Curven des spec. Gewichts schon bei einer Temperaturerhöhung von höchstens 80° gestört werden sollte, ist bei dem so bedeutenden Abstande der Curven vergleichbarer Glieder, also Glieder ein und derselben oder homologer Glieder conjugirter Triaden und bei den so geringen Schwankungen des relativen Volums gar nicht anzunehmen. Es wird daher wohl genügen, wenn hier von den vergleichbaren Curven nur die beiden am meisten sich nähernden Na Br und KBr betrachtet werden. Eine Lösung, welche neben 100 Gewichtstheilen Wasser 40 Atome Na Br enthält, hat, den früher ausgeschen Regebachtungen zusolge, bei 19°5 C

das spec. Gewicht 1,273 und eine Lösung, welche neben 100 Gewichtstheilen Wasser 40 Atome KBr enthält, hat bei derselben Temperatur das spec. Gew. 1,280. Beide Lösungen haben, wie weiter oben gezeigt wurde, ihr Maximum des Volums bei 60° C. Bei dieser Temperatur berechnet sich für die Lösung von KBr das spec. Gew. 1,276. Wie bei 19°5 C. so hat also auch bei jeder anderen dem Intervall 0 bis 100° angehörigen Temperatur die Lösung von KBr das höhere, die von NaBr das niedere spec. Gewicht.

Auch die so regelmäßige Aufeinanderfolge der Volumscurven wird, wie die vorliegenden Zahlen ausweisen, bei höheren Temperaturen nicht nur nicht gestört, sondern es werden sogar die Concentrationsgrade, bei welchen die Mittelglieder zwischen ihre Seitenglieder treten, bei höheren Temperaturen geringer, wie man diess ganz deutlich bei den beiden Mittelgliedern ZnCl und Na Br beobachten kann. Die Curve des Mittelgliedes Na Br z. B. welche, wie früher angeführt, bei der Temperatur 19°5 C. zwischen die seiner Seitenglieder LiBr und KBr erst bei dem Concentrationsgrade 80 tritt, liegt bei einer Temperatur von 60° C. schon bei dem Concentrationsgrade 30 zwischen denen der Seitenglieder u. s. w. Die Curve des Mittelgliedes Zn Cl, welche bei der Temperatur 19°,5 C. zwischen die seiner beiden Seitenglieder Na Cl und Sr Cl erst bei dem Concentrationsgrade 31 tritt (a. a. O.), liegt bei 60° und vielleicht auch schon bei 400 bei allen Concentrationsgraden zwischen diesen Seitengliedern. Die Figur 4 der früheren Abhandlung würde also, für eine höhere Temperatur entworfen, jedenfalls nur an Einfachheit gewinnen, da in dem vorliegenden Falle gesteigerte Temperatur und gesteigerte Concentration in gleicher Weise einfachere Verhältnisse herbeiführen.

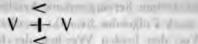
Hinsichtlich der in besagter Abhandlung darauf folgenden Tabellen II und III (a. a. O. S. 146), welche die Modification des mittleren Volums und deren durch gesteigerte

Concentration hervorgerufene Aenderungen darstellen, mag bier noch Folgendes bemerkt werden.

Von den beiden Werthen der horizontalen Columnen der Tabelle II, Na Br und Na Cl, gilt hinsichtlich ihrer Aufeinanderfolge bei jeder Temperatur des Intervalls 0 bis 100° das früher für 19°,5 C. Beobachtete. Die drei Werthe der dritten verticalen Columne derselben Tabelle, Na Cl, Zn Cl und Sr Cl, ändern, wie durch gesteigerte Concentration, so auch wieder durch gesteigerte Temperatur die anfängliche Aufeinanderfolge und zwar in demselben Sinne, so dass also auch die Tabelle II, für höhere Temperaturen entworsenschon bei niederen Concentrationsgraden die einfachen Verhältnisse darbietet, welche bei 19°,5 C. erst bei höheren Concentrationsgraden beobachtet werden konnten.

In der dritten verticalen Columne der Tabelle III, (Mg CL Zn Cl, Cd Cl), in welcher bei constanter Temperatur und gesteigerter Concentration die Aufeinanderfolge der Zahlenwerthe immer dieselbe blieb, wird sie gestört bei gesteigerter Temperatur und constanter Concentration. Diese Störung '), bedingt durch die weiter oben (S. 389) hervorgehobene merkwürdige Ausnahme, hat indess den Umstand zur Folge, dass in der dritten verticalen Columne der Tabelle III die Aufeinanderfolge der Zahlenwerthe ebendieselbe wird, welche man in den sämmtlichen verticalen Columnen der Tabelle II bei 19°,5 C. und dem Concentrationsgrade 40 oder jedem höheren beobachtet. Sollte es sich herausstellen, dass auch die beiden anderen verticalen Columnen der Tabelle III dieselbe Störung erleiden, so würden von einer bestimmten Temperatur und einem bestimmten Concentrationsgrade an die Werthe der Tabelle III, wie in den horizontalen, so auch in den verticalen Columnen hinsichtlich ihrer Aufeinanderfolge mit denen der Tabelle II übereinstimmen, es würden beide Tabellen sich durch das folgende einfache Schema

¹⁾ Wie aus den weiter oben angeführten Zahlen ersichtlich ist, tritt die Störung ein etwas über 60° C.



darstellen lassen, in welchem die feine horizontale Linie die drei kleinsten Werthe bezeichnet, die in den verticalen Columnen auf die Mitte fallen, die grobe verticale Linie dagegen die drei größten Werthe, die in den horizontalen Columnen auf die Mitte fallen, in welchem endlich die Zeichen

kleiner < größer

angeben, wie sich die Seitenwerthe der verticalen oder die der horizontalen Columnen zueinander verhalten.

Ein anderer Punkt, welcher auch wieder auf den so nahen Zusammenhang der Tabellen II und III hindeutet, mag hiernächst noch kurz erörtert werden.

In Tabelle II nehmen bei constanter Temperatur und gesteigerter Concentration die positiven Werthe für Zu Cl anfänglich zu, erreichen ein Maximum, nehmen darauf wieder ab und gehen durch Null in negative Werthe über. Dieser Nullpunkt, wo also das Volum des Mittelgliedes genau das arithmetische Mittel aus denen der beiden Seitenglieder ist, liegt bei 0° C. bei dem Concentrationsgrade 45, bei 19°,5 C. liegt er bei dem Concentrationsgrade 34, bei 40° C. liegt er bei dem Concentrationsgrade 21, und bei 60° schon weit unter dem Concentrationsgrade 20°)

1) Die Werthe, welche dieser und der folgenden Berechnung zu Grunde gelegt und bisher noch nicht angeführt wurden, sind folgende:

	Sı	-Cl	Na Cl		
	40	60	20	40	
19°,5 C.	105,54	108,92	103,80	108,08	
40	•	109,20 —		•	
60		109,19			
80	105,59	108,98		108,35	
100	105,29	108,61	103,86	108,14	
		20		h — m	
	Mg Cl	Zn Cl	C4 C1	<u> </u>	
19°,5 C	101,96	102,28	103,16 +	0.0027	
40	101,98	- 102,64	103,34	0,0002	
60	101,88	102,91	103,45 —	0,0024	
80					
100 •		103,23			

Auch in Tabelle III nehmen bei constanter Temperatur und gesteigerter Concentration die positiven Werthe für ZnCl zu, ohne dass indess bei dem grössten Concentrationsgrade das Maximum schon überschritten wäre. Wie in Tabelle II, so ersetzen sich auch hier gesteigerte Concentration und gesteigerte Temperatur gegenseitig und was in Tabelle III bei 19°,5 C. wegen unzureichender Concentration nicht beobachtet werden kann, beobachtet man bei höherer Temperatur. Bei 80° C. z. B. liegt der Nullpunkt schon bei dem Concentrationsgrade 39 und bei 100°C. liegt er schon unter dem Concentrationsgrade 20. Man würde also, wenn man in einem rechtwinkeligen Coordinatensystem die Temperaturen durch Abscissen und die Concentrationsgrade, bei welchen die Modification des mittleren Volums für diese Temperaturen Null ist, durch Ordinaten bezeichnet. eine Curve des arithmetischen Mittels erhalten, welche wenigstens im ersten der beiden Fälle, sich nur wenig von der geraden Linie unterscheidet. Dass im zweiten Falle die Curve sowohl hinsichtlich ihrer Lage, als auch hinsichtlich ihrer Richtung sich von der ersten so wesentlich unterscheidet, obgleich doch in beiden Fällen das resultirende Mittelglied ein und dasselbe Chlorzink ist, kann nur als eine nothwendige Folge der so verschiedenen Größe angesehen werden, welche die Modification des mittleren Volums darbietet, je nachdem das Mittelglied Zn aus den Seitenglie-· dern Mg und Cd, oder aus den homologen Gliedern Na und Sr entstanden ist (Bd. 104, S. 150).

Aus den vorstehenden Zahlen berechnet sich ferner für $\frac{h-m}{h}$ $20 \operatorname{Zn} Cl \qquad 40 \operatorname{Zn} Cl$ = 0,0001 $100 \qquad -0,0013 \qquad -0,0041$

I. Ueber die mechanische Theorie der lyse; con Dr. J. Bosscha.

(Fortsetzung von Bd. CIII, S. 521)1)

§. 5. Die Becquerel'sche Säure-Kali-Kette.

Lu den Volta'schen Combinationen, welche bei unserer Prüfung der mechanischen Theorie der Elektrolyse eine besondere Beachtung verdienen, gehört vor Allem die Becquerel'sche Säule, in welcher die die beiden Elektroden umgebenden Flüssigkeiten aufeinander reagiren. Diese Säule, welche in ihrer gebräuchlichsten Form aus zwei Platinplatten besteht, getaucht die eine in Kalilösung, die andere in Salpetersäure, giebt einen Strom von hinlänglicher Stärke, um alle bekannten Volta'schen Erscheinungen und selbst Funken zu erzeugen. 2)

Mehre Physiker haben über den Ursprung des Stromes dieser Säule abweichende Meinungen ausgesprochen. Hr. Becquerel selber hat als solchen die chemische Verbindung der Säure mit dem Alkali bezeichnet; Hr. Faraday dagegen leugnet, dass die Verbindung einer Säure mit einem Alkali irgend einen Antheil an der Elektricitäts-Erregung haben könne, und betrachtet die Zersetzung des Wassers als die Ursache des Stromes. Andererseits hat Hr. Moser diese Meinung schon i. J. 1838 in einer Arbeit über die

¹⁾ In diesem Theil der Abhandlung sind folgende Druckfehler zu berichtigen:

S. 490 Z. 1 v. u. st. elektro-chemischen, l. elektro-thermischen

S. 493 Z. 15 v. o. st. 2,34, l. 2,34 D

S. 495 Z. 8 v. u. st. $(\mathring{H}) + (\mathring{O}) - (H \cdot O)$, l. $(\mathring{H}) + (\mathring{O}) - (H \cdot O)$ S. 495 Z. 7 v. u. st. $(H) + (O) - (H \cdot O)$, l. $(H) + (O) - (H \cdot O)$

S. 501 Z. 10 v. u. st. auch, l. also

S. 505 u ff. ist überall statt (Zn O . S O3) u. (Co O . S O3) zu lesen $(Z_n . O . S O_3)$ u. $(Cu O . O . S O_3)$

²⁾ Dove u. Moser's Repert. d. Physik Bd. 11, S. 112.

Becquerel'sche Säule bekämpft¹), indem er zeigt, dass der Strom dieser Säule, entgegen den Behauptungen Becquerel's, eine beträchtliche Wärme-Entwicklung in den Leitern hervorbringt, dabei bemerkend, »es müsse doch auffallen, dass ein Strom so starke Temperatur-Erhöhungen bewirke, während er selbst einer Trennung von Wasserstoff und Sauerstoff sein Entstehen verdankt, wobei eher von Kälte als von Wärme die Rede seyn könne.«

Eben das Räsonnement des Hrn. Moser, erweitert und präcisirt nach den Ansichten, welche uns seitdem das Prinzip der Erhaltung der Kräfte geliefert hat, ist es, welches die Frage entscheiden muss. In der That kann nach diesem Prinzip die Erzeugung des Stromes nur dem in der Säule stattfindenden Verlust an mechanischer Arbeit, d. h. den chemischen Verbindungen, zugeschrieben werden, und die mechanische Theorie der Elektrolyse gestattet uns überdiess den Antheil. welcher den chemischen Actionen zugeschrieben werden muss, zu bestimmen, indem man die elektromotorische Kraft der Säule mit dem elektro-thermischen Aequivalent der Reactionen vergleicht. Gesetzt man habe die elektromotorische Kraft der Becquerel'schen Säule so wie die eines Apparats, der aus zwei in Salpetersäure getauchten Platinplatten besteht, bestimmt. Die chemischen Actionen an der Obersläche der Platten sind gleich in beiden Fällen, aber in der Becquerel'schen Säule findet überdiess an der Berührungssläche beider Flüssigkeiten eine chemische Verbindung statt. Wenn diese es ist, welche den Strom der Becquerel'schen Kette erzeugt, so muss der Unterschied der elektromotorischen Kräfte beider Apparate sich zu der einer Daniell'schen Säule verhalten, wie sich das elektro-thermische Aequivalent der Verbindung von Salpetersäure und Alkali verhält zu dem der Reactionen in der Daniell'schen Kette. Da diese letztere Größe bekannt ist und sich das Verhältniß der elektromotorischen Kräfte messen lässt, so kann man die durch die Bildung des salpetersauren Kalis entwickelte Wärme be-

¹⁾ Ebend. Bd. II, S. 120.

rechnen und den gefundenen Werth vergleichen mit dem, der aus calorimetrischen Versuchen hervorgeht.

Wie einfach indess diese Schlussfolge auch ist, so werden wir doch bald sehen, dass wir bei ihrer Anwendung auf Schwierigkeiten stoßen, die nur eine angenäherte Verification zu erlangen gestatten. Unter den schon erwähnten Versuchen der HH. Lenz und Saweljew giebt es mehre. die uns zu der beabsichtigten Verification dienen können. Nicht weniger als 32 ihrer Beobachtungen beziehen sich auf Volta'sche Combinationen, in welchen die beiden Theile der Säule einerseits eine saure Flüssigkeit und andererseits eine Kalilösung enthalten. Mag nun die letztere bei dem Versuch die Anode oder die Kathode umgeben: in beiden Fällen kann er dazu dienen, den aus der Vereinigung des Kalis mit der Säure entspringenden Verlust an elektromotorischer Kraft zu berechnen. Im ersteren Falle wird die Vereinigung unter dem Einfluss des Stromes selbst erfolgen und eine Verstärkung der elektromotorischen Kraft bewirken. Im zweiten Falle dagegen wird die Schicht von salpetersaurem Kali, welche sich an der Berührungsfläche der Flüssigkeiten bilden muß, da diese sich nicht berühren können, ohne sich zu verbinden, durch den Strom zersetzt werden und einen Verlust an elektromotorischer Kraft verursachen.

Um den numerischen Ausdruck für den Theil der elektromotorischen Kraft zu erhalten, welcher aus den chemischen Reactionen der beiden Flüssigkeiten entspringt, muß man immer die anderen Ursachen eliminiren, welche diesen Werth abändern. Man muß also die übrigen in der Säule stattfindenden chemischen Actionen in Rechnung ziehen, so wie auch den Verlust an elektromotorischer Kraft, welcher, wie schon in unserer früheren Abhandlung gesagt worden, die Gas-Entwicklung an der Oberstäche der einen Metallstäche begleitet. Da dieser Verlust verschieden ist, je nachdem die Gase sich an diesem oder jenem Metall entwickeln, so muß man, um ihn zu eliminiren, andere Versuche anwenden, in welchen die Gase sich unter analogen Umstän-

den entwickeln. Es wird hinreichen, diese Elimination durch einige Beispiele zu erläutern.

Die Volta'schen Anordnungen von der Form

Zink, Schwefelsäure — M, Kali

wo M irgend welches Metall bezeichnet, lassen sich mittelst der in unserer früheren Abhandlung S. 507 gegebenen Tafel durch eine einfache Subtraction berechnen.

So giebt der Versuch von No. 53 von Lenz und Saweljew:

Zink, Schwefelsäure — Zink, Kali = -2,71; und da nach der Tafel S. 507

Zink, Schwefelsäure — Zink, Salpetersäure = -0.93 so findet man für das elektro-thermische Aequivalent der Zersetzung des schwefelsauren Kalis

-1.78

indem man das Zeichen der aus den chemischen Verbindungen entspringenden elektromotorischen Kräfte positiv nimmt.

Die Anordnungen von der Form

Platin, Kali - M, Schwefelsäure

können gleichfalls mittelst der erwähnten Tafel berechnet werden. Um es zu beweisen, werden wir den aus der Gas-Entwicklung entspringenden Verlust an elektromotorischer Kraft für die positive Elektrode mit φ , für die negative mit φ , bezeichnen, und das Metall, an dessen Oberfläche die Gas-Entwicklung statthat, dadurch angeben, daß wir sein chemisches Zeichen eingeklammert hinter das Zeichen φ setzen. Sonach wird die elektromotorische Kraft des Polarisationsstromes, der aus der Zersetzung des Wassers zwischen Platinplatten entspringt, ausgedrückt durch:

 $- \varphi (Pt) - (H \cdot O) - \varphi_1 (Pt).$

Wir werden die in der früheren Abhandlung gebrauchten Zeichen α (\mathring{O} — O) und β (\mathring{H} — H) durch diese ersetzen, weil die Erklärung, welche sich von diesem Verlust an elektromotorischer Kraft geben läßt, nichts ändern kann an den Betrachtungen, welche dieser letztere Theil unserer Untersuchung einschließt.

Die elektromotorische Kraft b der Säule:

Platin, Kali - M, Schwefelsäure

wird also ausgedrückt durch die Formel

$$-q'(Pt) + (KO.SO_3) - (H.O) - q_1(M) = b.$$

Die erwähnte Tafel liefert für die Anordnung: Zink, Schwefelsäure — M, Schwefelsäure die Gleichung:

$$(Zn.O.SO_3) - (H.O) - \varphi_1(M) = a.$$

Der Unterschied dieser beiden Gleichungen giebt:

$$-\varphi(Pt) + (KO.SO_3) - (Zu.O.SO_3) = b - a$$
 (1)

Früher (S. 506) fanden wir:

$$-\varphi (Pt) - (Cu \cdot O \cdot SO_3) = -4,45$$

 $(Zn \cdot O \cdot SO_3) - (Cu \cdot O \cdot SO_3) = -2,41$

woraus
$$-\varphi(Pt) - (Zn \cdot O \cdot SO_3) = -6,86$$
 . (3)

Zieht man (2) von (1) ab, so findet man:

$$(KO.SO_s) = b - a + 6.86.$$

So ist nach Versuch No. 26 b = -6,40 und da a = -0,93, findet man:

$$KO.SO_3 = 1,39.$$

Alle übrigen Versuche lassen sich ebenso berechnen, entweder mittelst der erwähnten Tafel, oder mittelst anderer in der Tafel der HH. Lenz und Saweljew enthaltener Versuche. Im Fall dass der Versuch, welcher zur Elimination der übrigen chemischen Actionen dient, in der letzten Spalte der Tafel II dieser Physiker eine nur wenig bedeutende Abweichung zwischen Rechnung und Beobachtung darbietet, ziehe ich es zur Bewerkstelligung dieser Elimipation vor, mich auf andere Versuche zu stützen.

Da die elektro-thermischen Aequivalente der Combinationen (KO.SO,) und (KO.NO,) nur um eine geringe, in die Fehlergränzen bei diesen Beobachtungen fallende Größe verschieden sind, so habe ich geglaubt, zwischen diesen Werthen keinen Unterschied machen zu müssen.

Die Berechnung der Versuche der Tafel der HH. Lenz und Saweljew liefert sonach folgende Resultate:

A. Anordnungen, in denen der Strom die Vereinigung von Säure und Kali bewirkt:

No.	4.	$(Pt \overset{\sim}{\mathbf{N}} + Pt \overset{\sim}{\mathbf{K}})$	2,19
20	23 .	(Pt N + Pt K)	1,85
39	30.	(Pt 🛱 🛨 Zn K)	1,29
33	32 .	(Pt 🛱 🛨 Cu K)	1,62
20	33.	(Pt 🛱 🕂 Fe K)	1,99
	34.	(Pt 🛱 🕂 St K)	1,37
	45 .	(Cu S + Cu K)	1,66
>>	48.	(Cu V + Cu K)	1,52
10	49 .	$(Zn \ddot{S} + Cu \dot{K})$	1,70
20	50.	(Fe \ddot{S} + Cu \dot{K})	1,64
"	51.	(St S + Cu K)	1,77
n	53 .	$(\operatorname{Zn} \tilde{S} + \operatorname{Zn} \overset{\leftarrow}{K})$	1,79
39	57 .	$(Zn \ddot{S} + St \dot{K})$	1,45
>>	58.	$(Zn \ddot{S} + Fe \dot{K})$	1,83
	65.	$(St \ddot{S} + St \dot{K})$	1,00
		Mittel	1,64.

B. Anordnungen, in welchen der Strom das an den Berührungsflächen beider Flüssigkeiten gebildete Salz zersetzt:

1) Der Versuch No. 24 der HH. Lenz und Saweljew, sowie er in der Tasel angegeben, ist ossenbar unrichtig durch einen Drucksehler, der sich auch in dem Originale sindet (Bull. de la classe phys. et math. de l'Acad. de St. Petersb. T. V. pag. 1). Statt Pt K + Pt R muss es wahrscheinlich beisen: CK + Pt R.

Unter den zur letzten Kategorie gehörenden Versuchen mußten wir alle diejenigen ausschließen, bei denen die in das Alkali getauchte Platte von Zink war, weil in einer solchergestalt zusammengesetzten Säule das Zinkoxyd sich mit dem Alkali verbindet. Da man die bei dieser chemischen Action sich entwickelnde Wärme noch nicht bestimmt hat, so enthält die Formel für die elektromotorische Kraft dieser Säule eine neue Unbekannte, welche man durch die Rechnung nicht eliminiren kann.

Dasselbe gilt von den Anordnungen 70 und 71, in welchen der Sauerstoff sich an der Obersläche einer in Kaligetauchten Goldplatte entwickelt. Diese Versuche würden für das gesuchte elektro-thermische Aequivalent die sehr hohen Werthe 1,93 und 2,56 geben. Da die elektromotorische Kraft dieser Apparate zu groß ist, so zeigt diess den Einsluß einer chemischen Verbindung an. Und wirklich fand ich durch einen Versuch, daß eine in Kalilösung getauchte Goldplatte sehr kräftig angegriffen wird durch den Sauerstoff, der sich an ihrer Obersläche entwickelt. Das Oxyd löst sich in der Flüssigkeit 1).

Nimmt man das Mittel aus allen berechneten Werthen, so findet man:

 $KO \cdot NO_s = KO \cdot SO_s = 1,59.$

Nach den Versuchen der HH. Favre und Silbermann entwickelt ein Grm. Kali bei seiner Verbindung mit der Schwefelsäure eine Wärmemenge von

342,2 Wärme-Einheiten

und bei Verbindung mit der Salpetersäure von 329,7 Wärme-Einheiten.

Das elektro-thermische Aequivalent der ersteren Verbindung ist also:

1) Dasselbe erfolgt, wenn die Goldplatte in Schweselsäure getaucht, und der durch die Flüssigkeit gehende Strom sehr stark ist (10 Daniell'sche Elemente). Ein Theil des Oxyds wird gelöst und aus die Kathode niedergeschlagen. Der größte Theil indes bildet eine bräunliche (bisweiweilen dunkel purpurrothe) Schicht, welche die Platte überzieht. Ueber der VVeingeistlampe erhitzt, verwandelt sich diese Schicht unter Verknistern in ein schönes mattes Gold.

= 0.01680

und das der zweiten:

= 0.01618

Da dasjenige der in der Daniell'schen Säule stattfindenden Reaction = 0,02468 ist, und die elektromotorische Kraft dieser Säule, in Lenz'schen Einheiten, 2,41 beträgt, so findet man für die elektrothermischen Aequivalente dieser Verbindungen in Einheiten von Lenz und Saweljew:

$$KO . SO_8 = 1,64$$

 $KO . NO_5 = 1,58$.

Obgleich diese Werthe sehr nahe zusammenfallen mit denen, welche wir aus den Versuchen der HH. Lenz und Saweljew berechnet haben, so trifft man doch unter den Zahlen, deren Mittel diesen letzten Werth geliefert hat, so große Abweichungen, daß es der Mühe werth ist, zu untersuchen, welches die Ursachen davon seyn könnten, um die Beweiskraft der Uebereinstimmung der Mittel bestimmter festzusetzen.

Man *sieht zuvörderst, dass die Versuche, welche sich auf eine und dieselbe Säule beziehen, ziemlich abweichende Resultate geben, wie diess die beiden ersten, aus den Versuchen N. 4 und 23 gezogenen Werthe der Reihe A zeigen. Der Unterschied von 0,34 Lenz'schen Einheiten, hat indess nichts, was uns in Verwunderung setzen darf, wenn man erwägt, welche großen Schwierigkeiten diese Art von Versuchen mit sich führt, wo die chemische Constitution der Flüssigkeiten, die Temperatur derselben und die Natur der Obersläche der Elektroden sich in jedem Augenblick verändern.

Wie groß indess auch die Fehler seyn mögen, welche die Unbeständigkeit der Elemente veranlassen kann, so ist ihr Einsluss doch offenbar unzulänglich, um den großen Unterschied zwischen den Mitteln der beiden Reihen A und B zu erklären, welche sind: für die erste 1,64 und für die zweite 1,23. Ein bloßer Blick auf die beiden Reihen genügt, um sich zu überzeugen, dass das elektro-thermische

Acquivalent KO. SO₃ oder KO. NO₅ nach den meisten Versuchen viel höher ist, wenn das Kali sich an der negativen Elektrode befindet, als wenn es die positive Seite des elektrolytischen Apparats einninmt. Wir werden zeigen, dass dieser Unterschied herrührt von einer falschen Annahme, die wir bisher gemacht und die in den Resultaten der beiden Reihen Fehler von entgegengesetztem Sinne herbeisührt, deren numerischer Werth sich aber nicht genau berechnen läst.

Bei unseren Rechnungen haben wir angenommen, dass der Verlust an elektromotorischer Kraft, der aus der Entwickelung der Gase q (Pt), q, (Pt), q, (M) entspringt, derselbe sey, diese Gase mögen sich in Schwefelsäure, Salpetersäure oder Kalilösung entwickeln. Die Rechungen, welche wir in unserer früheren Abhandlung S. 506 mitgetheilt, beweisen binlänglich, dass der Werth \(\varphi \) (Pt) d. h. der Verlust an elektromotorischer Kraft, der aus der Entwickelung des Sauerstoffs an einer Platinplatte herrührt, in den beiden ersten Flüssigkeiten gleich ist. In einer Kalilösung dagegen, wie schon Hr. Buff in seiner Abhandlung: Ueber das Maass der elektromotorischen Kräfte 1) bemerkt hat, ist der Verlust an elektromotorischer Kraft größer. Hr. Buff berichtet: in reinen alkalischen Lösungen erhält die durch den Zersetzungsprocess entstehende Gegenkraft immer einen etwas größeren Werth als in reiner Schwefelsäure und übersteigt sogar für den Fall sehr starker Ströme die Zahl 14. Nun hat Hr. Buff bei einem elektrolytischen Apparat, bestehend aus zwei in Schwefelsäure getauchten Platinplatten für die elektromotorische Gegenkrast im Mittel 10,73 erhalten. Das Verhältniss der beiden Kräfte wäre also, für sehr starke Ströme, beinahe 1,3 2). Wenn aber die elektromotorische Kraft

¹⁾ Diese Ann. Bd. 73 S. 506.

²⁾ Ein in der Absicht angestellter Versuch, dieses Verhältnis zu bestimmen, gab mir 1,18. Der Unterschied zwischen dem Werth des Hrn. Buff und diesem rührt wahrscheinlich davon her, das bei meinem Versuche, obwohl ich 5 Daniell'sche Elemente anwandte, der Strom

$\varphi(Pt) + (H \cdot O) + \varphi_1(Pt)$

in einer Kalilösung größer ist als in einer Säure, so sicht man leicht ein, dass dieser bisher in unseren Rechnungen vernachlässigte Unterschied, die Werthe der beiden Reihen A und B in entgegengesetztem Sinn verändern muss. In der That, wenn das Glied φ_1 (Pt) oder φ_1 (M) für eine Kalilösung größer ist als für Schwefelsäure, so wird die Säule No. 4 oder 23 Pt N + Pt K schon dadurch allein eine größere negative Kraft haben als die Säule Pt N + Pt S. Zieht man die Kräfte dieser beiden Säulen von einander ab, und schreibt den Unterschied der Zersetzung des salpetersauren Kalis zu, so hat man also den Einfluss dieser letzten Action zu hoch angeschlagen, indem man den Unterschied der Werthe von φ_1 (Pt) in Schwefelsäure und in Kalilösung darin mitbegriff. Gleiches gilt von den anderen berechneten Versuchen in dieser Reihe, so dass das Mittel zu groß ist um den Unterschied von $\varphi_1(Pt)$ oder $\varphi_1(M)$ in Säure und in Alkali. In der zweiten Reihe dagegen ist, wenn der Werth von φ (Pt) in Kali größer als in Säure ist, der Werth der aus der Verbindung des Kalis mit der

nicht stark genug war, um das Polarisationsmaximum zu erreichen. Der Mangel an Proportionalität der Intensitäten mit den Tangenten, den die Bussole des Hrn. Buff darbieten mußte, kann diesen Unterschied nicht erklären.

Ich ergreise diese Gelegenheit, um einen groben Irithum zu berichtigen, den ich in meiner ersten Abhandlung (Ann. Bd. CI, S. 528) begangen habe, indem ich sagte, dass die Formel des Hrn. Despretz sehlerhaft sey und das Gegentheil von seinen Beobachtungen angebe. Bemerkend, dass seine Formel aus einem Gliede, dessen Werth proportional der Tangente ist, und aus einem anderen, das negativ ist, bestehe, schlos ich zu hastig, seine Formel zeige an, dass die Intensitäten weniger rasch als die Tangenten wüchsen. In der That genügt dazu nicht, dass das zweite Glied negativ sey: es muss überdiess sein absoluter Werth nicht langsamer wachsen als der des positiven Gliedes. Weit entsernt sehlerhaft zu seyn, kann die Formel von Despretz, mittelst einer leichten Transformation, die Form der von Bravais annehmen. Ich muss daher meine Bemerkung zurückziehen, jedoch dabei ausrecht halten, was ich von der Methode gesagt habe, die Hr. Despretz anwandte, um experimentell seine Formel zu bestätigen (Pogg. Ann. Bd. XCIII, S. 408).

Säure entspringenden elektromotorischen Kraft zu gering, weil, wenn man z. B. für den Versuch No. 22 (PtK + Pt N) setzt:

$$-\varphi(Pt) + KO \cdot NO_5 - (NO_4 \cdot O) = -1,46$$

und nach der Rechnung auf S. 506 unserer früheren Abbandlung

$$-\varphi(Pt) - (NO_{+} \cdot O) = -2.62.$$

Der Unterschied dieser beiden numerischen Werthe stellt nicht mehr den von (KO.NO,) vor, wenn die beiden negativen Glieder q (Pt) nicht mehr in den beiden Gleichungen denselben Werth vorstellen. Da \(\phi \) (Pt) in der ersten größer ist, so ist der negative Werth - 1,46 zu hoch, und der Unterschied 1,16 der beiden Gleichungen wird zu gering seyn, um eine Größe φ (Pt. Kali) - φ (Pt. Salpetersäure). Wenn es möglich wäre, den Unterschied von $\varphi(Pt)$ und den von $\varphi_1(Pt)$ in Kali und in Schwefelsäure getrennt durch den Versuch zu bestimmen, so könnte man leicht die Berichtigung festsetzen, welche an den Mitteln der Reihen A und B anzubringen wäre. Allein offenbar ist diess nicht möglich, ohne in die Formel für die beobachtete elektromotorische Kraft das Glied (KO.SO.) einzuführen, welches wir berechnen wollen, weil der Apparat, der zu diesem Versuch dienen könnte, aus einer in Kalilösung getauchten Platinplatte und aus einer anderen in Säure getauchten Platte bestehen müßte. Wir müssen uns also begnügen, die Gränzen anzugeben, zwischen welche der nach den Versuchen von Lenz und Saweljew berechnete Werth von KO.SO, fallen muss.

Klar ist, dass wenn der Unterschied der Polarisationsströme zweier Platinplatten, die einmal in Schweselsäure und das andere Mal in Kalilösung stehen, ganz der positiven Platten zuzuschreiben wäre, dann blos das Mittel von B berichtigt werden müste, indem das von A richtig seyn würde; und dass, wenn der Unterschied von der negativen Platte herrührte, das Mittel von B richtig wäre. Da die

Berichtigungen der beiden Reihen dahin streben, die Mittel derselben zur Coïncidenz zu bringen, so muß der Werth von KO.SO, oder KO.NO, zwischen 1,23 und 1,64 fallen. Berechnet man diese Werthe dergestalt, um die durch die Verbindung von einem Grm. Kali entwickelte Wärme zu erhalten, so findet man:

$$(KO. SO_3)$$
 oder $(KO. NO_5) > 256 < 342$

Da diese letztere Zahl fast zusammenfällt mit der von den HH. Favre und Silbermann erhaltenen, so könnte man zu glauben veranlasst werden, das der Polarisationsstrom zweier in Kalilauge getauchter Platinplatten sich nur durch den Einslus der positiven Platte, an der sich der Sauerstoff entwickelt, verstärkt finde.

Nimmt man für (KO.SO₃) in Lenz'schen Einheiten den Werth 1,64 an, berechnet nach dem Resultate der Versuche von Favre und Silbermann, so kann man die Wärmemenge berechnen, welche sich durch den Act der Verbindung von Zinkoxyd und Kali entwickelt. In der That findet man, wie wir schon in unserer früheren Abhandlung (S. 507) bemerken, dass die Ersetzung der Anordnung Zink-Schweselsäure durch die von Zink-Kali im positiven Theil des elektrolytischen Apparats einen Anwuchs von 1,28 Einheiten in der elektromotorischen Krast mit sich führt. Die chemischen Actionen, welche bei der ersten Anordnung in dem positiven Theil des Apparates stattsinden, sind:

$$(Zn.O) + (ZnO.SO_3)$$
 oder $(Zn.O.SO_3)$

bei der zweiten:

$$(Zn \cdot O) + (ZuO \cdot KO) + (KO \cdot SO_8)$$

also

$$(ZnO \cdot KO) + (KO \cdot SO_3) - (ZnO \cdot SO_3) = 1,28$$

und da (ZnO.SO) in Lenz'schen Einheiten = 1,11, so bat man:

$$(Zn O . KO) = 0.75$$

Ein Grm. Zinkoxyd würde also, wenn es sich mit Kali verbindet, eine Wärmemenge entwickeln gleich 181,9 Einheiten 1).

§. 6. Das Gesetz der elektromotorischen Kräfte.

Mehre Physiker, vor allem Fechner, Poggendorff, Lenz und Saweljew, von Rees, haben bewiesen, daß zwischen den elektromotorischen Kräften verschiedener Volta'scher Anordnungen von Metallen und Flüssigkeiten gewisse Beziehungen vorhanden sind, die eine vollständige Analogie mit der der durch den Contact der Metalle erzeugten elektrischen Spannung darbieten und durch das Gesetz der Volta'schen Spannungsreihe ausgedrückt werden. Nach der Bemerkung auf S. 488 unserer früheren Abhandlung müssen diese Relationen sich wiederfinden in den Formeln für die elektrothermischen Aequivalente der in den Säulen

l) Ich hatte diesen Theil meiner Arbeit schon beendigt, als in den Comptes rendus der Auszug einer Abhandlung der HH. Troost und Marié Davy veröffentlich ward, die seitdem in die Annal. de chimie et de physique, Août 1858, eingerückt ist. In dieser Abhandlung suchen die Verfasser die Wärme zu bestimmen, die sich durch den Act der chemischen Verbindung der Basen KO, NaO, NH4O mit verschiedenen Säuren entwickelt, indem sie die elektomotorischen Kräfte von Volta'schen Ketten, in denen diese Reactionen stattfinden, messen und dieselben mit der einer Smee'schen Säule vergleichen.

Obgleich der sehr genügende Einklang der nach dieser Methode erhältenen VVärme-Aequivalente und denen der HH. Favre und Silbermann dasjenige hinlänglich zu beweisen scheint, was ich in diesem Paragraph zu beweisen suchte, so habe ich doch nicht geglaubt, diesen Theil meiner Abhandlung fortlassen zu müssen, weil die HH. Troost und M. Davy den Verlust an elektromotorischer Krast, welcher die Gasentwicklung ohne chemische Veränderung begleitet, nicht in Rechnung zogen. Die Smee'sche Säule, die ihnen zum Vergleichungsgliede diente, ist gerade eine von denen, deren elektromotorische Krast nicht proportional ist dem VVärme-Aequivalent der chemischen Actionen, wie sie es angenommen haben. In einer künstigen Abhandlung denke ich diese Frage weitläussiger zu behandeln.

Es sey mir zu bemerken erlaubt, dass die hauptsächlichsten der im §. 5 meiner Abhandlung behandelten Punkte der physikalischen Section der im September 1857 zu Bonn abgehaltenen Versammlung deutscher Natursorscher und Aerate mitgetheilt wurden.

stattfindenden chemischen Reactionen. In diesem Paragraphe werden wir beweisen, dass Gesetz der elektromotorischen Kräfte eine directe Folge dieser Formeln ist.

Wie wir schon in diesen Ann. Bd. CIII, S. 489 bemerkten, können wir dieses Gesetz nur dann nach der mechanischen Theorie der Elektrolyse discufiren, wann es sich stützt auf Versuche, in welchen die elektromotorische Kraft nicht aufgehoben ist im Rheomotor. Es wird also wiederum die lange Beobachtungsreihe der HH. Lenz und Saweljew seyn, welche uns zu unserer Beweisführung dienen wird. Das elektromotorische Gesetz, welches von diesen Physikern daraus abgeleitet worden, ist das allgemeinste und bestfestgestellte, und die nach der Ohm'schen Methode angestellte Beobachtungsreihe ist die vollständigste, die ich kenne.

Das Gesetz der elektromotorischen Kräfte ist von den Petersburgern Physikern folgendermaßen hingestellt: "Wenn eine Volta'sche Anordnung MF (wo M ein Metall und F eine Flüssigkeit bezeichnet) mit einer anderen M₁ F₁ eine elektromotorische Kraft K liefert, und mit einer dritten M₂ F₂ eine elektromotorische Kraft K₁, so wird die der Combination von M₁ F₁ mit M₂ F₂ ausgedrückt seyn durch K — K₁. «

In der Abhandlung der HH. Lenz und Saweljew ist dieses Gesetz auf folgendes Beispiel angewandt: Wenn die Anordnung M₁ F₁ eine in Kupfervitriol-Lösung getauchte Kupferplatte (Cu V) vorstellt, und M₂ F₂ eine in Salpetersäure getauchte Platinplatte (Pt N), so muss der Unterschied der elektromotorischen Kräfte, die man beobachtet, wenn diese Anordnungen successive mit einer anderen MF als positiven Elektrode combinirt ist, constant seyn, wie auch MF beschaffen sey. Die Werthe der von den HH. Lenz und Saweljew gefundenen elektromotorischen Kräfte bestätigen dieses Gesetz, für diesen besonderen Fall, auf die vollständigste Weise.

Wenn man die Proportionalität der elektromotorischen Kräfte mit den elektro-thermischan Acquivalenten zugiebt,

so erhält man diess Gesetz für das angeführte Beispiel durch eine einfache Subtraction. Bezeichnet man allgemein durch a das elektro-thermische Aequivalent der chemischen Actionen, die an der positiven Platte stattfinden, so wird die elektromotorische Kraft der Säule ausgedrückt für den ersten Fall durch

$$a - (Cu \cdot O \cdot SO_3) = A$$

und für den zweiten durch:

$$a - (NO_4 \cdot O) = B.$$

Der Unterschied von A — B ist unabhängig von a, und das ist's gerade, was durch das Gesetz der HH. Lenz und Saweljew ausgedrückt wird.

Allein der Beweis der Verträglichkeit dieses Gesetzes mit der mechanischen Theorie der Elektrolyse hat nicht denselben Grad von Einfachheit, wenn es sich um eine andere Folgerung handelt, die man daraus ziehen kann. Gesetzt man habe die elektromotorischen Kräfte der folgenden Combinationen gemessen:

$$M F - M F = A$$

 $M F - M_1 F_1 = B$
 $M_1 F_1 - M_1 F_1 = C$.

Nach dem eben angeführten Gesetz muß man haben:

$$B - A = B - C$$

weil man die Anordnung MF ersetzt hat durch M_1F_1 , im ersten Fall als negativen Theil, im anderen als positiven Theil des Apparats. Aber die Gleichheit von B-A und B-C läßt sich in keiner Weise aus den Formeln ableiten, welche die elektromotorischen Kräfte in elektro-thermischen Aequivalenten ausdrücken. Sey MF = CuV und $M_1F_1 = Pt\widetilde{N}$, so wird man haben:

$$\begin{array}{lll} ({\rm Cu} \cdot {\rm O} \cdot {\rm SO}_3) - ({\rm Cu} \cdot {\rm O} \cdot {\rm SO}_3) = {\rm A} \\ ({\rm Cu} \cdot {\rm O} \cdot {\rm SO}_3) - ({\rm NO}_4 \cdot {\rm O}) & = {\rm B} \\ - \varphi \left({\rm Pt} \right) - ({\rm NO}_4 \cdot {\rm O}) & = {\rm C}. \end{array}$$

Es wird also A nicht = C seyn, wie es das Gesetz erfordert. Im Allgemeinen muß, damit Gleichheit stattfinde,

die elektromotorische Anordnung MF, ausgedrückt in elektro-thermischen Aequivalenten, dieselbe seyn, aber von entgegengesetztem Zeichen, wenn diese Anordnung sich in dem positiven oder negativen Theil des Apparats befindet. Aber ZnS z. B. giebt in dem ersten Fall die elektromotorische Kraft

$$(Zn \cdot O \cdot SO_3),$$

in dem zweiten

$$-(H \cdot O) - \varphi_1(Zn)$$
.

Die Summe dieser Werthe ist, statt Null zu seyn, wie es das Gesetz erfordert, gleich:

$$(Zn . O . SO_3) - (H . O) - \varphi_1 (Zn).$$

Allein die HH. Lenz und Saweljew haben ihr Gesetz nie auf diesen Fall anwandt, ohne nicht eine Einschränkung zu machen. In allen Säulen, in denen eine Gas-Entwicklung an einer der Elektroden stattfindet, besteht, nach ihren Betrachtungen, die beobachtete elektromotorische Kraft aus zwei gesonderten Theilen: 1) aus der eigentlichen elektromotorischen Kraft der Anordnungen MF und M, F,, welche die Säule bilden, und 2) aus der Polarisation der Platten in den Gasen, die sich an ihrer Obersläche entwickeln. Um die erstere isolirt zu erhalten, ziehen sie von der beobachteten elektromotorischen Kraft den Werth der zweiten Zu dem Ende aber haben sie das gemessen, was sie Polarisation der Metalle in den Gasen nennen. Unter dieser Benennung verstehen die HH. Lenz und Saweljew jede Veränderung der elektromotorischen Kraft, welche beobachtet wird, wenn man den Strom durch einen elektrolytischen Apparat gehen lässt, dessen Zellen (positive und negative) dieselben Anordnungen MF enthalten. Die Veränderung der elektromotorischen Kraft einer Kette, die aus der Einschaltung zweier in verdünnte Schwefelsäure getauchte Zinkplatten hervorgeht, repräsentirt sonach die Polarisation des Zinks in Wasserstoffgas. Das elektro-thermische Aequivalent dieser Veränderung ist:

$$(Zn \cdot O \cdot SO_3) - (H \cdot O) - \varphi_1 (Zn).$$

Leicht erkennt man, dass wenn man diesen Werth abzieht von

$$-(H.O) - \varphi_1(Zn),$$

welcher der von Zn S im negativen Theil des Apparates ist, man wiederum findet

d. h. denselben Werth wie der von Zn S im positiven Theil, aber von entgegengesetztem Zeichen.

Die Polarisationen der übrigen Metalle, die sich mit dem an ihrer Oberfläche entwickelten Sauerstoff verbinden, haben eine analoge Bedeutung. Bezeichnet man diese Metalle mit M, so findet man im Allgemeinen

$$MH = (M.O.SO_3) - (H.O) - \varphi_1(M)$$

woraus folgt, dass alle diese Werthe abhängen von dem elektro-thermischen Aequivalent der Bildung von Sulfaten dieser Metalle.

Die Formeln für die Polarisation des Platins in Sauerstoff und in Wasserstoff haben eine andere Bedeutung-Nach den HH. Lenz und Saweljew ist die elektromotorische Kraft des Polarisationsstroms, welcher durch die Zersetzung des Wassers zwischen Platinplatten entsteht, die Summe der Polarisationen Pt O (des Platins und Sauerstoff) und Pt H (des Platins und Wasserstoff). Man hat also:

Pt O + Pt H =
$$-(H \cdot O) - \varphi(Pt) - \varphi_1(Pt)$$
.

Sind die beiden Platten in Salpetersäure getaucht, so entspringt der Verlust an elektromotorischer Kraft einfach aus der Polarisation Pt O. Mithin

Pt
$$O = -\varphi(Pt) - (NO_+ \cdot O)$$
.

Zieht man diese Gleichung von der vorhergehenden ab, so erhält man:

Pt H =
$$-(H \cdot O) - \varphi_1(Pt) + NO_4 \cdot O)$$
.

Aus diesen beiden letzten Formeln geht hervor, dass die Polarisationen Pt O und Pt H abhängen von der Wärme; welche sich entwickelt, wenn die Zersetzungsproducte der Salpetersäure (welche wir im Allgemeinen mit NO₄. O bezeichnet haben) sich wieder vereinigen. Der Werth von

Pt O ist überdiess unabhängig von dem elektro-thermischen Aequivalent (H.O).

Um endlich das Gesetz der elektromotorischen Kräfte für alle Arten von Säulen, in denen die chemischen Actionen durch verschiedene Formeln vorgestellt werden, zu verificiren, wollen wir die folgenden Gleichungen bilden. Die erste enthält einerseits die von den HH. Lenz und Saweljew angewandten Symbole zur Bezeichnung der in die Säule eintretenden Anordnungen MF, und andererseits die eigentliche elektromotorische Kraft A, welche nach diesen Physikern aus der Verbindung dieser Anordnungen entspringt. Die zweite lehrt kennen die Formel der beobachteten elektromotorischen Kraft E nach den Betrachtungen der HH. Lenz und Saweljew. Wenn keine Gas-Entwicklung in dem Apparate stattfindet, so wird E einfach = A seyn; im entgegengesetzten Fall muss man zu A ein oder zwei Glieder hinzufügen, welche die Polarisation repräsentiren. Die dritte Gleichung giebt die Formel für E, ausgedrückt in elektro-thermischen Aequivalenten. Substituirt man diess, so wie die der Polarisationen, welche sind:

Pt O =
$$-\varphi$$
 (Pt) $-(NO_4 \cdot O)$
Pt H = $-(H \cdot O) - \varphi_1$ (Pt) $+ NO_4 \cdot O$)
Pt O + Pt H = $-(H \cdot O) - \varphi$ (Pt) $-\varphi_1$ (Pt)
MH = $(M \cdot O \cdot SO_3) - (H \cdot O) - \varphi_1$ (M)
Pt O + MH = $(M \cdot O \cdot SO_3) - (H \cdot O) - \varphi_1$ (M)
 $-\varphi$ (Pt) $-(NO_4 \cdot O)$

in der zweiten und ersten Gleichung erhält man die Formel der Werthe MF so, wie sie in den Tafeln der HH. Lenz und Saweljew berechnet sind. Es ist nun zu beweisen, dass, in welch eine Säule auch die Anordnungen MF eintreten mögen, man doch immer dieselben Formelu für ihre Werthe findet. Da man immer zweier Anordnungen MF bedarf um den elektrolytischen Apparat zu vervollständigen, so kann man nicht den Werth einer der Anordnungen isoliren. Die HH. Lenz und Saweljew nehmen also für die Anordnung Pt N (Platin-Salpetersäure) einen

Werth = 0 an, so dass der Werth von MS in ihren Ta-
feln die elektromotorische Kraft der Säule MS + PtÑ vor-
stellt. Für jede Säule, die uns andere Gleichungen geliefert
hat, werden wir die Nummern der Versuche angeben, auf
welche die Formeln anwendbar sind.
35. 36. 59. 60. 76. 77. $M\ddot{S} - M_{1}\ddot{S} = A; E = A + M_{1}H$
$E = (M \cdot O \cdot SO_a) - (H \cdot O) - \varphi_1(M)$
$M\ddot{S} - M_1 \ddot{S} = (M.O.SO_3) - (M_1.O.SO_3)$. I.
Che y a
$M\ddot{S} - Pt\ddot{N}(Au\ddot{N}, C\ddot{N}) = A; E = A$
$\mathbf{E} = (\mathbf{M} \cdot \mathbf{O} \cdot \mathbf{SO}_3) - (\mathbf{NO}_4 \cdot \mathbf{O}).$
Da nach Lenz und Saweljew Pt N=0, so hat man
$Au\tilde{N}=C\tilde{N}=0II.$
$M\ddot{S} = (M \cdot O \cdot SO_3) - (NO_4 \cdot O) \cdot \cdot \cdot \cdot \cdot III.$
8. 10. 12. 14.
$Pt\ddot{N}$ (Au \ddot{N} , C \ddot{N}) — M \ddot{S} = A; E=A+PtO+MH
$E = -(H.O) - \varphi(Pt) - \varphi_1(M),$
Woraus:
$Pt \ddot{N} = Au \ddot{N} = C \ddot{N} = 0 IV.$ $-M\ddot{S} = -(M.O.SO_3) + (NO_4.O) V.$
3.
$Pt\ddot{S} - M\ddot{S} = A; E = A + PtO + MH$
$E = -(H \cdot O) - \varphi(Pt) - \varphi_1(M)$ $Pt\ddot{S} - M\ddot{S} = -(M \cdot O \cdot SO_1) + (NO_1 \cdot O) \cdot \cdot \cdot VI.$
$Pt\ddot{S} - M\ddot{S} = -(M.O.SO_s) + (NO_4.O) VI.$
20. 21. 66. 67.
$Pt \ddot{N} - Pt \ddot{N} (Au \ddot{N}, C \ddot{N}) = A; E = A + Pt O$
$\mathbf{E} = -\varphi(\mathbf{P}t) - \mathbf{NO}_{4} \cdot \mathbf{O}.$
$Pt \stackrel{\sim}{\mathbb{N}} = Au \stackrel{\sim}{\mathbb{N}} = C \stackrel{\sim}{\mathbb{N}} = 0 VII.$

6. · 9.

Pt
$$\ddot{S}$$
 — Pt \ddot{N} = A; E = A + PtO
E = $-\varphi(Pt)$ — (NO₄.O)
Pt \ddot{S} = 0 VIII.

1. 5.

$$\begin{array}{ll} Pt H_{2} Cl_{2} - Pt \overset{...}{N} = A; & E = A + Pt Cl^{-1}) \\ E = -(H_{2} \cdot Cl_{2}) + (H \cdot O) - (NO_{4} \cdot O) \\ Pt H_{2} Cl = -(H_{2} \cdot Cl_{2}) + (H \cdot O) - (NO_{4} \cdot O) \end{array}. \quad IX.$$

2.

Pt
$$\stackrel{\sim}{\mathbb{N}}$$
 — Pt H₂ Cl₂ = A; E = A + Pt O + Pt H
E = $-\varphi$ (Pt) — φ_1 (Pt) — (H · O)
Pt H₂ Cl₂ = 0 · · · · · · · · X.

37. 38. 39. 40. 41. 42. 52. 72. 73. 74. 75.

$$MS - CuV = A; E = A$$

 $E = (M.O.SO_3) - (Cu.O.SO_3)$

$$M\ddot{S} - CuV = (M.O.SO_3) - (Cu.O.SO_3)$$
. XI.

Die Versuche 72 — 75, bei welchen der negative Theil des Apparats aus einer Schicht Quecksilber in einer Lösung von salpetersaurem Quecksilberoxydul gebildet war, gehören in diese letztere Kategorie, weil das Salz zersetzt wird, wie das schwefelsaure Kupferoxyd. Die HH. Lenz und Saweljew brachten diese mit Hg Ox bezeichnete Anordnung nicht in den positiven Theil ihres Apparats.

16. 17. 19. 46. 69.

Pt
$$\stackrel{\sim}{\mathbb{N}}$$
 — Cu V = A; E = A + Pt O
E = $-\varphi$ (Pt) — (Cu.O.SO₃)
— Cu V = $-(\text{Cu.O.SO}_3)$ + (NO₄.O) . . XII.

¹⁾ In einer Note fügen die HH. Lens und Saweljew diesem Versuche hinzu: H₂ Cl₂ ist käufliche concentrirte Salzsäure, dass Pt Cl=0, werden wir später sehen. — Ich habe in der Abhandlung keine Anzeige gefunden, auf welche VVeise man zu diesem Resultat gekommen ist.

45. 48. 49. 50. 51. 53. 57. 58. 65. MS-M, K=A; E=A+M, H $E = (M.O.SO_s) - (H.O) - \varphi_s (M) - (KO.SO_s)$ $MS - M_1 K = (M.O.SO_3) - (M_1.O.SO_3)$ $-(KO.SO_3)$. . 30. 32. 33. 34. PtN - MK = A; E = A + PtO + MH $\mathbf{E} = -\varphi(\mathbf{P}t) - \varphi_1(\mathbf{M}) - (\mathbf{H.O} - (\mathbf{KO.NO_s}))$ $-MK = -(M.O.SO_3) + (NO_4.O) - (KO.NO_5) XIV.$ 11 11 = () 11 = 4. 23. PtN - PtK = A; E = A + PtO + PtH $\mathbf{E} = -\varphi(\mathbf{Pt}) - \varphi_1(\mathbf{Pt}) - (\mathbf{H.O}) - (\mathbf{KO.NO_s})$ $-\operatorname{Pt} \mathbf{K} = -(\mathbf{KO} \cdot \mathbf{NO}_{s}) \cdot \cdot$ 54. 61. 62. MK-M, S=A; E=A+M, H $E = (M.O) + (MO.KO) + (KO.SO_3) - (H.O)$ $-\varphi_{1}(M)$ $MK - M_1S = (M.O) + (MO.KO) + (KO.SO_3)$ $-(M_1 \cdot O \cdot SO_3) \cdot XVI.$ 18. 31. 56. $M\dot{K} - Pt\ddot{N} = A; E = A$ $E = (M.O) + (MO.KO) + (KO.NO_5) - (NO_4.O)$ $MK = (M.O) + (MO.KO) + KO.NO_s) - (NO_s.O) XVII.$ 26. 28. 29. 71. PtK - MS = A; E = A + PtO + MH

 $\mathbf{E} = -\varphi(\mathbf{Pt}) - (\mathbf{H.O}) - \varphi_1(\mathbf{M}) + (\mathbf{KO.SO_3})$

 $PtK - MS = (KO.SO_3) - (M.O.SO_3) + (NO_4.O) XVIII.$

22. 24.

25. 70.

Pt
$$\dot{K}$$
 — $Cu V = A$; $E = A + Pt O$
 $E = -\varphi (Pt) + (KO.SO.) - (Cu.O.SO.)$
Pt \dot{K} — $Cu V = (KO.SO.) - (Cu.O.SO.)$
 $+ (NO.O.)$. XX.

43 44. 47.

$$M K - Cu V = A; E = A$$

 $E = (M.O) + (MO.KO) + (KO.SO_3) - (Cu.O.SO_3)$
 $M K - Cu V = (M.O) + (MO.KO) + (KO.SO_3)$
 $- (Cu.O.SO_3) XXI,$

Damit der Werth der Anordnungen immer derselbe sey, darf zwischen diesen Gleichungen keine Unverträglichkeit stattfinden.

Bemerken wir zuvörderst, daß die Gleichungen II, IV. VII, VIII geben

Au N, C
$$\ddot{N}$$
, Pt $\ddot{S} = 0$.

In der Taf. V von Lenz und Saweljew findet man Pt $\ddot{S} = -0.02$; Au $\ddot{N} = 0.06$; $\ddot{C} \ddot{N} = 0.01$.

Die geringen Abweichungen dieser Zahlen vom Werthe 0 fallen innerhalb der Beobachtungsfehler.

Die Gleichungen III und V geben für MS (die elektromotorische Kraft der Säule MS — Pt N) den Werth (M.O.SO₃) — NO₄.O).

Diese Gleichung führt zu I. Die Substitution in VI giebt die Gleichung Pt S = 0. Die Summe von III und XII liefert die Gleichung XI. Substituirt man III in der Gleichung XIII, so erhält man XIV. Die Substitution von III in XVIII, und von XII in XX giebt

$$Pt \dot{K} = (KO.SO.)$$

Diese Gleichung kann als identisch betrachtet werden mit XV und XIX, d. h. mit

Pt
$$\dot{K} = (KO.NO_s)$$
,

weil der geringe Unterschied dieser elektro-thermischen Aequivalente innerhalb der Beobachtungsfehler fällt. Dasselbe gilt von XIV und von der Gleichung

Die Summe von III und XVI, so wie der Unterschied von XII und XXI giebt:

 $MK = (M.O) + (M.O.KO) + (KO.SO_*) - (NO_*.O)$ (b) während nach XVII:

$$MK = (M.O) + (MO.KO) + (KO.NO_3) - (NO_4.O).$$

Diese beiden letzteren sind innerhalb der Genauigkeit der Beobachtungen auch identisch.

Es bleibt nur noch die Gleichungen IX und X zu verificiren:

Pt H₂ Cl₂ =
$$-(H_2 \cdot Cl_2) + (H \cdot O) - (NO_4 \cdot O)$$

- Pt H₂ Cl₂ = 0.

Aus diesen letzten Gleichungen, sowie aus (a) und (b) geht hervor, dass es nur die Anordnungen MK und Pt H₂ Cl. sind, deren elektromotorische Kräfte nach ihren Formeln einen verschiedenen Werth darbieten müssen, je nachdem sie in den positiven oder negativen Theil des elektrolytischen Apparats gebracht werden. Diese Ungleichheit muß sich in den von HH. Lenz und Saweljewerhaltenen Werthen durch eine beträchtliche Abweichung der berechneten vou den beobachteten Zahlen kundgeben.

Was die Gleichungen (a) und (b) betrifft, so findet man, dass nur zwei Anordnungen MK als positiver und negativer Theil angewandt worden sind, nämlich CuK (Kupfer-Kali), welches positiv ist in 47, und negativ in 32, 45, 48, 49, 50 und 51 ist, und ZnK (Zink-Kali), welches in 18,

31, 43, 44, 54, 56, 61 und 62 positiv und in 30 und 53 negativ ist.

Nun erkennt man bei der Anordnung Cu K bald, dass die von der Theorie angezeigte Nichtübereinstimmung sich nicht zwischen den beobachteten und berechneten Zahlen darbieten kann. Denn in dem einzigen Versuch 47, wo CuK als positiver Theil in den Apparat eintritt, haben die HH. Lenz und Saweljew eine Sauerstoffgas-Entwicklung Ihren Ansichten gemäß, müßte man also die beobachtet. beobachtete elektromotorische Kraft der Polarisation Cu O Wirklich war es dieser Versuch, wie sie in einer Note bemerken, aus welchem sie diesen Werth von Cu O ableiteten, und offenbar war diess nur dadurch möglich, dass sie für Cu K einen bekannten Werth substituirten. Dieser wurde aus anderen Versuchen abgeleitet, in welchen diese Anordnung als negativer Theil angewandt wurde. Weit entfernt eine bedeutende Abweichung darzubieten, muss also die beobachtete elektromotorische Kraft nothwendig genau zusammenfallen mit dem berechneten Werth, weil sie nicht zur Berechnung von Cu K gedient hat, sondern zu der einer anderen Unbekannten, die in keine andere Gleichung eingeht.

Für die Anordnung Zn K haben wir S. 407 in Lenzschen Einheiten erhalten

$$(Zn O . SO .) = 1,11$$

 $(Zn O . KO) = 0,75.$

Der Unterschied der Werthe von Zn K, wenn es successive in dem positiven und negativen Theil des Apparats angewandt wird, ist also 0,36. Die Versuche 18, 31, 43, 44, 54, 56, 61, 62 müssen also für Zn K einen Werth geben, der um 0,36 Einheiten kleiner ist als der, welcher aus den Versuchen 30 und 53 hervorgeht.

Die Berechnung dieses Werthes mittelst der Taf. III und IV von Lenz und Saweljew, in welchen die zu eliminirenden Werthe der elektromotorischen Kräfte und Polarisationen aufgeführt sind, giebt:

27 *

| 18. | Zn K = | 5,58 |
|-----|--------|-------|
| 31. | | 5,49 |
| 43. | 'n | 5,50 |
| 44. | | 5,59 |
| 51. | | 5,54 |
| 56. | | 5,57 |
| 61. | | 5,41 |
| 62. | | 5,47 |
| Im | Mittel | 5,52. |

Die Abweichungen dieser Zahlen von dem Mittelwerth sind ziemlich gering. Dagegen scheinen die beiden Versuche, in denen Zn K als negative Anordnung angewandt ist, die ungenauesten von allen in der Reihe zu seyn. Berechnet man diese Werthe wie vorhin, so findet man:

30.
$$ZnK = -5.19$$

53. $ZnK = -6.02$.

Diese Zahlen, die jedenfalls gleich seyn müßten, weichen so sehr von einander ab, daß sie nicht zur Verificirung eines Unterschiedes von 0,36 Einheiten, den sie mit der Zahl 5,52 darbieten müßten, dienlich seyn können-Höchstens könnte man der Bemerkung einigen Werth beilegen, daß wirklich, wie es die Theorie anzeigt, das Mittel 5,60 höher ist als irgend eine der Zahlen in der vorhergehenden Reihe.

Es bleibt uns nur noch die Anordnung Pt H Cl₂ zu untersuchen, welche, in der positiven Zelle angebracht, giebt:

Pt H₂ Cl₂ =
$$-(H_2 Cl_2) + (H \cdot O) - (NO_4 \cdot O)$$

und in der negativen:

$$- Pt H_1 Cl_2 = 0$$

Diese Anordnung wurde von den HH. Lenz und Saweljew drei Mal angewandt, nämlich:

1. Pt H₂ Cl₂ — Pt
$$N = -0.24$$

5. Pt H₂ Cl₂ — Pt
$$\hat{N} = -0.26$$

2. Pt
$$\ddot{N}$$
 — Pt H₂ Cl₂ = — 5,30

Berechnet man Pt H₂ Cl₂ nach der Methode dieser Physiker, so erhält man:

1. Pt H₂ Cl₂ =
$$-0.24$$

5. "
$$= -0.26$$

2. " " =
$$-0.16$$
.

In der Tafel IV von Lenz und Saweljew findet man: —0,26. Es scheint also, als habe ihnen nur der Versuch 5 zur Berechnung dieses Werthes gedient.

Die HH. Favre und Silbermann geben an, dass ein Grm. Wasserstoff bei der Verbindung mit Chlor 23782 Wärme - Einheiten entwickele. Das elektro - thermische Aequivalent ist also:

$$= 0.02478$$

oder in Lenz-Saweljew'schen Einheiten:

$$0.02478 \ \frac{2.41}{0.02468} = 2.42$$

Ebenso hat man in denselben Einheiten:

$$(H.O) = 3,50.$$

Zur Berechnung der Wärme, welche sich bei Wiedervereinigung der Zersetzungsproducte der Salpetersäure entwickelt, haben wir auf S. 506 unserer früheren Abhandlung erhalten:

$$(Cu \cdot O \cdot SO_3) - (NO_4 \cdot O) = 1,77$$

und auf S. 500

$$(Cu \cdot O \cdot SO_3) = 0.03157$$

oder in Lenz-Saweljew'schen Einheiten:

$$(Cu \cdot O \cdot SO_3) = 3.08.$$

Daraus ergiebt sich

$$(NO_{\bullet} \cdot O) = 1,31$$

woraus

$$-(H_2 Cl_2) + (H \cdot O) - NO_4 \cdot O = -0.23$$

Man sieht, dass dieser Werth, welcher der der elektromotorischen Kraft der Säule Pt H₂ Cl₂ — Pt N ist, ausgedrückt in elektro-thermischen Aequivalenten (Lenz'schen Einheiten) genau zusammenfällt mit dem, welchen die HH. Lenz und Saweljew in den Versuchen I und 5 erhalten haben.

Die Formel der Säule No. 2, Pt N - Pt H, Cl, ist:

$$-\varphi(Pt) - (H \cdot O) - \varphi_1(Pt)$$

Dieser Werth ist derselbe wie der des Polarisationsstromes zweier Platinplatten in Schwefelsäure. Für diesen letzteren giebt ein directer Versuch der HH. Lenz und Saweljew:

-5,46

was wenig von — 5,30 abweicht. Man sieht also, dass die Versuche 1, 2, 5 vollkommen in Einklang mit der Theorie stehen, und dass durch einen merkwürdigen Zufall die Nicht-übereinstimmungen, welche man erwarten musste, innerhalb der unvermeidlichen Beobachtungsfehler fallen.

In den Formeln auf Seite 414 bis 417 haben wir auf den Unterschied von φ (Pt) in Schwefelsäure und Kalilösung nicht Rücksicht genommen. Untersuchen wir zuletzt, wie dieser Unterschied, den wir vernachlässigten, um unsere Formeln nicht zu sehr zu verwickeln, sich in dem Resultat der Berechnungen der HH. Lenz und Saweljew zu erkennen giebt.

Wir haben S. 404 bemerkt, dass dieser Unterschied die Werthe von (KO. SO₃) und (KO. NO₃) ungleich machen muss, je nachdem sie bestimmt wurden durch Versuche, in welchen die Kalilösung sich in dem positiven oder dem negativen Theil des Apparats besindet. Es werden also die Werthe von Pt K seyn, welche bei den Versuchen im ersten Fall zu klein, und im zweiten zu groß sind. In der Tasel IV von Lenz und Saweljew findet man:

$Pt \, K = 1.20$

Diese Zahl, welche mit der von uns für die positiven Anordnungen berechneten übereinstimmt, zeigt an, dass lediglich diese letzteren von den HH. Lenz und Saweljew zur Fixirung dieses Werthes benutzt wurden. Wenn diese Zahl angewandt wird zur Berechnung der elektromotorie Kraft der Säulen, in welchen Pt K als negative Angewandt ist, so muss man also einen negati-

ven Werth finden, größer als der durch den Versuch gegebene. Berechnet man nun mittelst der Tafeln den Versuch 23, so findet man:

Diess Resultat scheint das Gegentheil von dem, was man erwarten musste, anzudeuten; allein man muss erwägen, dass man in dieser letzten Berechnung die elektromotorische Krast der Glieder

vergleicht, und dass man in den Tafeln findet:

$$PtO = 2,49$$

 $PtH = 3,67$

woraus folgt

$$PtO + PtH = 6,16,$$

während ein directer Versuch die weit geringere Zahl 5,46 ergeben hat. Man sieht, dass die HH. Lenz und Saweljew einen anderen Werth für diese Polarisation angenommen haben, und dass nur die Beobachtungen 2, 4 und 23 ihn liefern konnten. Bei diesen beiden letzten haben sie zur Berechnung von PtH den Werth von PtK substituiren müssen, so dass der Unterschied des absoluten Werths von + PtK und mit — PtK versteckt ist in dem neuen Werth von PtH. Deshalb verräth sich der Misklang zwischen den berechneten und beobachteten Zahlen nur in dem Versuche 2

Um die elektromotorische Kraft dieser Säule zu berechnen, haben die HH. Lenz und Saweljew für PtO und PtH die zu große Zahl 6,16 angenommen, welche den Unterschied zwischen den berechneten und beobachteten Zahlen bis zu 0,60 Einheiten erhebt (dem größten von allen in ihrer Tafel), obgleich der Fehler, wie wir vorhin bemerkten, nur 0,16 Einheiten beträgt.

Schließen wir, daß das Gesetz der elektromotorischen Kräfte, wie es von den HH. Lenz und Saweljew aufgestellt ist, und wenn man wie sie die Polarisationsströme berechnet, in der großen Mehrheit von Fällen mit den Formeln für die elektro-thermischen Aequivalente der elektromotorischen Kräfte verträglich ist, und sich in diesen Fällen aus diesen Formeln durch eine einfache Addition und Subtraction ableiten läßt. In den Fällen, wo das Gesetz der elektromotorischen Kräfte nach der Theorie mangelhaft ist, geben die Versuche der HH. Lenz und Saweljew die daraus entspringende Abweichung zwischen Rechnung und Versuch auf die evidenteste Weise zu erkennen und ermangeln niemals die mechanische Theorie der Elektrolyse zu bestätigen.

Leiden, im September 1858.

IV. Ueber das Schwefelniob; von Heinr. Rose.

Wie das Schwefeltantal kann auch das Schwefelniob nach verschiedenen Methoden dargestellt werden. Da aber die Niobsäure leichter als die Tantalsäure reducirbar ist, so kann sie nicht nur durch Schwefelkohlenstoff, sondern auch schon durch Schwefelwasserstoff in die Schwefelverbindung verwandelt werden, was bei der Tantalsäure nicht gelingt.

1) Schwefelniob durch Behandlung der Niobsäure vermittelst Schwefelkohlenstoffs erhalten.

Schon bei der ersten Einwirkung des Schwefelkohlenstoffdampfs auf die glühende Niobsäure fürbt sich dieselbe dunkelgrau, und es findet dann auch sogleich eine Abscheidung von Schwefel statt, die während der ganzen Operation sich zeigt. Wenn die Säure indessen fast gänzlich in Schwefelmetall verwandelt worden ist, wird die Abscheidung des Schwefels schwächer und hört endlich ganz aufWenn aber die Zersetzung beendet, das Ganze erkaltet ist
und man das Gewicht der Schwefelverbindung, genommen
hat, so zeigt sich wiederum eine geringe Abscheidung von
Schwefel, wenn man von Neuem die Verbindung in Schwefelkohlenstoffdampf erhitzt. Diess rührt aber nur davon her,
dass es nicht möglich ist, durch diesen alle atmosphärische
Luft auß vollkommenste auszutreiben, ehe man das Schwefelniob von Neuem zu erhitzen anfängt.

Wegen der leichteren Reducirbarkeit der Niobsäure gelingt es, dieselbe schon in Apparaten aus schwer schmelzbarem Glase in die Schwefelverbindung umzuwandeln, und der oben beschriebene Versuch, der nur angestellt wurde um zu sehen, ob beim Rothglühen Schwefel bei der Erzeugung des Schwefelniobs abgeschieden wird, geschah in denselben. Besser aber ist es, ein Weißeslühen bei der Darstellung anzuwenden und die Operation in einem Porcellanrohre vorzunehmen, das man in einem gut ziehenden Windofen erhitzt. Man schiebt ein Porcellanschiff mit der Niobsäure in das Rohr.

Das erhaltene Schwefelniob schillert zwar etwas ins grünliche, ist aber beim Reiben in einem Agatmörser vollkommen schwarz, wodurch es sich wesentlich von dem Schwefeltantal unterscheidet. Beim Reiben nimmt es metallischen Glanz an. Es leitet die Elektricität.

- I. 1,950 Grm. Niobsäure in einer Kugelröhre von schwer schmelzbarem Glase so lange mit Schwefelkohlenstoffdampf erhitzt, bis das Gewicht des erhaltenen Schwefelmetalls sich nicht mehr verändert, gaben 2,108 Grm. Schwefelniob.
- II. 3,040 Grm. Niobsäure in einer Porcellanröhre in der Weißglühhitze mit Schwefelkohlenstoffdampf behandelt, gaben 3,314 Grm. Schwefelniob. Der Dampf des Schwefelkohlenstoffs wurde auf die Weise in das Porcellanrohr geleitet, daß ein Strom von trockenem Wasserstoffgas durch den Schwefelkohlenstoff geleitet wurde, welcher so

viel Dampf davon verstüchtigte, als nöthig war, um die Niobsäure zu zersetzen.

Im ersten Versuche haben 100 Th. Niobsäure 108,00 Th., im zweiten 109,01 Th. Schwefelniob gegeben.

Bei der Darstellung des Schwefelniobs im Porcellanschiff konnte man deutlich, beim Herausziehen derselben, im Porcellanrohr einen geringen unwägbaren schwarzen Anflug bemerken. Dieser rührt nicht davon her, das das Schwefelniob bei sehr hoher Temperatur etwas flüchtig ist, oder das eine kleine Menge des Schwefelmetalls durch den Strom des Wasserstoffgases und des Schwefelkohlenstoffs fortgerissen wurde, den man nur langsam durch das Rohr leitete, sondern er bestand in etwas Kohle, welche durch die Einwirkung des Wasserstoffs bei einer sehr hohen Temperatur sich aus dem Schwefelkohlenstoff ausgeschieden hatte. Es konnte in der That auch die Bildung von etwas Schwefelwasserstoffgas bemerkt werden.

Beim Glühen des erhaltenen Schwefelniobs beim Zutritt der Luft konnte man deutlich einen geringen weißen Rauch bemerken, der während des Röstens aufstieg. Um die Entstehung desselben möglichst zu vermeiden, muß anfangs eine sehr geringe Hitze angewandt werden. Er besteht nicht, oder nur zum Theil aus Schwefeldampf. Man bemerkt ihn beim Rösten ähnlicher Schwefelmetalle, wie z. B. beim Schwefelzinn, das durch die Löthrohrslamme erhitzt, einen weißen Beschlag auf der Kohle giebt. Da das Schwefelniob und das Schwefelzinn ebenso wenig flüchtig sind, wie die Niobsänre und das Zinnoxyd, so muss der Rauch wahrscheinlich von Verbindungen der metallischen Säuren mit Schwefelsäure herrühren. Er ist indessen außerordentlich unbedeutend, wenn man anfangs sehr vorsichtig das Schwefelmetall nur schwach erhitzt und kann, wie wir weiter unten sehen werden, dann oft ganz vermieden werden.

Aus diesem Grunde aber erhielt man häufig einen kleinen Verlust an Niohsäure, wenn man das erhaltene Schwefelniob durch Erhitzen beim Zutritt der Luft wieder in Niohsäure verwandelte. Als die 3.314 Grm. Schwefelniob von dem zweiten Versuche, welche aus 3.040 Grm. Niobsäure erhalten worden waren, durchs Glüben an der Luft wiederum in Niobsäure verwandelt wurden, konnten nur 3,028 Grm. daraus erhalten werden. Es hatte also ein Verlust von 0,4 Proc. statt gefunden, der von dem oben erwähnten Umstand herrührt.

Nimmt man in der Niobsäure einen Gehalt von 24,68 Proc. Sauerstoff an, so war das in den beiden Versuchen erhaltene Schwefelniob folgendermaßen zusammengesetzt:

| | i | 11. |
|----------|--------|---------|
| Niob . | 69,69 | 69,10 |
| Schwefel | 30,31 | 30,90 |
| | 100,00 | 100,00. |

Ich habe schon bei dem Schwefeltantal auseinandergesetzt, dass dasselbe nicht der Tantalsäure analog zusammengesetzt ist, und weniger Schwefel enthält, als eine Schwefelverbindung die der Säure entspricht. Dasselbe findet auch beim Schwefelniob statt. Es wird diess auch schon dadurch bewiesen, dass bei der Bereitung desselben vermittelst Schwefelkohlenstoffs in mässiger Rothgluht beständig Schwesel frei wird, was erst dann aushört, wenn die Niobsäure sich vollständig in Schweselniob verwandelt hat.

Obgleich beim zweiten Versuch eine kleine Fehlerquelle nachgewiesen werden kann, so weicht das Resultat desselben nicht sehr von dem des ersten Versuchs ab. Es ist indessen nicht wahrscheinlich, dass das erhaltene Schweselniob eine Verbindung nach bestimmten Verhältnissen sey. Die möglichen Verbindungen des Niobs mit dem Schweselhaben der Berechnung nach folgende Zusammensetzung:

| | Nb + 2S. | 2 Nb + 3 S. | Nb + S. |
|----------|---------------|-------------|---------|
| Niob . | 60,41 | 67,05 | 75,32 |
| Schwefel | 39,5 9 | 32,95 | 24,68 |
| | 100.00 | 100.00 | 100.00. |

Das erhaltene Schwefelniob hat weniger Schwefel als 2 Nb + 3 S und konnte daher eine Verbindung von 4 Nb + 5 S, oder vielmehr Nb 2 S + 2 Nb S seyn, welche im Hundert zusammengesetzt ist aus:

Niob . . . 70,94 Schwefel . 29,56 100,00.

Wenn man indessen bedenkt, das beim Rothglühen und noch mehr beim Weissglühen sich nur eine niedrige Schwefelungsstufe des Niobs bilden musste, die aber während des sehr allmählichen Erkaltens in einer Atmosphäre von Schwefelkohlenstoffdampf wieder Schwefel aufnehmen konnte, so ist es nicht wahrscheinlich, das sich eine Verbindung nach einfachen bestimmten Verhältnissen habe bilden können.

Da mir die Untersuchung des Schwefelniobs, aus später anzuführenden Gründen, von einer großen theoretischen Wichtigkeit erschien, so wurde die Darstellung und die Untersuchung noch mehrmals wiederholt, besonders auch, weil ich später die Bemerkung gemacht hatte, dass die Umwandlung der Niobsäure in Schwefelniob vermittelst des Schwefelkohlenstoffs besser gelingt, wenn letzterer nicht durch einen Strom von trockenem Wasserstoffgas sondern durch Kohlensäuregas über die glühende Niobsäure geleitet wird und diese in demselben erkaltet. Es zeigt sich dann nicht der schwarze Anflug von Kohle.

Zu den folgenden zwei Versuchen wurde Niobsäure genommen, welche aus dem Chloride bereitet worden war. Die beiden Mengen der Säure waren aber von verschiedenen Bereitungen.

- I. 3,333 Grm. Niobsäure gaben durch Behandlung mit Schwefelkohlenstoff beim Weißglühen 3,675 Grm. Schwefelniob und diese durch Rösten wiederum 3,303 Grm. Niobsäure.
- II. 1,929 Grm. Niobsäure gaben 2,126 Grm. Schwefelniob, welche durchs Rösten sich (ohne Verlust) in 1,929 Grm. Niobsäure verwandelten.

100 Th. Niobsäure hatten also beim ersten Versuche 110,26 Th. und beim zweiten Versuche 110,21 Th. Schwefelniob gegeben. Die beiden Mengen von erhaltenem Schwefelniob haben folgende Zusammensetzung:

| | I. | II, |
|----------|--------|---------|
| Niob . | 68,33 | 68,30 |
| Schwefel | 31,67 | 31,70 |
| | 100.00 | 100,00. |

Sie enthielten also nur etwas weniger Schwefel als der Verbindung Nb² S³ entspricht, obgleich doch während des langsamen Erkaltens Schwefel aus dem Schwefelkohlenstoff hätte aufgenommen werden können.

Ich habe mich indessen noch nicht mit diesen Versuchen begnügt, sondern noch eine Reihe von anderen angestellt, bei denen besonders auch auf die Dichtigkeit der durch das Rösten erhaltenen Säuren Rücksicht genommen wurde.

Die zu diesen Versuchen angewandte Niobsäure war aus einem sehr reinen Chloride dargestellt worden und von deutlich krystallinischem Ansehen. Sie hatte das specifische Gewicht 6,175. Sie wurde drei Stunden einer Atmosphäre von Schwefelkohlenstoff ausgesetzt, welcher durch Kohlensäuregas über dieselbe beim starken Weißglühen geleitet wurde, worauf das Ganze sehr allmählich in derselben Atmosphäre erkaltete. Das erhaltene Schwefelniob erschien deutlich krystallinisch, was fast schon mit bloßen Augen wahrgenommen werden konnte. Es zeigte diese krystallinische Beschaffenheit besonders nur in dem Theile des Porcellanschiffehens, welches den einströmenden Gasen zunächst lag. Die Farbe des Schwefelmetalls war schwarz, es schillerte jedoch mit einem gelbgrünen Glanze.

3,650 Grm. der Niobsäure gaben 3,999 Grm. Schwefelniob, und diess durchs Rösten wiederum 3,626 Grm. Niobsäure. Der Verlust der durchs Rösten entstand betrug also 0,66 Proc. Die Dichtigkeit der erhaltenen Säure war aber nur 6,0405, also geringer, als die der angewandten.

Die Zusammensetzung des erhaltenen Schwefelniobs ist:

Niob . 68,92 Schwefel 31,08 100,00,

also übereinstimmend wie in früheren Versuchen.

Diese durch Rösten erhaltene Niobsäure wurde wiederum drei Stunden hindurch bei Weißglühbitze dem Schwefelkohlenstoffdampf ausgesetzt, der durch Kohlensäuregas über die metallische Säure geleitet wurde. Als aber nach dieser Zeit die Rothglühhitze eintrat, wurde mit dem Zuleiten des Schwefelkohlenstoffs eingehalten und nur reines Kohlensäuregas über die nach und nach sich erkältende Säure geführt. Das erhaltene Schwefelmetall hatte eine gelblich grüne Farbe.

3,274 Grm. der Niobsäure (von der Dichtigkeit 6,040) gaben 3,518 Grm. Schwefelniob und diefs durch Rösten 3,236 Grm. Niobsäure. Der Verlust war diesmal also bedeutender als gewöhnlich und betrug 1,16 Proc. Das specifische Gewicht der durchs Rösten erhaltenen Säure war 5,683; die Dichtigkeit hatte sich also diesmal sehr bedeutend verringert.

Das erhaltene Schwefelniob hatte die Zusammensetzung:

Niob . 70,10 Schwefel 29,90 100,00.

Die erhaltene Säure wurde nochmals beim Weisglühen 2 Stunden bindurch mit Schwefelkohlenstoffdampf, der durch Kohlensäuregas darüber geleitet wurde, behandelt, dann mit Kohlensäure allein; der Strom derselben wurde beim Erkalten innmer schwächer und hörte endlich ganz auf, so dass sehr allmählich nach und nach atmosphärische Lust in das Porcellanrohr treten konnte. Das Rösten des erzeugten Schwefelniobs geschah so auf die langsamste Weise und es wurde ein Verlust dabei vermieden. 3,210 Grm. der Niobsäure (von der Dichtigkeit 3,683) wogen nach diesem allmählichen Rösten 3,209 Grm. Die erhaltene Säure hatte ein noch etwas geringeres specifisches Gewicht; sie zeigte die Dichtigkeit 5,680.

3,209 Grm. dieser durch Rösten erhaltenen Niobsäure

Die beiden Mengen von erhaltenem Schwefelniob haben folgende Zusammensetzung:

| | I. | II. |
|----------|--------|---------|
| Niob . | 68,33 | 68,30 |
| Schwefel | 31,67 | 31,70 |
| | 100,00 | 100,00. |

Sie enthielten also nur etwas weniger Schwefel als der Verbindung Nb² S³ entspricht, obgleich doch während des langsamen Erkaltens Schwefel aus dem Schwefelkohlenstoff hätte aufgenommen werden können.

Ich habe mich indessen noch nicht mit diesen Versuchen begnügt, sondern noch eine Reihe von anderen angestellt, bei denen besonders auch auf die Dichtigkeit der durch das Rösten erhaltenen Säuren Rücksicht genommen wurde.

Die zu diesen Versuchen angewandte Niobsäure war aus einem sehr reinen Chloride dargestellt worden und von deutlich krystallinischem Ansehen. Sie hatte das specifische Gewicht 6,175. Sie wurde drei Stunden einer Atmosphäre von Schwefelkohlenstoff ausgesetzt, welcher durch Kohlensäuregas über dieselbe beim starken Weißglühen geleitet wurde, worauf das Ganze sehr allmählich in derselben Atmosphäre erkaltete. Das erhaltene Schwefelniob erschien deutlich krystallinisch, was fast schon mit bloßen Augen wahrgenommen werden konnte. Es zeigte diese krystallinische Beschaffenheit besonders nur in dem Theile des Porcellanschiffehens, welches den einströmenden Gasen zunächst lag. Die Farbe des Schwefelmetalls war schwarz, es schillerte jedoch mit einem gelbgrünen Glanze.

3,650 Grm. der Niobsäure gaben 3,999 Grm. Schwefelniob, und diess durchs Rösten wiederum 3,626 Grm. Niobsäure. Der Verlust der durchs Rösten entstand betrug also 0,66 Proc. Die Dichtigkeit der erhaltenen Säure war aber nur 6,0405, also geringer, als die der angewandten.

Die Zusammensetzung des erhaltenen Schwefelniobs ist:

bleibt ganz in der Röhre, in welcher sich das angewandte Chlorid befand, und es wird fast nichts davon ausgetrieben, wie diefs bei der Darstellung des Schwefeltantals aus dem Tantalchlorid der Fall ist. Deshalb kann man sich bei der Erzeugung des Schwefelniobs auf diese Weise leicht von der Abscheidung von Schwefel überzeugen, welche nicht füglich der Zersetzung des Schwefelwasserstoffgases durch die Hitze zugeschrieben werden konnte, da dieselbe bei dieser Operation nicht dazu hinreichend stark angewandt wurde.

Bei dieser Zersetzung zeigt sich wie bei der des Tantalchlorids keine Spur von Wasser.

Die Operation wurde immer so lange fortgesetzt, bis keine Entwickelung von Chlorwasserstoffgas mehr wahrzunehmen war. Das Schwefelniob erkaltete in dem Strome von Schwefelwasserstoffgas.

Das erhaltene Schwefelmetall war von rein schwarzer Farbe und von dichter Beschaffenheit. Durchs Reiben im Agatmörser blieb die Farbe rein schwarz. Es ließ sich sehr gut vom Glase trennen.

Nach einer Bereitung wurde das erhaltene Schwefelniob in eine Kugelröhre gebracht, und von Neuem in einem Strom von Schwefelwasserstoffgas erhitzt. Es entwickelte sich keine Spur von Chlorwasserstoffgas, aber eine sehr kleine Menge von Schwefel. Dessen ungeachtet hatte sich das Gewicht des Schwefelmetalls, als nach dem gänzlichen Erkalten ein Strom von trockner Luft durch den Apparat geleitet worden war, nicht verändert.

Das Schweselniob von zwei ganz verschiedenen Bereitungen wurde zuerst auf die Weise untersucht, dass es durchs Glühen beim Zutritt der Lust in Niobsäure verwandelt wurde.

Wird dieses Schwefelniob bei 100°C. erhitzt, so verändert es sich auch nach 3 Stunden nicht am Gewicht. Bei 160° ist es schwarz, hat aber um einige Milligramme am Gewicht zugenommen. Selbst bei 230° ist es noch schwarz, hat aber um 5 Proc. am Gewicht zugenommen, und giebt

dann einen Rauch von Schwefel. Bei 250° vermehrt sich derselbe bedeutend, und beim Oeffnen des Tiegels entzündet sich der Schwefel. Beim ferneren Glühen, wenn das Schwefelniob sich in Niobsäure verwandelt hat, nimmt das Gewicht ab.

Bei dem einen Versuch gaben 0,911 Grm. des Schwefelniobs 0,800 Grm. Niobsäure.

In einem zweiten Versuche wurden aus 0,409 Schwefelniob 0,360 Grm. Niobsäure erhalten.

Die hiernach berechnete Zusammensetzung des Schwefelniobs ist folgende:

| | I | II. · |
|----------|--------|---------|
| Niob | 66,15 | 66,26 |
| Schwefel | 33,85 | 33,74 |
| _ | 100,00 | 100,00. |

Das aus dem Chlorniob dargestellte Schwefelniob hat also einen größeren Schwefelgehalt, als das durch Schwefelkohlenstoff erzeugte, offenbar weil bei seiner Bereitung eine geringere Hitze angewandt zu werden braucht. Die Zusammensetzung nähert sich der von 2Nb + 3S. Aber aus Gründen, die später entwickelt werden sollen, können wir uns diese Schwefelverbindung nicht auf diese Weise zusammengesetzt denken, sondern müssen annehmen, dass sie wahrscheinlich die Zusammensetzung Nb S² + Nb Shabe.

Das Schwefelniob wird bei gewöhnlicher Temperatur durch Chlorgas gar nicht angegriffen, wodurch es sich wesentlich von dem aus Tantalchlorid dargestellten Schwefeltantal unterscheidet. Auch wenn länger als 12 Stunden das Chlorgas darüber geleitet wird, so behält es vollkommen seine schwarze Farbe, obgleich es sich durch Condensation des Chlorgases etwas erwärmt. Beim schwachen Erhitzen verwandelt sich aber die Oberfläche des Schwefelniobs in eine dunkelgelbe wollige Masse von einer Verbindung von Niobchlorid und Chlorschwefel, die beim stärkeren Erhitzen zu einer dunkelgelben Flüssigkeit schmilzt und dann sublimirt. Wird die gelbe Masse verflüchtigt,

so kommt die untersetzte Schwefelnieb mit schwarzer Parbe som Vorschein. Nach beendeter Zersetzung hlieb nur eine höchet geringe Menge von Niebsture von weißer Farbe zurück, welche offenbar im Schwefelmetall nicht präezistirte, sondern durch etwas atmosphärische Luft im Chlorgase entstanden seyn kann.

Das gelbe Sublimat wurde in eine Vorlage mit Wasser getrieben, die mit einer zweiten in Verbindung stand. Die Flüssigkeit wurde so lange einer gelinden Wärme ausgesetzt, his sie nicht mehr nach freiem Chlorgas roch, wodurch sich die Niebsäure abgeschieden hatte. Das Ganne wurde filtrirt, und als die Niobsäure aufs Filtrum gebracht worden, das unter dem Trichter stehende Glas gewechselt, und die Säure mit einer verdännten Lösung von kohlensourem Natron übergossen und damit ausgewaschen. Dadurch wird etwas Niobsäure gelöst, aber die Entfernung der Schwefelsäure aus der Niobsäure geht so leicht und schnell von statten, dass nach einem halbstündigen Auswaschen mit der sehr verdünnten Lösung des kohlensauren Natrons alle Schwefelsäure aus der Niobsäure entfernt ist. Uebergiesst man dann die auf dem Filtrum befindliche Niobsaure einige Male mit reinem Wasser und prüft das Waschwasser vermittelst Chlorbaryums, so erhält man keine Spur einer Reaction auf Schwefelsäure.

Die durchs Auswaschen mit kohlensaurem Natron erhaltene Flüssigkeit enthält etwas Niobeäure und Schweselsäure: sie wurde durch Chlorwasserstoffsäure sauer gemacht, bis zur Abscheidung der Niobeäure erhitzt und dann filtrirt. Die mit kohlensaurem Natron ausgewaschene Niobeäure wurde mit verdünnter Chlorwasserstoffsäure digerirt, bis zum Kochen mit derselben erhitzt, auss Filtrum gebracht und mit heisem Wasser ausgewaschen. Auch die von der Niobeäure zuerst filtrirte Flüssigkeit wurde, um zu sehen, ob sie Niobeäure enthielt, mit kohlensaurem Natron übersättigt, und zur Trockniss eingedampst. Der Rückstand löste sich aber vollständig in Wasser aus, ohne eine Spur von Niobeäure ungelöst zu lassen. Sämmtliche von

der Niobsäure abfiltrirte Flüssigkeiten wurden vereinigt, und aus ihnen die Schwefelsäure vermittelst Chlorbaryums gefällt.

0,745 Grm. Schwefelniob gaben auf diese Weise behandelt 0,652 Grm. Niobsäure und 1,673 Grm. schwefelsaure Baryterde. Diess ist im Hundert

Niob 66,04 Schwefel 30,87 96,91.

Während die Analyse die richtige Menge des Niobs gegeben hatte, war beim Schwefel ein Verlust von 3 Proc. Wenn derselbe auch sehr bedeutend ist, so muß man bedenken, daß es schwer oder unmöglich ist, wahrzunehmen, ob der Schwefel durch Chlorgas in einer Flüssigkeit, die zugleich eine bedeutende Menge einer unlöslichen Substanz suspendirt enthält, vollständig zu Schwefelsäure oxydirt sey. Der Zweck der Analyse des Schwefelniobs, auf diese Weise angestellt, sollte aber nur der seyn, eine Controle für die auf andere Weise gefundene Zusammensetzung zu erhalten, und dieser wurde erreicht.

Es wurde noch eine zweite Analyse des Schwefelniobs und zwar vermittelst einer Mengung von chlorsaurem Kali und Chlorwasserstoffsäure angestellt. Das Schwefelniob wird bei gewöhnlicher Temperatur nicht davon angegriffen, und auch beim Erhitzen verändert es sich sehr wenig, wenn die Chlorwasserstoffsäure nicht sehr concentrirt angewandt wird; aber auch dann geht die Oxydation so langsam von statten, dass bei stets wiederholten Zusätzen von chlorsaurem Kali ein Erhitzen bis zum Kochen von zwei Tagen erfordert war, um eine nur kleine Menge des Schwefelmetalls zu oxydiren. Selbst nach dieser Zeit war die ausgeschiedene Niobsäure nicht rein weiß, sondern etwas graulich von etwas unzersetztem Schwefelniob.

Die saure Flüssigkeit wurde nach Uebersättigung mit kohlensaurem Natron bis zur Trocknis abgedampst, der Rückstand mit Wasser behandelt, die ungelöste Niobsäure absiltrirt, zuerst mit einer verdünnten Lösung von kohlensteirem Natron, und dann mit Wasser so lange ausgewaachen, bis im Waschwasser durch Chlorbaryum und Chlorwasserstoffsäure keine Schwefelsäure mehr entdeckt werden konnte, was in kurzer Zeit erreicht war. Die filtrirte
Flüssigkeit wurde darauf durch Chlorwasserstoffsäure sauer
gemacht, die dabei sich ausscheidende sehr geringe Menge
von Niobsäure abgeschieden, und dann die Schwefelsäure
durch Chlorbaryum gefällt.

Die mit kohlensaurem Natron ausgewaschene Niobsäure wurde mit verdünnter Chlorwasserstoffsäure digerirt, durchs Erhitzen abgeschieden, zu der vorher erhaltenen hinzugefügt und mit heißem Wasser ausgewaschen.

Es wurden auf diese Weise aus 0,630 Grm. Schwefelniob 0,565 Grm. Niobsäure und 1,404 Grm. schwefelsaure Baryterde erhalten. Hieraus ergiebt sich folgende Zusammensetzung:

Niob 67,46 Schwefel 30,63 98.09.

Auch bei dieser Analyse ist die Menge des Schwefels aus den oben angeführten Gründen zu gering ausgefallen; die Menge des Niobs aber noch etwas größer als bei den früheren Versuchen, wohl durch die große Menge des Kalisalzes, das hinzugefügt werden mußte.

3) Schwefelniob durch Behandlung der Niobsäure vermittelst Schwefelwasserstoff erhalten.

Während man aus der Tantalsäure vermittelst des Schwefelwasserstoffgases bei erhöhter Temperatur nicht Schwefeltantal erhalten kann, gelingt dies bei der Niobsäure, indessen doch schwer vollkommen. Bei starkem Rothglühen bildet sich, wenn das Gas über die Niobsäure geleitet wird, Schwefel und Wasser, aber es wurde zuerst, ehe letzteres sich zeigte, der Schwefel bemerkt, der also, zum Theil gewis, durch die Zersetzung des Schwefelwasserstoffgases bei erhöhter Temperatur sich ausgeschieden hatte. Wegen dieser Ausscheidung des Schwefels konnte die Menge des gebildeten Wassers nicht richtig bestimmt werden.

Die Operation wurde so lange fortgesetzt, bis kein Wasser bei starkem Rothglühen sich mehr zeigte. Es wurde ein ganz schwarzes Schwefelnioh erhalten.

1,099 Grm. des auf diese Weise erhaltenen Schwefelniobs gaben durchs Glühen beim Zutritt der Luft, wobei sie mit Schwefelflamme brannten, 1,060 Grm. Niobsäure. War das erhaltene Schwefelniob frei von Niobsäure, was übrigens nicht wahrscheinlich ist, so bestand es im Hundert aus:

Niob 72,61 Schwefel 27,39 100.00.

4) Schwefelniob durch Behandlung des niobsauren Natrons vermittelst Schwefelwasserstoff erhalten.

Wird das niobsaure Natron beim Rothglühen mit Schwefelwasserstoffgas behandelt, so wird die Säure im Salze nur sehr unvollkommen in Schwefelniob verwandelt. Da dasselbe kein Sulphid ist, so verbindet es sich mit dem entstehenden Schwefelnatrium nicht zu einem Schwefelsalze. Das Natron des Salzes bildet Schwefelwasserstoff-Schwefelnatrium, das durch Wasser ausgewaschen werden kann, wobei das Schwefelniob zurückbleibt, welches aber noch sehr viel niobsaures Natron enthält, das durchs Glühen ganz unlöslich geworden und sich in ein saures in Wasser unlösliches Salz umgewandelt hatte. Der Rückstand ist nur bräunlich. Während der Operation hat sich nicht viel freier Schwefel abgeschieden, weil überhaupt nur wenig Schwefelniob sich erzeugt hat.

Y. Die Meteoriten und die Kometen nach ihren gegenseitigen Beziehungen; vom Freiherrn von Reichenbach.

VI.

Der schöne Komet, dessen Anwesenheit uns jüngst erfreute, gab reichlichen Anlass zu Nachforschungen über die Natur seiner Beschaffenheiten, und diess streift so nahe an das Wesen der Meteoriten heran, dass es für den, dem eine Meteoritensammlung vor Augen liegt, unmöglich wird, die nahen Wechselbeziehungen zwischen beiden zu übersehen, und noch weniger, sie zu übergehen. Unglücklicher Weise giebt es nur wenige Menschen, die in der günstigen Lage sind, über eine größere Anzahl von Meteoriten mit Bequemlichkeit verfügen zu können; gerade darin finde ich denn für mich eine Art von Beruf, über die Beziehungen, die zwischen Meteoriten und Kometen sich herausstellen, einige öffentliche Worte zu wagen.

Bekannt ist, dass die Kometen, sowohl der Kern als der Schweif, durchsichtig sind. Ebenso weiss Jedermann, dass das Licht ungebrochen durch jeden Kometen hindurchgeht, seine Substanz also weder luftförmig, noch tropfbarflüssig seyn kann. Man hat ferner ausgemittelt, dass ihr Licht polarisirt zu uns gelangt, folglich kein eigenes, sondern entlehntes und zwar für uns von der Sonne erborgtes ist. Wir wissen dann, dass die Kometen keine Phasen haben, dass sie keine Störungen bewirken und endlich haben wir uns überzeugt, dass der Donati'sche Komet, wie alle seine vorangegangenen Brüder, weder an Umrifs, noch an innerer Gestaltung sich gleich bleibt, sondern jeden Tag, nach Piazzi fast jede Stunde, in mehr oder minder veränderten Zustande sich uns darstellt. Dazu kommt noch, dass man nicht nur das specifische Gewicht aller Kometen überaus gering gefunden, sondern dass auch ihr absolutes bisweilen so schwach ist, dass man sehr kleine Kometen sammt ihrem Schweif beiläufig kaum auf acht Pfunde berechnet hat (v. Littrow V.).

Die Astronomen sagen uns, alles dieses berechtige mit einiger Sicherheit zu den Schlüssen, dass

- der Kometenschweif nothwendig bestehen müsse aus einem Schwarme überaus kleiner, aber fester Partikelchen, also Körnchen;
- das jedes einzelne Körnchen von jedem anderen in weitem Abstande sich befinden müsse, und zwar in so großem, das die Lichtstrahlen zwischen ihnen mit Leichtigkeit durchgehen können;
- 3) dass sich diese Körnchen, im Raume schwebend, frei bewegen und dem Einslusse äuserer und innerer Agentien ungehindert nachgeben, sosort sich unter einander anhäusen, verdichten oder ausdehnen können; dass der Kern des Kometen, wo einer vorhanden ist, nichts anderes als eine solche Anhäusung von aus Partikelchen bestehender lockerer Substanz sey.

ŀ

Wir haben also, um es in zwei Worte zu fassen, an den Kometen einen lockeren, durchsichtigen, beleuchteten, freibeweglichen Schwarm kleiner fester Körnchen, schwebend im leeren Weltraume. Aehnliches kennen wir bisjetzt im Universum nichts. Sollte sich in der Natur, die überall vermittelt, nichts vorsinden, das sich daran anreihte? Schauen wir uns in ihren weiten reichen Gefilden um, ob wir nichts darin gewahren, das Analogien darbietet, an deren Fäden wir tieser in diese Gegenstände einzudringen vermöchten.

Da begegnen wir dann einer Erscheinung, die nicht weniger aus des Himmels Tiefen herstammt, als die Kometen, und die ganz nahe an sie angränzt; dies sind eine andere Art kleiner Irrsterne die minder selten und minder glänzend als die großen Kometen, fast täglich einen Sendling auf unsere Erde absertigen, ich meine die Meteoriten. So wie sie als Steinmassen oder Eisenklumpen bei uns auftreten, sieht man ihnen freilich auf den ersten Blick wenig Achnlichkeit mit der Prachterscheinung der Kometen an. Die

letzteren kommen ja nicht zur Erde, und die ersteren bringen keine Schweife mit; allein anders zeigt sich das Verhalten, wenn man die Meteoriten einer genaueren wissenschaftlichen Prüfung unterzieht. Dann gewahrt man bald, daß ihre nichts weniger als einfache mechanische und chemische Zusammensetzung eine Menge Gesichtspunkte darbietet, reich an gewichtigem Stoffe in mannichfaltigen naturwissenschaftlichen Richtungen. Ein Meteorit ist zuvörderst ein kosmologischer Gegenstand, so fern die Frage auf seine allgemeinste Bedeutung gerichtet wird; dann ist er ein astronomischer, so fern er aus den Wohnsitzen der Gestirne hervorbricht; er ist ein physikalischer, wenn nach seiner ersten Bildungsweise gefragt wird; es ist ein geologischer, in sofern er an der Ausbildung des Erdballs theilnimmt, er ist ein mineralogischer, wenn nach den constituirenden Steinarten gefragt wird; er ist ein chemischer, in sofern von seinem Elementarbestande die Rede ist; er ist ein meteorologischer. in sofern er in der Nähe und innerhalb der Substanz der Atmosphäre auffallende Erscheinungen erzeugt; er ist ein krystallographischer, indem er ganz eigenthümliche Aggregationsgesetze verräth, die man an keinem tellurischen Gebilde wiederfindet; er ist ein mechanischer wann es seine eigenthümlich complicirte Zusammenfügung gilt; von der Nahrung die er der Ontologie und in weiteren Beziehungen der Metaphysik üherhaupt giebt, schweige ich hier, aber ich hoffe zu allem dem noch einen Standpunkt weiterer Bedeutungen zu gewinnen, die dieses vielumfassende Phänomen auszeichnen.

Versuchen wir nun eine specielle Betrachtung der Meteoriten in Absicht auf die Beziehungen, die sich zwischen ihnen und den Kometen der Beobachtung darbieten. Wenden wir uns zunächst an den bekannten Meteoriten von Siena. Schon im Sommer 1794 fiel dort ein Regen vieler kleiner Steine vom Himmel, dem in Deutschland und Frankreich niemand Glauben schenken wollte; Laplace selbst zählte ihn eilf Jahre später noch öffentlich in der Akademie unter die Fabeln. Beschauen wir einige gebrochene oder

zerschnittene und angeschliffene Stücke davon in meiner In eine dichte, erdige, weissliche Grundmasse sehen wir zahlreiche Kügelchen, eingebettet, als wären Schrote hineingeschossen worden. Sie sind dunkel olivgrün, hart und manche sind zerbrochen oder durchgeschliffen und polirt: sie besitzen krystallinisches Gefüge; schimmernder Blätterdurchgang ist deutlich; ihre Größe geht von der eines Vanillekörnchens, durch die eines Mohnkornes, sofort eines Stecknadelkopfes bis zu der eines Hirsekorns. wir den Steinmeteoriten von Benares in Ostindien; ich habe drei Exemplare davon. Auch hier ist die Grundmasse eine weissliche, erdige Substanz, die sich mit dem Nagel abbröseln lässt. Sie ist gedrängt erfüllt von zahllosen grünlichgrauen Kügelchen von Staubfeinheit, durch alle Abstufungen der Größe hindurch bis zu der einer kleinen Erbse. Der Meteorit von Blansko besitzt graue Grundmasse, und darin schwärzlichgraue Kügelchen scharf begränzt eingelagert. Der von Weston enthält in weißem und in grauem Grunde dunkelgraue Kügelchen. Der Stein von Bremerpörde zeigt in aschgrauem Grunde die schönsten abgerundeten dunkelgrauen Kügelchen, neben diesen zahlreiche hellgraue, endlich eine reichliche Anzahl ganz weißer. Auf jeder Bruchfläche dieses Steines findet man concave, halbkugelförmige Schalen, welche die Lagerstätten herausgefallener Kügelchen ausmachen, die häufig nur lose eingefügt sind. Der Luftstein von Tabor hat Kügelchen gleich dem von Blansko. Die Aërolithen von Grüneberg, Smolensk, Wessely, Eichstädt, Slobodka, Lontalax, Milena, Nanjemoy, Jonzac, Parma, tragen alle mehr oder weniger deutlich oder undeutlich eingeschlossene Kügelchen. Seres hat in dunkelem Grunde meist weissliche Kügelchen. Capland hat in schwarzem Grunde feine graue, und Renazzo in schwarzer Masse zahlreiche gut ausgebildete weiße Kügelchen. klarsten ausgeprägt finden sich die Kügelchen in dem schönen großen Meteoriten von Borkut, dessen ich erst jüngst theilhaftig geworden bin. Alle seine Bruchslächen sind dicht besäet mit dunkelgrauen Kügelchen von mikroskopischer

Größe aufsteigend bis zu der eines Hirsekorns. Der ganze gegen fünf Pfund schwere Stein besteht sichtlich, seinem vorwaltenden Gemengtheile nach, aus nichts als aus lauter größeren bis zu Staube herabsteigenden wohlausgebildeten Kügelchen; ich habe viele davon, welche sich leicht ablösen ließen, ausgesondert und aufgesammelt. Was sind die schönen Meteoriten von Atakama, Sachsen, Bitburg und die Pallas'sche Masse anderes, als besser ausgebildete Olivinkügelchen, in eine Grundmasse von Nickeleisen eingelagert? Kügelchen, wie Bohnen groß, trifft man im Meteoriten von Hainholz an; ja dieser merkwürdigste und lehrreichste aller Aërolithen enthält Eisenkugeln von Haselnufsgröße. Aber nicht blos Steinmeteoriten, sondern auch Eisenmeteoriten giebt es, deren manche eine ähnliche Zusammensetzung besitzen; so habe ich die Eisenmasse von Zacatecas ganz zerlegt in lauter Eisenkugeln von Wallnussgröße, die fest an einander geheftet sind, sich aber von einander sondern lassen. Innerhalb dieser Eisenkugeln finden sich dann wieder kleine Schwefeleisenkügelchen von Hanfsamengröße zahlreich eingeschlossen.

Sieht man diese Kügelchen nicht gleich beim ersten Blick auf dem Bruche eines Steines, so findet man sie oftmals auf dem Schliffe und der polirten Bruchfläche. Manchmal sind sie so klein, dass man sie mit der Lupe suchen muß. Bisweilen stecken sie in der Grundmasse so fest, dass sie beim Bruche entzweigehen, und in jeder Hälfte des zerschlagenen Steines eine Halbkugel davon zurückbleibt. Häufiger dagegen liegen sie so lose, dass sie beim Theilen eines Steines herausfallen, und gesammelt werden können; doch muß man dabei auf seiner Hut seyn, denn sie rollen auf einem glatten Tische gerne fort und gehen verloren.

Zerbricht man ein solches Steinkügelchen, so zeigt es krystallinisch-blätteriges Gefüge, bricht scharfkantig und besitzt schimmernden Glanz. Die weißen haben häufig matten Bruch. Die Chemie weist nach, daß sie ein Talksilikat sind und hat ihren Bestand vielfach für übereinkommend mit unserem tellurischen Olivine, dann mit dem Augite,

Anorthite und Feldspathe erklärt. Die gelben durchsichtigen Steinantheile in *Pallas* und *Atakama* sind mehrentheils vollendet ausgebildete Krystalle mit entsprechenden Außenflächen aus dem rhombischen Systeme, und längst schon von Mohs für reinen Olivin erklärt worden.

Man kann mit begründeter Wahrscheinlichkeit sagen, dass die meisten Steinmeteoriten einem großen Theile ihres Bestandes nach aus solchen Kügelchen oder ihren seinen Trümmern bestehen, indem die mehrsten vorwaltend aus Talkerdesilikat im Verhältnisse des Olivins, = Mg³ Si, zusammengesetzt sind.

Manchmal sind die Kügelchen unrein und enthalten noch kleinere Körperchen eingesprengt, z. B. selbst wieder mikroskopisch kleine Kügelchen oder Eisenpünktchen, wie bei Hainholz; oder es findet sich, dass dunkle Kügelchen einen weisen erdigen Kern haben, um den sie herum krystallisirten: so habe ich es bei Tabor und Slobodka ausgezeichnet schön gefunden; endlich Schwefelkieskügelchen in Eisenkugeln, wie oben von Zacatecas schon gesagt.

Somit haben wir an den Meteoriten, sowohl Stein- als Eisenmeteoriten, und zwar bei der größeren Mehrzahl derselben, ein Aggregat von fertig ausgebildeten Kügelchen, die in manchen Stein- und Eisenmassen so überhand nehmen, daß sie allein fast den ganzen Meteoriten ausmachen. Sie sind oft so schön rund, wie abgedrechselt, bisweilen auch unrund, hie und da selbst noch mehr oder weniger eckig, und liegen nicht selten so lose im Gestein, daß sie von selbst aus ihrem Lager sich auslösen und dann herausfallen, eine leere glatte Kugelschale hinterlassend; dieß namentlich habe ich an Bremervörde, Borkut, Siena und Benares gefunden.

Ein jedes solches Kügelchen aber ist einzeln genommen eine Bildung für sich, ein abgesondertes krystallisirtes Individuum. Es hat seine eigene Entstehungsgeschichte, und besitzt sein Daseyn für sich. Wir finden es in einen Stein eingeschlossen, aber es existirt als Fremdling darin. Als dieser Stein gemacht wurde, war es schon früher vorhanden, von älterem Daseyn als der neuentstehende Stein und wurde fertig darin aufgenommen. Es diente als Baustein zum Meteoriten, in welchem wir es antreffen, als früheren, längst vorräthigen Stoff dazu. Ein jedes Kügelchen war früher ein ganzer und selbständiger, wenn gleich winziger Meteorit. Jetzt erscheint er als aufgenommener kleiner älterer, eingeschlossen in einen größeren jüngeren Meteoriten: als ein Meteorit in einem Meteoriten, wie eine Muschel in Kalkstein. Zwischen dem Zeitpunkte, wo das Kügelchen entstand, und der Periode, in welcher der Meteorstein sich bildete, dessen einen Bestandtheil es jetzt ausmacht, können Millionen Jahre gelegen seyn.

Nehmen wir nun einen Augenblick die Physik in Anspruch, uns noch einen Schritt weiter zurückzutragen und uns Auskunft über die Entstehung dieser Kügelchen zu geben, uns ihre primitive Geschichte zu lehren. Alles was sich krystallisirt darstellt, ist ein Gebilde, dessen Atome, oder Molecüle sich nach gewissen ihnen inwohnenden Gesetzen polarisch geordnet haben. Um sich so ordnen zu können, mussten sie sich bewegen, und mussten Freiheit haben, diesen Gesetzen folgen zu können, d. h. die die Kügelchen bildenden Atome mussten irgendwie suspendirt seyn. Das Wo ist nun nirgend anders als in den unendlichen Welträumen, aus denen sie daher kommen. Und das Wie, die Form dieser Suspension, kann keine andere, als die Gasform gewesen seyn, da eine andere dort nicht denkbar ist. Denn dass sie ursprünglich eine feste gewesen wäre, ist unmöglich, weil sie so keine Krystallisation hätten bilden können, und dass sie aus einer tropfbaren Flüssigkeit auskrystallisirt seyn sollten ist ungereimt, weil wir dazu uns einbilden müssten, das Ende der Welt sey mit Meer umflossen. Es bleibt also, weil wir keine andere mehr haben, nur die Gassorm. Die Elemente der Meteoritenkügelchen, dieser urältesten Erscheinung der festen Materie, müssen also in ihrem primitiven Zustande gasförmig gewesen seyn, und jedes Kügelchen für sich ist ein Embryo der greifbaren Welt.

Nehme ich einen Meteoriten, wie den Borkut, in die Hand. so halte ich in ihr alsogleich Millionen solcher krystallinischer Kügelchen. Das ist aber erst ein kleiner Stein von wenigen Pfunden; wir haben in den Steinregen von Stannern, von L'Aigle, von Macao hundert und tausendmal mehr Steinmasse vom Himmel niederstürzen sehen. Billiarden solcher Kügelchen finden sich also da und dort in den Welträumen zusammen. Biot fand, dass bei L'Aigle allein über 3000 Steine vom Himmel fielen. Um diess zu verstehen, müssen wir zurückgehen auf die Hergänge bei jeder anderen Krystallisation, wie wir sie in unseren che. mischen Werkstätten täglich vor uns sehen. Irgend eine wässerige oder luftförmige Flüssigkeit, die mit einer krystallisirbaren Substanz gesättigt ist, setzt diese nicht auf Einen Punkt ab, sondern sie wählt sich eine große Anzahl Fixpunkte, und befestigt an jedem einzeln selbständige Krystalle. Diess geschieht bei uns in kleinem Raume. ken wir uns nun einen Raum von Millionen Meilen Durchmesser, so groß etwa wie ein Kometenschweif einnimmt, erfüllt mit Materie, die sie daraus niederzuschlagen und auszukrystallisiren bestrebt ist; so wird sie ihr Aggregationsgeschäft nicht an Einem oder wenigen Orten vollbringen können, die Materie müsste zu dem Ende Millionen von Meilen nach einem solchen Punkte hinwandern, wozu kein Grund vorhanden ist. Sie wird also viele, sehr viele, Milliarden schwebender Punkte ergreifen müssen, und in der Anziehungssphäre der ersten Molecüle, zu denen sich einige Atome zusammengethan haben, das vorräthige Material anziehen und von ihm angezogen werden, aufsaugen, wie man sagt, und so werden ebenso viele Milliarden kleiner Krystalle sich bilden, die nicht bedeutend größer mehr werden können, als sie gleich anfänglich wurden, denn der Stoff um sie her ist gleichzeitig vergeben und absorbirt worden an und von allen benachbarten Krystallen. So hat sich also nach bekannten Gesetzen eine unendliche Anzahl kleiner Krystalle in einem mächtig großen Raunes bilden müssen, die alle in einem Abstande von einander sich befanden, der dem Raume entsprach, den die von ihnen aufgesaugten gasförmigen Atome einnahmen. Das Ganze sämmtlich dieser suspensirten Krystalle würde man nun einen Nebelfleck nennen; und wenn dieses ungeheure Heer kleiner Individuen sich in gleicher Richtung in Bewegung setzte, so hieße es ein Schwarm. Und dieß ist es denn, wohin uns hier regelrechte Folgerung aus physikalischen Gesetzen führt. Was wir also an unsern Meteoriten sehen und worin wir sie zerlegen können: die kleinen Kryställchen und kryställinischen Kügelchen, dem können wir consequent nachgehen bis zu seiner ersten Entstehung. Aus dem Material, das uns diese Steine darbieten, sind wir berechtigt zurückzuschließen auf ihren früheren Zustand als Schwärme, als welche sie im Weltall freies Daseyn besaßen.

Was und welche Kraft dann das Heer in Bewegung setzte und alle seinen kleinen Individuen den Impuls zum Laufe durch das Weltgebäude oder doch durch unser Sonnensystem gab, wie andere Gestirne, das kann weiter nicht in Frage kommen. Für uns genügt hier, zu sehen, dass außer den Kometen und Kometenschweifen noch andere Schwärme im Sternengebäude möglich, und wahrscheinlich sind, ja nothwendig als vorhanden erschlossen werden müssen. Da muß es nun mehr als auffallend erscheinen, dass diese Schwärme, soweit sie Meteoriten angehen, alle Eigenschaften besitzen. welche wir an den Kometen und ihren Schweifen wahrnehmen. Sie sind wie diese, aus kleinen festen Körperchen bestehend, die kein Eigenlicht haben; sie sind bei hinlänglicher Ausbreitung und weiterem Abstande von einander durchgängig für das Licht; sie brechen es nicht, aber sie polarisiren es, wenn es von einem anderen Sterne auf sie trifft, etwa von der Sonne; sie lassen keine Phasen zu, weil das fremde Licht den losen Schwarm überall durchdringt: sie sind nach aussen und nach innen verschiebbar und jedem äußern Impulse nachgebend, daher jeden Tag veränderlich an Gestalt, und bei großer innerer Ausdehnung im Ganzen von geringem specifischen Gewichte. Eine dichtere stellenweise Aggregation kann aus der ungleichen Vertheilung der verschiedenen Grundstoffe und dem Walten ihrer Kräfte hervorgehen und so die Erscheinung von einem oder mehreren Kernen erzeugen.

Wir finden also in der Beschaffenheit und den davon abgeleiteten Entwicklungsgange der Meteoriten ganz auffallende Analogien für die Erscheinungen, die uns die Kometen darbieten. Und wenn es uns sichtlich gelingt, sie aus der Natur des vorliegenden Gegenstandes mehr und mehr zu vervielfachen, so betreten wir den Weg der Induction. Auf diesem werden wir bald dahin gelangen, beide große Erscheinungen der Identification nahe zu bringen. Ein Kometenkern und ein Kometenschweif, wie ihn die Wirklichkeit darbietet und soweit die Untersuchung reicht, zeigt sich in nichts mehr verschieden von einem Meteoritenktigelchenschwarm, wie er apriorisch erschlossen und hypothetisch zugelassen werden muß.

Man könnte einwerfen, ein Komet sey eine viel zu große und ein Meteorit eine viel zu kleine Erscheinung als dass eine Uebereinstimmung von ihnen zulässig wäre. Unterschied ist aber nur scheinbar und leicht aufzuheben. Wir kennen Kometen, die so klein sind, dass man sie mit den stärksten Fernröhren kaum erreicht. Wir besitzen aber Meteoriten, die so groß sind wie Pferde, wie Häuser, ja wie kleine Hügel. Einige der ersteren liegen in Mexico, in Brasilien, in Buenos-Avres; wie letztere sind einige am oberen Senegal vorhanden. Ohne Zweifel giebt es auch noch größere, welche etwa den Umfang der kleinsten Asteroïden erreichen. Und es ist noch nicht entschieden, ob nicht ganze Berge auf dem Erdboden liegen, die wir für Gegenstände der Geognosie halten, welche aber zerfallene mächtige Meteoriten sind. So eben erhalten wir z. B. Nachricht über Nordamerika, dass die Neger oberhalb Liberia Bergwerke in einem Gesteine anlegen, das reichlich Gediegeneisen enthalten soll. Muster von diesem Erze waren nach Boston gekommen, und wenn nicht alles trügt, so kann diess Bergwerk in nichts anderem, als in einem ungeheueren Meteorsteine angelegt worden seyn, den die dortigen unwissenden Léute vom festen Erdboden nicht zu unterscheiden wissen. Alles am Himmel ist ja nur eine Reihenfolge von Größen, vom Molekel bis zum Fixsterne. Die Kleinheit unserer täglich fallenden Meteorsteine und die scheinhare Größe des Donati'schen Kometen geben also keinen Grund zum Bedenken.

Vergleicht man Kometen und Meteoriten, den Zahlen nach, die wir kennen und weiter muthmassen, so spricht schon Lalande von 700 bekannten Kometen: Herschel bezeichnet ihre Zahl zu mehreren Tausenden. Brandes erwähnt vieler Tausende. Seit damals ist eine große Menge neuer Kometen beobachtet worden. Die bei Tage passirenden gehen ohne unser Mitwissen vorüber. Unzählige mögen so klein seyn, dass sie gar nicht wahrgenommen werden. Und es mag wohl seyn, dass ein Heer von 100,000 Kometen unsere Sonne umschweift. Vergleichen wir damit die Meteoriten, so ist berechnet worden, dass täglich ein und anderer niedergeht, und meine eigenen Berechnungen ergeben deren weit mehr mit vieler Wahrscheinlichkeit. Es müssen also auch die Meteoriten wenigstens in der Zahl von einigen Hunderttausenden innerhalb des Sonnensystems kreisen. Diese Zahlen, wenn auch nur approximativ, sind einander nicht unangemessen, und die Anzahl der Kometen steht nicht außer Verhältnis mit der muthmasslichen Anzahl der Meteoriten.

Wollte man einwenden, dass es Kometen auch ohne Schweif gebe, so würde dem entgegenzusetzen seyn, dass es auch Meteoriten ohne Kügelchen giebt, nämlich manche Eisenmeteoriten, und zwar alle diejenigen, welche theils eine krystallisirte, theils eine krystallinische Metallmasse ausmachen. Zu ersteren gehören Elbogen, Bemdego, Lenarto, Sevier, Coke-County, Carthago, Madoc, Putnam, Texas, Ruff, Durango, Burlingtou, Schwetz und viele andere; zu letzteren Clairborne, Senegal, Cap, Haupsmannsdorf, Arwa u. s. w.

Mit einigem Anschein von Gewicht könnte man mir entgegenhalten, dass die Meteoritensubstanz im Zustande

eines Kometen die Hitze beim Durchgange durch das Perihel nicht vertragen würde, welche die Sonnennähe ihr verursachte, und dass da alles zu Schlacke zusammenschmelzen müste. Allein diess wäre ungeachtet seines Anscheins von Triftigkeit nicht haltbar; denn schon Flaugergues hat dargethan, dass die Vorstellung, die man sich von der Größe dieser Hitze in der Sonnennähe macht, bei weitem übertrieben ist. Die Abkühlung einer so überaus lockeren staubartigen Masse von unter sich weit abstehenden Körperchen in luftleerem, funfzig negative Grade am Centesimalthermometer zählendem Raume fand er so groß, daß die Hitze kaum auf die des siedenden Wassers steigen kann. Man findet daher auch im Innern der Meteoriten keine Merkmale von Einwirkung großer Hitze, man sieht Schweseleisenkrystalle und Graphite mitten im Eisen liegen, wie in Bohumiliz, Lenarto, Coke-County u. s. w.

Es giebt aber Kometen mit zwei, ja mit mehreren Ker-Diess ist recht leicht möglich. Es ist ohne allen Anstand denkbar, dass in einem Schwarm von kleinen Körperchen, die sich zu verdichten auf dem Wege sind, nicht blos ein, sondern mehrere Agglomerationspunkte sich bilden und so mehrere Kerne entstehen. In der That habe ich bei genauer Prüfung vieler Meteorsteine gefunden, dass nicht alle Theilstücke eines Meteorsteinregens Bruchstücke von einer einzigen Steinmasse seyn können, sondern dass, schon ohne erst in der Atmosphäre vorgegangenen Bruch, mehrere Steine in unserer Erdnähe angekommen seyn müssen. So namentlich besitze ich einen Benares, der in der That alle Kennzeichen eines unversehrten Steines an sich trägt und folglich mit anderen ganzen Steinen gleichen Herkommens gemeinschaftlich in den Welträumen umhergegangen seyn muß. In dem Kügelchenschwarm, aus welchem er sich herausgebildet hat, mußten also mehrere solche Steine nebeneinander bestanden haben, das heisst im Sinne der Kometen, es müssen mehrere Kerne zugleich im Schweife gegenwärtig gewesen seyn. Ganz der gleiche Fall findet mit Siena statt, wo unter den gefallenen vielen kleinen

Steinchen sichtlich mehrere unzerbrochen in ihrer Urgestalt vorkommen. Auch die Eisenmeteoriten von Toluca zählen hierher. Kometenschweife und Meteoritenpartikelschwärme unterscheiden sich hierin auf keine Weise, beide haben doppelte und mehrfache Kerne.

Man hat mir vorgehalten, dass wir bereits mit unserem gesammten Erdballe durch einen Kometenschweif durchgegangen seyen und nichts davon bemerkt haben. Wenn dieser aus concreten Körperchen, etwa Kügelchen, bestanden haben würde, müfsten wir davon wohl derb betroffen worden seyn. Diess ist ein großes Misskennen der Thatumstände. Die Durchsichtigkeit der Kometenschweise ist so grofs, dass die festen Partikelchen, aus denen er besteht, nur sehr klein und weit auseinander abstehend gedacht werden dürfen. Hr. Mädler nennt sie »höchst feine staubförmig zerstreute Theilchen; die Dichtigkeit eines Kometen im Ganzen müsse viele Millionenmal geringer sevn, als die unserer verdünntesten Luft.« Ein Kometenschweif kann also solchen Staub und Kügelchen nur in der Weise besitzen, dass ein Kernchen von dem andern zehn, funfzig, oder gar hundert und mehre Schritte entfernt gedacht werden muß. Gesetzt nun, wir passiren durch einen solchen Schweif und alle hundert Schritte fällt ein Stäubchen, ein Mohnkorn, ein Sandkörnchen nieder, und diess für jeden Ort in Zwischenzeiten von Stunden und Tagen, wer wird das bemerken? und wenn es unter Tausenden Einer bemerkt, dass auf ihn ein Sandkörnchen gefallen, wohin wird er dabei denken? Etwa an eine Störung im Sonnensystem? - Kein Mensch wird derlei gewahren, vielweniger darauf achten.

Auch die große Verschiedenheit, die unter den Kometen beobachtet wird, könnte der vermeintlichen Gleichartigkeit der Meteoriten entgegengehalten werden. Allerdings sind diese immer nur Steine und Eisen, für den ungeübten Beschauer ein bischen dunkler oder heller, woran wenig liegen könnte. Aber mit nichten! Die Meteoriten sind vielmehr von einer reinen Steinmasse beginnend bis zu einer reinen Metallmasse fortschreitend so ungemein verschieden

unter sich nach Form, Größe und Bestand, daß bis jetzt nicht ein Einziger von 150, die wir ungefähr haben, dem andern vollkommen gleicht, und der Unterschied unter ihnen mindestens eben so groß ist als der unter den Kometen.

Durch alles dieses bin ich zu der Ansicht gelangt und glaube ihre Mittheilung nicht ohne einige Begründung wagen zu dürfen, dass die Kometen und die Meteoriten nichts anderes, als eine und dieselbe Erscheinung seyn möchten. Die Kometen erscheinen dann als in der Bildung begriffene Meteoriten. Scheut man sich nicht davor, bis zu dem ersten Anfange aller Dinge zurückzugehen, so kann man sich hierbei an die bekannte Laplace'sche Theorie, an sein Système du Monde auschließen und ihm hier weitere Aus-Seine Nebelmassen können wir, in der bildung geben. Kenntnis von der Natur der Grundstoffe um die Ausbeute von 70 Jahren vorgeschritten, nunmehr füglich als im leeren Raume zerstreute Atome betrachten, wovon jedes vom anderen in beträchtlicher Entfernung abstand. Da ihnen alle die Kräfte und Neigungen innewohnten, die sie uns noch heute überall zeigen, Schwere, Affinität, Dualism, so kamen langsam Zeiten heran, welche die Bande ihrer Isolirung lockerten, und, nach Laplace, die Stoffe den Impulsen dieser Kräfte allmählich überliefsen. Ihnen nachgebend näherten und vereinigten sie sich; es entstanden die ersten kleinen zahllosen Gebilde, und diese konnten wohl nichts anderes seyn, als kleine und kleinste Krystalle, wie wir sie in den Meteoritenkügelchen zu Gesichte bekommen. bildeten sich in der Weise, wie wir noch täglich den Schnee sich bilden sehen. Und wie seine Flocken, der Schwere folgend, als ein Schwarm von kleinen Partikelchen eine gemeinsame Strömung dem Erdboden zu einschlagen, so schlugen jene Kryställchen, irgend einem ersten Stosse und der allgemeinen Gravitation nachgebend, einen Zug durch das Weltgebäude ein, wie wir ihn jetzt an den Kometen und so fort an allen Weltkörpern, uns selbst dabei nicht ausgeschlossen, stündlich vor Augen sehen. Sie traten haufeu-

weise als ungeheure Schwärme in Bewegung und als selche nennen wir sie, wo wir ihnen im Sonnensysteme begegnen. Kometen. Innerhalb dieser Irrsterne gewahren wir Verdichtungskerne und schließen daraus mit einiger Wahrscheinlichkeit, dass der innere Zustand kein stabiler. sondern ein im Verdichtungsgeschäfte fortfahrender sey; das der Kern auf Kosten des Schweifes zunehme und ihn vielleicht nach und nach ganz absorbire, der Komet somit sich endlich ganz consolidire. Hier machen wir allerdings eines Sprung im Schließen. Allein da kommen uns die Metesriten zu Hülfe. Sie erscheinen plötzlich als fertige feste Körper aus dem Weltraume her auf der Erde. Wir prüfen sie und finden sie ganz voll von Kügelchen, also als ein Verdichtungsprodukt von unzähligen Körperchen, wie wir sie uns in den Kometen zu denken genöthigt sind. Ja noch mehr, wir finden in ihnen eine Menge kleinerer und größerer Krystalle, im Meteoriten von Richmond, von Juvenas u. a. m., so ausgebildet, dass ihre Seiten und deren Winkel mit dem Goniometer messbar werden, in dem von Hainholz so groß, dass wir den Zollstab daran aulegen, im Pallas so schön und vollendet, dass wir aus der Krystallform das Mineral zu bestimmen im Stande sind. Und wo wir keine Kügelchen, zuletzt keine Steinsubstanz mehr vor uns haben, da beginnen die schönen krystallinischen Eisenmassen, wie Lenarto, Burlington, Toluca, Agram, Bohumiliz, Caryfort, Elbogen, Seeläsgen, Ruff, Schwetz u. s. w. Alles ist also aus der Hand der Krystallisation hervorgegangen, und wie wir in Kügelchen und Kryställchen außerst kleine Bildungen dieser Kraft haben, welche der Substanz der Kometenschweife entsprechen, so besitzen wir an den großen Eisenmassen die Analogie für die Kerne und schweiflosen Kometen: wir besitzen endlich an diesen Massen die thatsächlichen Beweise der Verdichtung und Aggregation früherer selbstständiger kleiner Gebilde, und erfahren aus ihnen, dass unsere Vermuthungen über die Möglichkeit weiterer Condensation schwarmförmiger, präformirter, für sich ausgebildeter fertiger Körpercher nicht weiter ein Gedanke

und Muthmassung, sondern ein apodiktisches Urtheil, dass sie mit einem Worte eine wissenschaftliche Thatsache sind. So finden wir uns denn unabweislich dahin getrieben, die Kometen mit ihren Schweifen als Baumaterial für Meteoriten anzusehen, ihr Geschäft in der Welt als Bauarbeit zu betrachten und ihr endliches Erzeugniss als den Aufbau eines Meteoriten zu erkennen. Ein Meteorit ist aber, wie wir wissen, nichts anderes als ein kleiner Planet, der wieder nichts anderes zur Bestimmung hat, als, wie wir täglich sehen, mit einem größeren Planeten sich endlich zu vereinigen und das Verdichtungsgeschäft der Welt um eine Stufe weiter vorwärts zu bringen. So kommen wir also, einer Kette von vorliegenden Thatsachen folgend, auf ziemlich geradem Wege vom im Weltraume isolirten Stoffatomen zu kleinsten Krystallen, zum Kometenschweife, zum Kometenkenkerne, zum Meteoriten und zum Planeten, auf dem wir umherkriechen, - alles an der Hand festbegründeter Naturgesetze.

Es bleibt mir noch zu erörtern, warum denn nach dieser Theorie die Meteoriten nicht aus lauter Krystallen mit reiner Oberslächenausbildung, warum größtentheils aus Kügelchen bestehen, was nicht in der Ordnung der Krystallisationsgesetze und ihrer Ausprägung in der Natur liegt, die nur eckige und kantige Formen erzeugt; ich werde zeigen, dass dieser Umstand, weit entsernt meinen Ausichten Eintrag zu thun, vielmehr wesentlich dazu beiträgt, sie zu unterstützen. — Betrachtet man nämlich eine Reihe von Meteoriten auf dem Bruche, so sieht man bald, dass sie nichtsweniger als ruhig gebildete, oder auch nur einigermaßen geordnete Körper sind, wie die meisten gewöhnlichen Steine, die wir vom Erdboden auflesen; sondern dass sie ein sehr unruhiges, verwirrtes Erzeugniss, ja meist nichts anderes als eine wahre Breccie ausmachen. Man gewahrt Quetschungen, Verdrückungen und Verwerfungen bisweilen so deutlich, als ob die Steine Abbilder von unseren Bergwerken wären; ich führe als auffallende Beispiele die Steine von Doroninsk, L'Aigle, Ensisheim, Agen, Killeter, Chantonnay,

Weston, Lizna und von Blansko an. Manche sind voll großer grauer und weisslicher Flecke, wie Weston, Gütersloh, Blansko; gelblicher und brauner, wie Mains, Chantonnay. Alle erscheinen auf dem Bruche wie ein Trümmergestein, nicht von sehr verschiedenartigem Material, sondern meist aus größeren und kleineren Stücken von dem Meteoriten selbst. Ja man gewahrt viele, an welchen eine gewaltsame Reibung über Flächen stattgefunden hat, die bald klein, bald groß wie eine halbe Hand sind. Für sich allein wären sie ganz unerklärlich und haben bis jetzt als eine große Unbegreiflichkeit an den Meteoriten gegolten. Sie sind nicht blos äußerlich, sondern durchziehen manche Steine innerlich nach allen Richtungen und bilden ein sprechendes Wahrzeichen von mechanischer Gewalt, die sie vielfältig erlitten haben. Wenn man einen etwas eisenhaltigen Meteorstein mit einem Steinmeissel zerhaut und der Meissel an den getrennten Flächen herabgetrieben wird, so bringt er Streifen hervor, die mit dieser Erscheinung öfters so große Aehnlichkeit haben, dass nur ein Kenner sie unterscheidet. So bei Limerik, Lixna, L'Aigle, Tipperary, Blansko, Bishopville, Barbotan, Seres, Ensisheim, Hartfort, Forsyth, Yorkshire, Tabor, Atakama u. a. m. Es folgt hieraus, dass die Conglomeration der Meteoriten, nachdem die kleinen Partikeln bereits gebildet waren, ganz augenscheinlich nicht immer in großer Ruhe, sondern unter Mitwirkung von allerlei gewaltsamen Druck und Stoss, also in einem wechselnden Gedränge von mitunter sehr derber Art, vor sich gegangen ist, das nicht blos Spuren hinterlassen, sondern ganz wesentliche Einwirkung auf die Gestaltung der unter seinem Einfluss gebildeten festen Steine ausgeübt hat. Diess ist auch nicht anders möglich und sosort sehr einleuchtend, wenn man Kometen täglich betrachtet. Man sieht dann, wie alle seine Theile beweglich sind und das ganze Gestirn in einem beständigen Wechsel innerer Gestaltung sich befindet. Seine näheren Bestandtheile müssen also in einer fortdauernden Unruhe sich befinden, in dieser unter einander sich treffen, sich häufen, sich stoßen, sich

reiben im Kerne sich drängen, quetschen, verletzen, brechen und wieder zusammendrücken. Wie viele Milliarden von Jahren und mit welcher zeitweiligen Stärke diess fortgedauert haben mag, muss dahingestellt bleiben. gebniss dieser inneren Unruhe kann dann kein anderes sevn. als dass die Kometenkerne als eine Breccie sich formen, die im Schweife schwebenden kleinen ursprünglichen Kryställchen aber, wo sie so zusammengedrängt werden, ihre Spitzen und Kanten an einander gegenseitig abreiben, und endlich ebenso als abgerundete Kügelchen übrig bleiben müssen, wie wir in unseren Flussbetten unsere härtesten Kiesel als abgerundete Geschiebe finden. Das Abreibsel davon ist dann feiner Sand und Staub, und in der That bestätigt auch hier wieder der Erfund aufs Beste die Theorie; denn die Meteoriten bestehen dem Hauptbestandtheile nach aus einer Art von erdigem Grunde, der nichts als ein mehr oder minder feiner Staub ist, unter dem Mikroskope wieder nur aus krystallinischen Flitterchen bestehend, die mit der Substanz der Kügelchen meist mit Olivin sich chemisch gleich verhalten. Die Kügelchen sind also nichts anderes, als abgerundete Geschiebe und Ueberbleibsel früherer eckiger Krystalle, wovon sie noch jetzt das Wahrzeichen in ihrem krystallinisch blätterigen Gefüge in sich tragen.

Ich habe oftmals größere Meteorsteine mit zweiselhaften Blicken betrachtet, wenn ich auf ihren Urseiten die Spuren ganz glatt weggeschnittener Kügelchen sah. Sie waren wie mit einem Bartmesser glatt mitten durchschnitten, und die Durchschnittssläche lag genau in der Obersläche der Uraussenseite des Steines. So Lissa, Benares, Chantakapur Heredia, Politz u. a. m. Wie war diess möglich? wie konnte diese Erscheinung entstanden seyn? Vergebens zerbrach ich mir Jahre lang den Kopf darüber. Ebendahin gehört die auffallend glatte Ebnung aller Urslächen der Meteoriten, selbst der Eisenmeteoriten, im Vergleiche mit der rauhen Aussensläche aller Lustbruchseiten. Es gab keine Lösung für diese Räthsel, die mich einige Jahrzehnte sol-

terte. So lange wir hierüber uns nicht Rechenschaft geben konnten, blieb die Geschichte der Meteoriten für uns noch in das tiefste Dunkel gehüllt. Der Anblick des Donati'schen Kometen hat sie mir klar gemacht: es ist die Reibung an den übrigen Meteoritentheilen, welche diese Glätte, diesen Abschliff der hervorragenden Kügelchen bewirkt hat, und zwar in der Zeit, da derselbe als Kometenkern mitten in seinem unruhigen Schweife, dessen Partikelchen gegen ihn rieben, seine Sonnenreisen machte.

Da die Steinmeteoriten solchergestalt aus Staub, Grus, Kügelchen, Trümmern aller Art bestehen und nur wenige noch so reine Antheile enthalten, wie der Hainhols mit seiuen großen Krystallen, so entsteht wohl noch die Frage. durch welches Bindemittel, durch welchen Kitt alles dieses Gemengsel zu festen Steinen zusammengeheftet worden sey? Denn alle diese Bruchtheile können ja nicht an einander haften, ohne ein gemeinsames Verbindungsglied. - Hier muss ich zuerst bemerken, dass in der That in vielen Meteorsteinen die Masse nicht eben allzufest in sich verbunden ist, ja dass es manche giebt, die sich ziemlich leicht bröseln. Dahin gehört Bishopville, Benares, Czartorya, Mauerkirchen, Lontalax, Weston, Atakama, Divina, Aumières. Alais, Borkut u. a. m. Dann bildet der Eisengehalt, der häufig den ganzen Stein wie ein körperliches Netz durchdringt, einigermassen ein Bindemittel für die steinige Endlich muss ich an einen hieher bezüglichen Versuch eines Physikers erinnern, dessen Name mir entfallen ist. Er pülverte Reisblei ganz fein, gab es in einer Röhre unter die Luftpumpe und zog die Luft gänzlich aus. In diesem Zustande gab er dem Graphitpulver einige mäßige Schläge, mit denen er die lockere Masse zusammentrieb. Als er es aus der Pumpe hervornahm, war das Pulver so fest zusammengegangen, dass er es wieder schneiden und handhaben konnte, wie gewöhnlichen ganzen Graphit '). Es folgt hieraus, welch großes Hinderniß die atmosphärische Luft der Adhäsion und sofort der Cohäsion getrennter Theile entgegensetzt und dass, so wie jene entsernt ist, es Ergänzbd. II, S. 362. P.

wenig bedarf, dass die Körper sich fest aneinander anhängen. Die Kometen und Meteoritentheile befinden sich im Weltraume in absolut luftfreier Leere. Wenn sie nun einander genähert, durch Stoss und Druck an einander getrieben und so in mancherlei Richtung vereint werden, so werden sie, später in unsere Atmosphäre und unter ihren Druck hereingebracht, nach jener Beobachtung sicherlich so fest aneinander haften, als dort das Graphitpulver, und folglich einen mehr oder weniger festen Stein ausmachen.

Man hat mit den neuesten Teleskopen Nebelslecke in Fixsterngruppen aufgelöst; aber man hat nie gehört, dass Kometenschweise in ihre Bestandtheile zerlegt worden wären. Es wird diess auch nie gelingen, sie sind nach dieser Auseinandersetzung so ausserordentlich klein und zuletzt staubsein, dass sie auch bei großer Annäherung eines Kometen an die Erde niemals werden getrennt erblickt werden können.

Kepler schon, dann Herschel, Laplace und ihre Nachfolger huldigten alle der Meinung, dass die Kometenschweife allmählich abnehmen, indem sie sich nach und nach in die Welträume zerstreuen. Kepler lässt sie gar Dem Abnehmen kann ich beipflichten, » denique mori. « aber das Zerstreuen und Verlieren kann ich nicht verstehen. Wenn der Komet seinen Schweif wo immer her bekommt. so muss er doch wohl seinen Anziehungskräften nach dem weitern Transport desselben gewachsen gewesen seyn. Er wird aber aus seinem Schweife seinem Kerne fort und fort zugelegt und diesen auf Kosten von jenem vergrößert haben. Wenn man also bemerkt hat, dass Kometen, z. B. der Halley'sche, bei ihren wiederholten Besuchen mit immer schwächerem Schweise zurückkehren, so wird man genau darauf achten müssen, ob nicht der Kern jedesmal verhältnismässig größer erscheine. Es ist doch ziemlich unwahrscheinlich, dass ein solches Gestirn von seinem Gebiete Provinzen verlieren sollte, die dann herrenlos im leeren Raum herumirrten.

Ob ein Meteorit ganz allein zu uns komme, oder ob er

458

noch einen Rest von Schweif mitbringe, ist für jetzt unausgemacht. Soviel weiß man, daß er bei Nacht einen langen feurigen Schweif auf seinem Wege hinterläßt, der öfters lange angeblich mehrere Minuten am Himmel stehen geblieben seyn soll, ehe er nach und nach gänzlich erlöschte. Bei seiner Ankunft an der Erdoberfläche besitzt er nichts mehr davon, darüber stimmen alle Berichte der Augenzeugen überein.

Auf die Materie, aus welchen die Kometen bestehen, haben wir nun einigen Anhalt zu schließen. In etwa 100 Meteoriten, welche chemisch zerlegt worden sind, und auf welche Männer wie Berzelius, Wöhler und andere unserer ausgezeichnetsten Scheidekünstler große Sorgfalt verwendet haben, hat man unerwarteter Weise noch niemals einen Grundstoff entdeckt, der uns auf der Erde nicht schon längst bekannt gewesen wäre. Sind nun die Meteo. riten Abkömnlinge von Kometen, so haben wir vieles Recht zu schließen, dass auch diese, ungeachtet ihres seltsamen Aussehens, aus nicht anderem bestehen, als aus denselben Stoffen, die wir jeden Augenblick vor uns haben, aus Kieselerde, Talkerde, Kalkerde, Thonerde, Eisen, Nickel Mangan, aus Sauerstoff, Kohlenstoff u. s. w. Sie verlieren von dem Nimbus, den ihnen unsere Phantasie beilegte, und bestehen allem Ansehen nach aus nichts als aus profanem Erdenklose.

Es kann vielleicht auffallen, dass diese oder ähnliche Ansichten nicht schon längst ausgesprochen worden sind, und diess könnte Zweisel auf sie wersen. Eher aber möchte es besremden, dass die Astronomen bis jetzt die Meteoriten fast gar keiner Ausmerksamkeit werth gesunden haben; in den meisten astronomischen Lehrbüchern sindet man sie entweder kurz abgesertigt, oder gar nicht erwähnt, als ob sie nicht ein Gegenstand der Astronomie wären; sie werden den Mineralogen und Chemikern überlassen. Und doch sind sie Himmelskörper, die desselben Weges daher gezogen kommen wie die Kometen, wie Jupiter und Saturn, wie wir selbst mit dem Planeten, auf dem wir wohnen. Der

Grund hievon liegt jedoch schwerlich in dem Mangel an Interesse für den Gegenstand, sondern sicherlich in dem Mangel an Gelegenheit, sich über das Wesen der Meteoriten zu unterrichten, und einigermaßen autoptische Kenntnisse davon zu sammeln. Es nützt wenig, einen oder etliche Meteorsteine einmal gesehen zu haben; man muß das Ganze ihrer Erscheinung umspannen, man muß alle Arten von Meteoriten mit ihren verschiedenen Charaktern beisammen haben, und das ist nicht ohne Schwierigkeiten. giebt nur wenige umfassende Sammlungen davon in der Die größte ist die kaiserliche in Wien. Die ihr zunächst nahe kommende ist wohl die Meinige, die jetzt 114 Lokalitäten zählt, worunter viele große Exemplare, mehrere von Zentnergewicht. Sie ist jetzt verschenkt an die Universität zu Tübingen. Die der Universität zu Berlin gehörige erreicht sie an der Zahl beinahe, steht ihr aber an Größe der Exemplare um vieles nach, dann folgt die des brittischen Museums, endlich die kaiserliche zu Paris, beide letztern jedoch viel ärmer an Zahl. Außer diesen existiren keine Sammlungen von Belang. Wer eine solche Sammlung zum erstenmale sieht, gewahrt zunächst nichts Reizendes; er überblickt graue und schwarze unscheinbare Steine, meist wie Grauwacken, die zwar durch den Namen Metcorsteine Aufmerksamkeit erwecken, bei oberslächlicher Beschauung aber diese nicht befriedigen. Erst bei genauerem und längerem Studium treten ihre Verschiedenheiten und ihre wichtigeren Beschaffenheiten hervor. Aber wo hat man Gelegenheit, solche Studien zu machen? Die außerordentliche Kostbarkeit dieser Steine legt den Custoden schwere Verantwortlichkeiten auf und erschwert die freie Zulassung zu diesen seltenen Schätzen, ohne welche sie doch so nutzlos gefangen im Kasten liegen, wie einst, da sie in schrankenloser Freiheit durch die öden Welträume So geschieht es denn, dass die Astronomen wenig Notiz nehmen können von Sternen, die statt mühselig mit Fernröhren aufgesucht werden zu müssen und nur dürftig erkannt werden zu können, vielmehr freiwillig auf der Erde

einkehren, uns in den Schoofs geflogen kommen, und mit Händen, mit Hammer und Schlägel bearbeitet werden können, Rechenschaft geben von Zuständen jenseits unseres Erdballs, Kunde bringen von der Physik des Himmels, uns Anleitung geben zu Schlüssen auf das unzugängliche Innere unseres Planeten, ja statt des Teleskops das Mikroskop auf sich in Anwendung bringen lassen. Jede Sternwarte sollte eine Sammlung von Meteoriten besitzen, sie wäre nichts geringeres als eine Sammlung von Sternen.

VI. Versuch zur Interpretation der von Brewster im Jahre 1826 in krystallisirten Mineralien entdeckten, sehr expansibeln Flüssigkeiten; von R. Theodor Simmler,

Assistenten am chemischen Universitäts Laboratorium zu Breslau.

Vor mehr denn dreissig Jahren publicirte Brewster in mehreren Aufsätzen höchst interessante Untersuchungen über das Vorkommen von Höhlungen und Flüssigkeiten in Krystallen verschiedener Mineralien 1).

Es waren meist Topase, Quarze, Amethyste, in denen Höhlungen, theils leer, theils mit Luft einer oder mehreren Flüssigkeiten angefüllt, vorkamen. Doch wurden sie auch mit oder ohne Flüssigkeiten in Kalkspath, Cölestin, Schwerspath, Flufsspath, Granat, Schwefel, Analcim, Chabasit-Krystallen und selbst in Diamanten angetroffen (hierüber S. 484 am angeführten Orte). Die Untersuchung der letzteren hat Brewster bekanntlich auf seine eigenthümliche Ansicht von der Bildung dieses Edelsteins geführt, zufolge welcher er ein erstarrtes gummiartiges Secretionsprodukt einer Pflanze, ähnlich dem Tabasheer seyn sollte 2).

¹⁾ Als Auszug und Uebersetzung von Poggendorff, zu finden in diesen Ann. Bd. VII, 1826. S. 469 u. 489.

²⁾ Diese Ann. Bd. XXXVI, 1835. S. 564; ebend. Bd. XCI, 1854. S. 605.

Bei obigen Untersuchungen erweckten besonders die eingeschlossenen Flüssigkeiten durch auffallende physikalische Eigenschaften ein höheres Interesse. Es fanden sich oft in ein und derselben Höhlung eines Quarzes oder Topases zwei Flüssigkeiten, wovon die eine specifisch schwerer und wenig ausdehnsam, die andere specifisch leichter und äußerst expansibel war. Die erste besass das Lichtbrechungsvermögen des Wassers und war aller Wahrscheinlichkeit nach solches; die andere aber hatte ein geringeres Lichtbrechungsvermögen. Der berühmte Physiker hat sogar alle diese physikalischen Größen auf sinnreiche Art gemessen: aber trotzdem scheint er doch über das Wesen der expansibeln Flüssigkeit im Zweifel geblieben zu seyn. Sie zeigte auch beim Oeffnen der Höhlen ein verschiedenes Verhalten; bald verflog sie augenblicklich und spurlos, oder sie trat langsamer aus der Höhle und ließ beim Verdunsten einen Rückstand. Es werden im zweiten Aufsatze von Poggendorff noch zahlreiche Fälle citirt, wo andere Beobachter in anderen Substanzen solche Flüssigkeiten wahrnahmen und untersuchten; aber Poggendorff schliesst das Referat selbst mit den Worten: »Was dieses alles für Flüssigkeiten gewesen seyn mögen, muss bis jetzt dahingestellt bleiben, vielleicht führt der Zufall sie einmal in die Hände eines geschickten Chemikers.«

Dieses Ereigniss scheint bis jetzt noch nicht eingetreten zu seyn und darum glaube ich, ist es wohl erlaubt, in Ermangelung einer Gelegenheit zu experimentellen Forschungen, mit einer Ansicht über das Wesen einiger der expansibeln Flüssigkeiten hervorzutreten, die ich aus den Brewster'schen Beobachtungen über die physikalischen Eigenschaften derselben selbst geschöpft habe.

Die expansible Flüssigkeit halte ich in mehreren der Brewster vorgekommenen Fälle für liquide Kohlensäure. Was lässt sich zur Stützung dieser Ansicht vorbringen?

Das erste, was Brewster an erwähnten Flüssigkeiten in Topasen, Chrysoberyllen, Quarzen von den verschiedensten Punkten der Erde untersuchte, war das Ausdeh-

nungsvermögen. Ein Mittel aus mehreren Versuchen ergab, dass die Flüssigkeit von 50° bis 80° F., d. h. von 10° C. bis 26°,7 C. sich um ¼ des anfänglichen Volums ausdehne. War das Volum bei 10°=1,00, so war es bei 26°,7=1,25. Diess ist eine bemerkenswerthe Ausdehnung, wozu wenig Beispiele aus den Handbüchern der Chemie und Physik aufzufinden sind. Nach Hällström's und Kopp's fast übereinstimmenden Tabellen ist das Volum des reinen Wassers bei 10° C. = 1,000145, bei 26°,7 C. = 1,003190 oder

Hieraus ersehen wir, dass sich die expansible Flüssigkeit der Krystalle innerhalb gleicher Temperaturgränzen 83 Mal stärker ausdehnt als Wasser.

Die Tabelle der Ausdehnungscoöfficienten von Flüssigkeiten ist im Allgemeinen noch nicht sehr groß und sie umfaßt besonders nur wenige Liquida, die blos unter mehreren Atmosphären Pression flüssig bleiben.

Thilorier, der im Jahre 1835 zuerst die liquide Kohlensäure pfundweis darstellte und ihre physikalischen Eigenschaften studirte, giebt an, dass diese äußerst expansible Flüssigkeit sich von 0° C. bis 30° C. von 100 Volumen auf 145 Volumen ausdehne. Es sind diess nahezu dieselben Gränzen der Temperatur wie die, zwischen denen Brewster seine Messungen gemacht hat. Es ergiebt sich hieraus der Ausdehnungscoëfficient der flüssigen Kohlensäure pro 1° C. = 0,015. Wie groß war mein Erstaunen, als ich diese Zahl so nahe übereinstimmen sah mit dem Coëfficienten der Brewster'schen expansibeln Flüssigkeit, welcher = 0,01497 für 1° C., natürlich zwischen den Gränzen 10° und 26,7° C. Was ich schon nach der Durchlesung des Aufsatzes halb und halb vermuthet, das bestätigte also die Rechnung auf eine überraschende Weise. Wenn wir auch wohl annehmen dürsen, dass besonders die Thilorier'schen Versuche eine allzugroße Genauigkeit nicht besitzen, so ist doch die Annäherung so auffallend,

dass man meinem Ausspruch mehr als den Werth einer blossen Fiction zuschreiben wird.

Dass Brewster zur Zeit nicht schon selbst auf dieselbe Vermuthung kam, mag daran liegen, das die liquide Kohlensäure erst kurz vor seinen Untersuchungen von seinem berühmten Landsmanne Faraday entdeckt wurde. Seither mögen bei den Chemikern die Brewster'schen Arbeiten in Vergessenheit gerathen seyn, wenigstens bin ich beim Durchblättern der chemischen und physikalischen Literatur bis zum Jahre 1826 nirgends auf eine Bemerkung, weder von Brewster noch einem anderen Forscher gestossen, die an das Wesen jener expansibeln Flüssigkeiten in Krystallen erinnert hätte.

Wir wollen jetzt die Brewster'sche Arbeit von 1826 etwas genauer durchgehen, vielleicht zeigt sich auch in anderen Eigenschaften der expansibeln Flüssigkeit eine Uebereinstimmung mit demjenigen, was man bis jetzt von der liquiden Kohlensäure weiß.

Nach der Bestimmung des Ausdehnungsvermögens schritt Brewster zur Bestimmung des Brechungsverhältnisses. Er fand es geringer als das des Wassers, indes nicht bei allen Flüssigkeiten gleich. Bei einem sibirischen Amethyst = 1,1106, bei einem brasilianischen Topas = 1,1311. Ich konnte bis jetzt nirgends Zahlenwerthe für das Brechungsverhältnis der liquiden Kohlensäure finden. Davy und Faraday sagen, sie breche das Licht viel schwächer als Wasser, nach Niemann bricht sie das Licht fast so stark als Wasser¹).

Nach Brewster, der selbst eine Zusammenstellung der Brechungsverhältnisse mehrerer Substanzen giebt (S. 492, unter andern auch das des wenig früher als CO² liquificirenden Cyans) ist das Brechungsverhältniss des Wassers = 1,3358, also bedeutend größer als das der expansibeln Flüssigkeiten.

Thilorier und Mitchell beschreiben die tropfbare Kohlensäure als nicht mischbar mit Wasser, sie soll sich über demselben lagern wie Aether, dasselbe erzählt Brewster

¹⁾ Gmelin's Handbuch d. Chemie. 5 Aufl. 1852. Bd. 1, S. 545.

won den expansibeln Flüssigkeiten; es ist nämlich schon erwähnt worden, dass das wenig ausdehnsame Liquidum allen Eigenschaften zusolge Wasser, resp. eine wässerige Lösung von sesten und gasigen Stoffen war.

Ueber die bedeutende Spannung, denen die Flüssigkeiten in den Krystallhöhlen bisweilen ausgesetzt sind, giebt folgende Notiz S. 499 der Brewster'schen Arbeit Zeugnis: "Ein sehr merkwürdiger Fall dieser Art begegnete dem Sohne des Herrn Sanderson, als derselbe einem Quarzkrystall von Quebeck in den Mund nahm. Selbst bei dieser geringen Erwärmung zersprang der Krystall und verwundete jenem den Mund. Die ausgeslossene Flüssigkeit hatte einen sehr unangenehmen Geschmack."

Ein Seitenstück hierzu bietet die Bemerkung am Schlusse S. 514, dass Hr. Sokolow beim Zerschlagen eines Bergkrystalles, in welchem eine Flüssigkeit eingeschlossen war, einen Knall gehört und bemerkt haben will, dass das Taschentuch; das er beim Zerstossen in der Hand hatte, an mehreren Stellen wie von Säure zerfressen war. Es stimmt diese Aussage theilweise mit derjenigen Thilorier's über die tropfbare Kohlensäure, nach welcher ein Gramm beim Oeffnen des Gefäses eine so starke Explosion macht, wie I Gramm Schießpulver.

Wir sehen, auch in Bezug auf andere physikalische Verbältnisse nähern sich die expansibeln Flüssigkeiten der tropfbaren Kohlensäure mehr als einem sonst bekannten Liquidum; indes wollen wir auch auf der andern Seite berücksichtigen, dass allerdings beim Anbohren der Höhlungen sich nicht immer die zu erwartenden Erscheinungen zeigten; vielleicht finden wir auch einen Grund zur Erklärung dieser Anomalie. So wird z. B. nie erwähnt, dass man eine beträchtliche Erkältung des Minerals wahrgenommen hätte, selbst wenn die Flüssigkeiten augenblicklich verschwanden (vgl. S. 508 Anm.) und wenn einmal eine weise schwammige Masse zurückblich, wie bei der Beobachtung des Hrn. Northrop beim Zerschlagen eines Hornsteines, so war es, nach der Aussage, nicht seste Kohlen-

säure, sondern Kieselerde mit untermengten Quarzkrystallen, die aus der Flüssigkeit angeschossen seyn sollen (S. 512).

Zu bemerken ist hier allerdings, dass man damals von fester Kohlensäure noch keine Ahnung hatte, da sie erst 1835 von Thilorier bekannt gemacht wurde. Es ist daher wohl möglich, dass man das Phänomen übersehen, die mit Kieselerde vermengte feste Kohlensäure konnte in kurzer Zeit verdunstet und erstere allein zurückgeblieben sevn. Uebrigens darf man sich von den erkältenden Wirkungen der vorauszusetzenden flüssigen Kohlensäure nicht zu große Vorstellungen machen, da sie in den meisten Fällen in den Krystallhöhlen, die selbst äußerst klein waren, kaum zu einigen Milligrammen vorhanden seyn mochte. Einige der expansibeln Flüssigkeiten traten nach dem Anbohren der Höhlungen ganz langsam an die Obersläche, breiteten sich daselbst aus und geriethen in eine rotirende Bewegung. Sollte diese Erscheinung nicht zu erklären seyn durch Annahme des sphäroidalen Zustandes? Natterer hat ja auch tropfbares Stickoxydul in einem offenen Trinkglase einige Zeit lang aufheben können ').

Die chemischen Untersuchungen der Flüssigkeiten und eingeschlossenen Luft, obwohl von dem großen H. Davy unternommen, können bei den erschwerenden Umständen wohl nicht sehr entscheidend sevn. Kohlensäure schien man gar nicht vermuthet zu haben, denn es heist S. 486 Anm.: » Die Flüssigkeit in den von Davy untersuchten Höhlungen trübte die Lösungen des salpetersauren Silbers und salzsauren Baryts nur schwach; « weshalb Davy sie für reines Wasser ansah. Die Gase der Vacuolen sollen reines Stickgas gewesen seyn, obschon mitunter auf das 63 fache verdichtet. Von coërcibeln Gasarten, die etwa in der Natur noch vorkommen, könnte man an Schwefelwasserstoff, Phosphorwasserstoff, Chlorwasserstoff, Ammoniak, schwefelige Säure denken; ein jeder dieser Körper hätte sich aber beim Oeffnen der Höhlen durch seinen frappanten Geruch auch in den kleinsten Mengen zu erkennen gege-

¹⁾ Diese Ann Bd. LXII, S. 132.

ben; davon wird weder von Brewster noch Davy etwas erwähnt.

Um also meine bereits ausgesprochene Ansicht zu repetiren, so halte ich die meisten, wo nicht alle, der expansibeln Flüssigkeiten, von denen bei Brewster die Rede ist, für liquide Kohlensäure. Aller Wahrscheinlichkeit nach besitzt diese ein nicht geringes Auflösungsvermögen für viele Mineralsubstanzen. (Ich erinnere an den Schwerspath des Hrn. Nicol, den Hornstein des Hrn. Northrop u. a.; S. 511 und 514 Anm.)

Die schwere und wenig ausdehnsame Flüssigkeit war, wofür sie auch Brewster hält, Wasser, das aber mit Kohlensäure imprägnirt seyn mußste und feste Stoffe gelößt enthalten konnte. Vielleicht ist gerade der verschiedene Gehalt an aufgelösten Stoffen Ursache, daß die expansibeln Flüssigkeiten verschiedener Krystalle in ihren physikalischen Eigenschaften einigermaßen von einander abwichen.

VII. Ueber das Problem der Diamantbildung; von R. Th. Simmler.

Ich habe im Vorhergehenden plausibel zu machen gesucht, dass die von Brewster entdeckten Flüssigkeiten von auffallend hohem Ausdehnungsvermögen liquide Kohlensäure seyen, durch aufgelöste Mineralsubstanzen in ihren Normaleigenschaften bisweilen etwas verändert. Diess angenommen, Zweisel müssen natürlich Jedem bis zur experimentellen Bestätigung offen gelassen werden, kann man zur Idee gelangen, der Diamant, der sehr oft Höhlungen in Menge zeigt und zwar, nach Brewster's Untersuchungen') mit begleitenden Umständen, welche auf einen starken Druck im Innern der Höhle schließen lassen — dieses geschätzte Juli Diese Ann. 1835, Bd. 36, S. 564.

wel sey vielleicht ebenfalls ein Krystallisationsproduct aus condensirter Kohlensäure.

Es ist zwar in den Brewster'schen Aufsätzen nirgends deutlich ausgesprochen, dass er in Diamanten auch Flüssigkeiten beobachtet habe, vielmehr giebt die Anmerkung S. 484 der darüber stehenden unklaren Stelle die Deutung, dass sie mit Luft gefüllt waren.

Ist diese Luft Kohlensäure, so konnte der Diamant dennoch sehr wohl aus jener liquiden Substanz krystallisirt seyn; die eingeschlossenen Tropfen dehnten sich beim Krystallisationsact, der mit einer Wärmeentwickelung verbunden ist, aus, comprimirten die Wände ihrer Höhle, so daß, wegen eintretender Ungleichheit der Elasticitätsaxen, eben jene *polarisirende Structur* entstehen mußte, von der Brewster spricht. Indem aber die Tröpfchen eingeschlossener flüssiger Kohlensäure durch Druck ihre Höhlung erweiterten, konnte sich etwas davon, später, bei erhöhter Temperatur, alles vergasen. (Wir wissen ja durch Thilorier, wie sich tropfbare Kohlensäure im abgeschlossenen Raume bei verschiedenen Temperaturen verhält 1).

Brewster glaubte, um seine Beobachtung der Farbenringe mit dem schwarzen Kreuz, rings um die Höhlen herum, zu erklären, dem Diamanten eine gummiartige Consistenz und vegetabilischen Ursprung zuschreiben zu müssen. Meines Dafürhaltens braucht man nicht so weit zu gehen, die Erscheinung ist mit derjenigen eines ungleich gepresten Glases zu vergleichen. Es wäre möglich, daß die Verdichtung der Materie des Diamanten keine bleibende ist, daß die Farbenringe im polarisirten Lichte nicht mehr auftreten, wenn die pressenden Gase im Innern der Höhlen entfernt sind.

An die Möglichkeit eines tropbarslüssigen Vorkommens der Kohlensäure in der Erdrinde haben auch schon andere Forscher gedacht. Ich verweise auf G. Bischof, in dessen Lehrbuche der physikal. chem. Geologie Bd. I, S. 332 ff. man weitläusige Erörterungen findet.

¹⁾ Ebendaselbst S. 564.

Das Kohlensäuregas, das an vielen Stellen mit einer gewissen Pression exhalirt wird, muß im Schoofs der Erde in colossalen Quantitäten vorhanden seyn, da doch die Nauheimer Sauerquellen allein, nach Bunsens Messungen, jährlich 10000 Centner der Atmosphäre zuführen, und nach G. Bischof eine einzige Gasquelle bei Burgbrohl 2617 Centner jährlich liefert. Wie viel dergleichen Exhalationen kommen aber nicht in der Umgebung eines einzigen ausgebrannten oder thätigen Vulkans vor!

In Steinkohlenbergwerken geben die sogenannten "Bläser" Zeugniss von der Abschließung und Compression des Methylwasserstoffgases, desgleichen das Knistersalz von Wielizka. Das Grubengas ist aber bis jetzt der Gewalt von nahe 3000 Atmosphären in der Natterer'schen Pumpe noch nicht unterlegen, daher können die von Brewster entdeckten expansiblen Flüssigkeiten nicht wohl comprimirtes Grubengas gewesen seyn.

Wenn also das Vorkommen liquider Kohlensäure in der Natur so gut wie erwiesen ist, so fehlt, um meine Ansicht von der Bildung des Diamanten (beiläufig vielleicht vieler anderer Mineralien) dem Gebiet der Hypothesen zu entreissen, weiter nichts, als die Bestätigung des benöthigten Factums: dass der Kohlenstoff in liquider Kohlensäure eben so auflöslich sev wie Kochsalz in Wasser, Schwefel in Schwefelkohlensäure oder Phosphor in flüssigem Schwefelphosphor. Bei den zahlreichen Versuchen, die ich schon, z. B. von pyrochemischen Gesichtspunkten aus, dem berühmten Probleme zugewandt, wollte ich es nicht unterlassen auch im Sinne dieser neuen Idee Experimente anzustellen. Leider stand mir in Breslau kein Natterer'scher Apparat zu Gebote und ich war daher genöthigt den Weg der ursprünglichen, Faraday'schen Manipulation einzuschlagen, der leider nicht zum Ziele führte. Eine starke (vielleicht doch schlecht gekühlte) Wasserstandsröhre von 6mm Linien und 4 Wanddicke wurde mit einer auf die Capacität berechneten Menge kohlensauren Ammoniak und Schwefelsäure beschickt, etwas Kohlenstoff in feinster Zertheilung zuge-

fügt 1), hierauf zugeschmolzen und in umgekehrter wenig geneigter Lage in eine Kältemischung gebracht; nach einigen Stunden explodirte die Röhre, ohne dass ich etwas von flüssiger Kohlensäure gesehen hätte, ein zweites und drittes Mal ging es nicht besser. Ich gab daher den Versuch auf und hege die Hoffnung, es werde wohl ein Experimentator, dem die neuern, so bequemen und gefahrlosen Hülfsmittel zu Gebote stehen, es nicht verschmähen, meine Vermuthung zu prüfen. Es lohnt sich wohl überhaupt der Mühe die Solutionsfähigkeit der flüssigen Kohlensäure in Bezug auf Ametalle und Mineralstoffe, z. B. Silicate, Carbonate, Phosphate, Sulfate etc. genauer als es bisher geschehen, zu studiren. Versuche liegen zwar vor von Thilorier und Niemann, doch in beschränktem Maasstabe. Ob ein alkalisches Metall aus liquider CO. bloss CO oder auch Kohle abscheide, die vielleicht statu nascendi in der überschüssigen Flüssigkeit gelöst bleibe,

1) Den Kohlenstoff in Form eines russigen Pulvers stellte ich mir durch Ueberleiten von CS2 Dampf über mässig erwärmtes Natrium dar. Dasselbe färbt sich anfangs rosa, später dunkelbraun, quillt auf, entzundet sich bei zu starker Erwärmung von Außen, und brennt mit intensiv röthlicher Feuererscheinung. Die schwarze porose Masse löste sich zum Theil in Wasser mit dunkel oliven grüner Farbe, zurückblieb ein schwarzes, nach dem Trocknen lockeres Pulver, das auf Platinblech bis auf eine Spur Kieselsäure (vom reducirten Silicium der Glasröhre) verglimmte. Auffallend war mir bei der Destillation die starke Gasentwickelung, obschon ich den überschüssigen CS2 in einem Bunsen'schen, mit Eis gekälteten Recipienten auffing. Das uncondensirt weggehende Gas, das in einem Cylinder unter erkaltetem Wasser aufgefangen wurde, war farblos, roch ähnlich wie CS2, brannte mit bläulicher Flamme und schien mir, dem Zersetzungsprocess nach, der von Baudrimont entdeckte CS zu seyn. Die olivengrune Lösung roch eigenthümlich, nicht gerade an HS erinnernd, mit HChl entwickelte sich HS und es siel ein chocoladebrauner Niederschlag in geringer Menge, der mit CS2 geschüttelt viel Schwesel abgab und schwarz wurde. Er bestand nachweisbar aus C und S, ist aber vielleicht eins der von Löwig entdeckten und von Heimann untersuchten Hydrocarbosulfiden. (Vergl. Max. Heimann: Quam vim exerceat carboneum sulphuratum in amalgama natrii quaeritur. Dissertatio inauguralis. Vratislae 1858)

scheint auch noch nicht genau ermittelt. Die Kohlensäure; die in Wasser gelöst eine so eminente Rolle in den Laboratorien der Gebirge übernommen hat, ist vielleieht nicht minder berufen als selbständiges Liquidum unter hohem Druck die geheimnisvolle geometrische Gestaltung mancher Mineralstoffe zu vermitteln.

Es wird wohl auffallen, das ich es wage, nach den glänzenden Entdeckungen über das Silicium und Boron, die wir in neuester Zeit der unermüdlichen Thätigkeit der Hrn. Wöhler und Deville verdanken, einen anderen als pyrochemischen Weg der Diamantbildung für möglich zu halten, ich glaube aber es sind die Gründe, die mich dazu bewegen, vorläufig noch nicht so leicht zu beseitigen.

Seit Entdeckung der stofflichen Identität des Diamants Graphits und der Holzkohle mag es wohl wenige Chemiker gegeben haben, die nicht schon Ideen gehegt oder Versuche über die Diamantbildung angestellt hätten. Trotzdem ist üher diesen so interessanten Gegenstand wenig in die Oeffentlichkeit gelangt; vielleicht aus einer gewissen Scheu; es ist dies nicht zu billigen, denn negative Resultate über ein berühmtes Problem haben mindestens den Nutzen, dass Andere sich nicht mit Wiederholungen quälen, sondern von neuen Gesichtspunkten ausgehen.

Was man über angebliche Diamanterzeugung ließt beruht z. Th. auf solchen Täuschungen, daß man sich eines billigen Erstaunens nicht enthalten kann 1). Die meisten Versuche aber, die in dieser Richtung zur Oessentlichkeit kamen, bezweckten den Kohlenstoff zu schmelzen oder durch Schmelzprocesse aus irgeud einer Verbindung abzuscheiden und krystallisirt zu erhalten. Man hat indes immer die Ersahrung machen müssen, das hohe Temperaturen dem Diamanten nicht sehr zuträglich sind; man beobachtete meist Uebergang in eine graphitähnliche Modification. Der Graphit allein schien die dem Feuer gerechte Form des Kohlenstoss zu seyn, dieser wurde mit Leichtigkeit aus orga-

¹⁾ Ganual's Diamanten. Diese Ann. Bd. XIV, S. 387, Bd. XV, S. 311.

nischen Substanzen, aus Gusseisen u. s. w. abgeschieden und krystallisirt erhalten.

Zu Anfang dieses Decenniums dachte kaum mehr Jemand an die Möglichkeit einer pyrochemischen Diamantbildung und schon früher hatten die Ansichten von Liebig, Petzhold, Bischof, Brewster etc. Platz gegriffen. Wenn uns nun die letzten Jahre durch die schöne Entdeckung des krystallisirten Siliciums und Borons eines Bessern zu belehren scheinen, so ist es doch gut nicht zu rasch zu urtheilen, sondern den gegenwärtigen Sachbestand einer ruhigen Kritik zu unterbreiten.

Worauf stützen sich die wieder neubelebten Hoffnungen einer möglichen Diamantbildung auf feurigem Wege?

Zunächst auf das krystallisirte Boron, das mit allen ausgezeichneten Eigenschaften des Diamanten begabt ist: doch schon hier zeigt sich eine Abweichung in der Krystallform, dieser ist regulär, jenes quadratisch ausgebildet.

Schon seit längerer Zeit hat man in der Chemie des Siliciums, Borons und Kohlenstoffs Analogien entdeckt. Diese drei Elemente stehen in Bezug auf die Atomgewichte nahezu in einem Verhältnisse der Triade, wie etwa Chlor, Brom, Jod, vorausgesetzt, dass Si = 14,2; das Boron steht alsdann mit 10,9 fast in der Mitte. Das Verhalten zum Sauerstoff hat bei allen dreien viel Aehnliches, und doch begegnen wir hier in Bezug auf die Verbindungsverhältnisse fatalen Unsicherheiten. Nach der Entdeckung des Kieselsesquioxydes durch Wöhler und Buff könnte die Ansicht, dass die Borsäure 2 Atome Radical enthielte wieder mehr Wahrscheinlichkeit gewinnen, freilich bleibt denn, um die Parallele mit Silicium herzustellen, noch eine Verbindung BoO₂ zu entdecken.

Durch die neueste Entdeckung der Isomorphie zwischen Zinn- und Kieselfworohaliten durch Marignac'), werden ältere Gründe für das Kieselaequivalent 14, welchen schon Berzelius große Anerkennung hat widerfahren lassen 2),

¹⁾ Journal f. prakt. Chemie Bd. 74, S. 161 ff.

²⁾ Berzelius Lehrb. der Chemie 5. Aufl. Bd. 3, S. 1202.

vermehrt und es kommt vielleicht einmal der Tag, wo die Anomalien verschwinden, indem der Schleier fällt, der diese schwierigen Verhältnisse der Constitution unserer Erkenntnifs verhüllt.

Zur Stunde ist man noch nicht so weit. Boron, Silicium, Titan, Aluminium mögen einander, soweit wir sie kennen, näher stehen als irgend anderen Elementen; die Kohle muss man aber, trotz aller auffallenden Aehnlichkeiten mit obigen Körpern, jetzt noch als einen Stoff mit sehr unterscheidenden Merkmalen betrachten. Haben auch die elementaren Modificationen gewisse Beziehungen zu einander, so tritt doch schon eine große Abweichung in den Chloroidverbindungen ein; diese gestatten uns den Kohlenstoff in eine Menge von Verbindungen überzuführen, von denen wir bis jetzt bei Kiesel und Boron kaum leise Andeutungen haben. Ich meine hier die Rolle, welche der Kohlenstoff im organischen Reiche spielt. Die Zahl der Radicale, welche derselbe mit dem Wasserstoff, zum Theil auch Stickstoff bildet, übertrifft bei Weitem die Zahl der bekannten Elemente des Mineralreichs. Man hat weder Boron noch Silicium dazu bringen können, die Rolle des Kohlenstoffs zu übernehmen, und wenn uns etwas Hoffnung lässt auf spätere Entdeckung, so stützen wir sie auf die wissenschaftlich so interessanten Löwig'schen Stannaethyle und iene Analogien zwischen Zinn und Silicium. hin bleibt aber die langgezogene Induction in ihren Zwischengliedern experimentell zu bestätigen.

Noch ist zu bemerken, das der Kohlenstoff auch zum Fluor durchaus nicht das Verhalten zeigt, das Bor, Silicium, Titan, Tantal, Zinn so sehr charakterisirt.

In dem Aussatze: "Analysen und physikalische Eigenschaften des Bors « '), machen die Versasser einen Kohlenstoffgehalt des krystallisirten Bor's von 2,4 bis 4,3 pCt. bekannt und bemerken hierzu, dass der Kohlenstoff im Diamantzustande darin enthalten betrachtet werden könne. Danit wird gleichsam die Lehre einer "Bidimorphie" der Ele-

¹⁾ Ann d Chem u. Pharry, Cl. S. 113.

mente aufgestellt und der den quadratischen Borkrystallen beigemengte Kohlenstoff wäre dem Bor selbst » isobidimorph «, natürlich wird man sich dann vice versa erlauben dürfen, ein regulär krystallisirendes Bor zu vermuthen, das man den später vielleicht zu entdeckenden, regulären Kohlenstoffdiamanten beigemengt findet.

Ohne die Berechtigung dieser Hypothesen sehr nahe treten zu wollen, mache ich nur darauf aufmerksam, dass sie ganz neue Begriffe aufstellen, die sich erst an anderen Beispielen gel: örig befestigen müssen: denn dass sogar einzelne Zustände von Elementen wieder ihre Dimorphien haben könnten, hat bis jetzt Niemand vermuthet. der Diamanthärte allein darf man das Bor noch nicht in zu große Conjunction mit dem Kohlenstoff bringen; für alle andern Härtegrade giebt es zahlreiche Beispiele, ohne dass die Substanzen deswegen in irgend welcher nahen Beziehung stünden. Der demantoïde Kohlenstoff des quadratischen Boron kann am Ende seine eigenthümlichen Bildungsgesetze haben und es ist nicht gesagt, dass der natürliche, regulär krystallisirende Diamant denselben ebenfalls unterworfen sey. Ich glaube somit, dass meine Vermuthung über die Diamantbildung, selbst bei gegenwärtigem Standpunkt der Erkenntniss, noch neben der Wöhler-Deville'schen Platz greifen kann: Ich würde vielleicht zurückhaltender seyn, wenn nicht viele pyrochemische Versuche, zum Theil auf die neuesten Ersahrungen gegründet, mir ein negatives Resultat gegeben hätten.

Gewiss waren die beiden ausgezeichneten Experimentatoren die ersten, welche ihre Entdeckung auf das berühmte Problem anwandten und den Versuch anstellten, den Reinsch vorschlägt 1), nachdem er mit den Entdeckungen der beiden Forscher bekannt geworden. Würde dieser Versuch ein Resultat geben, so hätte wahrscheinlich schon längst Berzelius die künstlichen Kohlenstoffdiamanten entdeckt; denn er sagt in der 5. Aufl. S. 316 Bd. I. seines Lehrbuchs: "Mit kohlensaurem Alkali gemengt und erhitzt ver-

¹⁾ Neues Jahrb. d Pharm. Bd VII, S. 175.

brennt das Bor auf Kosten der Kohlensäure, es wird Kohle reducirt und die Masse davon geschwärzt. Ob die Schlacke nun thonsaures oder borsaures Alkali sey, wird nicht so sehr ins Gewicht fallen; beide sind leicht flüssig, lösen aber keinen Kohlenstoff. Das Aluminium wird sich aber zum Kohlenstoff etwa so verhalten wie das Zink, das bei einem derartigen Versuche allerdings Kohlenstoff aufnahm, ihn aber bei Behandlung mit Salzsäure theils als übelriechenden Kohlenwasserstoff, theils als amorphe schwarze Flocken abschied.

Gesetzt es gelänge auch, vielleicht in nächster Zeit, Kohlenstoffdiamanten herzustellen nach dem Wöhler-Devilleschen Verfahren, ich will die Möglichkeit durchaus nicht so positiv abstreiten 1), (sind wir doch in der Chemie leider noch nicht so glücklich, gleich den Astronomen, aus dem bisher Beobachteten mit Sicherheit auf das Kommende zu schließen), so ist doch noch die Frage: konnte sich die Natur derselben Mittel und Wege bedient haben? Die Geschichte der Wissenschaft lehrt uns, wie sehr man geneigt ist, jede im Laboratorium gemachte Entdeckung, ohne umfassendere Kritik, auf Phänomene der Natur anzuwenden. Ich verweise beispielsweise auf die Bildung der sogenannten Schweselquellen und die bezüglichen Hypothesen von Davy, Durocher und besonders Frémy 2).

Durchgeht man die Literatur des Diamants, so fällt es immerhin auf, wie viele Forscher sich dahin einigen, der Diamant habe seinen Ursprung der Kohlensäure zu verdanken, aus der er durch Reduction hervorgegangen sey, nach dem einen in hoher, nach anderen in niedriger Tem-

¹⁾ Da Descloizeaux in 4 Stücken des schwarzen körnigen Diamanten (Carbonate) von Bahia sowohl in äußeren als inneren Höhlen kleine Goldtheilchen eingeschlossen fand, so möchte noch zu versuchen seyn, ob etwa schmelzendes Gold Kohlenstoff auflöse, so wie Zink oder Zinn das Silicium. Descloizeaux's Entdeckung nachzuschlagen in Liebig und Kopp's Jahresbericht für 1856, S. 828, oder auch: Neues Jahrbuch für Mineralogie und Geognosie von Leonhard und Bronn. 1857. S. 328.

²⁾ Comptes rendus, 1853. 178.

peratur; an liquide CO₂ scheint aber bisher Niemand gedacht zu haben. Solche Aussprüche über Diamantbildung haben bekanntlich gethan: Fuchs¹), Göbel²), Hausmann³), Reinsch⁴).

Man hatte seiner Zeit viel Hoffnung, etwas über die Bildung des Diamanten entscheiden zu können, wenn man nur erst welche in festem Gestein eingewachsen gefunden haben würde. Es ist die Entdeckung mittlerweile in Brasilien gemacht worden, aber nun ist der Streit, ob der Itacolumit ein neptunisches oder plutonisches Gebilde sey. Soweit ich ihn kenne, muss ich ihn eher für einen sehr glimmerigen Sandstein (Quarzit), als für ein ächt krystallinisch-eruptives Gestein halten, er mag als ein Derivat der Granite und Gneise zu betrachten seyn, welche er ebenso umzieht, wie das Rothliegende die Porphyrberge Schlesiens. Wie ich die niedlich ausgebildeten Quarzdihexaeder, die ich im Rothliegenden zu Langwaltersdorf, auf einer Tour nach Adersbach, in Menge antraf, von den in der Gegend vielfach auftauchenden Porphyren ableite, so bin ich auch geneigt, den Sitz des Diamanten im Itacolumit für secundär zu halten. Die Entdeckung des Diamanten in Brasilien, Nord-Carolina, Russland u. s. w. mag in die Movettenperiode der großen Gneis- und Graniteruptionen dieser Länder fallen. In Höhlenräumen konnte sich die Kohlensäure in großer Menge ansammeln und zuletzt durch eigenen Druck condensiren. Sey es nun, dass sich Kohle schon im Gesteine vorfand (Graphit in Gneiss bei Passau, Anthracit im selben Gestein zu Offenburg in Baden, in Piemont u. a. v. a. O.), oder dass Kohlensäure erst reducirt wurde, meine Hypothese nimmt an, der Kohlenstoff sey in liquider Kohlensäure löslich. Nimmt später der Druck ab, kann CO, durch Risse und Spalten langsam verdunsten, dann werden die Kohlenstoffkrystallisationen beginnen können. Es kann einmal

¹⁾ Neues Jahrb. f. Mineralogie. 1844. S. 726.

²⁾ Diese Ann. 1830. Bd. XX, S. 539.

³⁾ Ersch und Gruber, Allgem. Encyclop. Art : Diamant.

⁴⁾ Neues Jahrb. d. Pharm. Bd. VII, S. 175.

kommen, dass der Druck plötzlich schwindet und die Flüssigkeit sehr schnell verdunstet, möglich, dass dann jener derbe, schwarze Diamant sich bildet, der im Handel "Carbonate" genannt wird und wovon schon sehr ansehnliche Stücke gefunden wurden.

Bekanntlich sind auch die rohen Diamanten oft von einer rauhen, schuppigen, höckerigen, bleifarbenen Rinde überzogen, die man noch keiner genaueren chemischen Untersuchung gewürdigt zu haben scheint. Auch diese Rinde könnte ja blos Kohlenstoff seyn, im letzten, raschen Momente des Auskrystallisirens granulinisch niedergeschlagen auf die Oberfläche des langsam gebildeten Diamanten. (Die plötzlich beschleunigte Verdunstung des CS₂ bei der Krystallisation des rhombischen Schwefels giebt hierzu ein gutes Beispiel.)

Bei meiner Hypothese bietet das Vorkommen von eingeschlossenen Quarzsplittern, von Zellgeweben u. dgl. keine besondere Schwierigkeit '); obschon ich gestehen muß, daß ich an das Letztere, nach dem was ich an einem, mir von Hrn. Geheimrath Göppert freundlichst unter Mikroskop gezeigten, von ihm in diesen Ann. Bd. XCII, S. 658 beschriebenen Diamanten gesehen, sehr starken Glauben nicht habe. Die holz- und sepiabraunen Flecke waren allerdings von einem feinen Netzwerk durchzogen, doch schienen mir die höchst unregelmäßigen Polygone hier und da Spuren einer centralen Anordnung zu zeigen, wie dieß auf der Politur älterer Möbel oder gefirnißter Wandkarten so häufig zu bemerken ist. Die zellige Structur wäre also rein mechanischen Ursprungs.

Wenn der Diamant sich in der Natur wie das Boron oder Silicium gebildet hat, dann ist es doch auffallend, dass man bis jetzt weder Bor, noch Silicium, noch Aluminium in Begleitung auffand, es wäre denn, dass diese Substanzen bisher verkannt wurden; oder sollten jene kleinen durch-

¹⁾ Hätte sich 2. B. die Kohle als Anthracit in der flüssigen Kohlensäure aufgelöst, dann ist auch gleich zu begreifen, wie allenfalls Zellgewebe in einem Diamanten eingeschlossen werden könnte.

sichtigen, nicht näher bestimmbaren Krystalle, die neben eisenhaltigem Thon als Asche, bei der Verbrennung von derbem Diamant durch Rivot '), zurückblieben, etwas dergleichen gewesen seyn?

So sehr jene Aussagen darnach klingen, so stimmt doch auf der anderen Seite das wiederum nicht, was Brewster über Diamanten bei Gelegenheit der Koh-i-noor-Untersuchungen mitgetheilt hat ²). Ganz besonders interessant ist ein roher Diamant im brittischen Museum, der eine ziemlich große Höhle besitzt, aus der ein kleiner gelber Diamant über der Obersläche des anderen hervorragt. Brewster hält ihn für im slüssigen Zustande herausgedrungen und momentan krystallisirt. Tavernier spricht von einem großen Diamanten mit einer schwarzen Höhle in der Mitte. Beim Entzweischneiden fanden sich 8 bis 9 Karat einer schwarzen Materie (boue végétale von T. genannt) ³).

So viel über das Problem des Diamanten vom heutigen Standpunkte aus. Noch sehr viele interessante Bemerkungen ließen sich zwar herbeiziehen, doch alsdann würde das Volum der Arbeit dem Zwecke einer Abhandlung für eine wissenschaftliche Zeitschrift nicht mehr entsprechen. Ich breche daher meine Erörterungen ab und füge zum Schluße noch bei:

Sollte der Diamant sich in der Natur wirklich nach meiner Vorstellung gebildet haben, so glaube ich, kann die künstliche Darstellung keine sehr großen Schwierigkeiten darbieten; ja, ich bin sogar der Meinung, man müßte, bei der Präcision mit der sich der Verdunstungsprocess regeln ließe, ganz ausgezeichnet große und schöne Krystalle in verhältnismäßig kurzer Zeit erhalten.

Im Uebrigen den hypothetischen Inhalt dieser Betrachtungen nicht verkennend, hoffe ich, dass man mir diese Publication nicht zu sehr verübeln wird; vielleicht habe ich

¹⁾ Institut. 1849, S. 73; auch Journ. f. pr. Chemie. Bd. 47, S. 460.

Centralblatt für Naturwissenschaften und Anthropologie, red. von Prof. Fechner. 1853, No. 17.

³⁾ Institut. 1852. 407.

aber das Vergnügen, auf die ausgesprochenen Ideen hin von irgend einer Seite eine Belehrung oder Bestätigung zu erfahren.

Breslau, im October 1858.

VIII. Einige Bemerkungen zum Aufsatz des Hr. Kirchhoff "Ueber die Spannungen des Dampfes von Mischungen aus VV asser und Schwefelsäure"1); von A. VVüllner.

Docent an d. Univ. zu Marburg.

Hr. Kirchhoff wendet in dieser Abhandlung die in einer früheren Mittheilung ³) aufgestellte Relation zwischen der Wärmemenge, welche beim Lösen von Salzen frei oder latent wird, und der Spannkraft des Wasserdampfes aus der Lösung des Salzes auf die von Hrn. Regnault gegebenen Zahlen für die Spannkraft des Wasserdampfes aus verschiedenen Hydraten der Schwefelsäure an. Er nimmt dabei an, das jenes Gesetz wir für Salzlösungen so auch für jedes Flüssigkeitsgemisch seine Gültigkeit behalte, dessen Dampfreiner Wasserdampf ist.

Dass jedoch dieses Gesetz für Salzlösungen nicht gültig sey, habe ich bereits nachgewiesen, indem ich zeigte, dass die Spannkrastsverminderungen, welche ein gelöstes Salz veranlasst

- 1) proportional seyen der Menge der gelösten festen Substanz
- 2) Functionen der Temperatur seyen, welche keine Beziehung zwischen dieser und andern Eigenschaften der Salze erkennen lassen 3).
- 1) Pogg. Annal. Bd. 104, S. 612.
- 2) Pogg. Annal. Bd. 103, S. 177.
- 3) Pogg. Annal. Bd. 103, S. 529.

In meiner Abhandlung über die Spannkraft der Dämpfe aus Lösungen von Salzgemischen '), wies ich dann noch besonders nach, dass diese Function nicht zusammenhänge mit der Wärmemenge Q, welche beim Lösen der Salze gebunden wird, wenigstens nicht in der Weise, als es der Satz des Hrn. Kirchhoff verlangt. Behalte ich die auch dort angewandte Bezeichnung des Hrn. Kirchhoff bei, so müste bei den von mir untersuchten Salzen, für Kochsalz, Chlorkalium, Kali- und Natron-Salpeter, schwefelsaures Kali und Zucker das Verhältnis

<u>μ</u>,

in welchem μ die Spannkraft der Salzlösung, π' die des reinen Wassers bei derselben Temperatur bedeutet, mit steigender Temperatur abnehmen, für Glaubersalz hingegen hätte es zunehmen müssen. Die Versuche hatten jedoch gezeigt, daß dieses Verhältniß nur für Chlorkalium, Kaliund Natron-Salpeter ein mit steigender Temperatur abnehmendes ist, während es für Kochsalz und Glaubersalz constant, für schwefelsaures Kali und Zucker sogar mit steigender Temperatur zunehmend ist.

Die Uebereinstimmung, welche sich zwischen den von Hrn. Regnault gegebenen und den von Hrn. Kirchhoff nach der von ihm aufgestellten Gleichung berechneten Spannkräften von Gemischen aus Schwefelsäure und Wasser wenigstens zum Theil findet, war mir daher sehr auffallend, besondes da diese Gemische das erste aus Hr. Kirchhoff's Gleichung allgemein folgende Gesetz 2), das nämlich die Spannkräfte der Schwefelsäurehydrate, als eines Gemisches, bei welchem Wärme frei wird, rascher wachsen müssen als die Spannkräfte des Dampses aus reinem Wasser, nicht befolgen.

Hr. Regnault hat in einer Tabelle 3), welche sich mit ungemeiner Genauigkeit den beobachteten Zahlen an-

¹⁾ Habilitations-Abh. Marburg, Juli 1858. Pogg. Ann. Bd. 105, S. 85.

²⁾ Man sehe Pogg. Ann. Bd. 102, S. 200.

³⁾ Annales de chim. et de phys. 3ne serie T. 15, p. 179.

schliefst, die Spannkräfte der verschiedenen Gemische aus Schwefelsäure und Wasser von 5° bis 35° C. zugleich mit ihrem Verhältnifs zu den Spannkräften des Wasserdampfes zusammengestellt. Folgende Zahlen sind aus derselben entnommen.

A PROPERTY A

Es ist das Verhältnis $\frac{\mu}{\pi}$ für

| HE TOURS | 421 30 111120 | TARRY STREET | TAXABLE PARTY |
|------------|---------------|--------------|---------------|
| Temper. | SO3+2HO | SO3+3HO | SO3+4HO |
| 5° C. | 0,0161 | 0,0594 | 0,1318 |
| 10 | 0,0126 | 0,0564 | 0,1309 |
| 15 | 0,0103 | 0,0513 | 0,1298 |
| 20 | 0,0088 | 0,0491 | 0,1288 |
| 25 | 0,0078 | 0,0478 | 0,1284 |
| 30 | 0,0071 | 0,0472 | 0,1287 |
| 35 | 0,0067 | 0,0474 | 0,1299 |
| contrad of | SO3+5HO | SO3+6HO | SO3 + 8HO |
| . 5 | 0,1980 | 0,3271 | 0,4848 |
| 10 | 0,2057 | 0,3305 | 0,4873 |
| 15 | 0,2106 | 0,3319 | 0,4877 |
| 20 | 0,2145 | 0,3329 | 0,4882 |
| 25 | 0,2180 | 0,3351 | 0,4904 |
| 30 | 0,2223 | 0,3387 | 0,4956 |
| 35 | 0,2277 | 0,3443 | 0,5036 |
| | SO3+10HO | SO3+12HO | SO³+18HO |
| 5 | 0,6305 | 0,6777 | 0,8348 |
| 10 | 0,6303 | 0,7005 | 0,8414 |
| 15 | 0,6268 | 0,7083 | 0,8379 |
| 20 | 0,6227 | 0,7082 | 0,8327 |
| 25 | 0,6204 | 0,7053 | 0,8287 |
| 30 | 0,6211 | 0,7022 | 0,8278 |
| 35 | 0,6252 | 0,7008 | 0,8313 |
| | | | |

Für die beiden ersten Gemische ist das Verhältnis mit steigender Temperatur abnehmend. Für die Gemische SO³ + 4HO, SO³ + 10HO, SO³ + 12HO, SO³ + 18 HO, ist es ebenso unzweideutig für alle beobachteten Temperaturen constant, denn die Schwankungen in den Zahlen, indem sie erst wachsen, dann abnehmen, oder umgekehrt erst

abnehmen dann wachsen, oder gar 3 mal ihr Zeichen ändern, sind so unbedeutend, dass man sie mit Fug den unvermeidlichen Ungenauigkeiten überweisen kann. Bei den 3 übrigen Gemischen sindet allerdings scheinbar ein Wachsen des Verhältnisses $\frac{\mu}{\pi}$ statt; erwägen wir aber, dass dasselbe höchst unbedeutend ist, dass die Differenzen gleichen Schwankungen ausgesetzt sind, wie die Zahlen der anderen Gemische, so scheint es mir gestattet zu seyn, auch für diese die Constanz der Zahlen anzunehmen, besonders da die Gemische, für welche die Constanz des Verhältnisses $\frac{\mu}{\pi}$ unzweideutig ist, theils einen größeren, theils einen geringeren Wassergehalt besitzen.

Hieraus folgt zugleich, dass die Spannkräfte der verschiedenen Gemische nicht wie es die Gleichung des Hrn. Kirchhoff verlangt, verschiedene Functionen der Temperatur sind, sondern dass es dieselben Functionen nur mit auderen Coustanten sind. Nur die beiden ersten Gemische machen eine Ausnahme, jedoch auch nicht in einem Hrn. Kirchhoff günstigen Sinne. Es kann das jedoch nicht auffallen, da dieselben nicht eigentlich Gemische aus Schweselsäure und Wasser, sondern Verbindungen nach sesten Verhältnissen, wahre Hydrate, Salze aus Schweselsäure und Wasser sind.

Wenn ich nun auch von vornherein der Ansicht war, dass Gemische aus Schweselsäure und Wasser nicht wie es Hr. Kirchhoff betrachtet, in die Kategorie der Salzlösungen gehören, so habe ich doch versucht ob sich auch hier das von mir ausgestellte, mit der Gleichung des Hrn. Kirchhoff im Widerspruch stehende Gesetz der Proportionalität zwischen der Menge der gelösten wassersreien Substanz und der Größe der Verminderung der Spannkraft des Dampses bei ein und derselben Temperatur bestätigte. Auch dieses zeigte sich mit Ausnahme der beiden ersten Hydrate und des Gemisches mit größtem Wassergehalt gültig.

Nehme ich für die Gemische das Mittel aus der von Poggendorff's Annal. Bd. CV.

Hrn. Regnault gegebenen oben zum Theil angeführten Zahlen, so ist für

| 50° + 4 HO µ | $= 0.1296 \pi'$ | $V = \pi' - \mu = 0.8704 \pi'$ |
|--------------|-----------------|--------------------------------|
| SO3 + 5 HO | 0,2139 π' | 0,7861 π' |
| SO3 + 6 HO | $0,3342 \pi'$ | 0,6658 π' |
| SO* + 8 HO | 0,4904 π' | 0,5096 π |
| SO3 + 10 HO | 0,6249 π' | 0,3751 π' |
| SO3 + 12 HO | $0,7023 \pi'$ | 0,2977 π' |
| SO3 + 18 HO | $0,8339 \pi'$ | 0,1661 π' |

Wenn man nun, wie ich es in meinen früheren Mittheilungen gethan, hieraus berechnet, welche Verminderungen ein Theil Schwefelsäure in 100 Theilen Wasser gelöst hervorbringen würde, indem man die Ausdrücke der 3. Columne durch resp. 25 — 20 — 16,66 etc. dividirt, so geben die 6 ersten Gemische nahezu gleiche Zahlen. Dieselben sind

$$V = 0.0348 \text{ n'} 0.0393 \text{ n'} 0.0399 \text{ n'} 0.0400 \text{ n'} 0.0375 \text{ n'} 0.0342 \text{ n'}.$$

Das Gemisch mit dem größten Wassergehalt fällt aus, dasselbe giebt gleicherweise behandelt

$$V = 0.0300 \,\pi$$
.

Bei den übrigen Gemischen ist der Ausdruck für die Verminderung durch ein Theil Schweselsäure in 100 Wasser auf diese Weise berechnet mit sehr großer Annäherung derselbe. Dass derselbe nicht ganz gleich ist liegt einmal darin, dass die Zahl der Beobachtungen aus denen die Mittel genommen sind, zu klein ist, hauptsächlich aber daran, dass Gemische aus Schweselsäure und Wasser wie schon erwähnt, überhaupt nicht als Salzlösungen betrachtet werden dürsen, sondern, da das einsach Schweselsäurehydrat als solches eigene Spannung und einen sesten Siedepunkt hat, als Gemische von einsach Schweselsäurehydrat und Wasser. Nur in niederen Temperaturen können sie annähernd den für

Salzlösungen gültigen Gesetzen folgen, so lange nämlich das einfach Schwefelsäurehydrat als solches noch keine merkliche Spannung hat. In höheren Temperaturen fallen sie ganz entschieden unter die Klasse von binären Gemischen, welche sich in allen Verhältnissen lösen. Von diesen hat aber Hr. Magnus nachgewiesen '), dass deren Spannkraft im allgemeinen zwischen die der einzelnen Flüssigkeiten fällt. Hr. Regnault theilte später noch einige Zahlen mit '), aus welchen das gleiche Resultat hervorgeht, ohne das man pedoch daraus erkennen könnte, wie die Spannkraft mit der Menge der einen oder anderen angewandten Flüssigkeit sich ändert. Ueberhaupt sind in dieser Richtung noch keine Versuche angestellt, welche uns die Gesetze dieser Vorgänge kennen lehren.

Aus allem dem scheint mir hervorzugehen, dass auch die Spannkrastsverhältnisse der Gemische aus Wasser und Schwefelsäure nicht mit der von Hrn. Kirchhoff ausgestellten Relation übereinstimmen. Es erübrigt noch zu erklären, wie trotzdem die Rechnung des Hrn. Kirchhoff Zahlen ergeben kann, welche wenigstens für die 6 letzten Gemische sich den von Hrn. Regnault gegebenen anschließen.

Hr. Kirchhoff hat die Zahlen nach 2 Gleichungen berechnet. Die erste derselben ist

$$\log \frac{\mu}{\pi'} = C - \frac{31,28}{273+t} \frac{\partial Q}{\partial x} \quad (1)$$

worin C eine von t unabhängige Größe, t die Temperatur nach Graden der Centesimalscala gerechnet, Q die Wärmemenge bedeutet, welche bei der Mischung von 1 Aequivalent SO3+HO mit x Aequivalenten Wasser frei wird.

Die Werthe von $\frac{\partial Q}{\partial x}$ sind für die Mischungen, bei denen sich Uebereinstimmung der Zahlen findet, von Hra. Kirchhoff nach einer Thomsen'schen Gleichung berechnet folgende:

¹⁾ Pogg. Ann. Bd. 38, S. 93. Bd. 93, S. 580.

²⁾ Comptes rendus Bd. XXXIX und Pogg. Ann. Bd. 93, S. 573.

$$x \frac{\partial Q}{\partial x}$$
 $x \frac{\partial Q}{\partial x}$
4 9,36 9 2,68
5 6,79 11 1,90
7 4,04 17 0.88

Nun berechnet Hr. Kirchhoff zunächst aus der größten der bei jedem Gemisch von Hrn. Regnault gemessenen Spannkräfte nach Gleichung (1) C für jedes Gemisch, und dann daraus die Spannkräfte desselben. Es ist klar, daß auf diese Weise die Abweichungen unmöglich großseyn können, da der Factor von $\frac{\partial Q}{\partial x}$ zwischen diesen Temperaturgränzen durchschnittlich nur zwischen 0,0690 u. 0,0759 schwankt. Dazu kommt noch, daß die 3 ersten Reihen $SO^3 + 5HO$, $SO^3 + 6HO$, $SO^3 + 8HO$, bei denen der Einfluß des zweiten Gliedes der Gleichung am größten ist, diejenigen sind, deren Verhältniß $\frac{\mu}{\pi}$ bei steigender Temperatur geringe wächst. Uebrigens sind aber die Abweichungen in niederen Temperaturen durchschnittlich nicht nur relativ, sondern auch absolut die größern, wie es auch nach dem ausgeführten seyn muß.

In dieser Gleichung macht Hr. Kirchhoff die Annahme, dass der Dampf des reinen Wassers ebenso als der der Gemische, sich wie ein vollkommnes Gas verhalte. Er erhält dadurch einen Ausdruck für eine Constante K (siehe Pogg. Ann. Bd. 103, S. 200 und 183), durch welchen die allgemeine Gleichung jene einfachere Form erhält. In Gleichung (2) macht Hr. Kirchhoff diese Annahme nicht, sondern er berechnet jene Constante aus der Gleichung, indem er zunächst zwei Werthe der von Hrm. Regnault beobachteten Spannkräfte als bekannt voraussetzt. Anstatt der ersten Gleichung

$$\log \mu = C + \log \pi - \frac{21,28}{273+t} \frac{\partial Q}{\partial x}$$

wird dieselbe dann

$$\log \mu = C - 4,726 \log(273+t) - \frac{2859}{273+t} - \frac{21,28}{273+t} \frac{\partial Q}{\partial x}, \quad (2)$$

wo C natürlich eine andere Bedeutung hat als vorhin und für jedes Gemisch aus der größten der beobachteten Spannkräfte berechnet wird.

Dass hier der Einsluss des letzten Gliedes der Gleichung noch unbedeutender ist, sieht man sosort.

Es kann in diesen lediglich auf das Thatsächliche fusenden Bemerkungen nicht meine Aufgabe seyn, auszuführen, wo etwa die Annahmen des Hrn. Kirchhoff nicht strenge richtig sind. Ich will nur hinzufügen, dass meiner Ansicht nach die Ungenauigkeit in dem Gleichsetzen der Wirkungsgröße für den Auflösungsprozes mit dem Ausdruck:

K.Q

besteht, in welchem Q die bei der Lösung gebundene oder frei werdende Wärme, K das mechanische Aequivalent der Wärmeeinheit bedeutet. Denn bei der Auflösung einer Substanz spielt außer der verbrauchten Wärme auch die Molecularanziehung des Lösungsmittels zur zu lösenden Substanz eine große Rolle, wie die keineswegs unbedeutende Contraction der Lösung beweist. Es wird sich wohl an einer andern Stelle Gelegenheit bieten, den Nachweis für diese meine Ansicht zu liefern.

Marburg d. 26. October 1858.

1X. Ueber einen elektrischen Influenzversuch; von P. Riefs.

Deit einigen Jahren hat Prof. Volpicelli in Rom eine Reihe von Briefen über die elektrische Influenz und verwandte Gegenstände geschrieben, die in den Comptes rendus der Pariser Academie Aufnahme gefunden haben. Es werden in diesen Publicationen theils neue Versuche beigebracht, theils bekannte Versuche, die längst eine genügende Erklärung erfahren haben, einer längst als unrichtig erkannten Deutung unterworfen. Unter den neuen Versuchen sind nur die auffällig, durch welche gezeigt werden soll. daß durch Reibung einer Metallstange mit einem Metallringe, an dem mit Schellack bekleideten Ende der Stange die eine oder andere Elektricitätsart erregt wird, je nach der Richtung der Reibung, und dass eine Glaskugel und ein Diamant getrübt wird durch die in ihnen erregte Influenzelektricität. Obgleich schon längere Zeit nach diesen seltsamen Angaben verflossen ist, hat keine Bestätigung dieselben gestützt, und es war von vornherein wahrscheinlich. dass sie auf mangelnder Vorsicht beim Experimente beruhen. Die Deutung alter Versuche geschieht ohne die nöthige Berücksichtigung, wahrscheinlich selbst ohne hinlängliche Kenntniss der maassgebenden Abhandlungen, welche diese Versuche betreffen. Wenn z.B. Hr. Volpicelli es une conséquence évidemment absurde neunt, dass auf einem influencirten Leiter beide Elektricitäten mit Tension vorhanden sind (Compt. rend. 44. 917), so kann ihm nicht bekannt seyn, dass die Thatsache experimentell ganz außer Zweifel gesetzt und theoretisch von Poisson in seiner berühmtesten Abhandlung aus mechanischen Principien hergeleitet worden ist. Unter diesen Umständen war ein schädlicher Einflus der gemachten Angaben und Behauptungen auf die Wissenschaft nicht zu befürchten, und ich durfte mich dem unerfreulichen Geschäfte des Widerlegens ent-

ziehen, zumal da Belli diess Geschäft bereits übernommen hatte. Es war zu hoffen, dass durch die Versuche Belli's und eigenes Studium Hr. Volpicelli zu gesunderen, dem Stande der Wissenschaft angemessenen Ansichten über die Influenz gelangen würde. Diess ist leider bis jetzt nicht geschehen, und noch in den Comptes rendus des October finden wir in zwei Briefen des Hrn. Volpicelli an Regnault Behauptungen, die Allem widersprechen, was wir von der Influenz Sicheres wissen. Einige Schuld an dieser Beharrlichkeit im Irrthume müssen wir de la Rive beimessen, der die Ansichten des Hrn. V. nicht streng zurückgewiesen, ja sogar einen Versuch, der diese Ansichten stützen soll, der Aufmerksamkeit der Physiker empfohlen hat (Traité d'électr. 3. 686). Ich folge dieser Aufforderung und will, so kurz als möglich, die Bedeutung jenes Versuches angeben, nachdem ich an einiges Historische erinnert habe.

Ein elektrisirter Körper erregt in einem nahestehenden isolirten Leiter Elektricität, die der erregenden ungleichnamig ist (Influenzelektricität erster Art), und Elektricität, die jener gleichnamig ist (Influenzelektricität zweiter Art). Die Erscheinung der Influenz ist nicht an der Wirkung der gleichnamigen Elektricität entdeckt worden, die niemals bestritten worden ist, sondern an der Wirkung der ungleichnamigen, die in neuerer Zeit in Zweifel gezogen wurde. Canton fand, dass zwei Elektrometerpendel, unter die er eine positiv elektrisirte Glasstange hielt, mit negativer Elektricität divergirten. Die sich nach ihm zuerst mit der Influenz beschäftigten, Aepinus, Wilcke, Coulomb, Volta, hatten daher nicht die leisesten Zweifel an der Wirksamkeit der ungleichnamigen Elektricität, die erst auftauchten, nachdem Lichtenberg den unglücklichen Einfall gehabt hatte, diese Elektricität mit der latenten Wärme zu vergleichen. Auch trug dazu der Umstand bei, dass der erste Influenzversuch durch einen andern verdrängt wurde. der zu Maassbestimmungen geeigneter war. Es wurde durch Aepinus, und besser durch Coulomb, der der Iusluenz

ausgesetzte Leiter mit einer kleinen isolirten Metallscheibe berührt und diese, entfernt von dem erregenden Körper, an einem Elektroskope geprüft. Man fand so, dass durch Influenz auf einen isolirten Metallcylinder ein kleiner, dem erregenden Körper naher Theil des Cylinders mit ungleichnamiger, ein großer, entfernter Theil mit gleichnamiger Elektricität versehen wurde, und dass zwischen beiden Theilen eine nicht elektrische Zone lag. Die Erregung war um so stärker, je länger der Cylinder, am stärksten, wenn er unendlich lang, also nicht isolirt war, wobei natürlich nur die eine, ungleichnamige Elektricität der Prüfung unterlag. Diefs wurde ein Hauptversuch der ganzen Lehre von der Influenz. De Luc sprach der ungleichnamigen Elektricität die Beweglichkeit ab, gestand ihr aber die Fähigkeit zu, auf sich selbst und fremde Elektricität abstofsend und anziehend zu wirken. Pfaff leugnete auch diese Fähigkeit und stellte die ungleichnamige Elektricität als gänzlich wirkungslos dar, nahm jedoch diese Meinung zurück, nachdem Ohm und ich selbst das Unhaltbare derselben aufgezeigt Später hat Knochenhauer an der Wirksamkeit der ungleichnamigen Elektricität Zweisel gehegt, die nach Faraday's früheren Versuchen unbegründet erschienen und durch Fechner vollständig beseitigt wurden. Ohne von diesen Controversen Kenntniss zu haben, ging Melloni gänzlich in die frühere Vorstellungsweise von Pfaff zurück. Auch er erklärte den Hauptversuch für vollkommen richtig, aber auch er wollte daraus schließen, dass die ungleichnamige Elektricität nur Wirksamkeit besitze, nachdem der erregende Körper entfernt, nicht während er anwesend war. Von dieser Meinung suchte ihn Faraday in einem Briefe abzubringen, und wir dürfen annehmen, dass nur der unmittelbar danach erfolgte Tod den ausgezeichneten Physiker verhindert hat, seinen irrigen Schluss zu widerrufen.

Der von de la Rive hervorgehobene Versuch des Prof. Volpicelli besteht darin, daß ein influencirter isolirter Metallcylinder an verschiedenen Punkten seiner Ober-

489

fläche mit einer sehr kleinen Prüfungsscheibe berührt wird, die an einem dünnen Glasstabe befestigt ist. Es soll an allen geprüften Punkten des Cylinders, selbst an dem Punkte, der dem erregenden Körper am nächsten lag, die mit diesem gleichnamige Elektricität gefunden worden seyn, und es wird darin eine Bestätigung gesehen der von Melloni gehegten Meinung, dass die ungleichnamige Elektricität keine Tension besitzt. Man sieht, dass diess genau der oben erwähnte Hauptversuch ist, nur mit dem Unterschiede. dass hier zum ersten Male nur die gleichnamige Elektricität aufgefunden wurde, während alle Beobachter, ohne Ausnahme, auch die ungleichnamige Elektricität gefunden hatten. Unter der Annahme, dass Hr. Volpicelli mit der nöthigen Umsicht experimentirt habe, ist seine Beobachtung völlig unerklärlich; doch muss diese Beobachtung nicht sicher gewesen sevn, da Hr. V. nach seinem neuesten (sechsten) Briefe an Regnault das Prüfungsmittel bei dem Versuche geändert hat. Statt der einfachen, an einem Glasstiele befestigten, Prüfungsscheibe gebraucht er jetzt eine Messingscheibe von 1 Millim. Höhe und Breite, die mit Schellack auf eine 5 Millim. breite Messingscheibe gekittet ist, welche letztere an einem Messingstiele mit der Hand gehalten wird. Dass mit einer so zusammengesetzten Prüsungsscheibe auf dem influencirten Cylinder nur gleichnamige Elektricität gefunden wurde, ist nicht auffallend. An dem, dem erregenden Körper nächsten Ende des Cylinders ist die ungleichnamige Elektricität am stärksten, aber selbst da konnte die zusammengesetzte Prüfungsscheibe diese Elektricität nicht anzeigen. Bei Anlegung der Prüfungsscheibe an diess Ende musste die 5 Millim. breite Scheibe ungleichnamige Influenzelektricität erhalten, und zwar stärkere als der Cylinder selbst, weil sie nicht isolirt, dieser aber isolirt war. Diese ungleichnamige Elektricität musste in der 1 Millim. breiten Scheibe eine mit ihr ungleichnamige Elektricität erregen, die folglich mit der Elektricität des ursprünglich elektrisirten Körpers gleichnamig war. Der Versuch ist nicht rein, da zugleich die 1 Millim, breite Scheibe durch den

ursprünglich elektrisirten Körper in entgegengesetzter Weise erregt, und daher die Differenz zweier entgegengesetzten Wirkungen beobachtet wird. Wenn der Versuch den angegebenen Erfolg hat, zeigt er, was wir längst wissen und leichter zeigen können, dass die ungleichnamige Influenzelektricität vollkommen wirksam ist und wieder influencirend wirkt. Hr. Volpicelli hat diesen Versuch als Beweis gebraucht dafür, dass die ungleichnamige Elektricität während der Influenz keine Tension besitzt; er hat also, dessen unbewust, das Entgegengesetzte bewiesen von Dem, was er beweisen wollte.

X. Die diesjährigen Ueberschwemmungen in Schlesien und am Harz und ihre Ursachen; von H. VV. Dove.

Nach einer ungewöhnlich lange anhaltenden Dürre sind am Ende des Juli und zu Anfang des August dieses Jahres die Gegenden des Harzes, Erzgebirges, und Riesengebirges von so heftigen Regengüssen betroffen worden, daß die Spuren der durch das Austreten der Gebirgsgewässer entstandenen Verwüstungen sich lange nicht verwischen werden. Wer auf dem Wege von Warmbrunn in Schlesien nach der Josephinenhütte gesehen hat, wie an vielen Stellen die nach Böhmen führende Chaussee auf große Strecken hin spurlos verschwunden, wie an ihrer Stelle mächtige, wild über einander gethürmte Felsblöcke zeigen, daß der sonst so unscheinbare Zacken des ganzen Thales sich als seines Bettes bemächtigt hat, wird natürlich fragen, welche Wassermenge als Regen herabfiel, um so zerstörende Wirkungen hervorzubringen.

Der Regenmesser der Josephinenhütte ergiebt für die Woche vom 29. Juli bis 4. August auf einen Pariser Qua-

dratfus folgende Werthe in Kubikzollen: 195,4, 145,6, 14,4, 301,2, 405,0, 184,1, 193,4, also genau 10 Zoll Regenhöhe, und zwar von Morgens 6 Uhr am 1. bis Morgens 6 Uhr am 2. August 650 Kubikzoll, also 5 Zoll 4 Linien Höhe, während diese in Warmbrunn in derselben Zeit 3 Zoll 4 Linien betrug. Am Harz traten diese mächtigen Niederschläge etwas früher ein. Auf dem Brocken war die Regenhöhe am 30. Juli 15 Linien, am 31. bis Abends 8 Uhr 4 Zoll 8 Linien. Um diese Zeit wurde in Ilsenburg eine massive Brücke fortgerissen, auf welcher 6 Personen sich befanden, die in den Fluthen umkamen. In Clausthal war die Regenhöhe am 30. 10 Linien, am 31. 3 Zoll 5 Linien. dem Erzgebirge fehlen mir Messungen, da Sachsen die einzige Lücke bildet in dem das ganze nördliche Deutschland umfassenden Beobachtungsnetze unseres meteorologischen Instituts.

Um die Verbreitung der Erscheinung beurtheilen zu können, stelle ich im Folgenden die im Juli und August gemessenen Regenhöhen zusammen, denen ich zur Vergleichung für die Orte, wo längere Beobachtungsreihen vorhanden sind, die mittleren Werthe dieser Monate hinzufüge.

Regenhöhe in Pariser Linien.

| | Juli | August | Juli | August | |
|----------------|-------|--------|-----------------|--------|--|
| | 18 | 58 | mittlere Werthe | | |
| Frankfurt a. M | 23,40 | 29,10 | 23,21 | 22,94 | |
| Trier | 30,32 | 34,53 | 34,40 | 34,41 | |
| Neunkirchen | 35,09 | 22.07 | 30,05 | 28,08 | |
| Boppard | 18,73 | 30.74 | 29,46 | 33,29 | |
| Cöla | 48,14 | 62.09 | 26.21 | 29,47 | |
| Crefeld | 33,00 | 35,00 | 26,84 | 33,21 | |
| Clama | 58,54 | 52,62 | 33,49 | 25,85 | |
| Norderney | 51,77 | 33,87 | | , | |
| Emden | 41,80 | 27,35 | 35,93 | 24.17 | |
| Lingen | 46,19 | 46,43 | 50,25 | 31,13 | |
| Löningen | 34.01 | 35.97 | 00,20 | 51,13 | |
| ouř. I | 40,96 | 20,03 | | | |
| Jever | 54,90 | 24,45 | | | |
| Elsfleth | 49,70 | 29,80 | | | |
| Münster | 21,71 | 22,48 | 30,25 | 29,60 | |

| ust Juli | August |
|----------|------------------|
| mit | tlere Werthe |
| 48 37,2 | |
| 04 32,5 | |
| 08 43,3 | 1 23,93 |
| 42 35,1 | |
| 91 35,8 | 1 34,17 |
| 47 | 5-1-1-255 |
| 00 71,6 | |
| 74 76,2 | |
| 17 33,0 | |
| 92 20,2 | 1 21,30 |
| 47 28,8 | |
| 08 27,9 | |
| 67 29,2 | |
| 88 26,9 | |
| 66 24,1 | |
| 40 28,5 | 8 26.60 |
| 61 | - |
| 96 | 1111 |
| 51 | |
| 12 | |
| 55 | 100 |
| 40 | |
| 80 | |
| 29 39,2 | 2 29,57 |
| 58 27,8 | 24,35 |
| 57 29,4 | 7 26,31 |
| 20 | - |
| 76 | |
| 06 | v. / come |
| 13 21,7 | 8 18,51 |
| 12 27,6 | 39,61 |
| 30 22,2 | 1 32,86 |
| 75 27,3 | 6 31,55 |
| 86 30,4 | 4 27,89 |
| 63 31,7 | 3 38,58 |
| 62 29,8 | 36,15 |
| 35 24,5 | 0 26,85 |
| 92 32,7 | |
| 36 31,0 | 2 27,13 |
| 31 16,2 | 2 31,92 |
| 27 24,7 | |
| 73 | |
| 63 39,4 | 2 37,97 |
| 55 25,3 | 8 34,23 |
| | |
| | |
| 2 | 5 25,3
2 35,8 |

Man sieht, dass, während von Trier bis Franksurt am Main die gewöhnliche Wassermenge gefallen, diese am untern Rhein und in Westphalen entschieden größer wird, und eine ungewöhnliche Höhe am nordwestlichen Abhange der norddeutschen Gebirge erhält. Der überall gleichzeitig beobachtete Nordwestwind deutet, sowie das frühere Eintreten der Erscheinung in den westlichen Gegenden, darauf hin, dass die Ursache nach Nordwesten hin zu suchen sey.

Ich habe in früheren Abhandlungen nachzuweisen gesucht, dass die in Deutschland Ende Juni beginnende Regenzeit, welche zu dem bekannten Satze Veranlassung gegeben: "vor Johanni bete um Regen, nach Johanni kommt er ungebeten «, ihren Grund darin hat, dass im Sommer sich die Temperatur im Innern des Continents unverhältnissmäfsig steigert, während dagegen die des atlantischen Oceans auffallend zurückbleibt, die Luft über dem Meere daher in die erwärmte aufgelockerte des Continents eindringt und durch die Vermischung beider mächtige Niederschläge entstehen. Es ist nun von selbst einleuchtend, dass wenn in einem bestimmten Jahre durch anomale Temperaturvertheilung sich dieser Gegensatz in dem angegebenen Sinne noch steigert, die nothwendige Folge auch eine Steigerung der durch diese Temperatur-Differenz hervorgerufenen Niederschläge seyn wird. Dass diess nun in diesem Jahre in un gewöhnlichen Grade der Fall war, zeigen schon die Beobachtungen unseres verhältnismässig doch nur beschränkten Beobachtungsgebietes.

Ich habe für 30 Stationen aus zehnjährigen gleichzeitigen Beobachtungen die mittleren Werthe der sechs fünftägigen Zeiträume vom 5. Juli bis 3. August berechnet und damit die im Jahre 1858 für denselben Zeitschnitt erhaltenen Werthe verglichen. Zahlen ohne Zeichen bedeuten in der folgenden Tafel den beobachteten Ueberschuss tiber die normale mittlere Wärme; Zahlen mit negativen Zeichen hingegen, dass die Temperatur in diesem Jahre unter den mittleren Werth des zehnjährigen Zeitraums herabsank.

| | 5. bis 9.
Juli | 10 bis 14.
Juli | 15. bis 19.
Juli | 20, bis 24.
Juli | 25: bis 29.
Juli | 30. Juli bis
3. August |
|------------------|-------------------|--------------------|---------------------|---------------------|---------------------|---------------------------|
| Memel | 1,73 | 3,74 | 5,51 | 5,28 | - 0,55 | 2,61 |
| Tilsit | 0.56 | | 5,52 | 4,99 | -1.27 | 2,27 |
| Arys | 1,27 | 1,96 | 3,65 | 3,86 | -0.37 | 1,05 |
| Königsberg . | 1,25 | | 4.52 | 3 99 | - 1,28 | 1,82 |
| Hela | 1,02 | | 3,53 | 4,68 | - 0,49 | 0,45 |
| Danzig | 1,09 | | 3,87 | 4,81 | -0,67 | - 0,14 |
| Schöneberg . | 1.87 | | | 4.06 | - 2,17 | 0,55 |
| Conitz | 2,18 | | 4,60 | 3,65 | -1,71 | - 0.08 |
| Bromberg . | 1,83 | | 3,95 | 2,59 | - 1,30 | 0.78 |
| Posen | 2,11 | -0,40 | 3.47 | 3,31 | -2,07 | -1,43 |
| Ratibor | 1,96 | | 2,24 | 1,72 | 0,17 | - 1.79 |
| Breslau | 0,50 | | 2,17 | 2,26 | -0,89 | - 2,32 |
| Zechen | 0,50 | | 2,05 | 2,06 | -1.45 | -2.07 |
| Görlitz | 0,77 | | 2,32 | 1,58 | -1.35 | - 2,70 |
| Frankf. a. d. O. | | - 2.06 | 2,57 | 1,93 | -2,24 | -1,88 |
| Cöslin | 1.15 | 0,48 | 3,85 | 2,79 | - 2,36 | -0,14 |
| Stettin | 1.00 | | 3,58 | 3,15 | -1,94 | -1,38 |
| Hinrichshagen | 1,15 | | 3,21 | 2,18 | -1,77 | -0,99 |
| Salzwedel . | 0 | 0,04 | 3,56 | 1,32 | -1.68 | -1,14 |
| Berlin | 0,61 | - 1.63 | 3,16 | 2,19 | - 1,95 | - 1,85 |
| Torgau | 0,21 | - 2,07 | 2,96 | 1,13 | -1,63 | _ 3,00 |
| Erfort | - 0,69 | | 2,20 | -0.02 | -1,93 | - 3.24 |
| Heiligenstadt . | -0.85 | | 2,82 | 0,32 | -1,22 | - 2,26 |
| Güterslob . | -0.77 | - 0.39 | 3,04 | 0,49 | - 1,36 | - 2,21 |
| Paderborn . | - 0,71 | - 0,49 | 2,90 | 0,59 | -1,41 | - 2,30 |
| Cleve | -0.36 | - 0,06 | 3,70 | 0.46 | - 0,41 | - 2,17 |
| Cöln | -1,49 | | 2.78 | - 0.86 | - 1,82 | -2,17 |
| Boppard | -1,73 | | 2,73 | 0,16 | - 1,05 | - 2,73 |
| Neunkirchen . | - 2,41 | -1.46 | 2,36 | - 0,32 | - 1,67 | -2.97 |
| Trier | - 2,26 | - 0,96 | 2,28 | - 0,33 | -1,19 | - 2,94 |

Schon zu Anfang des Zeitraums vom 5. bis 9. Juli zeigt sich in Preußen, Pommern und Schlesien bis nach Sachsen hin eine Temperaturerhöhung, am Rhein eine Abkühlung, die sich in dem darauf folgenden Abschnitt vom 10. bis 14. Juli etwas weiter östlich ausbreitet; aber nun tritt eine neue starke Temperatur-Erhöhung hervor, die in Ostpreußen viel stärker ist als weiter westlich, denn in Memel ist sie 5½, in Trier nur 2½. Vom 10. bis 24. wird das Extrem noch größer, Cöln zeigt schon eine Temperaturerniedrigung von fast einem Grad, während der Ueberschuß in Memel noch 5 Grad beträgt. Die schon in gewöhnlichen Verhältnissen das Einströmen der Luft vom atlantischen Ocean bedingende Temperatur-Differenz steigert sich also hier noch von der

russischen bis zur holländischen Gränze hin um volle 6 Grade. Wird man sich nun wundern, dass die kalte feuchte Lust des Oceans hereinbricht und in der Wärmeabnahme, die sie erzeugt, den Wasserdampf niederschlägt, der in einer vorher so ungewöhnlich gesteigerten Verdunstung sich in dem Lustkreise verbreitet hatte? Wie deutlich tritt diese Abkühlung in den letzten beiden Spalten hervor; aber da es ein Nordwest war, der sie hervorrief, in der Mitte des Gebietes am stärksten, nur unbedeutend an der östlichen Gränze.

Die Weichselüberschwemmung im Jahre 1855 hatte ihren Grund in einer relativen anomalen Wärmeerhöhung im oberen Laufe des Stromes, wie ich in dem Aussatze über das Klima des preussischen Staates gezeigt habe. Der furchtbare Sturm vom 1. Januar 1855, welcher die Insel Wangeroge fast zerstörte, entstand durch eine barometrische Differenz von 23 Linien zwischen Upsala und Lissabon, die auf dem Gebiete des preussischen Staates zwischen Til-sit und Trier allein 13½ Linien betrug. Man sieht also, dass durch gleichzeitige Beobachtungen auffallende Naturerscheinungen sich auf ihre Gründe zurückführen lassen, desto leichter allerdings, je ausgedehnter das Gebiet ist, auf welchem beobachtet wird. Ob die Ueberschwemmungen in Nord-Deutschland nur das erste Ergebnis jenes Einstürzens eines feuchten kalten Nordwestwindes in eine unverhältnismässig erwärmte continentale Luftmasse, und die aus Ungarn und der Türkei berichteten Ueberschwemmungen eine Fortsetzung jenes Eindringens gewesen, indem die primäre Ursache einer noch stärkeren Auflockerung dann weiter nach Südost hin gelegen, wird sich erst später beurtheilen lassen, wenn Beobachtungen aus jenen Gegenden vorliegen. Diese können aber nur entscheidende Ergebnisse liefern, wenn das jetzt Beobachtete verglichen wird mit dem mittleren Werthe, welcher demselben Zeitraume in einer längeren Jahresreihe entspricht. Das bloße Ueberschicken direct beobachteter Werthe vermittelst des Telegraphen fruchtet wenig, denn Niemand kann erndten, ohne dass er gesäet. Die Saat aber ist die Bestimmung der mittleren Werthe, die erst darüber entscheiden lassen, ob das Beobachtete eine besondere Beachtung verdient oder in den Kreis des Gewöhnlichen fällt.

XI. Leichte Bereitungsart von vollkommen reinem Platinmohr; von C. Brunner sen.

Man erhitzt in einer flachen Schaale trockenes oxalsaures Eisenoxyd (durch Niederschlagen von Eisenvitriol mit Oxalsäure bereitet und gehörig ausgewaschen) bis zum anfangenden Verglimmen, setzt alsdann unter Umrühren die Erhitzung fort, bis sich das Salz vollständig in Oxyd verwandelt Das so dargestellte höchst feine Pulver wird in einer Glasröhre bei einer kaum zum anfangenden Glühen gesteigerten Temperatur durch einen Strom trocknen Wasserstoffgases reducirt. Nach gänzlichem Erkalten im Gasstrom schüttet man das zuweilen pyrophorische Präparat in eine Schaale mit Wasser und zerdrückt es darin mit einem Pistill durch gelindes Reiben. Man trägt nun von diesem mit Wasser angerührten metallischen Eisen so lange kleine Portionen in eine verdünnte, mit einem geringen Ueberschuss von Salzsäure vermischte Lösung von Platinchlorid, bis diese nach kräftigem Schütteln und einigem Hinstellen gänzlich entfärbt Der erhaltene Niederschlag wird nun nach Aberscheint. gießen der Flüssigkeit zu wiederholten Malen mit concentrirter Salpetersäure gekocht, bis der letzte Auszug keine bemerkenswerthe Menge Eisen enthält, zuletzt die anhängende Salpetersäure durch eine schwache Kalilösung entfernt. Das so dargestellte Präparat erscheint als ein amorphes schwarzes Pulver; durch Reiben in einer Achatschaale nimmt es cisenhaltigen Glanz an. Beim Erhitzen in einem Platinlöffel kommt es bei etwa 200 Grad plötzlich ins Glühen und verwandelt sich unter Verdoppelung seines Volumens in die gewöhnliche Form, dem Platinschwamm ähnlich. Mit einem Tropfen Alkohol befeuchtet, geräth es ebenfalls nach 1 bis 2 Sekunden ins Glühen unter Verwandlung in die gewöhnliche Form. (Aus d. Berner Mitthl. vom Hrn. Verf. übersandt).

1858. ANNALEN NO. 12. DER PHYSIK UND CHEMIE. BAND CV.

I. Ueber das Entstehen und Verschwinden des Magnetismus in Elektromagneten; von VV. Beetz.

(Mitgetheilt in der Sectionssitzung der Schweizerischen naturforschenden Gesellschaft am 3. August 1858.)

Geschichtliches.

1. Dass weder das Entstehen noch das Verschwinden des Magnetismus in einem Eisenkerne augenblicklich mit dem Schließen und Oessnen des erregenden Stromes stattfindet, ist zwar allgemein beobachtet worden, über die Umstände aber, welche auf diese Erscheinung einsließen und über die Gründe, denen dieselbe zuzuschreiben ist, sind nur sehr vereinzelte Angaben vorhanden. Besonders haben die großen Elektromagnete, welche in neuerer Zeit vielfach in Anwendung gekommen sind, die besprochenen Verzögerungen in höchst auffallender Weise gezeigt. Hr. Faraday 1) fand die Zeit, in welcher der Elektromagnet seinen vollen Magnetismus annahm, verschieden, je nach der Zeit, während welcher er außer Gebrauch war. Bei einer ersten Anwendung nach einer Ruhe von 2 bis 3 Tagen betrug diese Zeit 80 bis 90 Sekunden und mehr; nach einer Oeffnung und unmittelbar darauf folgenden Schliessung des Stromes nur 20 bis 30 Sekunden; bei einer folgenden Oeffnung und sogleich folgenden Schliessung noch kürzere Zeit, und wenn der Strom eine Zeit lang immer abwechselnd geöffnet und geschlossen wurde, so schien der Magnet im-

¹⁾ Exp. Res. 2650.*

mer sogleich seine volle Kraft anzunehmen. Diese Zeit, sagt er an einer anderen Stelle, ') ist wahrscheinlich länger bei nicht gekühltem als bei sehr gut und vollkommen gekühltem Eisen. Auch werden die letzten Antheile von Magnetismus, welche ein gegebener Strom in einem gewissen Eisenkern entwickeln kann, anscheinend langsamer angenommen als die ersten, und diese Antheile (oder der Zustand des Eisens, welchem sie zuzuschreiben sind) scheinen auch langsamer verloren zu werden, als die anderen Antheile der Kraft. Hr. Faraday sieht demnach den Grund der Erscheinung, dass Zeit zum Entstehen und Verschwinden des Magnetismus nöthig ist, in einer Eigenthümlichkeit des Eisens selbst, etwa in einer Trägheit der Theilchen, mit welcher sie der Annahme einer neuen Anordnung widerstreben.

2. Andererseits hat schon früher Hr. Magnus 2) gezeigt, dass auf die Dauer des Entstehens und Verschwindens des Magnetismus die Beschaffenheit des Leitungsdrahtes, mit welchem der Eisenkern umwunden ist, einen wesentlichen Einfluss hat. Der Anker hastete an Magneten mit kurzen Leitungsdrähten fast momentan, weil die wenigen Windungen nur einen schwachen, dem Entstehen des Magnetismus entgegenwirkenden Inductionsstrom zu Stande kommen ließen, während bei oft umgewundenen Leitungsdrähten die Zunahme des Magnetismus nur eine allmähliche Ebenso fiel der Anker eines mit langen Drähten umwundenen Elektromagnets regelmäßig ab, wenn die Richtung des Stromes umgekehrt wurde; war aber der Leitungsdraht kurz, so blieb er wohl haften, aber mit geringerer Kraft, als bei blosser Unterbrechung des Stromes. Wenn nämlich der entgegengesetzte Strom eintritt, so ist im Leiter noch immer der Strom in früherer Richtung vorhanden. entstanden durch die Induction beim langsamen Verschwinden des Magnetismus im weichen Eisen. Dieser Inductionsstrom ist ein stärkerer, wenn das Eisen von vielen, als

¹⁾ Exp. Res. 2332.*

²⁾ Diese Ann. XXXVIII, 433.*

wenn es von wenigen Windungen umgeben ist. Hebt der Inductionsstrom den entgegengesetzten primären, welcher zu seinem Entstehen Zeit bedarf, auf, so fällt der Anker ab. Diese Aufhebung kann also bei den langen Drähten leichter vollständig eintreten, als bei kurzen, aber auch dann nicht im Momente der Stromunterbrechung, sondern erst dann, wenn beide Ströme einander gleich sind. Bei einem großen Magnet fand Hr. Magnus diese Verzögerung des Abfallens nach der Stromumkehrung = 4 Sekunden. Bei dieser Erklärungsweise ist wesentlich die Verzögerung des Entstehens des Magnetismus von der des Verschwindens zu unterscheiden. Für das Entstehen bleibt sie ohne Weiteres richtig, man mag dem Eisenkern selbst eine Rolle dabei zutheilen oder nicht, denn die Schliessung ruft einen Extracurrent hervor, welcher den primären Strom nur allmählich anwachsen lässt und zwar um so allmählicher, je länger die Drähte sind, je größer die Anzahl der Windungen ist. Bei der Unterbrechung des Stromes dagegen kommt dieser Extrastrom garnicht zu Stande, weil ja keine Leitung für ihn vorhanden ist; man muss also auf den Eisenkern Rücksicht nehmen, und so hat es Hr. Magnus auch gethan. Der Magnetismus verschwindet langsam, aber nun nicht mehr wegen jenes Extracurrents, sondern aus einem im Eisenkern selbst zu suchenden Grunde, welcher einstweilen dahingestellt bleibt; erst dieses Verschwinden des Magnetismus bringt den neuen Inductionsstrom in der wieder geschlossenen Leitung hervor, welcher dem entstehenden primären Strome entgegenwirkt.

3. Während bei diesen Versuchen die Gestalt der magnetisirenden Spirale verändert werden mußte, fand Hr. Hipp') auch dann einen Unterschied in der Zeit der Ankeranziehung, wenn bei gleichbleibender Spirale und gleichbleibender Stromintensität die Quelle der Elektricität geändert wurde. Diese Zeit betrug bei demselben Elektromagnet 36 Tausendstel Sekunden, wenn der Elektromotor eine zwölfpaarige Säule war, dagegen 58 Tausendstel Se-

¹⁾ Mitth. d Berner naturf. Ges. 1855. S. 190.*

kunden, wenn ein einfaches Element. Dieser Unterschied zeigte sich jedoch nur, wenn die Spannfeder, welche den Anker vom Magnet entfernt hielt, so stark gespannt war, dass sie dem Magnetismus fast das Gleichgewicht hielt. Ich habe gezeigt, ') dass auch dieser Zeitunterschied in dem verschiedenen Anwachsen des magnetisirenden Stromes seinen Grund hat, welcher durch die Größe des bei der Stromschließung entstehenden Extracurrents bedingt wird. Bezeichnet J die Intensität des magnetisirenden Stromes, R den Gesammtwiderstand der Leitung, P das Potential der magnetisirenden Spirale auf sich selbst, so ist die Stärke des inducirten Stromes proportional

 $\frac{P}{R}$ J.

Bei den im vorigen Paragraphen besprochenen Versuchen ist P veränderlich, R dürfte constant seyn (was indes dort nicht gerade herbeigeführt war), bei der hier vorliegenden ist R veränderlich, aber P constant; nur wenn $\frac{P}{R}$ unverändert bleibt, ist weder die Gestalt der magnetisirenden Spirale, noch der Widerstand der Leitung von Einsluss auf die Entstehungszeit des Magnetismus. Auch bei dieser Betrachtung ist es vollkommen gleichgültig gelassen, ob das Eisen selbst einen Theil der Schuld der Verzögerung trage, da die Erscheinungen ganz denselben Gang gehen, wenn der Inductionsstrom nicht nur durch die Veränderung des Potentials der Spirale auf sich selbst, sondern zugleich durch die des Potentials des Magnets auf die Spirale erregt wird.

4. Anders verhält es sich mit der Beobachtung, welche Hr. Helmholtz²) gemacht hat, dass, wenn in eine magnetisirende Spirale ein Bündel von ganz dünnen Eisendrähten gesteckt und darüber eine secundäre Spirale geschoben wird, sich ebensowenig nach irgend einer meßbaren Zeit, vom Augenblick der Unterbrechung des mag-

¹⁾ Diese Ann. CII, 557*

²⁾ Diese Ann. LXXXIII, 535.*

netisirenden Stromes an gerechnet, ein Inductionsstrom in der secundären Spirale vorfindet, als wenn gar kein Eisen in die Rolle gelegt worden wäre. Aus diesen dünnen Drähten verschwindet also der Magnetismus so gut wie augenblicklich, während sich in festen Eisenkernen bei der Stromunterbrechung inducirte Ströme bilden, welche eine gewisse Zeit dauern und das Eisen in demselben Sinne magnetisirt erhalten, als es der ursprüngliche Strom that. Inwiefern auch andere Einflüsse, z. B. die Mischung des Eisens, gleichzeitig mitwirken, bleibt hierbei wiederum dahingestellt. Die Bemerkung, dass sich in einer secundären Spirale noch ein Inductionsstrom zeige, wenn dicselbe eine merkliche Zeit nach der Oeffnung oder Schließung des primären geschlossen wird, haben übrigens schon früher die HH. Marianini, ') du Bois Reymond ') und Matteucci') gemacht. Bei den Versuchen von Marianini waren keine Eisenkerne in den Spiralen, so dass dieselben, auch abgeschen von sonstigen Fehlerquellen, nicht hierher gehören; du Bois-Reymond fand auch bei Anwendung einer Drahteinlage eine inducirende Nachwirkung nach der Oeffnung des inducirenden Stromes: wie Helmholtz vermuthet, wegen mangelhafter Isolation der Rollen, vielleicht nur deshalb, weil die Drähte nicht dunn genug waren; er unterscheidet aber den der Schließsung folgenden Inductionsstrom als sehr schwach von dem der Oeffnung folgenden, den er stark nennt. Bei den hier besprochenen Unterschieden in der Zeit, welche der Magnetismus zu seinem Verschwinden bedarf, ist das Zustandekommen oder nicht Zustandekommen von inducirten Strömen in der ganzen Masse des Eisenkernes, oder in seiner cylindrischen Oberfläche das Entscheidende.

5. Der schon von Sturgeon) erwähute Umstand, dass die Stromintensität einer magnetoelektrischen Maschine

¹⁾ Ann. d. chim. et d. phys. XI, pag. 395.*

²⁾ Unters. über thier. El. I , 423;*

³⁾ Arch. d. sc. phys. et nat. V, 55.*

⁴⁾ Sturgeon, Ann. of Electr. II, pag. 1.*

nicht im Verhältnifs der Drehungsgeschwindigkeit wächst, ist bald durch eine Eigenthümlichkeit des Eisens, bald durch eine Inductionswirkung erklärt worden. Hr. W. Weber 1) benutzt seine mit dem Rotationsinductor angestellten Versuche, um einen Schlufs auf die Beweglichkeit des Magnetismus im weichen Eisen zu ziehen. Der Magnetismus im weichen Eisen braucht längere Zeit, um bei Umkehrung der Pole die neue Gleichgewichtslage anzunehmen, als die Elektricität im Kupferdraht, um beim Stromwechsel die entgegengesetzte Richtung. Die Herstellung des magnetischen Gleichgewichtes nach einer größeren Störung erfordert mehr Zeit, als nach einer geringeren. Hierbei handelt es sich also um die Geschwindigkeit der Scheidung der Magnetismen oder, um die Redeweise, welcher Hr. Weber?) später selbst den Vorzug gegeben hat, anzunehmen, um die Geschwindigkeit, mit welcher die drehbaren Molecularmagnete und folglich auch die drehbaren Molecularströme ihre neue Richtung annehmen. Dagegen hat Hr. Lenz *) ganz von diesem im Eisenkerne selbst zu suchenden Grunde Nach ihm entsteht der Mangel an Proportionalität zwischen Stromstärke und Drehungsgeschwindigkeit dadurch, dass die in den Spiralen erzeugten wechselnden Ströme im Eisenkern wechselnden secundären Magnetismus erzeugen, der wieder einen secundären Strom in der Spirale hervorbringt, dessen Maxima aber nicht mit den Maximis des zuerst inducirten Stromes zusammenfallen, so dass für eine jede Drehungsgeschwindigkeit eine andere Commutatorstellung nöthig wird, um das Maximum der Strom-Dieser Anschauungsweise hat sich Hr. stärke zu erreichen. Koosen 1) angeschlossen, Hr. Leuz 3) hat sie weiter ausgeführt, dagegen hat Hr. Sinsteden 6) die für dieselbe

¹⁾ Result. d. magn. Versuche, 1838. S. 118.*

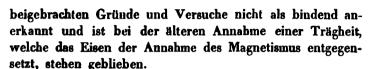
Electrodynam. Maaßbestimmungen. Abhaudl. der Künigl. Sächs. Ges. d. VVissensch. 1852. S. 564 – 570.*

³⁾ Diese Ann. LXXVI, 494.*

⁴⁾ Ebend LXXXVII, 386.*

⁵⁾ Ebend. XCII, 128.*

⁶⁾ Ebend LXXXIV, 181. *



6. Ueber die Vorgänge, welche in allen vorher besprochenen Fällen stattfinden, wird ein Bedeutendes Licht durch die Vergleichung der galvanometrischen und der physiologischen Wirkung inducirter Ströme, während die Spirale verschiedene Eiseneinlagen enthält, verbreitet. Hierher gehören die Beobachtungen über die Wirkung der Eisendrahtbündel, welche von Bochhoffner') und Sturgeon') gemacht und von Magnus 3) erklärt wurden, besonders aber die ausgedehnten Untersuchungen, welche Hr. Dove 4) über die Induction durch elektromagnetisirtes Eisen bekannt gemacht hat. Wenn auch durch diese Versuche gar keine Zeitbestimmungen für das Entstehen und Verschwinden des Magnetismus aus verschiedenen Eisenkernen gegeben werden, so erwecken sie doch eine klare Vorstellung von dem Gange der Curven, welchen die durch diese Veränderungen hervorgebrachten Inductionsströme befolgen. Ich werde im Verlauf der nachstehenden Untersuchungen öfter Gelegenheit haben, darauf hinzuweisen, wie genau sich die aus meinen messenden Bestimmungen gezogenen Schlüsse an diejenigen anschließen, welche Hr. Dove seinen nur vergleichenden Versuchen entnommen hat.

Gang der Versuche.

7. In meiner obenerwähnten Arbeit über die elektromagnetische Wirkung Volta'scher Ströme verschiedener Quellen habe ich eine Methode beschrieben, durch welche ich die Veränderung, welche der magnetische Zustand eines Eisenkernes während einer kleinen messbaren Zeit seines Entstehens erlitt, beobachtete, indem ich den während dic-

¹⁾ Sturgeon, Ann. of Electr. I, pag. 496.*

²⁾ Ebend. pag. 479.*

³⁾ Diese Ann. XLVIII, 95.*

⁴⁾ Abhandl. d. Berl. Akad. Phys. math. Kl. 1841. S 85.*

ser Zeit erzeugten Inductionsstrom maß. Von dieser Methode habe ich zwar im Allgemeinen auch jetzt Gebrauch gemacht, bin aber aus mehreren Gründen genöthigt gewesen, von derselben abzuweichen. Es sollte nämlich nicht nur der Gang untersucht werden, welchen der Magnetismus bei seinem Entstehen, condern auch bei seinem Verschwinden befolgt, und dazu waren die bisher gebrauchten Vorrichtungen nicht eingerichtet. Ferner konnte ich den Eisenkern, dessen magnetischer Zustand geprüft werden sollte, nicht mehr benutzen, um ihn selbst durch Anziehung eines kleinen Eisenankers den einmal geschlossenen Strom auch fernerhin geschlossen halten zu lassen, weil der Magnetismus dieses Kernes in vielen Fällen zu schwach war, um eine hinreichend schnelle Bewegung des Ankers zu veranlassen. Hierzu kommt noch, dass den früheren Versuchen, welche ich gleich als vorläufige bezeichnet habe, noch nicht derjenige Grad von Genauigkeit gegeben war, der durch Einführung noch einiger Vorsichtsmassregeln zu erlangen ist. Der Apparat hat sich dadurch so verändert, dass ich ihu im Zusammenhange, die früher schon gebrauchten Theile inbegriffen, beschreiben muß.

8. Die magnetisirende Spirale SS (Fig. 1 Taf. IV) liegt in der Regel zwischen zweien horizontalen Holzleisten in der Ostwestrichtung, so dass ihre Axe auf das Ende einer in einem Glaskasten aufgehängten Magnetnadel M hinweist, und ihre Entsernung von diesem Nadelende an den Leisten abgelesen werden kann. Die Drähte dieser Spirale führen zur Hauptbatterie p und schließen einen Widerstandsmesser W_2 , eine Tangentenbussole mit wenigen Windungen T und einen Commutator C ein, der die Leitung mit einem Relais P1) P2 in Verbindung setzt. Ist der Elektromagnet dieses Relais unmagnetisch, so liegt das Leiterstück P3, wel-

Ich beschreibe das Relais hier nur seinen wesentlichen Theilen nach, Ich fand eine meinem Zweck durchaus entsprechende Vorrichtung in den magnetischen Relais, welche nach Herrn Hipp's Angabe in der eidgenössischen Telegraphenwerkstätte zum Telegraphiren mit Inductionsströmen angesertigt werden.

ches den Anker trägt, nach links hin, aber nicht durch Federkrast so sest gegen sein Widerlager gedrückt, dass es, wenn man es gegen das rechte Widerlager hinübersührt, zurücksiele. Vielmehr ist das Leiterstück q mit seinem Anker so in ein labiles Gleichgewicht gebracht, dass es, wenn es nach irgend einer Seite hin gestossen worden ist, auf dieser liegen bleibt. Die Contactstellen sind aus Platin gesertigt. In der Zeichnung ist die Leitung der Hauptbatterie (welche durch einen voll ausgezeichneten Strich angedeutet ist) geschlossen. Sie könnte auf zwei verschiedene Weisen unterbrochen werden, entweder dadurch, dass man den Commutator C umsetzt, oder dadurch, dass man den Relaiseisenkern magnetisch macht und dadurch q gegen das rechte Widerlager legt. Geschieht beides zugleich, so ist die Leitung wiederum geschlossen.

Wenn es sich darum handelt den Einfluss kennen zu lernen, welchen die Beschaffenheit des in die Spirale SS geschobenen Eisenkernes auf das Entstehen und Verschwinden des Magnetismus ausübt, und wenn man dabei davon ausgehen will, dass zwei verschiedene Eisenkerne ein gleiches magnetisches Moment haben, so muss die Stromstärke der magnetisirenden Batterie mittelst des Widerstandsmessers w, geändert werden. Hierdurch wird aber auch der Widerstand geäudert, welche der in der Spirale entstehende Extracurrent zu überwinden hat, so dass der in §. 3. erwähnten Bedingung, dass das Verhältniss des Potentials der Spirale auf sich selbst zum Widerstand constant bleiben muss, nicht mehr genügt wird. Um diess Verhältnis immer constant zu halten, so lange zwei Kerne mit einander verglichen werden, wurde folgende Vorrichtung angebracht, deren Sinn am besten aus Fig. 2 Taf. IV erhellt. Die Leitung (aus welcher die für diese Betrachtung nicht nöthigen Theile fortgelassen sind) geht wieder von der Batterie p durch den Widerstandsmesser w, zur Spirale SS und zurück. Eine Zweigleitung enthält aber einen zweiten Widerstandsmesser w. Für den primären Strom ist die Strecke von A bis B durch p und w_2 die unverzweigte Leitung, die Zweige sind Aw_1B und ASSB. Wird der Widerstand in w_2 vergrößert, so nimmt die Stromstärke in SS ab, wird der Widerstand in w_1 verkleinert, so nimmt die Stromstärke auch ab. Für den Extracurrent ist die unverzweigte Leitung ASSB, die Zweige sind Aw_1B und Aw_2B . Wenn man daher die beiden Widerstände w_1 und w_2 in entgegengesetztem Sinne so verändert, daß der Gesammtwiderstand dieser beiden Zweige unverändert bleibt (also daß, wenn der Widerstand der Batterie w_p heißt, und der der Zuleitungsdrähte, in den der eingeschlossene Widerstandsmesser eingerechnet wird,

$$\frac{(w_{p}+w_{2}) w_{1}}{w_{p}+w_{1}+w_{1}}$$

unveräudert bleibt), so kann die primäre Stromstärke vergrößert oder verkleinert werden, ohne dass der Extracurrent einen anderen Widerstand zu überwinden hätte. Sollten also zwei Eisenkerne mit einander verglichen werden, so wurde zuerst der eine in die Spirale gelegt und die durch ihn erzeugte Ablenkung des Magnets M beobachtet. Dann wurde der Kern durch den anderen ersetzt und w. und w, wurden so lange verändert bis die Ablenkung von M wieder dieselbe war, ohne dass der gesammte Leitungswiderstand verändert wäre. Wenn verschiedene Spiralen ohne Eisenkerne, oder solche Kerne, welche sich nicht auf den §. 8. erwähnten Leisten anbringen ließen, verglichen wurden, so fand die Beobachtung der magnetischen Ablenkung nicht statt; die Widerstände wurden dann so lange geändert, bis der gesammte Inductionsstrom, der in ein und derselben Nebenspirale beim Unterbrechen des Hauptstromcs erregt wurde, dieselbe Größe hatte, dieser Hauptstrom mochte durch die eine oder durch die andere Leitung geben.

10. Um zu prüfen, ob der im vorigen Paragraphen gestellten Bedingung genügt ist, schalte ich die Hauptbatterie, insofern sie elektromotorisch wirkt, aus der Leitung aus, lasse sie aber, insofern sie als Widerstaud wirkt, darin, d. h. ich setze sie immer aus einer geraden Anzahl von

Elementen zusammen, welche hintereinander in gleichem Sinne verbunden sind, so lange sie elektromotorisch wirken soll, von denen dagegen die eine Hälfte der anderen in entgegengesetztem Sinne gegenüber gestellt wird, wenn sie bloss als Widerstand gebraucht werden. Die elektromotorischen Kräfte beider Hälften heben sich dann wohl nicht vollständig auf, ich habe mich aber überzeugt, dass der Rest vollkommen vernachlässigt werden darf. Als neuer Elektromotor wird dann eine einfache Grove'sche Kette in den Theil der Leitung eingeführt, welcher für den Extracurrent unverzweigt ist, etwa bei k: dann muss die Tangentenbussole T bei den verschiedenen Stellungen, welche man den Widerstandsmessern giebt, immer die gleiche Stromstärke angeben. Die Ausführung dieses Planes ist wieder in Fig. 1 Taf. IV ersichtlich, wo die Wippe N mit Leichtigkeit die eine Verbindung in die andere verwandelt. Jeder der zehn Quecksilbernäpfe ist mit dem gegenüber liegenden leitend verbunden. Klappt die Wippe nach der der Batterie zugekehrten Seite herüber, so wirkt p elektromotorisch, k ist dagegen garnicht in der Leitung. Der Zweigdraht, welcher nach w, führt, ist durch eine Schlangenlinie angedeutet. Mit Hülfe der Schemas Fig. 2 Taf. IV wird das Spiel der Wippe soweit klar seyn, dass man sieht, wie bei deren Umschlagen nach der von der Batterie abgekehrten Seite k in die Leitung eintritt und die beiden Hälften von p in entgegengesetztem Sinne mit einander verbunden werden.

11. Das Schließen und Oeffnen des Hauptstromes geschieht immer auf dieselbe Weise, nämlich dadurch, daß die Lokalbatterie l geschlossen, dadurch der Eisenkern des Relais magnetisch gemacht und der Anker q nach rechts herüber gezogen wird. Das Zurücklegen von q nach der linken Seite geschah durch eine besondere Hebelvorrichtung, um die Art des Contactes so viel als möglich unverändert zu erhalten. Ob das Anziehen von q Schließeung oder Oeffnung bedingt, hängt von der Stellung des Commutators ab. Das Schließen der Lokalbatterie wird durch zwei Contacte bewirkt: zuerst muß die Wippe Q nach

der in der Zeichnung nach oben gerichteten Seite umgelegt seyn, dann muss die Feder b die Metalleinlage des Elfenbeincylinders berühren, welche durch die metallene Platte und den Knopf D mit der Rotationsaxe und der Feder a in leitender Verbindung steht. Wenn der Cylinder rotirt, so wird die Relaisleitung (in der Zeichnung aus kleinen Strichen zusammengesetzt) dann geschlossen, wenn die Feder b zum ersten Male über den Metalleinsatz schleift, nachdem die Wippe auf die vorher angegebene Weise umgeschlagen ist.

12. Während die Wippe Q nach der anderen Seite hin liegt, schliefst sie eine (durch Punkte und Striche angedeutete) Leitung, welche zur Hauptbatterie führt, und einen Widerstandsmesser w ein, der so gestellt wird, dass sein Widerstand annähernd gleich ist demjenigen, den die Batterie zu erleiden hat, wenn die Spirale SS und die Widerstände w_1 und w_2 eingeschaltet sind. Da nämlich der Gegenstrom der Schliessung, wie die HH. Edlund ') und Rijke²) gefunden haben, unter sonst gleichen Umständen deshalb stärker ausfällt als der Sehleisungsstrom, weil selbst eine sogenannte constante Batterie, nachdem sie längere Zeit hindurch geöffnet war, eine größere elektromotorische Krast hat, als nach eingetretener Polarisation; so muss jedesmal, wenn die Wirkung eines Schliessungsstromes untersucht werden soll, der Hauptstrom vorher durch diese Nebenleitung geschlossen gehalten werden. Natürlich wird der Widerstandsmesser w geöffnet, wenn ein Oeffnungsstrom untersucht oder die in §§. 9 und 10 angegebene Widerstandsprüfung vorgenommen werden soll.

Auf die Magnetisirungsspirale ist eine andere, die Inductionsspirale R geschoben, in der Zeichnung als ein aus wenigen Windungen gebildeter Ring angedeutet. ist gegen die Hauptspirale sorgfältig durch Guttapercha isolirt; ebenso sind die von dieser Inductionsspirale ausgehenden Leitungsdrähte in Guttapercharöhren gesteckt. In der

¹⁾ Diese Ann. LXXVII, 161.*

²⁾ Ebend. C11, 490.*

Zeichnung sind sie durch punktirte Linien dargestellt. Der durch irgend welche inducirende Umstände in der Spirale R erregte Strom wirkt nur so lange auf die Spiegelbussole B, als die Feder d über den Metalleinsatz des Elfenbeincylinders schleift und dadurch die Verbindung mit c herstellt. Die Ablenkung des Bussolspiegels wird mit Scala und Fernrohr F abgelesen.

- 14. Die Einrichtung des rotirenden Cylinders ist im Ganzen dieselbe, wie ich sie in meiner oben angezogenen Arbeit beschrieben habe. Die eine Hälfte desselben, vom Zahnrade z bis zur Gränzsläche i. sitzt auf der Axe des Rotationsapparates fest; die andere Hälfte von da bis zum Knopf D ist gegen jene drehbar, die Drehung wird durch eine Theilung gemessen und das drehbare Stück des Cylinders gegen das feste durch die Schraube D festgestellt. Der Metalleinsatz über welchen b schleift ist wieder 10° breit, der andere aber, über welchen d schleift, nur 5°. Das Rad z hat 60 Zähne. Der Apparat wird so gedreht, dass die Zähne, indem sie gegen die leichte Feder e anschlagen, denselben Ton geben, mit welchem eine auf den Tisch festgeschraubte Stimmgabel t tönt. Dieser Ton ist $\overline{a} = 428$ Erschütterungen in der Sekunde. Der Cylinder bewegt sich demnach um 1 Grad während 0,00039 Sek.; um 5 Grad während 0,00195 Sek., also nahe während 2 Tausendstel Sekunden.
- 15. Die Spiegelbussole benutzte ich nie zur unmittelbaren Tangenten-Ablesung, welche einem Ablenkungswinkel über 3° entsprachen. Da aber sehr verschiedene Stromintensitäten zu beobachten waren, so mußten für größere die Multiplicatoren von der den Stahlspiegel enthaltenden Kapsel weiter entfernt werden. Durch vorläufige Versuche waren die Factoren bestimmt, mit denen die abgelesenen Zahlen multiplicirt werden mußten, um sie mit denen vergleichen zu können, welche bei der normalen Multiplicatorstellung abgelesen wurden. Zuweilen ließ ich auch, ohne die Multiplicatoren zu entfernen, die erste Spiegelschwankung vorübergehen und berechnete dieselbe aus der zweiten

Schwankung, wozu das logarithmische Decrement vorher bestimmt war. In den nachfolgenden Versuchsreihen sind gleich diese übertragenen Werthe angegeben, so dass dieselben also immer unter einander vergleichbar sind.

16. Als magnetisirende Spiralen wurden angewandt:

Spirale I: 384 Windungen in 3 Lagen, Länge 14,5 Centim., innerer Durchmesser 2,5 Centim., Drahtdicke I Millim.;

Spirale II: 22 Windungen in 1 Lage, Länge 4 Centim, innerer Durchmesser 2,5 Centim., Drahtdicke 1,5 Millim.;

Spirale III: 2832 Windungen in 24 Lagen, Länge 18 Centim., innerer Durchmesser 5 Centim., Drahtdicke 2 Millim.

Als Inductionsspiralen wurden benutzt:

Spirale A: 870 Windungen in 5 Lagen, Länge 14,5 Centim., innerer Durchmesser 3 Centim., Drahtdicke 0,7 Millim.;

Spirale B: 12 Windungen in 3 Lagen, Länge 3,5 Millim, innerer Durchmesser 3 Centim, Drahtdicke 0,7 Millim.;

Spirale C: 12 Windungen in 3 Lagen, Länge 8 Millim., innerer Durchmesser 5 Centim., Drahtdicke 1,5 Millim.; Spirale D: der magnetisirenden Spirale III ganz gleich.

Aufserdem wurde noch ein Ruhmkorff'scher Inductionsapparat angewandt, über dessen Spiralen mir die Angaben fehlen.

- 17. Als Einlagen in die Magnetisirungsspiralen wurden benutzt:
 - massiver Eisencylinder von 14,5 Centim. Länge und 2,4 Centim. Durchmesser;
 - 2) Bündel von 1000 Eisendrähten:
 - 3) Flintenlauf;
 - 4) aufgeschlitzter Flintenlauf;
 - 5) Papierrohr mit Eisenfeile gefüllt;
 - 6) Papierrohr mit 190 kreisrunden Eisenblechscheiben gefüllt.

Alle diese unter 2 bis 6 aufgeführten Einlagen sind an Länge und Durchmesser dem Cylinder 1 gleich.

7) Massiver Eisenstab von 14,5 Centim. Länge und 1,2 Centim. Durchmesser:

- 8) Eisenstab von 14,5 Centim. Länge und 2 Millim. Durchmesser;
- 2 Eisenstäbe von 29 Centim. Länge und 2,4 Centim. Durchmesser;
- Drahtbündel von 7 Centim. Länge und 2,4 Centim. Durchmesser.

Alle Eisenstäbe und Drähte waren sorgfältig ausgeglüht und gekühlt; die in 2, 5, 6 und 10 enthaltenen Drähte, Spähne und Platten waren durch das Glühen mit einer Oxydschicht bedeckt, welche nicht von ihnen entfernt wurde; ein anderes Isolationsmittel wurde außerdem noch auf dieselben dadurch aufgetragen, daß sie in einer ätherischen Harzlösung bis zum vollkommenen Verdampfen des Aethers umherbewegt wurden.

Außer den angeführten Kernen wurden für die größeren Spiralen in einigen Fällen noch andere gebraucht, welche gehörigen Orts erwähnt werden.

18. In Bezug auf die Bewegung des Relais muß noch Folgendes bemerkt werden: Wenn dasselbe die Unterbrechung eines Stromes bewirken soll (wenn also die Anordnung die in Fig. 1 Taf. IV gegebene ist), so tritt die Stromunterbrechung etwas später ein, als die Feder b den Metalleinsatz des Elfenbeincylinders berührt hat, nämlich um so viel später, als der Magnetismus im Magnet r Zeit braucht, um die Bewegung des Ankers q anfangen zu lassen. Diese Zeit braucht man indess nicht zu wissen, wenn sie nur immer die gleiche ist; der Versuch beginnt vielmehr mit dem Augenblick, in welchem diese Ankerbewegung wirklich eintritt. Dieser Augenblick wurde ermittelt, indem die Spirale SS ohne Eisenkern gelassen und dann das bewegliche Cylinderstück bei D so lange verschoben wurde, bis zuerst ein Inductionsstrom an der Bussole B zu beobachten war. Die Stellung, welche dann die beiden Cylinderstücke hatten, wurde als die Anfangsstellung betrachtet und ist in den nachfolgenden Beobachtungen immer als 0 bezeichnet. Diese Bestimmung wurde oft wiederholt und zwar immer sehr

nahe mit dem gleichen Erfolg; die nöthige Verschiebung (in welche der constante Fehler in der Stellung der beiden Federn d und b mit hineinfällt) schwankte nicht leicht um 1 Grad, Dank der ungemein leichten und sicheren Beweglichkeit des Relais. Anders aber war es mit der Stromschliefsung. Diese verspätet sich gegen das Auftreten der Feder b auf die Metalleinlage nicht nur um jene Zeit, die der Anker bis zu seiner Bewegung braucht, sondern auch noch um die, welche er zu seiner Bewegung bis zur Herstellung des Contactes auf der anderen Seite nöthig hat. Der Abstand zwischen den beiden Platinspitzen, zwischen denen das Metallstück q spielte, war zwar so klein, daß man kaum das dünnste Papierblatt einschieben konnte, dennoch aber war die zu dieser Bewegung nöthige Zeit nicht so constant, so dass die Gränzen, innerhalb deren die unter scheinbar ganz gleichen Umständen wiederholten Messungen übereinstimmten, viel weiter waren, als bei der Beobachtung der Oeffnungsströme. Die in den Tabellen angegebenen Zahlen mussten deshalb die Mittel aus mehr Beobachtungen seyn bei den Stromschließungen, als bei den Stromunterbrechungen. Gewöhnlich sind sie es bei jenen aus sechs, bei diesen aus zwei einzelnen Messungen. Stromschließungen traten sogar zuweilen bei einer ganz bestimmten Verschiebung der Cylinderstücke, also nach einer ganz bestimmten Zeit, nach erfolgter Stromschließung Inductionsströme im Sinne des Oeffnungsstromes auf. Diess erklärte sich indess durch ein Klirren der Relaiscontacte; hierdurch wurde in der That nach einer bestimmten Zeit noch eine Stromöffnung schnell nach der Schliefsung hervorgebracht, und da der hierdurch erzeugte Oeffnungsstrom den noch vorhandenen Schliefsungsstrom überwand, so wurde er allein an der Bussole merklich. Der Fehler konnte dann durch Regulirung der den Anker haltenden Feder entfernt Auch für die Schließungsströme ist die als Anfangsstellung der Cylinderstücke ermittelte Stellung mit 0 bezeichnet. Die Zeit, welche der Anker zu seiner Bewegung brauchte, betrug 7 bis 8 Tausendstel Sekunden.

Ich führe im Nachstehenden die an der Spiegelbussole beobachteten Ablenkungen an, an denen nur die in §. 15 erwähnten Uebertragungen schon gemacht sind. Diese Ablenkungen sind also so erhalten: Die Inductionsspirale R ist auf eine jedesmal genau angegebene Art auf die Magnetisirungsspirale SS oder den durch diese magnetisirten Eisenkern gesteckt. Den beiden Metalleinsätzen des Elfenbeincylinders ist eine gewisse Stellung zu einander ertheilt. Der Cylinder wird gedreht, bis das Zahnrad den Ton a angiebt, dann wird die Wippe Q umgeschlagen und die Bussole B abgelesen. Ganz derselbe Versuch wird wiederholt, nachdem der Eisenkern fortgenommen, alles Uebrige aber an der gleichen Stelle geblieben ist, um die Wirkung der Spiralen allein aufeinander zu erhalten. Die Differenz beider Ablesungen ist das Maass des Inductionsstromes, welcher durch die Veränderung hervorgebracht ist, die der Magnetismus während 0,00195 Sekunden erlitten hat, und zwar je nach der Verschiebung der Einsätze während der ersten, zweiten oder irgend welcher folgenden 0,00195 Sekunden nach Schließung oder Oeffnung des Stromes. Ich werde die so erhaltenen Ströme immer als Differentialströme bezeichnen (ein Ausdruck, der der Kürze wegen erlaubt seyn mag, wenn auch die Zeit, während welcher dieselben zu Stande kommen, innmer noch eine recht merkliche ist), im Gegensatz zu den Integralströmen, welche erhalten werden, wenn der Hauptstrom geöffnet oder geschlossen wird, während der Elfenbeincylinder nicht rotirt, sondern die Federn b und d auf den Metalleinlagen ruhen. Diese Integralströme sollen eigentlich der Summe aller Differentialströme jedesmal gleich seyn. Es wird sich später zeigen, in welchen Fällen diess wahr ist, in welchen nicht. In den Zeichnungen sind nicht die den gefundenen Zahlen entsprechenden Curven angegeben, sondern diejenigen, welche das Anwachsen oder Verschwinden des Magnetismus selbst darstellen. Die Abscissen stellen die Zeit von 2 zu 2 Taustendstel Sekunden dar; die Ordinaten sind so ge-Poggendoriff's Annal. Bd. CIV. 33

wehlt, dass die Differenzen je zwei auseinander folgender Ordinaten den für die Differentialströme gefundenen Zahlen nach der Reihe proportional sind.

Beobachtungen.

20. Spiralen ohne Kern. Da bei jeder Versuchsreihe von den beobachteten Differentialströmen, welche durch Oeffnung oder Schließung des die Eisenkerne magnetisirenden Stromes 'entstanden, diejenigen Ströme abgezogen werden mußten, welche durch die magnetisirende Spirale allein inducirt wurden, so liegen eine große Anzahl hierher gehöriger Beobachtungen vor. Nur einige derselben sollen angeführt werden:

Versuch 1. Magnetisirungsspirale I, Inductiosspirale A-Integralstrom der Oeffnung = 3,5. Differentialströme der Oeffnung:

Verschiebung 0° 3,4
1 3,4
3 3,4
5 3,4
6 3,3
7 2,2
8 0

Versuch 2. Magnetisirungsspirale III, vertical gestellt, Inductionsspirale B, auf dieselbe gelegt. Integralstrom der Oeffnung = 9,05. Differentialströme der Oeffnung:

Verschiebung 0° 8,8 5 8,8 6 8,6 7 6,2 8 0

Diese Beobachtungen bestätigen durchaus die Angaben von Helmholtz¹), dass der Oeffnungsinductionsstrom eine unmessbar kurze Dauer, besonders einen verschwindend kleinen aufsteigenden Ast hat. Sobald nämlich die Feder d

¹⁾ Diese Ann. LXXXIII, 534 u. 537.

die Metalleinlage berührt, tritt der Differentialstrom fast mit derselben Größe auf, welche der Integralstrom hat; ob er während eines oder während 5° der Rotation wirkt immer ist seine Intensität gleich, er hat also gleich wie ein momentaner Strom zu wirken angefangen. Dass auch bei 6° noch fast die gleiche Wirkung vorhanden ist, liegt wohl daran. dass die Feder durch ihre, wenn auch sehr geringe, Breite etwas zu lange anliegt. Bei 7º ist zwar ein schwächerer Strom vorhanden, es ist indess wahrscheinlich, dass die Metalltheile, welche trotz aller Sorgfalt nahe am Me. talleinsatze leicht auf das Elfenbein abgerieben werden, den Strom etwas länger erscheinen lassen, als er wirklich vorhanden ist, so dass wohl schon bei dieser Verschiebung der Strom ganz verschwunden seyn sollte. Bei 8° ist keine Spur von Wirkung wahrzunehmen, d. h. wenn die Schliesung des Inductionsstromes bei einer Verschiebung von 30 (oder des Federfehlers wegen wenig über 2°) nach der Stromunterbrechung, also nach weniger als 1 Tausendstel Sekunde geschieht. Ich habe hier ausnahmsweise die Messungen, welche bei Verschiebungen von 0 bis 5° gemacht sind, mit angeführt, weil sie eben am klarsten für die erwähnte Thatsache sprechen. Später beginne ich immer mit 5°, weil erst von da an die Schliessung des Inductionsstromes zum ersten Male die normale Zeit über gedauert hat.

Versuch 3, wie Versuch 1. Integralstrom der Schliefsung = 3,5. Differentialströme der Schliefsung:

| Versch. | Strom. | Versch. | Strom. |
|-----------|--------|---------|--------|
| 5° | 0,03 | 35 ° | 0,30 |
| 10 | 0,20 | 40 | 0,10 |
| 15 | 0,40 | 45 | 0,05 |
| 20 | 1,00 | 50 | 0,02 |
| 25 | 0,80 | 55 | 0,01 |
| 30 | 0,50 | | |
| | Summa | - 341 | |

Summa = 3,41.

Versuch 4, wie Versuch 2. Integralstrom der Schliefsung = 9,05. Differentialströme der Schliefsung:

| Versch. | Strom. | Versch. | Strom. | Versch, | Strom. |
|---------|--------|---------|---------|---------|--------|
| 50 | 0,02 | 55° | 0,65 | 105° | 0,13 |
| 10 | 0,04 | 60 | 0,60 | 110 | 0,10 |
| 15 | 0,10 | 65 | 0,55 | 115 | 0,08 |
| 20 | 0,15 | .70 | 0,45 | 120 | 0,05 |
| 25 | 0,30 | 75 | 0,35 | 125 | 0,03 |
| 30 | 0,55 | 80 | 0,30 | 130 | 0,02 |
| 35 | 0,85 | 85 | 0,25 | 135 | 0,02 |
| 40 | 0,80 | 90 | 0,22 | 140 | 0,02 |
| 45 | 0,75 | 95 | 0,20 | | |
| 50 | 0,70 | 100 | 0,15 | | |
| | | Summa | = 8,43. | | |

In diesen beiden Reihen zeigt sich ein ziemlich schnell aussteigender Ast, der indes immer noch eine Dauer von 10 bis 12 Tausendstel Sekunden hat; vom Maximum an aber fällt die Curve allmählich ab, besonders bei der Spirale mit vielen Windungen. In beiden Reihen ist die Summe der Differentialströme nahezu gleich dem Integralstrom, ganz erreichen kann sie denselben nicht, weil die Beobachtungen wegen zu geringer Größe der Ströme abgebrochen wurden. Bei der großen Spirale III in Versuch 4 ist die Dauer schon sehr beträchtlich, dennoch ist der Integralstrom der Schliessung gleich dem der Oeffnung beobachtet (Versuch 2); ein Beweiss, dass die Dauer des Schließungsstromes immer noch zu vernachlässigen ist gegen die Schwingungszeit des Magnetspiegels, dass also die Wirkung des Schliessungsstromes so gut wie die des Oeffnungsstromes noch als ein Stoß angesehen werden kann.

21. Spirale mit Kern, welcher von derselben ganz umschlossen ist.

Versuch 5. Magnetisirungsspirale I, Inductionsspirale A (wie in Versuch 1). Der Integralstrom der Oeffnung soll eigentlich für alle verschiedenen Einlagen bei derselben

Versuchsreihe gleich groß seyn; da aber die im §. 9 beschriebene Methode verlangt, dass die durch die verschiedenen Eisenkerne allein erzeugten Ablenkungen des Magnets M gleich seven (d. h. nach Abrechnung der durch die magnetisirenden Spiralen allein erzeugten Ablenkungen), und da diess lediglich durch Probiren zu erreichen ist, so ist die Uebereinstimmung nicht vollkommen, namentlich wo die Stärke der magnetisirenden Ströme in so weiten Gränzen variiren musste, wie hier. Beispielsweise war die Stromstärke, welche das Rohr mit Eisenfeilspähnen magnetisirte, etwa fünf Mal so stark als die, welche dem massiven Eisenkern den gleichen Magnetismus verlieh. Die Integralströme sind deshalb jedesmal angegeben. Bei der zweiten Tabelle sind die Integralströme der Schliessung nicht mit aufgeführt, weil sie denen der Oeffnung innerhalb der Beobachtungsgränzen gleich sind.

Oeffnungsströme.

| •, | i in | tegralstro | m | I I | Diff | ferentialstr | OID |
|------|--------------------|------------|------|-------------------|----------------------|--------------|--------------------|
| Kern | Kern u.
Spirale | Spirale | Kern | Verschie-
bung | Kern u.
Spirale | Spirale | Kern |
| 2 | 12,5 | - 1,2 | 11,3 | 5 8 | 12,1
0 | 1,0 | 11,1 |
| 5 | 15,6 | 4,4 | 11,2 | 5
8
5
8 | 15,1
0 | 4,2 | 10,9 |
| 4 | 12,4 | 1,1 | 11,3 | 5
10 | 11,2
1,0 | 1,0 | 10,2
1,0 |
| 6 | 16,4 | 5,3 | 11,1 | 15
5 | 0,0 1
13,6 | 0
5,1 | 0,01
8,5 |
| 9 | 10.4 | ,, | | 10
15 | 2,0
0,01 | 0 | 2,0
0,01 |
| 3 | 12,4 | 1,1 | 11,3 | 5
10
15 | 9,0
2,5 | 1,0
0 | 8,0
2,5 |
| | | | | 20
25 | 0,3
0,1
0,01 | 0 | 0,3
0,1
0,01 |
| 1 | 12,3 | 1,0 | 11,4 | 5
10 | 8,5
2,0 | 1,0 | 7,5
2,0 |
| | | | | 15
20 | 1,0
0,5 | 0
0
0 | 1,0
0,5 |
| | | | | 25
30 | 0,1
0,01 | 0 | 0,1
0,01 |
| | | | | 25 | 0,1 | 0 | 0,1 |

518

Schliefsungsströme.

| Ver- | -003 | Diffe | rentialstro | m | | Diff | Differentialstrom | | | |
|---|------|--|--|---|------|---|--|--|--|--|
| schie-
bung | Kern | Keru u.
Spirale | Spirale | Kern | Kern | Kern u.
Spirale | Spirale | Kern | | |
| 5
10
15
20
25
30
35
40
45
50
55
60 | 2 | 0,2
0,5
1,5
4,0
3,0
2,0
1,5
0,5
0,2
0,1
0,02
0,01 | 0,01
0,05
0,1
0,4
0,3
0,2
0,1
0,05
0,01
0 | 0,19
0,45
1,4
3,6
2,7
1,8
1,4
0,45
0,19
0,02
0,01 | 5 | 0,2
0,5
2,0
5,0
3,5
2,5
1,5
0,5
0,02
0,05
0,02 | 0,05
0,2
0,5
1,2
1,0
0,7
0,4
0,1
0,05
0,01 | 0,15
0,3
1,5
3,8
2,5
1,8
1,1
0,4
0,45
0,04
0,02 | | |
| 5
10
15
20
25
30
35
40
45
50
65
70
75 | 6 | 0,2
0,5
1,5
3,9
3,7
3,2
2,0
0,7
0,2
0,1
0,05
0,01 | 0,1
0,3
0,5
1,5
1,2
1,0
0,5
0,2
0,1
0,02
0 | 0,1
0,2
1,0
2,4
2,5
2,2
1,5
0,5
0,1
0,08
0,05
0,01 | 1 | 0,15
0,4
1,2
3,5
3,3
2,7
1,7
0,5
0,2
0,1
0,08
0,05
0,02
0,02
0,01 | 0,01
0,5
0,1
0,4
0,3
0,2
0,1
0,05
0,01
0
0 | 0,14
0,35
1,0
3,1
3,0
2,5
1,6
0,35
0,19
0,1
0,08
0,05
0,02
0,02
0,02 | | |

In der Reihe für Kern 1 sind die Differentialströme, welche der Spiralwirkung allein zuzuschreiben sind, nicht gemessen, sondern die aus der Reihe für Kern 2 benutzt, weil in beiden Fällen die Integralströme ziemlich gleich waren. Die Reihe für Kern 6 ist sehr unregelmäßig; zuerst fiel sie sogar ganz anders aus, da ich Anfangs einen viel größeren Stromantheil anwenden mußte, um den Blechplatten das gleiche magnetische Moment zu geben, wie den Stäben. Nach wiederholtem Oeffnen und Schließen wurde der Zustand, wie er in den Tabellen benutzt ist, ziemlich constant, indeß war nie eine solche Regelmäßigkeit in den Beobachtungen zu erlangen, wie bei den übrigen Kernen.

519

Versuch 6. Spiralen wie in Versuch 5.

| Note | r et suc | жo. | Spirai | en wie | ; III A | ersuci | υ. | | |
|--|-------------|------|--------------------|-----------|---------|---------|------|---------|------|
| Spirale Spirale Spirale Spirale Spirale Spirale Spirale Spirale Spirale Rern | | l | 1 | Ströme | | 1 | 1 | Ströme | |
| Differentialströme der Schließsung. | | Kern | Kern u.
Spirale | Spirale | Kern | Kern | | Spirale | Kern |
| Verschieb. 5 | Integral | 1 | 46,8 | 4,3 | 42,5 | 5 | 56,5 | 15,3 | 41,2 |
| 10 | | | different | ialström | e der i | Schließ | ang. | | |
| 10 | Verschieb 5 | l | 0.5 | 0.05 | 0.45 | | 0.6 | 0.2 | 0.4 |
| 15 6,4 0,6 5,8 7,8 2,2 5,6 12,1 1,1 11,0 14,6 3,3 11,3 12,5 1,0 11,5 14,5 3,3 11,3 13,5 14,5 3,3 11,0 14,6 3,3 11,0 14,6 3,3 11,0 14,5 3,3 11,0 14,5 3,3 11,0 14,5 3,5 11,0 14,5 3,3 11,0 14,5 3,3 11,0 14,5 3,3 11,0 14,5 3,5 11,0 14,5 3,3 11,0 14,5 3,3 11,0 14,5 3,3 11,0 14,5 3,3 11,0 14,5 3,3 11,0 14,5 3,3 11,0 14,5 3,3 11,0 14,5 3,3 1,8 1,8 1,0 | | | | | | | | | |
| 12,1 | | | | | | | | | 5,6 |
| 25 12,5 1,0 11,5 14,5 3,3 11,0 35 4,2 0,7 7,5 10,6 2,8 7,8 40 1,0 0,1 0,9 2,4 1,4 1,0 0,5 0,5 0,05 0,05 0,1 0,05 0,05 0,1 0,05 0,1 0,05 0,1 0,05 0,0 | 20 | | | | | | 14,6 | | 11,3 |
| 30 8,2 0,7 7,5 10,6 2,8 7,8 4,2 0,4 3,8 1,0 0,1 0,9 2,4 1,4 1,0 45 0,5 0,05 0,45 1,0 0,5 0,5 55 0,2 0,01 0,19 0,4 0,2 0,2 0,1 0,05 0,05 0,1 0,05 0,05 0,1 0,05 0,05 0,1 0,05 0 | 25 | | 12,5 | 1,0 | | | 14,5 | | |
| 1,0 | | | 8,2 | 0,7 | 7,5 | | 10,6 | | |
| 1,0 | | | | 0,4 | 3,8 | | 6,0 | 2,0 | 4,0 |
| 50 0,2 0,01 0,19 0,4 0,2 0,2 0,05 0,1 0 0,1 0,05 0,1 0,05 Differentialströme der Oeffnung. 5 32,8 4,2 28,6 52,4 14,1 38,3 10 1,8 1,8 1,8 25 1,0 1,0 30 0,5 0,5 35 0,2 0,2 | | | | | | | 2,4 | | |
| 0,1 0 0,1 0,05 | | | | | | | | | |
| Differentialströme der Oeffnung. | | | | | | | | | 0,2 |
| Differentialströme der Oeffnung. 32,8 | | | | - | 0,1 | | 0,1 | 0,05 | 0,05 |
| 5 32,8 4,2 28,6 52,4 14,1 38,3 10 7,4 0 7,4 0 0 0 0 15 3,3 3,3 3,3 0 0 0 0 0 0 20 1,8 1,8 1,0 1,0 0 0 0 0 0 25 1,0 0,5 0,5 0,5 0,5 0 0 0 0 30 0,5 0,2 0,2 0 0 0 0 0 | 60 | • | 0,05 | 0 | 0,05 | | | | |
| 10 | | 1 | Differen | tialströi | ne der | Oeffnu | ng. | | |
| 10 | 5 1 | | 32.8 | 4.2 | 28.6 | | 52.4 | 14,1 | 38,3 |
| 15 3,3 3,3 1,8 25 1,0 3,5 1,0 3,5 3,5 1,0 3,5 3,5 1,0 3,5 3,5 1,0 3,5 3,5 1,0 3,5 3,5 1,0 3,5 1,0 3,5 1,0 3,5 1,0 3,5 1,0 3,5 1,0 3,5 1,0 3,5 1,0 3,5 1,0 3,5 1,0 3,5 1,0 1, | 10 | | | | | | o l | | |
| 20 | 15 | | | | 3,3 | | | | |
| 25
30
35
0,5
0,2
0,5
0,2 | 20 | | 1,8 | ì | 1,8 | | | | |
| 35 0,2 0,2 | 25 | | 1,0 | | | | | | |
| | | | | 1 | | | | 1 | |
| 40 0,1 0,1 | | - 1 | | 1 | | | | 1 | |
| | 40 | | 0,1 | | 0,1 | | | | |

Versuch 7. Magnetisirungsspirale III, Inductionsspirale B, wie in Versuch 2.

| | i | 1 | Ström | e , | 1 | Ströme | | | | Ströme | | |
|----------|------|--------------------|---------|-------|------|--------------------|---------|------|---------------|--------------------|---------|------|
| | Kern | Kern u.
Spirale | Spirale | Kern | Kern | Kern u.
Spirale | Spirale | Kern | Kern | Kern u.
Spirale | Spirale | Kern |
| Integral | 1 | 51,1 | 9,05 | 42,05 | 2 | 53,2 | 9,1 | 44,1 | 2 in
Hülse | 53,0 | 9,1 | 43,9 |

Differentialströme der Schließung.

| Verschieb. | | | _ | |
|------------|----------|------|---------------|---------------|
| 5 | 0,1 0,02 | 0,08 | 0,1 0,02 0,08 | 0,1 0,02 0,08 |
| 10 | 0,5 0,04 | 0,46 | 0,5 0,05 0,45 | 0,5 0,05 0,45 |
| 15 | 1,0 0,10 | 0,9 | 1,2 0,10 1,10 | 1,0 0,01 1,09 |
| 20 | 1,9 0,15 | 1,75 | 2,0 0,16 1,85 | 2,0 0,15 1,85 |
| 25 | 3,4 0,30 | 3,1 | 3,6 0,35 3,25 | 3,5 0,35 3,15 |
| 30 | 4,4 0,55 | 3,85 | 4,5 0,6 3,9 | 4,5 0,6 3,9 |

| ė. | | Ströme | | | Poin | 1 5 | tröm | and d | | 1 | Ström | e |
|------------|------|--------------------|---------|------|-------|--------------------|---------|-------|------|--------------------|---------|------|
| Verschieb. | Kern | Keru u.
Spirale | Spirale | Kern | Kern | Kern u.
Spirale | Spirale | Kern | Kern | Kern n.
Spirale | Spirale | Kern |
| 35 | 1- | 5,0 | 0,85 | 4,15 | 17 | 5,3 | 1,0 | 4,3 | 91 | 1 5,2 | 1,0 | 4,2 |
| 40 | | 4,9 | 0.8 | 4.1 | | 5,0 | 0,9 | 4,1 | - | 1,9 | 1,9 | 4,0 |
| 45 | 3.31 | 4,5 | 0.75 | 3.75 | | 5.4 | 0,9 | 3,5 | | 4,5 | 0,9 | 3,6 |
| 50 | | 4,2 | 0,70 | 3.5 | | 4,2 | 0,7 | 3,5 | | 4,2 | 0,7 | 3,5 |
| 55 | | 3,9 | 0,65 | | | 3,8 | 0,6 | 3,2 | | 3,9 | 0,6 | 3,3 |
| 60 | | 3,2 | 0.6 | 2,6 | 100 | 3,7 | 0,6 | 3,1 | JK/ | 3,7 | 0,6 | 3,1 |
| 65 | | 3,0 | 0,55 | | 100.0 | 3,4 | 0,5 | 2,9 | | 3,3 | 0,5 | 2,8 |
| 70 | | 2,7 | | 2,25 | 000 | 2,9 | 0,4 | 2,5 | | 2,9 | 0.4 | 1,8 |
| 75 | XX | 2,1 | 0,35 | | 2 | 2,0 | 0,35 | 1,65 | | 2,2 | 0,35 | 1,85 |
| 130 | | 0.25 | 0.02 | 0.23 | | 0,2 | 0,03 | 0,17 | | 0,2 | 0,03 | 0,17 |
| 135 | 1 | | 10,02 | | | 0,2 | | 0,18 | | 0,2 | 0,02 | 0,18 |
| 140 | - | | 0,02 | | 1 10 | 0,2 | | 0,18 | | 0,2 | 0,02 | 0,18 |

Differentialströme der Oeffnung.

| 5 | 37,08 | 8.8 | 29.0 | 50,5 | 8.8 | 41,7 | 42,0 | 8,8 | 33,2 |
|----|-------|-----|------|--------|-----|------|------|-----|------|
| 10 | | 0 | 6,3 | 0 | 0 | 0 | 6,4 | 0 | 6,4 |
| 15 | 2,9 | 0 | 2,9 | 1 | | 1000 | 2,5 | 0 | 2,5 |
| 20 | 1,6 | 0 | 1,6 | 119 11 | | | 1,3 | 0 | 1,31 |
| 25 | 0,8 | 0 | 0.8 | | | | 0,4 | 0 | 0,4 |
| 30 | 0,3 | 0 | 0,3 | | | | 0,1 | 0 | 0,1 |
| 35 | 0,1 | 0 | 0,1 | 1. 1 | | | | | 1 |

In der letzten Versuchsreihe, bei welcher der Kern bezeichnet ist "Kern 2 in Hülse", war das Drahtbündel von einem 2 Millim. dicken Kupferrohre umgeben.

22. Die vorstehenden Versuchsreihen lassen eigentlich nur einen Einflus der verschiedenen Einlagen auf die Oeffnungsströme, also auf das Verschwinden des Magnetismus erkennen. Das Entstehen desselben ist so wesentlich durch die Gegenströme der Schließung in der magnetisirenden Spirale selbst bedingt, dass es ziemlich gleichgültig scheint, ob in der Peripherie der Eisenkerne auch noch Ströme inducirt werden und ob die polare Ausbildung des Magnetismus durch die Richtkraft, welche Theilchen auf Theilchen in der Richtung der Längenaxe des Kernes ausübt, auf gröfsere oder kleinere Schwierigkeiten stößt. Taf. IV, Fig. 3

stellt das Anwachsen des Magnetismus im Drahtbündel und im massiven Eisenkerne nach Versuch 5 vor. Die Abweichungen beider Curven von einander sind zwar gesetzmäßig, aber unerheblich.

Beim Verschwinden des Magnetismus ist der Unterschied um so merklicher. Weder das Drahtbündel, noch die mit Eisenfeilspähnen gefüllte Röhre braucht eine messbare Zeit, um in den unmagnetischen Zustand zurückzukehren, während beim aufgeschlitzten Flintenlauf eine solche Zeit schon merklich wird. Bei diesem sind zwar auch peripherische Ströme nicht möglich, die Wanddicke ist aber schon beträchtlich genug, um Ströme entstehen zu lassen, deren verzögernde Wirkung bemerklich wird. Am klarsten geht die Wirkung der peripherischen Ströme aus Versuch 7 hervor. Taf. IV, Fig. 4 stellt das Verschwinden des Magnetismus aus den in Versuch 5 und Fig. 5 aus den in Versuch 7 augewandten Kernen dar. Die ganzen Ergebnisse dieser Reihen stimmen genau mit den von Hrn. Dove durch Vergleichung des physiologischen Effectes erhaltenen 1) überein, nur mit dem Unterschiede, dass in meinen Versuchen die Stromstärken so gewählt waren, dass der Integralstrom bei den verschiedenen Kernen gleich groß blieb, so daß die aus Blechplatten zusammengesetzten Kerne sich nicht so von den massiven unterscheiden konnten, wie in Dove's Hr. Helmholtz?) ist zu dem Schlusse gekommen, dass die physiologische Wirkung der Unterbrechungsströme hauptsächlich von deren aufsteigendem Aste herrühre, dessen Dauer übrigens eine unmessbar kleine sey. Wenn die physiologische Wirkung durch verschiedene Einwirkungen so wesentlich verändert wird und aus meinen Versuchen hervorgeht, dass die Veränderung des absteigenden Astes mit jener ganz gleichen Schritt geht, so liegt der Schluss nahe, dass auch die Gestalt dieses Astes von wesentlichem Einfluss auf die physiologische Wirkung ist. Be-

¹⁾ A. a. O. S. 111 u. ff.

²⁾ Diese Ann. LXXXIII, 537.*

greiflicher Weise schließt indes das Eine das Andere nicht aus, da die Veränderungen des aufsteigenden Astes sich noch immer der Beobachtung entziehen, auch wenn die Spiralen solide Eisenkerne enthalten. Ich habe in keinem Falle einen aufsteigenden Ast wahrnehmen können, woraus geschlossen werden darf, das dessen Dauer noch immer weniger als 1 Tausendstel Sekunde beträgt ').

 Ich füge noch einige Versuche bei, welche mehr vereinzelt dastehen.

Versuch 8. Ruhmkorff'scher Inductionsapparat. Der Kern kann herausgenommen werden, es bleibt aber dann ein geschlossenes Rohr von Weifsblech in der Spuhle. Als Kerne dienen ein massiver Cylinder und ein Bündel von I Millim. dicken Eisendrähten. Die Versuche dieser Reihe wurden mit gleichbleibender Stromstärke angestellt.

| | | | Drahtbündel | | Eisencylinder | |
|---------------------------------|-----------------|---------------------|--------------------|-------|---------------------|-------|
| Integralstrom | Ver-
schieb. | Spirale
o. Kern. | Kern u
Spirale. | Kern. | Kern u.
Spirale. | Kero. |
| d. Schliefsung Differentialstr. | | 89,0 | 154,8 | 65,8 | 211,3 | 122,3 |
| d. Schliefsung | ; 5 | 0,5 | 5,8 | 5,3 | 6,3 | 5,8 |
| | 10 | 0,6 | 6,3 | 5,7 | 6,6 | 6,0 |
| | 15 | 0,9 | 6,8 | 5,9 | 7,2 | 6,3 |
| | 20 | 1,2 | 7,0 | 5,8 | 7,4 | 6,2 |
| | 25 | 2,6 | 8,9 | 6,3 | 11,2 | 9,6 |
| | 30 | 4,2 | 10,9 | 6,7 | 15,0 | 10,8 |
| | 3 5 | 7,0 | 16,9 | 9,9 | 16,4 | 9,4 |
| | 40 | 7,0 | 17,1 | 10,1 | 17,7 | 10,7 |
| ٠ | 45 | 7,6 | 15,5 | 8,9 | 17,4 | 9,8 |
| | 50 | 7,4 | 15,0 | 7,6 | 17,2 | 9,8 |
| | 55 | 7,2 | 14,5 | 7,3 | 16,8 | 9,6 |

¹⁾ In der früher von mir mitgetheilten vorläufigen Versuchsreihe hatte ich auch für den Schließungsstrom keinen aufsteigenden Ast beobachtet, offenbar weil ich die Stellungen der beiden Federn b und d als die wahren Nullstellungen angenommen hatte, während sie ein wenig gegeneinander verschoben waren.

| | | | Drahtbi | indel | Eisency | linder |
|----------------|-----------------|---------------------|---------------------|-------|---------------------|--------|
| | Ver-
schieb. | Spirale
o. Kern. | Kern u.
Spirale. | Kern. | Kern u.
Spirale. | Kern. |
| | 60 | 7,2 | 14,4 | 7,2 | 16,1 | 8,9 |
| | 100 | 6,8 | 13,8 | 7,0 | 15,0 | 8,2 |
| | 200 | 2,4 | 8,9 | 6,5 | 10,2 | 7,8 |
| | 300 | 0,8 | 6,6 | 5,8 | 6,6 | 5,8 |
| • | 350 | 0,4 | 5,3 | 4,9 | 6,2 | 5,8 |
| Integralstrom | | | | • | | |
| d. Oeffnung | | 90,4 | Es spr | ingen | 223,5 | 132,1 |
| Differentialst | r. | | Funl | ken | | |
| d. Oeffnung | 5 | 57,1 | übe | er | 123,4 | 66,3 |
| | 10 | 23,4 | | | 45,2 | 21,8 |
| | 15 | 6,3 | | | 22,5 | 16,2 |
| | 20 | 0 | | | 10,7 | 10,7 |
| | 25 | | | | 8,1 | 8,1 |
| | 30 | | | • | 6,3 | 6,3 |
| • | 35 | | | | 4,8 | 4,8 |
| | 40 | | | | 2,7 | 2,7 |
| | :
200 | | | | 0,1 | 0,1 |

Diese Versuchsreihe läst Vieles zu wünschen übrig. Die Zahlen folgen, namentlich bei den auf den massiven Eisenkern bezüglichen Beobachtungen, sehr umregelmäßig, ja sogar sind die einzelnen Beobachtungen noch weit weniger unter einander in Uebereinstimmung, als die hier mitgetheilten Mittel. Diese Unregelmäßigkeiten werden um so auffallender, je größere Eisenmassen in den Spiralen stecken. Dennoch lehrt diese Reihe mancherlei. Zunächst zeigt sich das Verschwinden des Magnetismus sehr verschieden. Aus der dünnen Blechhülse verschwindet er noch immer ziemlich schnell; das Drahtbündel zeigte bis zur Verschiebung 30 mäßige Wirkungen auf das Galvanometer, diese würden aber weit beträchtlicher gewesen seyn, wenn nicht der größte Theil des Oeffnungsstromes in Fun-

kengestalt übergesprungen wäre. Die gemessenen Zahlen haben deshalb keine Bedeutung, und ich habe sie garnicht aufgeführt. Der massive Eisenkern zeigte dagegen ein so langsames Verschwinden des Magnetismus, dass noch bei der Verschiebung 200 ein Inductionsstrom wahrnehmbar wurde. Die beim Drahtbündel eintretende Verzögerung mag nicht nur in der Rückwirkuug der Blechhülse ihren Grund gehabt haben, sondern auch in der Dicke der Drähte, denn eine so dünne Blechhülse wirkt, wie schon Dove bemerkt hat, nur wenig verzögernd.

Das Anwachsen des Magnetismus geschieht wieder bei beiden Eisenkernen nicht sehr verschieden, beide Mal reicht die Zeit einer ganzen Umdrehung des Cylinders nicht aus, um die Eisenkerne auf das Maximum ihres Magnetismus zu bringen. Diess hat auf die Beobachtungen einen wesentlichen Einfluss; die Zeit, in welcher der Magnetismus entsteht, wird nicht mehr klein im Verhältniss zu der Zeit, in welcher der Magnetspiegel eine Schwingung vollendet. Darum wird der Integralstrom der Schliessung beträchtlich kleiner als der der Oeffnung und zwar um so mehr, je mehr sich das Anwachsen des Magnetismus verzögert. Diese Erscheinung wiederholt sich in den später mitgetheilten Ver-Außerdem können die einzelnen Beobachtungen der Differentialströme nicht mehr ganz richtig seyn, weil, noch ehe eine Schwingung des Spiegels vollendet ist, der Cylinder einen Umgang gemacht hat, und ein neuer Stofs erfolgt. Diese Wirkung wird bei den nachfolgenden Versuchen noch auffallender.

24. Versuch, 9. Magnetisirende Spirale I, Inductionsspirale B, Eisenkern 6. Die Ringspirale wurde bald auf die Mitte der magnetisirenden Spirale, bald auf deren Ende geschoben; die Stromstärke wurde so geregelt, das bei beiden Stellungen gleiche Integralströme inducirt wurden.

| Integralstrom der | Sch | lie | <u>lsur</u> | ıg | mit | ŀ | Cer | n | und | Sı | pira | ıle | 6,4 |
|--------------------|-----|-----|-------------|----|-----|---|-----|---|-----|----|------|-----|-----|
| mit Spirale allein | | | ٠, ٠ | • | • | • | | | | | | • | 2,1 |
| mit Kern allein | | | | | | | | | | | | | |

Differentialströme der Schliefsung:

| | | Ringsp. i. d. | Mitte | Ringsp. am | Ende |
|-----------------|----------|---------------------|-------|-----------------------|-------|
| Ver-
schieb. | Spirale. | Kern u.
Spirale. | Kern. | . Kern u.
Spirale. | Kern. |
| 5 | 0,02 | 0,05 | 0,03 | 0,05 | 0,03 |
| 10 | 0,10 | 0,3 | 0,2 | 0,2 | 0,1 |
| 15 | $0,\!25$ | 0,8 | 0,55 | 6,7 | 0,45 |
| 20 | 0,7 | 2,0 | 1,3 | 2,1 | 1,4 |
| 2 5 | 0,6 | 2,0 | 1,4 | 2,0 | 1,4 |
| 30 | 0,3 | 0,8 | 0,5 | 0,7 | 0,4 |
| 35 | 0,15 | 0,5 | 0,35 | 0,5 | 0,35 |
| 40 | 0,05 | 0,2 | 0,15 | 0,2 | 0,15 |
| 45 | 0,02 | 0,1 | 0,08 | 0,1 | 0,08 |
| 50 | 0,01 | 0,05 | 0,04 | 0,05 | 0,04 |
| 55 | | 0,05 | 0,05 | 0,02 | 0,02 |
| 60 | | 0,01 | 0,01 | 0,01 | 0,01 |

Die Unterschiede in der Entstehungszeit des Magnetismus am Ende und in der Mitte des Eisenkernes sind nach diesem Versuche, der sogar mit dem in der Längenrichtung am wenigsten zusammenhängenden Kerne angestellt wurde, so unbedeutend, dass man auf ein vollkommen gleichzeitiges Anwachsen im ganzen Kerne schließen darf; immer noch unter der Voraussetzung, dass der Kern seiner ganzen Länge nach von der magnetisirenden Spirale umgeben ist.

25. Spirale mit Kern, welcher von derselben nicht gans umschlossen ist.

Versuch 10. Magnetisirungsspirale III, Inductionsspirale D. Beide stecken auf den Schenkeln eines großen, hufeisenförmigen Elektromagnets.

| Integralstrom
Differentialströr | 5
ne | Schließang
208,0 | Oeffnung
269,8 |
|------------------------------------|---------|---------------------|-------------------|
| Verschiebung | 5 | 0,5 | 0,5 |
| | 10 | 0,5 | 0,5 |
| | 15 | 0.6 | 0.8 |

| 5-12 | Schliefsung | Oeffnung |
|------|-------------|----------|
| 20 | 0,6 | 1,2 |
| 25 | 0,6 | 1,2 |
| 30 | 0,65 | 1,0 |
| 35 | 0,65 | 1,0 |
| 40 | 0,6 | 1,0 |
| 200 | 0,5 | 0,8 |
| 350 | 0,5 | 0,5 |

In diesem Versuche ist der ungeheure Unterschied zwischen den Integralströmen und der Summe der Differentialströme sehr auffallend. Man hat es hier mit einem Eisenkern zu thun, bei dem noch mehre Minuten nach der Schliefsung oder Oeffnung des magnetisirenden Stromes das Entstehen oder Verschwinden des magnetisirenden Stromes noch nicht vollendet ist. In Bezug auf die Schliessungsströme ist also nur die Kleinheit der Differentialströme auffallend; in Bezug auf die Oeffnungsströme aber tritt noch etwas Anderes hervor: nämlich ein aufsteigender Ast der Curve-Dieser rührt aber von der Beschaffenheit der Inductionsspirale her, welche während einer Schwingung des Spiegels wiederholentlich geschlossen wird, und wegen ihrer großen Windungszahl einen Gegenstrom erregt, welcher Anfangs den Magnetismus nur sehr langsam verschwinden läst. Wenn ich eine kleinere Inductionsspirale gebrauchte, so verschwand diese Anomalie.

Versuch 11. Magnetisirungsspirale III, Inductionsspirale C, auf dem Ende des großen Elektromagnetkerns, auf dessen anderen Schenkel die Spirale III steckt.

| | | Schliessung | Oeffnung | | |
|----------------|-------------|-------------|----------|--|--|
| Integralstrom | 1 . | 8,5 | 10,0 | | |
| Differentialst | r. | | | | |
| Verschieb. | 5 | überall 0,1 | 0,1 | | |
| | 10 | | 0,1 | | |
| | 15 | | 0,15 | | |
| | 20 | | 0,15 | | |
| | 200 | | 0,12 | | |
| | 35 0 | | 0,1 | | |
| | | | | | |

Bei der Schliessung konnte auf der ganzen Peripherie kein Unterschied mehr bemerkt werden, was nicht gerade beweist, dass das Anwachsen des Magnetismus durch eine gerade Linic darzustellen sey; es wird vielmehr jede Spiegelablenkung das Resultat einer Reihe sehr kleiner und nicht sehr verschiedener Stöße, welche fast wie ein gleichmäßiger Druck wirken. Man sieht diess der ungemein langsamen Bewegung des Spiegels und der langen Zeit während welcher er in der Ablenkung beharrt, an. Die Versuche verlieren deshalb ihren Werth als Messungen, und vergegenwärtigen nur etwas lebhafter eine schon bekannte That-Aehnlich ist es mit dem Verschwinden des Magnetismus in diesem Versuch. Es ist zwar kein aufsteigender Ast der Curve zu bemerken, aber die höchste beobachtete Zahl fällt nicht auf die Verschiebung 5, sondern etwas später. Bei 5 ist offenbar noch gar kein Oeffnungsstrom vorhanden, sondern die Ströme, welche bei 5 und 10 aufgeführt sind, gehören den Verschiebungen von 365 und 370 Mit verschiedenen Abänderungen angestellte Versuche zeigten ähnliche Ergebnisse, aber nur, wenn der große Eisenkern angewandt wurde; bei kleineren Kernen begann diess Verschwinden des Magnetismus von vornherein mit der größten Geschwindigkeit. Für den großen Kern aber scheint der Schluss gerechtfertigt, dass eine kleine Zeit vergeht, ehe der Magnetismus aus einer von der magnetisirenden Spirale entfernten Stelle eines Eisenkerns zu verschwinden beginnt.

26. Die im vorigen Paragraphen untersuchten Erscheinungen treten klarer auf, wenn man nur so große Eisenkerne wählt, daß eine Umdrehung des Elfenbeincylinders genügt, um den Magnetismus zum vollen Entstehen oder Verschwinden gelangen zu lassen. Ich hätte für den großen Kern den Versuch dadurch abändern können, daß ich den Cylinder langsamer drehte; ich war indeß bei der hierzu nöthigen Langsamkeit nicht mehr im Stande, die Drehung gleichmäßig genug zu erhalten.

Versuch 12. Magnetisirungsspirale II, Inductionsspirale B.

Eisenkerne 9, beide aneiuander geschraubt, also von 58 Centim. Länge. Die Spirale II steckt auf dem einen, B auf dem anderen Ende dieses Stabes.

| Control of State of | | Schliefsung. | Oeffnung. |
|------------------------|-------------|--------------|-----------|
| Integralstrom | | 2,6 | 2,7 |
| Differentialströ | me: | | es action |
| Verschiebung | 5 | 0 | 0,8 |
| NAME OF TAXABLE PARTY. | 10 | 0 | 0,5 |
| | 15 | 0 | 0,2 |
| | 20 | 0,2 | 0,15 |
| | 25 | 0,3 | |
| | 30 | 0,35 | |
| | 35 | 0,35 | |
| | 40 | 0,3 | 0,02 |
| | 2 | | |
| 11 | 100 | 0,15 | |
| | : | | |
| | 25 0 | 0,05 | |

Hier zeigt sich für das Entstehen des Magnetismus sehr bestimmt, was oben für das Verschwinden desselben gesagt wurde. Erst nach 8 Tausendstel Sekunden wird es an einem Ende des Stabes merklich, daß das andere Ende desselben magnetisirt worden ist. Einen ähnlichen Schluß gestattet der folgende Versuch.

Versuch 13. Magnetisirungsspirale I, Inductionsspirale A, jede der Spiralen an einem Ende des 58 Centim. langen Eisenstabes.

Differentialströme der Schliessung:

| Verschieb. | 5 | 0 | Verschieb. | 35 | 0,9 |
|------------|-----------|-----|------------|------------|-----|
| | 10 | 0 | | 40 | 0,8 |
| | 15 | 0,2 | | 100 | 0,4 |
| | 20 | 0,8 | | 250 | 0,1 |
| | 25 | 0,9 | | 350 | 0 |
| | 30 | 0,9 | | | |

Ist die Entfernung zwischen Magnetisirungs- und Inductionsspirale nicht groß genug, so ist zwar dieses Ausbleiben des Magnetismus nicht bemerkbar, daß aber eine Verzögerung wirklich stattfindet, zeigt sich durch eine Verrückung des Maximums des Schließungsstromes.

Versuch 14. Magnetisirungsspirale I, Inductionsspirale B, Eisenkern 9 (einfache Länge), Spirale I an einem, B am anderen Ende des Stabes.

Differentialströme der Schließung:

| Verschieb. | 5 | 1,0 | Verschieb. | 45 | 6,0 |
|------------|-----------|-----|------------|-----|------|
| | 10 | 1,5 | | 50 | 5, l |
| | 15 | 1,9 | | 55 | 4,7 |
| | 20 | 2,4 | | 60 | 4,1 |
| | 25 | 3,1 | | 65 | 3,3 |
| | 30 | 4,5 | | 70 | 3,0 |
| | 35 | 6,3 | | 100 | 0,9 |
| | 40 | 6,3 | | 200 | 0 . |

In Fig. 6 Taf. IV ist das Anwachsen des Magnetismus nach Versuch 12 und 13, in Fig. 7 Taf. IV das Verschwinden desselben nach Versuch 11 dargestellt.

27. Welche Umstände auf das Entstehen und Verschwinden des Magnetismus in den nicht von der Spirale umgebenen Eisenstäben Einflus haben, ist aus den folgenden Versuchen ersichtlich.

Versuch 15. Magnetisirungsspirale III, das Drahtbündel 2 enthaltend. Auf dieses wird die Röhre b so aufgestellt, dass sie ganz aus der Spirale herausragt. Inductionsspirale B auf die Röhre geschoben.

| | | | B 14 Centim. von III | | | B 5 Centim. von I | | |
|-----------------|-----------|---------------------|----------------------|------|---------------------|-------------------|-------|--|
| | | Kern u.
Spirale. | Spirale. | Kern | Kern u.
Spirale. | Spirale. | Kern. | |
| Schliefsungströ | me: | | | | | | | |
| Integralstron | 0 | 1,1 | 0,5 | 0,6 | 4,1 | 1,7 | 2,4 | |
| Differentials | tr. | | | | | | | |
| Verschieb. | 5 | 1 | Uebera | 11 | 0,15 | 0,1 | 0,05 | |
| | 10 | | Spurer | 1 | 0,3 | 0,15 | 0,15 | |
| | 15 | | von | | 0,5 | 0,3 | 0,2 | |
| | 20 | Al | blenku | ng | 0,7 | 0,4 | 0,3 | |
| | 25 | | | _ | 1,1 | 0,5 | 0,6 | |

ş

| | | | entim. v | | | B 5 Centim. von III | | |
|---------------|------|--------------------|----------|-------|--------------------|---------------------|-------|--|
| | | Kern u.
Spirale | Spirale. | Kern. | Kern u.
Spirale | Spirale. | Keen. | |
| | 35 | | | | 1,1 | 0,5 | 0,6 | |
| | 45 | | | | 1,15 | 0,45 | 0,6 | |
| | 55 | | | | 0,9 | 0,35 | 0,5 | |
| | 100 | | | 100 | 1,75 | 0,25 | 0,5 | |
| | 150 | | | 10.73 | 0,5 | 0,1 | 0,4 | |
| | 200 | | | | 0,3 | 0 | 0,3 | |
| Oeffnungsströ | me: | | | | | | | |
| Integralstro | m | 1,2 | 0,5 | 0,7 | 4,5 | 1,7 | 2,8 | |
| Differential | str. | | | 1661 | | | | |
| Verschieb. | 5 | I | Jeberal | 1 | 2,9 | 1,5 | 1,4 | |
| | 10 | 19 | Spuren | | 1,0 | 0 | 1,0 | |
| 7 | 15 | | von | | 0,2 | | 0,2 | |
| | 20 | Al | lenkur | g | 0,09 | | 0,09 | |
| Distance 5 | 25 | | | ~ | 0,07 | | 0,07 | |
| | 30 | | | | 0,04 | | 0,04 | |
| | 35 | | | | 0,03 | | 0,03 | |
| | 40 | | | | 0,03 | | 0,03 | |
| | 100 | | | | 0,01 | | 0,01 | |

Bei diesem Eisenkern, dessen Continuität in der Längenrichtung gestört ist, tritt die Verzögerung sowohl des Anwachsens als des Verschwindens des Magnetismus schon bei sehr kleiner Entfernung von der magnetisirenden Spirale hervor. Der Umstand, welcher unwesentlich erschien, so lange der Kern ganz von der Spirale umgeben war: das Polarisiren der Molekeln der Längerichtung nach, ist jetzt der wesentlichste. Keiner der Eisenkerne, welche eine vollkommene Continuität der Theile haben, zeigte eine auch nur ähnliche Verzögerung, sie wirkten vielmehr nur in dem Maaße, wie der Kern 9 in Versuch 14. Geprüft wurden in dieser Beziehung die Kerne 1, 2, 3, 4, 7, 8.

28. Versuch 16. Magnetisirungsspirale II, in derselben steckt Kern 10. An die eine Polfläche desselben werden andere Kerne fest angedrückt, auf deren freiem Ende dann die Inductionsspirale B steckt.

Oeffnungsströme:

| • | | | | Kern 2 | | | |
|--------------|--------|---------|---------|-----------|-------------|--|--|
| | | Kern 4. | Kern 3. | in Hülse. | ohne Hülse. | | |
| Integralstro | m | 1,1 | 1,1 | 1,2 | 1,2 | | |
| Differentia | lstron | n. | | | · | | |
| Verschieb. | 5 | 0,9 | 0,85 | 1,1 | 1,1 | | |
| | 10 | 0,12 | 0,12 | 0,05 | 0,05 | | |
| | 15 | 0,01 | 0,02 | 0 | 0 | | |

Bei diesem Versuch ist jede Mitwirkung von Extracurrents in den Drähten der Spirale selbst sowohl, als in der Peripherie des in der Spirale liegenden Kernes ausgeschlossen, da dieser ein Drahtbündel ist. Es handelt sich also nur um die Polarisation von Theilchen zu Theilchen, und um diejenigen Ströme, welche sich durch das Verschwinden des Magnetismus aus den angelegten Kernen in der Peripherie dieser selbst erklären könnten. Die Uebereinstimmung der Zahlen für die Kerne 3 und 4 einerseits und für den Kern 2, er mag von der Hülse umschlossen seyn oder nicht, andererseits, beweist, dass die Wirkung solcher peripherischer Ströme hier ganz außer Acht gelassen werden darf. Dass diese Uebereinstimmung selbst dann, wenn man die Kerne (wie bei den maguetoelektrischen Maschinen) mit vielen Kupferdrahtwindungen umgiebt, noch nicht sehr gestört wird, hat Hr. Dove ') bemerkt. Zwei gleiche Drahtbündel, das eine in einer geschlossenen, das andere in einer der Länge nach aufgeschlitzten Röhre, hielten einander physiologisch im Gleichgewicht, wenn das eine in der einen, das andere in der anderen Spirale der magnetoelektrischen Maschine steckte und die durch beide inducirten Ströme einander entgegenwirkten.

29. Wenn nun die vorhandene Continuität der Molekeln im Sinne des Querschnittes der Kerne nicht verzögernd wirkt, so scheint es auffallend, dass die dicken Eisenstäbe des großen Elektromagnets, bei denen doch auch die Continuität in der Längenrichtung nicht gestört ist, so sehr verzögernd wirken. Es handelt sich aber augenscheinlich

¹⁾ A. a. O. S. 138.*

noch um die Beweglichkeit der Molekeln selbst, um die Leichtigkeit, mit welcher sie der polarisirenden Wirkung Folge leisten können, und diese ist bei dünnen Drähten, überhaupt bei dünnen Eisenmassen, größer als bei dicken; sonst wäre gar kein Grund zu finden, weshalb der Kern 4 den Magnetismus langsamer verschwinden läßt als 2, ebenso wie 1 ihn langsamer verschwinden läßt als 4. Zwar hat 2 mehr Masse als 4, aber sie ist in dünne Drähte vertheilt, bei 4 ist sie fester zusammengedrängt und deshalb sind die Theilchen weniger beweglich.

30. Bisher ist nur das aus der Spirale herausragende Stück der Eisenkerne untersucht worden, es ist begreiflich, daß an dem erregten Ende eines Eisenkernes dadurch, daß das andere Ende desselben nicht unmittelbar erregt wird, ebenfalls eine Verzögerung im Entstehen und Verschwinden des Magnetismus, wenn auch eine geringere, herbeigeführt wird. Der folgende Versuch zeigt das.

Versuch 17. Magnetisirungsspirale III, auf einen Schenkel des großen hufeisenförmigen Kernes gesteckt. Inductionspirale B, auf den erregten Magnetpol gelegt.

| • | | ielsungsstr | öme | Oeffnungsströme | | | |
|-----------------------------------|---------------------|-------------|------|---------------------|----------|-------|--|
| | Kern u.
Spirale. | Spirale. | Kern | Kern u.
Spirale. | Spirale. | Kern. | |
| Integralstrom
Differentialstr. | 26,8 | 1,5 | 25,3 | 31,0 | 1,5 | 30,5 | |
| Verschieb. 5 | 0,6 | 0,02 | 0,58 | 25,6 | 1,4 | 24,2 | |
| 10 | 0,65 | 0,03 | 0,62 | 5,6 | O | 5,6 | |
| 15 | 0,65 | 0,06 | 0,59 | 1,4 | | 1,4 | |
| 20 | 0,75 | 0,1 | 0,55 | 0,9 | | 0,9 | |
| 25 | 1,0 | 0,2 | 0,8 | | | | |
| 30 | 1,0 | 0,25 | 0,75 | | | | |
| 35 | 1,2 | 0,22 | 0,98 | | | | |
| 40 | 1,1 | 0,19 | 0,91 | | | | |
| 45 | 1,0 | 2,12 | 0,88 | 0,2 | | 0,2 | |
| 100 | 0,9 | 0,05 | • | | | 0,05 | |
| 200 | 0,8 | 0 | 0,8 | 0 | | 0 | |
| 300 | 0,7 | | 0,7 | | | | |
| 250 | 0.6 | | 0.6 | | | | |

533

Zusammenstellung der Ergebnisse.

- 31. a. Die Zeit, in welcher der Magnetismus in Eisenkernen, welche von den magnetisirenden Spiralen ganz umgeben sind, entsteht, hängt am wesentlichsten von den in den Spiralen selbst erzeugten Gegenströmen ab (§§. 2, 3, 22). Die gleichzeitige Bildung peripherischer Ströme ist von geringem Einflus (22), ebenso die Leichtigkeit, mit welcher der Kern seine magnetische Polarisation in der Längenrichtung fortpflanzt (24).
- b. Die Zeit, in welcher der Magnetismus aus Eisenkernen, welche von der magnetisirenden Spirale ganz umgeben sind, verschwindet, hängt am wesentlichsten von der Bildung peripherischer Ströme in den Kernen ab, so dass Drahtbündel den Magnetismus so gut wie momentan verlieren (4, 21, 22), und immer noch sehr schnell, wenn sie nicht von einer zu dicken, geschlossenen Metallhülse umgeben sind (21, 23). Auch hierbei ist die Polarisirbarkeit der Molekeln in der Längenrichtung nicht von merklichem Einfluss (24).
- c. Die Zeit, in welcher der Magnetismus in Eisenkernen, welche nur zum Theil von der magnetisirenden Spirale umgeben sind, entsteht und verschwindet, hängt am wesentlichsten von der Polarisirbarkeit der Kerne in der Längenrichtung (27) und deshalb von der Länge des aus der Spirale herausragenden Kernes (26), sodann von der Massenhaftigkeit des Eisenkernes (29) ab. Dagegen sind die peripherischen Ströme, welche sich in den Kernen selbst bilden können, ohne merklichen Einflus (28).
- d. Die Verzögerung, welche das Entstehen und Verschwinden des Magnetismus an dem aus der Spirale herausragenden Ende zeigt, macht sich auch am erregten Ende selbst geltend (30).
- e. Die der Einwirkung peripherischer Ströme zuzuschreibenden Verzögerungen äußern sich durch verlangsamtes Anwachsen oder Abfallen der diese Veränderung darstellenden Curve, die der Einwirkung geschwächter Polarisirbarkeit zuzuschreibenden Verzögerengen durch verspätetes

Anwachsen oder Abfallen derselben (vergl. in Bezug auf die erste Einwirkung Taf. IV Fig. 4 und 5, in Bezug auf die letztere Fig. 6 und 7).

Schlufsbemerkungen.

32. Ich verkenne nicht, dass hiermit der fragliche Gegenstand noch nicht erledigt ist; es sind besonders zwei Umstände noch nicht hinreichend in Bezug auf die Einwirkung untersucht worden, welche sie auf das Entstehen und Verschwinden des Magnetismus in Eisenkernen ausüben. das ist die absolute Stärke des Magnetismus und die materielle Beschaffenheit der Eisenkerne. Ich würde gern mit der Veröffentlichung der vorliegenden Arbeit gewartet haben, bis ich auch über diese Einflüsse ins Klare gekommen wäre. wenn ich nicht befürchten müßte, dass mich meine bevorstehende Uebersiedelung nach Erlangen auf längere Zeit von der Fortsetzung dieser Untersuchungen abhalten wird. Die gewonnenen Resultate lassen indess schon Manches er-Sie zeigen unter Anderem, dass wirklich eine Zeit zur Fortpflanzung der Polarisation der Molekeln gehört. dass also diese hypothetische Trägheit des Eisens bei Annahme und Verlust des Magnetismus nicht weggeleugnet und nur auf das Entstehen von Gegenströmen zurückgeführt werden kann.

Die in §. 5 erwähnte Streitfrage löst sich danach sehr einfach: dass, wie Hr. Lenz angiebt, die Eisenkerne eine Rückwirkung auf die Stahlmagnete ausüben, ist unzweiselhaft; dass, wie Hr. Sinsteden behauptet, die Trägheit des Eisens das Entstehen des Magnetismus verzögert, ist ebenfalls wahr; es wirken also beide Gründe gleichzeitig. Welcher von beiden der vorherrschende ist, wird ganz von der Gestalt der Maschine abhängen.

Wenn ferner alle Versuche zeigen, das nur ein aus dünnen Drähten bestehendes, von der Spirale ganz umgebenes Bündel den Magnetismus plötzlich verliert, gar kein Kern aber ihn plötzlich annimmt, so sollte man für alle Chronoskope und ähnliche Apparate, bei denen eine An-

kerbewegung so gleichförmig wie möglich stattfinden soll, sich nur der Stromunterbrechung, nie der Schließung, und als Kerne nur der Drahtbündel bedienen.

Dass das Entstehen des Magnetismus in einer sehr grosen Eisenstange auch dann, wenn diese ganz von der magnetisirenden Spirale umgeben ist, nicht absolut unabhängig von der Leichtigkeit ihrer Polarisirbarkeit seyn kann, ist wohl ohne Versuche zu behaupten; das eine Ende erhält seinen Magnetismus, außer von der Magnetisirungsspirale, auch vom anderen Ende. Die großen Elektromagnete, welche zu diamagnetischen Versuchen benutzt werden und welche auch nur zum Theil mit Spiralen bedeckt werden, müssen diesem verzögernden Einflusse noch mehr unterliegen.

Bern, im September 1858.

II. Magnetische Rotationen unter Einfluss eines Stromleiters von unveränderlicher Gestalt; von Dr. v. Feilitzsch Prof. in Greifswald.

Ampère behauptet an mehren Stellen seiner elektrodynamischen Untersuchungen '), dass ein Magnet (oder ein gleichwerthiger geschlossener Leiter) keine continuirlichen Rotationen um einen geschlossenen Stromleiter vollsühren könne, wenn alle Theile des letzteren unveränderlich unter einander verbunden seyen; vielmehr müsse zur Darstellung jener Erscheinungen die Stromverbindung im allgemeinen durch einen slüssigen Leiter vermittelt werden. Die Gründe zu diesem Ausspruch ergeben sich am besten aus der Ent-

¹⁾ U. a. Extrait d'une lettre de M. Ampère à M. Furaduy 18. Avr. 1843. Recueil d'observat. électrodynamiques p. 366. Lettre à M. Gerhardi sur divers phénomènes électrodynamiques; Ann. de chim. et de phys. Vol. 29, p. 373. (1825)

wicklung der Formel, welche das Drehungsmoment eines Magneten unter Einflus eines Stromleiters darstellt, und welche nach der Art, wie sie Ampère in seiner Note sur l'action mutuelle d'un aimant et d'un conducteur voltaique Paris 1828 allgemeiner giebt, hier für den einfacheren Fall wiederholt werden möge, bei welchem die Magnetaxe und der Stromleiter in einer Ebene liegen.

Sey zu dem Ende s in Fig. 8, Taf. IV der Südpol und n der Nordpol eines Magneten, und sey l, l, ein Stromleiter, in welchem die galvanische Thätigkeit von unten nach oben gerichtet ist, so wirkt bekanntlich ein Element am des letzteren von der Länge dx mit einer Kraft auf den Pol s, welche gemessen wird durch die Größe

$$\frac{\mu dx}{r^2} \sin \varphi$$
,

wenn r den Abstand as des Stromelementes am vom Pole s bedeutet, wenn durch φ der Winkel asm zwischen der Stromesrichtung und der Zuglinie r bezeichnet wird, und wenn man unter μ die Größe der Wechselwirkung in der Einheit des Abstandes und für $\sin \varphi = 1$ versteht. Führt van nun den kleinen Winkel $asm = d\theta$ ein, welchen man als Zuwachs des Winkels $asg = \theta$ zwischen der Zuglinie r und der Magnetaxe betrachten kann, so ist $dx\sin \varphi = r\sin d\theta$ oder wegen der Kleinheit des Winkels

 $dx \sin \varphi = r d\theta$.

Der obige Ausdruck geht sonach über in

$$\frac{\mu \, \mathbf{d} \, \theta}{\mathbf{r}}$$

Mit der durch diesen Ausdruck gemessenen Kraft wird nun der Magnet zur Bewegung um das feststehende Stromelement, oder letzteres (eine Veränderung des Vorzeichens vorausgesetzt) zur Bewegung um den feststehenden Magneten angetrieben, und zwar nach einer Richtung, welche senkrecht steht auf der durch das Stromelement und dessen Verbindungslinie mit dem Magneten bestimmten Ebene. Es ergiebt sich aber das Moment der Drehung des Stromelementes um die Magnetaxe unter alleinigem Einflus des Poles s durch Multiplication des durch die vorige Formel ausgedrückten Kraftmaasses mit dem kürzesten Abstand beider oder

 $ag = r \sin \theta$.

Dieses Drehungsmoment ist sonach

 $=\mu \sin \theta . d\theta$.

In ähnlicher Weise findet man das Drehungsmoment für den Pol n, wenn man den Werth des Winkels zwischen der Magnetaxe und der von jenem ausgehenden Zuglinie mit θ' bezeichnet, und wenn man erwägt, dass in n der entgegengesetzte Magnetismus von dem in s besindlichen angehäust ist:

 $= - \mu \sin \theta' d\theta'$.

Das von beiden Polen auf das Stromelement ausgeübte Drehungsmoment ist gleich der Summe der für jeden einzelnen gefundenen Werth und zwar:

$$= \mu \left[\sin \theta d\theta - \sin \theta' d\theta' \right].$$

Gehört nun das Stromelement einem zwischen l_1 und l_2 ausgedehnten Leiter an, und bekommen die Winkel θ und θ' für diese beiden Gränzen die Werthe θ_1 und θ_2 sowie θ'_1 und θ'_2 , so ergiebt sich das Drehungsmoment für den ganzen Leiter durch das zwischen den angegebenen Gränzen genommene Integral des vorigen Ausdrucks

$$= -\mu \left[\cos\theta_{2} - \cos\theta_{1} - \cos\theta_{2} + \cos\theta_{1}\right]$$

oder

 $= + \mu \left[\cos \theta_2 - \cos \theta_1 - \cos \theta_2 + \cos \theta_1\right],$ je nachdem man den Leiter um den feststehenden Magneten oder den Magneten um den feststehenden Leiter rotiren läßt.

Bei allen continuirlichen Rotationen ist nun darauf zu denken, dass man den wirksamen Theil $l_1 l_2$ des Schließungsbogens nicht symmetrisch auf beide Magnetpole zugleich wirken lasse. Unter diesen Umständen würden sich nämlich θ_2 und θ'_1 sowie θ_1 und θ'_2 zu 180° ergänzen; es würden also ihre Cosinusse als gleich und entgegengesetzt einander ausheben, und somit sich ein Drehungsmoment gleich Null ergeben. Am einfachsten beseitigt man die Wirkung des ei-

nen Poles dadurch, dass man ihn, wie in dem folgenden Versuche, gleichzeitig zum Stromleiter benutzt. Indem er nämlich Stromleiter ist, wird er von dem Magnetpol eine Drehung ersahren, welche durch die erstere der obigen Formeln ausgedrückt ist, und indem er Magnetpol ist, würde er vom Stromleiter in Drehung versetzt werden, wie die letzte Formel es verlangt. Beide einander gleiche und entgegengesetzte Werthe heben sich aber gegenseitig auf und es wird somit der eine Pol unwirksam.

Demnächst muß es aber auffallen, und das ist es worauf die herangezogene Behauptung Ampere's sich stützt, daß in der obigen Formel alle von der Gestalt des Leiters abhängigen Größen ausgetreten sind, daß es vielmehr nur auf die durch die Winkel 0, 0, 0', 0', bestimmten Abstände der Endpunkte l_1 und l_2 von den Polen s und n ankommt, welchen Werth das Drehungsmoment erhalte. Ist aber dieser Werth unabhängig von dem Wege, welchen der Strom zwischen den beiden Punkten l. und l. zurücklegt, so wird, da ein ungeschlossener Strom nicht denkbar ist, der von l, und l, auf irgend einem anderen Wege zurückkehrende Stromtheil genau die gleiche und entgegengesetzte Wirkung ausüben, als der bisher betrachtete, und aus diesem Grunde meint Ampère, könne ein geschlossener Stromleiter keine continuirlichen Rotationen um einen Magneten und ein Magnet keine continuirlichen Rotationen um einen geschlossenen Stromleiter vollführen, wenn alle Theile des Leiters eine unveränderliche Gestalt behielten. Ja es müßte sogar im allgemeinen die Stromverbindung durch einen flüssigen Leiter vermittelt werden, damit ein Theil sich unabhängig von dem feststehenden Antheile des geschlossenen Stromes bewegen könne.

Die veränderliche Gestalt des Stromleiters ist also in Ampère's Sinne eine dynamische Nothwendigkeit zur Darstellung continuirlicher elektromagnetischer Rotationen, und es müßte diesem beigeptlichtet werden, wenn, wie es hier vorausgesetzt wurde, ein einfacher Hin- und Rückgang die einzig mögliche Darstellung eines geschlossenen Stromes

wäre. Es ist aber nicht an dem, vielmehr läst sich durch Anwendung eines getheilten Schliefsungsbogens zeigen, dass continuirliche elektromagnetische Rotationen auch bei unveränderlicher Gestalt des Stromleiters dargestellt werden können.

Anstatt nämlich den Strom l_1 a l_2 blos auf dem Wege l_2 b l_3 zurückkehren zu lassen, braucht man ihm nur noch einen zweiten oder noch mehre Wege wie l_2 c l_3 zur Rückkehr darzubieten, und man sieht sofort, dass auf diese Weise der beabsichtigte Zweck erreicht werden kann. Jetzt wirkt nämlich jeder rückkehrende Zweig nicht allein schwächer wegen der Theilung, sondern je zwei wirken auch von entgegengesetzten Seiten, und heben sich somit, zum größten Theil wenigstens, gegenseitig auf.

Um diese Idee zu realisiren liess ich eine Anzahl von Kupferdrähten nach Art der Fig. 9, Taf. IV., so mit einander verbinden, dass sie etwa die Längenkreise auf einem Globus darstellten. An der oberen Kreuzungsstelle waren sie durch eine Metallkappe mit einander in Verbindung gesetzt und an der unteren gegen eine hohle Metallhülse gelöthet, welche mit dem einen Pol eines Rheomotors in Verbindung gesetzt werden konnte. Durch die Axe der Hülse und die Axe der Kugel bewegte sich isolirt der andere Leiter, welcher unten mit dem anderen Pol des Rheomotors in Verbindung stand, und oben mit den zusammenlaufenden Verzweigungen des peripherischen Drahtsystems in metallische Berührung kam. Diese axiale Leitung bestand aus drei Stücken: das untere war ein starker Kupferdraht, oben mit einem Näpschen versehen. Das zweite war ein kürzerer unten spitzer oben ebenfalls mit einem Näpfchen versehener Draht, welcher einen hufeisenförmigen Magneten trug. in dessen Biegung er parallel zu seinen Schenkeln eingeschraubt ward. Das oberste Stück bestand ebenfalls aus einem Kupferdraht, der mit seiner unteren Zuspitzung in das Näpfchen des mittleren Drahtes hinabreichte und mit seinem oberen Ende die peripherischen Drähte metallisch berührte. Der hufeisenförmige Magnet trug nun aber nicht

wie gewöhnlich an den beiden Enden der Schenkel die entgegengesetzten Pole, sondern hatte hier gleichnamige Pole, während der ungleichnamige sich in der Mitte der Biegung befand, da wo der Magnet zur Aufnahme des Mittelstücks der axialen Leitung durchbohrt war. Diese Form des Magneten wurde gewählt, um ihn gleichzeitig astatisch zu machen, und um den Strom durch einen Pol zu leiten, während die anderen sich in möglichst günstiger Lage zum wirksamen Antheil des festen Stromleiters befanden. Zur besseren Vermittelung der Leitung wurden die beiden Näpfchen mit einem Tropfen Quecksilber versehen.

Sind nun z. B. die beiden Schenkel des Magneten nordpolar, die Biegung aber südpolar, und läst man in der
axialen Leitung einen kräftigen Strom aufwärts und in den
pheripherischen Verzweigungen wieder abwärts steigen, so
rotirt der Magnet infolge der Einwirkung des axialen Stromes der Erwartung gemäs im entgegengesetzten Sinne wie
ein Uhrzeiger über einem nach oben gekehrten Zifferblatt.
Mit der Umkehr des Stromes aber ändert er seine Richtung
und rotirt im gleichen Sinne wie der Uhrzeiger.

Statt des Stahlmagneten wurde auch ein Elektromagnet von derselben Form in den Apparat gehäugt. Der in der Drahtleitung umlaufende Strom erregte auch den Magneten. Der Erfolg war derselbe wie für den Stahlmagneten, nur änderte sich, wie leicht zu sehen ist, die Rotationsrichtung nicht mit der Stromesrichtung, sondern war nur abhängig von dem Sinne der den Elektromagnet umgebenden Windungen.

Durch eine kleine Abänderung derselben Vorrichtung ist man auch im Stande, den folgenden Trugschluss zu widerlegen, zu dem sich Ampère hatte verleiten lassen. Es befinde sich nämlich in g der Fig. 10, Tas. IV. der Querschnitt eines senkrecht zur Ebene der Figur stehenden Leiters, in dem ein Strom von unten nach oben steigen mag. Dieser Leiter soll sich mit Beibehaltung seiner Richtung und ohne Unterbrechung des Stromes in der punktirten Kreislinie be-

wegen können um den Nordpol n eines Magneten, dessen Südpol s außerhalb der Bahn liegt. Offenbar wird der Leiter sofort mit dem Eintritt des Stromes seine Stelle bei a verlassen, und im Kreise umherwandern bis er in h angekommen am Magnetstab selbst ein Hinderniss findet, welches die Vollendung und Wiederholung seines Kreislaufes unterbricht. Ampère ') meint nun, es sey das durch den Magneten dargebotene Hinderniss nicht blos ein mechanisches, sondern wesentlich auch ein dynamisches. Denn wäre es auch auf irgend eine Weise möglich, dass der Strom den Magnetstab zwischen g und h durchsetzen könnte, wie in Fig. 11. Taf. IV, so würde, infolge der dadurch bewirkten Trennung des Magneten und der bekannten molecularen Anordnung der magnetischen Flüssigkeiten, der Strom jetzt nach derselben Richtung und in ungleich größerer Nähe einen Südpol o vorfinden, nach welchen bisher der Nordpol n des Magneten lag. Ingleichen würde jetzt außerhalb der Kreisbahn und sehr nahe an derselben der Nordpol v entgegentreten, und somit geschähe es, dass die ganze Bewegung, welche der Strom durch die primären Pole n und s auf seiner gauzen Bahn erhalten hätte, wieder aufgehoben würde durch den entgegengesetzten Bewegungsantrieb, welchen die obwohl schwächeren, aber ungleich näheren secundaren Pole a und v auf den kleinen Rest der Bahn ausüben.

Allerdings würden die angedeuteten Schlussfolgerungen gerechtfertigt seyn, wenn man verlangte, dass ein Weg für den Stromleiter sich zwischen g und h quer durch den Magneten hindurch öffnen müste. Einen Weg für den Strom ist man aber im Stande auch ohne Durchbrechung des Magneten herzustellen, wenn man die Substanz des Magneten selbst auf eine kurze Strecke als Stromleiter benutzt Ingleichen ist es bequemer die Umkehr des Versuchs darzustellen, nämlich den Magneten unter Einflus des feststehenden Leiters austatt den Leiter unter Einflus des feststehenden Magneten in Rotation zu versetzen.

¹⁾ Note sur l'action mutuelle etc. p. 17 ff.

Als Magneten bediente ich mich nun einer kreisförmigen Stahlscheibe, welche wie Fig. 12, Taf. IV andeutet innen concentrisch ausgeschnitten war, so dass der übrig gebliebene Ring etwa 1; Zoll Breite hatte. Dieser Ring wurde in radialer Richtung derart magnetisirt, dass alle Südpole nach dem Centrum, alle Nordpole nach der Peripherie sahen, und über der Mittellinie wurde eine concentrische Quecksilberrinne von Metalllack aufgekittet, so dass auf ihrem Boden das Quecksilber den Stahl überall berührte.

Dieser Ring wurde nach Art von Fig. 13, Taf. IV über einen Kegel von starkem Papier gesteckt, in dessen Spitze eine Nähnadel eingekittet war. Das Ohr der letzteren diente dazu einen Faden aufzunehmen, mit dessen Hülfe die Magnetscheibe in horizontaler Richtung an irgend einen Draht der früher beschriebenen Vorrichtung aufgehängt wurde, nachdem der mittlere Antheil der axialen Leitung fortgenommen worden war. Das Näpschen des unteren Theils iener Leitung wurde mit Quecksilber gefüllt, bis es über den Rand desselben hinwegstand, und die Magnetscheibe wurde in solche Höhe gebracht, dass sie mit der Indifferenzzone die Quecksilberkuppe eben berührte. Nachdem endlich die auf der Scheibe angebrachte Rinne ebenfalls mit Quecksilber gefüllt worden war, wurde die herabreichende Spitze vom obersten Theil der axialen Leitung in das Quecksilber der Rinne eingetaucht.

Es war nur noch nöthig, einen kräftigen Strom durch die ganze Vorrichtung zu senden, und die beabsichtigte Rotation trat in dem bekannten von der Stromesrichtung abhängigen Sinne ein. Die axiale Leitung treibt nämlich die zu beiden Seiten von ihr liegenden Nord- und Südpole absolut genommen in demselben Sinne zur Bewegung an. Auf die abseits und diametral gegenüberliegenden polaren Radien wirkt sie allerdings im entgegengesetzten Sinne bewegend, aber das geschieht wegen der größeren Entfernung mit geringerer Kraft. so daß der Sinn der Bewegung nur von den ersten hergeleitet zu werden braucht. Damit aber der rückkehrende Autheil des geschlossenen Ge-

wegen können um den Nordpol s eines Magneten, dessen Südool s ausserhalb der Bahn liegt. Offenbar wird der Leiter sofort mit dem Eintritt des Stromes seine Stelle bei a verlassen, und im Kreise umherwandern bis er in h angekommen am Magnetstab selbst ein Hinderniss findet. welches die Vollendung und Wiederholung seines Kreislaufes unterbricht. Ampère 1) meint nun, es sev das durch den Magneten dargebotene Hinderniss nicht blos ein mechanisches, sondern wesentlich auch ein dynamisches. Denn wäre es auch auf irgend eine Weise möglich, dass der Strom den Magnetstab zwischen g und h durchsetzen könnte, wie in Fig. 11, Taf. IV, so würde, infolge der dadurch bewirkten Trennung des Magneten und der bekannten molecularen Anordnung der magnetischen Flüssigkeiten, der Strom jetzt nach derselben Richtung und in ungleich größerer Nähe einen Südpol o vorfinden, nach welchen bisher der Nordpol n des Magneten lag. Ingleichen würde jetzt außerhalb der Kreisbahn und sehr nahe an derselben der Nordpol v entgegentreten, und somit geschähe es, dass die ganze Bewegung, welche der Strom durch die primären Pole n und s auf seiner gauzen Bahn erhalten hätte, wieder aufgehoben würde durch den entgegengesetzten Bewegungsantrieb, welchen die obwohl schwächeren, aber ungleich näheren secundaren Pole a und v auf den kleinen Rest der Bahn ausüben.

Allerdings würden die angedeuteten Schlussfolgerungen gerechtfertigt seyn, wenn man verlangte, dass ein Weg für den Stromleiter sich zwischen g und h quer durch den Magneten hindurch öffnen müste. Einen Weg für den Strom ist man aber im Stande auch ohne Durchbrechung des Magneten herzustellen, wenn man die Substanz des Magneten selbst auf eine kurze Strecke als Stromleiter benutzt Ingleichen ist es bequemer die Umkehr des Versuchs darzustellen, nämlich den Magneten unter Einflus des feststehenden Leiters austatt den Leiter unter Einflus des feststehenden Magneten in Rotation zu versetzen.

¹⁾ Note sur l'action mutuelle etc. p. 17 ff.

$$\frac{1}{n^2} = a + \frac{e}{\lambda^2} \quad . \quad . \quad . \quad . \quad . \quad (1)$$

wenn man die höheren Potenzen von $\frac{1}{\lambda}$ vernachlässigt.

Setzt man die der Fraunhofer'schen Linie H entsprechenden Werthe $\lambda = 0.000396$ und n = 1.546 (für Crownglas) in Gleichung (1), so kommt

$$0,41839 = a + c.6376900 \dots (2)$$

Setzt man dagegen die der Fraunhofer'schen Linie B entsprechenden Werthe $\lambda = 0,00069$ und n = 1,526 in Gleichung (1), so kommt

$$0,42943 = a + c \cdot 2100400 \cdot \cdot \cdot \cdot \cdot (3)$$

Durch die Combination der Gleichungen (2) und (3) ergiebt sich

$$a = 0,43436$$

 $c = -0,0000000023477$.

Setzen wir diese Zahlenwerthe in Gleichung (1), so kommt

$$\frac{1}{n^2} = 0.43436 - \frac{0.0000000023477}{\lambda^2} \quad . \quad . \quad . \quad . \quad (4)$$

Es ist die S die Cauchy'sche Formel für den speciellen Fall, dass n den Brechungsexponenten für Crownglas und λ die entsprechende Wellenlänge in Lust bezeichnet. Für $\lambda = \infty$ folgt aus dieser Gleichung

$$\frac{1}{n^2} = 0,43436$$

oder

$$n = 1,517$$

und diess ist der kleinste Werth des Brechungsexponenten, welcher nach der Cauchy'schen Formel für Crownglas möglich ist.

Während also der Brechungsexponent von 1,546 bis 1,526 abnimmt, wächst die Wellenlänge von 0,000 96 bis 0,00069 wellen weiter von 1,526 nur noch bis 1,517 abnimmt, soll die entsprechende Wellenlänge nach der Cauchy'schen Formel von 0,00069 bis ins Unendliche wachsen, ein Resultat, welches an und für sich schon höchst unwahrscheinlich ist.

Für alle Werthe von n, welche kleiner sind als 1,517, also auch für den durch meine Versuche ermittelten Werth n=1,506, giebt die Gleichung (4) imaginäre Werthe für λ . Während also nach Esselbach (Monatsberichte d. Berl. Acad. December 1855, S. 759) die Cauchy'sche Formel im ultravioletten Spectrum ziemlich ebensogut mit den Messungen stimmt, wie im sichtbaren, ist dieselbe mit einer so großen Ausdehnung des Spectrums über die rothe Gränze hinaus, wie dieselhe nach den Versuchen von Franz und mir in der That stattfindet, durchaus unvereinbar.

Bei der Entwickelung der Cauchy'schen Formel ist nur die Einwirkung der Aethertheilchen aufeinander in Betracht gezogen worden. Berücksichtigt man aber auch den Einfluß, welchen die an den Oscillationen nicht theilnehmenden ponderabeln Atome auf die Aetheratome ausüben, so erhält man aus der Cauchy'schen die Gleichung:

$$\frac{1}{n^2} = a + b\lambda^2 + \frac{c}{\lambda^2} \quad . \quad . \quad . \quad . \quad (5)$$

welche Redtenbacher in seinem Dynamidensystem (Gleichung 50 auf Seite 136) entwickelt. (Zu derselben Gleichung ist, brieflichen Mittheilungen zufolge, auch Holtzmann, unabhängig von Redtenbacher und auf anderem Wege gelangt.)

Diese Redtenbacher'sche Formel, welche sich innerhalb des sichtbaren Spectrums sehr gut den Beobachtungen anschließt, steht nun auch mit meinen Beobachtungen nicht mehr in Widerspruch; sie giebt keinen Gränzwerth für n, wie dieß bei der Cauchy'schen Formel der Fall ist.

Setzen wir in Gleichung (5) die oben angegebenen Werthe von n und λ , welche der Fraunhofer'schen Linie H entsprechen, so kommt

 $0,41839 = a + b \cdot 0,000000157 + c \cdot 6376900$. (6) Werden für n und λ die dem Fraunhofer'schen Streifen F entsprechenden Werthe, nämlich n = 1,536 und $\lambda = 0,000485$ in Gleichung (5) gesetzt, so erhält man

 $0,423855 = a + b \cdot 0,0000002353 + c \cdot 4251250$. (7)

Substituirt man endlich für n und λ die oben angegebenen, dem Streifen B entsprechenden Werthe in Gleichung (5), so ergiebt sich

 $0,429428 = a + b \cdot 0,0000004686 + c \cdot 2100400$. (8)

Die Zahlenwerthe der Coëfficienten a, b und c ergeben sich durch Combination der Gleichungen (6), (7) und (8) und zwar ist

$$a = 0.43464$$

 $b = 268.2$
 $c = -0.0000000002555$.

Die Gleichung (5) wird also, wenn λ die in Millimetern ausgedrückte Wellenlänge in Luft und n den entsprechenden Brechungsexponenten für Crownglas bezeichnet

$$\frac{1}{n^3} = 0.43464 + 268.2 \,\lambda^2 - \frac{0.000000002555}{\lambda^3} \quad . \quad . \quad (9)$$

Setzt mau in diese Gleichung den aus meinen Beobachtungen abgeleiteten Brechungsexponenten 1,506 der außersten dunklen Wärmestrahlen, so ergiebt sich für die Wellenlänge derselben

$$\lambda = 0.0018^{mm}$$

ein Werth, welcher freilich mehr als doppelt so groß ist als derjenige, zu welchem ich in meinem Aufsatz über die thermischen Wirkungen des Spectrums gelangt bin. Diese Differenz kann aber nicht auffallend seyn, wenn man bedenkt, wie unsicher die Anwendung empirischer Formeln wird, wenn man sie, wie dort geschah, weit über die Gränzen hinaus anwendet, für welche ihre Coëfficienten bestimmt wurden. Jedenfalls ist der Werth $\lambda = 0.0048$ der Wahrheit weit näher als derjenige, welchen ich früher aus der rein empirischen Formel entwickelt habe.

Da die Wellenlänge für die äusersten fluorescirenden Strahlen 0,0003^{mm} ist, so sind die Wellenlängen für die nächst niederen Octaven dieser allerbrechbarsten Strahlen

0,0006^{mm} 0,0012 0,0024 0.0048. Nehmen wir also den nach der Redtenbacher'schen Dispersionsformel berechneten Werth $\lambda=0.0048$ für die Wellenlänge der äußersten dunklen Wärmestrahlen, so umfaßt demnach das ganze Sonnenspectrum vier ganze Octaven, von denen nicht ganz eine auf das sichtbare Spectrum kommt.

IV. Untersuchungen über Elektromagnetismus: von Dr. J. Müller in Freihurg.

Nachdem durch v. Feilitzsch die Vertheilung des Magnetismus im Querschnitt der Elektromagneten untersucht worden war und er gefunden hatte, dass die Magnetisirung in die Eisenstäbe gleichsam von Aussen nach Innen eindringt, also bei schwachen magnetisirenden Kräften die äußeren Schichten bereits magnetisch sind, während der Kern noch unmagnetisch ist, schien es mir wichtig, auch zu untersuchen, welches die Vertheilung des Magnetismus in der Richtung der Axe eines Elektromagneten sey.

Aus theoretischen Gründen scheint es wahrscheinlich, dass die Elektromagnete in der Mitte ihrer Längsrichtung vollständiger magnetisirt sind, als an den Enden, oder mit anderen Worten, dass die Magnetisirung in der Mitte am stärksten ist und von da nach den beiden Enden hin abnimmt.

Denken wir uns einen geraden Eisenstab, auf welchen zwei Magnetisirungsspiralen so aufgeschoben sind, wie Fig. 14 Taf. IV andeutet, dass nämlich zwischen den beiden Spiralen ein Stück des Stabes frei bleibt, welches ungefähr doppett so lang ist, als die zu beiden Seiten aus den Hülsen frei hervorragenden Enden des Stabes, so ist klar, dass die durchströmte Spirale I auf den Punkt c eben so stark magnetisirend wirkt, wie auf den Punkt a. Wenn aber die

Spirale 2 in gleicher Richtung durchströmt wird, wie die Spirale 1, so werden sich in c die Effecte der beiden Spiralen summiren, in c also eine stärkere Magnetisirung erfolgen müssen, als in a und b. In weit höherem Grade aber wird diess der Fall seyn müssen, wenn auch der Zwischenraum zwischen a und b noch mit Drahtwindungen überdeckt ist, welche mit 1 und 2 in gleicher Richtung durchströmt werden.

Es war meine Absicht, diese Schlufsfolgerungen durch Versuche zu prüfen und die Vertheilung des Magnetismus in der Längenaxe der Elektromagnete durch eine umfassendere Versuchsreihe zu ermitteln. Da ich aber fürchte, so bald keine Zeit zur Ausführung dieses Planes finden zu können, so will ich nicht zögern, einige hierher gehörige, vorläufige Versuche zu veröffentlichen.

An einem hufeisenförmig gebogenen Elektromagneten. welcher Fig. 15 Taf. IV in 1 der natürlichen Größe dargestellt ist, war die Mitte des Bogens bei g ausgeschnitten und durch ein Messingstück ersetzt worden, so dass sich der Magnetismus des einen Eisenkernes nicht über g auf den andern ausbreiten konnte. Dieser Elektromagnet wurde nun in der Weise an einem Stativ befestigt, wie Fig. 271 im zweiten Theil meines Lehrbuchs der Physik (5. Aufl. S. 287) zeigt. Der obere Theil dieses Elektromagneten war nun auf beiden Seiten, d. h. vorn und hinten etwas flach gefeilt, damit man hier durch beiderseits angelegte Eisenplatten eine Eisenverbindung zwischen beiden Schenkeln herstellen und nach Belieben wieder unterbrechen An die Pole dieses Elektromagneten wurde nun entweder ein gewöhnlicher eiserner Anker, oder statt dessen ein ganz gleichgeformter Anker angesetzt, an welchem, wie Fig. 15 Taf. IV zeigt, der mittlere Theil von Messing war, so dass, wenn dieser Anker an die Pole angesetzt war, keine Fortpflanzung des Magnetismus von einem Pol durch den Anker zum andern Pol stattfinden konnte.

Die auf die beiden Schenkel aufgeschobenen Magnetisirungsspiralen waren so durchströmt, dass der eine der

beiden Pole d und f ein Nordpol, der andere ein Südpol wurde.

Als Elektromotor diente ein schwach geladener Bunsen'scher Becher; die Stromstärke wurde durch Einschaltung von Widerständen regulirt.

Es wurde nun für die verschiedenen in der folgenden Tabelle notirten, durch Ablenkung der Tangentenbussole gemessenen Stromstärken die Tragkraft des Elektromagneten bestimmt, und zwar einmal für den ganz eisernen Anker (A) und dann für den durch Messing unterbrochenen Anker (B), während oben entweder keine Eisenverbindung zwischen den beiden Schenkeln stattfand, oder während dieselbe durch Anlegen von Eisenplatten hergestellt worden war. Die folgende Tabelle giebt die Resultate einer solchen Versuchsreihe:

| Stromstärke. | | 4,25 | | 6,75°. | | 10°. | | 19°. | |
|--------------|------------------|------|---|--------|----|------|---|------|----|
| 1) | oben offen | | | | | 51 | | | |
| | oben geschlossen | | | | | | | | |
| 3) | oben geschlossen | 6 2 | » | 11 | | 141 | w | 191 | |
| 4) | oben geschlossen | 14 | | 17 | ,, | 19 | | 20 | 10 |

Bei dem Arrangement No. 1 (Anker B, oben offen) wird die Summe zweier magnetisch vollkommen getrennter Elektromagnete gemessen. Auf das Schema Fig. 14 Taf. IV reducirt, geben uns diese Tragkräfte gleichsam ein Maaß für die Stärke des Magnetismus in den Polen a und b für den Fall, daß bei c eine Unterbrechung des Eisenstabes angebracht ist.

Bei der Anordnung No. 2 (Anker B, oben geschlossen) sind die bei No. 1 getrennten Elektromagnete durch die Eisenverbindung bei c gleichsam in einen einzigen verwandelt. Durch die Eisenverbindung bei c wirkt jeder der beiden Schenkel verstärkend auf den Magnetismus des andern, weshalb denn auch die Summe der Tragkräfte der beiden Pole d und f größer ist, als unter sonst gleichen Umständen bei dem Arrangement No. 1. Auf das Schema Fig. 14 Taf. IV

bezogen, geben uns die Tragkräfte unter No. 2 ein Maafs für den Magnetismus der freien Enden a und b für den Fall, daß bei c keine Unterbrechung des Eisenstabes stattfindet.

Beim Arrangement No. 3 ist der bisher verwendete, durch Messing unterbrochene Anker durch einen ganz eisernen ersetzt und die Eisenverbindung bei g ist wiederum aufgehoben. Nun repräsentirt uns der ganz eiserne Anker das der Stelle e, Fig. 14 Taf. IV, entsprechende Mittelstück des Elektromagneten, während bei g die beiden freien Pole desselben sind. Dass die Trugkräfte unter No. 3 sämmtlich größer sind, als bei gleicher Stromstärke die Tragkräfte unter No. 2, ist also ein experimenteller Beweis, dass die Magnetisirung in der Mitte eines Elektromagneten stärker ist, als an den freien Enden.

Da man für die Anordnung No. 2 bei gleicher Stromstärke eine stärkere Magnetisirung erlangt, als für die Anordnung No. 1, so muß man durch die Anordnung No. 4 auch einen stärkeren Magnetismus erzielen, als durch No. 3, was der Versuch auch vollständig bestätigt.

Die Herstellung einer Eisenverbindung zwischen den beiden Schenkeln des Elektromagneten, Fig. 15 Taf. IV, hat einen um so bedeutenderen Einflus auf die Magnetisirung, je geringer die Stromstärke ist. Als der Strom nur 4,25° Ablenkung an der Tangentenbussole hervorbrachte, gab die Anordnung No. 4 eine 14 Mall stärkere Tragkraft, als die Anordnung No. 1. Als dagegen der kräftige Strom, welcher 19° Ablenkung an der Tangentenbussole bewirkte, ohnehin schon eine kräftige Magnetisirung der Eisenstäbe bewirkte, war die Tragkraft für die Anordnung No. 4 nur 14 Mal größer, als für No. 1.

Freiburg, den 8. November 1858.

V. Ueber die Anzahl der Meteoriten und Betrachtungen über ihre Rolle im VVeltgebäude; com Freiherrn con Reichenbach.

VII.

Wenn man da oder dort mit den Leuten auf die Meteoriten zu sprechen kommt, so hört man fast überall, wie sie das Ding als Curiosum betrachten, das so selten, wie ein Komet, in Jahrzehnten irgend einmal in einem Lande zum Vorschein komme, ohne weiter viel Bedeutung zu haben. Das vernimmt man nicht bloß von Schreibstubenleuten, sondern oft genug selbst von solchen, die einen naturwissenschaftlichen Katheder inne haben. Es möchte sich daher der Mühe vielleicht lohnen, mit einigen Zeilen zu prüfen, wie es sich damit verhalten möge, welche extensive Bedeutung die ganze Erscheinung der Meteoriten habe oder nicht.

Die größte Vereinigung von solchen steinernen Gästen ist wohl die Kaiserliche in Wien, die nunmehr 136 verschiedene Meteoriten besitzt. Meine Sammlung steht ihr jetzt noch um 18 Steinfälle (sogenannte Localitäten) nach. Unter meinen Localitäten möchten etwa 20 sich befinden, welche die kaiserliche Sammlung nicht hat; wir besitzen also zusammen in Wien die Repräsentanten von 156 Meteoritenfällen.

Unter diesen befindet sich jedoch eine Anzahl, welche nicht bei ihrem Niederfallen beobachtet worden, sondern die man auf dem Erdboden gefunden oder ausgegraben hat; diess sind namentlich Elbogen, Caille, Tazewell, Karthago, Caryfort, Seeläsgen, Arva, Lenarto, Bemdego, Durango, Löwensluss, Zacatecas, alle Toluca, Bohumiliz, Hainholz, Mainz, Misteka, Tucunan, Schwetz, Ashville, Atacama, Pallas, Bitburg, Burlington, Guildord, Cap, Clair-

borne, Cocke County, Lokport, Madoc, Red River, Putnam, Kentucky, Santa Rosa, Rasgata, Ruff, Senegal, Sevier und einige andere mir unbekannt gebliebene. Wir haben also hier 39, zufällig auf dem Boden gefundene, beim Niederfallen nicht beobachtete Meteoriten. Dazu kommen noch einige in frühern Zeiten gefallene, die ich aus der Periode meiner Berechnung ihres zu weiten Zeitabstandes wegen ausschließen muß, nämlich Ensisheim von 1492, Agram von 1751, Tabor und Liponas von 1753, Lucé und Mauerkirchen von 1768, und Sigena von 1773, also 7 Aërolithen. Diess giebt zusammen 46 Fälle. Diese müssen wir von obigen 145 abziehen und behalten somit ziemlich genau 100 wirklich beobachtete Meteorsteinfälle übrig, welche in beiden jetzt in Wien befindlichen Sammlungen vertreten sind. Man kann ohne Bedenken annehmen, dass diese etwa von zwei Drittheilen aller wahrgenommenen und bekannt gewordenen Luftsteinfällen Exemplare aufzuweisen vermögen. Es dürften folglich bisjetzt etwa 150 Steinregen überhaupt wirklich beobachtet worden sevn.

Von den gelehrten Körperschaften anerkannt wurden sie erst im Jahre 1803 und 1808, als die Steinfälle von L'Aigle in Frankreich, Stannern in Deutschlaud und früher von Yorkshire in England sich zutrugen und durch wissenschaftliche Commissionen an Ort und Stelle untersucht, bewährt und die Thatsache der Steinregen festgestellt wurde Von da an bis heute haben wir jetzt gerade ein halbes Jahrhundert.

Im Anfange wurden noch nicht viele Fälle beobachtet; erst beiläufig von dem Jahre 1820 an wurde die Aufmerksamkeit allgemeiner und namentlich durch den verdienstvollen und unermüdlichen Chladni darauf gerichtet. Gehen wir jedoch zurück bis auf das Jahr 1783 und nehmen wir au, dass es ungefähr 75 Jahre her seyen, seit welchen die Steinfälle unter den europäischen Völkern etwas bekannter geworden und deren Eintreffen einigermassen beobachtet worden ist. Vertheilen wir nun die beobachteten 150 AëroJithen über diese 75 Jahre, so ergiebt sich, das jedes

Jahr zwei Meteoritenfälle sich zugetragen haben müssen, also in je 182 Tagen Einer gefallen ist.

Mit diesem Ergebnisse trifft auch die Berechnung von Greg zusammen, der in einer Abhandlung im *Philosophical Magazine* für November und December 1854 eine Liste aller bekannt gewordenen Meteoritenfälle liefert. Er giebt von 1800 bis 1854, also in den letzten 54 Jahren, 115 Meteoritenfälle an, folglich jährlich ebenfalls nahezu deren zwei.

Allein das ist bei weitem noch nicht die Anzahl der vorgekommenen Steinregen. Denn lange nicht alle niedergegangenen Meteore sind beobachtet worden. Erstens besteht die Hälfte unserer Zeit aus der Nacht und alles, was während dieser vom Himmel stürzt, fällt irgendwohin, und schlägt sich meist in den Erdboden ein, wo es Niemand sieht und folglich Niemand findet. Aus diesem einzigen Grunde folgt, das jährlich nicht zwei, sondern wenigstens vier Fälle stattfinden müssen.

Jedoch auch von denen, die man am hellen Tage am Himmel ziehen sieht oder donnern hört, ja selbst im Niederfallen gewahrt, werden die meisten nicht gefunden. Erst vor wenigen Tagen sah ein versammeltes Heerlager bei Neunkirchen und Terniz, unweit Wiener-Neustadt, ein solches Meteor leuchtend über sich wegziehen, hörte Donner und Knall, und gewahrte, wie es in der Nachbarschaft zersprang und niederfiel. 30 oder 40,000 Mann Soldaten waren Zeugen davon und doch hat Niemand den Meteorstein aufgefunden, der dort zur Erde kam, ungeachtet man darnach suchte. Gewiss wird nicht der dritte Theil der Steine, deren Erscheinung man beobachtet, wirklich aufgefunden, und somit müssen statt vier, mindestens zwölf Steinfälle jährlich stattfinden, wahrscheinlich mehr, ich will jedoch hierbei stehen bleiben.

Nun bestehen aber drei Viertheile der Erdoberfläche aus Meer, und von allen Meteoriten, welche in dieses fallen, wird kein einziger aufgehoben, sie gehen spurlos verloren. Viermal so viel Luftsteine müssen aus diesem Grunde niedergehen, als wir habhaft zu werden vernögen, also

48 Fälle müssen jährlich über Land und Meer stattfinden.

Da jedoch bei weitem nicht alle Meteoriten beobachtet werden, auch bei Tage nicht, namentlich alle diejenigen nicht, welche nicht zerplatzen und folglich kein Getöse machen, und weil eine Menge davon in Wäldern, Haiden, Gebirgen oder in Gegenden niederfällt, wo gerade keine Leute anwesend oder für die Beobachtung zureichend aufmerksam sind, so ist es klar, dass zahlreiche Aërolithenfälle vorkommen, die ganz und gar nicht wahrgenommen werden und von denen kein Mensch irgend etwas erfährt, Man bedenke nur, dass auf dem ungeheuren Raume von Schweden, Dänemark und Norwegen noch nicht ein einziger Meteorit gefunden oder auch nur beobachtet worden ist'), ebenso dass ganz Portugal, Sicilien noch keinen geliefert hat. Sicherlich beträgt diess die Hälfte der vorkommenden Fälle: damit erhöht sich ihre Anzahl von 48 mindestens auf 96.

Nun aber kommen wir erst zu dem gewichtigsten Factor. Wir erlangen ja nicht die Aërolithen vom ganzen Festlande unseres ganzen Planeten, sondern nur von einigen Culturländern, von Deutschland, Frankreich, England u. s. w.; alles andere, was in Asien, Neuholland, Afrika und Amerika niederfällt, ist für uns fast verloren. Es fragt sich also, der wievielte Theil des trocknen Erdbodens es sey, von welchem wir Meteoriten bekommen.

Die Erdoberstäche beträgt beiläufig 9½ Millionen geographische Quadratmeilen und der trockene Antheil davon 24 Millionen. Nun nimmt an Flächenraum ein:

Spanien, und europäisch Russland, von Cap der guten Hoffnung, von

Latus 30,000 Quadratmeil.

Transport 30,000 Quadratmeil.

Amerika, von Ostindien, wo überall hie und da ein einzelner Meteorit beobachtet worden ist; die Bruchtheile von allen diesen mögen zusammen in Anschlag gebracht werden mit

. . . . 20,000 * Zusammen 50,000 Quadratmeil.

Diess ist nun derjenige Antheil an der Landoberstäche des Erdballs, von welchem uns bisjetzt Meteoriten geliefert worden sind. Theilt man nun diese Zahl in die der trockenen Erdsläche von 2,333,000, so ergiebt sich, dass wir nur vom 47sten Antheile derselben Meteoriten erhalten haben. Wir haben also die Zahl 96 mit 47 zu vervielsachen, und gelangen somit auf 4500 jährliche Steinregen auf dem Erdballe.

Theilen wir nun diese Zahl mit den 365 Tagen des Jahres, so bekommen wir für jeden Tag desselben 12 Meteoritenfälle.

Und es ergiebt sich, dass auf beiläufig 770,000 Quadratmeilen, d. h. auf den zwölften Theil der Erdobersläche, täglich durchschnittlich Ein Aërolith vom Himmel fällt.

Man sieht aus diesem Ergebnisse, dass die Meteoriten häufig genug vorkommen, um eine Erscheinung auszumachen, die uns nicht gar so weit abliegt; 12 Meteoriten täglich, 4500 jährlich, worunter man Stücke kennt, die Hunderte von Centnern wiegen, sind nicht mehr eine ganz geringfügige Sache. Ich glaube, dass ich noch unter der Wahrheit bleibe, wenn ich einen Aërolithenregen in den andern auf einen Zentner Gewicht anschlage; diess angenommen, so würde die Erde einen jährlichen Zuwachs von 4500 Centnern erhalten. Diess betrüge in einem Jahrtausend 4! Millionen Centner. Nehmen wir nun vom Alter der Erde nur eine Million Jahre, was für kosmische Zeiten doch nur eine Kleinigkeit ist, so hätte der Erdball in diesem Zeitraume einen Zuwachs von vier bis fünf tausend Millionen Zentnern erhalten. Es kann aber auch noch

Millionen Jahre so fortgehen, und unser Planet kann so aus unabsehbaren vergangenen und unendlichen kommenden Zeiten allmählich zu einem Zuwachse von einer Billion Zentnern gelangen. — Wird das dann immer so fort und fort gleichgültig, wird es ohne Wirkung auf das Gleichgewicht, die Planetenstellung und den Lauf der Erde bleiben? Das ist denn doch, auch ohne erst diefsfalls den Rechenstab anzulegen, nicht eben glaublich, und wir sehen, daß die geringfügig scheinenden Meteoriten am Ende die Weltstellung unseres Wohnsitzes anzutasten und noch unberechnete Eingriffe in seinen Haushalt zu machen drohen. Freilich zeigt die Rechnung, daß der Erdball ein Gewicht von 100,000 Trillionen Centnern hat; doch der Tropfen höhlt den Stein aus.

Auch den Mond dürfen wir dabei nicht übersehen. Wir haben zwar noch keine fremden Körper auf seiner Obersläche ankommen sehen; aber so gewiss Meteoriten auf der unserigen ankommen, so sicher fallen sie auch auf die seinige, und was der Erde in dieser Hinsicht zu prognostiziren ist, findet auch auf den Mond seine Anwendung. Und wenn wir die entlegenen Himmelskörper, die oberen und unteren Planeten, nicht außer acht lassen, und mit großer Wahrscheinlichkeit annehmen wollen, daß auch sie mit Meteoriten beschüttet werden, so gerathen wir unmittelbar vor den Asteroidenring, der nicht viel anderes als ein Meteoriten-kranz seyn wird, dem die Vereinigung seiner Theile noch abgeht.

Auf der anderen Seite liegt hier die Frage nahe, was denn die Erde jetzt wäre, wenn niemals ein Luftstein darauf gefallen seyn würde? Wie viele Millionen Jahre geht das schon so fort? Ging es vielleicht immer so? Geht es vielleicht zurück ganz bis zum Ursprung der Erde? Hat vielleicht die Erde und jeder andere Planet angefangen mit der ersten Vereinigung zweier Meteoriten, dann dreier, vierer, hunderter, hunderttausender? ist vielleicht die ganze Erde, ist vielleicht jeder Planet nichts anderes als eine allmähliche Anbäufung von Millionen kleiner und größerer Meteoriten? Gab es im Anfange vielleicht mehr und größerer

fsere Meteoriten und sind vielleicht die kleinen, welche heute uns heimsuchen, die Ueberbleibsel, die Brosamen von dem, was unser einst reich besetztes Sonnensystem erfüllte? Giebt es vielleicht Meteoriten mit Wasser?

Das kann man freilich so recht nicht wissen. Aber so viel ist sicher, dass wenn auch nicht alles davon wirklich ist, denn doch ein aliquoter Theil davon innerhalb der Gränzen der erfahrungsmäsigen Wahrheit liegt, auf festen Thatsachen ruht und deswegen nicht übergangen werden darf.

Auch die geologischen Zustände der Erde stellen sich damit nicht eben in Widerspruch. Wir finden zwar die neptunische Oberfläche auf ihr, unsere Flötzgebirge in keinerlei Uebereinstimmung mit den Beschaffenheiten der Meteoriten, was jene als spätere Gebilde das Wassers auch nicht seyn können; allein es wird sich doch fragen, ob bei genaueren Nachsuchungen keine hieher bezüglichen Thatsachen auf der Erdoberfläche vorfindlich seven. Ich habe schon in einer vorangegangenen Abbandlung darauf aufmerksam gemacht, dass in Liberia ein Bergwerk auf gediegenen Eisen umgeht, das allen Schilderungen nach in seine Bergart so eingesprengt ist, dass man es für nichts anderes, als für ein meteoritisches Vorkommen halten kann. soll am oberen Senegal dem Vernehmen nach eine Reihe kleiner Hügel sich befinden, die ganz aus dem Gediegeneisen bestehen, welches wir von dort für unsere Sammlungen erhalten haben, und das ganz wohl charakterisirtes Me-Am Fischflusse nördlich vom Cap der guten teoreisen ist. Hoffnung hat Capitain Alexander Eisenmassen in grofser Menge über einen ganzen Landstrich zerstreut vorgefunden, die offenbar alle von einem einzigen Falle herrührten. Aehnlich verhält es sich mit den vielen Eisenmassen aus dem Tolucathale, denen von Otumpa oder Tucuman, von Durango, Zacatecas, Bemdego bei Bahia und anderen mehr. Das alles giebt zwar Massen, die tausende von Zentnern betragen, aber noch nicht wesentlich in die Geognosie eingreifen.

Anders verhält es sich mit gewissen noch einigermaßen räthselhaften Gesteinen, die wir bisher zu den plutonischen zählen zu sollen glauben. Hieher gehören vor allem andern manche Dolerite, z. B. der vom Meissner in Hessen, der dort einen vereinzelten Berg ausmacht, wie die Berichte angeben. Stellenweise hat er so viel Aehnlichkeit des äusseren Ansehens mit manchen Meteorsteinen, dass man beide beinahe verwechseln könnte, und dass Kenneraugen dazu gehören, um nicht getäuscht zu werden. Feldspath, Augit und Magneteisen sind die vorwaltenden Bestandtheile; es findet sich aber auch Olivin. Schwefelkies und Eisenglimmer darin fein zertheilt. Und während die hauptsächlichsten Bestandtheile des Dolerits fast alle in den Meteoriten vorkommen; so besitzen umgekehrt die Meteoriten nur wenige, die nicht auch in den Doleriten vorkämen, wenigstens gewiss, zum Geschlechte der Feldspäthe zählend, ihnen ganz nahe liegen; wesentlich nimmt nur das Gediegeneisen hierbei eine Ausnahmsstellung ein. Wir haben aber auch Meteoriten ohne Gediegeneisen, Stannern, Juvenas, Alais, Bishopville u. s. w. Der Dolerit liegt bald auf Glimmerschiefer, bald auf Alpenkalk, bald auf rothem Sandsteine, bald auf Basalt, auf Wacke; er hat also keine Regel und reibt sich nirgends in die Altersfolge der Formationen ein: er ist ein sporadischer Findling. In dieser Verlegenheit hat man ihn den basaltischen Gebirgen beigezählt und unter dem Namen Dolerit ziemlich verschiedenartige Felsarten zusammengefasst. Schwerlich sind sie alle von gleichartigem Herkommen, und es wird einer genauen Prüfung und Vergleichung bedürfen, um zu erfahren, ob nicht manche davon nichts geringeres als große Meteoriten seyen und nur als solche jetzt Theil an der Zusammensetzung des Erdballs nehmen. Ihr schroffes isolirtes Auftreten trägt noch dazu bei, sie verdächtig zu machen, und es wird längerer genauerer Untersuchungen bedürfen, um über die Dolerite vom gegenwärtigen Gesichtspunkte aus Sicherheit zu erlangen.

Da wir auf der Erdoberfläche nicht tiefer dringen können,

als bis zum Granite und Gneise und diese Felsarten, wie wir nun wissen, von nicht sehr altem Herkommen sind, wir es aber hier nicht mit der später entstandenen Kruste, sondern mit den Kernmassen unseres Planeten zu thun haben; so bleibt uns nur noch der Ausweg, bei den Vulkanen, beim Basalte und den Laven anzufragen über das, was grössere Tiefe verbirgt. Da ist es denn gewis auffallend, dass die Mineralspecies, welche wir in den Meteoriten gewahren, zumeist in den vulkanischen und plutonischen Gesteinen sich wiederfinden und damit beide in eine gewisse Nähe gerathen, deren Zusammenhang wir noch nicht verstehen. So finden wir beiderseits Augite, Feldspäthe, Hornblenden, Olivine, Schwefeleisen, Magneteisen, Labrador, Oligoklas, Anorthit u. s. w. als Hauptbestandtheile. Es müssen also da unten tief unter den Vulkanen Gesteinmassen vorhanden seyn, die den nähern Bestandtheilen nach fast ganz übereinstimmen mit unseren Meteoriten und die in hohem Grade Verdacht erregen müssen, dass das Innere unserer Erde entweder selbst die mineralogische Constitution eines Meteoriten habe, oder aber, wie nicht ganz unwahrscheinlich, ganz und gar aus einem Aggregate von Meteoriten überhaupt bestehe.

Wollen wir einen Blick auf die Reihenfolge der Gebirgsformationen werfen, aus welchen die uns zugängliche Rinde der Erde besteht; so finden wir namentlich im Flötzgebirge eine mehrmalige Wiederholung von Gesteinarten, von kohlensaurem Kalk, von Sandsteinen, von Thonlagern, von Trümmergesteinen und zwischen ihnen große Kohlenablagerungen, welche Ueberreste vorangegangener lebendig gewesener organisirter Wesen sind. Wir erkennen, daß alle diese Gebilde den jetzt lebenden nach Grundkräften ganz gleich, nach Formen aber, in denen diese Kräfte sich ausgeprägt haben, durchaus verschieden von der jetzt lebenden organischen Welt sind. Es hat also Lebwelten gegeben, die untergegangen sind, und diese Untergänge haben sich öfters wiederholt. Schlamm und Schutt haben sich über jene gestürzt und sie begraben. Fragen wir nun nach

den Ursachen dieser Katastrophen, so wissen wir keine anzugeben; wir stehen vor den ungeheuren Thatsachen, ohne ihre Entstehung zu begreifen, und suchen nach Erklärungen in den Störungen, welche die Gestirne bei möglichen Näherungen auf einander ausüben, und durch welche das Gleichgewicht der Meere aufgehoben werden könnte. Zu solchen Muthmaßungen können wir gewiß mit Recht noch die Meteoriten fügen. Wenn große meteoritische Massen sich mit der Erde vereinigt haben, so mussten sie nach bekannten Gesetzen nothwendig erst über die Erde einige Male rundherum laufen, zerschellen und dabei Störungen auf der Erdoberfläche verursachen, welche die Meere aus der Gleichgewichtslage brachten. Unermessliche Ueberschwemmungen mit allen ihren Zerrüttungen sind dann die unausbleiblichen Folgen davon. Diess beausprucht keine andere Bedeutung, als die einer Möglichkeit, darf aber doch aus ihrer Waagschale nicht ausgelassen werden, weil sie nicht weit abliegt. Die geologischen Katastrophen sind einmal da, und die Meteoriten sind auch da; so wie einer von bedeutender Größe auftritt, so müssen solche Umwälzungen auf der Erdoberfläche die unausbleibliche Folge seyn.

Hieher gehört weiter der chemische Bestand der Vergleichungsobjecte. Auffallenderes giebt es doch kaum etwas, als das einige hundert Analysen, die meisten von unsern ausgezeichnetsten Scheidekünstlern ausgeführt, in keinem einzigen Meteoriten irgend einen Grundstoff aufgefunden haben, der nicht auf unserer Erde schon vorräthig wäre. Kein Meteorit hat aus des Himmels Höhen uns irgend etwas neues, irgend ein Metall oder sonst ein unbekanntes Ding mitgebracht; alles ist schon da und reichlich da. Wir sind also einander auf keine Weise fremd, die Meteoriten und die Erde; wir sind sichtlich Geschwister und kommen von derselben Mutter.

Die sunehmende Wärme, welche die Erde nach innen hin zeigt, die Destillationsproducte, welche sie uns an brennbaren Oelen und strömenden Gasen liefert, die heißen Sprudelquellen, welche aus der Teufe aufsteigen, die vulkani-

schen Feuer endlich sind damit allerdings noch nicht erklärt. Allein wir haben ja an den Meteoriten ein Analogon in den Feuer- und Lichterscheinungen, mit welchen sie der Erde sich nähern, in der Hitze, mit welcher sie auf dem Boden ankommen, und in der durchweg geschmolzenen Oberfläche, deren schwarzer Ueberzug den vollständigen Repräsentanten der Lava ausmacht. Die Licht- und Feuererscheinungen, welche Biot bis auf eine Höhe von 60 Meilen über dem Erdboden schon wahrnehmbar angiebt, in einer Höhe, wo die atmosphärische Luft wohl nicht den Grund dazu abzugeben vermag, sind bis jetzt noch nicht besser erklärt als die Feuer unserer Vulkane mit der feuerslüssigen Schicht unter unseren Füssen, und für die einen wie für die andern helfen wir uns mit Hypothesen. viel ist gewiss, dass beide, Erde und Metcoriten, durch Feuererscheinungen durchgingen und durchgehen, die von der höchsten Hitze begleitet sind und Schmelzungen der streng flüssigsten Substauzen auf ihnen erzeugen. Die feurige Schicht unter der nassen Erdkruste und die Schlackenrinden der Meteoriten sind ganz und gar ähnlich; erstere braucht Jahrtausende zu ihrer allmählichen Abkühlung, letztere sind in etlichen Stunden kalt.

Nehmen wir noch das specifische Gewicht in Anspruch. Das des Gesammtballs beträgt bekanntlich 5,4, das der reinen Steinmeteoriten beträgt nach Hrn. Rumler bei Alais 1,70, bei Capland 2,69, bei Stannern 3,17, bei L'Aigle 3,39, bei Blansko 3,70, bei Madoc 3,72, bei Hainholz 4,61, bei Pallas 6,48. Bei den vielen Eisenmassen zwischen 6,82 und 7,90. Ich habe 128 Wägungen von Hrn. Rumler zusammengezählt und die Summe der specifischen Gewichte durch diese Zahl getheilt; auf diesem Wege bekam ich für das durchschnittliche specifische Gewicht aller Meteoriten, welche die kaiserliche Sammlung in Wien besitzt, Steine und Eisenmassen, die Zahl 5, kam also damit ganz nahe heran an das des Erdballs. Also auch hierin finden wir Gründe der Aehnlichkeit zwischen Erdball und Meteoriten; ihre specifischen Gewichte sind so viel wie gleich.

Auch nach ihrer Verschiedenheit unter einander lassen sich die Meteoriten mit den Plaueten parallelisiren. Einmal nach der Größe, die vom Jupiter bis zum kleinsten Asteroiden eben so verschieden ist, als von den Eisenhügeln am Senegal bis zu einem Aërolithen von Siena: das andere Mal nach dem Stoffbestande. Wir haben angenommen, daß das specifische Gewicht der Planeten vom Neptun bis zum schweren Merkur weit von einander absteht und sind dadurch berechtigt, auf eine stoffige Zusammensetzung von sehr verschiedener Art oder Proportion zu schließen. Die Meteoriten wechseln im specifischen Gewichte von 1,70 bis fast 8, und wenn wir die Meteoriten von Alais und von Stanuern vergleichen mit denen von Elbogen, Cap und Charlotte, so finden wir einen Unterschied in der Materie und Verhältnissen ihrer Vertheilung, dass man von diesem Gesichtspunkte aus Planeten und Meteoriten ganz gleichen Schrittes gehen sieht.

Fassen wir nun das Gesagte in engen Rahmen zusammen, so finden wir;

- das täglich wenigstens 12, jährlich 4500 Meteoriten auf die Erde niederfallen;
- dass davon manche sehr klein, manche aber groß und mehrere hunderte und tausende von Zentnern schwer sind;
- große Massen die auf der Erde zerstreut umherliegen, wie manche Dolerite, scheinen meteoritischen Ursprungs zu seyn;
- 4) und so müssen diese endlich nothwendig auf das Gleichgewicht der Erde einigen Einfluss nehmen;
- 5) die auf ihrer Obersläche sich wiederholenden Flötzformationen mit ihren verschütteten Lebwelten können einzelnen großen Meteoritenstürzen und ihren Folgen zugeschrieben werden;
- 6) die Mineralspecies, die sich in den Meteoriten vorfinden, gewahren wir fast alle in den vulkanischen und plutonischen Gesteinen des Erdballs.
- 7) die Grundstoffe, welche die Meteoriten enthalten, sind ohne Ausnahme auf der Erde schon vorräthig;

- 8) das specifische Gewicht der Erde und das der Gesammtheit der Meteoriten ergiebt sich als gleich. Die Verwandtschaft ist also von allen Seiten überaus groß;
- 9) selbst die Erdwärme mit ihrer Zunahme nach der Tiefe und die Laven sammt den vulkanischen Feuern reihen sich an an die Feuererscheinungen und die Rindenschmelzhitze, mit welcher die Meteoriten ihren Zutritt zur Erde bezeichnen:
- 10) die Erde zeigt somit auffallende Analogien mit den Meteoriten und ist möglicherweise selbst nichts anderes als ein Aggregat von Meteoriten.
- 11) Trabanten, Asteroïden und Planeten befinden sich in ähnlichen Verhältnissen;
- 12) die Größen-Verschiedenheiten der Planeten unter sich sind proportional denen der Meteoriten unter sich. Dasselbe läßt sich für die Stoffverschiedenheiten aus der Erfahrung ableiten.

Der gemeinschaftliche Knotenpunkt, in welchem alle diese Fäden zusammenlaufen, ist nun sichtlich nichts anderes, als eine Hinweisung auf die Wahrscheinlichkeit, daß alle planetarischen Körper mit unserer Erde von keinem andern als von meteoritischem Ursprunge sich ableiten. Mit gleichem Rechte würde man umgekehrt sagen: Die Meteoriten alle sind augenscheinlich nichts anderes als kleine Planeten, die in unserem Sonnensystem umlaufen. Vom größten Planeten bis zum kleinsten Meteoriten besteht nur Eine fortlaufende Reihe. Und werfen wir noch einen Blick zurück auf das, was ich in meiner letzten Abhandlung auseinander zu setzen bemüht war, so würde die Stellung der Meteoriten ziemlich genau zwischen die Asteroïden und die Kometen fallen.

VI. Ueber die isomeren Zustände des Zinnoxyds, so wie über das Verhalten desselben und das anderer elektro-negativer Metalloxyde in ihrer Lösung in Chlorwasserstoffsäure; von Heinr. Rose.

Zinnoxyd.

Die beiden isomeren Modificationen des Zinnoxyds, auf welche zuerst Berzelius aufmerksam gemacht hat, zeigen das verschiedene Verhalten gegen Reagentien besonders in ihren Verbindungen mit Chlorwasserstoffsäure. Die Auflösung des wasserfreien Zinnchlorids in Wasser verhält sich vollkommen gleich einer Lösung des krystallisirten Zinnchloridhydrats, welches man erhält, wenn man durch eine concentrirte Lösung von Zinnchlorür Chlorgas leitet; beide unterscheiden sich wesentlich von der chlorwasserstoffsauren Lösung des Zinnoxyds, welches durch Oxydation des metallischen Zinnes vermittelst Salpetersäure erhalten und durch Waschen mit Wasser von aller Salpetersäure befreit wor-Berzelius nannte bekanntlich das Oxvd aus dem Chloride Zinnoxyd a, und das durch Salpetersäure erhaltene Oxyd Zinnoxyd b. Letzteres ist die Metazinnsäure von Fremy.

Ich habe früher ausführlich auf die Unterschiede dieser verschiedenen Lösungen aufmerksam gemacht '); in möglichster Kürze will ich dieselben hier wiederholen.

In der wässerigen Lösung des Zinnchlorids und des krystallisirten Zinnchloridhydrats bringt verdünnte Schwefelsäure keinen Niederschlag hervor, wenn die Lösung nicht mit einer außerordentlich großen Menge von Wasser verdünnt worden ist (in welchem Falle alles Zinnoxyd fallen kann). Ebenso wenig erzeugen die Lösungen der schwefelsauren Alkalien darin Fällungen. In der concentrirten oder mit wenig Wasser verdünnten Lösung des durch Sall) Pogg. Ann. Bd. 75, S. 1.

petersäure erzeugten Oxyds b in Chlorwasserstoffsäure (wenn diese nicht zu viel freie Chlorwasserstoffsäure enthält) erzeugen verdünnte Schwefelsäure und Lösungen von schwefelsaueren Alkalien starke Niederschläge, und die ganze Menge des Zinnoxyds wird in Verbindung mit Schwefelsäure gefällt. In Chlorwasserstoffsäure sind diese Niederschläge löslich.

Chlorwasserstoffsäure trübt die Lösungen des Zinnchlorids nicht; die Lösung des Zinnoxyds b in Chlorwasserstoffsäure ist aber in überschüssiger Chlorwasserstoffsäure nicht löslich und wird durch dieselbe gefällt; es wird aber nicht die ganze Menge des Zinnoxyds niedergeschlagen. In Wasser ist übrigens der Niederschlag löslich.

Eine Lösung von salpetersaurem Silberoxyd im Ueberschus zu der Lösung des Zinnchlorids gesetzt, giebt einen Niederschlag von Chlorsilber und von zinnsaurem Silberoxyd, welche beide in Ammoniak vollständig löslich sind Versetzt man aber die chlorwasserstoffsaure Lösung des Oxyds b mit einem Ueberschuss von salpetersaurem Silberoxyd, so wird von dem entstandenen weisen Niederschlag nur das Chlorsilber durch einen Ueberschus von Ammoniak ausgelöst und es bleibt b Zinnoxyd ungelöst.

Galläpfelaufgus erzeugt in der Lösung des Chlorids keinen Niederschlag, auch wenn noch etwas Chlorwasserstoffsäure hinzugefügt worden ist. In der chlorwasserstoffsauren Lösung des Oxyds b wird dadurch, wenn auch nicht sogleich, wohl aber nach einiger Zeit, ein gelblich weißer Niederschlag hervorgebracht.

Wird die Lösung des Zinnchlorids mit Weinsteinsäure versetzt, so bleibt die Flüssigkeit klar, wenn sie mit Ammoniak übersättigt wird. Aus der chlorwasserstoffsauren Lösung des Oxyds b wird nach dem Zusetzen von Weinsteinsäure durch einen Ueberschuss von Ammoniak das Zinnoxyd gefällt.

Werden die Lösungen der Oxyde a und b in Chlorwasserstoffsäure mit vielem Wasser verdünnt und einige Zeit hindurch gekocht, so entstehen dicke voluminöse Nie-

derschläge der Oxyde a und b, die sich im Aeufsern sel ähnlich sind, welche aber, in Chlorwasserstoffsäure gelö sich eben so verschieden verhalten, wie die ursprüngliche chlorwasserstoffsauren Lösungen. Fügt man aber zu de Auflösung des Zinnchlorids in nicht zu wenigem Wasse Chlorwasserstoffsäure, so verhindert man die Ausfällung de Oxyds durchs Kochen. Wenn man dann unter Erneuerous des verdampften Wassers, während man von Zeit zu Ze kleine Mengen von Chlorwasserstoffsäure hinzufügt, einig Stunden, oder so lange kocht, bis eine berausgenommen Probe der Flüssigkeit nach dem Erkalten durch verdüngte Schwefelsäure gefällt wird, so ist in der Lösung das Oxyda in das Oxyd b verwandelt worden. Dasselbe geschiebt wenn man die Lösung des Zinnchlorids in Wasser, bei gewöhnlicher Temperatur, sehr lange (mehrere Jahre hindurch) stehen lässt ').

Sehr verschieden verhalten sich indessen die chlorwasserstoffsauren Lösungen der beiden Oxyde, wenn man sie der Destillation unterwirft, und dieses verschiedene Verhalten kann uns einige Aufklärung über die verschiedene Art geben, wie dieselben in ihren Lösungen mit der Säure verbunden sind.

Werden die wässerigen Lösungen des Zinnchlorids oder des krystallisirten Zinnchloridhydrats in einer Retorte erhitzt, so verslüchtigt sich mit den Dämpsen des Wassers, wenn sie ansangen concentrirt zu werden, zuerst zwar etwas Chlorwasserstoffsäure, dann aber Chlorwasserstoffsäure und Zinnoxyd zugleich, oder vielmehr es verslüchtigt sich Zinnchlorid gemeinschaftlich mit den Wasserdämpsen; die Lösung in der Retorte trübt sich dabei nicht. Unterbricht man die fernere Destillation, so kann in der Retorte noch die Verbindung des Zinnchlorids mit Wasser krystallisiren: sie enthält aber neben dem Zinnchlorid noch größere oder geringere Mengen von Zinnoxydhydrat ist aber im Wasser löslich. Setzt man die Destillation noch weiter fort, so ent. wickelt sich viel Zinnchlorid und Chlorwasserstoffsäure, und nach dem Glühen der Retorte bleibt in derselben Zinn-

¹⁾ Das Folgende enthält neue Resultate.

oxyd zurück, aus welchem man durch Ammoniak geringe Spuren von Chlorwasserstoffsäure ausziehen kann.

Auch durch einen Zusatz von concentrirter Schwefelsäure zur Zinnchloridlösung kann man das Zinnchlorid bei der Destillation nicht zersetzen und die Verslüchtigung desselben mit den Wasserdämpfen hindern. Die Lösung trübt sich bei einer gewissen Concentration, wird aber nach einiger Zeit wieder klar. Sie enthält neben der Schwefelsäure Zinnchlorid. Dampst man sie in der Retorte so weit ab, dass die Schwefelsäure sich zu verslüchtigen anfängt, so werden die Dämpse derselben von wasserfreiem Zinnchlorid begleitet; es bleibt dann noch schweselsaures Zinnoxyd als eine weisse Masse zurück, die sich in wenigem Wasser noch lösen kann, wenn dasselbe längere Zeit damit in Berührung gelassen wird.

Selbst auch ein Zusatz von Salpetersäure ist nicht im Stande, eine Verslüchtigung des Zinnchlorids zu verhindern und aus demselben viel Zinnoxyd abzuscheiden. Die Lösung wird während der Destillation anfangs nicht getrübt; es geht mit den Wasserdämpfen Zinnchlorid und Salpetersäure über, und bei größerer Concentration schmilzt der Rückstand; beim Glühen geht Zinnchlorid über und Zinnoxyd bleibt zurück. Eine Auslösung von metallischem Zinn in Königswasser, in welchem sich durch den Chlorgehalt desselben Zinnchlorid gebildet hat, verhält sich ähnlich; bei einem richtigen Verhältnisse von Chlorwasserstoffsäure und von Salpetersäure kann man es dahin bringen, dass fast alles Zinn als Zinnchlorid übergeht, und fast gar kein Zinnoxyd in der Retorte zurückbleibt 1).

1) Bei allen diesen Versuchen wurde die Gegenwart des Zinnoxyds in den Destillaten durch Schwefelwasserstoffwasser aufgefunden. Die Entdeckung desselben durch Erzeugung des gelben Niederschlags von Schwefelzinn wird aber unsicher, wenn das Destillat salpetrichte Säure enthält, die sich durch Einwirkung der Salpetersäure auf Chlorwasserstoffsäure bildet und welche mit Schwefelwasserstoff einen Absatz von Schwefel hervorbringt. Bei flüchtiger Untersuchung ist es dann möglich, in einer Lösung Zinnoxyd zu vermuthen, in der nichts davon enthalten ist. In diesen Fällen ist es am besten, die salpetrichte Säure in der Lösung

Wird die chlorwasserstoffsaure Lösung des Zinnoxyds b der Destillation unterworfen, so verhält sie sich wesentlich verschieden von der Lösung des Zinnchlorids. Sie trübt sich durchs Erhitzen. Das Destillat enthält nur Chlorwasserstoffsäure aber kein Zinnoxyd, und nur zuletzt, wenn der Rückstand in der Retorte fast trocken geworden ist, entwickelt sich, wenn das angewandte Zinnoxyd noch Spuren von Salpetersäure enthielt, etwas Chlor und es bildet sich etwas weniges Zinnchlorid, das überdestillirt. Wird die chlorwasserstoffsaure Lösung noch mit vieler Chlorwasserstoffsäure versetzt, der Destillation unterworfen, so verhält sie sich eben so.

Versetzt man die chlorwasserstoffsaure Lösung des Oxyds b mit concentrirter Schwefelsäure, wodurch sogleich ein dicker Niederschlag entsteht, und unterwirft sie der Destillation, so wird selbst dadurch nicht das Zinnoxyd mit der Chlorwasserstoffsäure zu Zinnchlorid vereinigt, sondern die Lösung wird vollständig zersetzt. Es destillirt nur Chlorwasserstoffsäure über; bei einer gewissen Concentration der Flüssigkeit wird dieselbe klar; von nun an destilliren Chlorwasserstoffsäure und Schwefelsäure gemeinschaftlich über, und es lässt sich von der Lösung durch den Zusatz von Schwefelsäure alle Chlorwasserstoffsäure abdestilliren, während schwefelsaures Zinnoxyd zurückbleibt, das, mit Wasser übergossen, nach längerem Stehen sich in demselben auflöst. Während also das Zinnchlorid fast gar nicht, oder nur in einem geringen Maasse durch Schwefelsäure zersetzt wird, wird aus der chlorwasserstoffsauren Lösung des Oxyds b bei der Destillation mit Schwefelsäure die Chlorwasserstoffsäure vollständig ausgetrieben.

Auch durch einen Zusatz von Salpetersäure, durch welche die Lösung des chlorwasserstoffsauren Zinnoxyds b getrübt wird, wird bei der Destillation nur ein Theil des Zinnoxyds als Zinnchlorid verslüchtigt. Wenn der Rück-

durchs Erwärmen derselben mit etwas Harnstoff zu zerstören, eine Methode, welche bekanntlich zuerst Millon bei der Darstellung des salpetersauren Aethyloxyds angewandt hat. stand in der Retorte ganz dick wird, bildet sich durch das entstandene Chlor etwas Zinnchlorid. Die Destillate enthalten Chlorwasserstoffsäure und Salpetersäure und es bleibt Zinnoxyd in der Retorte zurück. Es ist klar, dass durch ein angemessenes Verhältnis von Salpetersäure und von Chlorwasserstoffsäure sich mehr Zinnchlorid bilden muss.

Aus diesem verschiedenen Verhalten der Lösungen des Zinnchlorids und der chlorwasserstoffsauren Lösung des Oxyds b, wenn sie der Destillation unterworfen werden, ergiebt sich, dass in letzterer Lösung die Chlorwasserstoffsäure und das Zinnoxyd sich nicht zu Chlorid vereinigen, und dass eine solche Vereinigung nicht einmal durch Zusetzen von concentrirter Schwefelsäure bewirkt wird. Der Unterschied beider Lösungen besteht also wohl wesentlich darin, dass die eine wirkliches Chlorid enthält, die andere aber chlorwasserstoffsaures Zinnoxyd.

Die Vereinigung der elektro-negativen Oxyde mit Chlorwasserstoffsäure zu Chloriden, scheint häufig nicht durch bloßes Lösen der Oxyde in der Säure bewirkt zu werden. Wir wissen, daß die beiden Modificationen der arsenichten Säure, die glasartige und die krystallinische, nach ihrer Lösung in Chlorwasserstoffsäure in derselben noch in ihren verschiedenen Zuständen vorhanden sind, und daß die amorphe Säure sich in der Lösung erst bei der Concentration durch Krystallisation unter Lichterscheinung in die krystallinische verwandelt. Aber es ist uns bei keinem anderen Metalle wie beim Zinn ein so großer Unterschied zwischen der Lösung eines Chlorids und der eines chlorwasserstoffsauren Oxyds bekannt.

Die beiden Modificationen des Zinnoxyds, des a und des b Oxyds, wenn sie aus den verschiedenen Lösungen geschieden sind, unterscheiden sich also dadurch, dafs die eine nach ihrem Auflösen in Chlorwasserstoffsäure sogleich Chlorid, die andere aber chlorwasserstoffsaures Oxyd bildet.

Die Chloride und die chlorwasserstoffsauren Oxyde anderer Metalle verhalten sich bei der Destillation ihrer Lö-

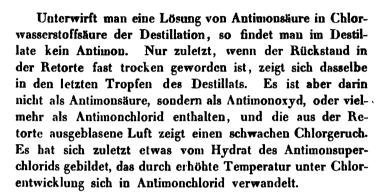
sungen nicht auf eine so eigenthümliche Art, wie die Verbindungen des Zinns.

Antimonoxyd und Antimonsäure

Wird Antimonoxyd oder Schwefelantimon in Chlorwasserstoffsäure gelöst, wird darauf zu der Lösung Wasser und so viel Chlorwasserstoffsäure hinzugefügt, daß kein weißer Niederschlag sich absondert, dieselbe dann der Destillation unterworfen, so geht zuerst mit den Wasserdämpfen Chlorwasserstoffsäure über; später enthält dieselbe Antimonchlorid und endlich verflüchtigt sich wasserfreies Chlorid, das schon im Halse der Retorte zu einer festen krystallinischen Masse erstarrt.

Versetzt man die chlorwasserstoffsaure Lösung des Antimonoxyds mit Schwefelsäure und unterwirft die Lösung der Destillation, so verflüchtigt sich zuerst Chlorwasserstoffsäure und dann Antimonchlorid; wenn aber die Schwefelsäure anfängt sich zu verflüchtigen, so ist im Destillate kein Antimon mehr aufzufinden, das als schwefelsaures Oxyd in der Retorte zurückbleibt. Fügt man aber zu demselben Chlorwasserstoffsäure, so erhält man durch die Destillation wiederum Antimonchlorid, und man würde endlich alles Antimon als Chlorid durch die Destillation verflüchtigen können, wenn zum Rückstand von Zeit zu Zeit Chlorwasserstoffsäure hinzugefügt wird. Bei einem gehörigen Uebermaafs derselben ist also die Schwefelsäure ohne Wirkung auf Antimonchlorid.

Fügt man aber zu der chlorwasserstoffsauren Lösung des Antimonoxyds Salpetersäure und unterwirft das Ganze der Destillation, so destilliren nur Chlorwasserstoffsäure und Salpetersäure über, aber kein Antimon. Nur zuletzt, wenn keine Salpetersäure sich mehr entwickelt, destillirt eine sehr geringe Menge des Superchlorids Sb Cl⁵ über, das sich zum Theil als krystallinisches festes Hydrat im Halse der Retorte ansetzt, zum Theil aber durch den Einsluss der Hitze unter Chlorentwicklung in Antimonchlorid, Sb Cl³, zersetzt wird. In der Retorte bleibt Antimonsäure zurück.



Arsenichte Säure und Arseniksäure.

Wird die Lösung der arsenichten Säure in sehr verdünnter Chlorwasserstoffsäure der Destillation unterworfen, so verflüchtigt sich anfangs höchst wenig Arsenikchlorid; nur wenn die Lösung concentrirt wird, destillirt dasselbe im aufgelösten Zustand über, und es bleibt kein Rückstand in der Retorte, wenn dieselbe zuletzt stärker erhitzt wird.

Mengt man zu einer solchen Lösung eine bedeutende Menge von concentrirter Schwefelsäure, etwa ein gleiches Volumen, so wird bei der Destillation gleich anfangs mit den ersten Wasserdämpfen viel Chlorarsenik verslüchtigt, und es destillirt dasselbe so lange über, bis die Schwefelsäure sich zu verflüchtigen anfängt; dann verflüchtigen sich nur Spuren von arsenichter Säure und von Chlorwasserstoffsäure als Chlorarsenik; die rückständige Schwefelsäure enthält endlich gar keine Chlorwasserstoffsäure mehr, aber noch bedeutende Mengen von arsenichter Säure. Wenn daher in der Lösung die arsenichte Säure und die Chlorwasserstoffsäure bei der Destillation sich zu Chlorarsenik verbinden, so kann die concentrirte Schwefelsäure, wenn keine freie Chlorwasserstoffsäure mehr vorhanden ist, eine Zersetzung des Chlorarseniks bewirken. - Fügt man dann aber zu dem Rückstand vorsichtig von Neuem Chlorwasserstoffsäure, so findet sich im Destillate wiederum Chlorarsenik, und man kann mit Leichtigkeit alles Arsenik

als Chlorid überdestilliren, wenn man hinlänglich Chlorwasserstoffsäure auf die schwefelsaure arsenichte Säure einwirken läfst, Die gänzliche Verflüchtigung des Arseniks als Chlorid geht auf diese Weise ungleich schneller und vollständiger von statten, als die Verflüchtigung des Antimonchlorids unter gleichen Verhältnissen.

Wird viel Chlornatrium mit wenig arsenichter Säure gemengt, dann mehr oder weniger Wasser und endlich concentrirte Schwefelsäure hinzugefügt, so destillirt alles Arsenik als Chlorarsenik über; denn wenn hinlänglich Chlorasserstoff in Verhältnis zu der Menge der arsenichten Säure vorhanden ist, so kann Schwefelsäure keine Zersetzung des Chlorarseniks bewirken.

Wird eine wäßrige Lösung von arsenichter Säure mit verdünnter Salpetersäure versetzt, und das Ganze der Destillation unterworfen, so enthält das Destillat kein Arsenik; der Rückstand in der Retorte aber ist nach gehöriger Concentration in Arseniksäure verwandelt.

Auch wenn man zu einer Lösung von arsenichter Säure in verdünnter Chlorwasserstoffsäure Salpetersäure hinzufügt, und dann das Ganze destillirt wird, so entweicht kein Arsenik, sondern nur salpetrichte Säure und Chlorwasserstoffsäure, und es bleibt Arseniksäure zurück.

Der Erfolg bleibt derselbe, wenn zu der chlorwasserstoffsauren Lösung der arsenichten Säure neben der Salpetersäure noch concentrirte Schweselsäure hinzugefügt wird. Es verslüchtigt sich kein Arsenik, und es bleibt Arseniksäure in der Retorte zurück.

Wenn man zu einer wäserigen Lösung der arsenichten Säure chlorsaures Kali, und darauf nach und nach Chlorwasserstoffsäure hinzufügt, so verslüchtigt sich bei der Destillation kein Arsenik, und wenn im Destillate geringe Spuren davon gefunden werden, so sind diese durchs Sprützen übergerissen worden. Dasselbe ist auch der Fall, wenn man arsenichte Säure in Chlorwasserstoffsäure auslöst und dann chlorsaures Kali hinzufügt. Es bildet sich Arseniksäure. — Wenn in diesem Falle Spuren von Arsenik sich

verslüchtigen, so rührt diess davon her, dass man nach und nach das chlorsaure Kali zu der Lösung brachte, und die Destillation begonnen hatte, ehe die ganze Menge der arsenichten Säure in Arseniksäure verwandelt worden war. Es konnte dann also etwas Arsenikchlorid sich verslüchtigen.

Wird durch eine Lösung von arsenichter Säure in Chlorwasserstoffsäure so viel Chlorgas geleitet, als davon aufgenommen wird, und das Ganze dann der Destillation unterworfen, so verflüchtigt sich kein Arsenik, oder nur äufserst geringe Spuren, und diese sind entweder durch Sprützen in das Destillat übergeführt, oder es war nicht hinlänglich Chlorgas durch die Lösung geleitet worden. Diese geringe Mengen von Arsenik sind durch das übergegangene Chlorgas in der Flüssigkeit der Vorlage zu Arseniksäure oxydirt worden. Fast die ganze Menge des Arseniks bleibt als Arseniksäure in der Retorte zurück.

Bekanntlich giebt es kein der Arseniksäure entsprechendes Chlorid. Wenn man daher Arseniksäure oder ein arseniksaures Salz in fester Form mit Chlornatrium mengt, und das trockne Gemenge mit concentrirter Schwefelsäure hehandelt, so bildet sich das Chlorid As Cl³ nebst freiem Chlor.

Wird aber eine concentrirte wässerige Lösung der Arseniksäure selbst mit rauchender Chlorwasserstoffsäure versetzt, der Destillation unterworsen, so entweicht keine arsenichte Säure, oder vielmehr das derselben entsprechende Chlorid. Nur zuletzt erhält man eine höchst geringe Spur davon und wenn man dann das Destillat in eine sehr verdünnte Lösung von Jodkalium leitet, so wird dieselbe sehr schwach gelb gefärbt; es hat sich also dann Chlor gebildet, aber so wenig, dass man die Bildung desselben nur auf diese Weise erkennen kann.

Man erhält eben so wenig im Destillate arsenichte Säure, oder nur äußerst kleine Spuren davon, wenn man zu einer Lösung von Arseniksäure Chlorwasserstoffsäure und dann eben so viel concentrirte Schwefelsäure hinzufügt und das Ganze der Destillation unterwirft.

Vielfache Versuche haben gezeigt, dass die Gegenwart organischer Substanzen, selbst wenn diese in überwiegender Menge vorhanden sind, die Erzeugung und Verslüchtigung von Chlorarsenik nicht hindern. Man kann daher die arsenichte Säure aus damit vergisteten organischen Substanzen auf eine einfache und zweckmäsige Weise ausscheiden, wenn man sie in Chlorarsenik verwandelt.

Diesen Weg hat F. C. Schneider '), später auch Fyfe 2) vorgeschlagen, und die Methode des ersteren wird auf die Weise ausgeführt, das die zu untersuchende organische Substanz in grobe Stücke zerschnitten, in eine tubulirte Retorte gebracht, Steinsalz oder geschmolzenes Kochsalz in Stücken und so viel Wasser hinzugefügt wird, dass das Gemenge mit letzterem überdeckt wird. Man läst nach und nach concentrirte Schweselsäure nachsließen und erwärmt die Retorte sehr langsam. Es destillirt zuerst Wasser und verdünnte Chlorwasserstossäure und sodann mit dieser Chlorarsenik über. Man setzt die Destillation nicht zu lange fort. Um zu sehen, ob alle arsenichte Säure aus der Retorte sich verslüchtigt hat, ist es freilich nothwendig, eine kleine Menge der zuletzt überdestillirten Flüssigkeit mit Schweselwasserstosswasser zu probiren.

Wenn man dafür sorgt, dass kein Uebermaass von Schwefelsäure vorhanden ist, so enthält das Destillat keine schweflichte Säure; der Inhalt der Retorte schwärzt sich zwar, doch gewöhnlich nicht sehr bedeutend. Man vermeidet die Erzeugung der schweflichten Säure leicht, wenn man gegen ein Atomgewicht von Chlornatrium nur ein gleiches Atomgewicht von Schwefelsäurehydrat anwendet.

Geschmolzenes Kochsalz und Steinsalz haben vor dem gewöhnlichen Kochsalz den Vortheil, dass die Schwefelsäure auf erstere langsamer einwirkt.

Wenn nur arsenichte Säure in der Substanz enthalten ist, so wird alles Arsenik als Chlorarsenik übergetrieben,

¹⁾ Pogg. Ann. Bd. 85, S 433.

²⁾ Journ. f. pract. Chem. Bd. 55, S. 103.

und in der zerstörten organischen Substanz läßt sich kein Arsenik mehr nachweisen.

Bei Anwesenheit mehrerer organischer Substanzen, namentlich von sogenannten Kohlenhydraten, Brot u. s. w., geht von organischen Substanzen nichts über, was für eine Bestimmung des Arseniks nachtheilig wäre. Man kann daher, wenn man annähernd die Menge der arsenichten Säure bestimmen will, das Destillat mit Schwefelwasserstoffwasser versetzen, um aus der Menge des Schwefelarseniks die der arsenichten Säure zu berechnen.

Ist hingegen in der organischen Substanz viel Fett enthalten, so ist die Destillation etwas unangenehmer, indem auf die Obersläche der Flüssigkeit sich eine Fettschicht setzt, wodurch ein Stossen und Ueberspritzen verursacht wird. Es setzt sich auch in dem Destillate ein fettartiger Körper ab, wodurch die Bestimmung des Arseniks auf die angeführte Art minder genau ausfällt. In diesem Falle, oder überhaupt wenn das Destillat nicht wasserhell und rein ist, muß man in demselben durch chlorsaures Kali die arsenichte Säure in Arseniksäure verwandeln und diese als arseniksaure Ammoniak-Magnesia bestimmen.

Man hat vorgeschlagen, statt mit Chlornatrium und Schwefelsäure mit concentrirter Chlorwasserstoffsäure die organische Substanz zu übergießen Das Chlorarsenik verflüchtigt sich aber in diesem Falle später, so daß der Inhalt der Retorte sich bedeutend schwärzt, ehe alles Arsenik sich verflüchtigt hat.

Ist in der vergisteten Substanz statt arsenichter Säure Arseniksäure enthalten, so kann bei Gegenwart von organischen Substanzen durch Destillation mit Chlorwasserstoffsäure in der That viel arsenichte Säure im Destillate erhalten werden, doch nur, wenn der Inhalt der Retorte schwarz zu werden anfängt. Noch mehr arsenichte Säure verslüchtigt sich, wenn ein arseniksaures Salz, Chlornatrium, Schwefelsäure und organische Materie der Destillation unterworfen werden. Man könnte wohl die ganze Menge der Arseniksäure als Chlorarsenik verslüchtigen, wenn man von

Zeit zu Zeit die Mengen des Chlornatriums und der Schwefelsäure erneuern würde. Es bildet sich hierbei nicht schweflichte Säure, wenn Chlornatrium in gehöriger Menge vorhanden ist.

Man kann indessen mit Leichtigkeit alle Arseniksäure als arsenichte Säuren verflüchtigen, wenn man erstere vorher mit etwas schweflichter Säure reducirt. Man erhält dann dieselbe vollständig im Destillate, ehe der Inhalt der Retorte schwarz zu werden anfängt. Um zu vermeiden, das in diesem Falle das Destillat mit schweflichter Säure verunreinigt werde, kann man den Ueberschuss derselben durch eine Lösung von Eisenchlorid zerstören.

Hat man daher aus einer organischen Substanz das Arsenik zu scheiden, dasselbe mag als arsenichte Säure oder als Arseniksäure oder als beide darin enthalten sevn, so ist der Gang der Untersuchung auf folgende Weise am zweckmässigsten anzustellen: Man unterwirft die Substanz in einer tubulirten Retorte mit Kochsalz und Schweselsäure der Destillation und setzt dieselbe so lange fort, bis eine geringe Menge des Destillats mit Schwefelwasserstoffwasser keine gelbe Fällung oder Färbung erzeugt. Man bringt dann in die Retorte neue Mengen von Schwefelsäure und von Chlornatrium, so wie etwas schweflichte Säure und lässt das Ganze einige Zeit hindurch bei der gelindesten Wärme digeriren. Nachdem man darauf in die Retorte Eisenchlorid gebracht, setzt man die Destillation weiter fort und destillirt den Theil des Arseniks als Chlorarsenik über. der als Arseniksäure in der vergifteten Substanz enthalten war.

Aus den angeführten Versuchen ergiebt sich, dass wenn eine Lösung von arsenichter Säure in Königswasser, welche Arseniksäure enthält, der Destillation unterworsen wird, Chlorarsenik sich verslüchtigen kann, wenn organische Materien zugleich darin enthalten sind. Dessenungeachtet ergeben die oben erwähnten Versuche, dass diese Methode, das Arsenik abzuscheiden, welche Malaguti und

Sarzeau angegeben haben 1), der von F. C. Schneider früher angegebenen an Genauigkeit nachstehen muß.

Wird reines Schwefelarsenik mit Chlornatrium und Schwefelsäure der Destillation unterworfen, so kann zuletzt, wenn das schwefelsaure Natron sich auszuscheiden anfängt, etwas Arsenik als Chlorarsenik überdestilliren. Denn Schwefelarsenik ist nicht ganz unzersetzbar durch concentrirte Chlorwasserstoffsäure, und ich habe schon früher darauf aufmerksam gemacht, daß eine Trennung von Schwefelantimon und von Schwefelarsenik vermittelst concentrirter Chlorwasserstoffsäure wohl bei qualitativen Analysen, aber nicht bei quantitativen anzuwenden sey ²).

VII. Ueber ein basisches Zersetzungsproduct des Aldehydammoniaks; oon VV. Heintz und J. VV islicenus.

Die ursprünglich vollkommen farblosen und durchsichtigen Krystalle von Aldehydammoniak färben sich unter Entwicklung von Feuchtigkeit und starkem Ammoniakgeruch leicht gelb. Namentlich geschieht dies, wenn sie im Anfang nicht ganz trocken waren, oder durch Liegen an der Luft Feuchtigkeit anzogen. Die Einwirkung des Lichtes beschleunigt diese Zersetzung um ein Bedeutendes, ja ist vielleicht eine der nöthigen Bedingungen dazu, scheint aber für sich allein die Umwandlung nicht hervorbringen zu können, da mehrere Proben vollständig trockner, in Glasröhren eingeschmolzener Krystalle von Aldehydammoniak sogar bei längerer Dauer der Lichteinwirkung selbst des directen Sonnenlichtes ganz ungefärbt blieben. Noch energischer als das Licht wirkt die Wärme zersetzend auf das Aldehydammoniak ein

¹⁾ Journ. f. pract. Chem. Bd. 60, S. 107.

²⁾ Ausführl. Handb. d. analyt Chem. Bd. 11, S. 425. Poggendorff's Annal. Bd. CV.

denn sie vermag die Umwandlung schon für sich allein zu veranlassen uud durchzuführen. Es bleibt dabei zuletzt eine gelbbraune, unkrystallisirbare, schmierige Masse von widrigem Geruch, wie von verbrannten Thierstoffen, und intensiv bitterem Geschmack zurück, welche getrocknet ein harzartiges Anschen gewinnt, sich etwas in Wasser, sehr leicht in Alkohol, aber kaum in Aether löst und zum größten Theile aus einem neuen basischen Körper besteht. In den gewöhnlichen Mineralsäuren löst sie sich, indem dabei die Farbe dunkler wird, und starker Alkohol schlägt dann, namentlich leicht aus der schwefelsauren Lösung, salzartige Verbindungen flockig nieder, welche vom Wasser sehr leicht aufgenommen werden, und aus denen sich die Basis durch Kali, Natron und Ammoniak wieder abscheiden lässt, während sich die Säuren durch die ihnen charakteristischen Reagentien nachweisen lassen.

Im November vorigen Jahres veröffentlichte Professor v. Babo 1) in einer Arbeit über das Aldehydammoniak eine vorläufige Mittheilung der bisherigen Resultate der Untersuchung des nämlichen, damals von uns bereits seit einigen Monaten bearbeiteten basischen Körpers. Er stellte darin für ihn, nach der Analyse der Platinchloridverbindung allein, eine Formel auf, hatte es indessen augenscheinlich noch nicht mit reiner Substanz zu thun, da die von ihm gefundenen Werthe meist noch etwas fern von den berechneten abliegen. Wir hatten zu jener Zeit ebenfalls bereits einige Elementaranalysen ausgeführt, indessen stimmten die Ergebnisse derselben noch weniger zu der von v. Babo angenommenen Formel, schienen vielmehr auf eine andere, allerdings ziemlich ähnliche, hinzudeuten. Wir hatten damals aber gleichfalls noch nicht reine Substanz, trotz mehrfacher Zeit und Material verzehrender Reinigungsoperationen. Durch öftere Wiederholung des später anzugebenden Verfahrens erhielten wir endlich die chemisch reine Basis. was uns freilich nur die Analysen ergeben konnten, da je-

¹⁾ Journ. f. prakt. Chem. Bd. 72, S. 96 und 100.

des andere Kriterium, wie Krystallisation und Farblosigkeit, hier fehlt.

Unsere Darstellungsmethode der neuen Basis, welche im Wesentlichen schon in einer gleichfalls im Monat November v. J. veröffentlichten vorläufigen Mittheilung 1) von einem von uns beschrieben wurde, weicht etwas von der v. Babo's ab und vermeidet die Gefahr von Verlusten durch Explosion vollständig. Während nämlich v. Babo die Zersetzung des Aldehydammoniaks in zugeschmolzenen, im Oelbade auf 120° erhitzten Glasröhren vornimmt, in denen sich zwei Schichten bilden, deren obere nachher durch Destillation entfernt wird, wobei selbst in geräumigen Retorten oft Explosionen entstehen, bedienten wir uns zur sichern und hinreichend schnellen Zersetzung des Aldehydammoniaks eines großen Kolbens, dessen Oeffnung durch einen durchbohrten Kork verschlossen war, der ein langes weites, aufrecht stehendes Condensationsrohr trug. Der Kolben, auf dessen Boden sich die Krystalle befanden, wurde der Hitze des Wasserbades ausgesetzt, die zur Zersetzung vollständig genügend ist, während das Condensationsrohr kühl gehalten wurde. Sohald die Wasserdämpfe den Kolben erwärmen, beginnen die farblosen Krystalle sich zu bräunen, Ammoniak und Wasserdämpfe entwickeln sich und auch unzersetztes Aldehydammoniak wird verflüchtigt, aber mit dem Wasser im Rohre condensirt und fliesst, in diesem gelöst, in den Kolben zurück. Sobald die Entwicklung von Ammoniak stark nachgelassen hatte und sich kein Aldehydammoniak mehr krystallinisch in dem Rohre ansetzte wurde die Erhitzung unterbrochen. Das Zurückgebliebene stellte nun einen ruhig fließenden, klaren, braunen Syrup dar, welcher beim Erkalten zu einer zähen Masse von dem beschriebenen Geruche und Geschmacke erstarrte. Durch Erhitzen wieder flüssig gemacht, wurde sie in eine Porcellanschale gegossen, der Kolben mit Alkohol ausgewaschen, die braune Lösung gleichfalls in die Schale ge-

¹⁾ Journal f. d. gesammten Naturwissenschaften des naturwissenschaftlichen Vereins für Sachsen und Thüringen Bd. 10, S. 369.

bracht und diese dann wiederum der Hitze des Wasserbades ausgesetzt, wobei der schwächer gewordene unangenehme Geruch von Neuem verstärkt auftrat. Er rührt von einem von der Basis verschiedenen, flüchtigen Körper her, der nach von Babo ölige Tropfen in dem wässerigen Destillat bildet. Nach zweitägigem Erhitzen im Wasserbade, wobei die ganze Masse mehrmals trocken und dann in verdünntem Alkohol wieder gelöst wurde, war der Geruch bis auf leise Spuren verschwunden. Nach völligem Trocknen war der braune Körper harzartig, spröde und rissig geworden. Auf den Bruchflächen und mehr noch auf den Oberflächen zeigte er einen starken Glanz, und ließ sich leicht zu einem gelbbraunen Pulver zerreiben. Dieses wurde bei 110° bis 120° vollständig getrocknet, und zwei Elementaranalysen damit ausgeführt.

- 1. 0,2713 Grm. Substanz gaben 0,2187 Grm. Wasser, oder 0,0243 Grm. Wasserstoff = 8,96 Proc., und 0,6856 Grm. Kohlensäure oder 0,18698 Grm. Kohlenstoff = 68,92 Proc.
- II. Von 0,2142 Grm. Substanz wurden erhalten 0,1680 Grm. Wasser oder 0,01867 Grm. Wasserstoff = 8,72 Proc. und 0,5388 Grm. Kohlensäure, oder 0,1470 Grm. Kohlenstoff = 68,63 Proc.

Beide Analysen stimmen ziemlich gut mit einander überein, lassen aber nicht einmal auf ein einfaches Verhältniss zwischen Kohlenstoff und Wasserstoff, geschweige denn auf eine Formel schließen. Jedenfalls war die Substanz noch stark verunreinigt. Diese Analysen stehen übrigens in Widerspruch mit der Annahme v. Babo's, der noch nicht weiter gereinigte gelbe Körper enthalte eine Verbindung von der Formel N(C₄ H₃)⁴ C₄ H₃ O₂, welche er aus der chlorwasserstoffsauren Lösung der Substanz durch Platinchlorid niedergeschlagen zu haben angiebt, denn diese Formel verlangt 72,73 Proc. Kohlenstoff und 9,09 Proc. Wasserstoff und dieses Gemisch ist an Kohle ärmer, als die neue Basis, welche darin enthalten ist, und auch durch Platinchlorid gefällt wird. Auch an und für sich ist es nicht wahrscheinlich, dass aus der Lösung einer unreinen Masse, wie

dieser, mit Platinchlorid eine reine Verbindung fällen soll. Indessen unternehmen wir es nicht, der Annahme v. Babo's entschieden zu widersprechen, da wir seinen Versuch nicht wiederholt haben. Seine Angabe erscheint uns nur als höchst zweiselhaft.

Die Löslichkeit der Basis in Alkohol, ihre Schwerlöslichkeit in Wasser, und das umgekehrte Verhalten des schwefelsauren Salzes boten uns folgenden Weg zur Reinigung der rohen Masse. Sie wurde in starkem Alkohol gelöst und darauf so lange mit Alkohol sehr verdünnte Schwefelsäure hinzugesetzt, als noch ein Niederschlag entstand. Derselbe war im Anfang gelbbraun und flockig, ballte sich aber schnell zusammen und wurde dabei schwarzbraun und weich. Durch ein Filter wurde er von der darüberstehenden bräunlichen Flüssigkeit getrennt und mit absolutem Alkohol ausgewaschen, bis dieser farblos durchging. Vom Ammoniaksalz kann indessen die Basis so nicht befreit werden. Diess geschieht am leichtesten so, dass sie selbst aus der wässerigen Lösung des schwefelsauren Salzes, durch caustisches Kali abgeschieden wird. Sie fällt als ein brauner, fast körniger Niederschlag, der nach dem Abtropfen der Flüssigkeit auf dem Filter fest erscheint, beim Schütteln oder Drücken aber wieder breiartig zerläuft und noch viel Flüssigkeit durch das Filter gehen lässt. Mit destillirtem Wasser wird der größte Theil des schwefelsauren und freien Kalis ausgewaschen. Um beide gänzlich zu entfernen, wird das Ganze in Alkohol gelöst und ein Strom von Kohlensäure so lange eingeleitet, bis alles Kali in kohlensaures Salz übergegangen Wird die Lösung darauf zur völligen Trockne verdampst, zerrieben und in einem trocknen, verschlossenen Glasgefäß mit absolutem Alkohol behandelt, so löst dieser nur die nicht mit Kohlensäure sich verbindende Basis und lässt das schwefelsaure und kohlensaure Kali zurück. alkoholische, braune Flüssigkeit wurde darauf verdampft, der Rückstand bei 120° getrocknet und abermals analysirt.

I. 0,1611 Grm. Substanz gaben 0,1357 Grm. Wasser, oder 0,01508 Grm. Wasserstoff = 9,36 Proc. und 0,4132 Grm. Kohlensäure oder 0,1127 Grm. Kohlenstoff = 69,95 Proc.

 0,2110 Grm. Substanz lieferten 0,1814 Grm. Wasser oder 0,02016 Grm. Wasserstoff = 9,55 Proc. und 0,5460 Grm. Kohlensäure oder 0,1489 Grm. Kohlenstoff = 70,57 Proc.

III. 0,1357 Grm. gaben beim Verbrennen mit Natronkalk und nach dem Glühen des Platinsalmiaks 0,1289 Grm. Platin oder 0,01831 Grm. Stickstoff = 13,49 Proc.

Auch diese Zahlen sind noch nicht in einer Formel zu vereinigen. Sehr auffallend ist die große Stickstoffmenge, welche freilich nicht noch einmal bestimmt worden ist, um die durch Reinigungsversuche stark abgenommene Substanz zu sparen, und da ohnehin diese Analysen als die eines unreinen Materials keinen anderen Werth haben konnten. Doch liefs uns gerade die große Stickstoffmenge, und ebenso die gefundene Quantität Wasserstoff vermuthen, wir hätten es mit einem Ammoniumoxyd zu thun, von welchem drei Aequivalente Wasserstoff durch das Radical C. H. vertreten seyen. Wir mussten den ganzen Reinigungsprocess wiederholen, und machten darin nur die Abänderung, dass das schwefelsaure Salz jedesmal vor seiner Zersetzung durch Kali mehrmals in wenig Wasser gelöst und durch viel starken Alkohol wieder gefällt wurde. Nach dreimaliger Behandlung schritten wir zu neuen Elementaranalysen, welche auch wirklich mit Entschiedenheit eine Formel, und zwar die von v. Babo aufgestellte, ergaben. Sind auch die Analysen wegen Mangels an Material nicht häufig wiederholt worden, so stimmen doch die gesundenen Werthe mit den berechneten so gut überein, und ebenso auch die bei den Analysen der Verbindungen der neuen Basis gewonnenen, dass die Formel als vollständig sichergestellt zu betrachten ist.

Das Trocknen der Substanz wurde, um jede Veränderung durch die Wärme zu vermeiden, im luftleeren Raume vorgenommen. Sie verbrannte leicht vollständig und ohne Rücklassung von Asche. Folgendes sind die Ergebnisse der Elementaranalysen:

I. Es lieferten 0,1111 Grm. Substanz 0,2820 Grm. Kohlensäure oder 0,07691 Grm. Kohlenstoff = 69,21 Proc. und

0,0933 Grm. Wasser oder 0,01037 Grm. Wasserstoff = 9,33 Proc.

ll. 0,2203 Grm. Substanz gaben 0,5573 Grm. Kohlensäure oder 0,1520 Grm. Kohlenstoff = 60,00 Proc. und 0,1860 Grm. Wasser oder 0,02067 Grm. Wasserstoff = 9,38 Proc.

Der Stickstoff liess sich nicht nach der Methode von Varrentrapp und Will bestimmen, denn die Kohle konnte, bei mehreren Versuchen, mit dem Natronkalk nie vollständig zum Verbrennen gebracht werden. So fiel das gefundene Stickstoffquantum stets etwas zu gering aus. Es wurde nach dem Volum ermittelt, nach dem von einem von uns angegebenen ') Verfahren. Nach der ersten Verbrennung zersprang das Verbrennungsrohr beim Abkühlen an der Stelle, wo das chlorsaure Kali gelegen hatte. Die in der Röhre zurückbleibende Quantität Stickstoff ging daher verloren. Indessen war der Verlust zu verschmerzen, da er nur sehr unbedeutend ist, und bei allen übrigen Methoden, den Stickstoff dem Volumen nach zu bestimmen, gar nicht in Betracht gezogen werden kann, sondern ganz übersehen wird. Um die Gefahr des Zerbrechens an jener Stelle zu vermeiden, wandten wir statt des chlorsauren Kalis, welches schmilzt und sich als Chlorkalium an die Wände des Rohres fest anlegt, zur Verbrennung aller Kohle Quecksilberoxyd an, welches seinen Sauerstoff langsamer entwickelt, und außerdem alle besondere Gefahr des Zerspringens der Röhre aufhebt.

Die Messung des Stickstoffs geschah in einem Bunsen'schen Eudiometerrohre, welches über dem Quecksilber eine 150 bis 200mm hohe Schicht Kalilösung enthielt, zur Absorption der den Stickstoff aus der Verbrennungsröhre austreibenden und selbst mit übergehenden Kohlensäure. Man muß sich indessen davor hüten, diese Kalilösung zu concentrirt anzuwenden; die Berechnung des wirklichen Gasvolums wird sonst ganz unmöglich, indem dasselbe zwar durch die Spannung von Wasserdämpfen vermehrt wird,

¹⁾ Pogg. Annal. Bd. LXXXV, S. 263.*

aber nicht in demselben Grade, wie wenn das Gas mit reinem Wasser in Berührung wäre. Bei Anwendung einer Kalilösung von 1,4 spec. Gew. z. B., fällt stets das Gasvolum, unter Voraussetzung der Trockenheit berechnet, zu groß, als feucht angenommen, immer viel zu klein aus. Wir haben durch mehrfache Versuche eine Kalilösung von 1,18 bis 1,20 spec. Gew. als die am besten geeignete gefunden. Sie ist concentrirt genug, um alle Kohlensäure schnell zu absorbiren, und doch auch hinreichend verdünnt, um genug Wasserdampf zur völligen Sättigung des Stickstoffs an diesen abzugeben.

Die beiden, unter Anwendung dieser Vorsichtsmaßregeln ausgeführten Stickstoffbestimmungen ergaben:

111. 0,3203 Grm. Substanz lieferten nach dem Verbrennen im Eudiometerrohr 41,61°cm bei 752,8°m Barometerhöhe, einer Temperatur von 17,2°, 234,2°m innerem Quecksilberstand und 98,5°m hoher Säule der Kalilösung von 1,187 spec. Gew. Das wahre Volum des Stickstofs bei 0° und 760°m Barometerstand beträgt daher 25,51°cm oder 0,0319 Grm. = 9,96 Proc.

IV. 0,2070 Grm. Substanz gaben folgende Zahlen: 28,35°ccm Stickstoff, Barometerhöhe = 763,3, Temperatur = 20,2°, innerer Quecksilberstand = 257,6°mm, Kalilauge von 1,193 spec. Gew. = 133,3°mm. Danach ist das wahre Stickstoffvolum 16,54°ccm, wozu noch im Verbrennungsrohr zurückgebliebene, durch die Correction ermittelte 0,39°ccm treten, so das das Gesammtvolum beträgt 16,93°ccm oder 0,0212 Grm. = 10,24 Proc.

Die gefundenen Zahlen stimmen genau zu der Formel C₁₆ H₁₃ NO₂, wie aus folgendem Vergleich ersichtlich ist:

| | Berechnet | Gefunden | | | Mittel | |
|--------------------|------------|----------|-------|------|--------|--------|
| | | I. | II. | 111. | IV. | |
| $\mathbf{C}_{1.6}$ | 96 = 69,07 | 69,21 | 69,00 | _ | _ | 69,11 |
| H, 3 | 13 = 9.35 | 9,33 | 9,38 | | | 9,36 |
| Ŋ | 14 = 10,07 | | | 9,96 | 10,24 | 10,10 |
| Ο, | 16 = 11,51 | | _ | | | 11,43 |
| | 139 100,00 | | | | | 100,00 |

Die zu den Analysen benutzte Basis war also rein. Sie bildet, durch Verdampfung der alkoholischen Lösung gewonnen, eine harzartige, völlig unkrystallinische, rissige und spröde Masse, welche sich zu einem gelbbraunen Pulver zerreiben lässt. Ihre Farbe ist im durchfallenden Lichte rothbraun, im auffallenden dunkelbraun mit schwach violettem Stich, wenn sie ganz trocken ist. Die Obersläche und auch die Bruchtlächen besitzen einen starken Glanz, so dass die Masse, namentlich da sie in dünnen Lagen eingedampft sehr regelmässig radial zerspringt und sich von den Schalenwandungen ablöst, bei oberslächlicher Betrachtung leicht für krystallinisch gehalten werden kann. Geschmack ist intensiv bitter, bei völliger Geruchlosigkeit. In Wasser ist die Basis etwas Weniges löslich und zwar in kaltem mehr als in warmem, da eine kalt gesättigte und filtrirte Lösung sich beim Kochen etwas trübt, beim Erkalten aber wieder klar wird. Sie giebt beim Schütteln einen leichten Schaum wie dünnes Seifenwasser und reagirt schwach, aber doch sehr deutlich alkalisch. Vom Alkohol wird der Körper außerordentlich leicht gelöst, Aether nimmt nichts davon auf, schlägt im Gegentheile die Basis aus absolutem Alkohol als ein gelbbraunes Pulver vollständig nieder. Ohne an der Luft zu zersließen, hält sie doch die letzten Theile hygroskopischen Wassers sehr hartnäckig fest, doch darf sie beim Trocknen nicht zu stark erhitzt werden, indem sie sich bei 180° nach vorangegangenem Schmelzen unter Schwärzung und Entwickelung flüchtiger, empyreumatischer Stoffe zersetzt, und sich schon bei 140 bis 160° in der Weise verändert, dass sie, ohne eine andere Form oder Farbe anzunehmen, in Alkohol unlöslich wird. Auch wenn sie lange Zeit mit Kalilauge übergossen stehen bleibt, verliert sie die Fühigkeit sich in Alkohol und Wasser zu lösen, wird aber von Säuren dann noch aufgenommen. Beim Verbrennen der durch Kali modificirten, sorgfältig ausgewaschenen Substanz auf dem Platinbleche bleibt eine weiße schmelzende Asche zurück, welche aus kohlensources Kall bestellt, willread die reine Basis spurlos to

C. Rabin hat dem neuen Körper den Namen Tetrorwisunnaumous will wire beigning. Wir theilen seine Au-Source wanted or als ein Ammoniumsevelhydrat betred tet wird, dessen vier Wasserstuffaequivalente im Ammonim jedes durch dis Radical C. II. vertreten sind, vollkommen müssen aber für das Radical C. W., statt des alten Namen Acetyl einen ueuen warschingen, denn die Benennung Attul kommt jetat dem sauerstoffhaltigen Radicale C, 8,0, der Essignaum un. Auch den Namen Aldehyden missen wir, nach dem jetzigen Stande unserer Kenntnisse über de Alkahole und die diesen entsprechenden Säuren abweisen da die Durstellbarkeit aus dem Abdehyd noch nicht Grund genug ist, das Radical darnach zu benennen. Wir sprechen es vielmehr für das eines Alkohols an. Die früher für die feiten Säuren angenommenen, jetzt aber ausgebenen Radicale von der allgemeinen Formel C2.H2.-1 bben als die zweier Alkaholreihen wieder Existenz gewornen, nämlich in den dreisäurigen Glycerinen und den Allylalkoholen. Wir kennen zwar aus jeder Reihe nur eine Verbindung, sind aber zu der sicheren Annahme berechtigt, dats auch die homologen Glieder zum Glycerin und zum Allylalkohol baki werden dargestellt werden, ganz auf ähnliche Weise, wie diels mit den beiden schon bekannten typischen Formen aus dem Propylen bereits geschehen ist. Aus dem Aethylen oder Elayl würden sich also ein Elaylglycerin von der Formel C. H. O. m ein der Allyl-

-le diefs von

It, mach dem

ir seyn

reihe angehöriger Alkohol von der Form winnen lassen. Wir nennen ihn eben Wurtz bereits bei den Glycolen ge Kohlenwasserstoff Elayl, aus dem er wie der gewöhnliche Allylalkohol lich Elallylalkohol, sein Radical alauch geschehen könnte Aethallyl mit der alten Benennung des Cetyls (Aethalyl) verwechselt werden könnte, und uns der Name Elayl ebenso geläufig ist als Aetherin, Aethylen oder Aethen. Dieses Radical Elallyl nun ist in unserer neuen Ammoniumoxydbasis jedem der vier Wasserstoffaequivalente substituirt, so daßs sie Tetrelallylammoniumoxydhydrat zu benennen ist. Vorläufig beruht dieser Name allerdings noch auf einer unbewiesenen Annahme. Nach den synthetischen Arbeiten von Berthelot, Wurtz, Cahours und Hofmann aber hat sie sichere Aussicht auf Bestätigung.

Die Entstehung der neuen Basis aus dem Aldehydammoniak ist durch nachstehende Gleichung auszudrücken:

$$4 (C_4 H_4 O_2 + NH_3) \text{ oder } N_4 C_{16} H_{28} O_8 = 3NH_3 + 6HO + NC_{16} H_{18} O_2$$

oder $N(C_4H_3)^4O+HO$.

Wir haben die folgenden Verbindungen der Basis dargestellt und größtentheils auch analysirt.

Tetrelallylammoniumchloridhydrat. Es fällt als brauner, flockiger Niederschlag, wenn zu der in absolutem Alkohol gelösten Substanz Chlorwasserstoffsäure in absolutem Alkohol gesetzt wird, doch darf letztere hierbei nicht im Ueberschusse angewendet werden, da der Niederschlag sich sonst wieder löst. Ebenso bildet er sich nicht, wenn der Alkohol eine gewisse Portion Wasser enthält. Auf dem Filtrum kann der Niederschlag gesammelt, mit absolutem Alkohol ausgewaschen, nachher in Wasser gelöst und durch Verdampfen desselben die Verbindung in der zum Aufbewahren netsten erhalten werden. Wir bekamen

Lösen der Basis in überschüssisie a reit Ch toffsäure und Verdampfen der ermaliges Ver-Wasser 1 ist. Völlig saure hlory ne unkrystal-Lichte mehr uue. asse von star-Flüssigkeit an noch nicht. Mit

Schwefelsäure übergossen entwickelt sie reichlich Chlorwasserstoffsäure. Sie reagirt völlig neutral. Ihr Chlorgehalt läßt sich durch Niederschlagen mit Silberlösung bestimmen, doch scheidet sich das Chlorsilber nur auf Zusatz von viel Salpetersäure nach Erhitzen bis beinahe zum Sieden und langem Stehen vollständig ab. Wir unternahmen zwei Chlorbestimmungen und eine Verbrennungsanalyse, welche im Sauerstoffstrom mit einer Mischung von Bleioxyd und Kupferoxyd und vorgelegten Kupferspähnen ausgeführt wurde.

Folgendes sind die Ergebnisse der drei Analysen:

- I. 0,2519 Grm. Substanz, zwischen 120° und 140° getrocknet, gaben 0,2189 Grm. Chlorsilber, entsprechend 0,05412 Grm. Chlor oder 21,48 Proc.
- II. 0,4841 Grm. gaben 0,4156 Grm. Chlorsilber oder 0,10275 Grm. Chlor = 21,23 Proc.
- III. 0,1352 Grm. lieferten nach der Verbrennung 0,2860 Grm. Kohlensäure oder 0,0708 Grm. Kohlenstoff = 57,69 Proc. und 0,0942 Grm. Wasser oder 0,0105 Grm. Wasserstoff = 7,77 Proc.

Die Zahlen entsprechen der Formel $\mathbb{N}(C_{\Lambda}\mathbb{H}_{*})^{4}\mathbb{C}\mathbb{I} + \mathbb{H}\mathbb{O}.$

Berechnet. Gcfunden.

C₁₆=96 = 57,66 - - 57,69

H₁₃=13 = 7,81 - - 7,77

N = 14 = 8,41 - - -

Cl =
$$35,5 = 21,32$$
 21,48 21,23 -

O = 8 = 4,80 - - -

 $166,5$ 100,00.

Tetrelallylammoniumplatinchlorid entsteht als unkrystallinischer flockiger Niederschlag von gelbbrauner Farbe, wenn eine wässerige Lösung der vorigen Verbindung oder eine Lösung der Basis in überschüssiger Salzsäure mit Platinchlorid versetzt wird. Es ist selbst in Wasser ganz unlöslich, schmilzt beim Erhitzen, bläht sich dann auf und verbrennt leicht unter Zurücklassung eines außerordentlich lockeren, doch ziemlich fest zusammenhängenden Platinschwammes, der sich vorzüglich zum Entzünden des Wasserstoffgases eignet.

Die bei 150° getrocknete Verbindung ergab:

I. In 0,3678 Grm. nach dem Verbrennen 0,1124 Grm. Platin = 30,56 Proc.

II. In 0,1680 Grm. Substanz 0,0515 Grm. Platin = 30,65 Proc.

III. In 0,2963 Grm. Substanz 0,0909 Grm. Platin = 30,68 Proc.

Diese Zahlen bestätigen die Formel

$$N(C_4H_3)^4$$
 Cl + Pt Cl₂,

welche 30,14 Proc. Platin verlangt.

Bei nur 110° bis 120° getrocknet hält der Niederschlag noch ein Aequivalent Wasser zurück, denn die Analyse ergab in 0,2922 Grm. Substanz 0,0850 Grm. Platin oder 29,09 Proc.

Die Formel fordert 29,33 Proc. Dieses Tetrelallylammoniumplatinchloridhydrat war die Form, unter welcher v. Babo die Basis analysirte. Er fand darin aber nur 28,9 und 28,5 Proc. Platin. Seine Substanz war daher nicht ganz rein.

Wird die Lösung des Chlorids der Basis mit Goldchlorid versetzt, so fällt ein der Platinverbindung ähnlicher, flockiger, unkrystallinischer Niederschlag. Bei längerem Kochen verschwindet er und macht einem braunen Pulver Platz, welches aus reducirtem krystallinischem Golde besteht. Die Krystalle sind unter dem Mikroskope als Octaeder erkennbar, lassen das Licht grün hindurch, reflectiren es goldig, und sind so groß, daß der Niederschlag, in der Flüssigkeit aufgerührt, sie durchaus goldig flimmern macht. Ein Goldspiegel scheint sich bei der Reduction nie zu bilden.

Auch das Silber wird, aber ebenfalls ohne Spiegel, sondern als schwarzbraunes amorphes Pulver, aus seinen Lösungen beim Kochen durch die Basis und ihre Salze reducirt.

Quecksilberchlorid bildet in der Tetrelallylammonium-

chloridlösung ebenfalls einen unkrystallinischen, dunkelbraunen, flockigen Niederschlag. In kochendem Wasser löst er sich ein klein wenig, scheidet sich aber beim Erkalten der heiß filtrirten Flüssigkeit wieder aus.

Schwefelsaures Teirelallylammoniumoxyd.

- Neutrales. Es fällt, wenn eine alkoholische Lösung der Basis mit einer zur vollständigen Fällung derselben unzureichenden Menge durch Alkohol verdünnter Schwefelsäure versetzt wird, als brauner, flockiger Niederschlag. War der Alkohol nicht sehr stark, so backt er zu einer schwarzbraunen, zähen Masse zusammen, oder setzt sich, bei Gegenwart von noch mehr Wasser, auch wohl als schwarzbraune Flüssigkeit ab. Auf dem Filter mit absolutem Alkohol ausgewaschen, wurde das Salz zur vollständigen Befreiung von überschüssiger Basis noch einige Male in wenig Wasser gelöst und mit absolutem Alkohol niedergeschlagen, bis dieser vollständig farblos darüber stand. Aus der wässerigen Lösung durch Abdampfen gewonnen, hat es das Aussehen der Chlorverbindung, reagirt auch, wie diese, schwach sauer, zersliesst aber nicht an der Lust und lässt sich leicht zu einem röthlich chokoladenfarbigen Pulver zerreiben. Es zeigt, in dünnen Lagen eingetrocknet, dieselben radialen Sprünge, wie die Basis selbst und besitzt einen noch größeren Glanz. Chlorbarium schlägt aus der wässerigen Lösung alle Schwefelsäure nieder, der Niederschlag ist aber so fein vertheilt, dass er trotz aller Vorsicht leicht Wir bestimmten in diesem Salze durch das Filter gebt. einmal die Schwefelsäure und einmal den Kohlenstoff und Wasserstoff durch ebenso wie bei der Chlorverbindung eingerichtete Verbrennung.
- I. 0,6123 Grm. Substanz gaben 0,4164 Grm. schwefelsauren Baryt oder 0,1431 Grm. Schwefelsäure = 23,37 Proc.
- II. 0,1664 Grm. lieferten nach dem Verbrennen 0,3450 Kohlensäure oder 0,0941 Grm. Kohlenstoff = 56,56 Proc. und 0,1102 Grm. Wasser oder 0,01224 Grm. Wasserstoff = 7,35 Proc.

Die Zusammensetzung des Salzes muß daher, wie durch folgenden Vergleich veranschaulicht wird, durch die Formel $\mathbb{N}(\mathbb{C}_4\,\mathbb{H}_8)^{\bullet}$ O + SO $^{\circ}$ ausgedrückt werden.

| Berechnet, | Gefunden. | | |
|-----------------------|------------|-------|--|
| | I. | II. | |
| $C_{16} = 96 = 56,47$ | | 56,56 | |
| H_1 , = 12 = 7,06 | _ | 7,35 | |
| N = 14 = -8,24 | | | |
| 0 = 8 = 4,70 | _ | | |
| $SO_s = 40 = 23,53$ | 23,37 | _ | |
| 170 100,00. | - - | | |

Beim Trocknen einer Portion dieses Salzes im Luftbade war die Temperatur zufällig auf 200° gestiegen. Die Substanz war ohne Formveränderung schwarz geworden, ohne indessen zu riechen oder an den Wänden des Platintiegels flüchtige Producte erkennen zu lassen. Der größere Theil löste sich noch im Wasser mit derselben rothbraunen Farbe wie früher; eine schwarze, kohleartige Masse blieb zurück. Beim Verdampfen der Lösung schieden sich Krystalle ab, denen des schwefelsauren Ammoniaks durchaus ähnlich. Das Ganze wurde mit verdünnter Kalilauge versetzt, wobei sich ein Niederschlag bildete, der wahrscheinlich unveränderte Basis war, indem sie mit Schwefelsäure ein Salz von ganz denselben Eigenschaften wie das ursprüngliche gab. Die von der Basis abfiltrirte Lösung roch, namentlich beim Erhitzen, nach Ammoniak, welches in Chlorwasserstoffsäure aufgefangen und durch seine Platinchloridverbindung bestimmt erkannt wurde.

Wird bei der Darstellung des schwefelsauren Salzes die Säure im Ueberschuss hinzugesetzt, so fällt

- 2. eine saure Verbindung. Sie verhält sich wie das neutrale Salz, hat aber eine fuchsbraune Farbe, ohne violetten Stich, reagirt stark sauer und zieht langsam Feuchtigkeit aus der Luft an. Es wurden davon zwei Schwefelsäurebestimmungen gemacht.
 - I. 0,5514 Grm. Substanz, bei 110° bis 120° getrock-

net, gaben 0,4943 Grm. schwefelsauren Baryt oder 0,1698 Grm. Schwefelsäure = 30,79 Proc.

II. 0,6211 Grm. gaben 0,5522 Grm. schwefelsauren Baryt oder 0,1897 Grm. Schwefelsäure = 30,45 Proc.

Die Formel 2(N(C₄ H₃)⁴ O) + HO + 3SO₃ verlangt 30,85 Proc. Schwefelsäure.

Oxalsaures Tetrelallylammoniumoxyd.

Wird eine Lösung von Oxalsäure in absolutem Alkohol zu einer eben solchen der Basis gesetzt, jedoch mit der Vorsicht, daß letztere überschüssig ist, so fällt das neutrale oxalsaure Salz als flockig brauner Niederschlag. Ebenso gereinigt wie das neutrale schwefelsaure Salz, besitzt es ganz die physikalischen Eigenschaften desselben. Durch Kalk kann die Oxalsäure leicht abgeschieden werden. Wir haben indessen diese Methode zu Ermittelung der Zusammensetzung nicht angewendet, sondern aus Mangel an Substanz nur eine Verbrennungsanalyse gemacht.

Bei 110° getrocknet gaben 0,1182 Grm. Substanz 0,2826 Grm. Kohlensäure oder 0,07707 Grm. Kohlenstoff = 65,20 Proc. und 0,0784 Grm. Wasser oder 0,00871 Grm. Wasserstoff = 7.37 Proc.

Diese Werthe entsprechen der Formel $2(N(C_A, H_a)^* O) + C^* O^*$.

Berechnet. Gefunden.
$$C_{36} = 216 = 65,06$$
 $65,20$ $H_{24} = 24 = 7,23$ $7,37$ $N_{2} = 28 = 8,43$ $O_{8} = 64 = 19,28$ $331 = 100,000$.

Wird Oxalsäure im Ueberschusse mit der Basis zusammengebracht, so entsteht in alkoholischen Lösungen kein Niederschlag, da sich ein saures Salz bildet. Um es rein, unvermengt mit freier Oxalsäure zu erhalten, mischt man die Lösungen von Basis und Säure zunächst so, daß das neutrale Salz gefällt wird und fügt dann noch etwas freie Oxalsäure hinzu. Es löst sich mehr und mehr von dem

Niederschlag auf; man muß mit dem Zusetzen von Säure indessen aufhören, ehe noch nach längerem Stehen und häufigem Umrühren der Niederschlag ganz verschwunden ist. So kann man durch Filtration beide Verbindungen zu gleicher Zeit gewinnen. Getrocknet ist das saure Salz eine unkrystallinische, schwarzbraune, sauer reagirende, glänzende Masse, welche stark hygroskopisch ist. Zur Analyse stand uns keine genügende Menge zu Gebote.

Auch die Weinsteinsäure giebt ein in Alkohol nicht, wohl aber in Wasser lösliches, dunkelbraunes, glänzendes und wenig hygroskopisches, neutrales Salz, wenn bei seiner Darstellung die Basis im Ueberschusse angewendet wird. Die gerbsaure Verbindung ist selbst im Wasser unlöslich und von rothbrauner Farbe.

Bei der Zersetzung eines Theiles des Aldehydammoniaks durch Wärme stieg einmal die Temperatur so hoch, dass die Entwicklung brenzlicher Producte begonnen hatte. Der größte Theil der schon gebildeten Basis war allerdings unzersetzt, indessen opferten wir ihn für eine Untersuchung der Producte der trockenen Destillation. Diese wurde aus einem gläsernen Kolben im Sandbade, mit mehreren vorgelegten Condensationsslaschen langsam eingeleitet. Die slüssigen Producte verdichteten sich in den beiden ersten Vorlagen als ölige oder theerige Masse und wenig Wasser, außerdem aber gingen ammoniakalische Gase über, welche in Salzsäure in einem dritten Gefäse aufgefangen wurden. In dem Kolben blieb eine glänzend schwarze Kohle zurück.

Zuerst nahmen wir die in der dritten Vorlage befindliche Salzsäure in Arbeit, der wir das wässerige Destillat beifügten. Nach dem Verdampfen war der schwach brenzliche Geruch fast ganz geschwunden und eine krystallinische weißliche Masse zurückgeblieben. Durch öfteres Umkrystallisiren und Entfärben mit Thierkohle erhielten wir sie vollständig weiß. Ein kleiner Theil wurde mit Kalilauge übergossen und erhitzt; er entwickelte Ammoniak, in welchem übrigens der empyreumatische Geruch von Neuem stärker wahrzunehmen war. Der größte Theil des Salzes

wurde darauf mit Platinehlorid und Alkohol versetzt; ein gelber, krystallinischer Niederschlag, dem Platinsalmiak völlig ähnlich, fiel zu Boden. Bei 100° getrocknet ergaben 0,3901 Grm. Substanz nach dem Glühen 0,1716 Grm. Platin = 44,0 Proc. Es war damit erwiesen, dass das farblose Salz gewöhnlicher Salmiak ohne bestimmbare Mengen anderer Basen gewesen, denn Ammoniumplatinchlorid enthält 44,2 Proc. Platin.

Das braune ölige Destillat hatte einen sehr brenzlichen Geruch und entschieden basische Reaction, und löste sich zum gröfsten Theile in Salzsäure. Kali und Ammoniak brachten in dieser Lösung zuerst eine gelbliche, milchige Trübung hervor, die aber bei einigem Stehen, unter Absatz brauner, im Wasser nicht löslicher öliger Tropfen, sich wieder klärte. Die ganze Menge des Destillates wurde nun mit Salzsäure behandelt, das Gelöste von dem theerigen Rückstand abfiltrirt und im Wasserbade verdampft, wobei es noch viel dunkler wurde. Zur völligen Trockne konnte es nicht gebracht werden. löste sich aber nun nicht mehr vollständig in Wasser, ja selbst nicht in Salzsäure. Aus der ganzen Masse wurden die Basen durch Kali niedergeschlagen, mehrmals durch Schütteln mit Wasser ausgewaschen und endlich damit destillirt. Es ging zunächst mit den Wasserdämpfen ein auf dem Wasser schwimmendes und später ein schwereres, untersinkendes Oel über; beide waren gelblich, das leichtere jedoch heller gefärbt als das schwerere. Mit beiden wurden dieselben Versuche zur Reinigung und Darstellung einer analysirbaren Verbindung gemacht, beide verhielten sich dabei fast gleich und keine führte zu dem gewünschten Resultate. Schon beim Stehen dunkelten sie allmählich, sehr schnell aber beim Lösen in Säuren und Verdampfen, ganz gleichgültig, hei welcher Temperatur dieses vorgenommen wurde. Es trat hier der schon vorher beobachtete Fall wieder ein; die nicht ganz zur Trockne verdampfbare Masse löste sich nicht mehr ganz in Wasser oder Salzsäure auf, sondern liefs ein schwarzbraunes, amorphes, auch in Alkohol unlösliches Pulver zurück.

schlugen aus der wässerigen Lösung die Basen von Neuem durch Kali nieder, in der Hoffnung, sie nun rein zu erhalten. Die über dem öligen Bodensatz stehende Flüssigkeit roch schwach ammoniakalisch. Nach abermaligem Lösen in Salzsäure, dem ein sorgfältiges Auswaschen vorangegangen war, und Verdunsten der Lösung zeigte sich dieselbe. nun schon öfters beobachtete Erscheinung. Zugleich hatte sich in der schmierigen Masse reichlich ein helleres Pulver abgeschieden, welches unter dem Mikroskope sich farblos und krystallinisch zeigte. Es wurde durch Abpressen in Fliesspapier von dem in dasselbe eindringenden Syrup getrennt, letzterer durch Salzsäure unter Rücklassung des schwarzen Pulvers auf und in dem Papier, wieder ausgezogen und von Neuem verdunstet, mit ganz demselben Er-Die einzelnen Ausbeuten an Krystallen wurden gesammelt und durch Umkrystallisiren und Entfärben mit Thierkohle möglichst gereinigt. Sie waren dann auch fast weiß geworden und schwärzten sich etwas, auf dem Platinbleche erhitzt, vor der vollständigen Verslüchtigung. hielten sie daher für die Chlorverbindung einer eigenthümlichen ammoniakalischen organischen Basis und führten sie Behufs der Analyse in die Platinchloridverbindung über. Sie fiel aus wässeriger Lösung langsam, viel schneller bei Zusatz von Alkohol krystallinisch nieder und war von hellgelber Farbe, dem gewöhnlichen Platinsalmiak ganz ähnlich. Bei 110" getrocknet, wurde eine gewogene Menge, 0,2295 Grm, in ein Platinschiffchen gebracht und im Verbrennungsapparate im Sauerstoffstrome analysirt. Sie ergab 0,0040 Grm. Kohlensäure oder 0,0011 Grm. Kohlenstoff = 0,48 Proc., ferner 0.0383 Grm. Wasser oder 0.00425 Grm. Wasserstoff = 1.85 Proc. und 0.1024 Grm. Platin = 44.61 Proc. Wir hatten es also mit gewönlichem, nicht ganz reinem Platinsalmiak zu thun, denn dieser enthält 1.79 Proc. Wasserstoff und 44.22 Der geringe Kohlenstoffgehalt rührte jedenfalls nur von unwesentlichen, bei den geringen uns zu Gebote stehenden Quantitäten nicht ganz entfernbaren Verunreinigungen her. Hier wurde die Untersuchung aufgegeben. Das Material war nach und nach unter Bildung von Ammoniak und schwarzbraunem Pulver fast verschwunden. Die einzige Methode, zur Kenntnifs der Natur und Zusammensetzung der Substanzen zu gelangen, bleibt wohl die, mit großen Massen arbeitend die einzelnen öligen Basen, deren mindestens zwei vorhanden zu seyn scheinen, durch fractionirte Destillation bei möglichstem Luftabschluß zu trennen und farblos zu gewinnen, sie dann in Salzsäure zu lösen und nun augenblicklich mit Platinchlorid, mit dem sie unlösliche flockige Verbindungen geben, zu fällen, schnell zu trocknen und zu analysiren.

Von Jacob Natanson ist vor einigen Jahren 1) eine Arbeit über ein organisches Ammoniumoxyd veröffentlicht worden, zu welcher unsere Untersuchung in die innigste Beziehung tritt. Er stellt seine Basis durch Erhitzen von Elaylchlorür mit Ammoniak auf 150° im Oelbade als gelbe zähe Masse von der Zusammensetzung N C4 H3 O+HO dar.

In ihren Eigenschaften bieten die Natanson'sche und unsere Basis viele Aehnlichkeiten. Beide sind unkrystallinisch und gefärbt. Ihre neutralen Salze sind, mit Ausnahme der äufserst hygroskopischen Chlorverbindungen, durch starken Alkohol fällbar, unlöslich in Aether und reagiren schwach sauer; beide reduciren Gold und Silber aus ihren Lösun-Freilich ist die Natauson'sche Basis als solche viel kräftiger als die unserige, welche nur schwach alkalisch reagirt, nicht das Ammoniak aus dessen Verbindungen austreibt, sondern im Gegentheil durch Ammoniak selbst abgeschieden wird, und sich nicht mit Kohlensäure verbindet. Natanson benennt seine Substanz » Acetylammoniumoxyd «, indem er das Radical C. H. noch als das der Essigsäure Seine für diese Ansicht angeführten Beweise haben nach unserer Meinung keine zwingende Kraft, auch nicht der, dass aus dem Chlorid seiner Basis durch salpetrigsaures Silberoxyd Aldehyd erzeugt wird. es hier mit der Synthese des complicirteren Radicales 1) Ann. d. Chemie u. Pharm. Bd. 92, S. 48.

C. H. O. aus dem einfacheren C. H. zu thun, die ja gegenwärtig nach Berthelot's und Anderer Arbeiten dieser Richtung nichts Wunderbares mehr haben kann. Im Gegentheile spricht die Bildung des "Acetylammoniumoxydes aus dem Elaylchlorür entschieden für unsere Ansicht und für die Nothwendigkeit der Umänderung seines Namens in Elallylammoniumoxyd.

Zwischen diesen beiden jetzt bekannten, durch Substitution des Wasserstoffes durch das Radical C. H., entstandenen Ammoniumoxydbasen müssen noch zwei liegen, die bis jetzt noch nicht gefunden sind: das Di- und Trielallylammoniumoxvd. Wie aus dem nichtslüchtigen Elallylammoniumoxyd durch Destillation nach Natanson 1) das Elallylamin entsteht, so wird höchst wahrscheinlich in den Producten der trockenen Destillation unseres Tetrelallylammoniumoxydhydrates mindestens das Trielallylamin, wenn nicht auch sogar noch das Dielallylamin enthalten seyn, aus denen sich dann wieder durch Verbindung mit Wasser das Di- und Trielallylammoniumoxydhydrat gewinnen lassen müsten. Wir zweiseln nicht, dass diess bei Wiederholung unserer Versuche mit der durch unsere Erfahrungen gebotenen Vorsicht gelingen wird.

¹⁾ Ann d. Chemie u. Pharm. Bd. 98, S. 291.

VII. Einige Bemerkungen über die chemische Constitution der Amphibole und Augite, besonders in Bezug auf Rammelsberg's neueste Analysen hiehergehöriger Species; von Th. Scheerer.

(Aus d. Bericht der K. Sächs, Gesell, vom Hru. Verf. übersandt).

In seinem reichhaltigen System of Mineralogy bat Dana, nach dem Vorgange Hermann's u. A., die chemischen Formeln einiger Mineralien dadurch wesentlich vereinfacht und zum Theil auch in bessere Uebereinstimmung mit den betreffenden Krystallformen gebracht, dass er in gewissen Fällen Kisomorph mit 3R setzt. Einen Beleg für den guten Er-

A isomorph mit 3R setzt. Einen Beleg für den guten Erfolg dieser Annahme giebt uns unter anderen der Spodumen, dessen augitische Form mit seiner chemischen Constitution

$$\hat{R}^{a}\hat{S}^{a} + 4\hat{A}\hat{I}\hat{S}i^{a}$$

in Harmonie gebracht wird, sobald man Al isomorph mit 3 R, also Al Si² isomorph mit R³ Si² setzt, wodurch dann jene Formel zu dem gewöhnlichen Augit-Schema

R Si

zusammenschrumpft. Gewiss kann man einer solchen Auffassung nur beistimmen, und ich habe daher bereits vor einiger Zeit diesen neuen Fall des polymeren Isomorphismus willkommen geheisen ').

Rammels berg hat das Verdienst, in seiner Arbeit "Ueber die krystallographischen und chemischen Beziehungen von Augit und Hornblende, sowie von verwandten Mineralien "2") durch wiederholte Analysen des Akmit, Aegi-

- v. Liebig, Poggendorff und VVöhlers Handwörterbuch, 2. Auflage des 1. Bandes, Artikel Akmit. Nebst dem Artikel Agatmatolith in einer besonderen, kleinen Brochüre erschienen.
- Pogg Ann. Bd. 103, S. 273; sowie in dem Monatsberichten der Königl. Akademie der VVissenschaften zu Berlin, Gesammtsitzung am 14. Febr. 1858.

rin, Babingtonit und Arfvedsonit bewiesen zu haben, dass auch in diesen Mineralien 1 At. Fe die Rolle von 3 At. R spielt. Ausserdem aber hat derselbe zu zeigen gesucht, dass dieser, nach meiner Ansicht, in einigen Mineralspecies zur Geltung kommende, besondere Fall des Isomorphismus in der Amphibol- und Augit-Gruppe eine durchgreifende Rolle spiele, ja dass dadurch beide Gruppen chemischerseits identisch würden, indem sich alsdann für sämmtliche Amphibole und Augite die Augitformel annehmen ließe.

Unläugbar wäre diess eine Thatsache von weitreichenden Folgen. Um dieselbe zu beweisen, war Rammelsberg jedoch genöthigt, die obige Regel wesentlich zu mo-Nachdem er sich nämlich überzeugt hatte, dass, wenn bei den Amphibolen und Augiten sowohl Al als Fe isomorph mit 3 R gesetzt wird, man zu durchaus keinen annehmbaren Resultaten gelangt, wurde er zur Annahme geführt: nur Fe trete in diesen Mineralien isomorph mit 3R auf, dagegen Al isomorph mit Si. Diese Annahme involvirt zwei große Unwahrscheinlichkeiten. Erstens: die gewaltsame Trennung zweier notorisch isomorpher, in den vielfachsten Beziehungen chemisch ähnlicher und so zu sagen stets Hand in Hand gehender Körper, Eisenoxyd und Thonerde, von denen hier der erstere zu den elektropositiven, der andere zu den elektronegativen Stoffen gestellt wird. tens: die Annahme der Isomorphie zweier Körper, Kieselsäure und Thonerde, welche notorisch, im gewöhnlichen Sinne, nicht isomorph sind, was sich nicht allein aus ihren morphologischen Verhältnissen als Quarz und Corund, sondern auch aus ihrem vereinten Auftreten als Cyanit, Andalusit u. s. w. zur Genüge ergiebt. A priori ist also sicherlich kein Grund aufzufinden, welcher die Hypothese von dem gegensätzlichen Auftreten der Thonerde und des Eisenoxyds, und von dem gleichartigen Auftreten der Kieselsäure und Thonerde plausibel machen könnte. Sehen wir nun zu, was, nach Rammelsberg's Meinung, a posteriori für dieselbe sprechen soll.

In der gedachten Arbeit theilt uns Rammelsberg seine analytischen Resultate von 22 verschiedenen Amphibolen mit, nämlich von 4 Tremoliten, 2 Strahlsteinen und 16 gewöhnlichen (thonerdehaltigen und eisenoxydhaltigen) Hornblenden. Indem er die Sauerstoff-Verhältnisse derselben, mit Zugrundelegung der obigen Hypothese, berechnete, ergaben sich die Proportionen

$$(R+Fe): (Si+AI) \\ = 1:2,06-2,18-2,06-1,97-2,02-2,17-2,09-2,00-2,15-2,62-2,02-2,03-2,06-1,85-2,00-1,70-1,75-2,20-1,93-2,11-2,16-1,99.$$

Diese Proportionen hält Rammelsberg für hinreichend übereinstimmend mit dem, der Augitformel Ra Si2 entsprechenden Sauerstoff-Verhältnisse 1:2, um daraus Identität zu folgern. Somit ertheilt er sämmtlichen Amphibolen die Augitformel, und gelangt nun rückwärts zu dem Schlusse: dass Eisenoxyd und Thonerde wirklich die oben gedachten paradoxen Rollen spielen.

Bei solcher Beweisführung kommt natürlich zunächst alles darauf an, inwieweit sich jene 22 Sauerstoff-Proportionen als identisch mit der Proportion 1:2 betrachten lassen. Diesen wesentlichen Umstand wollen wir in dem Folgenden näher untersuchen.

Es entsprechen

| die Formeln | de | en | Sa | uei | stoff-Proportionen |
|--|-----|----|-----|-----|--------------------|
| | | | | | Ř : Ši |
| 1) $3R^{\circ}Si^{\circ} + R^{\circ}Si$ | | | • | | 1:1,75 |
| 2) $\hat{\mathbf{R}}^3 \hat{\mathbf{S}}\hat{\mathbf{i}}^2$ (Augit) | | | | | 1:2,00 |
| 3) Ř ³ Ši + Ř Ši (Ar | nph | ib | ol) | | 1:2,25 |
| 4) $\dot{R}^3 \ddot{S}i^2 + 3 \ddot{R} \ddot{S}i$ | | | | | 1:2,50 |

Wir wollen uns nun darüber zu einigen suchen, bis su welchem Grade die durch die Analyse gefundenen Sauerstoff-Verhältnisse von einer und der anderen dieser 4 Proportionen abweichen dürfen, um doch noch als identisch mit

einer derselben gelten zu können. Vorschlagsweise mögen folgende Gränzwerthe aufgestellt werden.

Nehmen wir z. B. die Formel 2 (die des Augit), so wird durch die dazu gehörigen Gränzwerthe verlangt, eine Augit-Analyse müsse eine Sauerstoff-Proportion R: Si geben, welche zwischen 1:1,95 und 1:2,05 liegt. Die Berechnung zeigt, dass diese Gränzwerthe folgende Schwankungen in den procentalen Mengen der Kieselsäure, vice versa der Basen, gestatten:

| 1) hai ainam Ausit a d Farmal | Kieselsäure
in Procenten | Gestattete
Differenz |
|--|-----------------------------|-------------------------|
| Mg ³ Si ² + Ca ³ Si ² | 55,55 bis 56,80 | 1,25 Proc. |
| 2) bei einem Augit (Tremolit) 3 Mg ³ Si ² + Ca ³ Si ² | 57,70 bis 59,00 | 1,30 Proc. |

Noch größer werden die gestatteten Differenzen dadurch, daß wir den Analysen einen, zwischen allen Bestandtheilen annähernd gleich vertheilten, Gesammt-Verlust oder ein sunmarisches Schwanken von 1 Proc. erlauben wollen, wodurch die Differenzen respective bis auf 1,80 und 1,88 Proc. steigen können, das Sauerstoff-Verhältniß R: Si aber immer noch der Formel R³ Si³ entspricht. Gewiß ist es nicht zu viel verlangt, daß Analysen, aus denen man mit Sicherheit die Augitformel ableiten will, eine procentale Menge der Kieselsäure geben müssen, welche bis zu etwa 0,9 Proc. unter oder über der berechneten Kieselsäurenenge liegen, also um etwa 1,8 Proc. schwanken kann. Bei der Aufstellung der obigen Gränzwerthe (A) dürften wir daher nicht zu rigorös zù Werke gegangen seyn; wenigstens nicht bei Analysen, welche eine möglichst scharfe Bestimmung der

Kieselsäure (und Thonerde) zu einem ihrer Hauptzwecke hatten, um als gewichtiges Kriterium zur Entscheidung über eine Hypothese zu dienen, die einzig und allein hierdurch einige Nahrung gewinnen könnte.

Vergleicht man nun die Gränzwerthe A mit den Raunmelsberg'schen Analysen, so findet man, dass von diesen 22 Analysen in Betreff ihrer Sauerstoff-Proportionen, fallen

| innerhalb des Bereichs der Formel (1) | 2 A | nalysen |
|---------------------------------------|-----|---------|
| zwischen Formel (1) und (2) | 2 | |
| innerhalb des Bereichs der Formel (2) | 7 | |
| zwischen Formel (2) und (3) | 9 | |
| innerhalb des Bereichs der Formel (3) | 1 | - No. |
| zwischen Formel (3) und (4) | 0 | |
| innerhalb des Bereichs der Formel (4) | 11) | |
| · · | | |

22 Analysen

Von 22 Analysen sind es also nur 7, deren Sauerstoff-Proportionen, bei Zugrundelegung der Rammelsberg'schen Hypothese, die Aufstellung der Augitformel (2) zulassen. Betrachten wir diese 7 Analysen in dem Folgenden etwas näher. Sie beziehen sich auf:

- 1) Tremolit von der Insel Maneetsok in Grönland; mit körnigem Kalk verwachsen. Erlitt beim Glühen einen Gewichtsverlust von 3,33 Proc., über dessen chemische Beschaffenheit (Wasser? Kohlensäure?) wir nichts erfahren, und welcher daher auch bei Berechnung der Sauerstoff-Proportion gänzlich außer Acht gelassen wurde. Addirt man hierzu den Verlust, welchen die Analyse außerdem gegeben hat, 0,57 Proc., so erhält man die Summe der unberücksichtigt gebliebenen Procente = 3,90.
- 2) Grüner durchsichtiger, krystallisirter Strahlstein vom Greiner im Zillerthal, in Talk eingewachsen. Ein Glühverlust von 1,29 Proc. wurde unberücksichtigt gelassen.
- 1) Die Sauerstoff-Proportion ist 1:2,62, fällt also noch etwas über die Gränze von 1:2,45 bis 2,55 hinaus.

Verlust bei der Analyse = 0,94 Proc. Summe der unberücksichtigt gebliebenen Procente = 2,23.

- 3) Pargasit von Pargas. Ueberücksichtigter Glühverlust = 1,10 Proc. Verlust bei der Analyse = 2,70 Proc. '), Summe der unberücksicht gebliebenen Procente = 3,80.
- 4) Hornblende von Bogoslawsk am Ural. Unberücksichtigter Glühverlust = 0,39 Proc. Ein ebenfalls unberücksichtigt gebliebener Titansäuregehalt = 1,01 Proc. Verlust bei der Analyse = 1,73 Proc. Summe der unberücksichtigt gebliebenen Procente = 3,13.
- 5) Hornblende von Pargas. Unberücksichtigter Glühverlust = 0,52 Proc. Verlust bei der Aualyse = 1,00 Proc ³). Summe der unberücksichtigt gebliebenen Proc. = 1,52.
- 6) Hornblende von Brevig. Unberücksichtigter Glühverlust = 0,48. Desgleichen Titansäuregehalt = 1,01 Proc. Verlust bei der Analyse = 1,37. Summe der unberücksichtigt gebliebenen Procente = 2,86.
- 7) Hornblende vom Stenzelberg im Siebengebirge. Unberücksichtigter Glühverlust = 0,48 Proc. Desgleichen Titansäuregehalt = 0,19 Proc. Verlust = 0,33 Proc. Summe der unberücksichtigten Procente = 1,00.

Analysen, wie die von 1, 2, 3, 4 und 6, bei welchen 2,23 bis 3,90 Proc. der Bestandtheile nicht berücksichtigt wurden, eignen sich unmöglich zur Schlichtung einer Streitfrage, die nur durch die schärfsten analytischen Resultate als überhaupt befugt erscheinen kann. Somit bleiben bloß die beiden Analysen 5 und 7 übrig. Bei ersterer wurden 1,52, bei letzterer 1,00 Proc. der Bestandtheile unberücksichtigt gelassen. Dieß mag allenfalls angehen, obwohl 1,52 Proc. schon die Gränze überschreitet, die man hier mit Recht innehalten sollte.

Nachdem nun obige 7 Analysen auf zwei reducirt worden sind, wollen wir versuchen, denselben einigen Zuwachs zuzuführen. Einige andere jener 22 Analysen, von denen wir bei unserer Prüfung ausgingen, fallen mit ihren Sauer-

¹⁾ Unter gehöriger Berücksichtigung des Fluors.

²⁾ Desgleichen.

stoff-Proportionen so nahe außerhalb der von uns gezogenen Gräuzen, daß es wie eine lieblose Willkür aussehen könnte, wenn wir durchaus streng auf die Erfüllung dieses Maaßes bestehen wollten. Durch besondere Umstände kann es vorkommen, daß, bei einer sonst genauen Analyse, sich das Gewicht eines Fehlers vorzugsweise an eine Art der Bestandtheile, an die elektropositiven oder elektronegativen, hängt, wodurch das Gesammt-Sauerstoff-Verhältniß leicht zu einer verhältnißsmäßig größeren Abweichung gebracht wird. Um auch diesem speciellen Falle Rechnung zu tragen, wollen wir jene Gränzen bis zum doppelten Abstande erweitern, also von 1,95 — 2,05 bis auf 1,90 — 2,10 bringen. Dadurch erhalten wir vor der Hand folgenden Zuwachs 1).

- Hornblende von Edenville. (Sauerstoff-Proportion = 1:2,09). Unberücksichtigter Glühverlust = 0,46. Verlust = 1,88. Summe der unberücksichtigten Procente = 2,34.
- Hornblende von Arendal. (Sauerstoff-Proportion = 1:2,06). Unberücksichtigter Glühverlust = 0,37. Verlust = 0,56. Summe der unberücksichtigten Procente = 0.93.
- 10) Hornblende von Härtlingen. (Sauerstoff-Proportion = 1:1,93.) Ueberschuss bei der Analyse = 1,28 Proc. Unberücksichtigter Titansäuregehalt = 1,01 Proc.

Die Analyse 8 dürfte für unsere Waage wohl zu leicht, die Analyse 10 aber zu schwer befunden werden. Mithin läst sich nur allenfalls die Analyse 9 als ein Zuwachs der, der Rammelsberg'schen Hypothese nicht ungünstigen Thatsachen betrachten.

Setzen wir die vier Analysen der, so eben in der An-

1) Die Analysen der Tremolite vom St. Gotthardt und von Gouverneur, welche Sauerstoffwerthe von 2,03 bis 2,09 und von 2,06 ergaben, können hier nicht in Betracht kommen, da diese Amplibole weder Eisenoxyd noch Thonerde enthalten, also zur Schlichtung unserer Streitfrage nichts beizutragen vermögen. Auch bei den oben erwähnten Analysen (1 und 2) des Tremolit v. Maneetsok und des Strahlsteins v. Greiner tritt dieser Umstand noch hinzu.

merkung namhaft gemachten, weder thonerde- noch eisenoxydhaltigen Amphibole außer Betracht, so ergiebt sich als Endresultat unserer Prüfung:

Von achtzehn (18) Analysen verschiedener Amphibole, unter denen 2 thonerdehaltige und 16 thonerde- und eisenoxydhaltige, entsprechen höchstens drei (3) Analysen den Anforderungen der Rammelsberg'schen Hypothese.

Unsere starken Zweifel, die wir schon a priori in die Richtigkeit der Rammelsberg'schen Ansichten setzen mußten, finden wir folglich a posteriori in so entschiedener Weise gerechtfertigt, dass uns die Hypothese unhaltbar erscheint.

Doch suchen wir zu retten, was zu retten ist. Unter den Trümmern einer Hypothese findet man mitunter werthvolle Bruchstücke, die bei anderen System-Gebäuden mit Nutzen als Bausteine verwendet werden können. Wir haben so eben gesehen (s. d. vorhergehende Anmerkung), dass die, mit den äußeren Charakteren eines Amphibols auftretenden Tremolite vom St. Gotthardt und Gouverneur, welche weder Eisenoxyd noch Thonerde enthalten, annähernd zur Augitformel führen, indem beide die Sauerstoff-Proportion 1:2,06 geben. Wahrscheinlich haben wir in diesen Mineralien einen Zuwachs unserer Erfahrung erhalten: dass die, chemische, Augitsubstanz, außer in ihrer gewöhnlichen Form, auch in Amphibolform aufzutreten vermag. selbst habe diese, jetzt wohl nicht mehr zu bezweifelnde Thatsache früher mehrfach zu befürworten und mit Beispielen zu belegen gesucht '). Allein es würde vielleicht zu vorschnell seyn, wenn wir uns zu dem Schlusse hinreisen ließen: alle Tremolite seyen, ihrer Mischung nach, Augite, ihrer Form nach, Amphibole. Von Rammelsberg's Analysen vier verschiedener Tremolite stimmen nur die oben augeführten zwei hiermit überein, während sich eine andere entschieden der Amphibolformel nähert. Vor

Der Paramorphismus u. s. w. S. 38 u. f. Pogg. Ann. Bd. 69, S. 12 bis 14 und Bd. 91, S. 383 bis 385.

mehreren Jahren analysirte mein dermaliger Assistent Rob. Richter einen nadelförmigen Tremolit vom St. Gotthardt '), dessen Zusammensetzung genau der Amphibolformel entsprach. Rammelsberg's Bemerkung, dass bei älteren Analysen wohl leicht zu viel Kieselsäure gefunden seyn könnte, weil die abgeschiedene Kieselsäure nicht mit Flussäure auf ihre Reinheit geprüft wurde, kann sich nicht auf die Richter'sche Analyse beziehen, denn dieselbe wurde, wie in der betreffenden Abhandlung angeführt, unter Beobachtung sowohl dieser als anderer unerlässlicher Regeln zur scharfen Bestimmung der Kieselsäure und der Basen vorgenommen, welche ich bereits vor 6 Jahren ausführlich beschrieben 2) und seit mehr als 12 Jahren bei allen meinen Silicat-Analysen in Anwendung gebracht habe.

Nach dieser kleinen Abschweifung kommen wir wieder auf unseren Hauptgegenstand zurück: auf die chemische Constitution der Amphibole.

Rammelsberg hat sich von zwei, bei der chemischen Constitution der Amphibole in Betracht kommenden Umständen überzeugt, in welchen wir mit ihm vollkommen übereinstimmen, nämlich: 1) dass es zu keinen annehmbaren Resultaten führt, wenn man Thonerde und Eisenoxyd als basische Bestandtheile annehmen wollte, und 2) dass es ebenso wenig thunlich ist, Thonerde und Eisenoxyd in der Weise als elektronegative Stoffe zu betrachten, dass 1 Atom Si durch 1 Atom Äl und Fe vertreten werden könne. Nach eingesehener Unzulässigkeit dieser Annahmen wurde Rammelsberg zur Aufstellung seiner Hypothese von den gegensätzlichen Rollen der Thonerde und des Eisenoxyds gebracht.

Nach völliger Abschneidung dieser Défiléen, welche zu dem räthselhaften chemischen Innern der Amphibole führen sollten, und bei der unabläugbaren Gewissheit, dass doch auch die Amphibole eine bestimmte chemische Constitution

¹⁾ Pogg. Ann. Bd 84, S 353.

²⁾ Pogg. Ann. Bd. 84, S, 324 bis 340.

haben müssen, bleibt uns nichts anderes übrig, als uns dem polymeren Isomorphismus in die Arme zu werfen. Um die Anwendbarkeit der Gesetze desselben auf bestimmte Mineralien zu zeigen, müssen die Analysen dieser Mineralien gewissen Anforderungen entsprechen. Die hier in Rede stehenden Amphibol-Analysen thun diess größtentheils nicht, theils wegen der schon oben erwähnten beträchtlichen Verlüste, theils wegen der nicht genauen Wassergehalts-Bestimmungen. Betreff der letzteren theilt uns Rammelsberg, auf S. 440 seines Aufsatzes, mit: "Der Glühverlust ist der, den das grobe Pulver in mässiger Rothglühhitze erleidet, wobei es äußerlich sich nicht verändert. Er beträgt ; bis I Procent, und besteht wohl nur aus hygroskopischer Feuchtigkeit. Dass in starker Hitze ein abermaliger stärkerer Verlust von 1 bis 2,3 Procent durch Entweichen von Fluorkiesel und etwas Wasser eintritt, hat schon Bonsdorff gefunden. « Bei einem solchen Verfahren ist natürlich für eine genaue Bestimmung des chemisch gebundenen Wassers ganz und gar nichts gethan; um so weniger als nicht einmal auf die, in Folge stärkeren und längeren Erhitzens stets mehr oder weniger eintretende Oxydation des Eisenoxyduls zu Eisenoxud Rücksicht genommen zu seyn scheint, wodurch der Glühverlust entsprechend kleiner ausfällt als er wirklich ist. Auf solche Weise kann man leicht ein Paar Procent Wasser übersehen. Enthält ein wasserhaltiges Silicat zugleich Fluor, so wird dadurch die genaue Bestimmung seines Wassergehaltes allerdings erschwert, aber keineswegs unmöglich. Glücklicherweise enthalten jedoch nur wenige Amphibole beträchtliche Mengen von Fluor; die meisten so gut wie gar keins. In Betreff der von mir angewendeten Methoden zur scharfen Bestimmung des chemisch gebundenen Wassers in Silicaten, muss ich auf meine Analysen der Talke und verwandten Mineralien, der Epidote, Vesuviane, des Prosopit u. s. w. verweisen.

Unter solchen Umständen sind nur wenige der gedachten 18 Amphibol-Analysen unmittelbar geeignet, einer genauen Prüfung hinsichtlich der Anwendbarkeit der Gesetze

des polymeren Isomorphismus auf dieselben unterworfen zu werden. Doch möge folgende Uebersicht derselben hier einen Platz finden, bei welcher diefs, so gut es sich thun liefs, wenigstens versucht wurde. Die in Columne I angegebenen Sauerstoff-Proportionen wurden nach den Principien des polymeren Isomorphismus berechnet, 3Al und 3Fe = 2Si, und 3H = 1R. Ferner wurde hierbei die in einigen Hornblenden von Rammelsberg gefundene Titansäure (bis zu etwas über I Procent betragend) dadurch in Rechnung gebracht, dass der Sauerstoffgehalt derselben dem der Kieselsäure zugelegt wurde. Durch Analysen einiger im Freiberger Gneus auftretenden - Glimmer, welche bis gegen 3 Proc. Titansäure enthalten, habe ich mich überzeugt, dass die Titansäure in derartigen Silicaten als eine elektronegative, die Kieselsäure vertretende Substanz zu betrachten sevn dürfte. Endlich sind in Columne II die Gesammtverlüste angeführt, welche die Rammelsberg'schen Analysen gegeben haben.

| • | , 00 | I. | 11. |
|-----|------------------------------|-------------|----------------|
| | | Sauerstoff- | Verlust oder |
| | | Proportion. | Ueberschuss |
| | Strablsteine. | (R):[Si] | in Procenten |
| 1. | St. v. Greiner im Zillerthal | 1 : 1,97 | 0,94 |
| 2. | St. v. Arendal | 1:2,06 | + 0,86 |
| | Hornblenden. | | |
| 1. | H. v. Edenville | 1:2,18 | -1,88 |
| 2. | Pargasit | 1:1,87 | -2,70 |
| 3. | H. v. Monroe | 1:1,99 | +0.34 |
| 4. | Carinthin | 1:2,59 | -0.87 |
| 5. | H. v. Ural | 1:2,30 | — 1,73 |
| 6. | H. v. Pargas | 1:2,18 | — 1,0 0 |
| 7. | H. von Arendal | 1:2,42 | 0,56 |
| 8. | H. v. Filipstad | 1:1,92 | 2,33 |
| 9. | H. v. Brevig | 1:2,40 | — 1,37 |
| 10. | H. v. Fredriksvärn, a | 1:2,22 | -1,41 |
| 11. | H. v. Fredriksvärn, b | 1:2,34 | 1,30 |
| 12. | H. v. Vesuv | 1:2,33 | — 1,22 |
| 13. | H. v. Härtlingen | 1 : 2,37 | +1,28 |
| 14. | H. v. Cernosin | 1:2,35 | +1,20 |
| 15. | H. v. Honnef | 1:2,39 | -1,66 |
| 16. | H. v. Stenzelberg | 1:2.50 | -0.33 |

Die Betrachtung der Columne II zeigt uns zunächst, dass von den 16 Hornblend-Analysen nicht weniger als 11 einen Verlust von 1 bis 2.70 Proc. ergeben haben. Da sich bei Analysen wie die Rammelsberg'schen nicht annehmen lässt, dass diese ungewöhnlich großen Verlüste von zufälligen und verschiedenartigen Fehlern herrühren, so werden wir darauf hingewiesen: die gemeinschaftliche Ursache derselben in der analytischen Methode zu suchen. aber Rammelsberg alle Bestandtheile der Hornblenden als da sind: Kieselsäure, Thonerde, Eisenoxyd, Eisenoxydul, Manganoxydul, Kalkerde, Magnesia, Kali, Natron, Titansäure und Fluor - nach den besten Methoden und gewiss mit seiner bewährten Genauigkeit bestimmt, nur allein, wie wir uns vorhin überzeugten, mit Ausnahme des Wassers '). Möge uns daher die einstweilige Annahme gestattet sevn, dass wenigstens derjenige Theil dieser Verlüste, welcher über 0,75 Proc. beträgt, in Wasser bestehe. Wird auch dieses Wasser als basisches in Rechnung gebracht, so verändern sich dadurch die Sauerstoff-Proportionen unserer Hornblenden wie folgt. Zugleich sind dabei die Gesammtwassergehalte angegeben, wie man sie erhält. wenn man die von Rammelsberg gefundenen Wassermengen zu den von uns angenommenen addirt.

| | Sauerstoff-
Proportion | Gesammt-
VVasser-
gehalt. | gehalt |
|---------------------------------|---------------------------|---------------------------------|-----------|
| Strablsteine. | R : [Si] | Proc. | melsberg. |
| 1. St. v. Greiner im Zillerthal | 1:1,95 | 1,48 | 1,29 |
| 2. St. v. Arendal | 1:2,06 | 2,20 | 2,20 |

Doch dürsten vielleicht auch Rammelsberg's Bestimmungen des Eisenoxyduls (und Eisenoxyds) einer kleinen Correction bedürsen. Man sehe hierüber meine Abhandlung: Bemerkungen über die chemische Constitution der Epidote und Idokrase, in den Berichten der Gesellschaft d. VVissenschaften zu Leipzig, Sitzung am 7. August 1858, und daraus in Erdmann's Journal f. prakt. Chem. Bd. 75, Heft 2.

39

| | | Gesammt- | Wasser- |
|---------------------------|-------------|----------|-----------|
| | Sanerstoff- | Wasser- | gehalt |
| | Proportion | gehalt. | nach Ram- |
| Hornblenden. | R : [Si] | Proc. | melsberg. |
| 1. H. v. Edenville | 1:2,13 | 1,59 | 0,46 |
| 2. Pargasit | 1:1,80 | 3,05 | 1,10 |
| 3. H. v. Monroe | 1:1,99 | 0,59 | 0,59 |
| 4. Carinthin | 1:2,57 | 0,41 | 0,29 |
| 5. H. v. Ural | 1:2,25 | 1,37 | 0,39 |
| 6. H. v. Pargas | 1:2,16 | 0,77 | 0,52 |
| 7. H. v. Arendal | 1:2,42 | 0,56 | 0,56 |
| 8. H. v. Filipstad | 1:1,85 | 2,38 | 0,80 |
| 9. H. v. Brevig | 1:2,36 | 1,10 | 0,48 |
| 10. H. v. Fredriksvärn, a | 1:2,19 | 1,26 | 0,60 |
| 11. H. v. Fredriksvärn, b | 1:2,31 | 1,09 | 0,54 |
| 12. H. v. Vesuv | 1:2,30 | 0,84 | 0,37 |
| 13. H. v. Härtlingen | 1:2,37 | 0 | 0 |
| 14. H. v. Cernosin | 1:2,32 | 0,71 | 0,26 |
| 15. H v. Honnef | 1:2,31 | 1,70 | 0,79 |
| 16. H. v. Stenzelberg | 1:2,50 | 0,48 | 0,48 |
| | | . ' | |

Versuchen wir jetzt, unsere Strahlsteine und Hornblenden, nach der Beschaffenheit ihrer Sauerstoff-Proportionen, in Klassen zu bringen.

Erste Klasse. Sauerstoff-Prop. 1: 1,75.
Gränzwerthe 1,65 bis 1,85.
Pargasit 1: 1,80
H. v. Filipstad . . . 1: 1,85

Zweite Klasse. Sauerstoff-Prop. 1: 2,00 Gränzwerthe 1,90 bis 2,10.

St. v. Greiner . . . 1 : 1,95 H. v. Monroe . . . 1 : 1,99 St. v. Arendal . . . 1 : 2,06 (H. v. Edenville . . 1 : 2,13)

Dritte Klasse. Sauerstoff-Prop. 1:2,25. Gränzwerthe 2,15 bis 2,35.

H. v. Pargas . . . 1:2,16 H. v. Fredriksvärn, a 1:2,19

| H. v. | Ural . | | | | l : 2,25 |
|--------|-----------|------|----|---|----------------|
| H. v. | Vesu▼ | | | | 1:2,30 |
| H. v. | Fredriks | zärr | ١, | b | 1:2,31 |
| H. v. | Honnef | | | | l : 2,31 |
| H. v. | Cernosin | | | | 1:2,32 |
| (H. v. | Brevig | | | | 1:2,36) |
| (H. v. | Härtlinge | en | • | | l: 2,37) |
| | | | | | rop. 1 : 2,50. |
| | änzwerthe | | | | • |
| H. v. | Arendal | • | • | • | l : 2,42 |

Von der H. v. Edenville bleibt es ungewiss, ob sie zur 2. oder 3. Klasse gehöre, und von den H. v. Brevig und v. Härtlingen 1), ob sie zur 3. oder 4. Klasse gehören. Die Sauerstoff-Proportionen unserer vier Klassen entsprechen folgenden Formeln:

1:2,57

H. v. Stenzelberg . .

Carinthin

Erste Klasse =
$$3(\dot{R})^3 [\ddot{S}i]^2 + (\dot{R})^3 [\ddot{S}i]$$

Zweite Klasse = $(\dot{R})^3 [\ddot{S}i]^2$ (Augit-Formel)
Dritte Klasse = $(\dot{R})^2 [\ddot{S}i]^2 + (\dot{R}) [\ddot{S}i]$ (Amphibol-F.)
Vierte Klasse = $(\dot{R})^3 [\ddot{S}i]^2 + 3(\dot{R}) [\ddot{S}i]$
Es sind diefs dieselben A Formely, welche bereits si

Es sind diess dieselben 4 Formeln, welche bereits eingangs dieser Abhandlung aufgestellt wurden.

Erste Klasse. Ob der Pargasit und die H. v. Filipstad wirklich eine solche Klasse bilden, oder ob bei der Analyse dieser Mineralien sich Fehler einschlichen, wodurch die Sauerstoff-Proportionen sich beträchtlich von 1:2,00 entfernten, läst sich nicht mit völliger Sicherheit entscheiden. Für die zweite Annahme spricht der bedeutende Fluor-

1) Mit dieser Hornblende scheint es eine eigene Bewandtniss au haben. Der damit vorkommende und — wie Sandberger beschrieben hat — auf eigenthümliche Art verwachsene Augit, den Rammelsberg ebenfalls analysirte, giebt fast genau dieselbe Sauerstoff-Proportion, nämlich (R): [Si] = 1:2,34. Doch hat die Hornblend-Analyse 1,28 Proc. Ueberschuss gegeben, so dass eine vollkommen scharfe Beurtheilung dieser Verhältnisse vor der Hand nicht möglich ist.

gehalt des Pargasits (2,76 Proc.), welcher die genaue Analyse dieses Minerals jedenfalls sehr erschweren mußte, sowie der von Rammelsberg nicht näher bestimmte Fluorgehalt der H. v. Filipstad.

Zweite Klasse. Die Strahlsteine v. Greiner und v. Arendal, sowie die H. v. Monroe sind abermalige Beiträge zu unserer oben gedachten Erfahrung: dass die Augitsubstanz dimorph ist, indem sie sowohl in Augit-Form als in Amphibol-Form aufzutreten vermag. Namentlich in Betreff der Strahlsteine ist diess früher schon, sowohl von Rammelsberg als von mir ') ausgesprochen worden.

Dritte Klasse. Diese umfasst diejenigen Hornblenden, welche, trotz aller Anfechtungen, der alten Amphibol-Formel treu geblieben sind. Die H. v. Fredriksvärn b, v. Honnef und v. Cernosin würden wahrscheinlich nicht blofs zwischen den weiteren Gränzen 2,15 bis 2,35, sondern innerbalb der engeren Gränzen 2,20 bis 2,30 mit ihren Sauerstoff-Proportionen fallen, wenn die Wassergehalte dieser Mineralien von uns nicht immer noch um ein wenig, den Bruchtheil eines Procents, zu niedrig angenommen worden Dafür spricht folgende Thatsache. Nach Rammelsberg's Bestimmung ist der Wassergehalt der Hornblende v. Fredriksvärn = 0,54 bis 0,60 Proc. Wir nahmen denselben zu 0,90 bis 0,95 Proc. an. Es ist aber diese Hornblende früher in meinem Laboratorium von Hrn. Capitain v. Kovanko²) sehr genau untersucht und der Wassergehalt im Durchschnitt mehrerer nahe übereinstimmender Versuche = 1,85 Proc. gefunden worden. Doch will ich nicht in Abrede stellen, dass in Stücken, welche nicht ganz von derselben Fundstätte und derselben Art sind, kleine

¹⁾ Pogg. Ann. Bd 84, S. 382.

²⁾ Journ. f. pr. Chem. Bd. 65, S. 341. Die hier mitgetheilte Angabe, dass diese Hornblende 10,24 Eisenoxyd und 9,02 Eisenoxydul enthält, ist vollkommen richtig. Die vor Kurzem von Breithaupt in der Bergu. hüttenm. Ztg. 1858, No. 1 gemachte Mittheilung eines anderen Verhältnisses zwischen Eisenoxyd und Eisenoxydul bezieht sich auf eine ältere, sehlerhasse Bestimmug dieser beiden Bestandtheile.

Abweichungen vorkommen können, da, wie wir aus den betreffenden Analysen Rammelsberg's und v. Kovanko's ersehen, auch die fixen Bestandtheile etwas differiren. Die Analyse v. Kovanko's giebt die Sauerstoff-Proportion (R): (Si) = 1:2,20.

Vierte Klasse. Die wirkliche Existenz dieser Art von Hornblenden, welche eine Sauerstoff-Proportion 1:2,50 besitzen, wird durch die drei mitgetheilten Beispiele höchst wahrscheinlich.

Die an genauen analytischen Resultaten so reiche Arbeit Rammelsberg's liefert uns auch werthvolle Beiträge zur näheren Kenntniss der chemischen Constitution der Augite. Von dem eigenthümlichen Augit von Härtlingen war bereits, in einer Anmerkung zur Hornblende v. Härtlingen, die Rede. Außerdem hat Rammelsberg noch Augite vom Aetna, von Schima und vom Laacher See analysirt, und dieselben folgendermaßen zusammengesetzt gefunden.

| Kieselsäure | 47,38 | 51,12 | 50,03 |
|--------------|-------|-------|-------|
| Thonerde | 5,52 | 3,38 | 3,72 |
| Eisenoxyd | 3,85 | 0,95 | 2,36 |
| Eisenoxydul | 7,89 | 5,45 | 6,65 |
| Manganoxydul | 0,10 | 2,63 | 0,15 |
| Kalkerde | 19,10 | 23,54 | 22,85 |
| Talkerde | 15,26 | 12,82 | 13,48 |
| Glühverlast | 0,43 | _ | _ |
| _ | 99,53 | 99,89 | 99,24 |

Daraus ergeben sich, nach unserer Theorie, die Sauerstoff-Verhältnisse:

$$\begin{array}{l}
27,09:13,46 = 1:2,01 \\
27,77:13,61 = 1:2,04 \\
27,58:13,38 = 1:2,06
\end{array}$$

$$= \dot{R}^{s} [\ddot{S}i]^{s}$$

woraus hervorgeht, dass die chemische Constitution dieser Augite sich ebenfalls in vollkommener Harmonie mit den Principien des polymeren Isomorphismus befindet.

Als Endresultat sämmtlicher, von uns hier angestellten Prüfungen und Betrachtungen ergiebt sich: dass die Ram-

melsberg'sche Arbeit vielfache Beiträge zur näheren Kenntnifs des polymeren Isomorphismus geliefert und diejenigen Ansichten über die Augite und Amphibole bestätigt hat, welche ich unter Anderem in meinem Paramorphismus (S. 38) entwickelt habe.

IX. Brochantit aus Nassau; con F. Sandberger

Lwischen Obernhof und Nassau an der Lahu setzen Gangtrümmer durch die schieferigen Schichten des Spiriferensandsteines, welche die Fortsetzung des berühmten Holzappeler Gangzuges bilden, dessen Erzreichthum bereits seit Jahrhunderten durch den Bergbau ausgebeutet wird. Diese Trümmer bestehen aus weißem Fettquarze, in welchem Kupferkies und Bleiglanz, theils isolirt, theils mit einander gemengt, und Eisenspath vorkommen. Am Ausgehenden finden sich dann die Producte der Zersetzung dieser Körper und der Einwirkung derselben auf das Nebengestein, von denen ich schon früher (Jahrb. des nass. Vereins für Naturkunde VII, S. 264) Malachit, Allophan in warzigen und traubigen Gestalten, so wie Aragonit beschrieben habe, welcher theils in reinen schneeweißen Rosetten und spiefsigen Krystallen, auf einem dünnen Ueberzuge von Brauneisenstein aufliegend, theils in hell spangrünen oder nahezu himmelblauen, durch kohlensaures Kupferoxyd gefärbten Rinden vorkommt.

Bekanntlich zersetzen sich kalkhaltige Eisenspathe in der Weise, das das kohlensaure Eisenoxydul in Oxydhydrat oder Brauneisenstein übergeht, den ich, weil die Zersetzung aller Eisenoxyd oder Oxydul enthaltenden Mineralkörper unter den gewöhnlichen Bedingungen der Oxydation in der Natur mit der Bildung desselben endigt, als die stabile Form des Eisens in der Natur zu bezeichnen pflege, wäh-

rend der kohlensaure Kalk sich als solcher, und etwaiger Gehalt an Manganoxydul als Wad, Psilomelan oder Pyrolusit ausscheidet, deren Gegenwart auch bei einer innigen Mengung mit dem Brauneisenstein überaus leicht durch die Löthrohrprobe und die Chlorentwickelung mit Salzsäure erkannt werden kann. Ein eclatantes Beispiel dafür bieten die steverischen und kärnthener Eisenspathlagerstätten. Aber außer dem Eisenspath ist auch Bleiglanz und Kupferkies der oben erwähnten Gangtrümmer in neue Körper umgewandelt. So erscheint fast jedes Trümchen, in welchem Kupferkies und Bleiglanz gemeinschaftlich vorkommen, von einer himmelblauen, fettglänzenden Rinde eingefasst, deren Untersuchung sie als Bleilasur, Pb S+ Cu H, ergiebt, indem der Körper auf Kohle, außer der Schwefelreaction, ein Bleikorn und einen Bleioxydbeschlag liefert, und sich in Ammoniak mit Zurücklassung eines weißen schweren Pulvers zu einer lasurblauen Flüssigkeit auflöst. Auf dieser Substanz, oder auf dünnen Ueberzügen von Brauneisenstein oder Aragonit sitzt dann ein smaragdgrünes Mineral in strahligen, seidenglänzenden Aggregaten oder, wiewohl weit seltener, in glasglänzenden, dunkelgrünen Krystallen, welches mir von Hrn. Berg- und Hüttenwerks-Director E. Raht zu Holzappel in einer kleinen Suite zur Untersuchung gütigst mitgetheilt wurde. Ich fand an den Krystallen die Flächen œ P. æ Pœ und Pœ des rhombischen Systems, ohne jedoch diese Bestimmung bei der Kleinheit der Krystalle und der starken vertikalen Streifung von & P durch Messung controliren zu können. Eine Prüfung vor dem Löthrohre ergab Kupfer und Schwefelsäure, und ich musste daher in dem grünen Körper das so sehr selten in der Natur vorkommende basisch schwefelsaure Kupferoxyd, den Brochantit Levy's, vermuthen, über dessen Zusammensetzung nach den bis jetzt vorliegenden Analysen noch nicht mit voller Sicherheit geurtheilt werden konnte.

Ich übergab daher eine angemessene Quantität des Minerals dem Assistenten am chemischen Laboratorium des

Polytechnicums, Hrn. H. Risse, welcher unter Leitung des Hrn. Hofrath Weltzien nachstehende Analysen ausführte. Es war leider nicht möglich, die sehr dünnen Ueberzüge des Brochantits absolut von dem anhängenden Brauneisenstein zu trennen und es wurde deshalb Kupfer und Schwefelsäure in ungewogenen Mengen bestimmt und erhalten:

I. 0,3030 Cu und 0,2489 Ba S entspr. 0,0854 S,

II. 0,2153 Ču * 0,1700 Ba S * 0,05838 S

woraus sich das Verhältniss von Ču zu $\ddot{S} = 7:2$ ergiebt.

Eine dritte Analyse, mit 0,0851 Grm. des über Chlorcalcium getrockneten Minerals ausgeführt, ergab:

0,01120 H

0,01497 S entspr. 0,0436 Ba S

0,05350 Ču

0,00460 Fe

0,00170 unlösl. Rückstand (Nebengestein).

Berechnet man das Eisenoxyd als Fe² H³ und bringt es nebst dem Rückstand in Abzug, so bleibt als Zusammensetzung des Minerals:

 $\dot{C}u = 0.05350 = 67.8 \text{ Proc.}$

 \ddot{S} 0,01497 = 19,0 Proc.

 \dot{H} 0,01043 = 13,2 Proc.,

entsprechend der Formel $\dot{C}u^{7}\ddot{S}^{2}+6\dot{H}$, welche bei der Berechnung giebt:

 $7 \, \dot{\text{C}} \text{u} = 280 = 67,6 \, \text{Proc.}$

2S = 80 = 19.3 Proc.

6H = 54 = 13,1 Proc.

Die Analyse ergab überdies Spuren von Chlor; es ließ sich nicht direct entscheiden, ob dies von der Beimischung einer sehr geringen Quantität Smaragdochaloit herrühre oder mit zu der Zusammensetzung des Brochantits gehöre. Da sich Kupseroxyd und Schwefelsäure in allen drei Analysen constant wie 7:2 verhalten, so wird man wohl die Formel,

insofern sie sich auf diese beiden Bestandtheile bezieht, als definitiv betrachten können, während die Wasserbestimmung wegen des beigemengten Brauneisensteines noch nicht über alle Zweifel erhaben ist.

Vergleicht man das hier mitgetheilte Resultat mit den bisherigen Analysen des Brochantits von Retzbanya von Magnus (diese Ann. XIV, 141) und des sog. Krisuvigits von Island von Forchhammer (Journal für practische Chemie XXX, S. 396), so ergiebt sich eine hinreichend große Uebereinstimmung, um keinen Zweifel über die Identität sämmtlicher Körper zu lassen. Die Analyse des Krisuvigits paist vortrefflich auf meine Formel, während die von Magnus mit unreinem Material gemacht ist und nicht einem eigenen isomorphen Minerale zugehört, da Zinnoxyd nicht als Vertreter von Kupferoxyd betrachtet werden kann. Beide Vorkommen habe ich nicht mineralogisch untersuchen können, wohl aber dasjenige von Cumberland, wo der ganz mit dem nassauischen übereinstimmende Brochantit sich mit Mimetesit, Ziegelerz und Kupferkies, aus welchem man ihn direct entstehen sieht, in Spalten eines Quarzganges findet, dessen Schwerspath, in Quarzpseudomorphosen verwandelt, die Drusenräume füllt.

Es bleibt noch übrig, die wahrscheinliche Entstehung des nassauischen Brochantits kurz zu beleuchten.

Dass er sich aus Kupferkies unter gleichzeitiger Ausscheidung von Brauneisenstein bildet, ist nach dem steten Zusammenvorkommen mit beiden wohl unzweifelhaft; aber 2s würde räthselhaft seyn, warum sich basisch schwefelsaures Kupferoxyd statt neutrales bildet, wenn man nicht anachmen dürfte, dass sich der mitauftretende kohlensaure Kalk mit dem letzteren zersetzte, jedoch die Quantität desselben nicht hinreichte, um sämmtliche Schwefelsäure an Kalk zu binden, und dass daher basisch schwefelsaures Kupferoxyd, Malachit und Gyps gebildet wurde, welcher letztere in Folge seiner Löslichkeit größtentheils ausgewaschen worden seyn mag.

Carlsruhe, d. 9. December 1858.

X. Neugebildete Sanidin-Krystalle 1) in Folge von Gesteinsverwitterung: vom Bergrath Dr. Jenzsch-

(Aus dem lithologischen Laboratorium im Herzoglichen Schlosse zu Siegleben bei Gotha.)

Wenn namentlich, wie ich es schon in meiner Abhandlung "Lithologie, die Basis der rationellen Geologie ") aussprach, das genaue Studium der verwitterten und in der Verwitterung begriffenen Gesteine oft viel Aufschlüsse über die Natur ihrer Gemengtheile giebt, so muß man sich doch hüten, alle in den verwitterten Gesteinsmassen inneliegenden Krystalle ohne Weiteres für ursprünglich dem Gesteine zugehörige Gemengtheile zu halten, denn zuweilen bilden sich in den bei der Gesteinsverwitterung erzeugten thonigen und lehmigen Massen secundäre Mineralien.

Ohne weiter einzugehen auf die übrigen, den Melaphyr zusammensetzenden Gemengtheile, welche sich in den frischeren Abänderungen unter dem Mikroskope als solche erkennen lassen, und unter denen sich besonders zahlreiche nadelförmige Zwillings- und Drillings-Krystalle, wohl auch Vierlinge eines plagioklastischen Felsites auszeichnen, sey hier nur erwähnt, dass ich weder in den Zwickauer noch in den Thüringer Melaphyren die Sanidin oder glasiger Feldspath genaunte Orthoklas-Varietät als Gemengtheil beobachtete, wohl aber traf ich häufig porphyrartig in der scheinbar dichten Melaphyrgrundmasse größere oder kleinere Krystalle des gemeinen Orthoklases.

Oft findet man regelmässige Verwachsungen desselben nach dem bekannten Gesetze der Ellnbogner (Carlsbader) Zwillinge.

¹⁾ In seinem Lehrbuche der chemischen und physikalischen Geologie Bd. II, S. 2191 beschreibt Hr. G. Bischof frisch gebildete Sanidin-Krystalle im Trachyt-Conglomerate am Langenberge, vom Lutterbach und vom Scharfenberge.

¹⁾ C. v. Leonhard, N. Jahrb. d Mineralogic 1858, Heft 5.

Fängt der Melaphyr an zu verwittern, so gelingt es zuweilen, die in angehender Verwitterung begriffenen Orthoklas-Krystalle aus der sie umgebenden Grundmasse auszulösen.

Ist durch die fortgeschrittene Verwitterung der Melaphyr auch schon ganz in einen fetten Melaphyr-Thon umgeändert, so findet man doch immer noch in letzterem trübe und glanzlos gewordene Orthoklas Krystalle.

Wenn es auch keinem Zweisel unterliegt, dass die in dem durch Verwitterung des daselbst noch ringsum umstehenden Melaphyrs von Tanhof bei Zwickau gebildeten setten Thone zahlreich inneliegenden, schon sehr veränderten Orthoklase dem Melaphyr ursprünglich zugehörten, so läst sich nicht dasselbe annehmen von den Sanidin-Krystallen, welche ich in dergleichen anstehenden 1) Thonen sowohl von Tanhof, als auch am Buschberge bei Zwickau antras.

Diese ziemlich kleinen, höchstens his zu 1,5 mm langen Sanidin-Krystalle sind häufig ringsum ausgebildet, ihre Flächen sind gewöhnlich etwas rauh und mit einem zweiten Ueberzuge des sie umgebenden Thones bedeckt; im Innern sind sie vollkommen wasserhell, zeigen nie Zerklüftungen und besitzen einen lebhaften Glasglanz, den man besonders auf den leicht zu erhaltenden Spaltungsstächen beobachten kann.

Da die frischen Melaphyre, aus den die betreffenden anstehenden Thone entstanden sind, Sanidin als Gemengtheil nicht euthalten, so ist man gezwungen, anzunehmen, dass die beschriebenen, namentlich zu Tanhof bei Zwickau recht häufig angetroffenen, immer einfachen Sanidin Krystalle sich nicht in Folge der Gesteinsverwitterung im Melaphyrthone gebildet haben.

Die umgebenden Thone hemmten etwas die völlig freie Entwickelung der sich bildenden Sanidin-Krystalle: daher ihre meist rauhe Oberfläche und die auf dieser häufig beobachteten Eindrücke.

¹⁾ Jenzsch, die Verbreitung des Melaphyr- und Sanidinquarzporphyrs von Zwickau. Berlin (VV. Herta) 1858, S. 51.

In ihrer Begleitung finden sich stets kleine schwarze, lebhaft glänzende Glimmerblättchen, welche ebenfalls dem frischen Melaphyre ganz fremd sind, und deren Bildung erst in der Gesteinsverwitterung ihren Grund hat.

Diess ein neuer Beweis, das Feldspathbildung unter sehr verschiedenen Bedingungen erfolgen kann; hier sogar, wie es den Anschein hat, bei gewöhnlicher Temperatur und auf nassem Wege in Folge von Gesteinsverwitterung.

XI. Das Trevelyan-Instrument bewegt durch den galvanischen Strom; von VV. Rollmann in Strahlsund.

Unter den interessanten Bewegungserscheinungen innerhalb des Schließungsbogens der galvanischen Kette, welche Hr. A. Paalzow in diesen Annal. Bd. 104, S. 413 bespricht, ist eine, die ich früher unter etwas anderer Form schon beobachtete und von der sich eine Notiz im Jahresberichte des naturwissenschaftlichen Vereins zu Halle vom Jahre 1850 findet. Jeh meine die wiegende Bewegung eines Kohlenhalbringes, der, auf einem dünnen Platinbleche ruhend zum Leiter des Stromes gemacht wird. Hr. Paalzow erklärt vollständig den Hergang der Sache; es läßt sich derselbe jedoch auch, wie mir scheint, in aller Kürze so deuten, daß man sagt: Der Apparat ist ein Trevelyan-Instrument, dem die Wärme, welche auf bekannte Weise seine zitternde Bewegung erhält, durch den galvanischen Strom zugeführt wird.

Zum Träger und Wieger lassen sich gewis alle Körper gebrauchen, welche die Elektricität gut leiten, vorausgesetzt, dass man ihnen, besonders an den Berührungspunkten, eine passende Form giebt. Als Beispiel führe ich nur an, dass ich früher ein Instrument im Schwingen erhielt aus Kupfer und Kupfer, und ein zweites aus Messing (Wieger) und Eisen (Träger): Jetzt habe ich einige neue Versuchsreihen gemacht mit drei verschiedenen Wiegern, nämlich aus Messing, Stahl und Gaskohle und dieselben in dauernden Schwingungen erhalten auf folgenden Trägern:

| Gold | Neusilber | Blei |
|---------|-----------|-----------------|
| Platin | Eisen | Antim on |
| Silber | Stahl | Wismuth |
| Kupfer | Zink | Aluminium |
| Messing | Kadmium | Gaskohle |
| Nickel | Zinn | |

Was die Wieger betrifft, so war der Messing-Wieger von gewöhnlicher Form, unten convex und oben concav. Der zweite war ein Stück Gussstahl von quadratischem Querschnitte, 4" lang und 1" breit. Der dritte war ein roh zugerichtetes prismatisches Stück Gaskohle von ungefähr 6" Länge und 1 und 1 Breite und Dicke. Alle drei waren mit Stielen versehen. Die Träger wurden wegen der Form der Wieger zu Spitzen ausgearbeitet und in den Schraubstock gespannt, wie das schon Seebeck und Tyndall gethan. Der Stiel des Wiegers ruhte auf einer zweiten passenden Unterlage und an sein Ende war ein Draht gelöthet, welcher in Ouecksilber tauchte, so dass der Strom jetzt leicht durch Wieger und Träger geleitet werden konnte. Als Elektricitäts- Quelle diente in allen Fällen ein Zink-Eisen Element. Die Schwingungen wurden in den meisten Fällen sehr leicht erhalten. Oft geschahen sie so langsam, dass sie sich bequem zählen ließen: oft folgten sie aber auch einander so rasch, dass sie zu mehr oder minder hohen Tönen verschmolzen. Die Schnelligkeit der Schwingungen ist, wie mir scheint, hauptsächlich abhängig von der Entfernung der Trägerspitzen, vom Gewichte, der Form und der Lage des Schwerpunktes des Wiegers und endlich von der Erwärmung und Ausdehnung der Berührungsstellen. Die meist langsamen Schwingungen des Kohlenwiegers scheinen in der bedeutenden Höhe des Schwerpunktes über dem Unterstützungspunkte ihren Grund zu haben. An den beiden Berührungsstellen zwischen Träger und Wieger erscheinen während des Tönens oder Schwingens keine Funken, da die Berührung dort ja nicht unterbrochen wird. Ein kleiner Funke kann sich zwar dem Auge leicht entziehen, aber der blanke Messingwieger zeigte nie eine Spur von Oxydation. Auch das Galvanometer bewies dasselbe; denn als mittelst Abzweigung ein Theil des Stromes durch dasselbe geleitet wurde, so ging die Nadel kaum merklich zurück, wenn der vorher ruhende Wieger durch leises Anschlagen zum Schwingen gebracht wurde. Die durch diesen Rückgang angezeigte geringe Schwächung des Stromes erklärt sich aber durch die Vermehrung des Leitungswiderstandes, da beim Tönen der Wieger meist auf einer Spitze schwebt, und nur wenn er auf die andere Seite fällt, momentan auf beiden Spitzen ruht. Dass bei Hrn. Paalzow's Apparate sich an der Berührungsstelle zwischen Träger und Wieger Funken zeigten, mag einerseits von dem stärkeren Strome (Hr. P. gebrauchte 4 Platinelemente), andererseits aber von dem leichteren Kohlenstücke herrühren, denn die Berührung kann auch dort wohl nie völlig unterbrochen gewesen sevn.

Es ist denkbar, dass auch dann noch beim Trevelvan-Instrumente dauernde Schwingungen stattfinden können, wenn von den beiden Spitzen, welche den Wieger tragen, nur die eine bei eintretender Berührung erhitzt und ausgedehnt wird, während die andere unverändert bleibt. Die Hebung des Wiegers erfolgt dann nur einseitig, und die Kraft, welche die Bewegung unterhält, ist auf die Hälfte geschwunden. Man würde die Möglichkeit solcher Schwingungen durch Wärme mit einem Instrumente prüfen können, dessen Wieger der Länge nach getheilt ist, so dass man vor dem Zusammensetzen nur die eine Hälfte erhitzen könnte. A. Seebeck gebrauchte ein solches Instrument, um zu zeigen, dass die leitende Verbindung zwischen den Berührungspunkten nicht erforderlich sev. Der galvanische Strom lässt ohne eine solche Vorrichtung die Prüfung des Gesagten leicht zu. Isolirt man nämlich die beiden Spitzen

0

des Trägers gegeneinander, und leitet den Strom dann vom Wieger aus nur durch eine derselben, so ist die Forderung erfüllt. Ich habe dauernde Schwingungen dieser Art ziemlich leicht erhalten mit dem Kohlen-Wieger auf Platin und Eisen. Schwieriger gelang es mit dem Messing-Wieger auf Platin und ich erhielt sie nicht mit dem Stahl-Wieger auf Platin. Andere Combinationen habe ich nicht versucht. Bei dieser Anordnung des Versuchs wird der galvanische Strom natürlich abwechselnd unterbrochen und hergestellt: es zeigen sich an der betreffenden Berührungsstelle stets Funken und es wird dieselbe oxydirt. Darin liegt auch der Grund, weshalb die Schwingungen bei den wenigsten Metallen dauernd seyn können. Auch der Messing-Wieger kam nach einiger Zeit auf den Platinspitzen zur Ruhe, da dann die Oxydschicht zu dick wurde um noch gut zu leiten. Man erleichtert das Eintreten dieser Schwingungen. wenn man den Wieger so zur Seite rückt, dass sein Schwerpunkt fast über der Trägerspitze liegt, durch welche der Strom nicht geht.

November 1858.

XII. Ueber den Zusammenhang zwischen den physikalischen Eigenschaften und den Structurverhältnissen bei verschiedenen Holzarten; von Prof. Knoblauch.

(Ein Vortrag in der naturforschenden Gesellschaft zu Halle; aus den Sitzungsberichten dieser Gesellschaft mitgetheilt vom Hrn. Verf)

Der Vortragende war davon ausgegangen, die Unterschiede aufzusuchen, welche die Wärmeleitung der verschiedenen Hölzer darbietet, je nachdem sie parallel oder rechtwinklig gegen die Fasern stattfindet. Zu dem Ende hatte er die zu untersuchenden, in Platten geschnittenen Hölzer

senkrecht auf ihre Ebene durchbohrt und, nachdem sie mit einer möglichst gleichmäßigen Stearinschicht überzogen waren, von der Durchbohrungsstelle aus mittelst eines an die runde Oeffnung genau anschliefsenden (und überdiefs während des Experiments darin beständig gedrehten) heißen Drahtes erwärmt. Auf solche Weise war die Stearinschicht um die Oeffnung geschmolzen, jedoch (wie sich vorhersehen liefs) nicht in concentrischen Kreisen, sondern in elliptischen Zonen, deren Längsaxen mit der jedesmaligen Faserrichtung zusammenfielen. Der unmittelbare Augenschein läßt schon die großen Unterschiede erkennen, welche die verschiedenen Hölzer (deren etwa 80 untersucht wurden) bei dieser Gelegenheit darbieten. Bei den einen sind die Ellipsen ziemlich rundlich, bei anderen schon länger gestreckt, bei noch anderen ist die Längsausdehnung der Ellipsen so bedeutend, dass sie die Oucraxe fast um das Doppelte über-Nach dieser Ellipsenform, welche der graphische Ausdruck der Wärmeleitungsfähigkeit je nach den verschiedenen extremen Richtungen im Holze ist, ließen sich vier Gruppen von Hölzern mit Sicherheit unterscheiden. der ersten ist das Verhältniss der kurzen und der langen Axe der Ellipse durchschnittlich wie 1:1,25. Es gehören dahin: Acacie, Buchsbaum, Cypresse, Königsholz u. s. w. In der zweiten, bei Weitem zahlreichsten Gruppe, zu welcher Flieder, Nussbaum, Ebenholz, Apfelbaum, mehrere Farbehölzer u. s. w. zu rechnen sind, beträgt jenes Verhältnis im Mittel 1:1,45. Bei der dritten Gruppe, welcher Aprikosenholz, sibirischer Erbsenbaum, Fernambuc, Gelbholz von Puerto Cabello u. a. angehören, ist das Axenverhältnis wie 1:1,60; in der vierten etwa 1:1,80, wie beim Lindenholz, Tamarinde, Eisenholz, Pappel, Savanilla-Gelbholz u. s. w. Die bei allen Hölsern längs der Faserricktung im Maximo vorhandene Leitungsfähigkeit übertrifft also die rechtwinklig dagegen stattfindende nach der Natur des Holzes in sehr ungleicher Weise: in der ersten Gruppe so wenig, dass die Wärme in gleicher Zeit nur ein Viertel Weges mehr in der Faserrichtung als senkrecht darauf zurücklegt; in der letzten Gruppe so viel, dass die von der Wärme in jener Richtung durchlaufene Strecke etwa das Doppelte von der in dieser beträgt.

Um entsprechend die Schallverhältnisse untersuchen zu können, wurden von den betreffenden Hölzern Stäbe und zwar von jedem derselben zwei angefertigt, deren einer der Faserrichtung parallel (als sog. Langholz), der andere quer dagegen (als sog. Hirnholz) geschnitten war. Werden diese Stabe (470 Millim. lang, 20 Millim. breit und 8 Millim. dick), frei gehalten, mit einem Klöppel angeschlagen, so giebt jedesmal die Langleiste einen klangreicheren Ton als die zugehörige Hirnleiste: doch ist unverkennbar der Klangunterschied zwischen den Tönen der Lang- und Hirnleiste eines und desselben Holzes (z. B. des Buchsbaumes) inner halb der ersten oben bezeichneten Gruppe geringer als der beim Lang- und Hirnstabe irgend einer Holzart der zweiten Gruppe; dieser wieder geringer als der betreffende Klangunterschied zwischen den Tönen zusammen gehöriger Leisten der dritten Gruppe und der letztere wird wieder von dem in der vierten Gruppe (z. B. dem Klangunterschiede einer Lang- und Hirnleiste von Pappelholz) über-Die Vollkommenheit des Klanges transversaler troffen. Schwingungen, welche bei allen Holzarten am größten ist, wenn ihre Fasern in Schwingungen versetzt werden, überwiegt also die bei andern Vibrationen derselben Hölzer, z. B. wenn sie rechtwinklig gegen die Fasern geschnitten sind, beobachtete nach der Natur des Holzes in sehr ungleicher Weise: bei der ersten Gruppe von Hölzern so wenig, dass die Klänge der Lang- und Hirnleiste denen zweier angeschlagener, wenig verschiedener Steinmassen vergleichbar sind; bei der letzten Gruppe so viel, dass der Klang der Langleiste an den eines tönenden Metalls, der stumpfe Ton der Hirnleiste aber an den einer angeschlagenen Pappe erinnert. Die aus dem Gesichtspunkte der Wärmeleitung aufgestellte Sonderung der untersuchten Hölzer wird durch ihr akustisches Verhalten bestätigt.

Als Anhalt für die Structurverhältnisse der verschiede-Poggendorff's Annal. Bd CV. 40

nen Hölzer konnte der Grad der Biegung dienen, welchen die bei der vorigen Versuchsreihe benutzten Stäbe zeigen. wenn sie, an beiden Enden unterstützt, in der Mitte auf gleiche Weise belastet werden. Denn je fester der innere Zusammenhang ihrer Theile ist, um so mehr Widerstand werden sie einer Krümmung entgegenstellen, während sie, je lockerer ihr Gefüge, jener um so leichter nachgeben werden. Als Maass der Krümmung wurde der "Pfeil " des Bogens angenommen, welchen die ursprünglich geradlinigen Stäbe bei der Belastung bildeten. Ihn zu bestimmen, diente ein Fühlhebel, welcher die zu messende Größe an einer ausgedehnteren Scale und darum mit um so größerer Genauigkeit ablesen liefs. Die Einheit dieses Maafses war gleichgültig, da es sich bei dem anzustellenden Vergleich nur um Verhältnisszahlen handelte. Wenn zwar, wie zu vermuthen, in allen Fällen die Langleiste weniger biegsam war als die aus dem nämlichen Stamm geschnittene Hirnleiste, so machte sich doch in den verschiedenen Gruppen ein wesentlicher Unterschied bemerkbar. Dieser lässt sich am besten übersehen, wenn man das Verhältniss zwischen dem Pfeil der Krümmung des Langholzes und dem der Krümmung des Hirnholzes berechnet, d. h. für eine stets gleiche Belastung der Hölzer (z. B. von 100 Grm.) die Angabe des Fühlhebels beim Langholz in die beim Hirnholz beobachtete dividirt. Dieses Verhältnis (in der folgenden Tabelle als » Biegungsverhältniss « bezeichnet) beträgt im Mittel für die erste Gruppe der Hölzer 1:5; für die zweite 1:8; für die dritte 1:9,5; für die vierte 1:14. Die Scheidung der Gruppen 1) bleibt also auch in dieser Hinsicht bestehen. Der Unterschied in der Structur der Hölzer je nach verschiedenen Richtungen in denselben ist also in denjenigen Holzarten am geringsten, welche in Bezug auf Wärmevertheilung und Klangverhältnisse die gering-

Die bei der Mannigsaltigkeit, welche die Natur selbst innerhalb einer und derselben Holzart sich gestattet, natürlich nicht in zu enge Gränzen eingeschlossen werden konnten und auch ohne eine weitere Gliederung in sich nicht zuließen.



627

sten Unterschiede in Betreff derselben Richtungen darbieten, und mit ihm zugleich wachsen auch diese.

Es ist also ein bestimmter Zusammenhang zwischen den gedachten verschiedenen Erscheinungen an den Hölzern nachweisbar und zwar in dem Grade, dass die Kenntniss einer derselben, z. B. der mechanischen oder Cohäsions-Zustände, ausreicht, um andere, wie Wärme- und Klangverhältnisse, daraus abzuleiten.

So hatten, um nur ein Beispiel dieser Art anzuführen, besondere Versuche ergeben, dass auch bei versteinertem Holze ein Unterschied der Structur parallel und rechtwinklig gegen die Faserrichtung sich erhalten habe, und in der That war auch die Wärmecurve noch eine mit der langen Axe den Fasern gleichgerichtete Ellipse. Wie aber jeuer Unterschied des mechanischen Gefüges in dem verkieselten Exemplar sich gegen den im lebenden Holze bedeutend vermindert hatte, so zeigte sich auch das Axenverhältniss der Ellipse von etwa 1:1,80 bei der lebenden Conifere auf 1:1,12 bei der verkieselten reducirt.

Die nachfolgende Tabelle enthält die Namen der untersuchten Holzarten nach den besprochenen Gruppen geordnet.

I. Gruppe.

Verhältniss der Axen der VVärme-Ellipse 1:1,25. Mittleres Biegungsverhältniss 1:5,0.

Acacie. Königsholz.

Buchsbaum. Satin.
Pockholz. Salisburia (Gingko).

Cypresse.

II. Gruppe.

Verhältnis der Axen der Wärme-Ellipse 1:1,45 Mittleres Biegungsverhältniss 1:8,0.

Flieder. Gymnocladus canadensis.

Hollunder. Nufsbaum.

Weissdorn. Buche (2 Expl.: weiss u. roth).

Lebensbaum. Platane.

St. Lucienholz. Rüster (Ulme).

Eiche (2 Exemplare). Anghica. Esche. Gateado. Ahorn. Camagon. Amerikanischer Ahorn. Apfelbaum. Ceder vom Libanon. Birnbaum. Australische Ceder. Kirschbaum. Pflaumbaum. Mahagoni. Polixander (Jacaranda) (2 Ex.). Sandel-Rothholz. Ebenholz. Caliatur Palme. Costarica » Rosenholz. Bimas Sappan. Schlangenholz. Cuba-Gelbholz. Zebraholz. Viset " Amarant. Campeche-Blauholz. Setten. Tabasco Coromandel-Holz. Domingo

III. Gruppe.

Verhältnis der Axen der VVärme-Ellipse 1:1,60. Mittleres Biegungsverhältnis 1:9,5.

Aprikose. Fernambuc-Rothholz.
Pimpernufs. Japan "
Sibirischer Erbsenbaum. Puerto Cabello-Gelbholz.

IV. Gruppe.

Verhältnis der Axen der VVärme-Ellipse 1.1,80. Mittleres Biegungsverhältnis 1:14,0.

Weide (2 Exemplare). Weymouthskiefer. Kastanie (3 Exemplare). Magnolia. Linde. Eisenholz. Erle (Else). Tamarinde. Birke. Palmassu. Pappel (3 Exemplare). Kistenholz. Espe. Zuckerkistenholz. Fichte. Savanilla-Gelbholz. Kiefer.

Namenregister zum Jahrgang 1858.

(Die Bände 103, 104, 105 sind durch III, IV, V beteichnet.)

Arndtsen, A. -Ueb. den galvan. Widerstand d. Metalle b. verschiedo. Temperaturen IV, 1. Akustische Notiz IV, 496. — Ueb. d. Leitungswiderstand d. Nickels V, 148. — Ueb. d. circulare Po-laris. d. Lichts V. 312.

B.

Baeyer, J. J. Ueb. d. Bahnlinien d. Winde auf d. sphäroid. Erde IV, 377.

Bauschinger, J. Von d. Ver-

Bauschinger, J. Von d. Vertheilungscoëfficienten IV, 58. — Siehe Knochenhauer.
Beetz, W. Einige Bemerkk. über d. elektromotor. Gesetz IV, 305. — Ueb. das Entstehen und Verschwind. d. Magnetismus in Elektromagneten V, 397.
Bergemann, C. Bemerkk. über phosphorsaur. Kupferoxyd IV, 190. — Ueb. d. feldspathartige Gestein

— Ueb. d. feldspathartige Gestein d. Zirkonsyenits V, 118. Bleekerode, Ueb. das Platinerz von Borneo, III, 656.

Blum, R. Natrolith in Pseudomor-

phosen nach Oligoklas u. Nephelin V, 133.
Blum, R. u. Carius, C. Ueb. e.
Pseudomorphose von amorphem
Quarz nach Coelestin III, 628.
Böttger, R. Ueb. d. bei d. Elektrolyse d. Antimonchlorids an d.
Kathode sich ansscheidende Me-

Kathode sich ausscheidende Metall IV, 292.

Bois-Reymond, P. Ueb. d. Er-scheinungen, welche d. Ausbrei-tung von Flüssigkeiten auf Flüssigkeiten hervorruft IV, 193.

Bosscha, J. Ueb. d. mechanische Theorie d. Elektrolyse III, 487 u. V, 396. — Ueb. einige Eigenschaf-

v., 390. — Cell. einige Eigenschaften d. linear. Verzweig. galvanisch. Ströme IV, 460.

Brunner, C. sen. Neuerc Beobb. üb. d. Darstell. d. Mangans III, 139. — Leichte Bereitungsart v. vollkomn. rein. Platinmohr V, 496. Buijs-Ballot, Ueb. d. Art v. Be-wegung, welche wir Wärme nen-nen III, 240. Burg, P. van der, Ueb. d. Art,

Klangfiguren hervorzubringen und Bemerkk, üb. longitudinale Schwingungg. III. 620.

C.

Carius s. Blum. Christie, H. Einige diamagnet. Versuche III, 577. Clausius, R. Erwiedr. auf e. Bemerkk. von Hittorf III, 525. — Ueb. d. Natur d. Ozons III, 644. - Ueb. d. Zunahme d. elektr. Leitungswiderstands d. einfach. Metalle mit d. Temp. IV. 650. -Ueb. d. mittl. Länge d. Wege, welche bei d. Molecularbeweg, gas-förm. Körper von d. einzeln. Molecülen zurückgelegt werden, nebst andr. Bemerkk. über d. mechan. Wärmetheorie V, 239.

D.

Dauber, Untersuch. an Minera-lien d. Samml. des Dr. Krants III, 107.

Dellmann, F. Ueb. d elektr. Zustand d. Gewitter- u. Regenwolken III, 166.

Dove, H. W. Ueb. d. Unterschied. d. prismat. Spectra d. am positiv. u. negativ. Pol. im luftleer. Raum hervortretend. elektr. Lichts IV. 184. — Ueb. d. Einfl. d. Binocu-larsehens b. Beurtheil. d. Entfern. durch Spieglung u. Brechung ge-sehener Gegenstände IV. 325. — Die diessjähr. Ueberschwemm. in Die dielsjähr. Ueberschwemm. in Schlesien u. am Harz u. ihre Ursachen V. 499.
Drion, C. Ueb. d. Ausdehnbark. der über ihren Siedpunkt erhitst. Flüssigkeiten V. 158.
Dürre, Ueb. d. Osteolith aus d. Kratzerberg b. Friedland V. 155.
Dub, J. Ueb. d. Beziehungen des im Eisenkern d. Elektromagnets im Eisenkern d. Elektromagnets derrest. Magnetiam. zu d. Dimenun Eisenkern d. Eiektromagnete erregt, Magnetism. zu d. Dimen-aionen d. Magnetkerns IV. 234. — Ueber d. Abhängigk. d. Tragkraft von d. Größe d. Berührungsfläche zwisch. Magnet u. Anker V. 49.

E. Eichhorn, H. Ueb. die Einwirk. verdünnt. Salzlösungen auf Sili-cate V. 126. Eisenlohr, F. Ueb. d. Verhältn. d. Schwingungsricht. d. Lichts zur Polarisationsebene u. die Bestimm. dieses Verhältn. durch d. Beugung dieses Verhältn. durch d. Beugung IV. 337. — Ableit d. Formeln für d. Intensit. des an d. Oberfläche isotrop. Mittel gespiegelten, gebrochenen u gebeugt. Lichts IV. 346. — Entgegn. auf e. Bemerk. von Hoppe IV. 653.
Emsmann, H. Ueb. d. Entsteh. d. Tons beim Brummkreisel IV. 490 - Ein Vorschlag z. Steuerung d. Lustballons IV. 658. Encke, Tägl. Max. d. magnet. Declinat. zu Berlin III. 56.

F.

Feddersen, B. W. Beiträge zur Kenntnis d. elektr Funkens III. 69. Feilitzsch, O. v., Magnet. Rota-tionen unter Einfluss e Stromleiters von unveränderl. Gestalt V. 535.

G.

Gallenkamp, W., Ueb e. elektr. Meteor. HI, 173. Gerling, G. L. Darstell. aller Polarisationsbeweg. u. einer zweit. Wellenbeweg. durch Zusammensetzung zweier Schraubenbeweg, nebst Nachricht von e. Apparat dazu V. 175. Gore, G. Ueb. d. Molecular-Eigengenschaften d'Antimone, III 486. Groshans, J. Ueb. d. Verhältn. zwisch. d. Spannungen u. Tem-peraturen d. Dämpfe IV. 651. Grüel, C. A. Ueb d. Interferens sweier Stimmgabeln IV. 494.

Ħ. Hajech, C. Ueb. d Brechung d. Schalls III. 163.

Hallmann, Ueb. s. Theorie der

Temperaturverhältn. der Quellen IV. 640. Hankel, W. G. Ueb. d. Mess. d. atmosphär. Elektr. nach absolut. Maafs IV, 209. — Ueb. d. Elek-des Aldehyd-Ammoniaks V. 577.
Heschl, Ueb. d. seitl. Verschieb.
d. Bildes im Mikroskop hei schiefer Beleucht. V. 295.
Hence: I lieb a Verbesser an Heussi, J. Ueb. e. Verbesser. an d. Repetionstheolithen u. d. Nivellir-Instrumenten IV. 443.
Hittorf, W. Rechtfertig. seiner Mittheilungen: Ueb. d. Wanderungen d. Ionen; Elektrolyse e. Lösung zweier Salze III. 1. — Siehe Clausius. Hörnes, M. Ueb. d. Meteorsteinfall zu Ohaba in Siebenbürg. V. 334.

Hoppe, R. Ueb. d. Beweg. u. Beschaffenh. d. Atome IV. 279.

Siehe Eisenlohr.

Jenzsch, G. Ueb. d. Verhalt. d. Lithions in d. Silicat-Analyse bei gleichzeit. Gegenwart v. Kali IV. 102. — Die krystallisirte Kieselerde ist dimorph V. 320. — Neugebild, Sanidin-Krystalle in Folge v. Gesteins - Verwitterung V. 618.

K.

Kenngott, A. Bemerkk. über d. Tyrit IV, 330. Kirchhoff, G. Ueb. e. Satz der mechan. Wärmetheorie u. einige Anwendd desselben III. 177. —
Bemerk. üb. d. Spann. d. Wasserdampfs bei Temperatt., die dem
Eispunkte nahe sind III. 206. — Ueb. d. Spann. d. Dampfs v. Mischungen aus Wasser u. Schwefelsäure IV. 612. — Siehe Wüllner.

Knoblauch, H. Ueb. d. Zusainmenhang zwischen den physikalischen Eigensch. u. den Structurverhältnissen b. verschiedn. Holz-

arten V. 623.

Knochenbauer, K. W. Notiz üb. d. elektr. Funken IV. 643. — Reklamat. gegen Bauschinger IV. 654.

Koene, C. J. Ueb. d. Constitut. d. Unterschwefelsäure III. 171. Kokscharow, N. v. Ueb. d. Eu-klas vom Ural III. 347.

Kremers, P. Ueb. d. Modificat. d. mittl. Löslichk. einiger Salz-atome u. des mittl. Volums dieser Lösungen III. 57 u. IV, 133. — Ueb. d. Aenderungen, welche die Modificat. d. mittl. Volums eini-ger Salzlösungen durch Aendr. d. Temp. erleidet V. 360.

Lang, V. v. Zur Ermittl. d. Constanten d. transversal. Schwingg, elastischer Stäbe III. 624. Lose, L., Ueb. d. tägl. Schwan-kungen d. Windes IV. 449. Magnus, G., Ueb. directe u. in-directe Zersetz. durch d. galvan.

Strom IV. 553.

Masson, B., Schallgeschwindigk.
in d. Metallen III. 272

Matthiessen, A., Ueb. d. thermoelektr. Spannungsreihe III, 412. — Ueb. d. elektr. Leitungsfähigk. d. Metalle III. 428.

Meister, Beobb. der Bodentemp.

in Freising IV, 335. — Ueb. das spec. Gew. d. Eises IV. 657. Meyer, L, Ueber d. Einflus d. Drucks auf d. chemische Affinität IV. 189.

Mousson, A., Einige Thatsachen betreffend das Schmelzen u. Ge-frieren d. Wassers V. 161. Müller, J., (Wesel), Abnahme d. Elektricitätsleit. in Metallen bei

starker Temperatur-Erhöhung III. 176.

Müller, J., (Freiburg), Intermittirende Fluorescenz IV. 649. —
Untersuchung über d. thermischen
Wirkungen des Sonnenspectrums
V. 337. — Wellenlänge u. Brechungsexponent d. äußerst. dunkl. Wärmestrahl, d. Sonnenspectrums V. 543. — Untersuch üb. Elektromagnetism. V. 547.

0.

Oesten, F., Ueb. Trenn. d. Tantalsäure von d. Säuren in d. Co-lumbiten III. 148. Osann, G, Ueb. einige Bewegungserscheinungen innerhalb der ge-schloss. galvan. Kette IV. 616.

Paalzow, A., Ueber einige Beugungserscheinungen innerhalb der geschloss. galvan. Kette IV. 413. Pfaff, F., Untersuch. üb. d. Aus-dehn d. Krystalle durch d. Wärme IV. 171.

Plücker, Ueb. d. Einwirk. d. Mag-nets auf d. elektr, Eutladungen in verdünnten Gasen III. 88 u. 151.

IV, 113. - Ueb. ein. neuen Gesichtspunkt, die Einwirk. d. Mag-nets auf d. elektr. Strom betref-fend IV, 622. — Fortgesetzte Be-obachtungen üb. d. elektr. Entladung V. 67.

Quincke, G., Ueb. d. Capillaritätsconstanten d. Quecksilb. V. I.

Rammelsberg, C., Ueb. d. kry-stallograph. u. chem. Beziehungen von Augit u. Hornblende, sowie von verwandt. Min. III. 273 und 435. - Ueb. d. Zusammensetz. d. Titaneisens, sowie d. rhomboëdr. u. octaëde, krystallisirt. Eisenoxyde überhaupt IV. 497. — Ueb. d. Zu-sammensetz. d. Analcims V. 317. Siehe Scheerer.

Rath, G. vom, Ueb. d. Wetter-säule, welche am 10. Juni 1858 oberhalb Königswinter zwei Mal

über d. Rhein ging IV, 631. Reichenbach, K. v., Ueb. die Rinde d. meteorisch. Eisenmass. III. 637. — Ueb. d. Rinde d. Meteorsteine IV. 473. — Die Meteoriten u. d. Kometen nach ihren gegenseit Beziehungen V. 438. — Ueb. d. Anzahl d. Meteoriten u. Betracht. üb. ihre Rolle im Welt-gebäude V. 551. Reifshaus, Th., Ueb. d hydraul. Druck v. Wasser, welches zwisch.

zwei Platten unter Wasser aus-

strömt IV. 404. Riefs, P., Elektroskop. Wirk. d. Geifsler schen Röhren IV. 321. Ueb. einen elektr. Influenzversuch V. 486.

Rive, A. de la, Ueb. d. Rotation d. elektr. Lichts um d. Pole eines Elektromagnets IV. 129 Rive,

Instrument bewegt durch den galvanischen Strom V. 620.

Rose, G., Ueb. d. Leucit v. Kai-

Rose, G., Ueb. d serstuhl III. 521.

Rose, H., Ueb. die Lichterschei-

nung, welche gewisse Substanzen beim Erhitzen zeigen III, 311. -Ueb. d. Zusammensetz. d. in der Natur vorkomm, tantalsäurehaltig. Mineralien IV. 85. - Ueb. das Niob IV. 310 u. 432. — Ueb. d. Niobsluorid IV. 581. — Ueb. d. Lösungen d. Manganoxydsalze V. 289. – Ueb. d. Schwefelniob V. 289. — Ueb. d. Schweieimou. 424. — Ueb. d. isomeren Zustände d. Zinnoxyds u. üb. d. Verhalten negativ. Metalloxyde in ihrer chlor-wasserstoffsauren Lösung V. 564. Roth, siehe Hallmann.

S.

Salm-Horstmar, Fürst, Ueb. d. unter gewiss. Umständ. gelb fluo-rescirende Auflös. von Fraxin III. 652. – Ueb. e. auffallende Licht-erschein. b. total. Reflex. d. Wolkenlichts nach Sonnen-Untergang

IV, 647. Sandberger, F., Ueb. d. Carmin-spath III. 345. — Ueb. d. Antispath III. 345. — Ueb. d. Anti-monkupfernickel III, 526. — Bro-chantit aus Nassau V. 614, Sausse, Nachr. üb. eine Feuer-kugel IV, 655. Schaffgotach

Sausse.

Schaffgotsch, F. Graf v., Ein alter Versach in neuem Gewande III. 349. — Ein Vorschlag z. Scheid. der Talkerde von Natron u. von Kalk IV. 482.

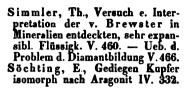
Scheerer, Th., Einige Bemerkk. üb. d. chem. Constitution d. Amphibole u. Augite, besonders in Bezug auf Rammelsberg's neue-ste Analysen V. 598. Schering, E., Zurmathemat. Theo-

rie elektr. Ströme IV, 266. Schnabel, C., Analyt. mineralog. Mittheilungen V, 144. Schönbein, C. F., Ueb. d. Ent-

blänung d. Indiglösung durch saure Sulfite IV. 300. — Fortgesetzte Untersuch. üb. d. Sauerstoff V. 258.

Schröder, H., Ueb. e. opt. Inversion bei Betracht. verkehrter, durch opt. Vorrichtungen entworfener physisch. Bilder V, 298.

Д.



Т

Török, J. v., Ueb. d. Kaba-Debreezin-Meteorit V, 329. Traube, M., Zur Theorie d. Gährungs- u. Verwesungs-Erscheinungen, wie d. Fermente überhaupt III. 331. Tyndall, J., Ueb. einige phys. Eigenschaften d. Eises III. 157.

U.

Uhrlaub, E., Die Verbindd. des Vanadins mit Stickstoff III, 134.

W.

Weber, R., Ueb. Jod- u. Brom-Aluminium III. 259. — Ueb. das Chloraluminium III. 269. — Ueb. d. Verbindd. d. Chloraluminium mit d. Chloriden d. Schwefels, Selens u. Tellurs IV. 421. Weiske, A., Die Ueberführ. des Chlors bei d. Elektrolyse seiner Verbindd. mit d. Alkalien u. alkalischen Erden III. 466.
Wiedemann, G., Ueb. d. Beziehungen zwisch. Magnetism., Wärme u. Torsion III. 563. — Bemerkk. zu sein. elektrolyt. Untersuchungen IV. 162.
Wild, H., Ueb. d. thermo-elektr. Ströme u. d. Spannungsgesetze bei d. Elektrolyten III. 353.
Wislicenus siehe Heintz.
Wüllner, A., Versuche über die Spannkraft d. Wasserdampfs aus wässr. Salzlösungen, III. 529. — Versuche üb. d. Spannkraft der Dämpfe aus Lösungen von Salzgemischen V. 85. — Einige Bemerkk. zu Kirchhoff's Aufsatz. Ueb. die Spannkraft des Dampfes aus Misch. von Wasser u. Schwefelsäure V. 478.

Z.

Zech, P., Ueb. d. innere konische Refraction IV. 188. Zeifs, C., Ueb. e. Erschein. in Mikroskopen bei schief. Beleucht. d. Objecte III. 654.

Berichtigungen.

Zum Aufsatz von H. Dauber Bd. CIII.

- S. 107 Z. 2 v. u. statt: einer lies: eines
- S. 110 Z. 7 v. o. statt: noch lies; auch
- S. 111 Z. 1 v. o. statt: Einzelheiten lies: Einzelwerthen
- S. 112 Z. 8 v. o. statt: β=86°45'58",2 lies: β=85°45'58",2
- S. 113 Z. 18 v. o. (rechts) statt: 69 14 20 lies: 69 15 20
- S. 114 Z. 3 v o, statt: sind vielmehr lies: vielmehr
 - Z. 9 v. o. statt: dem Krystallisationsprocesse lies: den Krystallisationsprocess
- S. 115 Z. 5 v. o. statt: Temperaturen lies: Temperatur
 - » Z. 12 v. o. statt; von zehn lies; die Resultate von zehn
- S. 116 Z. 2 v u. statt: K. K. Reichsanstalt lies: K. K. geol. Reichsanstalt
 - » Z 3 v. u. statt; der Jahrb. lies: das Jahrb.
- S. 121 Z. 13 v. o. statt: 5321 lies: 5351
 - Z. 3 v. u. statt: m" lies: m"
- 8. 122 Z. 16 v. o. statt: @c=80°51'0",0 lies: @c=89°51'0",0
 - Z. 13 v. u. statt: wozu die lies: wozu ihre
 - Z. 5 v. u. statt: dieser Resultate lies: dieses Resultats
- S. 127 Z. 16 v. u. statt: 50 50 14 lies: 50 55 14
 - . Z. 2 v. u. statt: 0,5410 lies: 5,5410
- S. 128 Z. 3 v. o. statt: 6,5891 lies: 5,5891
 - Z. 5 v. o. statt: 22 52 51 lies: 22 52 21
 - Z. 12 v. u. statt: $\psi''\gamma''$ lies: $\phi''\gamma''$
- S. 129 Z. 3 v. o. statt: 52 21 9 lies: 53 21 9
- S. 130 Z. 4 v. o. statt: T.6.td lies: T. 7.td
- S. 131 Z. 17 v. u. statt: K2 k1 lies: K1 k1
 - Z. 16 v. u. statt: $K_3 k_1$ lies: $K_2 k_2$
 - Z. 1 v. u. statt: verkürzen lies: verbürgen
 - Nach Zeile 14 von oben auf Seite 126 ist einzuschalten: Taf. 8.
 - » » 13 » » » 130 » » Taf. 9.



635

Zum Aufsatz von F. Eisenlohr Bd. CIV.

- S. 343 Z. 13 v. o. statt: erfolgt lies: erfolgen
 - Z. 16 v. o. statt: steht lies: stehen
- S. 346 Z. 12 v. u. statt: zu der letzteren lies; zu letzteren
- S. 349 Z. 10 v. u. statt: ζ, ξ₁, ξ' lies: ζ, ζ₁, ζ'
- S. 351 Z. 11 v. u. statt: $\frac{b\sqrt{-1}}{b}$ lies: $\frac{b\sqrt{-1}}{a}$
- S. 354 Z. 14 v. u. setze «oder dass» nach «Progression wächst»
- S. 355 Z. 6 v. o. statt: λ_{μ}^2 und λ''^2 lies: l_{μ}^2 and l''^2
- S. 360 Z. 8 v. o. statt: Ausspruch lies; Anspruch
 - » Z. 13 v. u. statt: dichteren lies: dichten
- S. 364 Z. 10 v. o. statt: a lies: a'
 - » Z. 4 v. u. statt: senkrecht zur lies; in der
- S 371 letzte Zeile statt: $\frac{l}{\sqrt{-1}}$ und $\frac{e}{\theta \cos \alpha}$ lies: $\frac{1}{\sqrt{-1}}$ und $\frac{c}{\theta \cos \alpha}$
- S. 372 Z. 15 v. o. statt: $\frac{J^2}{I}$ lies: $\frac{J^2}{I^2}$

Zum Aufsatz von Paalzow Bd. CIV.

S. 420 Z. 9 v. u. statt: oxydirend lies: desoxydirend

Zum Aufsatz von F. Schaffgotsch Bd. ClV.

- S. 482 Z. 15 v. u. statt: erden lies: erde-
- S. 483 Z. 13 v. u. statt: aber lies: eben
 - » Z. 4 v. u. statt: + lies: =
- S. 485 Z 3 v. o. statt: 229 lies: 227
 - » Z. 14 v. u. statt: jenem lies: jenen
 - Z. 13 v. u statt: diesem lies: diesen
- S. 487 Z. 15 v. u. statt: dampste Talkerde lies: dampst. Talkerde Außerdem überalt Reagens statt Reagenz, und Proc. überalt zu streichen.

Zum Aufsatz von Gerling Bd. CV.

- S. 176 Z. 2 v. o. statt: und jede lies: jede
- S. 178 Z. 8 v. u. statt: sin w lies: sin w +
- S. 179 Z. 10 v. o. statt: der lies: den
 - " Z. I und 2 v. u. statt: $(\frac{1}{2}x + 45^{\circ})$ lies: $(x + 45^{\circ})$

5. 150 L. 15 v. o. statt: - 1 L nes. - 1 L.e

S. 200 Z. 2 v. o. statt: $\frac{dz}{ydz}$ lies: $\frac{dx}{ydz}$

» Z. 7 v. u. statt: den lies: dem

S. 201 Z. 3 v. o. statt: längen lies; bergen

» Z. 16 v. o. statt: annimmt lies: einnimmt

S. 204 Z. 17 v. o. statt: über lies: von dem über

S. 210 Z. 12 v. o. statt: des Dreiecks lies: der Dreiecke

Sprachliche Bemerkung.

Andere dagegen:

Der Magnet

Des Magnets

Dem Magnete

Ueber die Declination des Worts Magnet herrscht unter den Pheinige Unklarheit:

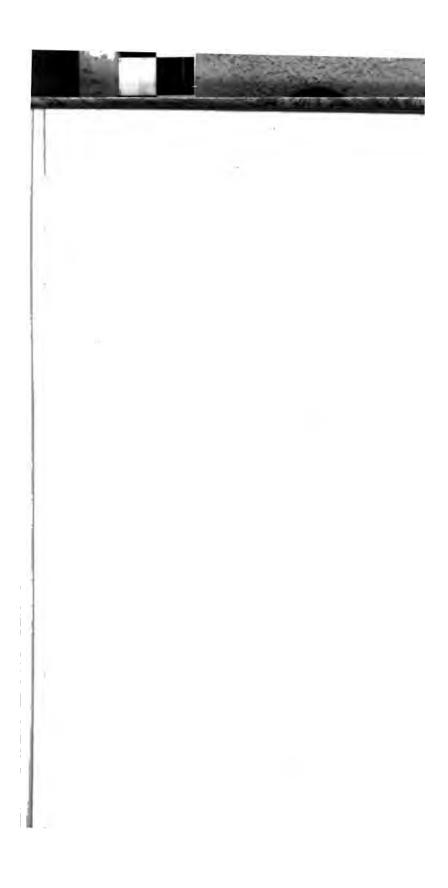
Die meisten decliniren:

Der Magnet
Des Magneten

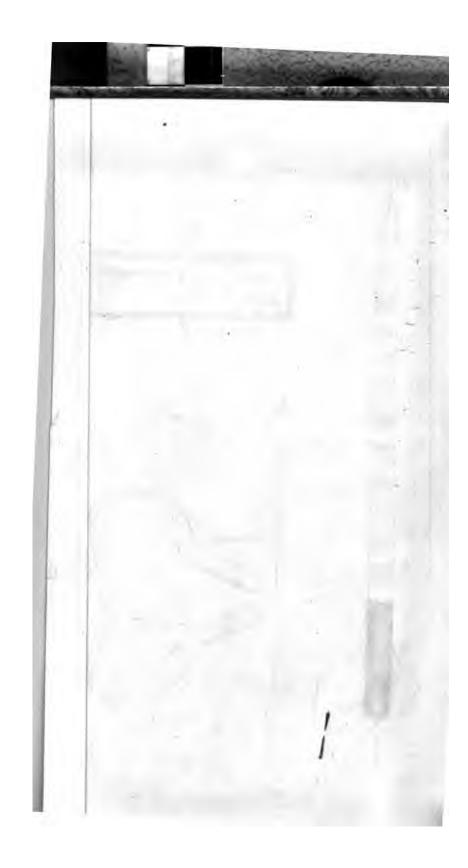
Dem Magneten Den Magneten

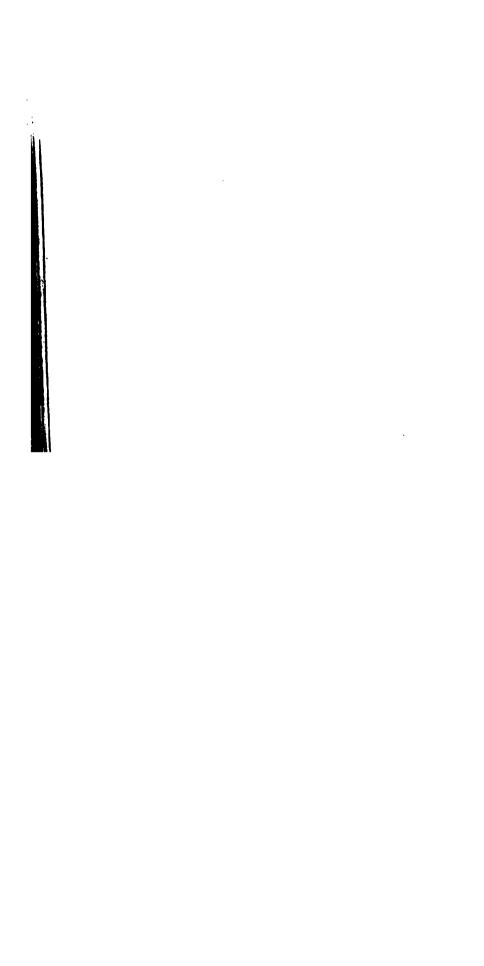
Den Magneten

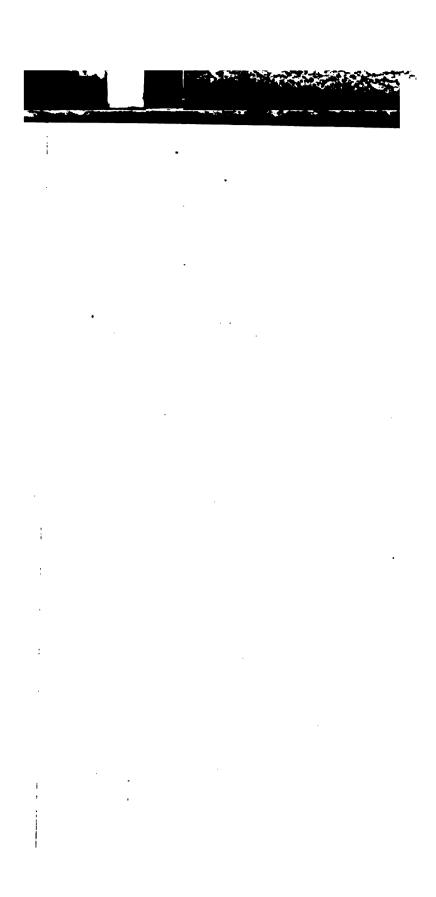
VVas ist richtig? Das hängt lediglich davon ab, ob man im No
Pluralis zu sagen habe: Die Magneten oder die Magnete. Darübs
aber kein Zweisel obwalten. Jedermann sagt: die Magnete. Unc



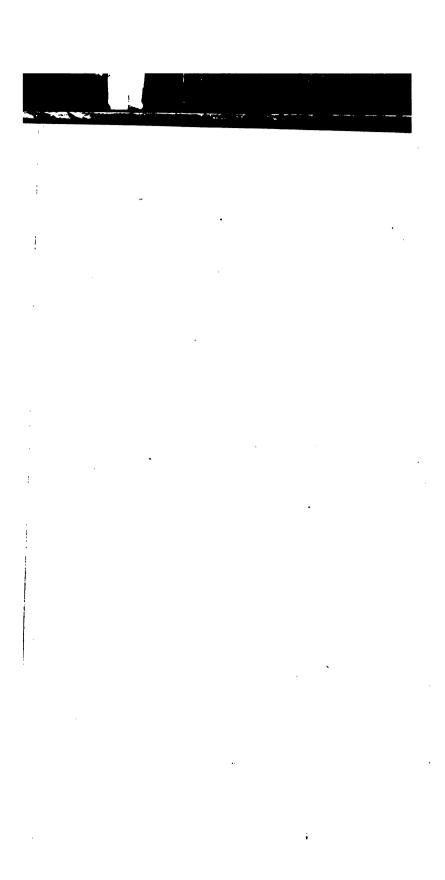


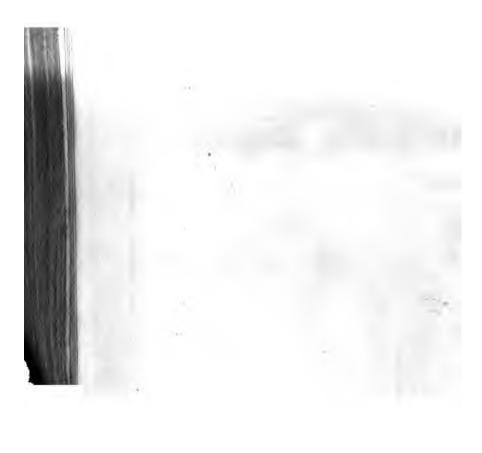


















PHYSICS

530.5 11613 V105 1858